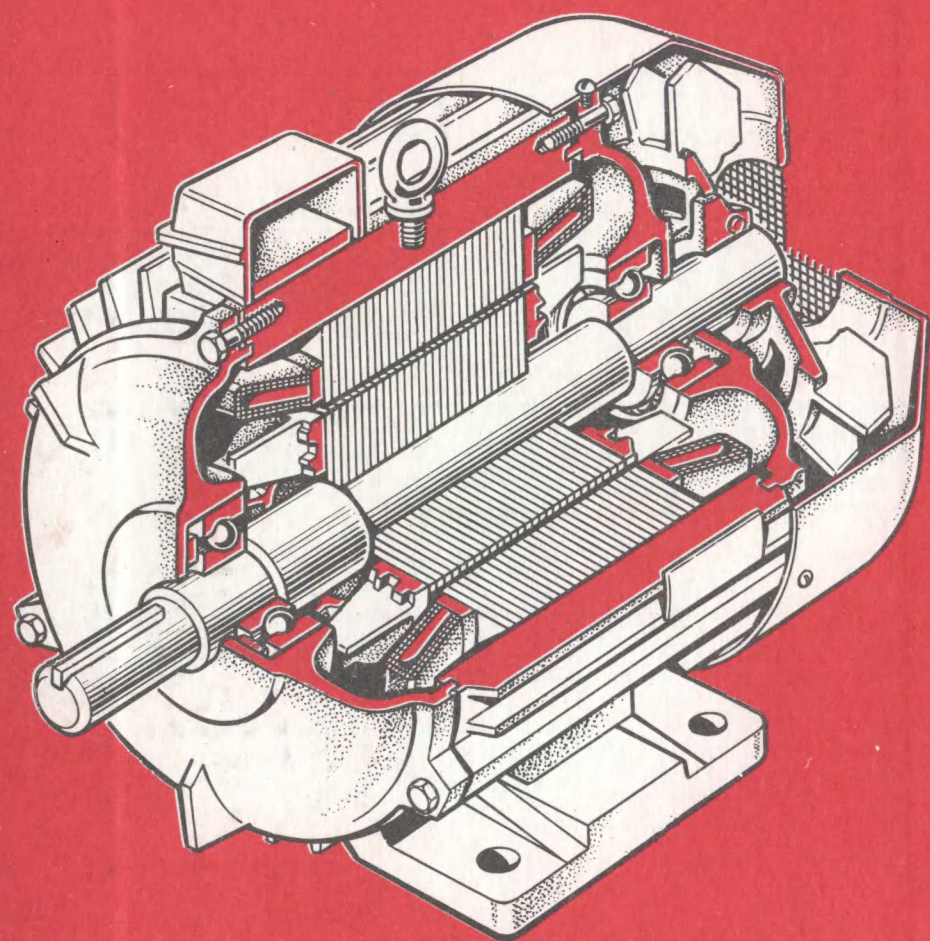


М. М. Кацман

ЭЛЕКТРИЧЕСКИЕ МАШИНЫ

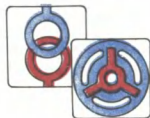
- **ТРАНСФОРМАТОРЫ**
 - **ОБЩИЕ ВОПРОСЫ
БЕСКОЛЛЕКТОРНЫХ
МАШИН**
 - **АСИНХРОННЫЕ
МАШИНЫ**
 - **СИНХРОННЫЕ
МАШИНЫ**
 - **КОЛЛЕКТОРНЫЕ
МАШИНЫ**
-





М. М. Кацман

ЭЛЕКТРИЧЕСКИЕ МАШИНЫ



**ИЗДАНИЕ ВТОРОЕ,
ПЕРЕРАБОТАННОЕ И ДОПОЛНЕННОЕ**

*Допущено
Государственным комитетом СССР
по народному образованию
в качестве учебника
для учащихся электротехнических
специальностей техникумов*



Москва

«Высшая школа» 1990

ББК 31.261
К30
УДК 621.313

Рецензент — Л. В. Туманова
(Всесоюзный заочный электромеханический техникум)

Кацман М. М.

К 30 Электрические машины: Учеб. для учащихся
электротехн. спец. техникумов. — 2-е изд., перераб. и
доп. — М.: Высш. шк., 1990. — 463 с.: ил.

ISBN 5-06-000120-2

В книге рассматриваются теория, принцип действия, устройство и анализ режимов работы электрических машин и трансформаторов как общего, так и специального назначения, получивших распространение в различных отраслях техники. 2-е издание (1-е — 1983 г) дополнено новым материалом, соответствующим современным подходам к теории и практике электромашиностроения.

К	$\frac{2202070000(4308000000) - 100}{001(01) - 90}$	126 —	св. план	ББК 31.261
			для сред.	
			св. учеб.	
			заведений 89	

ISBN 5-06-000120-2

© Издательство «Высшая школа», 1983
© М. М. Кацман, 1990, с изменениями

Предисловие

Книга написана в соответствии с учебными программами предмета «Электрические машины» для специальностей «Электрооборудование промышленных предприятий и установок», «Электромашиностроение» для средних специальных учебных заведений и содержит основы теории, описание конструкций и анализ эксплуатационных свойств трансформаторов и электрических машин, а также необходимое количество примеров решения задач, что должно способствовать лучшему пониманию учебного материала.

В книге принят следующий порядок изложения учебного материала: трансформаторы, асинхронные машины, синхронные машины, коллекторные машины. Наряду с электрическими машинами и трансформаторами общего назначения в книге рассмотрены некоторые виды этих устройств специального назначения.

При подготовке второго издания устранены обнаруженные ошибки и неточности; некоторые параграфы переработаны с целью придания им большей четкости изложения; добавлен новый материал, соответствующий современному взгляду на теорию и практику электромашиностроения; добавлены новые примеры решения задач; исключен устаревший материал. При изложении материала книги основной упор сделан на раскрытие физической сущности явлений и процессов, определяющих работу трансформаторов и электрических машин.

Известно, что самостоятельное решение задач в процессе изучения предмета является эффективным средством более глубокого усвоения теоретического материала. Исходя из этого, второе издание книги дополнено задачами для самостоятельного решения по всем разделам курса. При этом каждая задача имеет до десяти вариантов исходных данных. Эти задачи могут быть использованы как в качестве домашних заданий учащимся, так и при выполнении обязательных контрольных работ, предусмотренных учебными планами.

Автор выражает искреннюю признательность рецензенту Л. В. Тумановой за полезные замечания, которые были учтены при работе над рукописью.

Все замечания и пожелания можно направлять по адресу: 101430, Москва, ГСП-4, Неглинная ул., 29/14, издательство «Высшая школа».

Автор

§ В.1. Роль электрических машин и трансформаторов в электрификации народного хозяйства

Во все периоды построения и развития экономики нашей страны Коммунистическая партия уделяла огромное внимание электрификации промышленности, транспорта, сельского хозяйства. Электрификация, являясь стержнем строительства экономики социалистического общества, играет ведущую роль в развитии всех отраслей народного хозяйства. В арсенале электротехнических средств, применяемых при электрификации народного хозяйства, ведущее место занимают электрические машины, широко используемые как в процессе производства электрической энергии, так и в процессе ее потребления.

Электрическая машина представляет собой электромеханическое устройство, осуществляющее взаимное преобразование механической и электрической энергии. Электрическая энергия вырабатывается на электростанциях электрическими машинами — *генераторами*, преобразующими механическую энергию в электрическую. Основная часть электроэнергии (до 80 %) вырабатывается на тепловых электростанциях, где при сжигании химического топлива (уголь, торф, газ) нагревается вода и переводится в пар высокого давления. Последний подается в турбину, где, расширяясь, приводит ротор турбины во вращение (тепловая энергия в турбине преобразуется в механическую). Вращение ротора турбины передается на вал генератора (турбогенератора). В результате электромагнитных процессов, происходящих в генераторе, механическая энергия преобразуется в электрическую.

Процесс производства электроэнергии на атомных электростанциях аналогичен тепловым, с той лишь разницей, что вместо химического топлива используется ядерное.

Процесс выработки электроэнергии на гидравлических электростанциях состоит в следующем: вода, поднятая плотиной на определенный уровень, сбрасывается на рабочее колесо гидротурбины; получаемая при этом механическая энергия путем вращения колеса турбины передается на вал электрического генератора, в котором механическая энергия преобразуется в электрическую.

В процессе потребления электрической энергии происходит ее преобразование в другие виды энергий (тепловую, механическую, химическую). Около 70 % электроэнергии используется для приведения в движение станков, механизмов, транспортных средств, т. е. для преобразования ее в механическую энергию. Это преобразование осуществляется электрическими машинами — *электродвигателями*.

Электродвигатель — основной элемент электропривода рабочих машин. Хорошая управляемость электрической энергии, простота ее распределения позволили широко применить в промышленности многодвигательный электропривод рабочих машин, когда отдельные звенья рабочей машины приводятся в движение самостоятельными двигателями. Многодвигательный привод значительно упрощает механизм рабочей машины (уменьшается число механических передач, связывающих отдельные звенья машины) и создает большие возможности в автоматизации различных технологических процессов. Электродвигатели широко применяют на транспорте в качестве тяговых двигателей, приводящих во вращение колесные пары электропоездов, троллейбусов и др.

За последнее время значительно возросло применение электрических машин малой мощности — микромашин мощностью от долей до нескольких сотен ватт. Такие электрические машины используют в устройствах автоматики и вычислительной техники.

Особый класс электрических машин составляют двигатели для бытовых электрических устройств — пылесосов, холодильников, вентиляторов и др. Мощность этих двигателей невелика (от единиц до сотен ватт), конструкция проста и надежна, и изготовляют их в больших количествах.

Электрическую энергию, вырабатываемую на электростанциях, необходимо передать в места ее потребления, прежде всего в крупные промышленные центры страны, которые удалены от мощных электростанций на многие сотни, а иногда и тысячи километров. Но электроэнергию недостаточно передать. Ее необходимо распределить среди множества разнообразных потребителей — промышленных предприятий, транспорта, жилых зданий и т. д. Передачу электроэнергии на большие расстояния осуществляют при высоком напряжении (до 500 кВ и более), чем обеспечиваются минимальные электрические потери в линиях электропередачи. Поэтому в процессе передачи и распределения электрической энергии приходится неоднократно повышать и понижать напряжение. Этот процесс выполняется посредством электромагнитных устройств, называемых *трансформаторами*. Трансформатор не является электрической машиной, так как его работа не связана с преобразованием электрической энергии в механическую и наоборот; он преобразует лишь напряжение электрической энергии. Кроме того, трансформатор — это статическое устройство, и в нем нет никаких движущихся частей. Однако электромагнитные процессы, протекающие в трансфор-

маторах, аналогичны процессам, происходящим при работе электрических машин. Более того, электрическим машинам и трансформаторам свойственна единая природа электромагнитных и энергетических процессов, возникающих при взаимодействии магнитного поля и проводника с током. По этим причинам трансформаторы составляют неотъемлемую часть курса электрических машин.

Отрасль науки и техники, занимающаяся развитием и производством электрических машин и трансформаторов, называется *электромашиностроением*. Теоретические основы электромашиностроения были заложены в 1821 г. М. Фарадеем, установившим возможность преобразования электрической энергии в механическую и создавшим первую модель электродвигателя. Важную роль в развитии электромашиностроения имели работы ученых Д. Максвелла и Э. Х. Ленца. Дальнейшее развитие идея взаимного преобразования электрической и механической энергий получила в работах выдающихся русских ученых Б. С. Якоби и М. О. Доливо-Добровольского, которыми были разработаны и созданы конструкции электродвигателей, пригодные для практического использования. Большие заслуги в создании трансформаторов и их практическом применении принадлежат замечательному русскому изобретателю П. Н. Яблочкову. В начале XX столетия были созданы все основные виды электрических машин и трансформаторов и разработаны основы их теории.

За годы Советской власти отечественное электромашиностроение достигло огромных успехов. Если в дореволюционной России, по существу, не было электромашиностроительной промышленности, то за годы советской власти была создана отрасль электротехнической промышленности — электромашиностроение, способная удовлетворять потребности нашего развивающегося народного хозяйства в электрических машинах и трансформаторах. Были подготовлены кадры квалифицированных электромашиностроителей — ученых, инженеров, техников, рабочих.

XXVII съезд КПСС определил в качестве основной задачи дальнейший подъем благосостояния всех слоев и социальных групп населения, наметил глубокие перемены в сфере труда и условиях жизни людей. Осуществление этого требует перевода производства на преимущественно интенсивный путь развития. Главная задача ныне состоит в повышении темпов и эффективности развития экономики на базе ускорения научно-технического прогресса, технического перевооружения и реконструкции производства, интенсивного использования созданного производственного потенциала. Значительная роль в решении этой задачи отводится электрификации народного хозяйства.

При этом необходимо учитывать возрастающие экологические требования к источникам электроэнергии и наряду с традиционными способами развивать экологически чистые (альтернативные) способы производства электроэнергии с использованием энергии

солнца, ветра, морских приливов, термальных источников. Широко внедряются автоматизированные системы в различные сферы народного хозяйства. Основным элементом этих систем является автоматизированный электропривод, поэтому требуется опережающими темпами наращивать выпуск автоматизированных электроприводов.

В условиях научно-технической революции большое значение приобретают работы, связанные с повышением качества выпускаемых электрических машин и трансформаторов. Решение этой задачи является важным средством развития международного экономического сотрудничества. Соответствующие научные учреждения и промышленные предприятия нашей страны ведут работы по созданию новых видов электрических машин и трансформаторов, удовлетворяющих современным требованиям к качеству и технико-экономическим показателям выпускаемой продукции.

§ В.2. Электрические машины — электромеханические преобразователи энергии

Изучение электрических машин основано на знаниях физической сущности электрических и магнитных явлений, излагаемых в курсе теоретических основ электротехники. Однако прежде чем приступить к изучению курса «Электрические машины», напомним физический смысл некоторых законов и явлений, лежащих в основе принципа действия электрических машин, в первую очередь закона электромагнитной индукции.

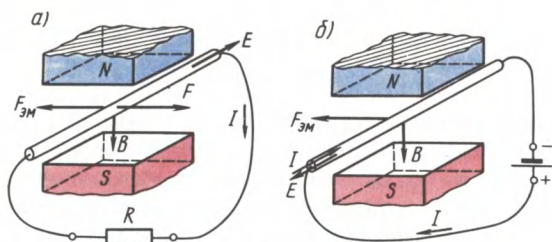


Рис. В.1. К понятиям об «элементарном генераторе» (а) и «элементарном двигателе» (б)

В процессе работы электрической машины в режиме генератора происходит преобразование механической энергии в электрическую. Природа этого процесса объясняется *законом электромагнитной индукции*: если внешней силой F воздействовать на помещенный в магнитное поле проводник и перемещать его (рис. В.1, а), например, слева направо перпендикулярно вектору индукции B магнитного поля, то в проводнике будет наводиться электродвижущая сила (ЭДС)

$$E = Blv, \quad (\text{В.1})$$

где B — магнитная индукция, Тл; l — активная длина проводника, т. е. длина его части, находящейся в магнитном поле, м; v — скорость движения проводника, м/с.

Для определения направления ЭДС следует воспользоваться правилом «правой руки» (рис. В.2, а). Применяв это правило, определим направление ЭДС в проводнике (от нас). Если концы

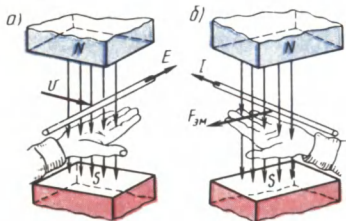


Рис. В.2. Правила «правой руки» и «левой руки»

проводника замкнуты на внешнее сопротивление R (потребитель), то под действием ЭДС в проводнике возникнет ток такого же направления. Таким образом, проводник в магнитном поле можно рассматривать в этом случае как *элементарный генератор*.

В результате взаимодействия тока I с магнитным полем возникает действующая на проводник электромагнитная сила

$$F_{эм} = BIl. \quad (B.2)$$

Направление силы $F_{эм}$ можно определить по правилу «левой руки» (рис. В.2, б). В рассматриваемом случае эта сила направлена справа налево, т. е. противоположно движению проводника. Таким образом, в рассматриваемом элементарном генераторе сила $F_{эм}$ является тормозящей по отношению к движущей силе F .

При равномерном движении проводника $F = F_{эм}$. Умножив обе части равенства на скорость движения проводника, получим

$$Fv = F_{эм}v.$$

Подставим в это выражение значение $F_{эм}$ из (B.2):

$$Fv = BIlv = EI. \quad (B.3)$$

Левая часть равенства определяет значение механической мощности, затрачиваемой на перемещение проводника в магнитном поле; правая часть — значение электрической мощности, развиваемой в замкнутом контуре электрическим током I . Знак равенства между этими частями показывает, что в генераторе механическая мощность, затрачиваемая внешней силой, преобразуется в электрическую.

Если внешнюю силу F к проводнику не прикладывать, а от источника электроэнергии подвести к нему напряжение U так, чтобы ток I в проводнике имел направление, указанное на рис. В.1, б, то на проводник будет действовать только электромагнитная сила $F_{эм}$. Под действием этой силы проводник начнет двигаться в магнитном поле. При этом в проводнике индуцируется ЭДС с направлением, противоположным напряжению U . Таким образом, часть напряжения U , приложенного к проводнику, уравновешивается ЭДС E , наведенной в этом проводнике, а другая часть составляет падение напряжения в проводнике:

$$U = E + Ir, \quad (\text{B.4})$$

где r — электрическое сопротивление проводника.

Умножим обе части равенства на ток I :

$$UI = EI + I^2 r.$$

Подставляя вместо E значение ЭДС из (B.1), получим

$$UI = BlvI + I^2 r,$$

или, согласно (B.2),

$$UI = F_{\text{эм}} v + I^2 r. \quad (\text{B.5})$$

Из этого равенства следует, что электрическая мощность (UI), поступающая в проводник, частично преобразуется в механическую ($F_{\text{эм}} v$), а частично расходуется на покрытие электрических потерь в проводнике ($I^2 r$). Следовательно, проводник с током, помещенный в магнитном поле, можно рассматривать как *элементарный электродвигатель*.

Рассмотренные явления позволяют сделать вывод: а) для любой электрической машины обязательно наличие электропроводящей среды (проводников) и магнитного поля, имеющих возможность взаимного перемещения; б) при работе электрической машины как в режиме генератора, так и в режиме двигателя одновременно наблюдаются индуцирование ЭДС в проводнике, пересекающем магнитное поле, и возникновение силы, действующей на проводник, находящийся в магнитном поле, при протекании по нему электрического тока; в) взаимное преобразование механической и электрической энергий в электрической машине может происходить в любом направлении, т. е. одна и та же электрическая машина может работать как в режиме двигателя, так и в режиме генератора; это свойство электрических машин называют *обратимостью*. Принцип обратимости электрических машин был впервые установлен русским ученым Э. Х. Ленцем.

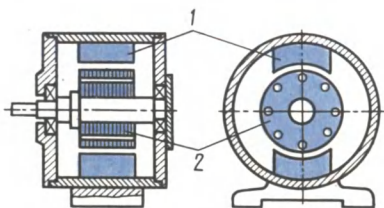
Рассмотренные «элементарные» электрические генератор и двигатель отражают лишь принцип использования в них основных законов и явлений электрического тока. Что же касается конструктивного исполнения, то большинство электрических машин построено на принципе вращательного движения их подвижной части. Несмотря на большое разнообразие конструкций электрических машин, оказывается возможным представить себе некоторую обобщенную конструкцию электрической машины. Такая конструкция (рис. B.3) состоит из неподвижной части 1, называемой *статором*, и вращающейся части 2, называемой *ротором*. Ротор располагается в расточке статора и отделен от него воздушным зазором. Одна из указанных частей машины снабжена элементами, возбуждающими в машине магнитное поле (например, электромагнит или постоянный магнит), а другая — имеет обмотку, которую будем условно называть *рабочей*

обмоткой машины. Как неподвижная часть машины (статор), так и подвижная (ротор) имеют сердечники, выполненные из магнитно-мягкого материала и обладающие небольшим магнитным сопротивлением.

Если электрическая машина работает в режиме генератора, то при вращении ротора (под действием приводного двигателя) в проводниках рабочей обмотки наводится ЭДС и при подключе-

нии потребителя появляется электрический ток. При этом механическая энергия приводного двигателя преобразуется в электрическую. Если машина предназначена для работы в качестве электродвигателя, то рабочая обмотка машины подключается к сети. При этом ток, возникший в проводниках обмотки, взаимодействует с магнитным полем и на роторе возникают электромагнитные силы, приводящие ротор во вращение.

Рис. В.3. Обобщенная конструктивная схема электрической машины



При этом электрическая энергия, потребляемая двигателем из сети, преобразуется в механическую энергию, затрачиваемую на вращение какого-либо механизма, станка и т. п.

Возможны также конструкции электрических машин, у которых рабочая обмотка расположена на статоре, а элементы, возбуждающие магнитное поле, — на роторе. Принцип работы машины при этом остается прежним.

Диапазон мощностей электрических машин весьма широк — от долей ватт до сотен тысяч киловатт.

§ В.3. Классификация электрических машин

Использование электрических машин в качестве генераторов и двигателей является их главным применением, так как связано исключительно с целью взаимного преобразования электрической и механической энергий. Применение электрических машин в различных отраслях техники может иметь и другие цели. Так, потребление электроэнергии часто связано с преобразованием переменного тока в постоянный или же с преобразованием тока промышленной частоты в ток более высокой частоты. Для этих целей применяют *электромашинные преобразователи*.

Электрические машины используют также для усиления мощности электрических сигналов. Такие электрические машины называют *электромашинными усилителями*. Электрические машины, используемые для повышения коэффициента мощности потребителей электроэнергии, называют *синхронными компенсаторами*. Электрические машины, служащие для регулирования напряжения переменного тока, называют *индукционными регуляторами*.

Очень разнообразно применение микромашин в устройствах автоматики и вычислительной техники. Здесь электрические машины используют не только в качестве двигателей, но и в качестве *тахогенераторов* (для преобразования частоты вращения в электрический сигнал), *сельсинов*, *вращающихся трансформаторов* (для получения электрических сигналов, пропорциональных углу поворота вала) и т. п.

Из приведенных примеров видно, сколь разнообразно разделение электрических машин по их назначению.

Рассмотрим классификацию электрических машин по принципу действия, согласно которой все электрические машины разделяются на бесколлекторные и коллекторные, различающиеся как принципом действия, так и конструкцией. Бесколлекторные машины — это машины переменного тока. Они разделяются на асинхронные и синхронные. Асинхронные машины применяются преимущественно в качестве двигателей, а синхронные — как в качестве двигателей, так и в качестве генераторов. Коллекторные машины применяются главным образом для работы на постоянном токе в качестве генераторов или двигателей. Лишь коллекторные машины небольшой мощности делают универсальными двигателями, способными работать как от сети постоянного, так и от сети переменного тока.

Электрические машины одного принципа действия могут различаться схемами включения либо другими признаками, влияющими на эксплуатационные свойства этих машин. Например, асинхронные и синхронные машины могут быть трехфазными (включаемыми в трехфазную сеть), конденсаторными или однофазными. Асинхронные машины в зависимости от конструкции обмотки ротора разделяются на машины с короткозамкнутым ротором и машины с фазным ротором. Синхронные машины и коллекторные машины постоянного тока в зависимости от способа создания в них магнитного поля возбуждения разделяются на машины с обмоткой возбуждения и машины с постоянными магнитами. На переднем форзаце данной книги представлена в виде диаграммы классификация электрических машин, содержащая основные виды электрических машин, получивших наибольшее применение в современном электроприводе. Эта же классификация электрических машин положена в основу изучения курса «Электрические машины».

Курс «Электрические машины» помимо собственно электрических машин предусматривает изучение трансформаторов. Трансформаторы являются статическими преобразователями электроэнергии переменного тока. Отсутствие каких-либо вращающихся частей придает трансформаторам конструкцию, принципиально отличающую их от электрических машин. Однако принцип действия трансформаторов, так же как и принцип действия электрических машин, основан на явлении электромагнитной индукции, и поэтому многие положения теории трансформаторов составляют основу теории электрических машин переменного тока.

Электрические машины и трансформаторы — основные элементы любой энергетической системы или установки, поэтому для специалистов, работающих в сфере производства или эксплуатации электрических машин, необходимы знания теории и понимание физической сущности электромагнитных, механических и тепловых процессов, протекающих в электрических машинах и трансформаторах при их работе.



ТРАНСФОРМАТОРЫ

- **Рабочий процесс трансформатора**
- **Группы соединения обмоток и параллельная работа трансформаторов**
- **Трехобмоточные трансформаторы и авто-трансформаторы**
- **Переходные процессы в трансформаторах**
- **Трансформаторные устройства специального назначения**

Трансформаторы широко применяются в системах передачи и распределения электроэнергии. Известно, что передача электроэнергии на дальние расстояния осуществляется при высоком напряжении (до 500 кВ и более), благодаря чему значительно уменьшаются электрические потери в линии электропередачи. Получить такое высокое напряжение в генераторе невозможно, поэтому электроэнергия после генератора подается на повышающий трансформатор, в котором напряжение увеличивается до требуемого значения. Это напряжение должно быть тем выше, чем больше протяженность линии электропередачи и чем больше передаваемая по этой линии мощность. Например, при передаче электроэнергии мощностью 10^6 кВт на расстояние 1000 км необходимо напряжение 500 кВ. В местах распределения электроэнергии между потребителями устанавливают понижающие трансформаторы, которые понижают напряжение до требуемого значения. И наконец, в местах потребления электроэнергии напряжение еще раз понижают посредством трансформаторов до 220, 380 или 660 В. При таком напряжении электроэнергия подается непосредственно потребителям — на рабочие места предприятий и в



жилые помещения. Таким образом, электроэнергия переменного тока в процессе передачи от электростанции к потребителям подвергается трех-, а иногда и четырехкратному трансформированию. Помимо этого основного применения трансформаторы используются в различных электроустановках (нагревательных, сварочных и т. п.), устройствах автоматики, связи и т. д.



§ 1.1. Назначение и области применения трансформаторов

Трансформатором называют статическое электромагнитное устройство, имеющее две (или более) индуктивно связанные обмотки и предназначенное для преобразования посредством явления электромагнитной индукции одной (первичной) системы переменного тока в другую (вторичную) систему переменного тока.

В общем случае вторичная система переменного тока может отличаться от первичной любыми параметрами: значениями напряжения и тока, числом фаз, формой кривой напряжения (тока), частотой. Наибольшее применение в электротехнических установках, а также в энергетических системах передачи и распределения электроэнергии имеют *силовые трансформаторы*, посредством которых изменяют значения переменного напряжения и тока. При этом число фаз, форма кривой напряжения (тока) и частота остаются неизменными.

В зависимости от назначения трансформаторы разделяют на силовые трансформаторы общего назначения и трансформаторы специального назначения. Силовые трансформаторы общего назначения применяются в линиях передачи и распределения электроэнергии, а также в различных электроустройствах для получения требуемого напряжения. Трансформаторы специального назначения характеризуются разнообразием рабочих свойств и конструктивного использования. К этим трансформаторам относятся печные и сварочные трансформаторы, трансформаторы для устройств автоматики (пик-трансформаторы, импульсные, умножители частоты и т. п.), испытательные и измерительные трансформаторы и т. д.

При изучении данного раздела будем иметь в виду силовые трансформаторы общего назначения, за исключением гл. 5, в которой рассмотрены некоторые виды трансформаторов специального назначения.

§ 1.2. Принцип действия трансформаторов

Простейший силовой трансформатор состоит из магнитопровода (сердечника), выполненного из ферромагнитного материала (обычно листовая электротехническая сталь), и двух обмоток, расположенных на стержнях магнитопровода (рис. 1.1, а). Одна из обмоток, которую называют *первичной*, присоединена к источнику переменного тока Γ на напряжение U_1 . К другой обмотке,

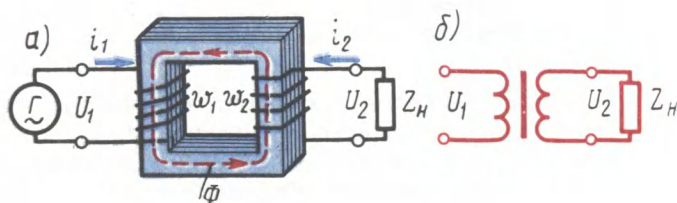


Рис. 1.1. Электромагнитная (а) и принципиальная (б) схемы трансформатора

называемой *вторичной*, подключен потребитель Z_n . Первичная и вторичная обмотки трансформатора не имеют электрической связи друг с другом, и мощность из одной обмотки в другую передается электромагнитным путем. Магнитопровод, на котором расположены эти обмотки, служит для усиления индуктивной связи между обмотками.

Действие трансформатора основано на явлении электромагнитной индукции. При подключении первичной обмотки к источнику переменного тока в витках этой обмотки протекает переменный ток i_1 , который создает в магнитопроводе переменный магнитный поток Φ . Замыкаясь в магнитопроводе, этот поток сцепляется с обеими обмотками (первичной и вторичной) и индуцирует в них ЭДС:

в первичной обмотке ЭДС *самоиндукции*

$$e_1 = -w_1(d\Phi/dt), \quad (1.1)$$

во вторичной обмотке ЭДС *взаимоиндукции*

$$e_2 = -w_2(d\Phi/dt), \quad (1.2)$$

где w_1 и w_2 — число витков в первичной и вторичной обмотках трансформатора.

При подключении нагрузки Z_n к выводам вторичной обмотки трансформатора под действием ЭДС e_2 в цепи этой обмотки создается ток i_2 , а на выводах вторичной обмотки устанавливается напряжение U_2 . В повышающих трансформаторах $U_2 > U_1$, а в понижающих $U_2 < U_1$.

Из (1.1) и (1.2) видно, что ЭДС e_1 и e_2 , наводимые в обмотках трансформатора, отличаются друг от друга лишь за счет разного числа витков w_1 и w_2 в обмотках, поэтому, применяя

обмотки с требуемым соотношением витков, можно изготовить трансформатор на любое отношение напряжений.

Обмотку трансформатора, подключенную к сети с более высоким напряжением, называют *обмоткой высшего напряжения* (ВН); обмотку, присоединенную к сети меньшего напряжения, — *обмоткой низшего напряжения* (НН).

На рис. 1.1, б показано изображение однофазного трансформатора на принципиальных электрических схемах.

Трансформаторы обладают свойством обратимости, один и тот же трансформатор можно использовать в качестве повышающего и понижающего. Но обычно трансформатор имеет определенное назначение: либо он повышающий, либо — понижающий.

Трансформатор — это аппарат переменного тока. Если же его первичную обмотку подключить к источнику постоянного тока, то магнитный поток в магнитопроводе трансформатора также будет постоянным как по величине, так и по направлению ($d\Phi/dt = 0$), поэтому в обмотках трансформатора не будет наводиться ЭДС, а следовательно, электроэнергия из первичной цепи *не будет* передаваться во вторичную.

Классифицируют трансформаторы по нескольким признакам: по назначению — силовые общего назначения, силовые специального назначения, импульсные, для преобразования частоты и т. д.;

по виду охлаждения — с воздушным (сухие трансформаторы) и масляным (масляные трансформаторы) охлаждением (см. § 1.3);

по числу трансформируемых фаз — однофазные и трехфазные;

по форме магнитопровода — стержневые, броневые, бронестержневые, тороидальные;

по числу обмоток на фазу — двухобмоточные, многообмоточные.

На заднем форзаце данной книги представлена диаграмма классификации силовых трансформаторов общего назначения.

§ 1.3. Устройство трансформаторов

Современный трансформатор состоит из различных конструктивных элементов: магнитопровода, обмоток, вводов, бака и др. Магнитопровод с насаженными на его стержни обмотками составляет *активную часть* трансформатора. Остальные элементы трансформатора называют *неактивными* (вспомогательными) *частями*. Рассмотрим подробнее конструкцию основных частей трансформатора.

Магнитопровод. Магнитопровод в трансформаторе выполняет две функции: во-первых, он составляет магнитную цепь, по которой замыкается основной магнитный поток трансформатора, а во-вторых, он является основой для установки и крепления обмо-

ток, отводов, переключателей. Магнитопровод имеет шихтованную конструкцию, т. е. он состоит из тонких (обычно толщиной 0,5 мм) стальных пластин, покрытых с двух сторон изолирующей пленкой (например, лаком). Такая конструкция магнитопровода обусловлена стремлением ослабить вихревые токи, наводимые в нем переменным магнитным потоком, а следовательно, уменьшить величину потерь энергии в трансформаторе.

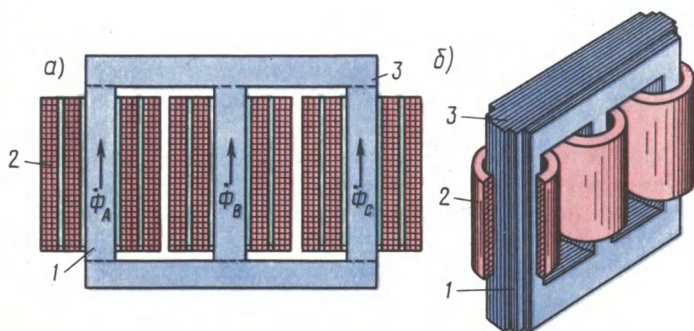


Рис. 1.2. Магнитопровод трехфазного трансформатора стержневого типа с обмотками

Силовые трансформаторы выполняются с магнитопроводами трех типов: стержневого, броневого и бронестержневого.

В магнитопроводе стержневого типа (рис. 1.2, а) вертикальные стержни 1, на которых расположены обмотки 2, сверху и снизу замкнуты ярмами 3. На каждом стержне расположены обмотки соответствующей фазы и проходит магнитный поток этой фазы: в крайних стержнях — потоки Φ_A и Φ_C , а в среднем стержне — поток Φ_B .

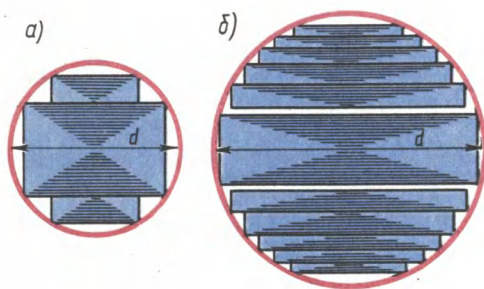


Рис. 1.3. Форма сечения стержней:

а — трансформаторов малой и средней мощности,
б — трансформаторов большой мощности

На рис. 1.2, б показан внешний вид магнитопровода. При этом стержни имеют ступенчатое сечение, вписываемое в круг диаметром d (рис. 1.3). Стержни трансформаторов большой мощности имеют много ступеней, что обеспечивает лучшее использование площади круга внутри обмотки. Для лучшей теплоотдачи иногда между отдельными

пакетами стержня оставляют воздушные зазоры шириной 5—6 мм, служащие вентиляционными каналами.

Магнитопровод броневого типа представляет собой разветвленную конструкцию со стержнем и ярмами, частично

прикрывающими («бронирующими») обмотки (рис. 1.4). Магнитный поток в стержне магнитопровода броневого типа в два раза больше, чем в ярмах, каждое из которых имеет сечение, вдвое меньшее сечения стержня. Из-за технологической сложности изготовления магнитопроводы броневого типа не получили широкого распространения, их применяют лишь в силовых трансформаторах весьма малой мощности (радиотрансформаторы).

В трансформаторах большой мощности применяют бронестержневую конструкцию магнитопровода (рис. 1.5), которая хотя и требует несколько повышенного расхода электротехнической стали, но позволяет уменьшить высоту магнитопровода ($H_{БС} < H_C$), а следовательно, и высоту трансформатора. Это имеет важное значение при транспортировке трансформаторов по железной дороге.

По способу сочленения стержней с ярами различают стыковую и шихтованную конструкции стержневого магнитопровода (рис. 1.6).

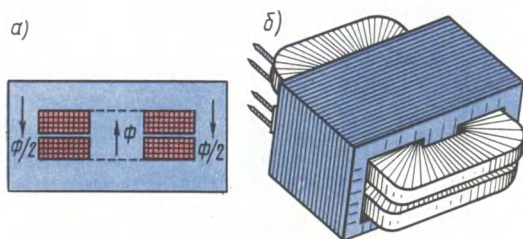


Рис. 1.4. Однофазный трансформатор броневого типа:

а — устройство, б — внешний вид

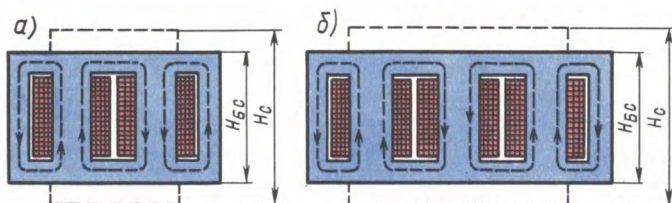


Рис. 1.5. Магнитопроводы бронестержневых трансформаторов:

а — однофазного, б — трехфазного

При стыковой конструкции (рис. 1.6, а) стержни и ярма собирают отдельно, насаживают обмотки на стержни, а затем приставляют верхнее и нижнее ярма, заранее проложив изолирующие прокладки между стыкующимися элементами, с целью ослабления вихревых токов, возникающих при взаимном перекрытии листов стержней и ярм. После установки двух ярм всю конструкцию прессуют и стягивают вертикальными шпильками. Стыковая конструкция хотя и облегчает сборку магнитопровода, но не получила распространения в силовых трансформаторах из-за громоздкости стяжных устройств и необходимости меха-

нической обработки стыкующихся поверхностей для уменьшения магнитного сопротивления в месте стыка.

Шихтованная конструкция магнитопроводов силовых трансформаторов показана на рис. 1.6, б, когда стержни и ярма собирают слоями в переплет. Обычно слой содержит 2—3 листа. В настоящее время магнитопроводы силовых трансформаторов изготавливают из холоднокатаной электротехнической

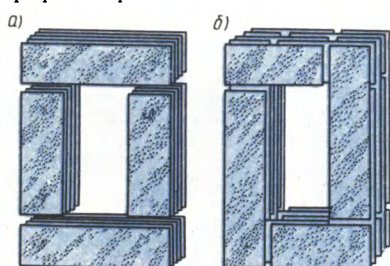


Рис. 1.6. Стыковая (а) и шихтованная (б) конструкции магнитопроводов

стали, у которой магнитные свойства вдоль направления прокатки листов лучше, чем поперек. Поэтому при шихтованной конструкции в местах поворота листов на 90° появляются «зоны несовпадения» направления прокатки с направлением магнитного потока. На этих участках наблюдаются увеличение магнитного сопротивления и рост магнитных потерь. С целью ослабления этого явления применяют для шихтовки пластины (полосы) со скошенными краями. В этом случае вместо прямого стыка (рис. 1.7, а) получают косой стык (рис. 1.7, б), у которого «зона несовпадения» гораздо меньше.

Недостатком магнитопроводов шихтованной конструкции является некоторая сложность сборки, так как для насадки обмоток на стержни приходится расшихтовывать верхнее ярмо, а затем после насадки обмоток вновь его зашихтовывать.

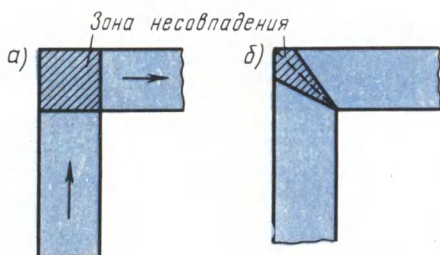


Рис. 1.7. «Зоны несовпадения» при прямом (а) и косом (б) стыках

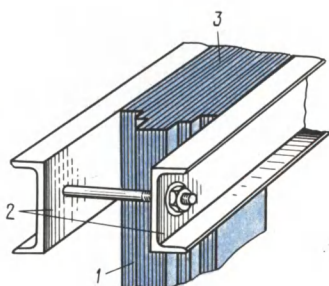


Рис. 1.8. Опрессовка ярма

Стержни магнитопроводов во избежание распушения опрессовывают (скрепляют). Делают это обычно наложением на стержень бандажа из стеклоленты или стальной проволоки. Стальной бандаж выполняют с изолирующей пряжкой, что исключает создание замкнутых стальных витков на стержнях. Бандаж накладывают равномерно, с определенным натягом. Для опрессовки ярм 3 и мест их сочленения со стержнями 1

используют ярмовые балки 2, которые в местах, выходящих за крайние стержни (рис. 1.8), стягивают шпильками.

Во избежание возникновения разности потенциалов между металлическими частями во время работы трансформатора, что может вызвать пробой изоляционных промежутков, разделяющих эти части, магнитопровод и детали его крепления **обязательно заземляют**. Заземление осуществляют медными лентами, вставляемыми между стальными пластинами магнитопровода одними концами и прикрепляемыми к ярмовым балкам другими концами.

Магнитопроводы трансформаторов малой мощности (обычно мощностью не более $1 \text{ кВ} \cdot \text{А}$) чаще всего изготовляют из узкой ленты электротехнической холоднокатаной стали путем навивки. Такие магнитопроводы делают разрезными (рис. 1.9), а после насадки обмоток собирают встык и стягивают специальными хомутами.

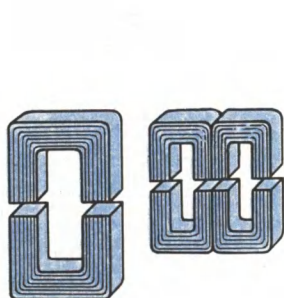


Рис. 1.9. Ленточные разрезные магнитопроводы

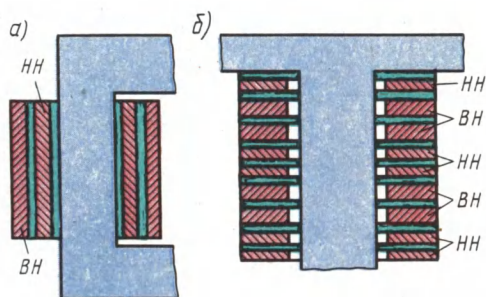


Рис. 1.10. Концентрическая (а) и дисковая (б) обмотки трансформаторов

Обмотки. Обмотки трансформаторов средней и большой мощности выполняют из обмоточных проводов круглого или прямоугольного сечения, изолированных хлопчатобумажной пряжей или кабельной бумагой. Основной обмотки в большинстве случаев является бумажно-бакелитовый цилиндр, на котором крепятся элементы (рейки, угловые шайбы и т. п.), обеспечивающие обмотке механическую и электрическую прочность.

По взаимному расположению на стержне обмотки разделяют на концентрические и чередующиеся. Концентрические обмотки выполняют в виде цилиндров, размещаемых на стержне концентрически: ближе к стержню обычно располагают обмотку НН (требующую меньшей изоляции от стержня), а снаружи — обмотку ВН (рис. 1.10, а).

Чередующиеся (дисковые) обмотки выполняют в виде отдельных секций (дисков) НН и ВН и располагают на стержне в чередующемся порядке (рис. 1.10, б). Чередующиеся обмотки применяют весьма редко, лишь в некоторых трансформаторах специального назначения.

Концентрические обмотки в конструктивном отношении разделяют на несколько типов. Рассмотрим некоторые из них.

1. *Цилиндрические* однослойные или двухслойные обмотки из провода прямоугольного сечения (рис. 1.11, а) используют главным образом в качестве обмоток НН на номинальный ток до 800 А.

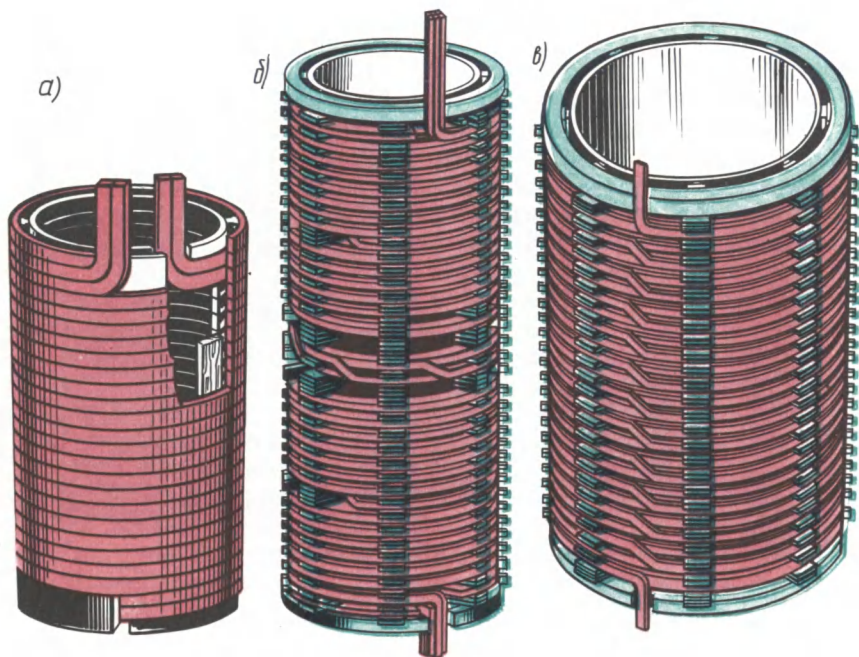


Рис. 1.11. Конструкция концентрических обмоток

2. *Винтовые* одно- и многоходовые обмотки выполняют из нескольких параллельных проводов прямоугольного сечения. При этом витки укладывают по винтовой линии, имеющей один или несколько ходов (рис. 1.11, б). Для того чтобы все параллельные проводники одинаково нагружались током, выполняют *транспозицию* (перекладку) этих проводников. При транспозиции стремятся, чтобы в пределах одного витка каждый проводник занимал все положения. Транспозиция может быть групповой (рис. 1.12, а), когда параллельные провода делятся на две группы и перестановка осуществляется группами, и общей, когда меняется взаимное расположение всех параллельных проводов (рис. 1.12, б).

3. *Непрерывные обмотки* (рис. 1.11, в) состоят из отдельных дисковых обмоток (секций), намотанных по спирали и соединенных между собой без пайки, т. е. выполненных «непрерывно». Если обмотка выполняется несколькими параллельными прово-

дами, то в ней применяют транспозицию проводов. Непрерывные обмотки, несмотря на некоторую сложность изготовления, получили наибольшее применение в силовых трансформаторах как в качестве обмоток ВН, так и в качестве обмоток НН. Это объясняется их большой механической прочностью и надежностью.

В трансформаторах с масляным охлаждением магнитопровод с обмотками помещен в бак, наполненный трансформаторным маслом (рис. 1.13). Трансформаторное масло, омывая обмотки 2 и 3 и магнитопровод 1, отбирает от них тепло-

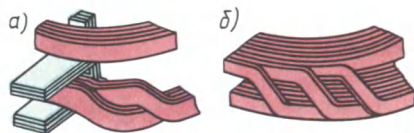


Рис. 1.12. Транспозиция в винтовых обмотках

ту и, обладая более высокой теплопроводностью, чем воздух, через стенки бака 4 и трубы радиатора 5 отдает ее в окружающую среду. Наличие трансформаторного масла обеспечивает более надежную работу высоковольтных трансформаторов, так как электрическая прочность масла намного выше, чем воздуха. Масляное охлаждение интенсивнее воздушного, поэтому габариты и вес масляных трансформаторов меньше, чем у сухих трансформаторов такой же мощности.

В трансформаторах мощностью до 20—30 кВ·А применяют баки с гладкими стенками. У более мощных трансформаторов для увеличения охлаждаемой поверхности стенки бака делают ребристыми или же применяют трубчатые баки. Масло, нагреваясь, поднимается вверх, а охлаждаясь, опускается вниз. При этом масло циркулирует в трубах, что способствует более быстрому его охлаждению (см. § 31.5).

Для компенсации объема масла при изменении температуры, а также для защиты масла от окисления и увлажнения при контакте с воздухом в трансформаторах применяют расширитель 9, представляющий собой цилиндрический сосуд, установленный на крышке бака и сообщающийся с ним. Колебания уровня масла с изменением его температуры происходят не в баке, который всегда заполнен маслом, а в расширителе, сообщающемся с атмосферой.

В процессе работы трансформаторов не исключена возможность возникновения в них явлений, сопровождающихся бурным выделением газов, что ведет к значительному увеличению давления внутри бака, поэтому во избежание повреждения баков трансформаторы мощностью 1000 кВ·А и выше снабжают выхлопной трубой, которую устанавливают на крышке бака. Нижним концом труба сообщается с баком, а ее верхний конец заканчивается фланцем, на котором укреплен стеклянный диск. При давлении, превышающем безопасное для бака, стеклянный диск ломается и газы выходят наружу.

В трубопровод, соединяющий бак масляного трансформатора с расширителем, помещено газовое реле. При возникновении в

трансформаторе значительных повреждений, сопровождаемых обильным выделением газов (например, при коротком замыкании между витками обмоток), газовое реле срабатывает и замыкает контакты цепи управления выключателя, который отключает трансформатор от сети. Обмотки трансформатора с внешней цепью соединяют вводами 7 и 8. В масляных трансформаторах для вводов обычно используют проходные фарфоровые изоля-

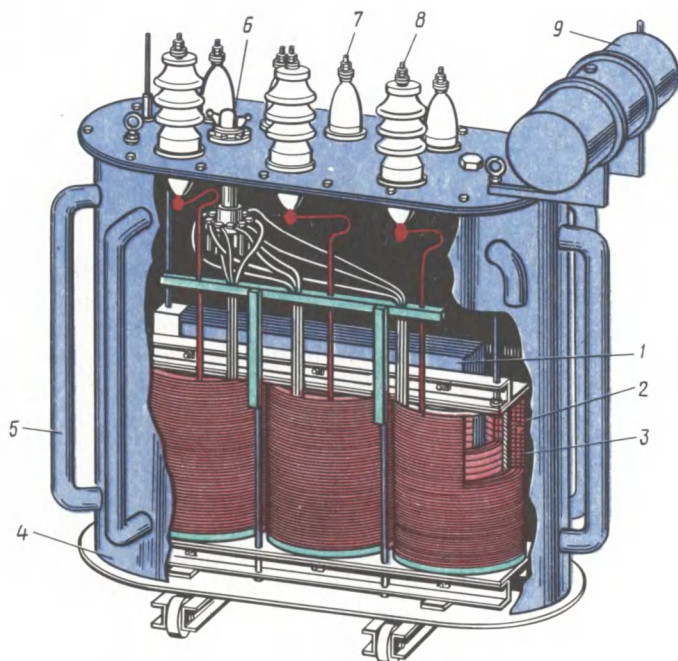


Рис. 1.13. Устройство трансформатора с масляным охлаждением

торы. Такой ввод снабжен металлическим фланцем, посредством которого он крепится к крышке или стенке бака. К дну бака прикреплена тележка, позволяющая перемещать трансформатор в пределах подстанции. На крышке бака расположена рукоятка переключателя напряжений 6 (см. § 1.15).

Свойства трансформатора определяются его *номинальными параметрами*: 1) номинальное первичное линейное напряжение $U_{1\text{ном}}$, В или кВ; 2) номинальное вторичное линейное напряжение $U_{2\text{ном}}$ (напряжение на выводах вторичной обмотки при отключенной нагрузке и номинальном первичном напряжении), В или кВ; 3) номинальные линейные токи в первичной $I_{1\text{ном}}$ и вторичной $I_{2\text{ном}}$ обмотках, А; 4) номинальная полная мощность $S_{\text{ном}}$, кВ·А (для однофазного трансформатора $S_{\text{ном}} = U_{1\text{ном}} I_{1\text{ном}}$, для трехфазного — $S_{\text{ном}} = \sqrt{3} U_{1\text{ном}} I_{1\text{ном}}$).

Номинальные линейные токи вычисляют по номинальной мощности трансформатора: для трехфазного трансформатора

$$I_{1\text{ном}} = \frac{S_{\text{ном}} 10^3}{\sqrt{3} U_{1\text{ном}}}; \quad I_{2\text{ном}} = \frac{S_{\text{ном}} 10^3}{\sqrt{3} U_{2\text{ном}}}, \quad (1.3)$$

где $S_{\text{ном}}$ — номинальная мощность трехфазного трансформатора, кВ·А.

Каждый трансформатор рассчитан для включения в сеть переменного тока определенной частоты. В СССР трансформаторы общего назначения рассчитаны на частоту $f = 50$ Гц (в некоторых других странах $f = 60$ Гц), в устройствах автоматики и связи применяют трансформаторы на частоты 50, 400 или 1000 Гц.

Пример 1.1. Номинальные значения первичного и вторичного напряжений однофазного трансформатора $U_{1\text{ном}} = 110$ кВ, $U_{2\text{ном}} = 6,3$ кВ, номинальный первичный ток $I_{1\text{ном}} = 95,5$ А. Определить номинальную мощность трансформатора $S_{\text{ном}}$ и номинальный вторичный ток $I_{2\text{ном}}$.

Решение Номинальная мощность трансформатора $S_{\text{ном}} = U_{1\text{ном}} I_{1\text{ном}} = 110 \cdot 95,5 = 10\,500$ кВ·А. Номинальный вторичный ток $I_{2\text{ном}} = S_{\text{ном}} / U_{2\text{ном}} = 10\,500 / 6,3 = 1666$ А.

§ 1.4. Уравнения напряжений трансформатора

Основной переменный магнитный поток Φ в магнитопроводе трансформатора, сцепляясь с витками обмоток ω_1 и ω_2 (см. рис. 1.1), наводит в них ЭДС [см. (1.1) и (1.2)]

$$e_1 = -\omega_1(d\Phi/dt); \quad e_2 = -\omega_2(d\Phi/dt).$$

Предположим, что магнитный поток Φ является синусоидальной функцией времени, т. е.

$$\Phi = \Phi_{\text{max}} \sin \omega t, \quad (1.4)$$

где Φ_{max} — максимальное значение потока.

Тогда, подставив (1.4) в формулу ЭДС e_1 и дифференцируя, получим

$$e_1 = -\omega \omega_1 \Phi_{\text{max}} \cos \omega t. \quad (1.5)$$

Но так как $\cos \omega t = -\sin(\omega t - \pi/2)$, то

$$e_1 = \omega \omega_1 \Phi_{\text{max}} \sin(\omega t - \pi/2). \quad (1.6)$$

По аналогии,

$$e_2 = \omega \omega_2 \Phi_{\text{max}} \sin(\omega t - \pi/2). \quad (1.7)$$

Из (1.6) и (1.7) следует, что ЭДС e_1 и e_2 отстают по фазе от потока Φ на угол $\pi/2$. Максимальное значение ЭДС

$$E_{1\text{max}} = \omega \omega_1 \Phi_{\text{max}}. \quad (1.8)$$

Разделив $E_{1\text{max}}$ на $\sqrt{2}$ и подставив $\omega = 2\pi f$, получим действующее значение первичной ЭДС (В):

$$E_1 = E_{1\text{max}} / \sqrt{2} = (2\pi / \sqrt{2}) \omega_1 f \Phi_{\text{max}} = 4,44 \omega_1 f \Phi_{\text{max}}. \quad (1.9)$$

Аналогично, для вторичной ЭДС

$$E_2 = 4,44\omega_2 f \Phi_{\max}. \quad (1.10)$$

Отношение ЭДС обмотки высшего напряжения к ЭДС обмотки низшего напряжения называют *коэффициентом трансформации*:

$$k = E_1/E_2 = \omega_1/\omega_2. \quad (1.11)$$

При практических расчетах коэффициент трансформации с некоторым допущением принимают равным отношению номинальных напряжений обмоток ВН и НН: $k \approx U_{1\text{ном}}/U_{2\text{ном}}$.

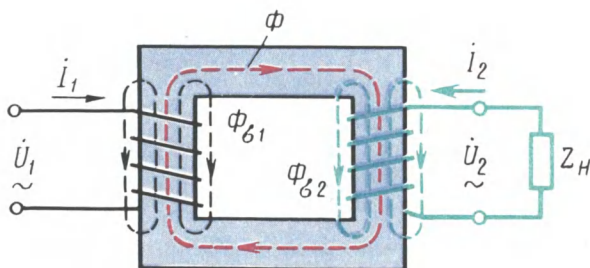


Рис 1.14. Магнитные потоки в однофазном трансформаторе

Токи I_1 и I_2 в обмотках трансформатора помимо основного магнитного потока Φ создают магнитные потоки рассеяния $\Phi_{\sigma 1}$ и $\Phi_{\sigma 2}$ (рис. 1.14), каждый из которых сцеплен с витками лишь собственной обмотки и индуцирует в ней ЭДС рассеяния. Эти ЭДС в первичной и вторичной обмотках таковы:

$$e_{\sigma 1} = -L_{\sigma 1}(di_1/dt); \quad e_{\sigma 2} = -L_{\sigma 2}(di_2/dt),$$

где $L_{\sigma 1}$ и $L_{\sigma 2}$ — индуктивности рассеяния.

Так как магнитные потоки рассеяния замыкаются главным образом в немагнитной среде (воздух, масло, медь), магнитная проницаемость которой постоянна, то и индуктивности $L_{\sigma 1}$ и $L_{\sigma 2}$ можно считать постоянными.

Действующие значения ЭДС рассеяния пропорциональны токам в соответствующих обмотках:

$$\dot{E}_{\sigma 1} = -jI_1x_1; \quad \dot{E}_{\sigma 2} = -jI_2x_2, \quad (1.12)$$

где x_1 и x_2 — индуктивные сопротивления рассеяния первичной и вторичной обмоток соответственно, Ом (знак минус в этих выражениях свидетельствует о реактивности ЭДС рассеяния).

Таким образом, в каждой из обмоток трансформатора индуцируются по две ЭДС: ЭДС от основного потока Φ и ЭДС от потока рассеяния ($\Phi_{\sigma 1}$ в первичной обмотке и $\Phi_{\sigma 2}$ во вторичной обмотке).

Для первичной цепи трансформатора, включенной в сеть на напряжение U_1 , с учетом падения напряжения в активном сопротивлении первичной обмотки r_1 можно записать уравнение напряжений по второму закону Кирхгофа:

$$\dot{U}_1 + \dot{E}_1 + \dot{E}_{\sigma 1} = \dot{I}_1 r_1,$$

или, перенеся ЭДС \dot{E}_1 и $\dot{E}_{\sigma 1}$ в правую часть уравнения и выразив ЭДС рассеяния через индуктивное сопротивление рассеяния x_1 , получим *уравнение напряжений для первичной цепи трансформатора*:

$$\dot{U}_1 = (-\dot{E}_1) + j\dot{I}_1 x_1 + \dot{I}_1 r_1. \quad (1.13)$$

ЭДС первичной обмотки E_1 , наведенная основным магнитным потоком Φ , представляет собой ЭДС самоиндукции, а поэтому находится в противофазе с подведенным к первичной обмотке напряжением U_1 .

Обычно индуктивное $j\dot{I}_1 x_1$ и активное $\dot{I}_1 r_1$ падения напряжения невелики, а поэтому с некоторым приближением можно считать, что подведенное к трансформатору напряжение U_1 уравновешивается ЭДС E_1 , т. е.

$$\dot{U}_1 \approx (-\dot{E}_1). \quad (1.14)$$

Для вторичной цепи трансформатора, замкнутой на нагрузку с сопротивлением Z_n , уравнение напряжений имеет вид

$$\dot{E}_2 + \dot{E}_{\sigma 2} = \dot{I}_2 r_2 + \dot{I}_2 Z_n, \quad (1.15)$$

т. е. сумма ЭДС, наведенных во вторичной обмотке $(\dot{E}_2 + \dot{E}_{\sigma 2})$, уравновешивается суммой падений напряжений $(\dot{I}_2 r_2 + \dot{I}_2 Z_n)$. Здесь r_2 — активное сопротивление вторичной обмотки. Падение напряжения на нагрузке $\dot{I}_2 Z_n$ представляет собой напряжение на выводах вторичной обмотки трансформатора:

$$\dot{I}_2 Z_n = U_2. \quad (1.16)$$

Приведем уравнение (1.15) к виду, аналогичному уравнению ЭДС для первичной цепи (1.13). При этом учтем выражения (1.12) и (1.16) и получим *уравнение напряжений для вторичной цепи трансформатора*:

$$\dot{U}_2 = \dot{E}_2 - j\dot{I}_2 x_2 - \dot{I}_2 r_2 = \dot{I}_2 Z_n. \quad (1.17)$$

Из этого уравнения следует, что напряжение на выходе нагруженного трансформатора отличается от ЭДС вторичной обмотки на значение падения напряжения во вторичной обмотке.

Пример 1.2. Имеется однофазный трансформатор (рис. 1.14) номинальной мощностью $S_{\text{ном}} = 100 \text{ кВ} \cdot \text{А}$ и номинальными напряжениями $U_{1 \text{ ном}} = 6000 \text{ В}$ и $U_{2 \text{ ном}} = 400 \text{ В}$ при частоте тока $f = 50 \text{ Гц}$; действующее значение напряжения, приходящееся на один виток обмоток, $U_{\text{вит}} = 5 \text{ В}$.

Определить: числа витков обмоток трансформатора w_1 и w_2 ; поперечное сечение обмоточных проводов первичной q_1 и вторичной q_2 обмоток, если плотность тока в этих проводах $\Delta = 4,0 \text{ А/мм}^2$; площадь поперечного сечения стержня маг-

нилопровода $Q_{ст}$, если максимальное значение магнитной индукции в стержне $B_{ст} = 1,4$ Тл.

Решение. По номинальным значениям напряжений $U_{1 ном}$ и $U_{2 ном}$ определяем числа витков в обмотках:

$$\omega_1 = U_{1 ном}/U_{вит} = 6000/5 = 1200; \quad \omega_2 = U_{2 ном}/U_{вит} = 400/5 = 80.$$

Номинальные значения токов в обмотках:

$$I_{1 ном} = S_{ном}/U_1 = 100 \cdot 10^3/6000 = 16,7 \text{ А}; \quad I_{2 ном} = S_{ном}/U_2 = 100 \cdot 10^3/400 = 250 \text{ А}.$$

Поперечные сечения обмоточных проводов:

$$q_1 = I_{1 ном}/\Delta = 16,7/4 = 4,175 \text{ мм}^2; \quad q_2 = I_{2 ном}/\Delta = 250/4 = 62,5 \text{ мм}^2.$$

Основной магнитный поток в стержне определим, используя выражение (1 10) и учитывая, что номинальное вторичное напряжение $U_{2 ном} = E_2$:

$$\Phi_{max} = E_2/(4,44f\omega_2) = 400/(4,44 \cdot 50 \cdot 80) = 0,0225 \text{ Вб}$$

Поперечное сечение стержня магнитопровода

$$Q_{ст} = \Phi_{max}/(k_c B_{ст}) = 0,0225/(0,93 \cdot 1,4) = 0,017 \text{ м}^2,$$

где $k_c = 0,93$ — коэффициент заполнения шихтованного стержня сталью, учитывающий увеличение сечения стержня прослойками изоляционного лака между стальными полосами.

§ 1.5. Уравнения магнитодвижущих сил и токов

Предположим, что трансформатор работает в режиме холостого хода (рис. 1.15, а), т. е. к зажимам его первичной обмотки подведено напряжение U_1 , а вторичная обмотка разомкнута ($I_2 = 0$). Ток I_0 в первичной обмотке при этих условиях называют *током холостого хода*.

Магнитодвижущая сила (МДС) $I_0\omega_1$, созданная этим током, наводит в магнитопроводе трансформатора основной магнитный поток, максимальное значение которого

$$\Phi_{max} = \sqrt{2} I_0\omega_1/R_m, \quad (1.18)$$

где R_m — магнитное сопротивление магнитопровода.

При замыкании вторичной обмотки на нагрузку Z_n (рис. 1.15, б) в ней возникает ток I_2 . При этом ток в первичной обмотке увеличивается до значения I_1 .

Теперь поток Φ_{max} создается действиями МДС $I_1\omega_1$ и $I_2\omega_2$:

$$\Phi_{max} = (\sqrt{2}/R_m)(I_1\omega_1 + I_2\omega_2). \quad (1.19)$$

Этот поток можно определить из (1.9):

$$\Phi_{max} = E_1/(4,44\omega_1 f),$$

или, принимая во внимание, что $\dot{U}_1 \approx (-\dot{E}_1)$, получим

$$\Phi_{max} \approx U_1/(4,44f\omega_1). \quad (1.20)$$

Из (1.20) следует, что значение основного магнитного потока Φ практически не зависит от нагрузки трансформатора, так как напряжение U_1 неизменно. Однако следует иметь в виду, что это

положение является приближенным и относится к случаям нагрузки, не превышающим номинальную. Объясняется это тем, что положение о неизменности потока Φ принято на основании уравнения $\dot{U}_1 \approx (-\dot{E}_1)$, которое не учитывает падений напряжения в первичной цепи [сравните с (1.13)].

Принятое положение $\Phi = \text{const}$ позволяет приравнять выражения (1.18) и (1.19):

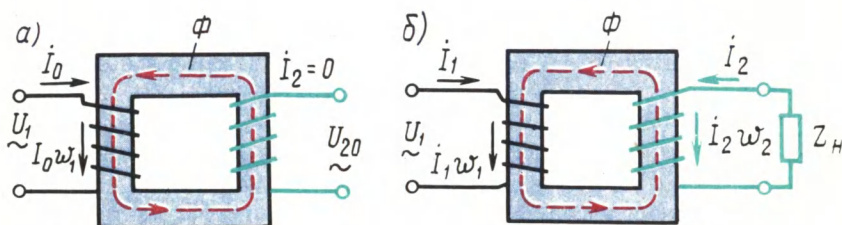


Рис. 1.15. Режимы холостого хода (а) и нагрузки (б) в однофазном трансформаторе

$$(\sqrt{2}/R_m) \dot{I}_0 \omega_1 = (\sqrt{2}/R_m) (\dot{I}_1 \omega_1 + \dot{I}_2 \omega_2)$$

и получить уравнение МДС трансформатора:

$$\dot{I}_0 \omega_1 = \dot{I}_1 \omega_1 + \dot{I}_2 \omega_2. \quad (1.21)$$

Преобразуя (1.21), можно МДС первичной обмотки $\dot{I}_1 \omega_1$ представить в виде суммы двух составляющих:

$$\dot{I}_1 \omega_1 = \dot{I}_0 \omega_1 + (-\dot{I}_2 \omega_2).$$

Составляющая $\dot{I}_0 \omega_1$ наводит в магнитопроводе трансформатора основной магнитный поток Φ , а составляющая $-\dot{I}_2 \omega_2$ уравновешивает МДС вторичной обмотки $\dot{I}_2 \omega_2$.

Воздействие МДС вторичной обмотки трансформатора $\dot{I}_2 \omega_2$ на основной магнитный поток Φ можно объяснить с помощью правила Ленца. В соответствии с этим правилом наведенная в обмотке ЭДС создает в этой обмотке такой ток, который своим магнитным действием направлен против причины, вызвавшей появление этой ЭДС. Причиной наведения ЭДС E_2 во вторичной обмотке трансформатора является основной магнитный поток Φ , поэтому ток во вторичной обмотке I_2 создает МДС $I_2 \omega_2$, направленную встречно потоку Φ , т. е. находящуюся с ним в противофазе и стремящуюся ослабить этот поток. Если бы обмотка ω_2 была замкнута накоротко или на чисто индуктивное сопротивление и при этом не обладала активным сопротивлением, то ток I_2 отставал бы по фазе от ЭДС E_2 на угол $\psi_2 = 90^\circ$ и вся МДС $I_2 \omega_2$ оказывала бы на магнитопровод размагничивающее действие. Но в реальных условиях вторичная обмотка замкнута на сопро-

тивление нагрузки $Z_n = r_n \pm jx_n$, да к тому же она сама обладает активным сопротивлением r_2 . Поэтому фазовый сдвиг тока I_2 от ЭДС \dot{E}_2 отличается от 90° и с основным магнитным потоком Φ взаимодействует не вся МДС $I_2 w_2$, а лишь ее реактивная составляющая.

При активно-индуктивной нагрузке, когда $Z_n = r_n + jx_n$ и ток нагрузки I_2 отстает по фазе от ЭДС вторичной обмотки E_2 на угол ψ_2 , МДС $I_2 w_2$ своей реактивной (индуктивной) составляющей $I_{2p} w_2$ оказывает на магнитопровод трансформатора *размагничивающее* действие:

$$I_{2p} w_2 = I_2 w_2 \sin \psi_2,$$

где $I_{2p} = I_2 \sin \psi_2$ — реактивная составляющая тока нагрузки.

На рис. 1.16, а представлена векторная диаграмма МДС для случая активно-индуктивной нагрузки трансформатора. На диаграмме вектор ЭДС вторичной обмотки \dot{E}_2 от-

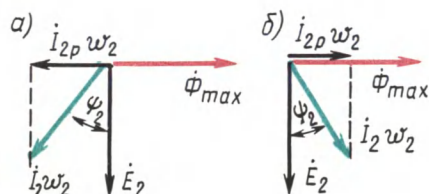


Рис. 1.16. Векторные диаграммы МДС трансформатора при активно-индуктивной (а) и активно-емкостной (б) нагрузках

стает по фазе от вектора основного магнитного потока Φ_{\max} на угол 90° , а вектор МДС вторичной обмотки $I_2 w_2$ отстает по фазе от ЭДС \dot{E}_2 на угол ψ_2 (рис. 1.16, а). Из выполненных на этой диаграмме построений видно, что реактивная (индуктивная) составляющая МДС вторичной обмотки $I_{2p} w_2$ находится в противофазе с основным магнитным потоком Φ_{\max} , т. е. оказывает на магнитопровод трансформатора размагничивающее действие.

Анализируя работу трансформатора, необходимо отметить, что при нагрузке трансформатора в пределах номинального значения основной магнитный поток Φ изменяется весьма незначительно и принятое ранее положение $\Phi \approx \text{const}$ вполне допустимо. Происходит это потому, что МДС вторичной обмотки $I_2 w_2$, реактивная составляющая которой оказывает на магнитопровод размагничивающее действие, компенсируется составляющей первичной МДС:

$$(-I_2 w_2) = I_1 w_1 - I_0 w_1. \quad (1.22)$$

При колебаниях нагрузки трансформатора I_2 изменяется МДС вторичной обмотки $I_2 w_2$, а это вызывает соответствующие изменения МДС первичной обмотки $I_1 w_1$ за счет ее составляющей — $I_2 w_2$. Что же касается составляющей МДС холостого хода $I_0 w_1$, то ее значение остается практически неизменным, достаточным для создания в магнитопроводе трансформатора основного магнитного потока $\Phi \approx \text{const}$.

При активно-емкостной нагрузке трансформатора, когда $Z_n = r_n - jx_n$ и ток нагрузки I_2 опережает по фазе ЭДС \dot{E}_2 на угол ψ_2 , реактивная (емкостная) составляющая МДС

вторичной обмотки $I_2 \omega_2$ совпадает по фазе с основным магнитным потоком Φ_{\max} и *подмагничивает* магнитопровод трансформатора (рис. 1.16, б). В этом случае, так же как и при активно-индуктивной нагрузке, составляющая первичной МДС — $I_2 \omega_2 = I_1 \omega_1 - I_0 \omega_1$ компенсирует действие вторичной МДС $I_2 \omega_2$.

Разделив уравнение МДС (1.21) на число витков ω_1 , получим

$$I_0 = I_1 + I_2 \omega_2 / \omega_1, \text{ или } I_0 = I_1 + I_2', \quad (1.23)$$

где $I_2' = I_2 \omega_2 / \omega_1$ — ток нагрузки (вторичный ток), приведенный к числу витков первичной обмотки.

Другими словами, это такой ток, который в обмотке с числом витков ω_1 создает такую же МДС, что и ток I_2 во вторичной обмотке ω_2 , т. е. $I_2' \omega_1 = I_2 (\omega_2 / \omega_1) \omega_1 = I_2 \omega_2$.

Преобразовав выражение (1.23), получим уравнение токов трансформатора:

$$I_1 = I_0 + (-I_2'). \quad (1.24)$$

Из этого уравнения следует, что первичный ток I_1 можно рассматривать как сумму двух составляющих: составляющую I_0 , создающую МДС $I_0 \omega_1$, необходимую для наведения в магнитопроводе основного магнитного потока Φ , и составляющую $-I_2'$, которая, создавая МДС $-I_2' \omega_1$, компенсирует МДС вторичной обмотки $I_2 \omega_2$ трансформатора. Такое действие составляющих первичного тока приводит к тому, что любое изменение тока нагрузки I_2 сопровождается изменением первичного тока I_1 за счет изменения его составляющей $-I_2'$, находящейся в противофазе с током нагрузки I_2 .

Основной магнитный поток Φ является переменным, а поэтому магнитопровод трансформатора подвержен систематическому перемагничиванию. Вследствие этого в магнитопроводе трансформатора имеют место *магнитные потери от гистерезиса и вихревых токов*, наводимых переменным магнитным потоком в пластинах электротехнической стали. Мощность магнитных потерь эквивалентна активной составляющей тока х.х. Таким образом, ток х.х. имеет две составляющие: реактивную I_{0p} , представляющую собой намагничивающий ток, и активную I_{0a} , обусловленную магнитными потерями:

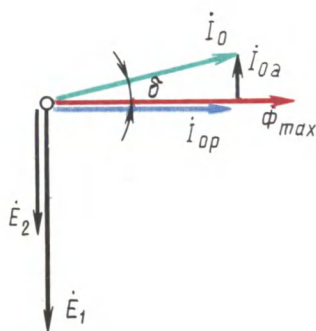
$$I_0 = \sqrt{I_{0a}^2 + I_{0p}^2}. \quad (1.25)$$

Обычно активная составляющая тока х.х. невелика и не превышает 0,10 от I_0 , поэтому она не оказывает заметного влияния на ток х.х.

На рис. 1.17 представлена векторная диаграмма, на которой показаны векторы тока х.х. I_0 и его составляющих I_{0a} и I_{0p} . Угол δ , на который вектор основного магнитного потока Φ_{\max} отстаёт по фазе от тока I_0 , называют *углом магнитных потерь*. Нетрудно заметить, что этот угол увеличивается с ростом активной составляющей тока х.х. I_{0a} , т. е. с ростом магнитных потерь в магнитопроводе трансформатора.

Сила тока х.х. в трансформаторах большой и средней мощности соответственно составляет 2—10 % от номинального первичного тока. Поэтому, при нагрузке, близкой к номинальной, пренебрегая током I_0 и преобразуя (1.22), получим

$$I_1/I_2 = \omega_2/\omega_1, \quad (1.26)$$



т. е. токи в обмотках трансформатора обратно пропорциональны числам витков этих обмоток: ток больше в обмотке с меньшим числом витков и меньше в обмотке с большим числом витков. Поэтому обмотки НН выполняют проводом большего сечения, чем обмотки ВН, имеющие большее число витков.

§ 1.6. Приведение параметров вторичной обмотки и схема замещения приведенного трансформатора

Рис. 1.17. Разложение тока х. х. на составляющие

В общем случае параметры первичной обмотки трансформатора отличаются от параметров вторичной обмотки. Эта разница наиболее ощутима при больших коэффициентах трансформации, что затрудняет расчеты и построение векторных диаграмм, так как в этом случае векторы электрических величин первичной обмотки значительно отличаются по всей длине от одноименных векторов вторичной обмотки. Указанные затруднения устраняются приведением всех параметров трансформатора к одинаковому числу витков, обычно к числу витков первичной обмотки ω_1 . С этой целью все величины, характеризующие вторичную цепь трансформатора, — ЭДС, напряжение, ток и сопротивления — пересчитывают на число витков ω_1 первичной обмотки.

Таким образом, вместо реального трансформатора с коэффициентом трансформации $k = \omega_1/\omega_2$ получают эквивалентный трансформатор с $k = \omega_1/\omega'_2 = 1$, где $\omega'_2 = \omega_1$. Такой трансформатор называют *приведенным*. Однако приведение вторичных параметров трансформатора не должно отразиться на его энергетических показателях: все мощности и фазовые сдвиги во вторичной обмотке приведенного трансформатора должны остаться такими, как и в реальном трансформаторе.

Так, электромагнитная мощность вторичной обмотки реального трансформатора $E_2 I_2$ должна быть равна электромагнитной мощности вторичной обмотки приведенного трансформатора:

$$E_2 I_2 = E'_2 I'_2. \quad (1.27)$$

Подставив значение приведенного вторичного тока $I'_2 = I_2 \omega_2/\omega_1$ (1.27), получим формулу приведенной вторичной ЭДС:

$$E'_2 = \frac{I_2}{I'_2} E_2 = \frac{I_2}{I_2} \frac{\omega_1}{\omega_2} E_2 = E_2 \frac{\omega_1}{\omega_2}. \quad (1.28)$$

Так как $U_2 I_2 \approx U'_2 I'_2$, то приведенное напряжение вторичной обмотки

$$U'_2 \approx U_2 (\omega_1 / \omega_2). \quad (1.29)$$

Из условия равенства потерь в активном сопротивлении вторичной обмотки имеем $I_2^2 r_2 = I'^2_2 r'_2$. Определим приведенное активное сопротивление:

$$r'_2 = r_2 (I_2 / I'_2)^2 = r_2 (\omega_1 / \omega_2)^2. \quad (1.30)$$

Приведенное индуктивное сопротивление рассеяния вторичной обмотки определяют из условия равенства реактивных мощностей $I_2^2 x_2 = I'^2_2 x'_2$, откуда

$$x'_2 = x_2 (\omega_1 / \omega_2)^2. \quad (1.31)$$

Приведенное полное сопротивление вторичной обмотки трансформатора

$$Z'_2 = r'_2 + jx'_2 = (r_2 + jx_2) (\omega_1 / \omega_2)^2 = Z_2 (\omega_1 / \omega_2)^2. \quad (1.32)$$

Приведенное полное сопротивление нагрузки, подключенной на выводы вторичной обмотки, определим по аналогии с (1.32):

$$Z'_n = Z_n (\omega_1 / \omega_2)^2. \quad (1.33)$$

Уравнения напряжений и токов для приведенного трансформатора имеют вид

$$\begin{aligned} \dot{U}_1 &= (-\dot{E}_1) + \dot{I}_1 Z_1 = (-\dot{E}_1) + j\dot{I}_1 x_1 + \dot{I}_1 r_1; \\ U'_2 &= \dot{E}'_2 - \dot{I}'_2 Z'_2 = \dot{E}'_2 - j\dot{I}'_2 x'_2 - \dot{I}'_2 r'_2; \\ \dot{I}_1 &= \dot{I}_0 + (-\dot{I}'_2). \end{aligned} \quad (1.34)$$

Эти уравнения устанавливают аналитическую связь между параметрами трансформатора во всем диапазоне нагрузок от режима х.х. до номинальной.

Еще одним средством, облегчающим исследование электромагнитных процессов и расчет трансформаторов, является применение *электрической схемы замещения приведенного трансформатора*. На рис. 1.18, а представлена эквивалентная схема приведенного трансформатора, на которой сопротивления r и x условно вынесены из соответствующих обмоток и включены последовательно им. Как было установлено ранее, в приведенном трансформаторе $k=1$, а поэтому $E_1 = E'_2$. В результате точки A и a , а также точки X и x на схеме имеют одинаковые потенциалы, что позволяет электрически соединить указанные точки, получив Т-образную схему замещения приведенного трансформатора (рис. 1.18, б). В электрической схеме замещения трансформатора магнитная связь между цепями заменена электрической.

Схема замещения приведенного трансформатора удовлетворяет всем уравнениям ЭДС и токов приведенного трансформатора

(1.34) и представляет собой совокупность трех ветвей: *первичной* — сопротивлением $Z_1 = r_1 + jx_1$ и током \dot{I}_1 ; *намагничивающей* — сопротивлением $Z_m = r_m + jx_m$ и током \dot{I}_0 ; *вторичной* — с двумя сопротивлениями: сопротивлением собственно вторичной ветви $Z'_2 = r'_2 + jx'_2$ и сопротивлением нагрузки $Z'_n = r'_n \pm jx'_n$ и током — \dot{I}'_2 . Изменением сопротивления нагрузки Z'_n на схеме замещения могут быть воспроизведены все режимы работы трансформатора.

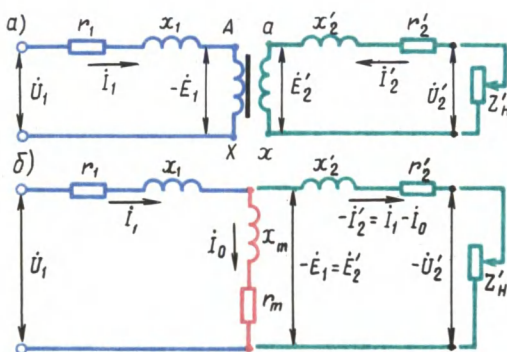


Рис. 1.18. Эквивалентная схема (а) и схема замещения (б) приведенного трансформатора

Параметры ветви намагничивания $Z_m = r_m + jx_m$ определяются током х. х. Наличие в этой ветви активной составляющей r_m обусловлено магнитными потерями в трансформаторе (см. § 1.14).

Все параметры схемы замещения, за исключением Z'_n , являются постоянными для данного трансформатора и могут быть определены из опыта х. х и опыта к. з. (см. § 1.11).

§ 1.7. Векторная диаграмма трансформатора

Воспользовавшись схемой замещения приведенного трансформатора и основными уравнениями напряжений и токов (1.34), построим векторную диаграмму трансформатора, наглядно показывающую соотношения и фазовые сдвиги между токами, ЭДС и напряжениями трансформатора. Векторная диаграмма — графическое выражение основных уравнений приведенного трансформатора (1.34).

Построение диаграммы (рис. 1.19, а) следует начинать с вектора максимального значения основного магнитного потока $\Phi_{\max} = E_1 / (4,44f\omega_1)$.

Вектор тока \dot{I}_0 опережает по фазе вектор потока Φ_{\max} на угол δ , а ЭДС \dot{E}_1 и \dot{E}'_2 отстают от этого вектора на угол 90° [см. (1.6) и (1.7)]. Далее строим вектор \dot{I}'_2 . Для определения угла сдвига фаз между \dot{E}'_2 и \dot{I}'_2 следует знать характер нагрузки. Предположим, что нагрузка трансформатора активно-индуктивная. Тогда вектор \dot{I}'_2 отстает по фазе от \dot{E}'_2 на угол

$$\psi_2 = \arctg \frac{x'_2 + x'_n}{r'_2 + r'_n}, \quad (1.35)$$

определяемый как родом внешней нагрузки, так и собственными сопротивлениями вторичной обмотки.

Для построения вектора вторичного напряжения \dot{U}'_2 необходимо из вектора ЭДС \dot{E}'_2 вычесть векторы падений напряжения $j\dot{I}'_2 x'_2$ и $\dot{I}'_2 r'_2$. С этой целью из конца вектора \dot{E}'_2 опускаем перпендикуляр на направление вектора тока \dot{I}'_2 и откладываем на нем вектор $-j\dot{I}'_2 x'_2$. Затем проводим прямую, параллельную \dot{I}'_2 , и на ней откладываем вектор $-\dot{I}'_2 r'_2$. Построив вектор $-\dot{I}'_2 Z'_2$, получим треугольник внутренних падений напряжения во вторичной цепи. Затем из точки O проводим вектор $\dot{U}'_2 = \dot{E}'_2 - \dot{I}'_2 Z'_2$, который опережает по фазе ток \dot{I}'_2 на угол $\varphi_2 = \arctg(x'_n / r'_n)$.

Вектор первичного тока строим как векторную сумму: $\dot{I}_1 = \dot{I}_0 + (-\dot{I}'_2)$. Вектор $-\dot{I}'_2$ проводим из конца вектора \dot{I}_0 противоположно вектору \dot{I}'_2 . Построим вектор $\dot{U}_1 = -\dot{E}_1 + j\dot{I}_1 x_1 + \dot{I}_1 r_1$, для чего к вектору $-\dot{E}_1$, опережающему по фазе вектор потока Φ_{\max} на 90° , прибавляем векторы внутренних падений напряжения первичной обмотки: вектор $\dot{I}_1 r_1$, параллельный току \dot{I}_1 , и вектор $j\dot{I}_1 x_1$, опережающий вектор тока \dot{I}_1 на угол 90° . Соединив точку O с концом вектора $\dot{I}_1 Z_1$, получим вектор \dot{U}_1 , который опережает по фазе вектор тока \dot{I}_1 на угол φ_1 .

Иногда векторную диаграмму трансформатора строят с целью определения ЭДС обмоток. В этом случае заданными являются параметры вторичной обмотки: U_2 , I_2 и $\cos \varphi_2$. Зная ω_1 / ω_2 , определяют \dot{U}'_2 и \dot{I}'_2 , а затем строят векторы этих величин под фазовым углом φ_2 друг к другу. Вектор ЭДС $\dot{E}'_2 = \dot{E}_1$ получают геометрическим сложением вектора напряжения \dot{U}'_2 с падениями напряжения во вторичной обмотке:

$$\dot{E}'_2 = \dot{U}'_2 + j\dot{I}'_2 x'_2 + \dot{I}'_2 r'_2.$$

В случае активно-емкостной нагрузки векторная диаграмма трансформатора имеет вид, показанный на рис. 1.19, б. Порядок построения диаграммы остается прежним, но вид ее несколько изменяется. Ток \dot{I}'_2 в этом случае опережает по фазе ЭДС \dot{E}'_2 на угол

$$\psi_2 = \arctg \frac{x'_2 - x'_n}{r'_2 + r'_n}. \quad (1.36)$$

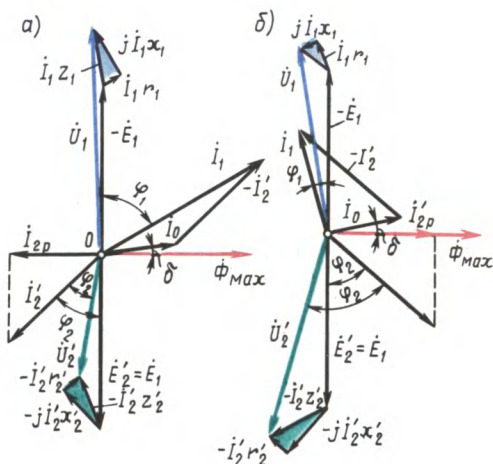


Рис. 1.19. Векторные диаграммы трансформатора при активно-индуктивной (а) и активно-емкостной (б) нагрузках

При значительной емкостной составляющей нагрузки падение напряжения в емкостной составляющей сопротивления нагрузки и индуктивное падение напряжения рассеяния во вторичной обмотке частично компенсируют друг друга. В результате напряжение \dot{U}_2 может оказаться больше, чем ЭДС \dot{E}_2' . Кроме того, реактивная (опережающая) составляющая вторичного тока $\dot{I}_{2p} = \dot{I}_2 \sin \psi_2$ совпадает по фазе с реактивной составляющей тока х.х. \dot{I}_{0p} , т. е. оказывает на магнитопровод трансформатора *подмагничивающее* действие.

Это ведет к уменьшению первичного тока \dot{I}_1 по сравнению с его значением при активно-индуктивной нагрузке, когда составляющая \dot{I}_{2p} оказывает *размагничивающее* влияние (рис. 1.19, а).

§ 1.8. Трансформирование трехфазного тока и схемы соединения обмоток трехфазных трансформаторов

Трансформирование трехфазной системы напряжений можно осуществить тремя однофазными трансформаторами, соединенными в трансформаторную группу (рис. 1.20, а). Однако относительная громоздкость, большой вес и повышенная стоимость — недостаток трансформаторной группы, поэтому она применяется только в установках большой мощности с целью уменьшения веса и габаритов единицы оборудования, что важно при монтаже и транспортировке трансформаторов.

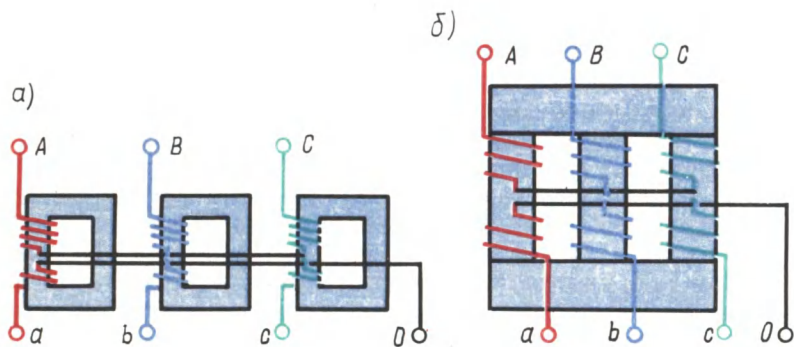


Рис. 1.20. Трансформаторная группа (а) и трехфазный трансформатор (б)

В установках мощностью примерно до 60 000 кВ·А обычно применяют трехфазные трансформаторы (рис. 1.20, б), у которых обмотки расположены на трех стержнях, объединенных в общий магнитопровод двумя ярами (см. рис. 1.2). Но полученный таким образом магнитопровод является *несимметричным*: магнитное сопротивление потоку средней фазы

Φ_B меньше магнитного сопротивления потокам крайних фаз Φ_A и Φ_C (рис. 1.21, а).

Так как к первичным обмоткам трехфазного трансформатора подводится симметричная система напряжений \dot{U}_A , \dot{U}_B и \dot{U}_C , то в магнитопроводе трансформатора возникают магнитные потоки Φ_A , Φ_B и Φ_C , образующие также симметричную систему (рис. 1.21, б). Однако вследствие магнитной несимметрии маг-

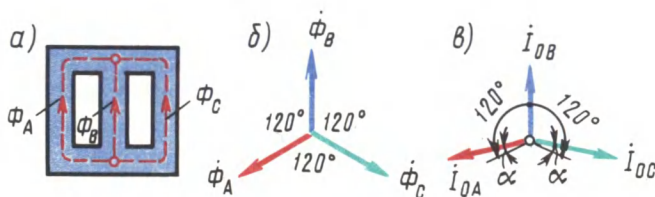


Рис. 1.21. Трехстержневой магнитопровод и векторные диаграммы

нитопровода намагничивающие токи отдельных фазовых обмоток не равны: намагничивающие токи обмоток крайних фаз (I_{0A} и I_{0C}) больше намагничивающего тока обмотки средней фазы I_{0B} . Кроме того, токи I_{0A} и I_{0C} оказываются сдвинутыми по фазе относительно соответствующих потоков Φ_A и Φ_C на угол α . Таким образом, при симметричной системе трехфазного напряжения, подведенного к трансформатору, токи х.х. образуют несимметричную систему (рис. 1.21, в).

Для уменьшения магнитной несимметрии трехстержневого магнитопровода, т. е. уменьшения магнитного сопротивления потокам крайних фаз, сечение ярм делают на 10—15 % больше сечения стержней, что уменьшает их магнитное сопротивление. Несимметрия токов х.х. трехстержневого трансформатора практически не отражается на работе трансформатора, так как даже при небольшой нагрузке различие в значениях токов I_A , I_B и I_C становится незаметным.

Таким образом, при симметричном питающем напряжении и равномерной трехфазной нагрузке все фазы трехфазного трансформатора, выполненного на трехстержневом магнитопроводе, практически находятся в одинаковых условиях. Поэтому рассмотренные выше уравнения напряжений, МДС и токов, а также схема замещения и векторные диаграммы могут быть использованы для исследования работы каждой фазы трехфазного трансформатора.

Обмотки трехфазных трансформаторов принято соединять по следующим схемам: звезда; звезда с нулевым выводом; треугольник; зигзаг с нулевым выводом. Схемы соединения обмоток трансформатора обозначают дробью, в числителе которой указана схема соединения обмоток ВН, а в знаменателе — обмоток НН. Например, Y/Δ означает, что обмотки ВН соединены в звезду, а обмотки НН — в треугольник.

Соединение в зигзаг применяют только в трансформаторах специального назначения, например в трансформаторах для выпрямителей (см. § 5.2). Для выполнения соединения каждую фазу обмотки НН делят на две части, располагая их на разных стержнях. Указанные части обмоток соединяют так, чтобы конец одной части фазной обмотки был присоединен к концу другой части этой же обмотки, расположенной на другом стержне (рис. 1.22, а). Зигзаг называют *равноплечным*, если части обмоток, располагаемые на разных стержнях и соединяемые последовательно, одинаковы, и *неравноплечным*, если эти части неодинаковы. При соединении в зигзаг ЭДС отдельных частей обмоток геометрически вычитаются (рис. 1.22, б).

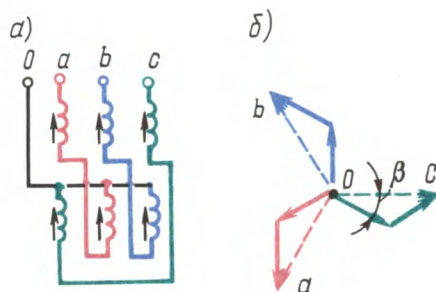


Рис. 1.22. Соединение обмоток в зигзаг

Выводы обмоток трансформаторов принято обозначать следующим образом: обмотки ВН — начало обмоток A, B, C , соответствующие концы X, Y, Z ; обмотки НН — начала обмоток a, b, c , соответствующие концы x, y, z .

При соединении обмоток звездой линейное напряжение больше фазного ($U_l = \sqrt{3} U_\phi$), а при соединении обмоток треугольником линейное напряжение равно фазному ($U_l = U_\phi$).

Отношение линейных напряжений трехфазного трансформатора определяется следующим образом:

Схема соединения обмоток	Y/Y	Δ/Y	Δ/Δ	Y/ Δ
Отношение линейных напряжений	w_1/w_2	$w_1/(\sqrt{3}w_2)$	w_1/w_2	$\sqrt{3}w_1/w_2$

Таким образом, отношение линейных напряжений в трехфазном трансформаторе определяется не только отношением чисел витков фазных обмоток, но и схемой их соединений.

Пример 1.3. Трехфазный трансформатор номинальной мощностью $S_{\text{ном}} = 100 \text{ кВ} \cdot \text{А}$ включен по схеме Y/ Δ . При этом номинальные линейные напряжения на входе и выходе трансформатора соответственно равны: $U_{1\text{ ном}} = 3,0 \text{ кВ}$, $U_{2\text{ ном}} = 0,4 \text{ кВ}$. Определить соотношение витков w_1/w_2 и номинальные значения фазных токов в первичной $I_{1\phi}$ и вторичной $I_{2\phi}$ обмотках.

Решение. Фазные напряжения первичных и вторичных обмоток

$$U_{1\phi} = U_{1\text{ ном}}/\sqrt{3} = 3,0/\sqrt{3} = 1,73 \text{ кВ}, \quad U_{2\phi} = U_{2\text{ ном}} = 0,4 \text{ кВ}.$$

Требуемое соотношение витков в трансформаторе $w_1/w_2 = U_{1\phi}/U_{2\phi} = 1,73/0,4 = 4,32$.

Номинальный фазный ток в первичной обмотке (соединенной в звезду)

$$I_{1\phi} = I_{1\text{ ном}} = S_{\text{ном}}/(\sqrt{3} U_{1\text{ ном}}) = 100/(\sqrt{3} \cdot 3,0) = 19,3 \text{ А}.$$

Номинальный фазный ток во вторичной обмотке (соединенной в треугольник)

$$I_{2\phi} = I_{2\text{ ном}}/\sqrt{3} = S_{\text{ном}}/(3U_{2\text{ ном}}) = 100/(3 \cdot 0,4) = 83,3 \text{ А}.$$

Таким образом, соотношение фазных токов $I_{2\phi}/I_{1\phi} = 83,3/19,3 = 4,32$ равно соотношению витков в обмотках трансформатора.

§ 1.9. Явления при намагничивании магнитопроводов трансформаторов

Допустим, что к первичной обмотке трансформатора подведено синусоидальное напряжение. При этом поток в магнитопроводе также будет синусоидальным: $\Phi = \Phi_{\text{max}} \sin \omega t$. Однако вследствие насыщения магнитный поток трансформатора не пропорционален намагничивающему току. Поэтому при синусоидальном потоке Φ намагничивающий ток i является несинусоидальным. Для определения формы кривой этого тока $i_p = f(t)$ воспользуемся кривой намагничивания магнитопровода $\Phi = f(i_p)$ и графиком изменения потока $\Phi = f(t)$.

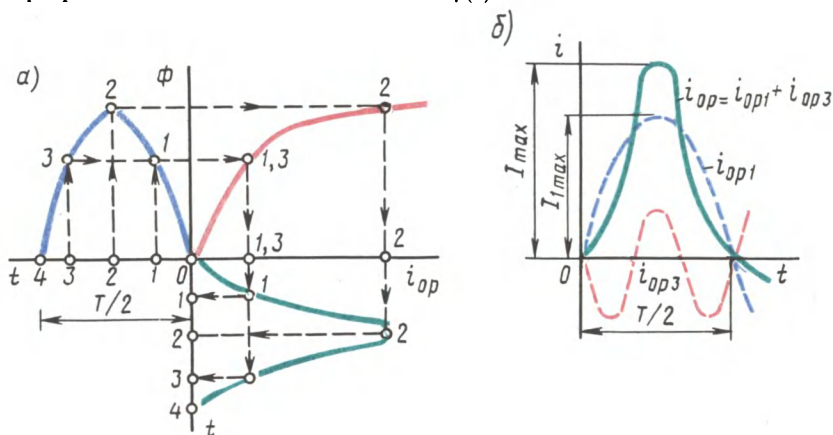


Рис. 1.23. Построение графика намагничивающего тока (а) и разложение его на составляющие (б)

На рис. 1.23, а дано построение графика намагничивающего тока $i_p = f(t)$. Здесь в левом верхнем квадранте показана синусоидальная кривая $\Phi = f(t)$, а в верхнем правом квадранте — кривая намагничивания $\Phi = f(i_p)$ материала магнитопровода. Для получения графика намагничивающего тока $i_p = f(t)$, расположенного в правом нижнем квадранте, поступают следующим образом. На графике $\Phi = f(t)$ выбирают ряд точек 1, 2, 3, про-

ещируют их на кривую намагничивания и определяют значения намагничивающего тока, соответствующие выбранным значениям магнитного потока. Затем проводят вертикальные линии через точки 1, 2, 3 на оси i_{0p} в правый нижний квадрант до пересечения с горизонтальными линиями, проведенными из точек 1, 2, 3 на оси времени этого квадранта, и получают геометрическое место точек кривой намагничивающего тока $i_{0p} = f(t)$. Из сделанных построений видно, что при синусоидальной форме кривой $\Phi = f(t)$ намагничивающий ток имеет пикообразную форму. В целях упрощения построений в этом случае воспользовались кривой намагничивания $\Phi = f(i_{0p})$, построенной без учета гистерезиса.

После разложения несинусоидальной кривой тока i_{0p} на синусоидальные составляющие (рис. 1.23, б) видно, что в этом токе кроме основной (первой) гармоники i_{0p1} ярко выражена третья гармоника i_{0p3} .

Так, в трансформаторе с магнитопроводом из высоколегированной стали при индукции $B = 1,4$ Тл третья гармоника составляет примерно 30 % основной гармоники намагничивающего тока. Сказанное относится лишь к реактивной составляющей тока х.х., так как активная составляющая i_{0a} является синусоидальной. Обычно I_{0a} не превышает 10 % от I_0 , поэтому с некоторым приближением можно принять, что кривая тока х.х. $i_0 = f(t)$ не отличается от кривой $i_{0p} = f(t)$.

§ 1.10. Влияние схемы соединения обмоток на работу трехфазных трансформаторов в режиме холостого хода

Из уравнений токов третьей гармоники в трехфазной системе

$$\left. \begin{aligned} i_{A3} &= I_{3\max} \sin 3\omega t; \\ i_{B3} &= I_{3\max} \sin 3(\omega t - 120^\circ) = I_{3\max} \sin 3\omega t; \\ i_{C3} &= I_{3\max} \sin 3(\omega t + 120^\circ) = I_{3\max} \sin 3\omega t \end{aligned} \right\} \quad (1.37)$$

видно, что эти токи в любой момент времени совпадают по фазе, т. е. имеют одинаковое направление. Этот же вывод распространяется на все высшие гармоники тока, кратные трем, — 3, 9, 15 и т. д. Это обстоятельство оказывает существенное влияние на процессы, сопровождающие намагничивание сердечников при трансформировании трехфазного тока.

Рассмотрим особенности режима холостого хода трехфазных трансформаторов для некоторых схем соединения обмоток.

Соединение Y/Y₀. Если напряжение подводится со стороны обмоток, соединенных звездой без нулевого вывода (рис. 1.24, а), то токи третьей гармоники (и кратные трем — 9, 15 и т. д.), совпадая по фазе во всех трех фазах, будут равны нулю. Объясняется это отсутствием нулевого провода, а следовательно, отсутствием выхода из нулевой точки. В итоге токи третьей и кратные трем гармоники будут взаимно компенсироваться и намагничи-

вающий ток трансформатора окажется синусоидальным, но магнитный поток в магнитопроводе окажется несинусоидальным (уплощенным) с явно выраженным потоком третьей гармоники Φ_3 (рис. 1.25).

Потоки третьей гармоники не могут замкнуться в трехстержневом магнитопроводе, так как они совпадают по фазе, т. е. на-

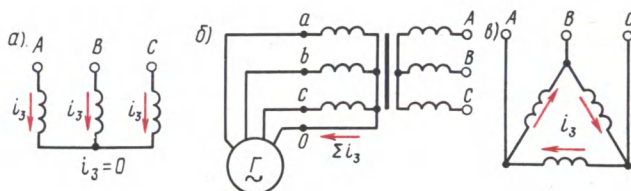


Рис. 1.24. Направление токов третьей гармоники для различных схем соединения обмоток

правлены встречно. Эти потоки замыкаются через воздух (масло) и металлические стенки бака (рис. 1.26). Большое магнитное сопротивление потоку Φ_3 ослабляет его величину, поэтому наводимые потоками Φ_3 в фазных обмотках ЭДС третьей гармоники невелики и обычно их амплитуда не превышает 5—7 % от амплитуды основной гармоники. На практике поток Φ_3 учитывают лишь с точки зрения потерь от вихревых токов, индуцируемых этим потоком в стенках бака. Например, при индукции в стержне магнитопровода порядка 1,4 Тл потери от вихревых токов в баке составляют около 10 % от потерь в магнитопроводе, а при индукции 1,6 Тл эти потери возрастают до 50—65 %.

В случае трансформаторной группы, состоящей из трех однофазных трансформаторов (см. рис. 1.20, а), магнитопроводы отдельных фаз магнитно не связаны, поэтому магнитные потоки третьей гармоники всех трех фаз беспрепятственно замыкаются (поток каждой фазы замыкается в своем магнитопроводе). При этом значение потока Φ_3 может достигать 15—20 % от Φ_1 .

Несинусоидальный магнитный поток Φ , содержащий кроме основной гармоники Φ_1 еще и третью Φ_3 ,

$$\Phi = \Phi_1 \sin \omega t + \Phi_3 \sin 3\omega t \quad (1.38)$$

наводит в фазных обмотках несинусоидальную ЭДС

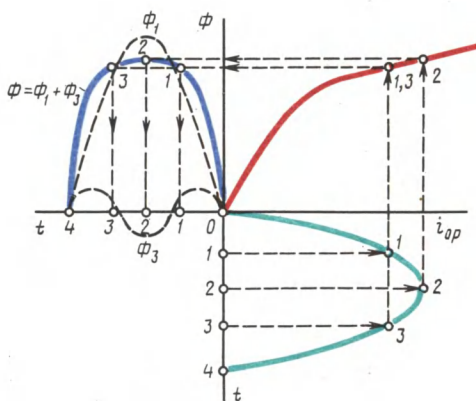


Рис. 1.25. Построение графика магнитного потока при синусоидальной форме намагничивающего тока

$$e = -\omega d\Phi/(dt) = \omega\omega\Phi_1 \sin(\omega t - \pi/2) + 3\omega\omega\Phi_3 \sin(3\omega t - \pi/2) = e_1 + e_3. \quad (1.39)$$

Повышенная частота 3ω магнитного потока Φ_3 приводит к появлению значительной ЭДС e_3 , резко увеличивающей амплитудное значение фазной ЭДС обмотки при том же ее действующем значении (рис. 1.27), что создает неблагоприятные условия для электрической изоляции обмоток.

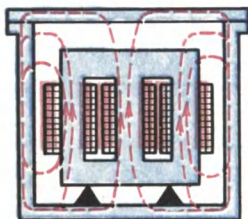


Рис. 1.26. Пути замыкания магнитных потоков третьей гармоники в трехстержневом магнитопроводе

Амплитуда ЭДС третьей гармоники в трансформаторной группе может достигать 45—65 % от амплитуды основной гармоники. Однако следует отметить, что линейные ЭДС (напряжения) остаются синусоидальными и не содержат третьей гармоники, так как при соединении обмоток звездой фазные ЭДС e_{3A} , e_{3B} и e_{3C} , совпадая по фазе, не создают линейной ЭДС. Объясняется это тем, что линейная ЭДС при соединении обмоток звездой определяется разностью фазных ЭДС. Так, для основной гармоники (рис. 1.28, а) линейная ЭДС

$$\dot{E}_{1AB} = -\dot{E}_{1A} + \dot{E}_{1B} = \sqrt{3} \dot{E}_{1A}.$$

Что же касается линейной ЭДС третьей и кратных трех гармоник, то ввиду совпадения по фазе фазных ЭДС этих гармоник (рис. 1.28, б) получим

$$\dot{E}_{3AB} = \dot{E}_{3B} - \dot{E}_{3A} = 0.$$

Если первичная обмотка трансформатора является обмоткой НН и ее нулевой вывод присоединен к нулевому выводу генератора (см. рис. 1.24, б), то намагничивающие токи фаз содержат третьи гармоники. Эти токи совпадают по фа-

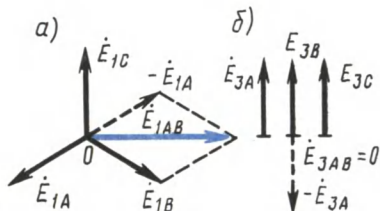


Рис. 1.28. Векторные диаграммы ЭДС основной (а) и третьей (б) гармоник трехфазного трансформатора

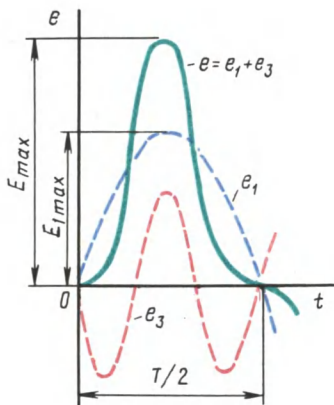


Рис. 1.27. Форма графика фазной ЭДС трансформаторной группы при соединении обмоток Y/Y

зе [см. (1.37)], а поэтому все они направлены либо от трансформатора к генератору, либо наоборот. В нулевом проводе будет протекать ток, равный $3i_3$. При этом магнитный поток трансформатора, а следовательно, и ЭДС в фазах будут синусоидальны.

Соединения, при которых обмотки какой-либо стороны трансформатора (НН или ВН) соединены в треугольник. Эти схемы соединения наиболее желательны, так как они лишены недостатков рассмотренных ранее схем.

Допустим, что в треугольник соединены первичные обмотки трансформатора. Тогда ток третьей гармоники беспрепятственно замыкается в замкнутом контуре фазных обмоток, соединенных в треугольник (см. рис. 1.24, в). Но если намагничивающий ток содержит третью гармонику, то магнитные потоки в стержнях, а следовательно, и ЭДС в фазах практически синусоидальны.

Если же вторичные обмотки трансформатора соединены в треугольник, а первичные — в звезду, то ЭДС третьей гармоники, наведенные во вторичных обмотках, создают в замкнутом контуре треугольника ток третьей гармоники. Этот ток создает в магнитопроводе магнитные потоки третьей гармоники Φ_{23} , направленные встречно потокам третьей гармоники от намагничивающего тока Φ_{13} (по правилу Ленца). В итоге результирующий поток третьей гармоники $\Phi_{рез\ 3} = \Phi_{13} + \Phi_{23}$ значительно ослабляется и практически не влияет на свойства трансформаторов.

§ 1.11. Опытное определение параметров схемы замещения трансформаторов

Полученная в § 1.6 электрическая схема замещения (см. рис. 1.18, б) позволяет с достаточной точностью исследовать свойства трансформаторов в любом режиме. Использование этой схемы при определении характеристик имеет наибольшее практическое значение для трансформаторов мощностью 50 кВ·А и выше, так как исследование таких трансформаторов методом непосредственной нагрузки связано с некоторыми техническими трудностями: непроизводительным расходом электроэнергии, необходимостью в громоздких и дорогостоящих нагрузочных устройствах.

Определение параметров схемы замещения $Z_1 = r_1 + jx_1$; $Z_m = r_m + jx_m$; $Z'_2 = r'_2 + jx'_2$ возможно либо расчетным (в процессе расчета трансформатора), либо опытным путем. Ниже излагается порядок определения параметров схемы замещения трансформатора опытным путем, сущность которого состоит в проведении опыта холостого хода (х.х.) и опыта короткого замыкания (к.з.).

Опыт холостого хода. *Холостым ходом* называют режим работы трансформатора при разомкнутой вторичной обмотке ($z_n = \infty$, $I_2 = 0$). В этом случае уравнения напряжений и токов (1.34) принимают вид

$$\left. \begin{aligned} \dot{U}_1 &= (-\dot{E}_1) + j\dot{I}_0 x_1 + \dot{I}_0 r_1; \\ \dot{U}'_2 &= \dot{E}'_2; \quad I_1 = I_0. \end{aligned} \right\} \quad (1.40)$$

Так как полезная мощность при работе трансформатора холостую равна нулю, то мощность на входе трансформатора в режиме х.х. P_0 расходуется на магнитные потери в магнитопроводе P_m (потери на перемагничивание магнитопровода и вихревые токи) и электрические потери в меди $I_0^2 r_1$ (потери на нагрев обмотки при прохождении по ней тока) одной лишь первичной обмотки. Однако ввиду небольшого значения тока I_0 , который обычно не превышает 2—10 % от $I_{1 \text{ ном}}$, электрическими потерями $I_0^2 r_1$ можно пренебречь и считать, что вся мощность х.х. представляет собой мощность магнитных потерь в стали магнитопровода. Поэтому магнитные потери в трансформаторе принято называть потерями холостого хода (см. § 1.14).

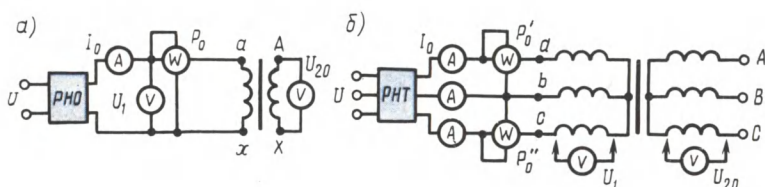


Рис. 1.29. Схемы опыта х.х. трансформаторов однофазного (а), трехфазного (б)

Опыт х.х. *однофазного* трансформатора проводят по схеме, изображенной на рис. 1.29, а. Комплект электроизмерительных приборов, включенных в схему, дает возможность непосредственно измерить напряжение U_1 , подведенное к первичной обмотке; напряжение U_{20} на выводах вторичной обмотки; мощность х.х. P_0 и ток х.х. I_0 .

Напряжение к первичной обмотке трансформатора обычно подводят через однофазный регулятор напряжения РНО, позволяющий плавно повышать напряжение от 0 до $1,15U_{1 \text{ ном}}$. При этом через приблизительно одинаковые интервалы тока х.х. снимают показания приборов, а затем строят характеристики х.х.: зависимость тока х.х. I_0 , мощности х.х. P_0 и коэффициента мощности х.х. $\cos \varphi_0$ от первичного напряжения U_1 (рис. 1.30).

Криволинейность этих характеристик обусловлена состоянием магнитного насыщения магнитопровода, которое наступает при некотором значении напряжения U_1 .

В случае опыта холостого хода с *трехфазным* трансформатором напряжение U_1 устанавливают посредством трехфазного регулятора напряжения РНТ (рис. 1.29, б). Характеристики х.х. строят по средним фазным значениям тока и напряжения для трех фаз:

$$I_0 = (I_{0a} + I_{0b} + I_{0c})/3; \quad (1.41)$$

$$U_1 = (U_{1a} + U_{1b} + U_{1c})/3. \quad (1.42)$$

Коэффициент мощности для однофазного трансформатора

$$\cos \varphi_0 = \frac{P_0}{U_1 I_0}; \quad (1.43)$$

для трехфазного трансформатора

$$\cos \varphi_0 = \frac{P'_0 + P''_0}{3U_1 I_0} = \frac{P_0}{3U_1 I_0}, \quad (1.44)$$

где P'_0 и P''_0 — показания однофазных ваттметров; U_1 и I_0 — фазные значения напряжения и тока.

По данным опыта х.х. можно определить: коэффициент трансформации

$$k = U_1/U_{20} = \omega_1/\omega_2;$$

ток х.х. при $U_{1\text{ ном}}$ (в процентах от номинального первичного тока)

$$i_0 = (I_{0\text{ ном}}/I_{1\text{ ном}})100; \quad (1.45)$$

потери х.х. P_0 .

В трехфазном трансформаторе токи

х.х. в фазах неодинаковы и образуют несимметричную систему (см. § 1.8), поэтому мощность P_0 следует измерять двумя ваттметрами по схеме, изображенной на рис. 1.29, б. Падение напряжения в первичной ветви схемы замещения в режиме х.х. $I_0(r_1 + jx_1)$ (рис. 1.31) составляет весьма незначительную величину, поэтому, не допуская заметной ошибки, можно пользоваться следующими выражениями для расчета параметров ветви намагничивания:

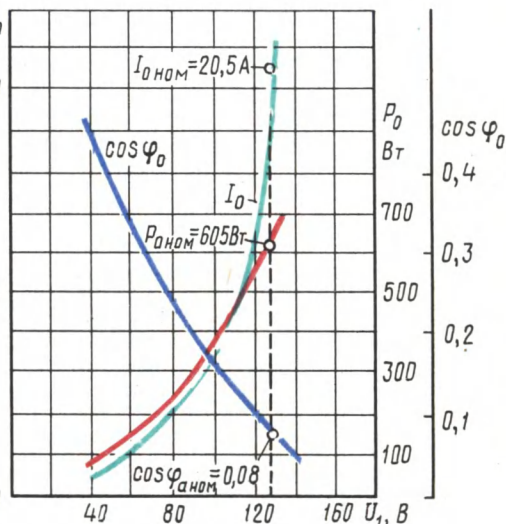


Рис. 1.30. Характеристики х.х. трансформатора

$$z_m = U_1/I_0; \quad (1.46)$$

$$r_m = z_m \cos \varphi_0; \quad (1.47)$$

$$x_m = \sqrt{z_m^2 - r_m^2}. \quad (1.48)$$

Обычно в силовых трансформаторах общего назначения средней и большой мощности при номинальном первичном напряжении ток х.х. $i_0 = 10 \div 0,6\%$.

Если же фактические значения тока х.х. $I_{0\text{ ном}}$ и мощности х.х.

$P_{0 \text{ ном}}$, соответствующие номинальному значению первичного напряжения $U_{1 \text{ ном}}$, заметно превышают значения этих параметров, указанные в каталоге на данный тип трансформатора, то это свидетельствует о неисправности этого трансформатора: наличие короткозамкнутых витков в обмотках либо замыкании части пластин магнитопровода.

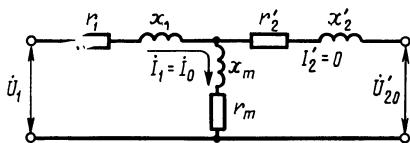


Рис. 1.31. Схема замещения трансформатора в режиме х.х.

Пример 1.4. На рис. 1.30 приведены характеристики холостого хода ($I_{0 \text{ ном}} = 20,5 \text{ А}$; $\cos \varphi_{0 \text{ ном}} = 0,08$) трехфазного трансформатора с данными: $S_{\text{ном}} = 100 \text{ кВ} \cdot \text{А}$; $U_{1 \text{ ном}}/U_{2 \text{ ном}} = 6,3/0,22 \text{ кВ}$; соединение обмоток Y/Y . Определить параметры ветви намагничивания схемы замещения трансформатора z_m , r_m и x_m и ток холостого хода при номинальном фазном напряжении на стороне обмоток НН $U_{2 \phi} = 127 \text{ В}$.

Решение. Полное сопротивление ветви намагничивания по (1.46)

$$z_m = U_{2 \phi} / I_0 = 127 / 20,5 = 6,2 \text{ Ом};$$

активное сопротивление ветви намагничивания по (1.47)

$$r_m = z_m \cos \varphi_{0 \text{ ном}} = 6,2 \cdot 0,08 = 0,49 \text{ Ом};$$

индуктивное сопротивление ветви намагничивания по (1.48)

$$x_m = \sqrt{z_m^2 - r_m^2} = \sqrt{6,2^2 - 0,49^2} = 6,18 \text{ Ом}.$$

Ток холостого хода по (1.45)

$$i_0 = (I_0 / I_{2 \text{ ном}}) 100 = (20,5 / 264) 100 = 7,8 \%,$$

где номинальное значение тока в обмотке НН

$$I_{2 \text{ ном}} = S_{\text{ном}} 10^3 / (\sqrt{3} \cdot U_{2 \text{ ном}}) = 100 \cdot 10^3 / (\sqrt{3} \cdot 220) = 264 \text{ А}.$$

Здесь $U_{2 \text{ ном}}$ — линейное значение вторичного напряжения.

Опыт короткого замыкания. Короткое замыкание трансформатора — это такой режим, когда вторичная обмотка замкнута накоротко ($z_n = 0$), при этом вторичное напряжение $U_2 = 0$. В условиях эксплуатации, когда к трансформатору подведено номинальное напряжение $U_{1 \text{ ном}}$, короткое замыкание является аварийным режимом и представляет собой большую опасность для трансформатора (см. § 4.1).

При опыте к.з. обмотку низшего напряжения однофазного трансформатора замыкают накоротко (рис. 1.32, а), а к обмотке высшего напряжения подводят пониженное напряжение, постепенно повышая его регулятором напряжения РНО до некоторого значения $U_{\text{к ном}}$, при котором токи к.з. в обмотках трансформатора становятся равными номинальным токам в первичной ($I_{1 \text{ к}} = I_{1 \text{ ном}}$) и вторичной ($I_{2 \text{ к}} = I_{2 \text{ ном}}$) обмотках. При этом снимают показания приборов и строят *характеристики к.з.*, представляющие собой зависимость тока к.з. $I_{1 \text{ к}}$, мощности к.з. $P_{\text{к}}$ и коэффициента мощности $\cos \varphi_{\text{к}}$ от напряжения к.з. $U_{\text{к}}$ (рис. 1.33).

В случае трехфазного трансформатора опыт проводят по схеме, показанной на рис. 1.32, б, а значения напряжения к.з. и тока к.з. определяют как средние для трех фаз:

$$U_K = (U_{KA} + U_{KB} + U_{KC})/3; \quad (1.49)$$

$$I_{1K} = (I_{KA} + I_{KB} + I_{KC})/3. \quad (1.50)$$

Коэффициент мощности при опыте к.з.

$$\cos \varphi_K = P_K / (3 U_K I_{1K}). \quad (1.51)$$

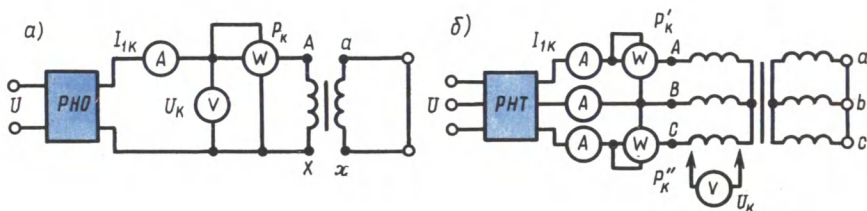


Рис. 1.32. Схемы опыта к.з. трансформаторов однофазного (а), трехфазного (б)

При этом активную мощность трехфазного трансформатора измеряют методом двух ваттметров. Тогда мощность к.з.

$$P_K = P'_K + P''_K. \quad (1.52)$$

В (1.52) P'_K и P''_K — показания однофазных ваттметров, Вт.

Напряжение, при котором токи в обмотках трансформатора при опыте равны номинальным значениям, называют *номинальным напряжением короткого замыкания* и обычно выражают его в % от номинального:

$$u_K = (U_K / U_{1 \text{ ном}}) 100. \quad (1.53)$$

Для силовых трансформаторов $u_K = 5 \div 10 \%$ от $U_{1 \text{ ном}}$.

Как следует из (1.20), магнитный поток в магнитопроводе трансформатора пропорционален первичному напряжению U_1 . Но так как это напряжение при опыте к.з. составляет не более 10 % от $U_{1 \text{ ном}}$, то такую же небольшую величину составляет магнитный поток. Для создания такого магнитного потока требуется настолько малый намагничивающий ток, что значением его можно пренебречь. В этом случае уравнение токов (1.24) принимает вид

$$I_{1K} = -I'_{2K}, \quad (1.54)$$

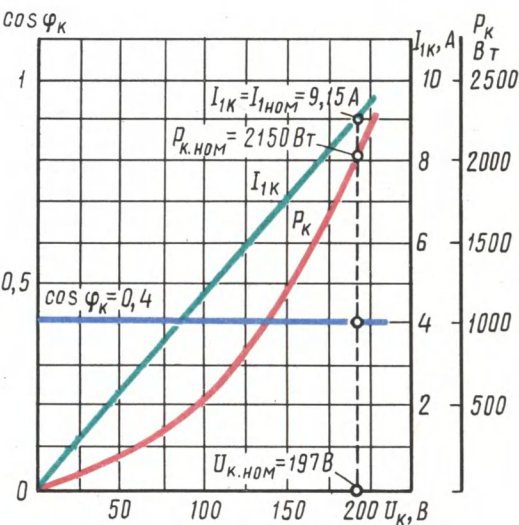


Рис. 1.33. Характеристики к.з. трансформатора

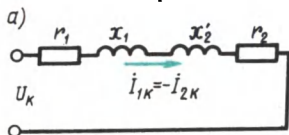
а схема замещения трансформаторов для опыта к.з. не содержит ветви намагничивания (рис. 1.34, а). Для этой схемы замещения можно записать уравнение напряжений

$$\dot{U}_k = I_{1k}(r_1 + r_2') + jI_{1k}(x_1 + x_2'), \quad (1.55)$$

или

$$\dot{U}_k = I_{1k}r_k + jI_{1k}x_k = I_{1k}Z_k. \quad (1.56)$$

Здесь сопротивление трансформатора при опыте к. з.



$$Z_k = r_k + jx_k, \quad (1.57)$$

где r_k и x_k — активная и индуктивная составляющие сопротивления к. з. Z_k .

Воспользовавшись уравнениями токов (1.54) и напряжений (1.55), для опыта к.з. построим векторную диаграмму трансформатора (рис. 1.34, б). Построение этой диаграммы начинают с вектора напряжения к.з. $\dot{U}_k = I_{1k}Z_k$. Затем под углом φ_k к вектору \dot{U}_k проводят вектор тока к.з. $I_{1k} = -I_{2k}$. Построив векторы падений напряжения в первичной обмотке $I_{1k}r_1$ и $jI_{1k}x_1$ и векторы падения напряжения во вторичной обмотке $-I_{2k}'r_2'$ и $-jI_{2k}'x_2'$, получают прямоугольный треугольник AOB , называемый *треугольником короткого замыкания*. Стороны этого треугольника будут:

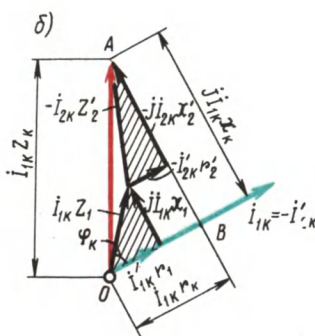


Рис. 1.34. Схема замещения (а) и векторная диаграмма (б) трансформатора в режиме к. з.

$$\overline{OB} = I_{1k}r_1 + I_{2k}'r_2' = I_{1k}r_k = \dot{U}_{ka};$$

$$\overline{BA} = I_{1k}jx_1 + jI_{2k}'x_2' = I_{1k}x_k = \dot{U}_{kp};$$

$$\overline{OA} = I_{1k}Z_k = \dot{U}_k.$$

Здесь

$$U_k = \sqrt{U_{ka}^2 + U_{kp}^2}, \quad (1.58)$$

где U_{ka} и U_{kp} — активная и реактивная составляющие напряжения к.з., В.

Полное, активное и индуктивное сопротивления схемы замещения при опыте к. з.:

$$z_k = U_k / I_{1k}; \quad (1.59)$$

$$r_k = z_k \cos \varphi_k; \quad (1.60)$$

$$x_k = \sqrt{z_k^2 - r_k^2}. \quad (1.61)$$

Полученные значения сопротивлений r_k и z_k , мощности P_k , коэффициента мощности $\cos \varphi_k$ и напряжения к. з. u_k следует привести к рабочей температуре обмоток $+75^\circ\text{C}$:

$$r_{k75} = r_k [1 + \alpha(75^\circ - \theta_1)]; \quad (1.62)$$

$$z_{k75} = \sqrt{r_{k75}^2 + x_k^2}; \quad (1.63)$$

$$\cos \varphi_{k75} = r_{k75} / z_{k75}; \quad (1.64)$$

$$u_{k75} = (I_{1k} z_{k75} / U_{1\text{ном}}) 100. \quad (1.65)$$

Здесь r_k — активное сопротивление к. з. при температуре θ_1 ; $\alpha = 0,004$ — температурный коэффициент для меди и алюминия.

Так как при опыте к. з. основной поток Φ_{max} составляет всего лишь несколько процентов по сравнению с его значением при номинальном первичном напряжении, то магнитными потерями, вызываемыми этим потоком, можно пренебречь. Следовательно, можно считать, что мощность P_k , потребляемая трансформатором при опыте к. з., идет полностью на покрытие электрических потерь в обмотках трансформатора:

$$P_k = I_{1k}^2 r_1 + I_{1k}^2 r_2' = I_{1k}^2 r_k.$$

Мощность к. з. приводят к рабочей температуре обмоток $+75^\circ\text{C}$:

$$P_{k75} = 3 I_{1k}^2 r_{k75}. \quad (1.66)$$

Пример 1.5. Результаты измерений при опыте короткого замыкания трехфазного трансформатора мощностью 100 кВ·А линейными напряжениями 6,3/0,22 В, соединением обмоток Y/Y приведены в табл. 1.1 (напряжение подведено со стороны ВН). Построить характеристики короткого замыкания: зависимость тока к. з. I_{1k} , мощности к. з. P_k и коэффициента мощности $\cos \varphi_k$ от напряжения короткого замыкания U_k .

Решение. Ниже приведен расчет значений параметров опыта короткого замыкания, соответствующих номинальному (фазному) напряжению к. з. $U_{k\text{ном}} = 190$ В, при котором ток к. з. $I_k = I_{1\text{ном}} = S_{\text{ном}} / (\sqrt{3} U_{1\text{ном}}) = 100\% (\sqrt{3} \cdot 6,3) = 9,15$ А (измерение 4 в табл. 1.1).

Т а б л и ц а 1.1

№ измерения	U_{kA} , В	U_{kB} , В	U_{kC} , В	I_{kA} , А	I_{kB} , А	I_{kC} , А	P_k , Вт
1	64	63	62	2,9	3,0	3,1	190
2	105	105	103	5,1	5,0	5,0	513
3	147	146	145	7,2	7,0	7,2	1040
4	191	189	190	9,2	9,2	9,1	1780

Среднее (для трех фаз) значение фазного напряжения к. з. по (1.49)

$$U_{k\text{ном}} = (191 + 189 + 190) / 3 = 190 \text{ В.}$$

Среднее (для трех фаз) значение тока к. з. по (1.50) $I_{1k} = (9,2 + 9,2 + 9,1) / 3 = 9,15$ А.

Параметры схемы замещения трансформатора при опыте короткого замыкания: полное сопротивление к. з. по (1.59) $z_k = U_{k\text{ном}} / I_{1\text{ном}} = 190 / 9,15 =$

$= 20,8 \text{ Ом}$; из выражения мощности к. з. $P_k = I_{1k}^2 r_k$ определим активное сопротивление к. з.:

$$r_k = P_k / (3I_{\text{ном}}^2) = 1780 / (3 \cdot 9,15^2) = 7,1 \text{ Ом};$$

индуктивное сопротивление к. з. по (1.61)

$$x_k = \sqrt{z_k^2 - r_k^2} = \sqrt{28,8^2 - 7,1^2} = 19,6 \text{ Ом}.$$

Приняв температуру $\theta_1 = 20^\circ\text{C}$, полученные значения величин приводим к рабочей температуре обмоток $+75^\circ\text{C}$: активное сопротивление к. з. по (1.62)

$$r_{k75} = 7,1[1 + 0,004(75 - 20)] = 8,6 \text{ Ом};$$

полное сопротивление к. з.

$$z_{k75} = \sqrt{8,6^2 + 19,6^2} = 21,5 \text{ Ом};$$

мощность к. з. по (1.66)

$$P_{k75} = 3I_{1k}^2 r_{k75} = 3 \cdot 9,15^2 \cdot 8,6 = 2160 \text{ Вт};$$

коэффициент мощности по (1.64)

$$\cos \varphi_{k75} = r_{k75} / z_{k75} = 8,6 / 21,5 = 0,40;$$

напряжение к. з. по (1.65)

$$u_{k75} = (I_{1k} z_{k75} / U_{\text{ном}}) 100 = (9,15 \cdot 21,5 \cdot \sqrt{3} / 6300) 100 = 5,4 \text{ \%}.$$

В таком же порядке рассчитываем параметры опыта к. з. для других значений тока к. з. Результаты расчета заносим в табл. 1.2, а затем строим характеристики короткого замыкания (см. рис. 1.33).

Т а б л и ц а 1.2

№ измерения	U_k , В	I_{1k} , А	P_{k75} , Вт	$\cos \varphi_{k75}$
1	65	3	230	0,40
2	108	5	620	0,40
3	152	7	1260	0,40
4	190	9,15	2160	0,40

§ 1.12. Упрощенная векторная диаграмма трансформатора

Векторная диаграмма нагруженного трансформатора (см. рис. 1.19) наглядно показывает соотношение между параметрами трансформатора. Из-за сложности эта диаграмма не может быть использована для практических расчетов. Для упрощения диаграммы и придания ей практического значения в силовых трансформаторах, работающих с нагрузкой, близкой к номинальной, пренебрегают током х. х. и считают, что $I_1 = -I_2'$. Полученная в этом случае ошибка вполне допустима, так как ток I_0 по сравнению с токами I_1 и I_2' невелик (см. § 1.14). При сделанном допущении схема замещения трансформатора приобретает упрощенный вид, так как не имеет ветви намагничивания и со-

стоит только из последовательных участков $r_k = r_1 + r'_2$ и $x_k = x_1 + x'_2$ (рис. 1.35, а).

Соответственно упрощенной схеме замещения построена и упрощенная векторная диаграмма (рис. 1.35, б), в которой прямоугольный треугольник ABC представляет собой треугольник к. з., стороны которого соответственно равны:

$$\overline{BC} = I_1 r_k; \overline{CA} = I_1 x_k; \overline{AB} = I_1 z_k.$$

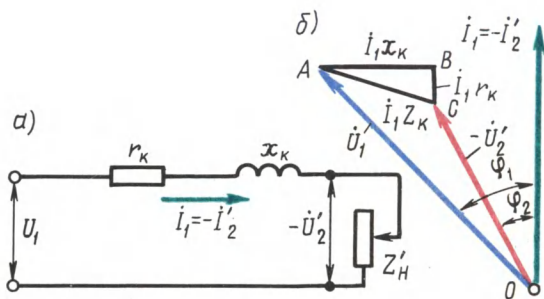


Рис. 1.35. Упрощенные схемы замещения (а) и векторная диаграмма (б) трансформатора

Упрощенную векторную диаграмму трансформатора строят по заданным значениям напряжения $U_{1\text{ном}}$, тока $I_{1\text{ном}}$, коэффициента мощности $\cos \varphi_{2\text{ном}}$ и параметрам треугольника к. з. $U_{ка}$ и $U_{кр}$.

Порядок построения упрощенной векторной диаграммы следующий (рис. 1.36). На оси ординат строят вектор тока $I_1 = -I'_2$, затем под углом φ_2 строят вектор напряжения $-\dot{U}'_2$. Треугольник к. з. $A'B'C'$ строят таким образом, чтобы точка C' совместились с точкой начала координат, а катет $C'B'$ — с осью ординат. Затем этот треугольник переносят, совмещая точку C с концом вектора $-\dot{U}'_2$, а стороны оставляя параллельными исходному треугольнику $A'B'C'$. Получают треугольник ABC . После этих построений из начала осей координат (точка O) проводят вектор первичного (фазного) напряжения \dot{U}_1 и определяют угол фазового сдвига φ_1 между первичным током I_1 и первичным напряжением \dot{U}_1 .

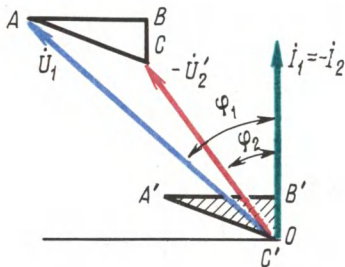


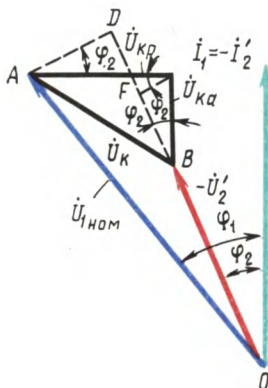
Рис. 1.36. Построение упрощенной векторной диаграммы

§ 1.13. Внешняя характеристика трансформатора

При колебаниях нагрузки трансформатора его вторичное напряжение U_2 меняется. В этом можно убедиться, воспользовавшись упрощенной схемой замещения трансформатора (см. рис. 1.35), из которой следует, что $\dot{U}_2' = \dot{U}_{1\text{ном}} - \dot{I}_1 Z_k$.

Изменение вторичного напряжения трансформатора при увеличении нагрузки от х. х. до номинальной является важнейшей характеристикой трансформатора и определяется выражением

$$\Delta U_{\text{ном}} = \frac{U_{1\text{ном}} - U_2'}{U_{1\text{ном}}} \cdot 100. \quad (1.67)$$



Для определения $\Delta U_{\text{ном}}$ воспользуемся упрощенной векторной диаграммой трансформатора, сделав на ней следующее дополнительное построение (рис. 1.37). Из точки A опустим перпендикуляр на продолжение вектора $-\dot{U}_2'$, получим точку D . С некоторым допущением будем считать, что отрезок \overline{BD} представляет собой разность $\dot{U}_{1\text{ном}} - \dot{U}_2' = \overline{BD} = \overline{BF} + \overline{FD}$, где $\overline{BF} = U_{ka} \cos \varphi_2$; $\overline{FD} = U_{kp} \sin \varphi_2$, тогда

$$U_{1\text{ном}} - U_2' = U_{ka} \cos \varphi_2 + U_{kp} \sin \varphi_2. \quad (1.68)$$

Изменение вторичного напряжения (1.67) с учетом (1.68) примет вид

$$\Delta U_{\text{ном}} = (U_{ka} \cos \varphi_2 + U_{kp} \sin \varphi_2) 100 / U_{1\text{ном}}. \quad (1.69)$$

Обозначим $(U_{ka} / U_{1\text{ном}}) 100 = u_{ka}$; $(U_{kp} / U_{1\text{ном}}) 100 = u_{kp}$, тогда выражение изменения вторичного напряжения трансформатора при увеличении нагрузки примет вид

$$\Delta U_{\text{ном}} = u_{ka} \cos \varphi_2 + u_{kp} \sin \varphi_2. \quad (1.70)$$

Выражение (1.70) дает возможность определить изменение вторичного напряжения лишь при номинальной нагрузке трансформатора. При необходимости расчета изменения вторичного напряжения для любой нагрузки в выражение (1.70) следует ввести коэффициент нагрузки, представляющий собой отношение значения тока нагрузки $\beta = I_2 / I_{2\text{ном}}$:

$$\Delta U = \beta (u_{ka} \cos \varphi_2 + u_{kp} \sin \varphi_2). \quad (1.71)$$

Из выражения (1.71) следует, что изменение вторичного напряжения ΔU зависит не только от величины нагрузки трансформатора (β), но и от характера этой нагрузки (φ_2).

На рис. 1.38, а представлен график зависимости $\Delta U = f(\beta)$ при $\cos \varphi_2 = \text{const}$, а на рис. 1.38, б — график $\Delta U = f(\cos \varphi_2)$ при $\beta = \text{const}$. На этих графиках отрицательные значения ΔU при работе трансформатора с емкостной нагрузкой соответствуют

повышению напряжения при переходе от режима х. х. к нагрузке. Имея в виду, что $u_{ka} = u_k \cos \varphi_k$, $u_{kp} = u_k \sin \varphi_k$, получим еще одно выражение для расчета изменения вторичного напряжения при любой нагрузке:

$$\Delta U = \beta u_k (\cos \varphi_k \cos \varphi_2 + \sin \varphi_k \sin \varphi_2) = \beta u_k \cos(\varphi_k - \varphi_2). \quad (1.72)$$

Из (1.72) следует, что наибольшее значение изменения напряжения $\Delta U = u_k$ имеет место при равенстве углов фазового сдвига $\varphi_2 = \varphi_k$, когда $\cos(\varphi_k - \varphi_2) = 1$.

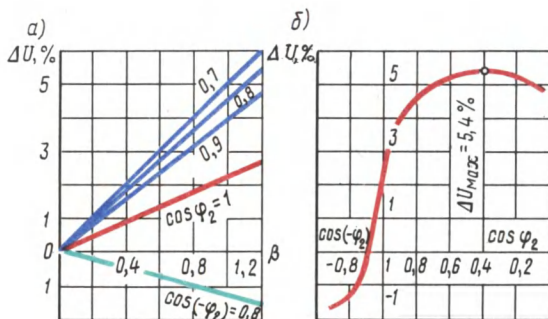


Рис. 1.38. Зависимость ΔU от величины нагрузки (а) и коэффициента мощности нагрузки (б) трехфазного трансформатора (100 кВ·А, 6,3/0,22 кВ, $u_k = 5,4\%$, $\cos \varphi_k = 0,4$)

Зависимость вторичного напряжения U_2 трансформатора от нагрузки I_2 называют *внешней характеристикой*. Напомним, что в силовых трансформаторах за номинальное вторичное напряжение принимают напряжение на зажимах вторичной обмотки в режиме х. х. при номинальном первичном напряжении (см. § 1.3).

Вид внешней характеристики (рис. 1.39) зависит от характера нагрузки трансформатора ($\cos \varphi_2$). Внешнюю характеристику трансформатора можно построить по (1.72) путем расчета ΔU для разных значений β и $\cos \varphi_2$.

Пример 1.6. Для трансформатора, данные которого приведены в примерах 1.4 и 1.5 (см. § 1.11), определить изменение вторичного напряжения при номинальной нагрузке ($\beta = 1$) с коэффициентом мощности $\cos \varphi_2 = 0,8$ для нагрузок двух характеров: активно-индуктивной и активно-емкостной.

Решение. Из примера 1.4 имеем: $u_{k75} = 5,4\%$; $\cos \varphi_{k75} = 0,40$; $\sin \varphi_{k75} = 0,92$. По (1.72) при $\cos \varphi_2 = 0,8$ и $\sin \varphi_2 = 0,6$ получим: для активно-индуктивной нагрузки $\Delta U = 5,4(0,4 \cdot 0,8 + 0,92 \cdot 0,6) = 4,65\%$; для активно-емкостной нагрузки

$$\Delta U = 5,4[0,4 \cdot 0,8 + 0,92 \cdot (-0,6)] = -1,2\%.$$

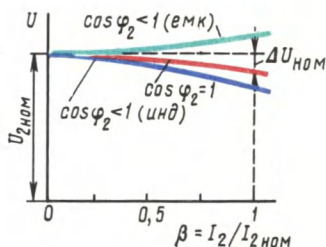


Рис. 1.39. Внешние характеристики трансформатора

В результате аналогичных расчетов, проделанных при $\beta = 0 \div 1,2$, для нагрузок с $\cos\varphi_2$, равным 0,7; 0,8; 0,9 и 1,0, получены данные, по которым построены графики $\Delta U = f(\beta)$, представленные на рис. 1.38, а.

Наибольшее изменение напряжения соответствует активно-индуктивной нагрузке с $\cos\varphi_2 = \cos\varphi_{k75} = 0,40$ и коэффициенту нагрузки $\beta = 1$ (перегрузка трансформатора недопустима) $\Delta U_{\max} = u_{k75} = 5,4 \%$ (см. рис. 1.38, б).

§ 1.14. Потери и КПД трансформатора

В процессе трансформирования электрической энергии часть энергии теряется в трансформаторе на покрытие потерь. Потери в трансформаторе разделяются на электрические и магнитные.

Электрические потери. Обусловлены нагревом обмоток трансформаторов при прохождении по этим обмоткам электрического тока. Мощность электрических потерь P_z пропорциональна квадрату тока и определяется суммой электрических потерь в первичной P_{z1} и во вторичной P_{z2} обмотках:

$$P_z = P_{z1} + P_{z2} = mI_1^2 r_1 + mI_2^2 r_2, \quad (1.73)$$

где m — число фаз в обмотках трансформатора (для однофазного трансформатора $m = 1$, для трехфазного $m = 3$).

При проектировании трансформатора величину электрических потерь определяют по (1.73), а для изготовленного трансформатора эти потери определяют опытным путем, измерив мощность к. з. (см. § 1.11) при номинальных токах в обмотках $P_{к\text{ ном}}$:

$$P_z = \beta^2 P_{к\text{ ном}}, \quad (1.74)$$

где β — коэффициент нагрузки (см. § 1.13).

Электрические потери называют *переменными*, так как их величина зависит от нагрузки трансформатора (рис. 1.40).

Магнитные потери. Происходят главным образом в магнитопроводе трансформатора. Причина этих потерь — систематическое перемагничивание магнитопровода переменным магнитным полем. Это перемагничивание вызывает в магнитопроводе два вида магнитных потерь: потери от гистерезиса P_r , связанные с затратой энергии на уничтожение остаточного магнетизма в ферромагнитном материале магнитопровода, и потери от вихревых токов $P_{вт}$, наводимых переменным магнитным полем в пластинах магнитопровода:

$$P_m = P_r + P_{вт}.$$

С целью уменьшения магнитных потерь магнитопровод трансформатора выполняют из магнитно-мягкого ферромагнитного материала — тонколистовой электротехнической стали. При этом магнитопровод делают шихтованным в виде пакетов из тонких пластин (полос), изолированных с двух сторон тонкой пленкой лака.

Магнитные потери от гистерезиса прямо пропорциональны частоте перемагничивания магнитопровода, т. е. частоте переменного тока ($P_r \equiv f$), а магнитные потери от вихревых токов

пропорциональны квадрату этой частоты ($P_{вт} \equiv f^2$). Суммарные магнитные потери принято считать пропорциональными частоте тока в степени 1,3, т. е. $P_m \equiv f^{1,3}$. Величина магнитных потерь зависит также и от магнитной индукции в стержнях и ядрах магнитопровода ($P_m \equiv B^2$). При неизменном первичном напряжении ($U_1 = \text{const}$) магнитные потери *постоянны*, т. е. не зависят от нагрузки трансформатора (рис. 1.40, а).

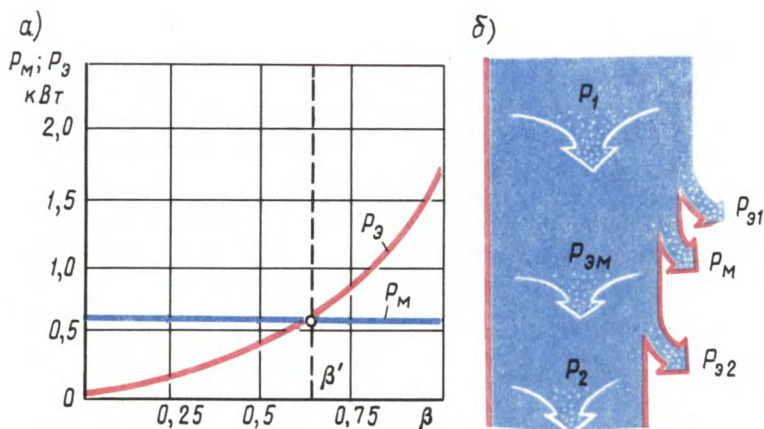


Рис. 1.40. Зависимость потерь трансформатора от его нагрузки (а) и энергетическая диаграмма (б) трансформатора

При проектировании трансформатора магнитные потери определяют по значению удельных магнитных потерь $P_{уд}$, происходящих в 1 кг тонколистовой электротехнической стали при значениях магнитной индукции 1,0; 1,5 или 1,7 Тл и частоте перемагничивания 50 Гц:

$$P_m = P_{уд} (B/B_x)^2 (f/50)^{1,3} G, \quad (1.75)$$

где B — фактическое значение магнитной индукции в стержне или ярме магнитопровода трансформатора, Тл; B_x — магнитная индукция, соответствующая принятому значению удельных магнитных потерь, например $B_x = 1,0$ или 1,5 Тл; G — масса стержня или ярма магнитопровода, кг.

Значения удельных магнитных потерь указаны в ГОСТе на тонколистовую электротехническую сталь. Например, для стали марки 3411 толщиной 0,5 мм при $B = 1,5$ Тл и $f = 50$ Гц удельные магнитные потери $P_{1,5/50} = 2,45$ Вт/кг.

Для изготовленного трансформатора магнитные потери опре-

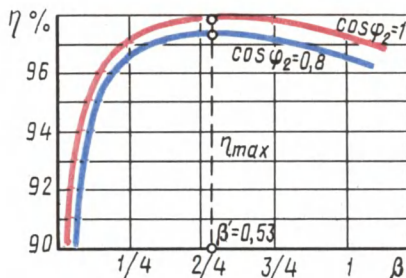


Рис. 1.41. График зависимости КПД трансформатора от нагрузки

деляют опытным путем, измерив мощность х. х. при номинальном первичном напряжении $P_{0\text{ном}}$ (см. § 1.11).

Таким образом, активная мощность P_1 , поступающая из сети в первичную обмотку трансформатора, частично расходуется на электрические потери в этой обмотке $P_{э1}$. Переменный магнитный поток вызывает в магнитопроводе трансформатора магнитные потери P_m . Оставшаяся после этого мощность, называемая *электромагнитной мощностью* $P_m = P_1 - P_{э1} - P_m$, передается во вторичную обмотку, где частично расходуется на электрические потери в этой обмотке $P_{э2}$. Активная мощность, поступающая в нагрузку трансформатора, $P_2 = P_1 - \sum P$, где $\sum P = P_{э1} + P_m + P_{э2}$ — суммарные потери в трансформаторе. Все виды потерь, сопровождающие рабочий процесс трансформатора, показаны на энергетической диаграмме (рис. 1.40, б).

Коэффициент полезного действия трансформатора определяется как отношение активной мощности на выходе вторичной обмотки P_2 (полезная мощность) к активной мощности на входе первичной обмотки P_1 (подводимая мощность):

$$\eta = P_2/P_1 = (P_1 - \sum P)/P_1 = 1 - \sum P/P_1. \quad (1.76)$$

Сумма потерь

$$\sum P = P_{0\text{ном}} + \beta^2 P_{\text{к ном}}. \quad (1.77)$$

Активная мощность на выходе вторичной обмотки трехфазного трансформатора (Вт)

$$P_2 = \sqrt{3} U_2 I_2 \cos \varphi_2 = \beta S_{\text{ном}} \cos \varphi_2, \quad (1.78)$$

где $S_{\text{ном}} = \sqrt{3} U_{2\text{ном}} I_{2\text{ном}}$ — номинальная мощность трансформатора, В·А; I_2 и U_2 — линейные значения тока, А, и напряжения В.

Учитывая, что $P_1 = P_2 + \sum P$, получаем выражение для расчета КПД трансформатора:

$$\eta = \frac{\beta S_{\text{ном}} \cos \varphi_2}{\beta S_{\text{ном}} \cos \varphi_2 + P_{0\text{ном}} + \beta^2 P_{\text{к ном}}}. \quad (1.79)$$

Анализ выражения (1.79) показывает, что КПД трансформатора зависит как от величины (β), так и от характера ($\cos \varphi_2$) нагрузки. Эта зависимость иллюстрируется графиками (рис. 1.41). Максимальное значение КПД соответствует нагрузке, при которой магнитные потери равны электрическим: $P_{0\text{ном}} = \beta^2 P_{\text{к ном}}$, отсюда значение коэффициента нагрузки, соответствующее максимальному КПД,

$$\beta' = \sqrt{P_{0\text{ном}}/P_{\text{к ном}}}. \quad (1.80)$$

Обычно КПД трансформатора имеет максимальное значение при $\beta' = 0,45 \div 0,65$. Подставив в (1.79) вместо β значение β' по (1.80), получим выражение максимального КПД трансформатора:

$$\eta_{\text{макс}} = \frac{\beta' S_{\text{ном}} \cos \varphi_2}{\beta' S_{\text{ном}} \cos \varphi_2 + 2P_{0\text{ном}}}. \quad (1.81)$$

Помимо рассмотренного КПД по мощности иногда пользуются понятием КПД по энергии, который представляет собой отношение количества энергии, отданной трансформатором потребителю W_2 (кВт·ч) в течение года, к энергии W_1 , полученной им от питающей электросети за это же время:

$$\eta_p = W_2 / W_1.$$

КПД трансформатора по энергии характеризует эффективность эксплуатации трансформации.

Пример 1.7. Определить КПД и построить графики зависимости $\eta = f(\beta)$ трехфазного трансформатора мощностью 100 кВ·А, напряжением 6,3/0,22 кВ по данным опытов х.х. (см. пример 1.4) и к.з. (см. пример 1.5): $P_{0\text{ном}} = 605$ Вт, $P_{\text{к ном}} = 2160$ Вт). Расчет выполнить для двух значений коэффициента мощности нагрузки: 0,8 и 1,0

Решение Для построения графиков $\eta = f(\beta)$ вычисляем КПД для ряда значений коэффициента нагрузки β , равных 0,25; 0,50; 0,75 и 1,0.

Результаты расчета приведены в табл. 1.3.

Т а б л и ц а 1.3

β	$\beta^2 P_{\text{к ном}},$ Вт	$\Sigma P, \text{ Вт}$	КПД, %, при $\cos \varphi_2$	
			$\cos \varphi_2 = 0,8$	$\cos \varphi_2 = 1$
0,25	134	739	96,5	97,0
0,50	540	1145	97,3	97,8
0,75	1210	1815	97,1	97,6
1,0	2150	2755	96,6	97,3

П р и м е ч а н и я 1) $\beta' = \sqrt{605/2160} = 0,53$ [см (1 80)], 2) $P_{0\text{ ном}} = 605$ Вт

Максимальное значение КПД по (1 81):
при $\cos \varphi_2 = 0,8$

$$\eta = \frac{0,53 \cdot 100 \cdot 10^3 \cdot 0,8}{0,53 \cdot 100 \cdot 10^3 \cdot 0,8 + 2 \cdot 605} = 0,972, \text{ или } 97,2 \%;$$

при $\cos \varphi_2 = 1,0$

$$\eta = \frac{0,53 \cdot 100 \cdot 10^3 \cdot 1,0}{0,53 \cdot 100 \cdot 10^3 \cdot 1,0 + 2 \cdot 605} = 0,978, \text{ или } 97,8 \%.$$

Таким образом, КПД выше при активной нагрузке.

§ 1.15. Регулирование напряжения трансформаторов

Обмотки ВН понижающих трансформаторов снабжают регулировочными ответвлениями, с помощью которых можно получить коэффициент трансформации, несколько отличающийся от номинального, соответствующего номинальному вторичному напряжению при номинальном первичном. Необходимость в этом объясняется тем, что напряжения в разных точках линии электропередачи, куда могут быть включены понижающие трансфор-

маторы, отличаются друг от друга и, как правило, от номинального первичного напряжения. Кроме того, напряжение в любом месте линии может изменяться из-за колебаний нагрузки. Но так как напряжение на зажимах вторичной обмотки трансформатора во всех случаях должно быть равно номинальному или незначительно отличаться от него, то возможность изменения коэффициента трансформации становится необходимой. Регу-

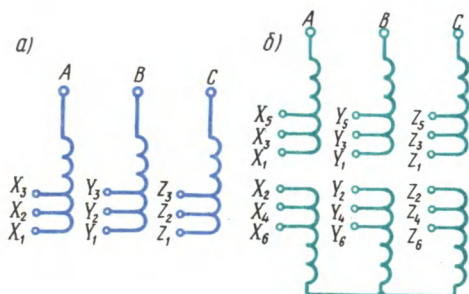


Рис. 1.42. Схемы обмоток трехфазных трансформаторов с регулировочными ответвлениями

ровочные ответвления делают в каждой фазе либо вблизи нулевой точки, либо посередине обмотки. В первом случае на каждой фазе делают по три ответвления (рис. 1.42, а), при этом среднее ответвление соответствует номинальному коэффициенту трансформации, а два других — коэффициентам трансформации, отличающимся от номинального на $\pm 5\%$. Во втором случае обмотку разделяют на две части и делают шесть от-

ветвлений (рис. 1.42, б). Это дает возможность кроме номинального коэффициента трансформации получить еще четыре дополнительных значения, отличающихся от номинального на $\pm 2,5$ и $\pm 5\%$.

Переключать ответвления обмоток можно при отключенном от сети трансформаторе (переключение без возбуждения — ПБВ) или же без отключения трансформатора (регулирование под нагрузкой — РПН). Для ПБВ применяют переключатели ответвлений (рис. 1.43). На каждую фазу устанавливают по одному переключателю, при этом вал, вращающий контактные кольца переключателей по всем фазам одновременно, связан посредством штанги с рукояткой б на крышке бака трансформатора (см. рис. 1.13).

Принцип РПН основан на изменении коэффициента трансформации посредством регулировочных ответвлений. Однако переключение с одного ответвления на другое осуществляют без разрыва цепи рабочего тока. С этой целью обмотку каждой фазы снабжают специальным переключающим

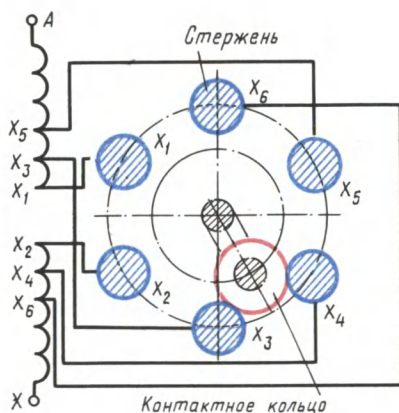


Рис. 1.43. Переключатель ответвлений ПБВ

устройством, состоящим из реактора P , двух контакторов с контактами $K1$ и $K2$ и переключателя с двумя подвижными контактами $\Pi1$ и $\Pi2$ (рис. 1.44, а).

В рабочем положении оба подвижных контактора переключателя находятся на одном ответвлении, контакты $K1$ и $K2$ замкнуты и рабочий ток направлен параллельно по двум половинам обмотки реактора. Если возникла необходимость переключе-

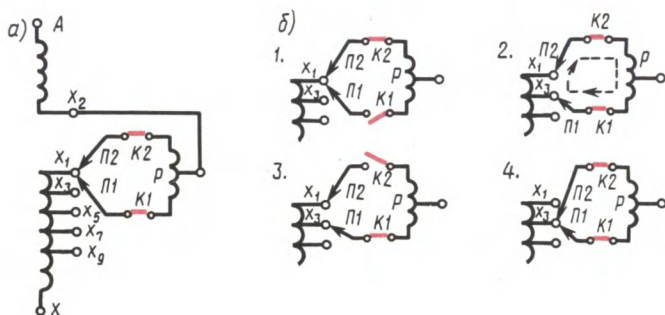


Рис. 1.44. Последовательность переключения контактов под нагрузкой

ния с одного ответвления на другое, например с X_1 на X_3 , то разомкнутся контакты контактора $K1$ (положение 1 на рис. 1.44, б), подвижный контакт $\Pi1$ переключателя обесточенной ветви переводится на другое ответвление и контакты контактора $K1$ вновь замыкаются (положение 2). В этом положении часть обмотки между ответвлениями X_1 и X_3 оказывается замкнутой. Однако ток в цепи переключающего устройства не достигает большого значения, так как он ограничивается сопротивлением реактора P . В таком же порядке осуществляется перевод подвижного контакта $K2$ с ответвления X_1 на ответвление X_3 (положения 3 и 4), после чего процесс переключения заканчивается. Аппаратура РПН располагается в общем баке с трансформатором, а ее переключение автоматизируется или осуществляется дистанционно (со щита управления). Трансформаторы с РПН обычно рассчитаны для регулирования напряжения в пределах 6—10 %.

При весьма значительных мощностях трансформатора аппаратура РПН становится слишком громоздкой. В этом случае применяют регулирование напряжения с помощью *вольдобавочного трансформатора*, состоящего из трансформатора ПТ, включенного последовательно, и регулировочного автотрансформатора РА с переключающим устройством ПУ (рис. 1.45).

Напряжение вторичной обмотки ΔU трансформатора ПТ суммируется с напряжением линии $U_{л1}$ и изменяет его до значения $\dot{U}_{л2} = \dot{U}_{л1} + \Delta \dot{U}$. Величина ΔU может изменяться посредством

РА. При этом переключателем продольного регулирования (ППР) можно изменять фазу $\Delta \dot{U}$ на $\pm 180^\circ$, так что одно положение ППР будет соответствовать увеличению напряжения $\dot{U}_{л2} = \dot{U}_{л1} + \Delta \dot{U}$, а другое — уменьшению напряжения $\dot{U}_{л2} = \dot{U}_{л1} - \Delta \dot{U}$. Кроме того, возможны и другие способы фазового воздействия на $\Delta \dot{U}$, например комбинация различных схем соединения трехфазных обмоток (звезда, треугольник) в вольтдобавочном трансформаторе, создающая фазовые сдвиги $\Delta \dot{U}$ относительно $U_{л1}$ на углы $60, 120$ и 90° (поперечное регулирование). В этих случаях изменение $\Delta \dot{U}$ влияет не только на значение, но и на фазу напряжения $U_{л2}$.

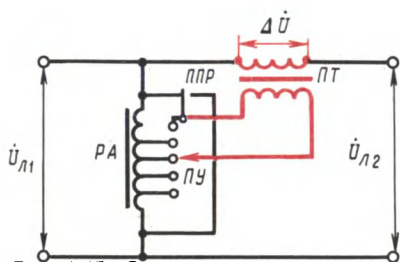


Рис. 1.45. Схемы включения вольтдобавочного трансформатора

Контрольные вопросы

1. Каков принцип работы трансформатора?
2. Почему трансформаторы не работают от сети постоянного тока?
3. Из каких частей состоит активная часть трансформатора? Каковы их назначение и конструкция?
4. Каково назначение трансформаторного масла?
5. Как определить номинальные токи и номинальное вторичное напряжение трансформатора?
6. Почему с увеличением тока нагрузки трансформатора увеличивается ток в его первичной обмотке?
7. Что такое приведенный трансформатор?
8. Объясните порядок построения векторной диаграммы трансформатора.
9. При каких условиях и почему вторичное напряжение трансформатора становится больше ЭДС?
10. Чем объясняется несимметрия токов х. х. в трехфазном трансформаторе?
11. Как изменится отношение линейных напряжений трехфазного трансформатора, если его обмотки переключить со схемы Δ/Y на Y/Δ ?
12. Будет ли изменяться ток х. х. и как при увеличении или уменьшении сечения стержней магнитопровода?
13. На что расходуется активная мощность, потребляемая трансформатором при опытах х. х. и к. з.?
14. Как опытным путем определить напряжение к. з. трансформатора?
15. К какой обмотке целесообразно подводить напряжение при опыте х. х., а к какой — при опыте к. з.? Объясните, почему.
16. Изменится ли основной магнитный поток и ток х. х., если трансформатор включить в сеть с частотой выше или ниже номинальной?
17. Объясните принцип регулирования напряжения под нагрузкой.
18. Каков порядок переключения контактов переключающего устройства при регулировании напряжения под нагрузкой?
19. Объясните назначение и принцип работы вольтдобавочного трансформатора.

Глава 2 • Группы соединения обмоток и параллельная работа трансформаторов

§ 2.1. Группы соединения обмоток

До сих пор при построении векторных диаграмм трансформатора считалось, что ЭДС фазы обмотки ВН \dot{E}_{AX} и обмотки НН \dot{E}_{ax} совпадают по фазе. Но это справедливо лишь при условии намотки первичной и вторичной обмоток трансформатора в одном направлении и одноименной маркировке выводов этих обмоток, как показано на рис. 2.1, а. Если же в трансформаторе изменить направление обмотки НН или же переставить обозначения ее выводов, то ЭДС \dot{E}_{ax} окажется сдвинутой по фазе относительно ЭДС \dot{E}_{AX} на 180° (рис. 2.1, б). Сдвиг фаз между ЭДС \dot{E}_{AX} и \dot{E}_{ax} принято выражать группой соединения. Так как этот сдвиг фаз может изменяться от 0 до 360° , а кратность сдвига составляет 30° , то для обозначения группы соединения принят ряд чисел: 1, 2, 3, 4, 5, 6, 7, 8, 9, 10, 11 и 0.

Угол смещения вектора линейной ЭДС обмотки НН по отношению к вектору линейной ЭДС обмотки ВН определяют умножением числа, обозначающего группу соединения, на 30° . Угол смещения отсчитывают от вектора ЭДС обмотки ВН по часовой стрелке до вектора ЭДС обмотки НН. Например, группа соединения 5 указывает, что вектор ЭДС НН отстает по фазе от вектора ЭДС ВН на угол $5 \cdot 30^\circ = 150^\circ$.

Для лучшего понимания принятого обозначения групп соединения пользуются сравнением с часами. При этом вектор ЭДС обмотки ВН соответствует минутной стрелке, установленной на цифре 12, а вектор ЭДС обмотки НН — часовой стрелке (рис. 2.2). При этом необходимо иметь в виду, что совпадение по фазе векторов ЭДС \dot{E}_{AX} и \dot{E}_{ax} , эквивалентное совпадению стрелок часов на циферблате, обозначается группой 0 (а не 12). Кроме того, следует помнить, что за положительное направление вращения векторов ЭДС принято их вращение против часовой стрелки.

Таким образом, в однофазном трансформаторе возможны лишь две группы соединения: группа 0, соответствующая совпадению по фазе \dot{E}_{AX} и \dot{E}_{ax} , и

группа 6, соответствующая сдвигу фаз между \dot{E}_{Ax} и \dot{E}_{ax} на 180° . Из этих групп ГОСТ предусматривает лишь группу 0, она обозначается I/I—0.

Применением разных способов соединения обмоток в *трех-фазных* трансформаторах можно создать 12 различных групп

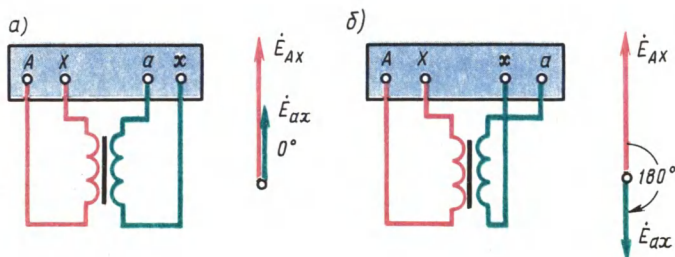


Рис. 2.1. Группы соединения обмоток однофазных трансформаторов:

a — группа I/I — 0, *б* — группа I/I — 6



Рис. 2.2. Сравнение положения стрелок часов с обозначением групп соединения

соединения. Рассмотрим в качестве примера схему соединений «звезда — звезда» (рис. 2.3, *a*). Векторные диаграммы ЭДС показывают, что сдвиг между линейными ЭДС \dot{E}_{AB} и \dot{E}_{ab} в данном случае равен нулю. В этом можно убедиться, совместив точки *A* и *a* при наложении векторных диаграмм ЭДС обмоток ВН и НН. Следовательно, при указанных схемах соединения обмоток имеет место группа 0; обозначается Y/Y—0. Если же на стороне НН в нулевую точку соединить зажимы *a*, *b* и *c*, а снимать ЭДС с зажимов *x*, *y* и *z*, то ЭДС \dot{E}_{ab} изменит фазу на 180° и трансформатор будет принадлежать группе 6 (Y/Y—6) (рис. 2.3, *б*).

При соединении обмоток «звезда — треугольник», показанном на рис. 2.4, *a*, имеет место группа 11 (Y/Δ—11). Если же поменять местами начала и концы фазных обмоток НН, то вектор \dot{E}_{ab} повернется на 180° и трансформатор будет относиться к группе 5 (Y/Δ—5) (рис. 2.4, *б*).

При одинаковых схемах соединения обмоток ВН и НН, например Y/Y и Δ/Δ, получают четные группы соединения, а при

неодинаковых схемах, например Y/Δ или Δ/Y , — нечетные.

Рассмотренные четыре группы соединения (0, 6, 11 и 5) называют *основными*. Из каждой основной группы соединения методом круговой перемаркировки выводов на одной стороне трансформатора, например на стороне НН (без изменения схемы со-

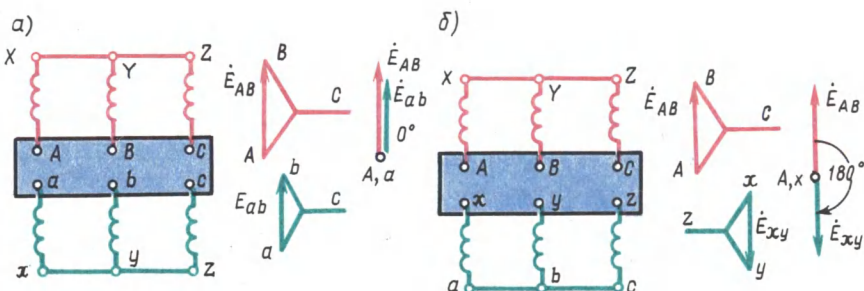


Рис. 2.3. Схемы соединения обмоток и векторные диаграммы:
а — для группы $Y/Y-0$; б — для группы $Y/Y-6$

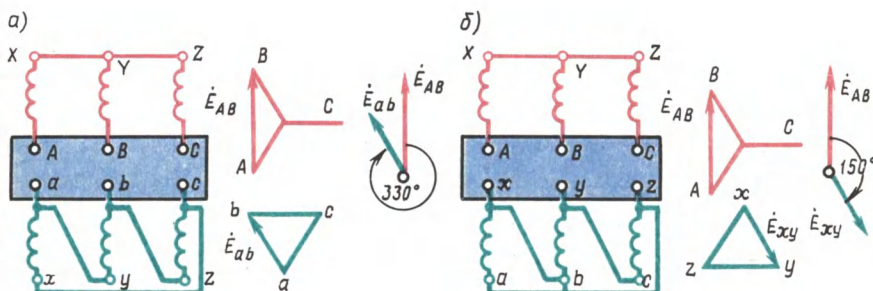


Рис. 2.4. Схемы соединения обмоток и векторные диаграммы:
а — для группы $Y/\Delta-11$; б — для группы $Y/\Delta-5$

единения), можно получить по две производные группы. Например, если в трансформаторе с группой соединения $Y/Y-0$ (рис. 2.3, а) выводы обмотки НН перемаркировать и вместо последовательности abc принять последовательность cab , то вектор ЭДС \dot{E}_{ab} повернется на 120° , при этом получим группу соединения $Y/Y-4$. Если же выводы обмоток НН перемаркировать в последовательность bca , то вектор \dot{E}_{ab} повернется еще на 120° , а всего на 240° ; получим группу $Y/Y-8$.

Аналогично от основной группы 6 путем круговой перемаркировки получают производные группы 10 и 2, от основной группы 11 — производные группы 3 и 7, от основной группы 5 — производные группы 9 и 1.

Основные группы соединения имеют некоторое преимущество перед производными, так как предусматривают одноименную маркировку выводов обмоток, расположенных на одном стержне. Это уменьшает вероятность ошибочных присоединений. Однако

не все группы соединения имеют практическое применение в трехфазных трансформаторах. ГОСТ определяет схемы и группы соединения, применяемые для силовых двухобмоточных трансформаторов общепромышленного назначения (рис. 2.5).

Соединяя обмотки НН в зигзаг в сочетании с соединением обмотки ВН в звезду или треугольник, можно получить практи-

Схемы соединения обмоток		Диаграммы векторов ЭДС		Условные обозначения
ВН	НН	ВН	НН	

Рис. 2.5. Схемы и группы соединения обмоток трехфазных двухобмоточных трансформаторов

чески любой угол сдвига фаз между ЭДС обмоток ВН и НН. Этого достигают разделением обмотки НН на две части (см. § 1.11) с различным соотношением витков в этих частях, а следовательно, и с различным значением угла β (см. рис. 1.22, б).

При изготовлении или в процессе эксплуатации трансформаторов иногда возникает необходимость в опытной проверке группы соединения. Существует несколько методов такой проверки, но наиболее распространены методы фазометра и вольтметра.

Метод фазометра. Основан на непосредственном измерении угла фазового сдвига между соответствующими линейными напряжениями (ЭДС) обмоток ВН и НН с помощью фазометра φ , включенного по схеме, показанной на рис. 2.6, а. Параллельную обмотку фазометра $U-U$ подключают к стороне ВН, а последовательную обмотку $I-I$ — к стороне НН. Для ограничения тока ее подключают через добавочное сопротивление $r_{доб}$. Затем трансформатор включают в сеть с симметричным трехфазным напряжением. Для удобства измерений желательно, чтобы фазометр имел полную (360°) шкалу.

Метод вольтметра. Непосредственного измерения угла фазового сдвига между линейными напряжениями (ЭДС) этот метод не дает. Это *косвенный* метод и основан на измерении вольтметром напряжений (ЭДС) между одноименными выводами обмоток ВН и НН. Если проверяют группу соединения $Y/Y-0$ (рис. 2.6, б), то, соединив проводом выводы A и a , измеряют напряжение U_{b-B} (между выводами b и B) и U_{c-C} (между выводами c и C). Если предполагаемая группа соединения $Y/Y-0$ соответствует фактической, то напряжения (В)

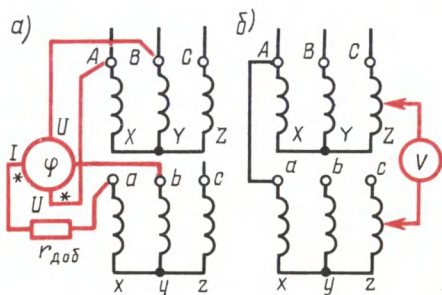


Рис. 2.6. Проверка группы соединения $Y/Y-0$ методами фазометра (а) и вольтметра (б)

$$U_{b-B} = U_{c-C} = U_{ab}(k_{\text{л}} - 1), \quad (2.1)$$

где $k_{\text{л}} = U_{AB}/U_{ab}$ — отношение линейных напряжений (ЭДС) ВН и НН, т. е. коэффициент трансформации линейных напряжений (ЭДС).

Если проверяют группы соединения 6, 11 или 5, то для проверки измеренных значений напряжений пользуются формулами: группа $Y/Y-6$

$$U_{b-B} = U_{c-C} = U_{xy}(k_{\text{л}} + 1); \quad (2.2)$$

группа $Y/\Delta-11$

$$U_{b-B} = U_{c-C} = U_{ab}\sqrt{1 - \sqrt{3}k_{\text{л}} + k_{\text{л}}^2}; \quad (2.3)$$

группа $Y/\Delta-5$

$$U_{b-B} = U_{c-C} = U_{xy}\sqrt{1 + \sqrt{3}k_{\text{л}} + k_{\text{л}}^2}. \quad (2.4)$$

Здесь U_{ab} и U_{xy} — линейные напряжения на выводах обмоток НН, В.

Если условия равенства напряжений по приводимым формулам не соблюдаются, то это свидетельствует о нарушениях в маркировке выводов трансформатора.

§ 2.2. Параллельная работа трансформаторов

Параллельной работой двух или нескольких трансформаторов называется работа при параллельном соединении их обмоток как на первичной, так и на вторичной сторонах. При параллельном соединении одноименные зажимы трансформаторов присоединяют к одному и тому же проводу сети (рис. 2.7, а).

Применение нескольких параллельно включенных трансформаторов вместо одного трансформатора суммарной мощности необходимо для обеспечения бесперебойного энергоснабжения

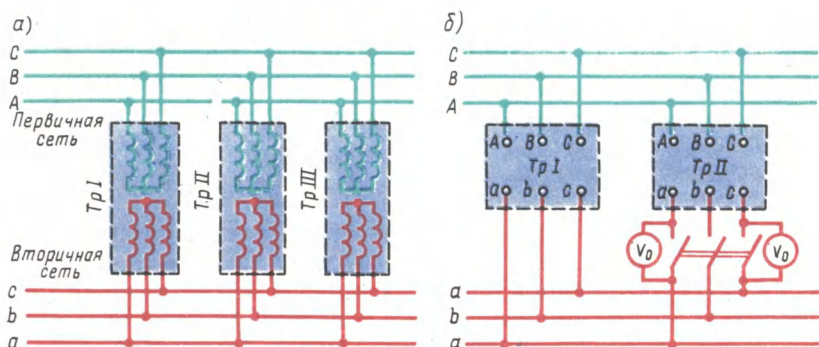


Рис. 2.7. Включение трансформаторов на параллельную работу

в случае аварии в каком-либо трансформаторе или отключения его для ремонта. Это также целесообразно при работе трансформаторной подстанции с переменным графиком нагрузки, например когда мощность нагрузки значительно меняется в различные часы суток. В этом случае при уменьшении мощности нагрузки можно отключить один или несколько трансформаторов для того, чтобы нагрузка трансформаторов, оставшихся включенными, была близка к номинальной. В итоге эксплуатационные показатели работы трансформаторов (КПД и $\cos\varphi_2$) будут достаточно высокими.

Для того чтобы нагрузка между параллельно работающими трансформаторами распределялась пропорционально их номинальным мощностям, допускается параллельная работа двухобмоточных трансформаторов при следующих условиях:

1. При одинаковом первичном напряжении вторичные напряжения должны быть равны. Другими словами, трансформаторы должны иметь одинаковые коэффициенты трансформации: $k_I = k_{II} = k_{III} = \dots$. При несоблюдении этого условия, даже в режиме х. х., между параллельно включенными трансформаторами

возникает уравнивающий ток, обусловленный разностью вторичных напряжений трансформаторов (рис. 2.8, а):

$$I_{yp} = \Delta \dot{U} / (Z_{kI} + Z_{kII}), \quad (2.5)$$

где Z_{kI} и Z_{kII} — внутренние сопротивления трансформаторов.

При нагрузке трансформаторов уравнивающий ток накладывается на нагрузочный. При этом трансформатор с более высоким вторичным напряжением х. х. (с меньшим коэффициентом трансформации) оказывается перегруженным, а трансформатор равной мощности, но с большим коэффициентом трансформации — недогруженным. Так как перегрузка трансформаторов недопустима, то приходится снижать общую нагрузку. При значительной разнице коэффициентов трансформации нормальная работа трансформаторов становится практически невозможной. Однако ГОСТ допускает включение на параллельную работу трансформаторов с различными коэффициентами трансформации, если разница коэффициентов трансформации не превышает $\pm 0,5\%$ их среднего значения:

$$\Delta k = [(k_I - k_{II}) / k] 100\% \leq 0,5\%, \quad (2.6)$$

где $k = \sqrt{k_I k_{II}}$ — среднее геометрическое значение коэффициентов трансформации.

2. Трансформаторы должны принадлежать к одной группе соединения. При несоблюдении этого условия вторичные линейные напряжения трансформаторов окажутся сдвинутыми по фазе относительно друг друга и в цепи трансформаторов появится разностное напряжение ΔU , под действием которого возникнет значительный уравнивающий ток. Так, если включить на параллельную работу два трансформатора с одинаковыми коэффициентами трансформации, но один из них принадлежит к нулевой ($Y/Y-0$), а другой — к одиннадцатой ($Y/\Delta-11$) группам соединения, то линейное напряжение U_{2I} первого трансформатора будет больше линейного напряжения U_{2II} второго трансформатора в $\sqrt{3}$ раз ($U_{2I}/U_{2II} = \sqrt{3}$). Кроме того, векторы этих напряжений окажутся сдвинутыми по фазе относительно друг друга на угол 30° (рис. 2.8, б). В этих условиях во вторичной цепи трансформаторов появится разностное напряжение ΔU . Для определения величины ΔU воспользуемся построениями рис. 2.8, б: отрезок OA равен $\sqrt{3} U_{2II}/2$ или, учитывая, что $U_{2II} = U_{2I}/\sqrt{3}$, получим $OA = 0,5 U_{2I}$. Следовательно, треугольник, образованный векторами напряжений \dot{U}_{2I} , \dot{U}_{2II} и $\Delta \dot{U}$, — равнобедренный, а поэтому разностное напряжение $\Delta U = U_{2II}$. Появление такого разностного напряжения привело бы к возникновению во вторичной цепи трансформаторов уравнивающего тока, в 15—20 раз превышающего номинальный ток нагрузки, т. е. возникла бы

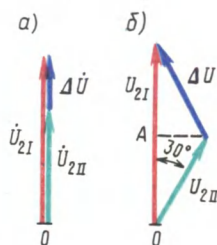


Рис. 2.8. Появление напряжения ΔU при несоблюдении условий включения трансформаторов на параллельную работу

аварийная ситуация. Величина ΔU становится еще большей, если трансформаторы принадлежат нулевой и шестой группам соединения ($\Delta U = 2U_2$), так как в этом случае векторы линейных вторичных напряжений окажутся в противофазе (см. рис. 2.3, б).

3. Трансформаторы должны иметь одинаковые напряжения к. з.: $u_{кI} = u_{кII} = u_{кIII} = \dots$. Соблюдение этого условия необходимо для того, чтобы общая нагрузка распределялась между трансформаторами пропорционально их номинальным мощностям.

С некоторым приближением, пренебрегая токами х. х., можно параллельно включенные трансформаторы заменить их сопротивлениями к. з. $Z_{кI}$ и $Z_{кII}$ и тогда от схемы, показанной на рис. 2.9, а, можно перейти к эквивалентной схеме (рис. 2.9, б). Известно, что токи в параллельных ветвях распределяются обратно пропорционально их сопротивлениям:

$$I_I/I_{II} = Z_{кII}/Z_{кI}. \quad (2.7)$$

Умножим обе части равенства (2.7) на $I_{IIном}U_{ном}/(I_{Iном}U_{ном})$, левую часть — на $U_{ном}/U_{ном}$, а правую часть — на $100/100$, получим

$$\frac{I_I I_{IIном} U_{ном} U_{ном}}{I_{II} I_{Iном} U_{ном} U_{ном}} = \frac{Z_{кII} I_{IIном} U_{ном} 100}{Z_{кI} I_{Iном} U_{ном} 100}.$$

Затем преобразуем полученное равенство, имея в виду следующее: $I_I U_{ном} = S_I$ и $I_{II} U_{ном} = S_{II}$ — фактическая нагрузка первого и второго трансформаторов соответственно, В·А; $I_{Iном} U_{ном} = S_{Iном}$ и $I_{IIном} U_{ном} = S_{IIном}$ — номинальные мощности этих трансформаторов, В·А; $(I_{Iном} Z_{кI}/U_{ном})100 = u_{кI}$ и $(I_{IIном} Z_{кII}/U_{ном})100 = u_{кII}$ — напряжения к. з. трансформаторов, %. В результате получим

$$(S_I/S_{Iном}) : (S_{II}/S_{IIном}) = u_{кII}/u_{кI}, \quad (2.8)$$

или

$$S_I'/S_{II}' = u_{кII}/u_{кI}, \quad (2.9)$$

где $S_I' = S_I/S_{Iном}$, $S_{II}' = S_{II}/S_{IIном}$ — соответственно относительные мощности (нагрузки) первого и второго трансформаторов.

Из соотношения (2.9) следует, что относительные мощности (нагрузки) параллельно работающих трансформаторов обратно пропорциональны их напряжениям к. з. Другими словами, при неравенстве напряжений к. з. параллельно работающих трансформаторов больше нагружается трансформатор с меньшим напряжением к. з. В итоге это ведет к перегрузке одного трансформатора (с меньшим u_k) и недогрузке другого (с большим u_k). Чтобы не допустить перегрузки трансформатора, необходимо снизить общую нагрузку. Таким образом, неравенство напряжений к. з. не допускает полного использования параллельно работающих трансформаторов по мощности.

Учитывая, что практически не всегда можно подобрать трансформаторы с одинаковыми напряжениями к. з., ГОСТ допускает включение трансформаторов на параллельную работу при разнице напряжений к. з. не более чем 10 % от их среднего арифметического значения. Разница в напряжениях к. з. трансформаторов тем больше, чем больше эти трансформаторы отличаются друг от друга по мощности. Поэтому ГОСТ рекомендует, чтобы отношение номинальных мощностей трансформаторов, включенных параллельно, было не более чем 3 : 1.

Помимо соблюдения указанных трех условий необходимо перед включением трансформаторов на параллельную работу проверить порядок чередования фаз, который должен быть одинаковым у всех трансформаторов.

Соблюдение всех перечисленных условий проверяется *фазировкой трансформаторов*, сущность которой состоит в том, что одну пару, противоположно расположенных зажимов на рубильнике (см. рис. 2.7, б) соединяют проводом и вольтметром V_0 (нулевой вольтметр) измеряют напряжение между оставшимися несоединенными парами зажимов рубильника. Если вторичные напряжения трансформаторов равны, их группы соединения одинаковы и порядок следования фаз у них один и тот же, то показания вольтметра V_0 равны нулю. В этом случае трансформаторы можно подключать на параллельную работу. Если вольтметр V_0 покажет некоторое напряжение, то необходимо выяснить, какое из условий параллельной работы нарушено. Необходимо устранить это нарушение и вновь провести фазировку трансформаторов. Следует отметить, что при нарушении порядка следования фаз вольтметр V_0 покажет двойное линейное напряжение. Это необходимо учитывать при подборе вольтметра, предел измерения которого должен быть не менее двойного линейного напряжения на вторичной стороне трансформаторов.

Общая нагрузка всех включенных на параллельную работу трансформаторов S не должна превышать суммарной номинальной мощности этих трансформаторов: $S \leq \sum S_{\text{ном}x}$.

Распределение нагрузки между параллельно работающими трансформаторами определяется следующим образом:

$$S_x = S S_{\text{ном}x} / [u_{\text{кз}} \sum (S_{\text{ном}x} / u_{\text{кз}})], \quad (2.10)$$

где S_x — нагрузка одного из параллельно работающих трансформаторов, кВ·А; S — общая нагрузка всей параллельной группы, кВ·А; $u_{\text{кз}}$ — напряжение к. з. данного трансформатора, %; $S_{\text{ном}x}$ — номинальная мощность данного трансформатора, кВ·А.

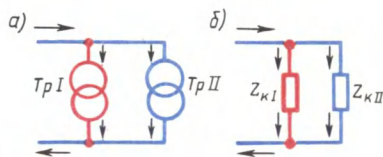


Рис. 2.9. К понятию о распределении нагрузки при параллельной работе трансформаторов

В выражении (2.10)

$$\Sigma(S_{\text{ном}x}/u_{\text{к}x}) = (S_{\text{номI}}/u_{\text{кI}}) + (S_{\text{номII}}/u_{\text{кII}}) + \dots \quad (2.11)$$

Пример 2.1. Три трехфазных трансформатора с одинаковыми группами соединения включены параллельно (см. рис. 2.7, а) на общую нагрузку 5000 кВ·А. Трансформаторы имеют следующие данные: $S_{\text{номI}} = 1000$ кВ·А, $u_{\text{кI}} = 6,5$ %, $S_{\text{номII}} = 1800$ кВ·А, $u_{\text{кII}} = 6,65$ %, $S_{\text{номIII}} = 2200$ кВ·А, $u_{\text{кIII}} = 6,3$ %. Определить нагрузку каждого трансформатора.

Решение. По (2.11) определим

$$\Sigma(S_{\text{ном}x}/u_{\text{к}x}) = 1000/6,5 + 1800/6,65 + 2200/6,3 = 775.$$

По (2.10) определим нагрузку каждого трансформатора:

$$S_{\text{I}} = 5000 \cdot 1000 / (6,5 \cdot 775) = 995 \text{ кВ} \cdot \text{А};$$

$$S_{\text{II}} = 5000 \cdot 1800 / (6,65 \cdot 775) = 1755 \text{ кВ} \cdot \text{А};$$

$$S_{\text{III}} = 5000 \cdot 2200 / (6,3 \cdot 775) = 2250 \text{ кВ} \cdot \text{А},$$

т. е. третий трансформатор оказался перегруженным на

$$[(2250 - 2200)/2200]100 = 2,3 \, \%.$$

Для устранения этой перегрузки следует снизить внешнюю нагрузку трансформаторов на 2,3 %, т. е. уменьшить ее до $S' = S - 2,3S/100 = 5000 - 2,3 \cdot 5000/100 = 4885$ кВ·А.

В этом случае суммарная мощность трансформаторов будет использована лишь на 97,7 %.

Контрольные вопросы

1. Что такое группа соединения и как она обозначается?
2. Какие группы соединения предусмотрены ГОСТом?
3. Как из основной группы соединения можно получить производную?
4. Как изменится отношение линейных напряжений трансформатора, если нулевую группу соединения изменить на 11-ю?
5. Какие условия необходимо соблюдать при включении трансформаторов на параллельную работу?
6. Что такое фазировка трансформатора и как она выполняется?

§ 3.1. Трехобмоточные трансформаторы

В трехобмоточном трансформаторе на каждую трансформируемую фазу приходится три обмотки. За номинальную мощность такого трансформатора принимают номинальную мощность наиболее нагружаемой его обмотки. Токи, напряжения и сопротивления других обмоток приводят к числу витков этой, наиболее мощной обмотки. Принцип работы трехобмоточного трансформатора по существу не отличается от принципа работы обычного двухобмоточного трансформатора.

Существуют трехобмоточные трансформаторы с одной первичной и двумя вторичными обмотками и трансформаторы с двумя первичными и одной вторичной обмотками.

Рассмотрим основные уравнения, особенности работы и область применения трехобмоточного трансформатора с одной первичной обмоткой, имеющего наибольшее распространение (рис. 3.1, а). Первичная (наиболее мощная) обмотка этого трансформатора является намагничивающей и создает в магнитопроводе магнитный поток, который сцепляется с двумя вторичными обмотками и наводит в них ЭДС \dot{E}_2 и \dot{E}_3 . Аналогично двухобмоточному трансформатору запишем для трехобмоточного трансформатора уравнение МДС:

$$\dot{I}_1 \omega_1 + \dot{I}_2 \omega_2 + \dot{I}_3 \omega_3 = \dot{I}_0 \omega_1. \quad (3.1)$$

Разделив (3.1) на ω_1 , получим уравнения токов:

$$\dot{I}_1 + \dot{I}'_2 + \dot{I}'_3 = \dot{I}_0; \quad (3.2)$$

$$\dot{I}'_2 = \dot{I}_2 / k_{12}; \quad \dot{I}'_3 = \dot{I}_3 / k_{13}. \quad (3.3)$$

Здесь $k_{12} = \omega_1 / \omega_2$ — коэффициент трансформации между обмотками ω_1 и ω_2 ; $k_{13} = \omega_1 / \omega_3$ — коэффициент трансформации между обмотками ω_1 и ω_3 .

Пренебрегая током х.х. \dot{I}_0 , получим упрощенное уравнение токов трехобмоточного трансформатора:

$$\dot{I}_1 \approx -(\dot{I}'_2 + \dot{I}'_3). \quad (3.4)$$

Экономическую целесообразность применения трехобмоточных трансформаторов можно объяс-

нить тем, что, как это следует из (3.4), первичный ток трехобмоточного трансформатора равен не арифметической, а геометрической сумме приведенных вторичных токов. Учитывая это равенство, а также и то, что нагрузка на вторичные обмотки достигает номинального значения не одновременно, первичную обмотку трехобмоточного трансформатора рассчитывают на мощность, меньшую арифметической суммы номинальных мощностей обеих вторичных обмоток. Еще одно достоинство трехобмоточного трансформатора состоит в том, что он фактически заменяет два двухобмоточных.

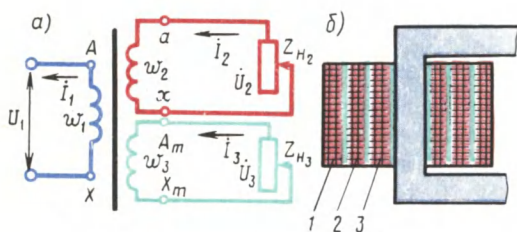


Рис. 3.1. Трехобмоточный трансформатор с одной первичной и двумя вторичными обмотками

Обмотки трехобмоточного трансформатора располагают на стержне обычно concentрически (рис. 3.1, б), при этом целесообразнее двустороннее расположение вторичных обмоток относительно первичной, тогда первичной является обмотка 2, а вторичными — обмотки 1 и 3. В этом случае взаимное влияние вторичных обмоток заметно ослабевает.

На крупных электростанциях иногда применяют трехобмоточные трансформаторы с двумя первичными обмотками (к каждой из них подключается генератор) и одной вторичной (от нее отходит линия электропередачи). Обычно это установки большой мощности, а поэтому в них применяют однофазные трехобмоточные трансформаторы, соединенные в трансформаторную группу.

§ 3.2. Автотрансформаторы

Автотрансформатор — это такой вид трансформатора, в котором помимо магнитной связи между обмотками имеется еще и электрическая связь. Обмотки обычного трансформатора можно включить по схеме автотрансформатора, для чего выход X обмотки w_{AX} соединяют с выводом a обмотки w_{ax} (рис. 3.2). Если выводы Ax подключить к сети, а к выводам ax подключить нагрузку Z_n , то получим понижающий автотрансформатор. Если же выводы ax подключить к сети, а к выводам Ax подключить нагрузку Z_n , то получим повышающий автотрансформатор.

Рассмотрим подробнее работу понижающего автотрансформатора. Обмотка w_{ax} одновременно является частью первичной обмотки и вторичной обмоткой. В этой обмотке проходит ток I_{12} . Для точки a запишем уравнение токов:

$$I_2 = I_1 + I_{12}, \quad (3.5)$$

или

$$I_{12} = I_2 - I_{12}, \quad (3.6)$$

т. е. по виткам w_{ax} проходит ток I_{12} , равный разности вторичного I_2 и первичного I_1 токов. Если коэффициент трансформации автотрансформатора $k_A = w_{Ax}/w_{ax}$ немногим больше единицы, то токи I_1 и I_2 мало отличаются друг от друга, а их разность состав-

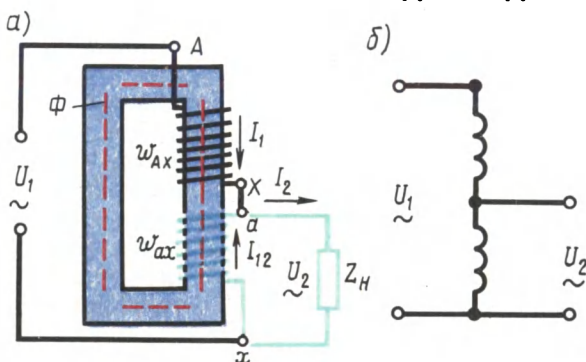


Рис. 3.2. Электромагнитная (а) и принципиальная (б) схемы однофазного понижающего автотрансформатора

ляет небольшую величину. Это позволяет выполнить витки w_{ax} проводом уменьшенного сечения.

Введем понятие *проходной мощности* автотрансформатора, представляющей собой всю передаваемую мощность $S_{пр} = U_2 I_2$ из первичной цепи во вторичную. Кроме того, различают еще *расчетную мощность* $S_{расч}$, представляющую собой мощность, передаваемую из первичной во вторичную цепь магнитным полем. Расчетной эту мощность называют потому, что размеры и вес трансформатора зависят от величины этой мощности. В трансформаторе вся проходная мощность является расчетной, так как между обмотками трансформатора существует лишь магнитная связь. В автотрансформаторе между первичной и вторичной цепями помимо **магнитной** связи существует еще и **электрическая**. Поэтому расчетная мощность составляет лишь часть проходной мощности, другая ее часть передается между цепями без участия магнитного поля. В подтверждение этого разложим проходную мощность автотрансформатора $S_{пр} = I_2 U_2$ на составляющие. Воспользуемся для этого выражением (3.5). Подставив это выражение в формулу проходной мощности, получим

$$S_{пр} = U_2 I_2 = U_2 (I_1 + I_{12}) = U_2 I_1 + U_2 I_{12} = S_3 + S_{расч}. \quad (3.7)$$

Здесь $S_3 = U_2 I_1$ — мощность, передаваемая из первичной цепи автотрансформатора во вторичную благодаря электрической связи между этими цепями.

Таким образом, расчетная мощность в автотрансформаторе $S_{расч} = U_2 I_{12}$ составляет лишь часть проходной. Это дает возможность для изготовления автотрансформатора использовать магнитопровод меньшего сечения, чем в трансформаторе равной мощности.

Средняя длина витка обмотки также становится меньше; следовательно, уменьшается расход меди на выполнение обмотки автотрансформатора. Одновременно уменьшаются магнитные и электрические потери, а КПД автотрансформатора повышается.

Таким образом автотрансформатор по сравнению с трансформатором равной мощности обладает следующими преимуществами: меньшим расходом активных материалов (медь и электротехническая сталь), более высоким КПД, меньшими размерами и стоимостью. У автотрансформаторов большой мощности КПД достигает 99,7 %.

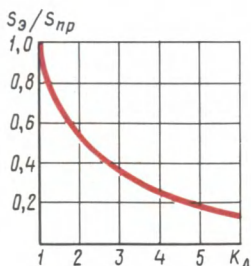


Рис. 3.3. Зависимость S_3/S_{np} от коэффициента трансформации автотрансформатора

Указанные преимущества автотрансформатора тем значительнее, чем больше мощность S_3 , а следовательно, чем меньше расчетная часть проходной мощности.

Мощность S_3 , передаваемая из первичной во вторичную цепь благодаря электрической связи между этими цепями, определяется выражением

$$S_3 = U_2 I_1 = U_2 I_2 / k_A = S_{np} / k_A, \quad (3.8)$$

т. е. значение мощности S_3 обратно пропорционально коэффициенту трансформации автотрансформатора k_A .

Из графика (рис. 3.3) видно, что применение автотрансформатора дает заметные преимущества по сравнению с двухобмоточным трансформатором лишь при небольших значениях коэффициента трансформации. Например, при $k_A = 1$ вся мощность автотрансформатора передается во вторичную цепь за счет электрической связи между цепями ($S_3/S_{np} = 1$).

Наиболее целесообразно применение автотрансформаторов с коэффициентом трансформации $k_A \leq 2$. При большом значении коэффициента трансформации преобладающее значение имеют недостатки автотрансформатора, состоящие в следующем:

1. Большие токи к.з. в случаях понижающего автотрансформатора: при замыкании точек a и x (см. рис. 3.2, a) напряжение U_1 подводится лишь к небольшой части витков Aa , которые обладают очень малым сопротивлением к. з. В этом случае автотрансформаторы не могут защитить сами себя от разрушающего действия токов к. з. (см. § 4.1), поэтому токи к. з. должны ограничиваться сопротивлением других элементов электрической установки, включаемых в цепь автотрансформатора.

2. Электрическая связь стороны ВН со стороны НН; это требует усиленной электрической изоляции всей обмотки.

3. При использовании автотрансформаторов в схемах понижения напряжения между проводами

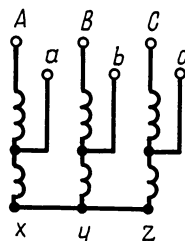


Рис. 3.4. Трехфазный автотрансформатор

сети НН и землей возникает напряжение, приблизительно равное напряжению между проводом и землей на стороне ВН.

4. В целях обеспечения электробезопасности обслуживающего персонала нельзя применять автотрансформаторы для понижения напряжения сетей ВН до значений НН, подводимого непосредственно к потребителям.

Силовые автотрансформаторы широко применяют в линиях передачи и распределения электроэнергии для связи сетей смежных напряжений, например 110 и 220, 220 и 500 кВ и др. Такие автотрансформаторы обычно выполняют на большие мощности (до 500 МВ·А и выше). Обмотки трехфазных автотрансформаторов обычно соединяют в звезду (рис. 3.4).

Автотрансформаторы применяют в электроприводе переменного тока для уменьшения пусковых токов двигателей значительной мощности (см. § 15.2), а также для регулировки режимов работы электрометаллургических печей. Автотрансформаторы малой мощности применяют в устройствах радио, связи и автоматики.

Широко распространены *автотрансформаторы с переменным коэффициентом трансформации*. В этом случае автотрансформатор снабжают устройством, позволяющим регулировать значение вторичного напряжения путем изменения числа витков w_{ax} . Осуществляется это либо переключателем, либо с помощью скользящего контакта (щетki), перемещаемого непосредственно по зачищенным от изоляции виткам обмотки. Такие автотрансформаторы, называемые регуляторами напряжения, могут быть однофазными (рис. 3.5) и трехфазными.

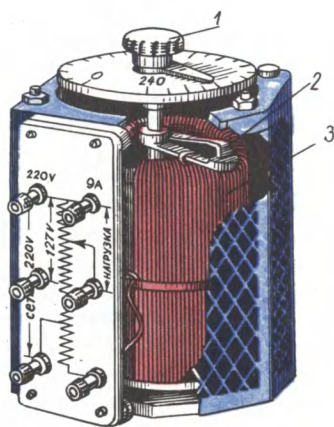


Рис. 3.5. Регулировочный однофазный автотрансформатор:

1 — ручка для перемещения контактной щетки, 2 — щеткодержатель, 3 — обмотка

Контрольные вопросы

1. Каковы достоинства трехобмоточных трансформаторов?
2. Перечислите достоинства и недостатки автотрансформаторов.
3. Зависят ли достоинства автотрансформатора от коэффициента трансформации? Объясните, почему.
4. Объясните устройство автотрансформатора с переменным коэффициентом трансформации.

§ 4.1. **Переходные процессы при включении и при внезапном коротком замыкании трансформаторов**

При переходе трансформатора из одного установившегося режима в другой возникают переходные процессы. Так как каждый установившийся режим характеризуется определенным значением энергии электромагнитных полей, то в течение переходного процесса происходит изменение энергии этих полей. Наибольший практический интерес представляют переходные процессы при включении трансформатора и коротком замыкании на зажимах вторичной обмотки.

Включение трансформатора в сеть. В этом случае результирующий магнитный поток можно рассматривать как сумму трех составляющих:

$$\Phi = \Phi_{\text{уст}} + \Phi_{\text{пер}} \pm \Phi_{\text{ост}}, \quad (4.1)$$

где $\Phi_{\text{уст}}$ — магнитный поток установившийся; $\Phi_{\text{пер}}$ — магнитный поток переходного процесса; $\Phi_{\text{ост}}$ — магнитный поток остаточного магнетизма, направленный либо согласно с установившимся потоком (знак «+»), либо встречно ему (знак «—»).

Магнитный поток переходного процесса затухающий и постоянен по направлению.

Наиболее благоприятный случай включения трансформатора в сеть будет при потоке остаточного магнетизма, направленном встречно установившемуся потоку, и мгновенном значении первичного напряжения $u_1 = 0$. При этом магнитный поток установившийся $\Phi_{\text{уст}}$ будет максимальным, так как он отстает по фазе от напряжения на угол приблизительно 90° (рис. 4.1, а). Магнитный поток Φ становится наибольшим приблизительно через половину периода после включения трансформатора. Если магнитопровод трансформатора не насыщен, то в момент включения трансформатора в первичной обмотке появится намагничивающий ток, пропорциональный магнитному потоку. Если же

магнитопровод трансформатора насыщен, то при включении трансформатора намагничивающий ток включения достигает значительной силы, называемой *сверхтоком холостого хода*. Из построений, сделанных на кривой намагничивания (рис. 4.1, б), видно, что при магнитном потоке, превышающем в два раза установившееся значение $\Phi = 2\Phi_{уст}$, свертток холостого хода достигает силы, во много раз превышающей установившееся значение тока х. х. ($I_{1\text{вкл}} \gg I_0$). При наиболее неблагоприятных условиях свертток х. х. может в 6—8 раз превысить номинальное значение первичного тока.

Так как длительность переходного процесса невелика и не превышает нескольких периодов переменного тока, то ток включения для трансформатора не опасен. Однако его следует учитывать при регулировке аппаратуры защиты, чтобы в момент включения трансформатора не произошло его неправильного отключения от сети. Бросок тока включения следует также учитывать при наличии в цепи первичной обмотки трансформатора чувствительных измерительных приборов. Во избежание поломки этих приборов нужно до включения трансформатора в сеть шунтировать их токовые обмотки.

Внезапное короткое замыкание на зажимах вторичной обмотки трансформатора. Оно возникает из-за различных неисправностей: механического повреждения изоляции или ее электрического пробоя при перенапряжениях, ошибочных действиях обслуживающего персонала и др. Короткое замыкание — это аварийный режим, который может привести к разрушению трансформатора.

При внезапном коротком замыкании на зажимах вторичной обмотки в трансформаторе возникает переходный процесс, сопровождаемый возникновением большого мгновенного тока к.з. i_k . Этот ток можно рассматривать как результирующий двух токов: установившегося тока $i_{k\text{уст}}$ и тока переходного процесса $i_{k\text{пер}}$, постоянного по направлению, но убывающего по экспоненциальному закону

$$i_k = i_{k\text{уст}} + i_{k\text{пер}}. \quad (4.2)$$

Наиболее неблагоприятные условия к.з. могут быть в момент, когда мгновенное значение первичного напряжения равно нулю

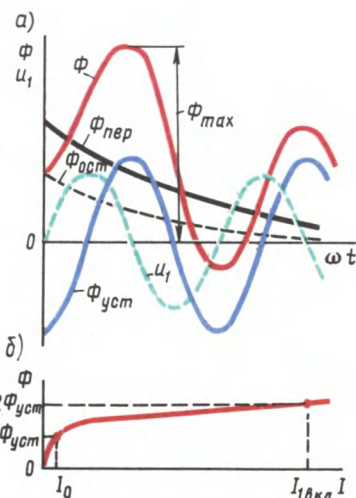


Рис. 4.1. Графики переходных процессов при включении трансформатора (а) и определение тока включения трансформатора по кривой намагничивания (б)

($u_1 = 0$). На рис. 4.2 построена кривая тока к.з., i_k для этого условия. Ток внезапного к.з. (ударный ток) может достигать двойного значения установившегося тока к.з. и в 20—40 раз превышать номинальное значение тока.

Переходный процесс при внезапном к.з. у трансформаторов малой мощности длится не более одного периода, а у трансформаторов большой мощности — 6—7 периодов. Затем трансформатор переходит в режим установившегося к.з., при этом в обмотках протекают токи $i_{k \text{ уст}}$, значения которых хотя и меньше тока i_k при переходном процессе, но все же во много раз превышают номинальное значение тока. Через несколько секунд срабатывают защитные устройства, отключающие трансформатор от сети. Но несмотря на кратковременность процесса к.з., он представляет собой значительную опасность для обмоток трансформатора: во-первых, чрезмерно большой ток к.з. резко повышает температуру обмотки, что может повредить ее изоляцию; во-вторых, резко увеличиваются электромагнитные силы в обмотках трансформатора.

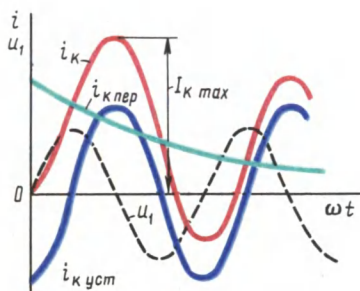


Рис. 4.2. Графики переходных процессов при внезапном к.з.

Значение удельной электромагнитной силы, действующей на витки обмоток, определяют произведением магнитной индукции поля рассеяния B_σ на ток i в витке обмотки:

$$F = B_\sigma i, \quad (4.3)$$

где F — удельная электромагнитная сила, Н/м.

Но с увеличением тока растет также и индукция поля рассеяния, поэтому сила растет пропорционально квадрату тока ($F \propto i^2$). Так, если в витке ток $i = 100$ А и индукция $B_\sigma = 0,1$ Тл, то $F = 0,1 \cdot 100 = 10$ Н/м. Такая сила не вызывает заметных деформаций витков обмотки. Но если при внезапном к.з. бросок тока достигнет значения i_k , превышающего номинальный ток в 30 раз, то электромагнитная сила возрастет в 900 раз и станет равной 9000 Н/м. Такая сила может вызвать значительные механические разрушения в трансформаторе (рис. 4.3). Все это необходимо учитывать при проектировании трансформаторов и создавать достаточно прочные конструкции обмоток и надежное их крепление на сердечниках.

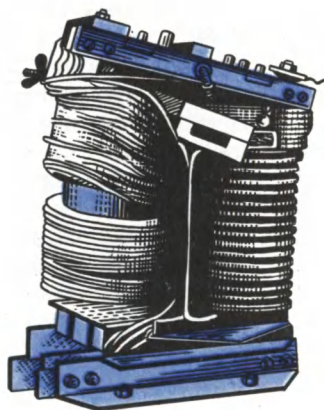


Рис. 4.3. Разрушение обмоток трансформатора при к.з.

§ 4.2. Перенапряжения в трансформаторах и защита от перенапряжений

В нормальных условиях эксплуатации трансформатора между отдельными частями его обмоток, а также между обмотками и заземленными магнитопроводом и корпусом действуют синусоидальные напряжения номинальной частоты, не представляющие опасности для электрической изоляции. Однако периодически возникают условия, при которых между указанными элементами трансформатора появляются *перенапряжения*. В зависимости от причин, их порождающих, перенапряжения разделяются на два вида: внутренние и внешние.

Внутренние перенапряжения. Возникают либо в процессе коммутационных операций, например отключения или включения трансформатора, либо в результате аварийных процессов (короткое замыкание, дуговые замыкания на землю и др.). Значение внутреннего перенапряжения обычно составляет $(2,5 \div 3,5) U_{ном}$.

Внешние (атмосферные) перенапряжения. Обусловлены атмосферными разрядами: либо прямыми ударами молний в провода или опоры линий электропередач, либо грозовыми разрядами, индуцирующими в проводах линии электромагнитные волны высокого напряжения. Значение перенапряжения в этом случае может достигать нескольких тысяч киловольт.

На процессы, происходящие в трансформаторе при перенапряжениях, существенное влияние оказывает скорость нарастания волны напряжения. При подходе волны напряжения к трансформатору напряжение между зажимом обмотки и землей нарастает весьма быстро. При этом скорость нарастания напряжения в значительной степени влияет на вид схемы замещения обмотки. При напряжении промышленной частоты схема замещения обмотки имеет вид ряда последовательно соединенных индуктивных и активных сопротивлений элементов этой обмотки (рис. 4.4, а). При подходе к трансформатору периодической волны перенапряжения, вызванной коммутационными процессами, скорость нарастания напряжения настолько увеличивается, что на процессы, происходящие в трансформаторе, оказывают влияние емкостные связи между элементами обмотки и между обмоткой и заземленным магнитопроводом (рис. 4.4, б). Наконец, при атмосферных перенапряжениях, когда к трансформатору устремляется апериодический импульс с крутым передним фронтом $P\Phi$ (рис. 4.5), при котором напряжение между вводом трансформатора и землей достигает наибольшего значения за $(1 \div 2) \cdot 10^{-6}$ с, индуктивные сопротивления в схеме замещения становятся настолько большими, что их влиянием можно пренебречь и считать схему замещения обмотки состоящей только из поперечных емкостей между элементом обмотки и магнитопроводом (землей) C_q и продольных емкостей между смежными элементами обмотки C_d (рис. 4.4., в).

Рассмотрим подробнее процессы в трансформаторе при атмосферных перенапряжениях, так как эти перенапряжения наиболее опасны. Обмотка в этом случае по отношению к быстро нарастающему напряжению представляет собой некоторую входную емкость $C_{вх}$, которая обуславливает входное (емкостное) сопротивление трансформатора $x_{вх}$. В начальный момент подхода вол-

ны, когда скорость нарастания напряжения огромна ($du/dt \rightarrow \infty$), входное сопротивление практически равно

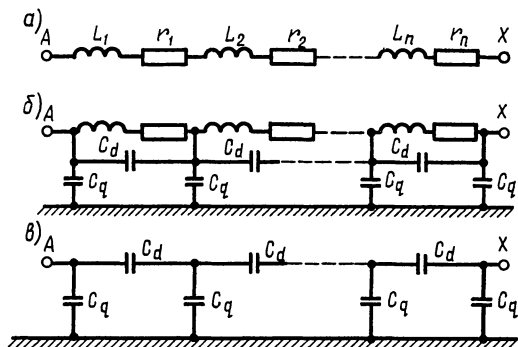


Рис. 4.4. Схемы замещения обмоток трансформатора

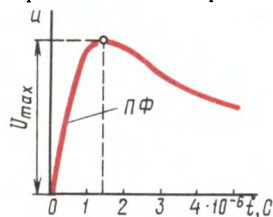


Рис. 4.5. Перенапряжение в виде импульса

нулю ($x_{вх} \rightarrow 0$), т. е. трансформатор эквивалентен короткозамкнутому концу линии передачи. При этом напряжение на входе трансформатора сначала падает до нуля, затем, по мере зарядки емкости $C_{вх}$, повышается и достигает двукратной величины амплитуды импульса, а волна напряжения отражается от трансформатора. В этот период трансформатор эквивалентен разомкнутому концу линии передачи (рис. 4.6). Напряжение, возникающее между обмоткой и магнитопроводом (землей), создает токи через поперечные емкости C_q , при этом токи в продольных емкостях C_d по мере приближения к концу обмотки (точка X на рис. 4.4) уменьшаются. Это приводит к неравномерному распределению напряжения вдоль обмотки. Характер начального распределения напряжения вдоль обмотки зависит от двух причин: от состояния нейтральной точки трансформатора (это точка X, которая заземлена на рис. 4.7, а и изолирована на рис. 4.7, б) и от соотношения емкостей C_q и C_d , определяемого коэффициентом

$$\alpha = \sqrt{C_q/C_d}. \quad (4.4)$$

При $\alpha \geq 5$, что соответствует реальным трансформаторам, начальное распределение напряжения не зависит от состояния нейтральной точки и весьма неравномерно, достигая максимального значения на начальных элементах обмотки. Это создает опасность для изоляции между начальными элементами обмотки. При уменьшении α распределение напряжения вдоль обмотки

становится более равномерным, особенно при заземленной нейтрали, хотя наибольшее значение напряжения остается неизменным.

Через некоторое время после подхода волны к обмотке все точки обмотки приобретут установившийся потенциал. При этом распределение напряжения вдоль обмотки, называемое конечным, будет соответствовать кривым при $\alpha = 0$, показанным на рис. 4.7.

Следовательно, между начальным и конечным распределением напряжения имеет место переходный процесс, связанный с затухающими электромагнитными колебаниями, обусловленными индуктивностью, емкостью и активным сопротивлением обмотки. За время переходного процесса напряжение каждой точки обмотки меняется и в отдельные моменты времени достигает значений, превышающих наибольшее его значение при начальном распределении напряжения. На рис. 4.8 представлена кривая изменения напряжения точка a (см. рис. 4.7, a) обмотки за время переходного процесса. Затухающий характер кривой обусловлен потерями в активном сопротивлении обмотки.

Наибольшее напряжение возникает на изолированном конце обмотки (точка X при изолированной нейтрали) и может достигать значения $u_x = 1,9U$, где U — максимальное напряжение на обмотке при начальном распределении напряжения. Таким образом, наибольшую опасность для изоляции обмотки (межвитковой и относительно земли) представляет собой переходный колебательный процесс.

В автотрансформаторах из-за наличия электрической связи между первичной и вторичной цепями возможна передача волн

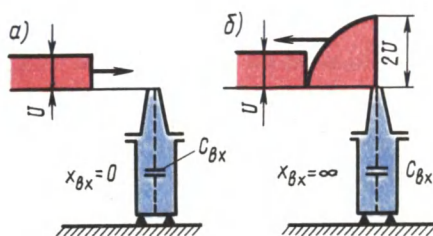


Рис. 4.6. Подход (a) и отражение (b) волны напряжения при атмосферном перенапряжении трансформатора

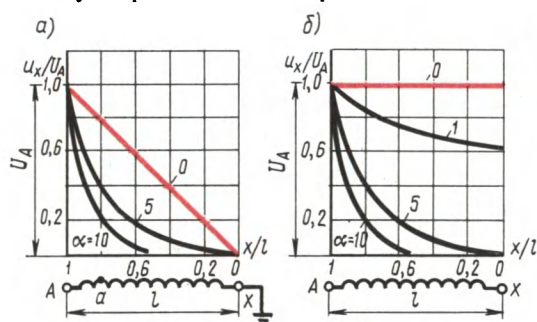


Рис. 4.7. Начальное распределение напряжения по длине обмотки при заземленной (a) и изолированной (b) нейтралях

напряжения из одной сети в другую со значительным усилением их по амплитуде.

К мерам по защите трансформаторов от перенапряжений относятся внешняя защита — применение заземленных тросов и вентилярных разрядников (эти меры позволяют ограничить амплитуду волн напряжения, подходя-

щих к трансформатору) и внутренняя защита — усиление изоляции входных витков; установка емкостных колец и электростатических экранов (емкостная компенсация); применение обмоток с пониженным значением коэффициента α [см. (4.4)]. Цель последних двух мероприятий внутренней защиты сводится к сближению начального и конечного распределения напряжения. При этом практически устраняется переходный колебательный процесс.

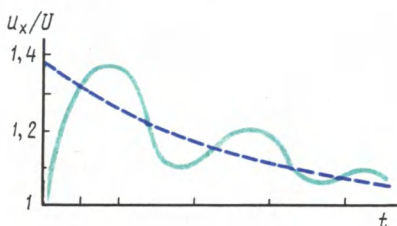


Рис. 4.8. Изменение потенциала одной точки обмотки трансформатора относительно земли в течение переходного процесса

Емкостные кольца представляют собой разомкнутые шайбообразные экраны, изготавливаемые из металлизированного электрокартона. Этими кольцами прикрывают начало и конец обмотки, тем самым поднимают кривую начального распределения напряжения, приближая ее к кривой конечного распределения.

Уменьшение неравномерности начального распределения напряжения и сближение его с конечным распределением достигаются

применением в трансформаторах дополнительных электростатических экранов в виде разомкнутых металлических колец (витков), охватывающих начальную часть обмотки и соединенных с ее вводом. Такой экран создает дополнительные емкости C_z , через которые заряжаются поперечные емкости C_q в обход продольных емкостей C_d (рис. 4.9, а). В результате кривая начального распре-

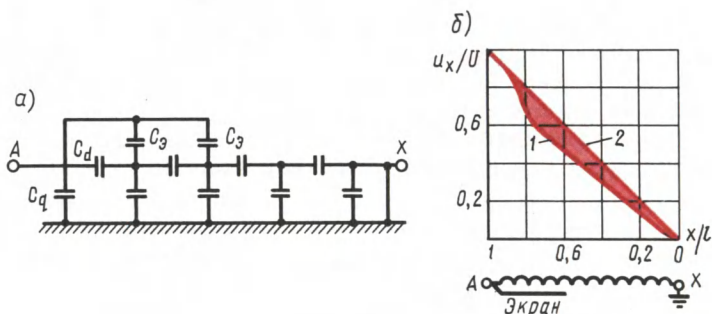


Рис. 4.9. Роль электростатического экрана

ления напряжения 1 (рис. 4.9, б) значительно спрямляется и становится почти такой же, как и кривая конечного распределения 2 для обмоток с заземленной нейтралью.

Трансформаторы с изолированной нейтралью также могут снабжаться электростатическими экранами, но в этом случае применяют специальные устройства — *импидоры*, включаемые между нейтралью и землей. Это устройство содержит емкость,

включенную параллельно разряднику и реактору, которая при волновых процессах заземляет нейтраль трансформатора, а при промышленной частоте имеет большое сопротивление и практически изолирует нейтраль.

Контрольные вопросы

1. Каковы причины возникновения сверхтока холостого хода?
2. Как влияет состояние магнитного насыщения магнитопровода на силу тока включения трансформатора?
3. Каковы наиболее неблагоприятные условия внезапного короткого замыкания трансформатора?
4. Какова продолжительность переходного процесса при внезапном коротком замыкании трансформатора?
5. Какие виды перенапряжений возможны в трансформаторе?
6. В чем состоит внешняя и внутренняя защита трансформаторов от перенапряжений?
7. Каково назначение дополнительных электростатических экранов в трансформаторе?

§ 5.1. Трансформаторы с плавным регулированием напряжения

Для плавного регулирования напряжения возможно применение скользящих по поверхности витков обмотки контактов, аналогично тому, как это сделано в регулировочном автотрансформаторе (см. рис. 3.5). При этом плавность регулировки ограничивается значением напряжения между двумя смежными витками (0,5—1,0 В). По такому принципу выполняют однофазные и трехфазные трансформаторы и автотрансформаторы мощностью до 250 кВ·А. Однако наличие скользящих контактов снижает надежность и ограничивает применение этих трансформаторов.

Более надежны бесконтактные конструкции регулировочных трансформаторов. Рассмотрим некоторые из них.

Трансформатор с подвижным сердечником. Первичная обмотка этого трансформатора выполнена из двух катушек, уложенных в кольцевых выемках магнитопровода (рис. 5.1, а). Катушки w'_1 и w'_2 включены так, что создают магнитные потоки, направленные встречно друг другу. Внутри неподвижной части магнитопровода расположен подвижный сердечник $ПС$ со вторичной обмоткой w_2 . При среднем положении $ПС$ в обмотке w_2 не наводится ЭДС, так как действие первичных катушек взаимно компенсируется.

При смещении $ПС$ влево или вправо от среднего положения вторичной обмотки в последней наводится ЭДС ΔE . При этом фаза (направление) ΔE зависит от того, в зоне какой из первичных катушек находится вторичная обмотка: при перемещении этой обмотки из зоны одной первичной катушки в зону другой катушки фаза ЭДС ΔE изменится на 180° . Если такой трансформатор включить в сеть аналогично вольтдобавочному трансформатору (см. § 1.15), как это показано на рис. 5.1, б, то, изменяя положение сердечника вторичной обмотки (ПС), можно плавно регулировать вторич-

ное напряжение (продольное регулирование) $\dot{U}_2 = \dot{U}_1 \pm \Delta \dot{E}$.

Трансформатор, регулируемый подмагничиванием шунтов. В последнее время получили применение трансформаторы и автотрансформаторы, регулируемые подмагничиванием шунтов и обозначаемые соответственно ТРПШ и АРПШ.

Рассмотрим принцип действия однофазного трансформатора ТРПШ. Магнитопровод трансформатора состоит из четырех

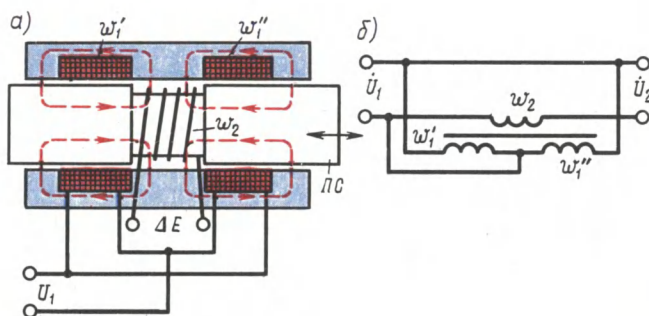


Рис. 5.1. Трансформатор с подвижным сердечником

стержней (рис. 5.2, а): двух крайних, называемых *главными стержнями*, и двух средних, называемых *шунтами*. Первичная обмотка состоит из трех катушек: две катушки ($w'_{1г}$ и $w'_{1ш}$) расположены на главных (крайних) стержнях и одна катушка ($w_{1ш}$) — на шунтах. При этом все три катушки соединены последовательно и согласно. Вторичная обмотка также состоит из трех последовательно соединенных катушек ($w'_{2г}$, $w'_{2ш}$ и $w_{2ш}$), расположенных аналогично первичным, но катушка $w_{2ш}$ включена встречно относительно катушек $w'_{2г}$ и $w'_{2ш}$.

Кроме катушек переменного тока ТРПШ имеет две катушки постоянного тока — катушки подмагничивания w_n , расположенные на шунтах и соединенные последовательно.

При включении первичной обмотки в сеть переменного тока катушки $w'_{1г}$ и $w'_{1ш}$ создают переменный магнитный поток $\Phi_{г}$, который замыкается по главным стержням и ярмам, сцепляется с катушками $w'_{2г}$ и $w'_{2ш}$ и наводит в них ЭДС $\dot{E}'_{2г}$ и $\dot{E}'_{2ш}$. Катушка $w_{1ш}$ также создает переменный магнитный поток $\Phi_{ш}$, разделенный на две части, каждая из которых замыкается по одному из шунтов и одному из главных стержней. При этом в одном из стержней (правом) потоки $\Phi_{г}$ и $1/2\Phi_{ш}$ складываются, а в другом (левом) — вычитаются. Магнитный поток $\Phi_{ш}$, сцепляясь с катушкой $w_{2ш}$, наводит в ней ЭДС $\dot{E}_{2ш}$, но так как $w_{2ш}$ включена встречно вторичным катушкам главных стержней, то напряжение на выходе трансформатора

$$\dot{U}_2 = \dot{E}'_{2г} + \dot{E}'_{2ш} - \dot{E}_{2ш}. \quad (5.1)$$

При прохождении постоянного тока по катушкам подмагничивания w_n возрастает магнитное насыщение шунтов, при этом их магнитное сопротивление увеличивается и магнитный поток $\Phi_{ш}$ уменьшается. В итоге уменьшается ЭДС $\dot{E}_{2ш}$, что ведет к росту вторичного напряжения (5.1). Следовательно, плавному изменению постоянного тока в цепи подмагничивания соответствует плавное изменение напряжения на выходе ТРПШ (рис. 5.2, б).

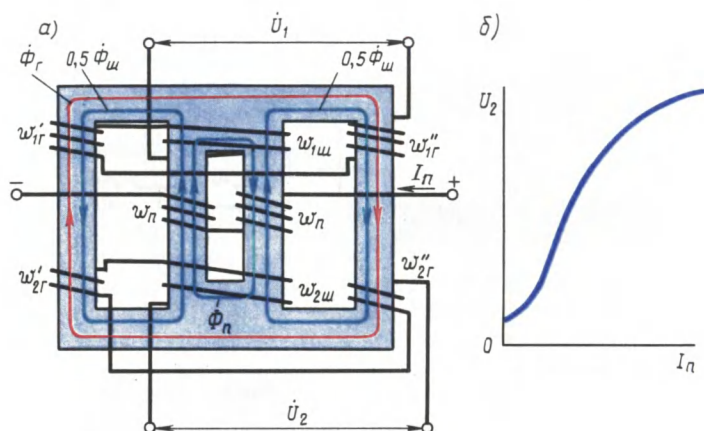


Рис. 5.2. Трансформатор, регулируемый подмагничиванием шунтов

Электрическое управление вторичным напряжением трансформатора упрощает дистанционное управление трансформатором или же его автоматизацию. Наряду с однофазными существуют трехфазные ТРПШ и АРПШ.

§ 5.2. Трансформаторы для выпрямительных установок

Во вторичные обмотки этих трансформаторов включены вентили — устройства, обладающие односторонней проводимостью.

Рассмотрим работу однофазного трансформатора в схеме *однополупериодного выпрямления* (рис. 5.3, а). Ток во вторичной обмотке этого трансформатора i_2 является пульсирующим, так как он создается только положительными полуволнами вторичного напряжения U_2 (рис. 5.3, б). Этот пульсирующий ток имеет две составляющие: постоянную

$$I_d = (\sqrt{2}/\pi)(U_2/R_n) \quad (5.2)$$

и переменную

$$i_{\text{пер}} = i_2 - I_d. \quad (5.3)$$

Пренебрегая током х. х. и учитывая (5.3), уравнение МДС рассматриваемого трансформатора можно записать в виде

$$i_1 \omega_1 + i_{\text{пер}} \omega_2 + I_d \omega_2 = 0. \quad (5.4)$$

В первичную обмотку трансформируется лишь переменная составляющая вторичного тока (5.3), поэтому МДС $I_d \omega_2$ остается неуравновешенной и создает в магнитопроводе трансфор-

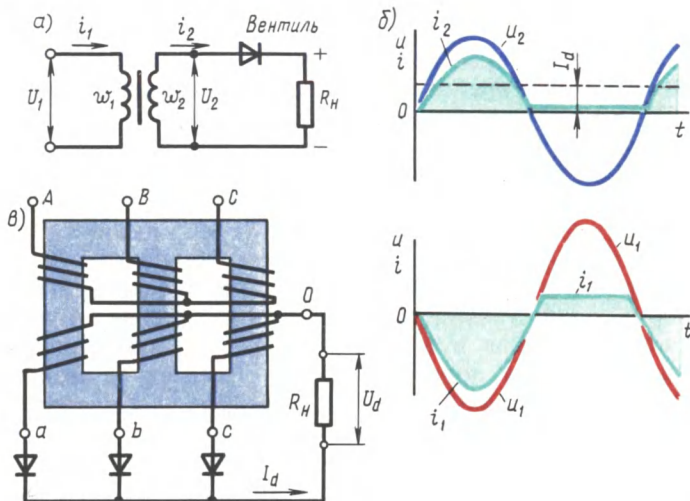


Рис. 5.3. Трансформатор в схеме выпрямления

матора постоянный магнитный поток Φ_d , называемый *поток вынужденного намагничивания*. Этот поток вызывает дополнительное магнитное насыщение элементов магнитопровода; для того чтобы это насыщение не превышало допустимого значения, необходимо увеличить сечение сердечников и ярм. Эта мера приводит к увеличению расхода стали и меди, т. е. ведет к повышению габаритов, веса и стоимости трансформатора. Этот недостаток однофазной однополупериодной схемы распространяется и на трехфазную однополупериодную схему при соединении вторичной обмотки трансформатора по схеме «звезда — звезда с нулевым выводом» (рис. 5.3, в). В этом случае магнитный поток вынужденного намагничивания Φ_d значительно меньше, так как, действуя одновременно во всех трех стержнях магнитопровода, он замыкается вне магнитопровода — через медь, воздух, стенки бака — аналогично третьим гармоникам основного магнитного потока (см. рис. 1.26). Однофазную однополупериодную схему применяют лишь для малоомощных выпрямителей, что объясняется не только недостатком, вызванным наличием потока Φ_d , но и значительными пульсациями выпрямленного тока. Трехфазная однополупериодная схема соединения вторичной обмотки в звезду с нулевым выводом также ограничивается выпрямите-

лями небольшой мощности. Если же вторичную обмотку соединить в равноплечий зигзаг с нулевым выводом (см. рис. 1.22), то недостатки однополупериодной схемы выпрямления, обусловленные возникновением потока Φ_d , устраняются. Объясняется это тем, что при соединении в равноплечий зигзаг (см. § 1.9) на каждом стержне оказываются две вторичные катушки со встречным соединением. При трехфазной однополупериодной схеме ток I_d , проходя по всем фазам вторичной обмотки, создает в каждом стержне два потока $\Phi_d/2$, но так как эти потоки направлены в разные стороны, то они взаимно уравниваются. Это достоинство схемы соединения обмоток в зигзаг позволяет применять трехфазную однополупериодную схему при значительных мощностях.

В *двухполупериодных схемах*, когда ток во вторичной цепи трансформатора создается в течение обоих полупериодов, условия работы трансформатора оказываются намного лучше и неуравновешенных МДС не возникает.

Другим обстоятельством, нежелательно влияющим на работу трансформаторов в схемах выпрямления, является несинусоидальная форма токов в обмотках. В результате в первичной и вторичной обмотках появляются токи высших гармоник, ухудшающие эксплуатационные показатели трансформатора, в частности снижающие его КПД.

Количественно влияние различных причин на работу трансформаторов в схемах выпрямления зависит от ряда факторов: схем выпрямления и сглаживающего фильтра, характера нагрузки.

В связи с тем что первичный и вторичный токи трансформаторов имеют разные действующие значения (из-за их несинусоидальности), расчетные мощности первичной и вторичной обмоток одного и того же трансформатора неодинаковы ($S_{1ном} \neq S_{2ном}$). Поэтому для оценки мощности трансформатора, работающего в выпрямительной схеме, вводятся понятия типовой мощности

$$S_T = 0,5(S_{1ном} + S_{2ном}) = 0,5(I_{1ном} U_{1ном} + I_{2ном} U_{2ном}) \quad (5.5)$$

и коэффициента типовой мощности

$$k_T = S_T / P_{dном}, \quad (5.6)$$

где выходная мощность, т. е. мощность, поступающая в потребитель постоянного тока,

$$P_{dном} = U_{dном} I_{dном} \quad (5.7)$$

в номинальном режиме (при номинальных напряжениях $U_{dном}$ и токе $I_{dном}$).

Типовая мощность трансформатора всегда больше его выходной мощности, т. е. $k_T > 1$. Объясняется это тем, что при любой схеме выпрямления $U_2 > U_d$ и $I_2 > I_d$.

Из этого следует, что габариты и вес трансформаторов для

выпрямителей всегда больше, чем у трансформаторов такой же выходной мощности, но при синусоидальных токах в обмотках. Это объясняется тем, что в трансформаторах, работающих в выпрямительных схемах, полезная мощность определяется постоянной составляющей вторичного тока I_d , а нагрев обмоток — полным вторичным I_2 и первичным I_1 токами, содержащими высшие гармонические.

При выборе трансформатора для выпрямительной установки или же при его проектировании необходимо знать значение коэффициента k_t .

Значение переменного напряжения на выходе вторичной обмотки трансформатора, необходимого для получения заданного номинального значения постоянного напряжения $U_{d\text{ ном}}$, определяется выражением

$$U_{2\text{ ном}} = k_U U_{d\text{ ном}}, \quad (5.8)$$

где k_U — коэффициент напряжения.

Значения коэффициентов напряжения k_U и типовой мощности k_t для некоторых наиболее распространенных схем выпрямления приведены ниже.

Схемы выпрямления	k_U	k_t
Однофазная однополупериодная	2,22	3,09
Однофазная двухполупериодная мостовая . .	1,11	1,23
Однофазная двухполупериодная с нулевым выводом	1,11	1,48
Трехфазная с нулевым выводом	0,855	1,345
Трехфазная мостовая	0,427	1,05

Сравнение различных схем выпрямления показывает, что лучшее использование трансформатора обеспечивается в мостовых схемах выпрямления, для которых коэффициент k_t имеет минимальные значения.

§ 5.3. Трансформаторы для автоматических устройств

Импульсные трансформаторы. Применяются в устройствах импульсной техники для изменения амплитуды импульсов, исключения постоянной составляющей, размножения импульсов и т. п. Одно из основных требований, предъявляемых к импульсным трансформаторам, — минимальное искажение формы трансформируемых импульсов.

Для выяснения принципиальной возможности трансформирования кратковременных однополярных импульсов рассмотрим идеальный трансформатор (без потерь и паразитных емкостей), работающий без нагрузки. Допустим, на вход этого трансформатора поступают однополярные импульсы прямоугольной формы продолжительностью t_n с периодом T (рис. 5.4, а). Первичный контур трансформатора обладает некоторой постоянной времени $\tau = L_1/r_1$, обусловленной индуктивностью этого контура.

Рассмотрим случай, когда постоянная времени намного меньше продолжительности импульса: $\tau \ll t_n$. При этом график первичного тока $i_1 = f(t)$ имеет вид кривой, отличающейся от прямоугольника. Кривая же вторичного напряжения $u_2 = f(t)$ значительно искажена. При этом в интервале времени 1—2 напряжение $U_2 = 0$, так как при $i_1 = \text{const}$ ЭДС $e_2 = M(di_1/dt) = 0$, где M — взаимная индуктивность между обмотками. Следовательно, при $\tau \ll t_n$ трансформирование импульсов невозможно.

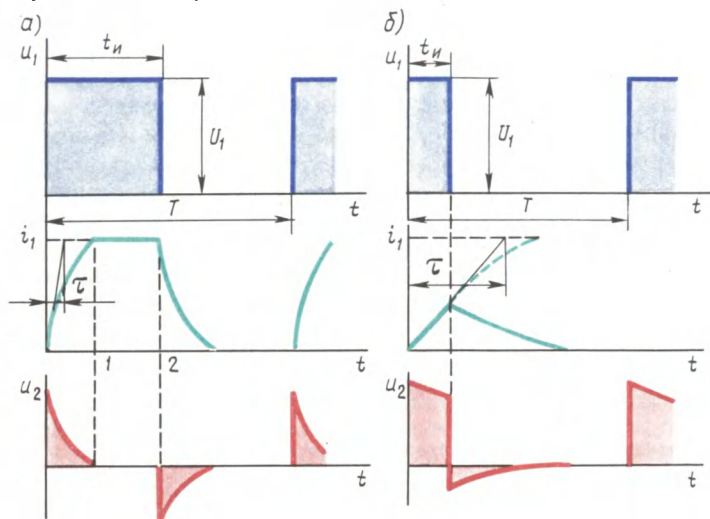


Рис. 5.4. Графики напряжения в импульсном трансформаторе

Рассмотрим другой случай, когда $\tau \gg t_n$. Этот случай более реален, так как продолжительность импульсов обычно не превышает 10^{-4} с. Теперь, когда импульс u_1 прекращается еще до окончания переходного процесса в первичной цепи, импульсы на выходе трансформатора u_2 не имеют значительных искажений (рис. 5.4, б). При этом отрицательная часть импульса легко устраняется включением диода во вторичную цепь трансформатора.

Рассмотренные явления выявляют лишь принципиальную возможность трансформирования кратковременных однополярных импульсов без особых искажений их формы. При более подробном рассмотрении работы импульсного трансформатора электромагнитные процессы в нем оказываются намного сложнее, так как на них значительное влияние оказывают явление гистерезиса, вихревые токи, паразитные емкостные связи (между витками и обмотками) и индуктивности рассеяния обмоток. Для ослабления нежелательного влияния перечисленных факторов импульсные трансформаторы проектируют таким образом, чтобы они работали с линейной магнитной характеристикой, т. е. с таким значением магнитной индукции в сердечнике, при котором рабочая точка расположена ниже зоны магнитного насыщения на кривой намаг-

ничивания трансформатора. Кроме того, магнитный материал сердечника должен обладать небольшой остаточной индукцией (малой коэрцитивной силой). Для понижения остаточной индукции магнитопровод импульсного трансформатора в некоторых случаях снабжают небольшим воздушным зазором. С этой же целью иногда применяют подмагничивание трансформатора постоянным током, полярность которого противоположна полярности трансформируемых импульсов. Это мероприятие позволяет снизить магнитную индукцию в сердечнике в интервале между импульсами.

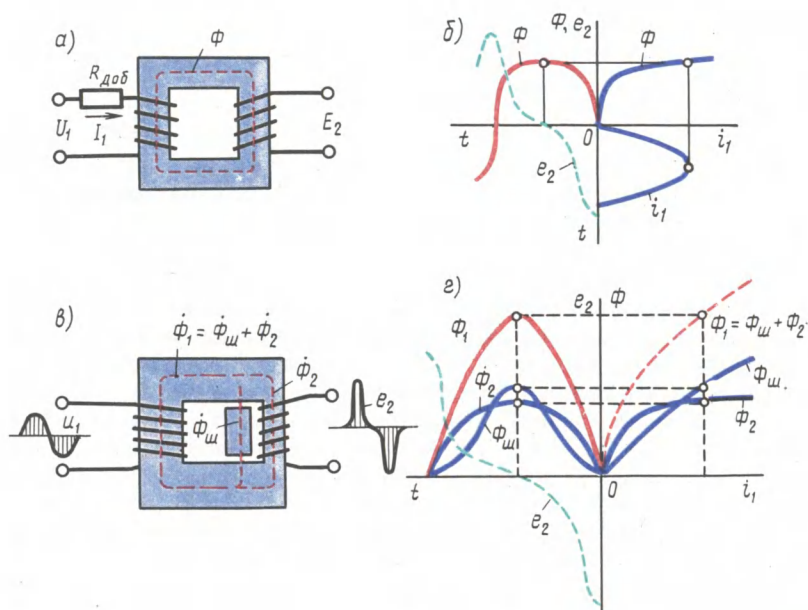


Рис. 5.5 Пик-трансформаторы с активным сопротивлением (а, б) и магнитным шунтом (в, г)

Магнитопроводы импульсных трансформаторов изготавливают из магнитных материалов с повышенной магнитной проницаемостью (холоднокатаная сталь, железоникелевые сплавы и др.) при толщине ленты 0,02—0,35 мм. Иногда магнитопровод делают из феррита.

Чтобы уменьшить паразитные емкости и индуктивности рассеяния обмоток, их стараются делать с небольшим числом витков. При этом малая продолжительность импульсов позволяет выполнять обмотки импульсных трансформаторов проводом уменьшенного сечения (применять повышенные плотности тока), не вызывая недопустимых перегревов. Последнее способствует уменьшению габаритов импульсных трансформаторов.

Пик-трансформаторы. Предназначены для преобразования напряжения синусоидальной формы в импульсы напряжения пи-

кообразной формы. Такие импульсы напряжения необходимы в цепях управления тиристоров, тиратронов и др. Принцип работы пик-трансформатора основан на явлении магнитного насыщения ферромагнитного материала.

Пик-трансформатор с активным сопротивлением м. Первичную обмотку трансформатора подключают к сети синусоидального напряжения U_1 через большое активное добавочное сопротивление $R_{доб}$ (рис. 5.5, а). Магнитную индукцию выбирают такой, чтобы магнитопровод находился в состоянии сильного магнитного насыщения. Однако намагничивающий ток i_1 при этом будет иметь синусоидальную форму, так как его значение определяется сопротивлением $R_{доб}$. Магнитный поток Φ в магнитопроводе изменяется по уплощенной кривой (рис. 5.5, б), а вторичная ЭДС

$$e_2 = - \omega_2 \Phi / dt \quad (5.9)$$

имеет пикообразную форму (штриховая кривая), достигая максимальных (пиковых) значений в моменты времени, когда магнитный поток Φ и ток i_1 равны нулю, т. е. когда скорости их изменения максимальны.

Пик-трансформаторы с магнитным шунтом. Вторичная обмотка (рис. 5.5, в) расположена на стержне уменьшенного сечения, находящемся в состоянии сильного магнитного насыщения (кривая потока Φ_2 имеет уплощенную форму). Остальные участки магнитопровода магнитно не насыщены, а поэтому кривая потока $\Phi_1 = \Phi_{ш} + \Phi_2$ имеет синусоидальную форму (рис. 5.5, г). Уплощенная форма кривой $\Phi_2 = f(t)$ обеспечивает получение пикообразной формы вторичной ЭДС — штриховая кривая [см. (5.9)].

Магнитопроводы пик-трансформаторов изготавливают обычно из железоникелевого сплава (пермаллоя).

Преобразователи частоты. Распространение получили трансформаторы, с помощью которых возможно удвоение или утроение частоты переменного тока.

Рассмотрим работу трансформатора, увеличивающего частоту переменного тока в три раза. Такой трансформатор называется *утроителем частоты*. Он состоит из трех однофазных трансформаторов, работающих при сильно насыщенном магнитопроводе. Первичные обмотки трансформаторов соединены звездой, а вторичные — последовательно (рис. 5.6).

Как было показано в § 1.9, намагничивающий ток трансформатора помимо основной содержит третью гармонику с частотой $f_3 = 3f_1$. При соединении обмоток звездой токи третьей гармоники взаимно уравновешиваются и тогда в составе магнитного потока появляется третья гармоника Φ_3 . В трехстержневом магнитопроводе потоки этой гармоники ослаблены. Но в утроителе частоты магнитопроводы однофазных трансформаторов работают независимо, поэтому потоки Φ_3 в них достигают больших значений и наводят во вторичных обмотках ЭДС третьей гармоники e_3 . Так как

ЭДС e_3 во всех фазных обмотках совпадают по фазе, то на выходе утроителя частоты устанавливается напряжение U_3 , равное алгебраической сумме ЭДС e_3 частотой $f_3 = 3f_1$. Что же касается ЭДС первой гармоники, то хотя она и наводится в фазных обмотках утроителя, но в составе напряжения на выходе утроителя она отсутствует, так как при сдвиге фаз между ЭДС в 120° их алгебраическая сумма равна нулю.

Для снижения падения напряжения во вторичных обмотках при нагрузке последовательно с обмотками включают конденсатор C , емкость которого компенсирует индуктивность обмоток.

Увеличение частоты в большее число раз можно осуществить применением нескольких трансформаторов для преобразования частоты, включенных один за другим (каскадно). Однако этот способ повышения частоты экономически нецелесообразен, так как связан со значительной затратой активных материалов.

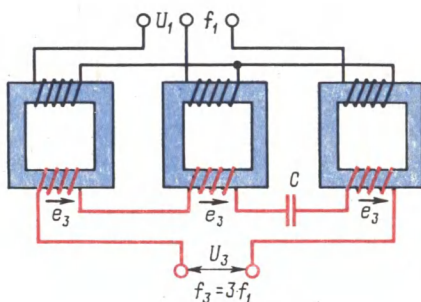


Рис. 5.6. Утроитель частоты

§ 5.4. Трансформаторы для дуговой электросварки

Трансформатор для дуговой электросварки, обычно называемый сварочным трансформатором, представляет собой однофазный двухобмоточный понижающий трансформатор, преобразующий напряжение сети 220 или 380 В в напряжение 60—70 В, необходимое для надежного зажигания и устойчивого горения

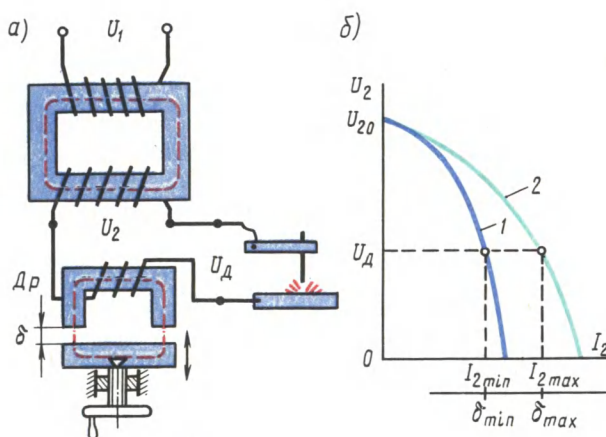


Рис. 5.7. Схема включения (а) и внешние характеристики (б) трансформатора для электродуговой сварки

электрической дуги между металлическим электродом и свариваемыми деталями.

Специфика работы сварочного трансформатора состоит в прерывистом режиме его работы: зажиганию электрической дуги предшествует короткое замыкание вторичной цепи трансформатора, а обрыв дуги создает режим холостого хода. Номинальный режим работы трансформатора соответствует устойчивому горению электрической дуги. Для ограничения тока в сварочном трансформаторе приняты меры, суть которых сводится к увеличению индуктивного сопротивления. С этой целью первичную обмотку трансформатора располагают на одном стержне, а вторичную — на другом. Это ведет к росту магнитного рассеяния, а следовательно, к увеличению индуктивного сопротивления обмоток. Другой мерой является включение во вторичную цепь трансформатора последовательно индуктивной катушки — дросселя Dr (рис. 5.7, а), представляющего собой катушку из медного провода прямоугольного сечения, расположенную на стальном магнитопроводе. Дроссель снабжен устройством типа «винт — гайка», позволяющим вращением винта перемещать ярмо так, что воздушный зазор δ между ярмом и стержнями меняется от $\delta \approx 0$ до $\delta = \delta_{\max}$. При этом минимальному значению δ соответствует наибольшее индуктивное сопротивление дросселя, а следовательно, минимальное значение рабочего тока $I_2 = I_{2\min}$, а максимальному значению $\delta = \delta_{\max}$ — наименьшее индуктивное сопротивление дросселя и максимальное значение рабочего тока $I_2 = I_{2\max}$. Повышенное индуктивное сопротивление обмоток и наличие дросселя Dr обеспечивают сварочному трансформатору круто падающие внешние характеристики $U_2 = f(I_2)$, необходимые для устойчивого горения электрической дуги (рис. 5.7, б). Изменяя величину воздушного зазора δ в дросселе Dr можно плавно менять угол наклона внешних характеристик, при $\delta \approx 0$ наклон характеристики наибольший (график 1), а при $\delta \approx \delta_{\max}$ наклон характеристики минимальный (график 2). Рабочий ток сварочного трансформатора I_2 соответствует напряжению электрической дуги $U_d \approx 30$ В.

В некоторых конструкциях сварочных трансформаторов дроссель совмещают с трансформатором. Значительное индуктивное сопротивление сварочного трансформатора ведет к снижению его коэффициента мощности $\cos\varphi$, который обычно не превышает 0,4—0,5.

Контрольные вопросы

1. От чего зависит фаза ЭДС во вторичной обмотка трансформатора с подвижным сердечником?
2. Объясните взаимодействие магнитных потоков в ТРПШ.
3. Какова причина возникновения магнитного потока вынужденного намагничивания в трансформаторе выпрямительной установки?
4. Что такое типовая мощность трансформатора?
5. В каких условиях выпрямления обеспечивается наилучшее использование мощности трансформатора?
6. Что делают для снижения остаточной индукции в импульсном трансформаторе?

2

ОБЩИЕ ВОПРОСЫ ТЕОРИИ БЕСКОЛЛЕКТОРНЫХ МАШИН

- Принцип действия бесколлекторных машин переменного тока
- Принцип выполнения обмоток статора
- Основные типы обмоток статора
- Магнитодвижущая сила обмоток статора

Электрические машины переменного тока составляют основу современной электроэнергетики как в сфере производства, так и в сфере потребления электрической энергии. За небольшим исключением все эти машины являются бесколлекторными. Существует два вида бесколлекторных машин переменного тока: асинхронные и синхронные машины. Отличаясь рабочими свойствами, эти машины имеют конструктивное сходство, и в основе их теории лежат некоторые общие вопросы, касающиеся процессов и явлений, связанных с рабочей обмоткой — обмоткой статора. Поэтому, прежде чем перейти к подробному изучению асинхронных и синхронных машин, целесообразно рассмотреть общие вопросы теории этих машин. Как асинхронные, так и синхронные машины обладают свойством обратимости (см. § В.2), т. е. каждая из них может работать как в режиме генератора, так и в режиме двигателя. Однако первоначальное знакомство с этими машинами полезно начать с рассмотрения принципа действия синхронного генератора и принципа действия асинхронного двигателя. Это даст возможность получить необходимое на данном этапе изучения представление об устройстве этих

машин и происходящих в них электромагнитных процессах. Данный раздел посвящен изучению принципа действия бесколлекторных машин переменного тока в основных их режимах, устройства обмоток статоров этих машин и процесса наведения ЭДС и МДС в них.



§ 6.1. Принцип действия синхронного генератора

Для изучения принципа действия синхронного генератора воспользуемся упрощенной моделью синхронной машины (рис. 6.1). Неподвижная часть машины, называемая *статором*, представляет собой полый шихтованный цилиндр 1 (сердечник статора) с двумя продольными пазами на внутренней поверхности. В этих пазах расположены стороны витка 2, являющегося *обмоткой статора*. Во внутренней полости сердечника статора расположена вращающаяся часть машины — *ротор*, представляющий собой постоянный магнит 4 с полюсами *N* и *S*, закрепленный на валу 3. Вал ротора посредством ременной передачи механически связан с приводным двигателем (на рисунке не показан). В реальном синхронном генераторе в качестве приводного двигателя может быть использован двигатель внутреннего сгорания либо турбина. Под действием вращающего момента приводного двигателя ротор генератора вращается с частотой n_1 против часовой стрелки. При этом в обмотке статора в соответствии с явлением электромагнитной индукции наводится ЭДС, направление которой показано на рисунке стрелками. Так как обмотка статора замкнута на нагрузку *Z*, то в цепи этой обмотки появится ток *i*.

В процессе вращения ротора магнитное поле постоянного магнита также вращается с частотой n_1 , а поэтому каждый из проводников обмотки статора попеременно оказывается то в зоне северного (*N*) магнитного полюса, то в зоне южного (*S*) магнитного полюса. При этом каждая смена полюсов сопровождается изменением направления ЭДС в обмотке статора. Таким образом, в обмотке статора синхронного генератора наводится *переменная ЭДС*, а поэтому ток *i* в этой обмотке и в нагрузке *Z* также *переменный*.

Мгновенное значение ЭДС обмотки статора в рассматриваемом синхронном генераторе (В)

$$e = B_s 2lv = B_s 2\pi D_1 n_1 / 60, \quad (6.1)$$

где B_δ — магнитная индукция в воздушном зазоре между сердечником статора и полюсами ротора, Тл; l — активная длина одной пазовой стороны обмотки статора, м; $v = \pi D_1 n_1 / 60$ — скорость движения полюсов ротора относительно статора, м/с; D_1 — внутренний диаметр сердечника статора, м.

Эта формула показывает, что при неизменной частоте вра-

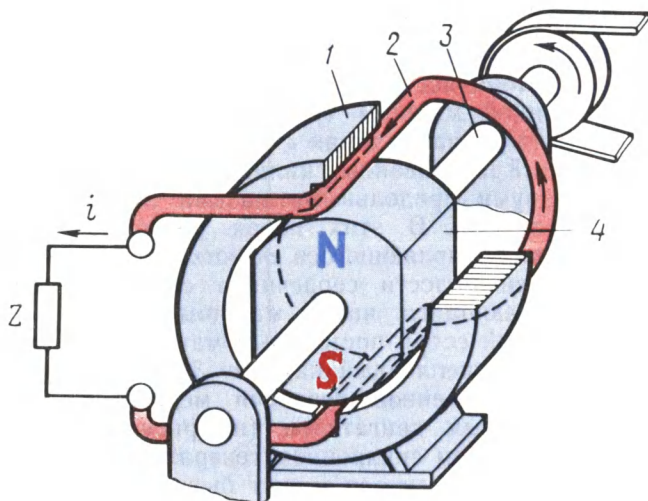


Рис 6.1. Упрощенная модель синхронного генератора

щения ротора форма кривой переменной ЭДС обмотки якоря определяется исключительно законом распределения магнитной индукции B_δ в зазоре. Если бы график магнитной индукции в зазоре представлял собой *синусоиду* ($B_\delta = B_{\max} \sin \alpha$), то ЭДС генератора была бы *синусоидальной*. Однако получить синусоидальное распределение индукции в зазоре практически невозможно. Так, если воздушный зазор δ постоянен (рис. 6.2), то магнитная индукция B_δ в воздушном зазоре распределяется по трапецидальному закону (кривая 1), а следовательно, и график ЭДС генератора представляет собой трапециевидальную кривую. Если края полюсов скосить так, чтобы зазор на краях полюсных наконечников был равен δ_{\max} (как это показано красной линией на рис. 6.3), то график распределения магнитной индукции в зазоре приблизится к синусоиде (кривая 2), а следовательно, и график ЭДС генератора приблизится к синусоиде.

Частота ЭДС синхронного генератора f_1 (Гц) прямо пропорциональна частоте вращения ротора n_1 (об/мин), которую принято называть *синхронной частотой* вращения:

$$f_1 = p n_1 / 60. \quad (6.2)$$

Здесь p — число пар полюсов; в рассматриваемом генераторе два полюса, т. е. $p = 1$.

Для получения промышленной частоты ЭДС (50 Гц) ротор такого генератора необходимо вращать с частотой $n_1 = 3000$ об/мин, тогда $f_1 = 1 \cdot 3000 / 60 = 50$ Гц.

Постоянные магниты на роторе применяются лишь в синхронных генераторах весьма малой мощности (см. § 23.1), в большинстве же синхронных генераторов для получения возбуждающего магнитного поля применяют *обмотку возбуждения*, располагаемую на роторе. Эта обмотка подключается к источнику постоянного тока через скользящие контакты, осуществляемые посредством двух контактных колец, располагаемых на валу и изолированных от вала и друг от друга, и двух неподвижных щеток (рис. 6.3).

Как уже отмечалось, приводной двигатель (ПД) приводит во вращение ротор синхронного генератора с синхронной частотой n_1 . При этом магнитное поле ротора также вращается с частотой n_1 и индуцирует в трехфазной обмотке статора переменные ЭДС E_A, E_B, E_C , которые, будучи одинаковыми по значению и сдвинутыми по фазе относительно друг друга на $1/3$ периода (120 эл. град), образуют трехфазную симметричную систему ЭДС.

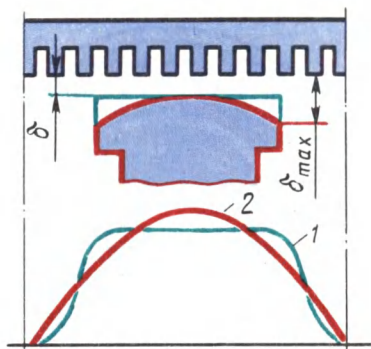


Рис 6.2 Графики распределения магнитной индукции в воздушном зазоре синхронного генератора

С подключением нагрузки в фазах обмотки статора появляются токи I_A, I_B, I_C . При этом трехфазная обмотка статора создает вращающееся магнитное поле. Частота вращения этого поля равна частоте вращения ротора генератора (об/мин):

$$n_1 = f_1 60 / p. \quad (6.3)$$

Таким образом, в *синхронном генераторе поле статора и ротор вращаются синхронно*, отсюда и название — *синхронные машины*.

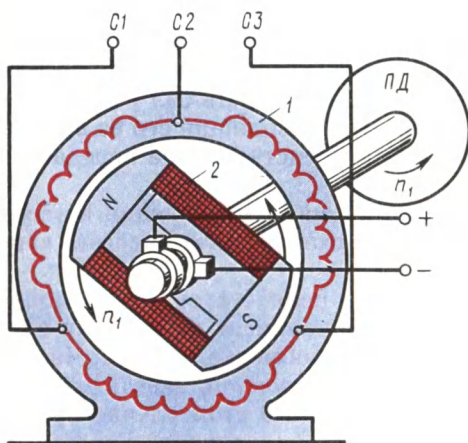


Рис 6.3. Электромагнитная схема синхронного генератора

§ 6.2. Принцип действия асинхронного двигателя

Неподвижная часть асинхронного двигателя — статор — имеет такую же конструкцию, что и статор синхронного генератора (рис. 6.3). В расточке статора расположена вращающаяся часть двигателя — ротор, состоящий из вала, сердечника и обмотки (рис. 6.4). Обмотка ротора представляет собой короткозамкнутую конструкцию (см. § 10.2), состоящую из восьми алюминиевых стержней, расположенных в продольных пазах

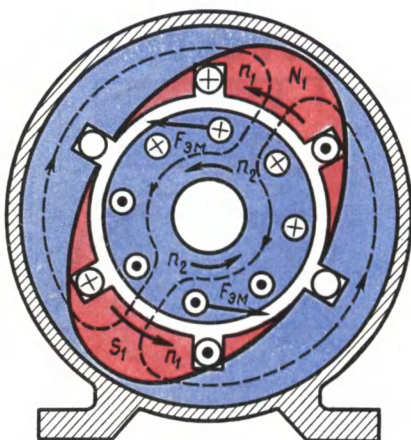


Рис. 6.4. К принципу действия асинхронного двигателя

сердечника ротора, замкнутых с двух сторон по торцам ротора алюминиевыми кольцами (на рисунке эти кольца не показаны). Ротор и статор разделены воздушным зазором. При включении обмотки статора в сеть трехфазного тока возникает вращающееся магнитное поле статора, частота вращения которого n_1 определяется выражением (6.3).

Вращающееся поле статора (полюсы N_1 и S_1) сцепляется как с обмоткой статора, так и с обмоткой ротора и наводит в них ЭДС. ЭДС обмотки статора, являясь ЭДС самоиндукции, действует встречно приложен-

ному к обмотке напряжению и ограничивает значение тока в обмотке. Обмотка ротора замкнута, поэтому ЭДС ротора создает в стержнях обмотки ротора токи. Взаимодействие этих токов с полем статора создает на роторе электромагнитные силы F_{3M} , направление которых определяют по правилу «левой руки». Из рис. 6.4 видно, что силы F_{3M} стремятся повернуть ротор в направлении вращения магнитного поля статора. Совокупность сил F_{3M} создает на роторе электромагнитный момент M , приводящий его во вращение с частотой n_2 . Вращение ротора посредством вала передается исполнительному механизму.

Таким образом, электрическая энергия, поступающая из сети в обмотку статора, преобразуется в механическую энергию вращения ротора двигателя.

Направление вращения магнитного поля статора, а следовательно, и направление вращения ротора зависят от порядка следования фаз напряжения, подводимого к обмотке статора. Частота вращения ротора n_2 , называемая *асинхронной*, всегда меньше частоты вращения поля n_1 , так как только в этом случае происходит наведение ЭДС в обмотке ротора асинхронного двигателя.

Таким образом, статор синхронной машины не отличается от статора асинхронной машины, и выполняют они одинаковую

функцию: при появлении в обмотке статора тока возникает вращающееся магнитное поле и в этой обмотке наводится ЭДС. Именно по этой причине изучение принципа выполнения и конструкции обмоток статора, а также изучение электромагнитных процессов, связанных с наведением в обмотке статора ЭДС и возникновением вращающегося магнитного поля, должно предшествовать изучению специфических вопросов теории асинхронных и синхронных машин.

Контрольные вопросы

1. Объясните принцип действия генератора переменного тока.
2. Чем определяется форма графика ЭДС синхронного генератора?
3. Каково назначение контактных колец и щеток в синхронном генераторе?
4. Объясните принцип действия асинхронного двигателя.
5. Может ли ротор асинхронного двигателя вращаться синхронно с вращающимся полем?
6. Какие функции выполняет обмотка статора в синхронном генераторе и в асинхронном двигателе?

§ 7.1. Устройство статора бесколлекторной машины и основные понятия об обмотках статора

Статор бесколлекторной машины переменного тока (рис. 7.1) состоит из корпуса 1, сердечника 2 и обмотки 3. Сердечник статора имеет шихтованную конструкцию, т. е. представляет собой пакет пластин, полученных методом штамповки из листовой электротехнической стали. Пластины предварительно покрывают с двух сторон тонкой изоляционной пленкой, например слоем лака. На внутренней поверхности сердечника статора имеются продольные пазы, в которых располагаются проводники обмотки статора. Обмотка статора выполняется из медных обмоточных проводов круглого или прямоугольного сечения.

Требования к обмотке статора в основном сводятся к следующему: а) наименьший расход обмоточной меди; б) удобство и минимальные затраты в изготовлении — технологичность; в) форма кривой ЭДС, наводимой в обмотке статора, должна быть практически синусоидальной.

Применительно к генераторам переменного тока это требование обусловлено тем, что при несинусоидальной ЭДС генератора в электрической цепи появляются высшие гармоники тока, оказывающие вредное влияние на работу всей энергосистемы: возрастают потери, возникают опасные перенапряжения, усиливается вредное влияние линий электропередачи на цепи связи. Применительно к двигателям переменного тока требование к синусоидальности ЭДС обмотки статора также весьма актуально, так как несинусоидальность ЭДС ведет к росту потерь и уменьшению полезной мощности двигателя.

Многофазная обмотка статора состоит из m_1 -фазных обмоток. Например, трехфазная обмотка ($m_1 = 3$) состоит из трех фазных обмоток, каждая из которых занимает $Z_1/3$ пазов, где Z_1 — общее число пазов сердечника статора. Каждая фазная

обмотка представляет собой *разомкнутую* систему проводников. Элементом обмотки является *катушка*, состоящая из одного или нескольких витков. Элементы катушки, располагаемые в пазах, называют *пазовыми сторонами 1*, а элементы, расположенные вне пазов и служащие для соединения пазовых сторон, называют *лобовыми частями 2* (рис. 7.2). Часть дуги внутренней расточки статора, приходящаяся на один полюс, называется *полюсным делением* (мм):

$$\tau = \pi D_1 / (2p), \quad (7.1)$$

где D_1 — внутренний диаметр статора, мм; $2p$ — число полюсов.

Расстояние между пазовыми сторонами катушки, измеренное по внутренней поверхности статора, называется *шагом обмотки по пазам y_1* . Шаг обмотки выражают в пазах. Шаг обмотки называется *полным* или *диаметральным*, если он равен полюсному делению:

$$y_1 = Z_1 / (2p) = \tau. \quad (7.2)$$

В этом случае ЭДС витка определяется арифметической суммой ЭДС, наведенных в сторонах этого витка (рис. 7.3):

$$e = e_1 + e_2.$$

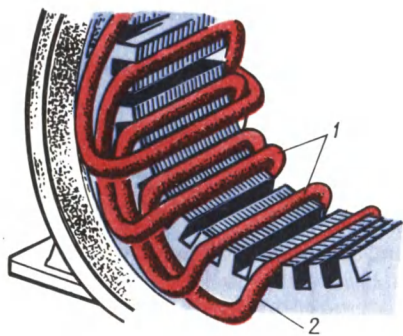


Рис. 7.2. Расположение катушек в пазах сердечника статора

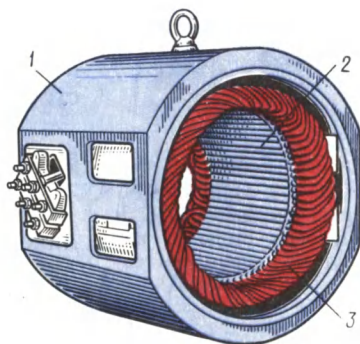


Рис. 7.1. Статор бесколлекторной машины переменного тока

Если же шаг обмотки меньше полюсного деления ($y_1 < \tau$), то он называется *укороченным*. У катушки с укороченным шагом ЭДС меньше, чем у катушки с полным шагом.

Обмотка статора состоит, как правило, из большого числа катушек, соединенных между собой определенным образом. Для удобного и наглядного изображения катушек и их соединений пользуются *развернутыми схемами обмоток*. На такой схеме цилиндрическую поверхность статора вместе с обмоткой условно разворачивают на плоскости, а все катушки изображают одновитковыми в виде прямых линий.

Простейшая трехфазная обмотка статора двухполюсной машины состоит из трех катушек (A , B , C), оси которых смещены в пространстве относительно друг друга на 120 эл. град, т. е.

на $2/3$ полюсного деления (рис. 7.4). Такая обмотка называется *сосредоточенной*. Каждая катушка здесь представляет собой фазную обмотку.

В соответствии с ГОСТом выводы трехфазных обмоток статора обозначают следующим образом:

Первая фаза	начало C1 — конец C4
Вторая фаза	» C2 — » C5
Третья фаза	» C3 — » C6

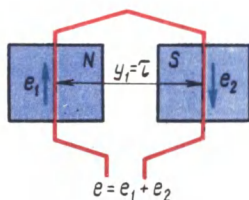


Рис. 7.3. При диаметрально противоположном шаге ЭДС в пазовых сторонах катушки направлены согласно

Конструкция обмотки статора в значительной мере влияет на свойства машины переменного тока, в первую очередь на ее стоимость, КПД и рабочие характеристики.

§ 7.2. Электродвижущая сила катушки

Вращающееся магнитное поле, сцепляясь с катушками обмотки статора, наводит в них ЭДС. Мгновенное значение ЭДС (E) одной катушки с числом витков w_k будет

$$e_k = B_\delta 2l v w_k, \quad (7.3)$$

где B_δ — магнитная индукция в воздушном зазоре между статором и ротором электрической машины, Тл;

$$v = \pi D_1 n_1 / 60 = \tau 2 p n_1 / 60 = 2\tau f_1 \quad (7.4)$$

— линейная скорость движения магнитного поля относительно неподвижной катушки, м/с; $\pi D_1 = \tau 2 p$ — длина поверхности ротора статора.

С учетом (7.4) мгновенное значение ЭДС катушки

$$e_k = B_\delta 4\tau l f_1 w_k. \quad (7.5)$$

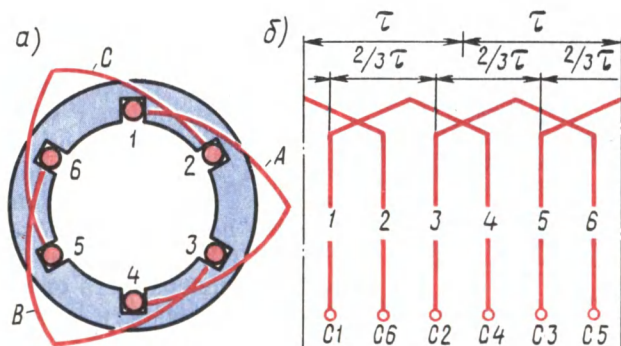


Рис. 7.4. Сосредоточенная трехфазная обмотка:

а — расположение катушек в пазах статора, б — развернутая схема обмотки

Как уже отмечалось, форма кривой ЭДС e_k зависит исключительно от графика распределения индукции B_δ в воздушном зазоре. Однако даже при неравномерном зазоре (см. рис. 6.2) график индукции остается несинусоидальным. Поэтому ЭДС катушки e_k также несинусоидальна и наряду с первой (основной) синусоидальной гармоникой ЭДС содержит ряд высших синусоидальных гармоник.

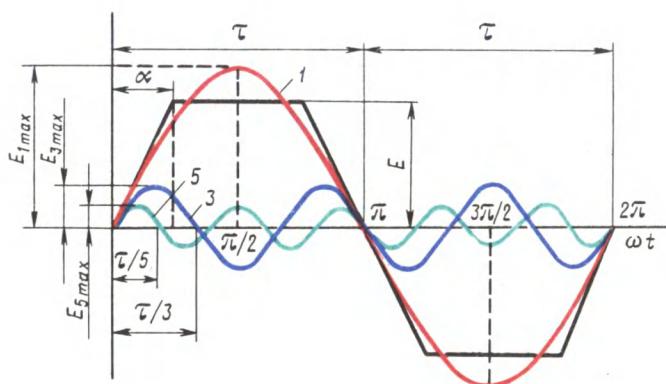


Рис. 7.5. Разложение трапецидальной кривой ЭДС в гармонический ряд

В связи с тем что кривая ЭДС симметрична относительно оси абсцисс, она содержит лишь нечетные гармоники (1, 3, 5 и т. д.). С некоторым приближением, приняв форму кривой ЭДС e трапецидальной (рис. 7.5), можно записать следующее выражение гармонического ряда:

$$e = \frac{4E}{\pi\alpha} \left(\sin\alpha \sin\omega_1 t + \frac{1}{3^2} \sin 3\alpha \sin 3\omega_1 t + \frac{1}{5^2} \sin 5\alpha \sin 5\omega_1 t + \dots + \frac{1}{v^2} \sin v\alpha \sin v\omega_1 t \right), \quad (7.6)$$

где v — номер гармоники; ω_1 — угловая частота основной гармоники.

Из (7.6) видим, что с ростом номера гармоники ее амплитуда уменьшается пропорционально величине $\sin v\alpha/v^2$, а частота $f_v = f_1 v$, т. е. растет пропорционально номеру гармоники. Поэтому практическое влияние на форму кривой ЭДС оказывают гармоники не выше седьмой. Таким образом, задача получения в обмотке статора синусоидальной ЭДС сводится к устранению или значительному ослаблению высших синусоидальных гармоник, в первую очередь третьей, пятой и седьмой.

Из § 1.10 известно, что токи и ЭДС третьей гармоники во всех фазах трехфазной обмотки совпадают во времени (по фазе). Поэтому в линейной ЭДС (напряжении) при схемах соединения обмоток звездой или треугольником третья гармоника отсутст-

вует. Все, что касается третьей гармоники, распространяется и на высшие гармоники ЭДС, номера которых кратны трем (9, 15 и т. д.).

Рассмотрим вопрос о возможности устранения или значительного ослабления гармоник выше третьей, главным образом пятой или седьмой. Допустим, что кривая распределения магнитной индукции B_6 в воздушном зазоре несинусоидальна и наряду

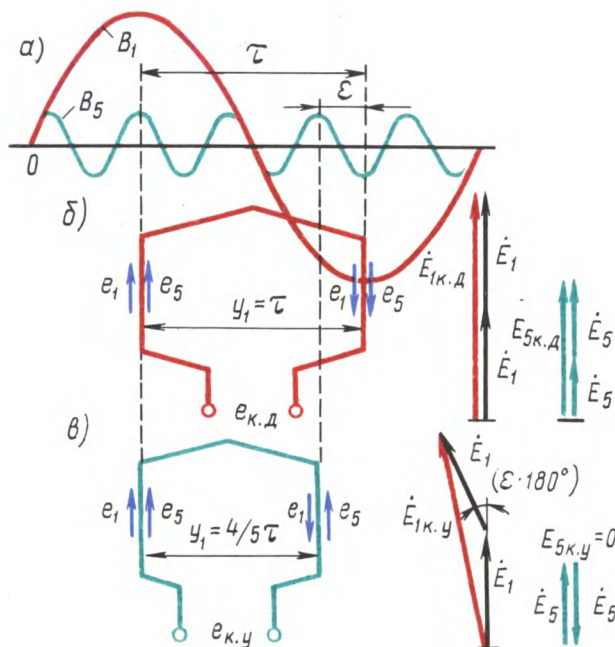


Рис. 7.6. Укорочение шага обмотки на $1/5 \tau$

с первой гармоникой B_1 содержит пятую B_5 (рис. 7.6, а). Если при этом обмотка выполнена с диаметральной шагом ($y_1 = \tau$), то ЭДС первой и пятой гармоник (e_1 и e_5) в обеих сторонах катушки (витка) (рис. 7.6, б) складываются арифметически. В этом случае результирующая ЭДС катушки $e_{к.д}$, а следовательно, и ЭДС всей обмотки наряду с первой содержат и пятую гармонику.

Если же шаг катушки укоротить на $1/5$ полюсного деления, т. е. принять его равным

$$y_1 = (4/5)\tau = 0,8\tau,$$

то ЭДС пятой гармоники e_5 , хотя и наводятся в пазовых сторонах катушки, будут находиться в противофазе относительно друг друга. В итоге сумма этих ЭДС в катушке будет равна нулю (рис. 7.6, в) и ЭДС катушки будет содержать лишь первую (ос-

новную) ЭДС e_1 , т. е. она станет практически синусоидальной.

Аналогично, для уничтожения ЭДС седьмой гармоники требуется укорочение шага катушки на $1/7$ полюсного деления τ , т. е. принимаем шаг катушки равным

$$y_1 = (6/7)\tau = 0,857\tau.$$

Отношение шага y_1 к полюсному делению называют *относительным шагом* обмотки $\beta = y_1/\tau$. Обычно относительный шаг принимают $\beta = 0,80 \div 0,89$, что обеспечивает значительное ослабление ЭДС высших гармоник.

Из построений, приведенных на рис. 7.6, видно, что уменьшение шага катушки на величину *относительного укорочения* $\varepsilon = 1 - \beta$ вызывает ослабление не только ЭДС высших гармоник, но и ЭДС первой (основной) гармоники. Объясняется это тем, что при диаметральной шаге ($y_1 = \tau$) ЭДС первой гармоники $E_{1\kappa д}$ (рис. 7.6, б) равна арифметической сумме ЭДС, наводимых в пазовых сторонах катушки ($E_{1\kappa д} = 2E_1$), а при укорочении шага на величину ε (рис. 7.6, в) ЭДС в пазовых сторонах катушки оказываются сдвинутыми по фазе относительно друг друга на угол $\varepsilon \cdot 180^\circ$ и ЭДС катушки $E_{1\kappa у}$ определяется геометрической суммой:

$$E_{1\kappa у} = E_1 + E_1 \cos(\varepsilon \cdot 180^\circ) < E_{1\kappa д}. \quad (7.7)$$

Уменьшение ЭДС катушки при укорочении ее шага на величину $\varepsilon = 1 - \beta$ учитывается *коэффициентом укорочения шага* $k_y = E_{\kappa у}/E_{\kappa д}$. Для первой гармоники

$$k_{y1} = \sin(\beta \cdot 90^\circ). \quad (7.8)$$

Для ЭДС любой гармоники

$$k_{yv} = \sin(v\beta \cdot 90^\circ). \quad (7.9)$$

Ниже приведены значения коэффициентов укорочения k_{yv} в зависимости от относительного шага β обмотки для различных гармоник ЭДС:

Относительный шаг	4/5	6/7	1
Коэффициент укорочения k_{yv} :			
1-я гармоника	0,951	0,975	1,000
5-я »	0,000	0,433	1,000
7-я »	0,573	0,000	1,000

В заключение следует отметить, что укорочение шага обмотки по пазам возможно лишь в двухслойных обмотках (см. § 7.1). Однослойные обмотки выполняются с диаметральной шагом, поэтому ЭДС, наводимые в них, содержат в значительной мере высшие гармоники 5-го и 7-го порядка. Это ограничивает применение однослойных обмоток в асинхронных двигателях мощностью более 15—22 кВт.

§ 7.3. Электродвижущая сила катушечной группы

Обмотки статора разделяются на сосредоточенные и распределенные. При *сосредоточенной* обмотке все катушки одной фазы, приходящиеся на полюс и образующие *катушечную группу*, укладываются в двух пазах, т. е. сосредоточиваются вместе и образуют одну большую катушку. Примером такой обмотки может служить трехфазная обмотка, представленная на рис. 7.4. По ряду причин сосредоточенные обмотки не получили распространения. Одна из причин — необходимость вырубki в пластинах статора пазов большой площади, необходимой для размещения значительного числа пазовых сторон. Это ведет к необходимости увеличения наружного диаметра статора, а следовательно, к увеличению размеров машины.

В *распределенных* обмотках все катушки равномерно расположены по периметру расточки статора. При этом катушки каждой фазы, приходящиеся на полюс, т. е. катушки каждой катушечной группы, занимают более двух пазов, например четыре, шесть и т. д.

Весьма важным параметром обмотки статора является *число пазов, приходящихся на полюс и фазу*:

$$q_1 = Z_1 / (2p m_1), \quad (7.10)$$

где m_1 — число фаз в обмотке (для трехфазной обмотки $m_1 = 3$).

В сосредоточенной обмотке, где на пару полюсов приходится два паза каждой фазы, а всего пазов $Z_1 = 2p m_1$, число пазов на полюс и фазу $q_1 = 1$. В распределенной обмотке $q_1 > 1$. В распределенной двухслойной обмотке статора число катушечных групп в каждой фазе равно числу полюсов $2p$, а общее число катушечных групп трехфазной обмотки $A = 2p m_1$. При этом число катушек в катушечной группе равно q_1 . Однако сосредоточенные и распределенные обмотки различаются не только конструкцией. Имеется также разница и в величине и форме графиков ЭДС, наведенных в сосредоточенной и распределенной обмотках. Для разъяснения обратимся к рис. 7.7, где показаны две одновитковые катушки фазной обмотки, сосредоточенные в двух пазах (а), и такие же две катушки, образующие катушечную группу и распределенные в четырех пазах (б).

В случае сосредоточенной обмотки (рис. 7.7, а) ЭДС, наведенные в двух катушках, совпадают по фазе; в этом случае ЭДС катушечной группы $E_{гс}$ равна арифметической сумме ЭДС катушек:

$$E_{гс} = E_{к1} + E_{к2}. \quad (7.11)$$

В случае *распределенной* обмотки обе катушки сдвинуты в пространстве относительно друг друга на пазовый угол γ . Поэтому ЭДС, наводимые в катушках катушечной группы, оказались сдвинутыми по фазе относительно друг друга на угол γ (рис. 7.7, б). Исходя из этого ЭДС катушечной группы распре-

деленной обмотки E_{rp} равна геометрической сумме ЭДС катушек, число которых равно q_1 :

$$\dot{E}_{rp} = \sum_1^{q_1} \dot{E}_k.$$

Как видно из приведенных на рис. 7.7 векторных диаграмм, ЭДС катушечной группы сосредоточенной обмотки \dot{E}_{rc} больше,

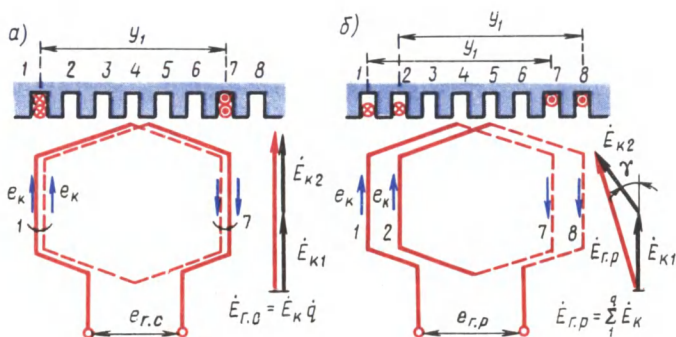


Рис. 7.7. К понятию о коэффициенте распределения

чем ЭДС при распределенной обмотке \dot{E}_{rp} . Уменьшение ЭДС катушечной группы при переходе от сосредоточенной обмотки к распределенной распространяется на ЭДС не только первой, но и высших гармоник. Для количественной оценки этого уменьшения ЭДС пользуются *коэффициентом распределения обмотки*, представляющим собой отношение ЭДС:

$$k_p = (E_{rp} / E_{rc}) < 1.$$

Коэффициент распределения обмотки для первой гармоники

$$k_{p1} = \frac{\sin(0,5q_1\gamma)}{q_1 \sin(0,5\gamma)}, \quad (7.12)$$

где γ — угол сдвига по фазе между векторами пазовых ЭДС, т. е. ЭДС, наводимых в проводниках, лежащих в соседних пазах статора, эл. град:

$$\gamma = 360p / Z_1. \quad (7.13)$$

Так как угол сдвига по фазе между векторами пазовых ЭДС для v -й гармоники в v раз больше пазового угла γ , то коэффициент распределения обмотки для любой гармоники ЭДС равен

$$k_{pv} = \frac{\sin(0,5vq_1\gamma)}{q_1 \sin(0,5vq_1\gamma)}. \quad (7.14)$$

Ниже приведены значения коэффициента распределения для первой, третьей, пятой и седьмой гармоник ЭДС:

Число пазов на полюс и фазу q_1	1	2	3	4	5	6	∞
1-я гармоника	1,000	0,966	0,960	0,958	0,957	0,956	0,955
3-я »	1,000	0,707	0,667	0,654	0,646	0,644	0,636
5-я »	1,000	0,259	0,217	0,204	0,200	0,197	0,191
7-я »	-1,000	-0,259	-0,178	-0,157	-0,149	-0,145	-0,136

Из приведенных данных видно, что увеличение q_1 вызывает сравнительно небольшое уменьшение коэффициента распределения для основной гармоники и значительное уменьшение его для высших гармоник.

§ 7.4. Электродвижущая сила обмотки статора

Мгновенное значение ЭДС катушки статора по (7.5)

$$e_k = B_\delta 4\tau l f_1 \omega_k.$$

Если принять закон распределения магнитной индукции в воздушном зазоре синусоидальным ($B_\delta = B_{\max} \sin \omega_1 t$), то максимальное значение ЭДС катушки

$$E_{k\max} = B_{\max} 4\tau l f_1 \omega_k. \quad (7.15)$$

При синусоидальном законе распределения среднее значение магнитной индукции $B_{\text{ср}} = (2/\pi)B_{\max}$, откуда

$$B_{\max} = (\pi/2)B_{\text{ср}}. \quad (7.16)$$

Тогда с учетом (7.15) и (7.16) получим

$$E_{k\max} = 2\pi B_{\text{ср}} \tau l f_1 \omega_k. \quad (7.17)$$

Переходя к действующему значению ЭДС, получим

$$E_k = E_{k\max} / \sqrt{2} = (2\pi / \sqrt{2}) B_{\text{ср}} \tau l f_1 \omega_k. \quad (7.18)$$

Произведение полюсного деления τ на длину l представляет собой площадь полюсного деления, т. е. площадь магнитного потока одного полюса. Тогда произведение $B_{\text{ср}} \tau l = \Phi$, т. е. равно основному магнитному потоку статора. Учитывая это, а также то, что $2\pi / \sqrt{2} = 4,44$, получим выражение действующего значения ЭДС катушки с диаметральной шагом ($y_1 = \tau$):

$$E_k = 4,44 \Phi f_1 \omega_k. \quad (7.19)$$

Для определения ЭДС обмотки фазы статора необходимо ЭДС катушки E_k умножить на число последовательно соединенных катушек в фазной обмотке статора. Так как число катушек в катушечной группе равно q_1 , а число катушечных групп в фазной обмотке равно $2p$, то фазная обмотка статора содержит $2pq_1$ катушек.

Имея в виду, что число последовательно соединенных витков в фазной обмотке $\omega_1 = 2pq_1 \omega_k$, получим ЭДС фазной обмотки статора (B):

$$E_1 = 4,44 \Phi f_1 \omega_1 k_{\text{оф}1}. \quad (7.20)$$

В этом выражении k_{o61} — обмоточный коэффициент для основной гармоники, учитывающий уменьшение ЭДС основной гармоники, наведенной в обмотке статора, обусловленное укорочением шага обмотки и ее распределением. Значение обмоточного коэффициента определяется произведением коэффициента укорочения k_{y1} и распределения k_{p1} :

$$k_{o61} = k_{y1} k_{p1}. \quad (7.21)$$

Для обмоток с диаметральной шагом $k_{o61} = k_{p1}$.

Выражение (7.20) определяет значение фазной ЭДС обмотки статора. Что же касается линейной ЭДС, то ее значение зависит от схемы соединения обмотки статора: при соединении звездой $E_{1л} = \sqrt{3} E_1$, а при соединении треугольником $E_{1л} = E_1$.

Пример 7.1. Статор трехфазного асинхронного двигателя (см. рис. 7.1) с внутренним диаметром $D_1 = 435$ мм, длиной $l = 270$ мм имеет число пазов $Z_1 = 60$. Шаг обмотки статора по пазам $y_1 = 12$, число витков в катушке обмотки статора $w_k = 2$. Определить ЭДС одной фазы обмотки, если магнитная индукция в воздушном зазоре $B_\delta = 0,75$ Тл, а частота переменного тока $f_1 = 50$ Гц; $2p = 4$.

Решение. 1 Полусное деление

$$\tau = \pi D_1 / (2p) = \pi 435 / 4 = 341 \text{ мм},$$

или в зубцовых делениях $\tau = Z_1 / (2p) = 60 / 4 = 15$.

2. Относительный шаг обмотки

$$\beta = y_1 / \tau = 12 / 15 = 0,80.$$

3. Коэффициент укорочения шага обмотки по (7.8)

$$k_{y1} = \sin(\beta \cdot 90^\circ) = \sin(0,80 \cdot 90^\circ) = 0,951.$$

4. Число пазов на полюс и фазу по (7.10)

$$q_1 = Z_1 / (2pm_1) = 60 / (4 \cdot 3) = 5.$$

5. Пазовый угол по (7.13)

$$\gamma = 360p / Z_1 = 360 \cdot 2 / 60 = 12 \text{ эл. град.}$$

6. Коэффициент распределения обмотки по (7.12)

$$k_{p1} = \frac{\sin(0,5q_1\gamma)}{q_1 \sin(0,5\gamma)} = \frac{\sin(0,5 \cdot 5 \cdot 12)}{5 \sin(0,5 \cdot 12)} = 0,957.$$

7. Обмоточный коэффициент по (7.21)

$$k_{o61} = k_{y1} k_{p1} = 0,951 \cdot 0,957 = 0,91.$$

8. Основной магнитный поток

$$\Phi = (2/\pi) B_\delta l \tau 10^{-6} = (2/\pi) 0,75 \cdot 270 \cdot 341 \cdot 10^{-6} = 0,044 \text{ Вб.}$$

9. Число последовательно соединенных витков в обмотке фазы

$$w_1 = 2pq_1 w_k = 4 \cdot 5 \cdot 2 = 40.$$

10. ЭДС обмотки фазы статора по (7.20)

$$E_1 = 4,44 \Phi f_1 w_1 k_{o61} = 4,44 \cdot 0,044 \cdot 50 \cdot 40 \cdot 0,91 = 357 \text{ В.}$$

Значение линейной ЭДС этой обмотки зависит от схемы ее соединения: при соединении звездой $E_{1л} = \sqrt{3} E_1 = \sqrt{3} \cdot 357 = 618 \text{ В}$, а при соединении треугольником $E_{1л} = E_1 = 357 \text{ В}$.

§ 7.5. Зубцовые гармоники ЭДС

Наличие зубцов и пазов на поверхности статора создает неравномерность воздушного зазора. По этой причине все гармонические составляющие магнитного поля, обусловленные несинусоидальностью кривой магнитной индукции (см. рис. 6.2), приобретают зубчатую форму. Каждая из этих искаженных гармоник индуцирует в обмотке статора две ЭДС: собственной частоты f_v и зубцовую.

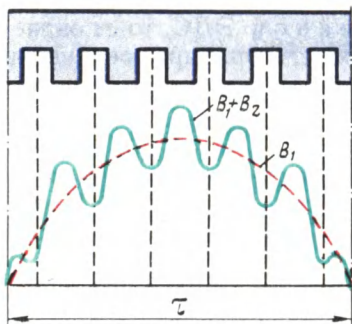


Рис. 7.8. График магнитной индукции основной гармоники B_1 , искаженной зубцовой гармоникой B_z .

Практическое влияние на работу машины может оказать зубцовая ЭДС поля основной гармоники (рис. 7.8). Мгновенное значение этой ЭДС

$$e_z = E_{z\max} \sin \omega_1 t \cos 2Q\omega_1 t, \quad (7.22)$$

или, учитывая, что $\sin \omega_1 t \cos 2Q\omega_1 t = 0,5 \sin(\omega_1 t + 2Q\omega_1 t) + 0,5 \sin(\omega_1 t - 2Q\omega_1 t)$, получим

$$e_z = 0,5E_{z\max} [\sin(2Q+1)\omega_1 t - \sin(2Q-1)\omega_1 t], \quad (7.23)$$

где $Q = Z_1/(2p)$ — число пазов на полюс.

Из (7.23) следует, что зубцовая ЭДС от основной гармоники поля может быть разложена на две составляющие с одинаковыми амплитудными значениями, но разными частотами:

$$f'_z = (2Q+1)f_1; \quad f''_z = (2Q-1)f_1. \quad (7.24)$$

Например, при $2p = 4$, $Z_1 = 24$ и $f_1 = 50$ Гц основная гармоника поля вызывает зубцовые ЭДС, частота которых:

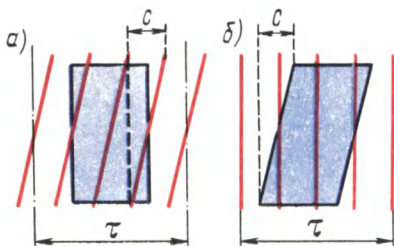


Рис. 7.9 Скос пазов (а) и скос полюсного наконечника (б)

$$f'_z = (2 \cdot 6 + 1)50 = 650 \text{ Гц}$$

(13-я гармоника);

$$f''_z = (2 \cdot 6 - 1)50 = 550 \text{ Гц}$$

(11-я гармоника).

Вредное действие зубцовых гармоник ЭДС выражается в том, что они вызывают дополнительные потери в машине и, имея повышенную частоту, оказывают мешающее влияние на линии связи.

Так как сокращение шага обмотки по пазам y_1 всегда кратно числу зубцов, то оно не позволяет уменьшить зубцовые гармоники ЭДС. Эффективное средство ослабления зубцовых гармоник

ЭДС — скос пазов или скос полюсных наконечников (в синхронных машинах). Обычно этот скос составляет одно зубцовое деление (рис. 7.9). При скосе пазов или полюсных наконечников ЭДС, индуцируемые в ряде последовательных точек по длине проводника, будут сдвинутыми по фазе относительно друг друга. Это ведет к уменьшению ЭДС проводника, учитываемой *коэффициентом скоса пазов*

$$k_{ск} = \frac{2\tau \sin(\nu c \cdot 90^\circ / \tau)}{\pi \nu c}, \quad (7.25)$$

где τ и c — в зубцовых делениях.

При скосе пазов на одно зубцовое деление t_1 для первой гармоники коэффициент $k_{ск1} \approx 1$, а для гармоник зубцового порядка $k_{ск\nu} \ll 1$. Например, при $2p=4$, $Z_1=48$ и скосе пазов на одно зубцовое деление ($c=1$) для основной гармоники ($\nu=1$) коэффициент скоса пазов $k_{ск1}=0,995$, для зубцовой гармоники ($\nu=13$) коэффициент $k_{ск13}=0,590$.

Контрольные вопросы

1. Что такое шаг обмотки по пазам и какой должна быть его величина?
2. На какие гармонические составляющие можно разложить несинусоидальную кривую ЭДС, наведенной в обмотке статора?
3. Какие применяются средства подавления высших гармоник ЭДС в обмотке статора?
4. Каким образом можно ослабить зубцовые гармоники ЭДС в обмотке статора?

§ 8.1. Трехфазные двухслойные обмотки с целым числом пазов на полюс и фазу

Обмотки статора машин переменного тока по своей конструкции разделяются на двух- и однослойные. В двухслойной обмотке пазовая сторона катушки занимает половину пазов по его высоте, а другую половину этого пазов занимает пазовая сторона другой катушки (рис. 8.1, а). В однослойной обмотке статора пазовая сторона любой катушки занимает весь паз (рис. 8.1, б).

Рассмотрим принцип выполнения трехфазной двухслойной обмотки с целым числом пазов на полюс и фазу q_1 , равным 2; 3; 4 и т. д. У такой трехфазной обмотки обмотка каждой фазы занимает q_1 пазов в пределах каждого полюсного деления. Таким образом, для образования трехфазной обмотки зубцовый слой сердечника статора в пределах каждого полюсного деления следует разделить на три зоны по q_1 пазов в каждой зоне.

Рассмотрим порядок построения развернутой схемы трехфазной двухслойной обмотки статора на примере обмотки, имеющей следующие данные: число фаз $m_1 = 3$, число полюсов $2p = 2$, число пазов в сердечнике статора $Z_1 = 12$, шаг обмотки по пазам диаметральный, т. е. $y_1 = \tau$.

Шаг обмотки $y_1 = Z_1 / (2p) = 12 / 2 = 6$ пазов; число пазов на полюс и фазу $q_1 = Z_1 / (m_1 2p) = 12 / (3 \cdot 2) = 2$ пазов; пазовый угол $\gamma = 360^\circ p / Z_1 = 360^\circ \cdot 1 / 12 = 30^\circ$ эл. град. Угол сдвига между осями фазных обмоток составляет 120° эл. град, поэтому сдвиг начал обмоток фаз, выраженный в пазовых шагах, $\lambda = 120^\circ / \gamma = 120 / 30 = 4$ пазов.

На развернутой поверхности статора размечаем пазы ($Z_1 = 12$) и полюсные деления ($2p = 2$), а затем размечаем зоны по $q_1 = 2$ пазов для всех фаз (рис. 8.2, а); при этом расстояние между зоной какой-либо фазы в одном полюсном делении и зоной этой же фазы в другом полюсном делении должно быть равно шагу обмотки $y_1 = 6$ пазов.

Далее отмечаем расстояние между началами фазных обмоток $\lambda = 4$ паз. Изображаем на схеме (рис. 8.2, б) верхние (сплошные линии) и нижние (пунктирные линии) пазовые стороны катушек фазы *A* (катушки 1, 2, 7 и 8). Верхнюю сторону катушки 1 (паз 1) лобовой частью соединяем с нижней стороной этой же катушки (паз 7), которую, в свою очередь, присоединяем к верхней стороне катушки 2 (паз 2). Верхнюю сторону катушки 2 (рис. 8.2, б) также лобовой частью соединяем с нижней стороной этой же катушки (паз 8) и получаем первую катушечную группу обмотки фазы *A* (*H1A—K1A*).

Аналогично получаем вторую катушечную группу фазы *A*, состоящую из последовательно соединенных катушек 7 и 8 (*H2A—K2A*). Катушечные группы соединяем между собой последовательно, для чего *K1A* присоединяем к *K2A*. Присоединив начало первой катушечной группы *H1A* к выводу обмотки *C1*, а начало второй катушечной группы *H2A* — к выводу *C4*, получаем фазную обмотку *A*.

Приступаем к соединению пазовых сторон катушек фазы *B*: катушек 5 и 6 (первая катушечная группа) и катушек 11 и 12 (вторая катушечная группа). Прделав то же самое с катушками фазной обмотки *C* и соединив катушечные группы этих фазных обмоток, так же как это было сделано в фазной обмотке *A*, получим фазные обмотки фазы *B* (*C2—C5*) и фазы *C* (*C3—C6*). В окончательном виде развернутая схема трехфазной обмотки представлена на рис. 8.2, в.

Двухслойные обмотки в электрических машинах переменного тока получили наибольшее распространение. Это объясняется рядом их достоинств, из которых главным является возможность любого укорочения шага обмотки, что дает, в свою очередь, возможность максимально приблизить форму кривой ЭДС к синусоиде (см. § 7.3). Однако двухслойные обмотки не лишены недостатков — это затруднения в применении станочной укладки обмотки, а также трудность ремонта обмотки при повреждении изоляции пазовых проводников нижнего слоя.

Катушечной группой называют ряд последовательно соединенных между собой катушек, которые лежат в соседних пазах и принадлежат одной фазной обмотке. Каждая катушечная группа имеет q_1 последовательно соединенных катушек. Количество катушечных групп в фазной обмотке равно числу полюсов. Общее количество катушечных групп в двухслойной обмотке равно $2pt_1$.

Катушечные группы каждой фазы обмотки статора могут

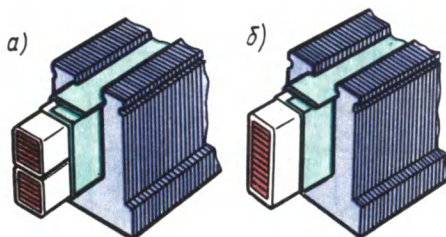


Рис. 8.1. Расположение пазовых сторон двухслойной (а) и однослойной (б) обмоток статора

быть соединены последовательно или параллельно, что влияет на число параллельных ветвей в обмотке.

На рис. 8.2, б показано последовательное соединение двух катушечных групп фазной обмотки, для чего необходимо нижний конец первой катушечной группы ($K1A$) соединить с нижним концом второй катушечной группы ($K2A$), а верхние концы вы-

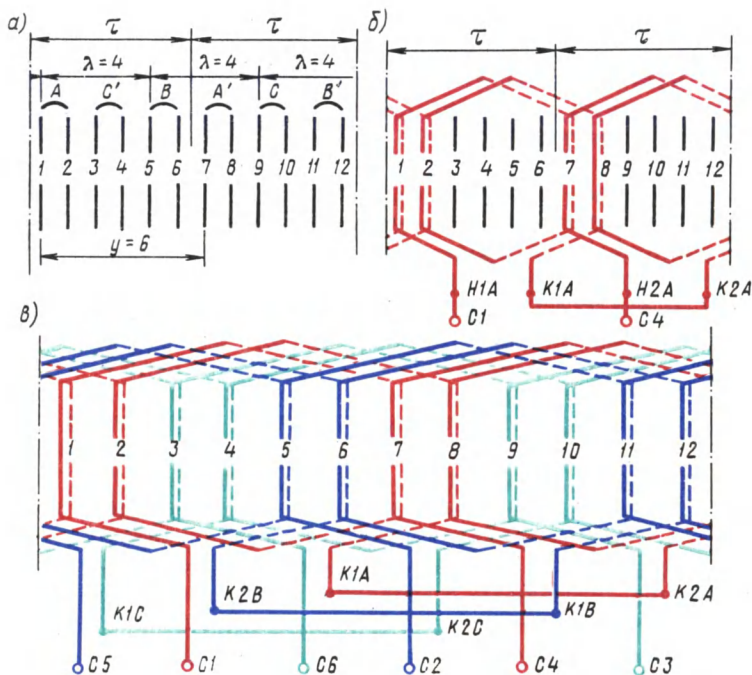


Рис. 8.2. Порядок построения развернутой схемы трехфазной двух-
слойной обмотки статора: $Z_1 = 12$, $2p = 2$, $y_1 = 6$, $q_1 = 2$

вести к зажимам фазной обмотки ($C1—C4$). При таком соединении катушечных групп ЭДС фазной обмотки представляет собой сумму ЭДС всех катушечных групп.

На рис. 8.3, а показано последовательное соединение четырех катушечных групп. Первая и вторая группы соединены нижними концами, вторая и третья группы соединены верхними концами, третья и четвертая — нижними, а к выводам фазной обмотки присоединены верхние концы первой и четвертой катушечных групп. При последовательном соединении катушечных групп каждая фазная обмотка независимо от числа полюсов машины содержит одну параллельную ветвь ($a_1 = 1$). Двухслойная обмотка в каждой фазе имеет $2p$ катушечных групп, поэтому, соединив все группы параллельно, получим обмотку, состоящую из $2p$ параллельных ветвей ($a_1 = 2p$).

На рис. 8.3, б показано параллельное соединение четырех ка-

тушечных групп: к одному выводу обмотки ($C1$) подключены верхние концы нечетных групп (I и III) и нижние концы четных групп (II и IV), оставшиеся концы катушечных групп присоединены к другому выводу фазной обмотки ($C4$). Такой порядок присоединения групп объясняется следующим: ЭДС рядом лежащих катушечных групп одной фазной обмотки сдвинуты по фазе друг относительно друга на 180° , так как эти катушечные группы расположены под разноименными полюсами. Поэтому, чтобы ЭДС рядом лежащих катушечных групп фазной обмотки совпали по фазе, приходится их присоединять меняя концы.

Если половину катушечных групп каждой фазной обмотки соединить последовательно в одну ветвь, а затем две ветви соединить параллельно, то получим последовательно-параллельное (смешанное) соединение катушечных групп с двумя параллельными ветвями в фазной обмотке ($a_1 = 2$). Чтобы ЭДС параллельных ветвей были одинаковы, в каждую параллельную ветвь включают катушечные группы через одну. Таким образом, в одной параллельной ветви оказываются все четные катушечные группы, а в другой — все нечетные (рис. 8.3, в).

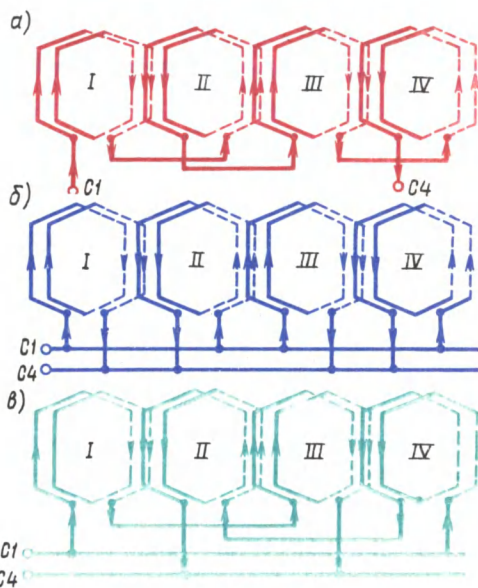


Рис. 8.3. Способы соединения катушечных групп

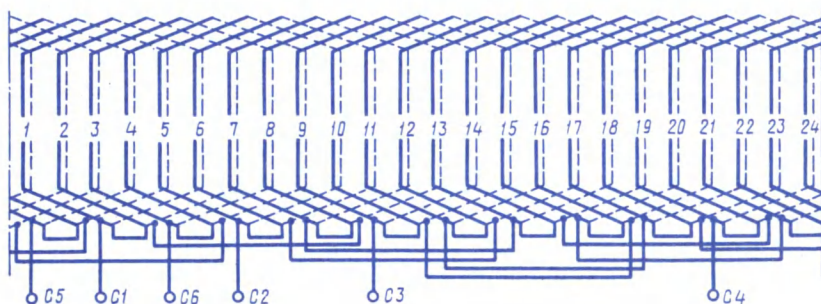


Рис. 8.4. Развернутая схема трехфазной двухслойной обмотки статора с укороченным шагом:
 $Z_1 = 24$; $2p = 4$, $y_1 = 5$

Пример 8.1. Выполнить развернутую схему трехфазной двухслойной обмотки с относительным укорочением шага $\beta = 0,83$ при следующих данных: $2p = 4$, $Z_1 = 24$, соединение катушечных групп последовательное.

Решение. Число пазов на полюс и фазу по (7.10)

$$q_1 = Z_1 / (2pm_1) = 24 / (4 \cdot 3) = 2.$$

Пазовый угол по (7.13)

$$\gamma = 360p / Z_1 = 360 \cdot 2 / 24 = 30 \text{ эл. град.}$$

Сдвиг между осями фаз (в пазах)

$$\lambda = 120 / \gamma = 120 / 30 = 4.$$

Шаг обмотки по пазам

$$y_1 = \beta Z_1 / 2p = 0,83 \cdot 24 / 4 = 5.$$

На рис. 8.4 изображена развернутая схема этой обмотки.

§ 8.2. Трехфазная двухслойная обмотка с дробным числом пазов на полюс и фазу

В мощных многополюсных синхронных генераторах (гидрогенераторах) (см. гл. 19) практически невозможно выполнить обмотку статора с числом пазов на полюс и фазу $q_1 > 1$, равным целому числу, так как для этого потребовалось бы иметь на статоре слишком большое число пазов $Z_1 = 2pm_1q_1$. В этом случае обмотку статора выполняют с дробным q_1 . Такие обмотки имеют некоторое преимущество перед обмотками с целым q_1 , так как позволяют при небольших значениях q_1 получить ЭДС практически синусоидальной формы.

Обмотки статоров с дробным q_1 в двигателях переменного тока применяют главным образом при серийном производстве, когда для изготовления пластин сердечника статора двигателей с различным числом полюсов используют один штамп. При этом одно из значений $2p$ дает $q \neq \text{ц. ч.}$ (целое число).

Дробное значение q_1 может быть представлено в виде

$$q_1 = a + b/c = (ac + b)/c. \quad (8.1)$$

При этом очевидно, что числа b , c и $ac + b$ не имеют общего делителя.

С учетом (8.1) число пазов статора

$$Z_1 = 2pm_1q_1 = 2pm_1(ac + b)/c. \quad (8.2)$$

Если c не кратно m_1 , то обмотка с дробным q_1 эквивалентна обмотке с целым $q_{1\text{ экв}} = ac + b$. Так как $q_{1\text{ экв}}$ больше действительного (дробного) q_1 в c раз [см. (8.1)], то и эквивалентное число пазов $Z_{1\text{ экв}}$ больше действительного Z_1 в c раз. Так, двухполюсная трехфазная обмотка статора с $Z_1 = 9$ имеет число пазов на полюс и фазу

$$q_1 = Z_1 / (2pm_1) = 9 / (2 \cdot 3) = 1\frac{1}{2},$$

или, согласно (8.3),

$$q_1 = (ac + b)/c = (2 + 1)/2 = 1\frac{1}{2},$$

где $a=1$, $c=2$, $b=1$.

Для этой обмотки эквивалентные параметры будут

$$q_{1\text{экв}} = q_1 c = 1\frac{1}{2} \cdot 2 = 3; \quad Z_{1\text{экв}} = Z_1 c = 9 \cdot 2 = 18.$$

Изобразив зубцы эквивалентного статора с $Z_{1\text{экв}} = 18$ (рис. 8.5, а) и разбив их полюсные деления на фазные зоны, пронумеруем пазы реального статора ($Z_1 = 9$). Эти пазы расположатся

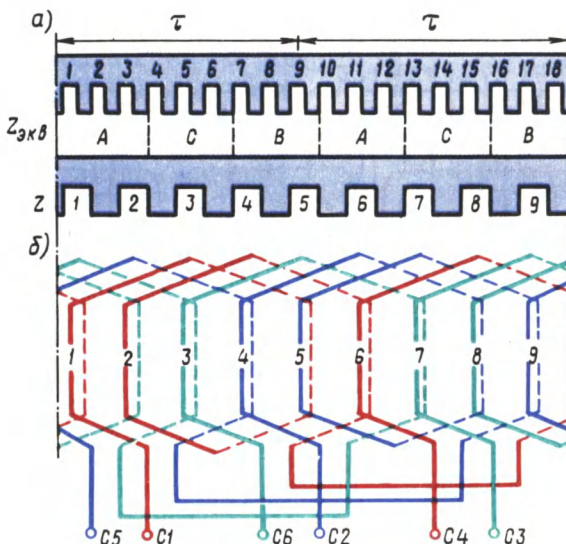


Рис. 8.5. Трехфазная обмотка статора с дробным q_1

между эквивалентными пазами. Из разметки пазов видно, что каждая фазная обмотка состоит из двух катушечных групп, при этом одна группа состоит из двух катушек, а другая — из одной. Изобразив катушечные группы фазы A (рис. 8.5, б), соединяем их последовательно (встречно) и обозначаем выводы этой фазной обмотки $C1$ и $C4$. Аналогично выполняем схемы фазных обмоток фаз B и C .

В рассмотренном примере обмотки с $q_1 = 1\frac{1}{2}$ каждая катушечная группа состоит из двух не равных по числу катушек частей: в одной части катушечной группы — одна катушка, а в другой — две катушки. Таким образом, в каждой катушечной группе имеет место чередование катушек, обозначаемое 1—2. Если дробная часть q_1 отличается от $1\frac{1}{2}$, то чередование катушек в каждой катушечной группе будет другим [10].

Чередование катушек в катушечной группе подчиняется следующему правилу: количество цифр чередования равно знаменателю неправильной дроби c [см. (8.1)], а сумма этих цифр равна числителю неправильной дроби $ac + b$.

§ 8.3. Однослойные обмотки статора

Трехфазная обмотка. В однослойных обмотках каждая сторона катушки полностью заполняет паз сердечника статора (см. рис. 8.1, б). При этом число катушечных групп в каждой фазе равно числу пар полюсов, так что общее число катушечных групп в однослойной обмотке равно pm_1 .

Однослойные обмотки статоров разделяют на концентрические и шаблонные. В концентрической обмотке катушки каждой катушечной группы имеют разную ширину и располагаются концентрически. Шаги обмотки у катушек, входящих в катушечную группу, неодинаковы, но их среднее значение $y_{\text{ср}} = Z_1/(2p)$.

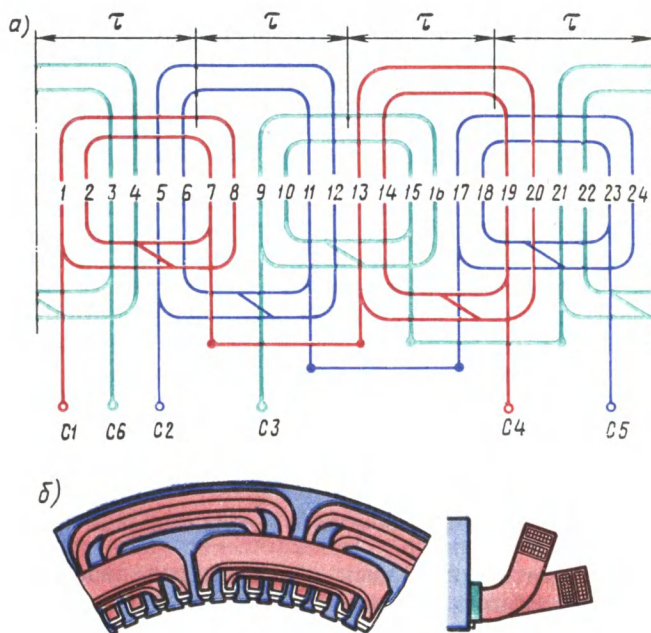


Рис. 8.6. Трехфазная однослойная обмотка статора с расположением лобовых частей в двух плоскостях:
а — развернутая схема; б — расположение лобовых частей

Так, для трехфазной однослойной концентрической обмотки с $Z_1 = 24$; $2p = 4$ имеем $y_{\text{ср}} = 24/4 = 6$ пазов; $q_1 = Z_1/(2pm_1) = 24/(4 \cdot 3) = 2$. Следовательно, катушечная группа каждой фазной обмотки состоит из двух расположенных концентрически катушек. Шаги этих катушек: $y_{11} = 7$ и $y_{12} = 5$. Развернутая схема этой обмотки ($2p = 4$; $Z_1 = 24$; $q_1 = 2$; $y_{\text{ср}} = 6$) представлена на рис. 8.6, а.

Рассмотренную однослойную обмотку называют *двухплоскостной*, так как лобовые части катушек этой обмотки имеют разный вылет и располагаются в двух плоскостях (рис. 8.6, б). Такая кон-

струкция обмотки позволяет избежать пересечения лобовых частей катушек, принадлежащих разным фазам. При нечетном числе пар полюсов число групп лобовых частей будет также нечетным. В этом случае одну катушечную группу приходится делать переходного размера с двоякоизогнутой лобовой частью.

Применение различных по размеру катушек, образующих катушечные группы, ведет к тому, что катушечные группы концентрических обмоток имеют разные электрические сопротивления. Это следует учитывать при определении размеров катушек катушечных групп, образующих фазную обмотку. Необходимо, чтобы все фазные обмотки имели одинаковое сопротивление, для чего они должны содержать одинаковое число различных по размерам катушечных групп. Основное достоинство однослойных концентрических обмоток — возможность применения станочной укладки. Этим объясняется широкое применение этого типа обмотки статора в асинхронных двигателях мощностью до 18 кВт, производство которых обычно имеет массовый характер.

Недостаток концентрических обмоток — наличие катушек различных размеров, что несколько усложняет ручное изготовление обмотки. Этот недостаток отсутствует в шаблонных однослойных обмотках, так как их катушки имеют одинаковые размеры и могут изготавливаться на общем шаблоне. Кроме того, все катушки таких обмоток имеют одинаковые сопротивления, а лобовые части получаются короче, чем в концентрических обмотках, что уменьшает расход меди.

В качестве примера рассмотрим шаблонную обмотку (рис. 8.7, а) двухполюсной машины с тремя катушками в катушечной группе. Трапецеидальная форма секций облегчает расположение лобовых частей обмотки (рис. 8.7, б).

Основным недостатком всех типов однослойных обмоток является невозможность применения в них катушек с укороченным шагом, что необходимо для улучшения рабочих свойств машин переменного тока (см. § 7.2).

Однофазная обмотка. Эту обмотку статора выполняют аналогично одной фазе трехфазной обмотки, с той лишь разницей, что катушки этой обмотки занимают $2/3$ пазов сердечника статора. Такая конструкция обмотки делает ее наиболее экономичной, так как заполнение оставшихся $1/3$ пазов статора увеличило бы расход

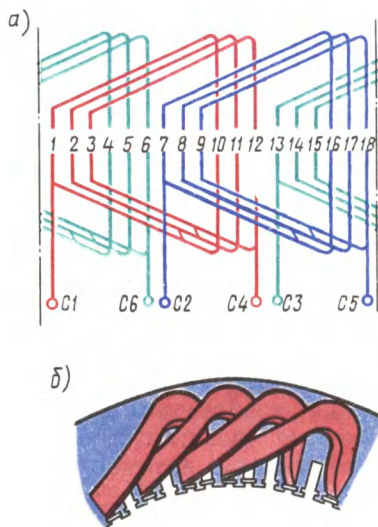


Рис. 8.7 Трехфазная однослойная шаблонная обмотка статора

меди на изготовление обмотки в 1,5 раза, т. е. на 50 %, а ЭДС обмотки возросла бы лишь на 15 %.

Для однофазной обмотки ($m_1=1$), занимающей $2/3$ пазов на статоре, формула коэффициента распределения (см. § 7.3) имеет вид

$$k_{pv} = \frac{\sin(60^\circ v)}{q_1 \sin(60v/q_1)}. \quad (8.3)$$

Для третьей гармоники ЭДС ($v=3$) числитель выражения (8.3) $\sin 60^\circ v = \sin 180^\circ = 0$. Из этого следует, что в однофазной обмотке, занимающей $2/3$ пазов на статоре, отсутствует третья гармоника ЭДС. На рис. 8.8 показана схема однофазной однослойной обмотки. Однофазные обмотки могут быть и двухслойными.

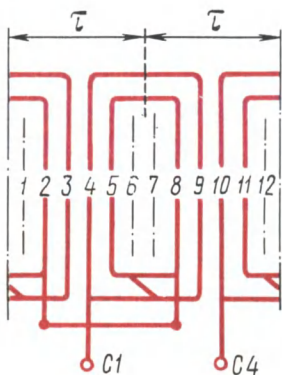


Рис. 8.8. Однофазная однослойная обмотка статора:

$2p = 2$; $Z_1 = 12$, $q_1 = 4$

§ 8.4. Изоляция обмотки статора

Электрическая изоляция обмотки — наиболее ответственный элемент электрической машины, в значительной степени определяющий ее габариты, вес, стоимость и надежность.

Пазовые стороны обмотки статора расположены в пазах (рис. 8.9), которые могут быть полузакрытыми (а), полуоткрытыми (б) и открытыми (в). Перед укладкой проводников 4 обмотки поверхность паза прикрывают *пазовой (корпусной) изоляцией 2* в виде пазовой коробочки. Этот вид изоляции должен иметь не только достаточную электрическую, но и необходимую механическую прочность, так как на него действуют значительные механические силы, возникающие в процессе работы машины, а особенно в процессе укладки (уплотнения) проводников обмотки в пазах. В нижней части паза располагают прокладку 1.

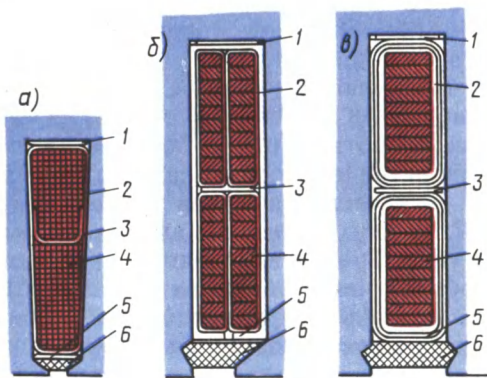


Рис. 8.9. Пазы статора

Электрическая изоляция проводников друг от друга обеспечивается *витковой изоляцией*, в качестве которой в машинах напряжением до 660 В используют изоляцию обмоточных проводов, а при напряжении 6000 В и выше эта изоляция требует усиления на каждом проводнике специальной витковой изоляцией.

В двухслойных обмотках между слоями укладывают прокладку 3. Паз закрывают клином 6, под который обычно также кладут изоляционную прокладку 5.

Способ изоляции паза и применяемые изоляционные материалы зависят от типа обмотки, ее рабочего напряжения и температуры перегрева. При выборе электроизоляционных материалов для изоляции паза необходимо, чтобы все материалы имели одинаковую **нагревостойкость**.

Изоляционные материалы, применяемые в обмотках электрических машин и трансформаторов, разделяют на пять классов нагревостойкости, отличающихся друг от друга предельно допустимой температурой нагрева:

Класс нагревостойкости изоляции	A	E	B	F	H
Предельно допустимая температура, °С	105	120	130	155	180
Расчетная рабочая температура обмотки, °С	75	75	75	115	115

Класс изоляции определяет также значение расчетной рабочей температуры при расчете активного сопротивления обмотки.

В последние годы для обмоток статоров при напряжении до 660 В преимущественно применяют провода с эмалевой изоляцией марок ПЭТВ и ПЭТ-155 круглого и прямоугольного сечений. Основным изоляционным материалом для обмоток статоров служат: в низковольтных машинах (до 660 В) — пленкосинтокартон, электронит, лакотканеслюдопласт, а в высоковольтных машинах (6000 В и выше) — стеклослюдопластовая лента, стеклотекстолит и т. п.

С целью улучшения использования габарита машины желательно, чтобы изоляция обмотки в пазах занимала меньше места.

Для оценки использования площади паза пользуются *коэффициентом заполнения паза изолированными проводниками*

$$k_n = N_{n1} d_{из}^2 / S'_n, \quad (8.4)$$

где N_{n1} — число проводников в пазе; $d_{из}$ — диаметр изолированного проводника, мм; S'_n — площадь паза, занимаемая обмоткой (без учета клина), мм².

При использовании обмоточных проводов круглого сечения (пазы полузакрытые) для ручной укладки обмотки $k_n = 0,70 \div 0,75$, для машинной укладки на статоробмоточных станках $k_n = 0,70 \div 0,72$. В высоковольтных машинах пазы статора делают открытыми, так как только в этом случае можно обеспечить надежную пазовую изоляцию.

Контрольные вопросы

1. Начертите развернутую схему трехфазной двухслойной обмотки статора с последовательным соединением катушечных групп для одного из приведенных ниже вариантов:

Варианты	1	2	3	4	5	6	7	8	9	10
Число полюсов $2p$	2	4	6	4	2	2	2	8	4	4
Число пазов Z_1	24	24	36	36	18	36	30	48	48	30

2. Как изменится ЭДС обмотки с $2p=6$, если последовательное соединение ее катушечных групп изменить на параллельное? Начертите схемы этих соединений.
3. Почему лобовые части однослойных концентрических обмоток располагают в нескольких плоскостях?
4. Каковы достоинства и недостатки двухслойных и однослойных обмоток статоров?
5. Почему однофазную обмотку статора укладывают в $2/3$ пазов?
6. Как разделяются электроизоляционные материалы по нагревостойкости?

§ 9.1. Магнитодвижущая сила сосредоточенной обмотки

При анализе МДС обмоток будем исходить из следующего:

а) МДС обмоток переменного тока изменяется во времени и вместе с тем распределена по периметру статора, т. е. МДС является функцией не только времени, но и пространства;

б) ток в обмотке статора синусоидален, а следовательно, и МДС обмотки является синусоидальной функцией времени;

в) воздушный зазор по периметру статора постоянен, т. е. сердечник ротора цилиндрический;

г) ток в обмотке ротора отсутствует, т. е. ротор не создает магнитного поля.

Рассмотрим двухполюсную машину переменного тока с сосредоточенной однофазной катушкой обмотки статора с шагом $y_1 = \tau$ (рис. 9.1, а). При прохождении тока по этой обмотке возникает магнитный поток. Поскольку каждая силовая линия этого потока сцеплена со всеми витками обмотки, МДС этой обмотки определится произведением тока на число витков: $f_k = i_k w_k$.

В связи с тем что обмотка статора сосредоточена в двух пазах, график МДС этой обмотки имеет прямоугольную форму (рис. 9.1, б) высотой

$$F_k = 0,5 I_{1\max} w_k = 0,5 \sqrt{2} I_1 w_k, \quad (9.1)$$

где I_1 — действующее значение тока катушки.

Для сосредоточенной обмотки МДС можно разложить в гармонический ряд, т. е. представить в виде суммы МДС, имеющих синусоидальное распределение в пространстве:

$$f(\alpha) = \frac{4}{\pi} F_k \left(\cos \alpha - \frac{1}{3} \cos 3\alpha + \frac{1}{5} \cos 5\alpha - \dots \right. \\ \left. \dots \pm \frac{1}{v} \cos v\alpha \right), \quad (9.2)$$

где α — пространственный угол (рис. 9.1, б).

Из (9.2) следует, что МДС *сосредоточенной обмотки статора* содержит основную и высшие нечетные гармоники, амплитуды которых обратно пропорциональны порядку гармоники ν .

Мгновенные значения любой гармоники МДС зависят от пространственного положения ее ординат относительно начала отсчета пространственного угла α (рис. 9.1, б). Эта зависимость у разных гармоник различна, т. е. гармоники МДС имеют разную периодичность в пространстве, определяемую законом $\cos \nu \alpha$. Поэтому гармоники МДС называют *пространственными*.

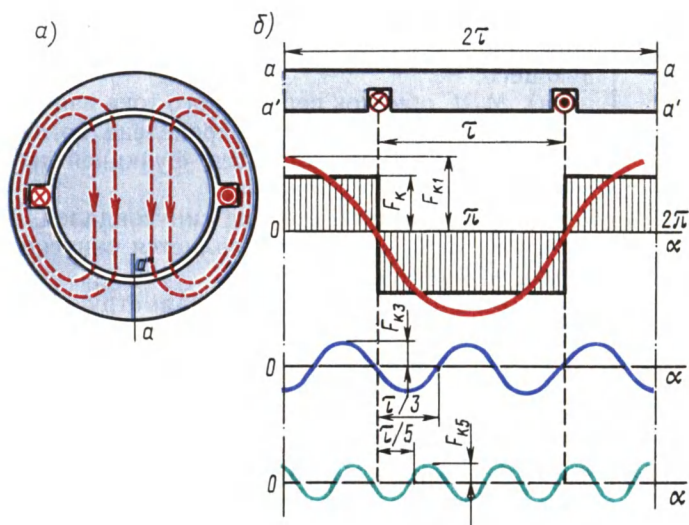


Рис. 9.1. МДС однофазной сосредоточенной обмотки статора

Гармоники МДС имеют и *временную* зависимость, поскольку по катушке проходит переменный ток. Но временная зависимость у всех гармоник одинакова и определяется частотой тока в катушке. Следовательно, все пространственные гармоники пропорциональны $\sin \omega t$.

Рассмотренные нами в предыдущих главах гармонические составляющие тока и ЭДС называют *временными гармониками*. Временная периодичность у этих гармоник определяется номером гармоники (7.6).

Амплитуда первой пространственной гармоники МДС по (9.2)

$$F_{k1} = \frac{4}{\pi} F_k = \frac{4}{\pi} \frac{\sqrt{2}}{2} I_1 \omega_k = 0,9 I_1 \omega_k. \quad (9.3)$$

Амплитуда пространственной гармоники ν -го порядка

$$F_{k\nu} = F_{k1} / \nu = 0,9 I_1 \omega_k / \nu. \quad (9.4)$$

Зависимость МДС любой гармоники от времени и пространственного угла α определяется выражением

$$f_{kv} = \pm F_{kv} \sin \omega t \cos v\alpha. \quad (9.5)$$

С увеличением номера гармоники растет ее пространственная периодичность. Поэтому число полюсов пространственной гармоники МДС равно $2p_v = 2pv$.

Полезный магнитный поток в машине переменного тока создает основная гармоника МДС, а высшие пространственные гармоники МДС обычно оказывают на машину вредное действие (действие высших гармоник МДС рассмотрено в последующих главах).

§ 9.2. Магнитодвижущая сила распределенной обмотки

На рис. 9.2, а показана катушечная группа обмотки статора, состоящая из трех катушек. График МДС основной гармоники каждой из этих катушек представляет собой синусоиду, максимальное значение которой (F_{k1}) совпадает с осью соответствующей катушки, поэтому между векторами МДС катушек \vec{F}_{1k1} , \vec{F}_{2k1} и \vec{F}_{3k1} имеется пространственный сдвиг на угол γ' , равный пазовому углу смещения катушек обмотки относительно друг друга γ' .

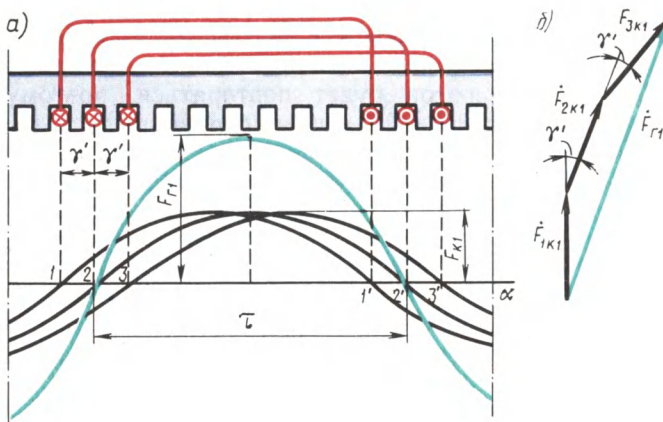


Рис. 9.2. МДС основной гармоники распределенной обмотки статора

График МДС основной гармоники всей катушечной группы представляет собой также синусоиду, полученную сложением ординат синусоид МДС катушек, составляющих катушечную группу. Максимальное значение этого графика F_{r1} совпадает с осью средней катушки.

Переходя к векторному изображению гармоник МДС, видим, что амплитуда МДС катушечной группы основной гармоники (рис. 9.2, б) определяется геометрической суммой векторов амплитуд

литудных значений МДС катушек: $\dot{F}_{r1} = \dot{F}_{1k1} + \dot{F}_{1k2} + \dot{F}_{1k3}$, т. е. аналогично определению ЭДС катушечной группы (см. рис. 7.7, б). Разница состоит лишь в том, что векторы ЭДС катушек смещены относительно друг друга на γ — угол сдвига фаз этих ЭДС относительно друг друга (временной угол), а при сложении МДС угол γ' является пространственным углом смещения амплитудных значений МДС катушек ($\gamma' = \gamma$).

Если все катушки катушечной группы сосредоточить в двух пазах ($\gamma' = 0$), то результирующая МДС будет определяться арифметической суммой МДС катушек, т. е. $F_{r1} = F_{k1} q_1$.

Таким образом, распределение катушек в нескольких пазах ведет к уменьшению МДС катушечной группы, которое учитывается коэффициентом распределения обмотки (см. § 7.3). Для МДС основной гармоники это уменьшение невелико, но для высших пространственных гармоник оно значительно.

Амплитуда пространственной гармоники катушечной группы распределенной обмотки

$$F_{rv} = F_{kv} q_1 k_{pv} = (0,9/v) I_1 \omega_k q_1 k_{pv}, \quad (9.6)$$

где k_{pv} — коэффициент распределения.

Например, амплитуда основной гармоники МДС

$$F_{r1} = F_{k1} q_1 k_{p1} = 0,9 I_1 \omega_k q_1 k_{p1}. \quad (9.7)$$

Если машина имеет несколько пар полюсов ($p > 1$), то при q_1 , равном целому числу, в силу симметрии обмотки график МДС на каждой паре полюсов будет повторяться, поэтому (9.6), выведенное для катушечной группы, справедливо и для МДС фазной обмотки F_ϕ . Заменим в (9.6) число витков катушки ω_k на число витков фазной обмотки ω_1 . Для однослойной обмотки при последовательном соединении всех катушек $\omega_1 = p q_1 \omega_k$, откуда

$$\omega_k = \omega_1 / (p q_1). \quad (9.8)$$

Используя (9.6) и (9.8), получим

$$F_{fv} = (0,9/v) I_1 \omega_1 k_{pv} / p; \quad (9.9)$$

для основной гармоники

$$F_{f1} = 0,9 I_1 \omega_1 k_{p1} / p. \quad (9.10)$$

Здесь I_1 — ток в обмотке фазы. При последовательном соединении всех катушек фазной обмотки $I_1 = I_k$.

Выражение (9.9) справедливо и для двухслойных обмоток, для которых $\omega_1 = 2 p q_1 \omega_k$, так как число витков в катушке двухслойной обмотки ω_k двухсл., пазовая сторона которой занимает половину паза, в два раза меньше числа витков катушки однослойной обмотки ω_k односл., т. е. ω_k двухсл. = $0,5 \omega_k$ односл.

Выражение (9.9) справедливо также и при параллельном соединении катушечных групп, когда число последовательно соединенных витков в обмотке фазы уменьшается в a раз, при

этом ток в обмотке увеличивается во столько же раз (здесь a — число параллельных ветвей в обмотке статора).

Эффективными средствами подавления высших пространственных гармоник МДС обмотки статора являются: укорочение шага обмотки (см. § 7.2), применение распределенной обмотки (см. § 7.3) и скос пазов (см. § 7.5). Уменьшение амплитуды основной гармоники МДС обмотки статора учитывается обмоточным коэффициентом $k_{об}$ [см. (7.21)]. Что же касается скоса пазов, то он практически не влияет на величину основной гармоники МДС (см. § 7.5).

С учетом изложенного амплитуда МДС обмотки фазы статора

$$F_{\Phi v} = (0,9/v) I_1 \omega_1 k_{обv} / p; \quad (9.11)$$

для основной гармоники

$$F_{\Phi 1} = 0,9 I_1 \omega_1 k_{об1} / p. \quad (9.12)$$

МДС однофазной обмотки статора прямо пропорциональна переменному току в этой обмотке ($F_{\Phi 1} \equiv I_1$). Переменный ток в течение каждого периода принимает различные мгновенные значения от $+I_{1\max}$ до $-I_{1\max}$. Следовательно, МДС однофазной обмотки пульсирует с частотой тока f_1 , принимая различные мгновенные значения (от $+F_{\Phi 1}$ до $-F_{\Phi 1}$) на каждом полюсном делении. При этом все гармонические составляющие этой МДС пульсируют с одинаковой частотой.

§ 9.3. Магнитодвижущая сила трехфазной обмотки статора

При включении трехфазной обмотки статора в сеть трехфазного тока в обмотках фаз появятся токи, сдвинутые по фазе (во времени) относительно друг друга на 120 эл. град (рис. 9.3, *a*):

$$i_A = I_{A\max} \sin \omega t; \quad i_B = I_{B\max} \sin(\omega t - 120^\circ); \quad i_C = I_{C\max} \sin(\omega t - 240^\circ). \quad (9.13)$$

Ток каждой обмотки создает пульсирующую МДС, а совокупное действие этих МДС создает результирующую МДС, вектор которой вращается относительно статора.

Принцип образования вращающейся МДС рассмотрим на простейшей трехфазной двухполюсной обмотке, каждая фаза которой состоит из одной катушки ($q_1 = 1$). Фазные обмотки соединены звездой и включены в сеть трехфазного тока (рис. 9.4). Проведем ряд построений вектора МДС трехфазной обмотки, соответствующих различным моментам времени, отмеченным на графике рис. 9.3, *a* цифрами 0, 1, 2, 3. В момент времени 0 ток в фазе *A* равен нулю, в фазе *B* имеет отрицательное направление, а в фазе *C* — положительное. Эти направления тока отмечаем на рис. 9.3, *б*. Затем в соответствии с указанными в пазовых

сторонах обмотки направлениями токов определяем направление вектора МДС F_1 трехфазной обмотки статора (вектор направлен вертикально вниз). В момент времени 1 ток в обмотке фазы B равен нулю, в обмотке фазы A имеет положительное направление, а в обмотке фазы C — отрицательное направление. Сделав построения, аналогичные моменту времени 0, видим, что вектор

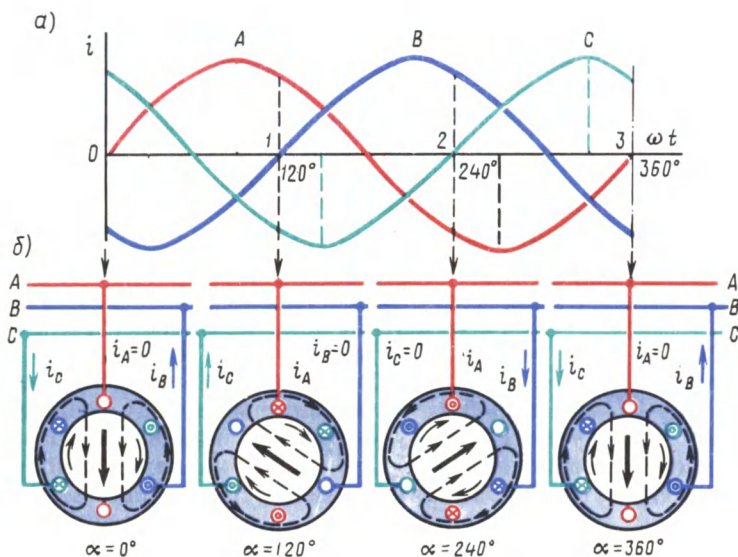


Рис. 9.3. Принцип получения вращающейся МДС

МДС F_1 повернулся относительно своего положения в момент времени 0 на 120° по часовой стрелке. Проведя такие же построения для моментов времени 2 и 3, видим, что вектор F_1 каждый раз поворачивается на 120° и за один период переменного тока делает полный оборот (360°).

Если частота тока в обмотке статора $f_1 = 50$ Гц, то вектор МДС вращается с частотой 50 об/с. В общем случае частота вращения вектора МДС n_1 — синхронная частота вращения — прямо пропорциональна частоте тока f_1 и обратно пропорциональна числу пар полюсов p обмотки статора [см. (6.3)]:

$$n_1 = f_1 60 / p.$$

Значения синхронных частот вращения для промышленной частоты переменного тока $f_1 = 50$ Гц приведены ниже:

Число пар полюсов p	1	2	3	4	5	6
Синхронная частота вращения n_1 , об/мин	3000	1500	1000	750	600	500

Вращающаяся МДС создает в расточке статора вращающееся магнитное поле. При необходимости изменить направление

вращения МДС нужно изменить порядок следования токов в обмотке.

Так, в рассмотренном примере (см. рис. 9.3) порядок следования токов в фазных обмотках был $A-B-C$. При этом МДС вращалась по часовой стрелке. Если порядок следования токов в фазных обмотках изменить ($A-C-B$), то МДС трехфазной обмотки будет вращаться против часовой стрелки. Для изменения порядка следования токов в обмотках фаз необходимо поменять места присоединения к сети двух проводов, отходящих от зажимов обмотки статора (см. рис. 10.1, а, в). Изменение направления тока во всех трех обмотках фаз не изменяет направления вращения поля статора.

Для определения амплитуды основной гармоники МДС трехфазной обмотки необходимо сложить основные гармоники МДС обмоток фаз, оси которых смещены в пространстве относительно друг друга на 120° эл. град:

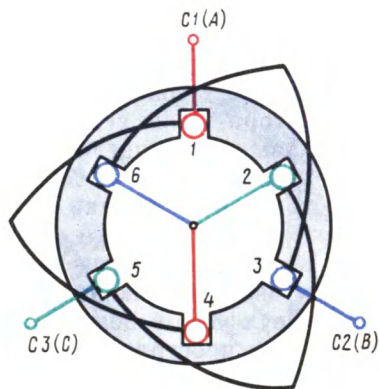


Рис. 9.4. Статор с трехфазной обмоткой

$$f_A = F_{\Phi 1} \sin \omega_1 t \cos \alpha = 0,5 F_{\Phi 1} [\sin (\omega_1 t - \alpha) + \sin (\omega_1 t + \alpha)]:$$

$$f_B = F_{\Phi 1} \sin (\omega_1 t - 120^\circ) \cos (\alpha - 120^\circ) = 0,5 F_{\Phi 1} [\sin (\omega_1 t - \alpha) + \sin (\omega_1 t + \alpha - 240^\circ)];$$

$$f_C = F_{\Phi 1} \sin (\omega_1 t - 240^\circ) \cos (\alpha - 240^\circ) = 0,5 F_{\Phi 1} [\sin (\omega_1 t - \alpha) + \sin (\omega_1 t + \alpha - 120^\circ)].$$

Следовательно, МДС трехфазной обмотки

$$f_1 = f_A + f_B + f_C = 1,5 F_{\Phi 1} \sin (\omega_1 t - \alpha) = F_1 \sin (\omega_1 t - \alpha) \quad (9.14)$$

где

$$F_1 = 1,5 F_{\Phi 1} = 1,35 I_1 \omega_1 k_{\text{об } 1} / p \quad (9.15)$$

— амплитуда основной гармоники МДС трехфазной обмотки, т. е. амплитуда МДС трехфазной обмотки на один полюс при симметричной нагрузке фаз равна $1,5$ амплитуды МДС обмотки фазы [см. (9.12)].

В общем случае число фаз в обмотке статора равно m_1 ; тогда амплитуда МДС m_1 -фазной обмотки на один полюс (А)

$$F_1 = 0,5 m_1 F_{\Phi 1} = 0,45 m_1 I_1 \omega_1 k_{\text{об } 1} / p. \quad (9.16)$$

§ 9.4. Круговое, эллиптическое и пульсирующее магнитные поля

Вращающееся магнитное поле статора может быть круговым и эллиптическим. Круговое поле характеризуется тем, что пространственный вектор магнитной индукции этого поля вращается равномерно и своим концом описывает окружность, т. е. значение вектора индукции в любом его пространственном положении остается неизменным.

Круговое вращающееся поле создается многофазной обмоткой статора, если векторы магнитной индукции каждой фазы одинаковы, т. е. представляют собой симметричную систему. В трехфазной обмотке соблюдение этого условия обеспечивается тем, что фазные обмотки делают одинаковыми, а их оси смещают в пространстве относительно друг друга на 120 эл.град и включают в сеть с симметричным трехфазным напряжением.

Круговое вращающееся поле может быть получено и посредством двухфазной обмотки статора. Для этого оси обмоток фаз смещают в пространстве на 90 эл.град и питают эти обмотки токами, сдвинутыми по фазе относительно друг друга на 90°. Значение этих токов должно быть таким, чтобы МДС обмоток были равны.

Если же изложенные условия не соблюдаются, т. е. если векторы магнитной индукции обмоток фаз не образуют симметричной системы, то вращающееся поле статора становится эллиптическим: пространственный вектор магнитной индукции B этого поля в различные моменты времени не остается постоянным и, вращаясь неравномерно ($\omega \neq \text{var}$), своим концом описывает эллипс (рис. 9.5, а). Эллиптическое вращающееся магнитное поле содержит обратно вращающуюся составляющую, которая меньше основной (прямо вращающейся) составляющей.

Таким образом, вектор магнитной индукции эллиптического поля в любом его пространственном положении можно представить в виде суммы векторов магнитных индукций прямого $\vec{B}_{\text{пр}}$ и обратного $\vec{B}_{\text{обр}}$ магнитных полей: $\vec{B} = \vec{B}_{\text{пр}} + \vec{B}_{\text{обр}}$ при $\vec{B}_{\text{пр}} > \vec{B}_{\text{обр}}$.

Для пояснения обратимся к рис. 9.5, б, на котором показано разложение вектора вращающегося эллиптического поля для четырех моментов времени, соответствующих точкам a, b, c, d на кривой, описываемой вектором индукции этого поля (четверть оборота поля). Наибольшее значение вектор индукции результирующего поля \vec{B}_{max} (точка a) имеет при совпадении в пространстве векторов прямого $\vec{B}_{\text{пр}}$ и обратного $\vec{B}_{\text{обр}}$ полей (положения 1 и 1'). Наименьшее значение вектора индукции \vec{B}_{min} (точка d) соответствует встречному направлению векторов $\vec{B}_{\text{пр}}$ и $\vec{B}_{\text{обр}}$ (положения 4 и 4'). Значения вектора индукции в точках b и c соответствуют положениям 2 и 3 вектора $\vec{B}_{\text{пр}}$ и положениям 2' и 3' вектора $\vec{B}_{\text{обр}}$.

Обратное магнитное поле неблагоприятно влияет на свойства машины переменного тока, например в двигателях оно создает

противодействующий (тормозной) электромагнитный момент и ухудшает их эксплуатационные свойства.

В трехфазной машине магнитное поле будет эллиптическим, если обмотку статора включить в сеть с несимметричным трехфазным напряжением или если обмотки фаз статора несимметричны (имеют неодинаковые сопротивления или разное число витков). Поле также будет эллиптическим при неправильном

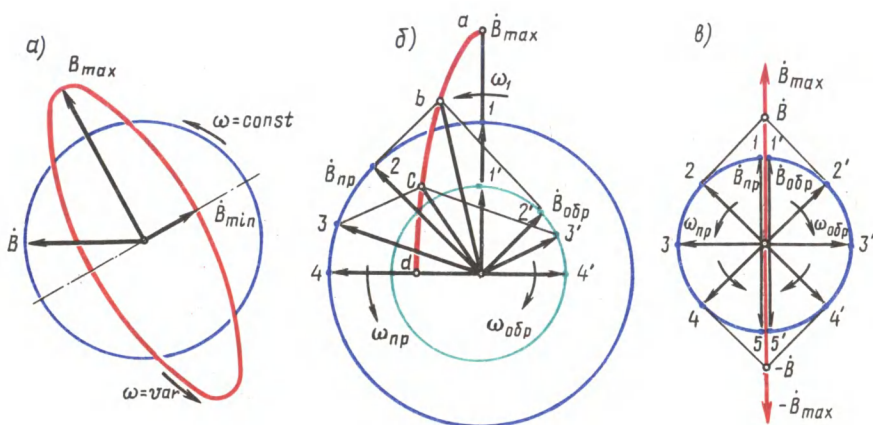


Рис. 9.5. Разложение эллиптического и пульсирующего магнитных полей на два круговых вращающихся поля

соединении фазных обмоток статора — начало и конец одной из фазных обмоток «перепутаны». В этом случае $B_{\max} = 3\vec{B}/2$ и $B_{\min} = \vec{B}/2$, где \vec{B} — вектор магнитной индукции кругового вращающегося поля данной обмотки при правильном соединении фаз (рис. 9.5, а).

Если прямая и обратная составляющие магнитного поля равны, то результирующее поле становится п у л ь с и р у ю щ и м. Вектор индукции этого поля неподвижен в пространстве (рис. 9.5, в) и лишь изменяется во времени от $+B_{\max}$ до $-B_{\max}$ (когда векторы $\vec{B}_{\text{пр}}$ и $\vec{B}_{\text{обр}}$ совпадают по направлению), проходя через нулевое значение (когда векторы $\vec{B}_{\text{пр}}$ и $\vec{B}_{\text{обр}}$ направлены встречно). Пульсирующее магнитное поле создает однофазная обмотка, включенная в сеть переменного тока (см. § 16.1).

§ 9.5. Высшие пространственные гармоники магнитодвижущей силы трехфазной обмотки

Полюсное деление МДС высших пространственных гармоник обратно пропорционально номеру гармоники: $\tau_v = \tau/v$. Поэтому пространственная периодичность этих гармоник растет пропорционально номеру гармоники (см. рис. 9.1). Учитывая изложенное, запишем уравнение МДС третьей гармоники фазных обмоток:

$$\begin{aligned} f_{3A} &= F_{3A} \sin \omega_1 t \cos 3\alpha; \\ f_{3B} &= F_{3B} \sin(\omega_1 t - 120^\circ) \cos 3(\alpha - 120^\circ) = F_{3A} \sin(\omega_1 t - 120^\circ) \cos 3\alpha; \\ f_{3C} &= f_{3C} \sin(\omega_1 t - 240^\circ) \cos 3(\alpha - 240^\circ) = F_{3A} \sin(\omega_1 t - 240^\circ) \cos 3\alpha, \end{aligned}$$

откуда МДС третьей гармоники трехфазной обмотки

$$f_3 = f_{3A} + f_{3B} + f_{3C} = 0, \quad (9.17)$$

т. е. результирующая МДС третьей гармоники в трехфазной обмотке статора при симметричной нагрузке фаз равна нулю. Это распространяется также и на высшие гармоники, кратные трем (9, 15 и др.). МДС высших гармоник оставшихся номеров ослабляются распределением обмотки в пазах, укорочением шага катушек и скосом пазов.

МДС высших гармоник многофазной обмотки статора — вращающиеся. При этом частота их вращения n_v в v раз меньше частоты вращения МДС основной гармоники:

$$n_v = n_1/v. \quad (9.18)$$

Направление вращения этих МДС зависит от номера гармоники: МДС гармоник порядка $6x + 1$ вращаются согласно с МДС основной гармоники — *прямовращающиеся МДС*, а МДС порядка $6x - 1$ вращаются встречно МДС основной гармоники — *обратновращающиеся МДС* (здесь $x = 1, 2, 3, \dots$).

Вращающиеся магнитные поля, созданные высшими гармоническими составляющими МДС, индуцируют в обмотке статора ЭДС основной частоты f_1 . Действительно, частота ЭДС, наведенной магнитным полем любой пространственной гармоники,

$$f_v = n_v p_v / 60 = n_1 p v / (v \cdot 60) = f_1 \quad (9.19)$$

где $p_v = p v$; $n_v = n_1 / v$.

Контрольные вопросы

1. Почему гармонические составляющие МДС обмотки статора называют пространственными?
2. Какие методы подавления высших пространственных гармоник применяют в машинах переменного тока?
3. Какова зависимость частоты вращения МДС обмотки статора от частоты тока и числа полюсов в обмотке статора?
4. Как изменить направление вращения МДС обмотки статора?
5. Каково относительное значение магнитной индукции обратной составляющей поля статора при круговом, эллиптическом и пульсирующем магнитных полях?

3

АСИНХРОННЫЕ МАШИНЫ

- **Режимы работы и устройство асинхронной машины**
- **Магнитная цепь асинхронной машины**
- **Рабочий процесс трехфазного асинхронного двигателя**
- **Электромагнитный момент и рабочие характеристики асинхронного двигателя**
- **Опытное определение параметров и расчет рабочих характеристик асинхронных двигателей**

Асинхронные машины получили наиболее широкое применение в современных электрических установках и являются самым распространенным видом бесколлекторных электрических машин переменного тока. Как и любая электрическая машина, асинхронная машина обратима и может работать как в генераторном, так и в двигательном режимах. Однако преобладающее применение имеют асинхронные двигатели, составляющие основу современного электропривода. Области применения асинхронных двигателей весьма широкие — от привода устройств автоматики и бытовых электроприборов до привода крупного горного оборудования (экскаваторов, дробилок, мельниц и т. п.). В соответствии с этим мощность асинхронных двигателей, выпускаемых электромашиностроительной промышленностью, составляет диапазон от долей ватт до тысяч киловатт при напряжении питающей сети от десятков вольт до 10 кВ. Наибольшее применение имеют трехфазные асинхронные двигатели, рассчитанные на работу от сети промышленной частоты (50 Гц). Асинхронные двигатели специального применения изготавливаются на повышенные частоты переменного тока (200, 400 Гц и более). Основное вни-

- **Пуск и регулирование частоты вращения трехфазных асинхронных двигателей**

- **Однофазные и конденсаторные асинхронные двигатели**

- **Асинхронные машины специального назначения**

- **Основные типы серийно выпускаемых асинхронных двигателей**

мание в данном разделе уделено изучению трехфазных асинхронных двигателей общего применения. Но в конце раздела рассмотрены однофазные и конденсаторные (двухфазные) асинхронные двигатели, а также двигатели специального назначения — линейные, исполнительные и др.



§ 10.1. Режимы работы асинхронной машины

В соответствии с принципом обратимости электрических машин (см. § В.2) асинхронные машины могут работать как в двигательном, так и в генераторном режимах. Кроме того, возможен еще и режим электромагнитного торможения противовключением.

Двигательный режим. Принцип действия трехфазного асинхронного двигателя рассмотрен в § 6.2. При включении обмотки статора в сеть трехфазного тока возникает вращающееся магнитное поле, которое, сцепляясь с короткозамкнутой обмоткой ротора, наводит в ней ЭДС. При этом в стержнях обмотки ротора появляются токи (см. рис. 6.4). В результате взаимодействия этих токов с вращающимся магнитным полем на роторе возникают электромагнитные силы. Совокупность этих сил создает электромагнитный вращающий момент, под действием которого ротор асинхронного двигателя приходит во вращение с частотой $n_2 < n_1$ в сторону вращения поля статора. Если вал асинхронного двигателя механически соединить с валом какого-либо исполнительного механизма *ИМ* (станка, подъемного крана и т. п.), то вращающий момент двигателя M , преодолев противодействующий (нагрузочный) момент $M_{\text{нагр}}$ исполнительного механизма, приведет механизм во вращение. Следовательно, электрическая мощность P_1 , поступающая в двигатель из сети, в основной своей части преобразуется в механическую мощность P_2 и передается исполнительному механизму *ИМ* (рис. 10.1, б).

Весьма важным параметром асинхронной машины является *скольжение* — величина, характеризующая разность частот вращения ротора и вращающегося поля статора:

$$s = (n_1 - n_2)/n_1. \quad (10.1)$$

Скольжение выражают в долях единицы либо в процентах. В последнем случае величину, полученную по (10.1), следует умножить на 100.

Вполне очевидно, что с увеличением нагрузочного момента на валу асинхронного двигателя частота вращения ротора n_2 уменьшается. Следовательно, скольжение асинхронного двигателя зависит от механической нагрузки на валу двигателя и может изменяться в диапазоне $0 < s \leq 1$.

При включении асинхронного двигателя в сеть в начальный момент времени ротор под влиянием сил инерции неподвижен

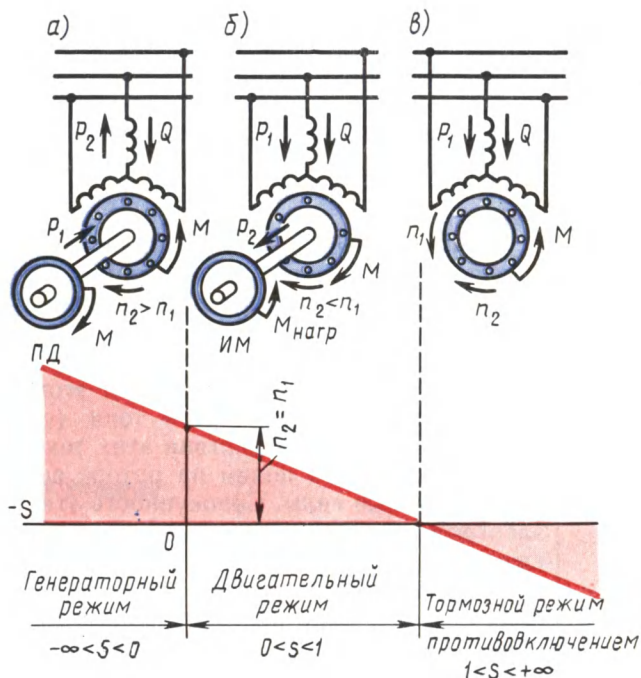


Рис. 10.1 Режимы работы асинхронной машины

($n_2 = 0$). При этом скольжение s равно единице. В режиме работы двигателя без нагрузки на валу (режим холостого хода) ротор вращается с частотой лишь немного меньшей синхронной частоты вращения n_1 и скольжение весьма мало отличается от нуля ($s \approx 0$). Скольжение, соответствующее номинальной нагрузке двигателя, называют *номинальным скольжением* $s_{ном}$. Для асинхронных двигателей общего назначения $s_{ном} = 1 \div 8 \%$, при этом для двигателей большой мощности $s_{ном} = 1\%$, а для двигателей малой мощности $s_{ном} = 8 \%$.

Преобразовав выражение (10.1), получим формулу для определения асинхронной частоты вращения (об/мин):

$$n_2 = n_1(1 - s). \quad (10.2)$$

Пример 8.1. Трехфазный асинхронный двигатель с числом полюсов $2p = 4$ работает от сети с частотой тока $f_1 = 50$ Гц. Определить частоту вращения дви-

гателя при номинальной нагрузке, если скольжение при этом составляет 6 %
Р е ш е н и е. Синхронная частота вращения по (6.3)

$$n_1 = f_1 \cdot 60 / p = 50 \cdot 60 / 4 = 1500 \text{ об/мин.}$$

Номинальная частота вращения по (10.2)

$$n_{ном} = n_1(1 - s_{ном}) = 1500(1 - 0,06) = 1412 \text{ об/мин}$$

Генераторный режим. Если обмотку статора включить в сеть, а ротор асинхронной машины посредством приводного двигателя ПД (двигатель внутреннего сгорания, турбина и т. п.), являющегося источником механической энергии, вращать в направлении вращения магнитного поля статора с частотой $n_2 > n_1$, то направление движения ротора относительно поля статора изменится на обратное (по сравнению с двигательным режимом работы этой машины), так как ротор будет обгонять поле статора. При этом скольжение станет отрицательным, а ЭДС, наведенная в обмотке ротора, изменит свое направление. Электромагнитный момент на роторе M также изменит свое направление, т. е. будет направлен встречно вращающемуся магнитному полю статора и станет тормозящим по отношению к вращающемуся моменту приводного двигателя M_1 (рис. 10.1, а). В этом случае механическая мощность приводного двигателя в основной своей части будет преобразована в электрическую активную мощность P_2 переменного тока. Особенность работы асинхронного генератора состоит в том, что вращающееся магнитное поле в нем создается реактивной мощностью Q трехфазной сети, в которую включен генератор и куда он отдает вырабатываемую активную мощность P_2 . Следовательно, для работы асинхронного генератора необходим источник переменного тока, при подключении к которому происходит возбуждение генератора, т. е. в нем возбуждается вращающееся магнитное поле.

Скольжение асинхронной машины в генераторном режиме может изменяться в диапазоне $-\infty < s < 0$, т. е. оно может принимать любые отрицательные значения.

Режим торможения противовключением. Если у работающего трехфазного асинхронного двигателя поменять местами любую пару подходящих к статору из сети присоединительных проводов, то вращающееся поле статора изменит направление вращения на обратное. При этом ротор асинхронной машины под действием сил инерции будет продолжать вращение в прежнем направлении. Другими словами, ротор и поле статора асинхронной машины будут вращаться в противоположных направлениях. В этих условиях электромагнитный момент машины, направленный в сторону вращения поля статора, будет оказывать на ротор тормозящее действие (рис. 10.1, в). Этот режим работы асинхронной машины называется *электромагнитным торможением противовключением*. Активная мощность, поступающая из сети в машину при этом режиме, частично затрачивается на компенсацию механической мощности вращающегося ротора, т. е. на его торможение.

В режиме электромагнитного торможения частота вращения ротора является отрицательной, а поэтому скольжение приобретает положительные значения больше единицы:

$$s = [n_1 - (-n_2)]/n_1 = (n_1 + n_2)/n_1 > 1. \quad (10.3)$$

Скольжение асинхронной машины в режиме торможения противовключением может изменяться в диапазоне $1 < s < +\infty$, т. е. оно может принимать любые положительные значения больше единицы.

Обобщая изложенное о режимах работы асинхронной машины, можно сделать вывод: характерной особенностью работы асинхронной машины является неравенство частот вращения магнитного поля статора n_1 и ротора n_2 , т. е. наличие скольжения, так как только в этом случае вращающееся магнитное поле наводит в обмотке ротора ЭДС и на роторе возникает электромагнитный момент. При этом каждому режиму работы асинхронной машины соответствует определенный диапазон изменений скольжения, а следовательно, и частоты вращения ротора.

Из рассмотренных режимов работы наибольшее практическое применение получил двигательный режим асинхронной машины, т. е. чаще используют асинхронные двигатели, которые составляют основу современного электропривода, выгодно отличаясь от других электродвигателей простотой конструкции и высокой надежностью. Поэтому теорию асинхронных машин принято излагать применительно к асинхронным двигателям.

§ 10.2. Устройство асинхронных двигателей

Как уже отмечалось (см. § 6.2), асинхронный двигатель состоит из двух основных частей, разделенных воздушным зазором: неподвижного статора и вращающегося ротора. Каждая из этих частей имеет сердечник и обмотку. При этом обмотка статора включается в сеть и является как бы первичной, а обмотка ротора — вторичной, так как энергия в нее поступает из обмотки статора за счет магнитной связи между этими обмотками.

По своей конструкции асинхронные двигатели разделяются на два вида: двигатели с короткозамкнутым ротором и двигатели с фазным ротором. Рассмотрим устройство *трехфазного асинхронного двигателя с короткозамкнутым ротором* (рис. 10.2). Двигатели этого вида имеют наиболее широкое применение.

Неподвижная часть двигателя — статор — состоит из корпуса 11 и сердечника 10 с трехфазной обмоткой (см. гл. 8). Корпус двигателя отливают из алюминиевого сплава или из чугуна либо делают сварным. Рассматриваемый двигатель имеет закрытое обдуваемое исполнение. Поэтому поверхность его корпуса имеет ряд продольных ребер, назначение которых состоит в том, чтобы увеличить поверхность охлаждения двигателя.

В корпусе расположен сердечник 10 статора, имеющий шихтованную конструкцию: отштампованные листы из тонколистовой

электротехнической стали толщиной обычно 0,5 мм покрыты слоем изоляционного лака, собраны в пакет и скреплены специальными скобами или продольными сварными швами по наружной поверхности пакета. Такая конструкция сердечника способствует значительному уменьшению вихревых токов, возникающих в процессе перемагничивания сердечника вращающимся магнитным полем. На внутренней поверхности сердечника статора имеются

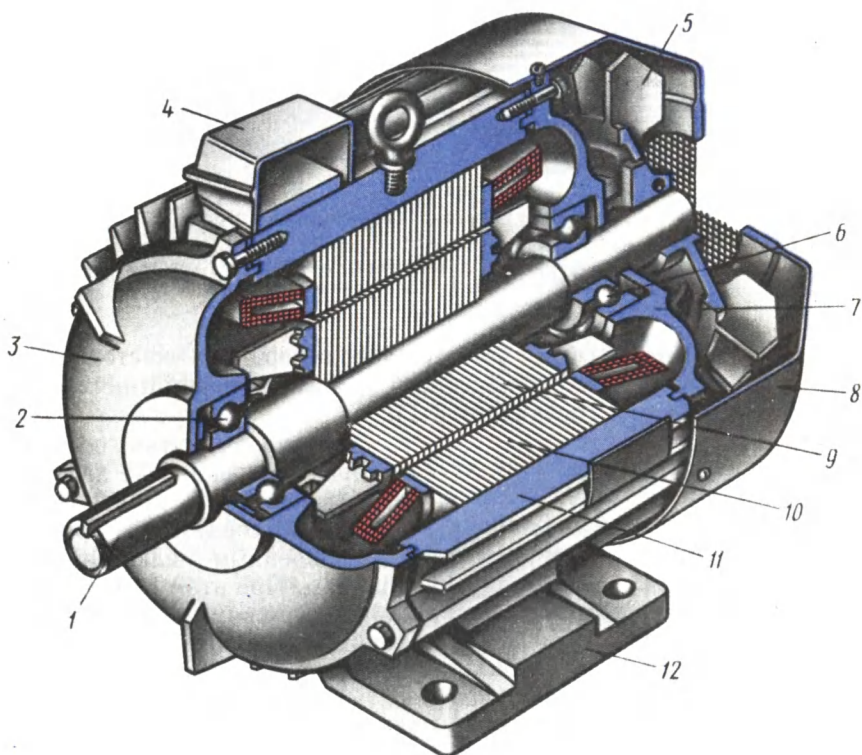


Рис. 10.2. Устройство трехфазного асинхронного двигателя с короткозамкнутым ротором:

1 — вал, 2, 6 — подшипники, 3, 7 — подшипниковые щиты, 4 — коробка выводов, 5 — вентилятор, 8 — кожух вентилятора, 9 — сердечник ротора с короткозамкнутой обмоткой, 10 — сердечник статора с обмоткой, 11 — корпус, 12 — лапы

продольные пазы, в которых расположены пазовые части обмотки статора (см. рис. 8.1), соединенные в определенном порядке лобовыми частями, находящимися за пределами сердечника по его торцовым сторонам.

В расточке статора расположена вращающаяся часть двигателя — ротор, состоящий из вала 1 и сердечника 9 с короткозамкнутой обмоткой. Такая обмотка, называемая «беличье колесо», представляет собой ряд металлических (алюминиевых или медных) стержней, расположенных в пазах сердечника ротора,

замкнутых с двух сторон короткозамыкающими кольцами (рис. 10.3, *а*). Сердечник ротора также имеет шихтованную конструкцию, но листы ротора не покрыты изоляционным лаком, а имеют на своей поверхности тонкую пленку окисла. Это является достаточной изоляцией, ограничивающей вихревые токи, так как величина их невелика из-за малой частоты перемагничивания

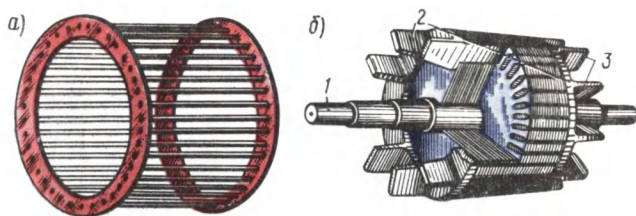


Рис 10.3 Короткозамкнутый ротор:

а — обмотка «белы́чья клетка», *б* — ротор с обмоткой, выполненной методом литья под давлением, *1* — вал, *2* — короткозамыкающие кольца, *3* — вентиляционные лопатки

сердечника ротора (см. § 12.1). Например, при частоте сети 50 Гц и номинальном скольжении 6 % частота перемагничивания сердечника ротора составляет 3 Гц.

Короткозамкнутая обмотка ротора в большинстве двигателей выполняется заливкой собранного сердечника ротора расплавленным алюминиевым сплавом. При этом одновременно со стержнями обмотки отливаются короткозамыкающие кольца и вентиляционные лопатки (рис. 10.3, *б*).

Вал ротора вращается в подшипниках качения 2 и 6, расположенных в подшипниковых щитах 3 и 7.

Охлаждение двигателя осуществляется методом обдува наружной оребренной поверхности корпуса. Поток воздуха создается центробежным вентилятором 5, прикрытым кожухом 8. На торцевой поверхности этого кожуха имеются отверстия для забора воздуха. Двигатели мощностью 15 кВт и более помимо закрытого делают еще и защищенного исполнения с внутренней самовентиляцией. В подшипниковых щитах этих двигателей имеются отверстия (жалюзи), через которые воздух посредством вентилятора прогоняется через внутреннюю полость двигателя.

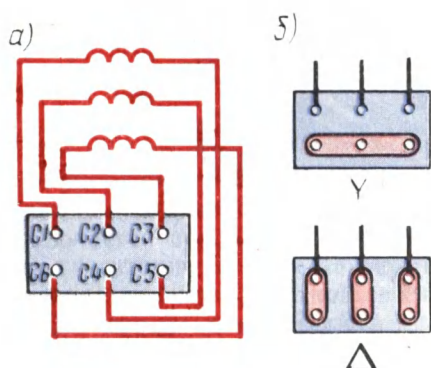


Рис. 10.4 Расположение выводов обмотки статора (*а*) и положение перемычек при соединении обмотки статора звездой и треугольником (*б*)

хотом 8. На торцевой поверхности этого кожуха имеются отверстия для забора воздуха. Двигатели мощностью 15 кВт и более помимо закрытого делают еще и защищенного исполнения с внутренней самовентиляцией. В подшипниковых щитах этих двигателей имеются отверстия (жалюзи), через которые воздух посредством вентилятора прогоняется через внутреннюю полость двигателя.

При этом воздух «омывает» нагретые части (обмотки, сердечники) двигателя и охлаждение получается более эффективным, чем при наружном обдуве.

Концы обмоток фаз выводят на зажимы коробки выводов 4. Обычно асинхронные двигатели предназначены для включения в трехфазную сеть на два разных напряжения, отличающиеся в $\sqrt{3}$ раз. Например, двигатель рассчитан для включения в сеть на

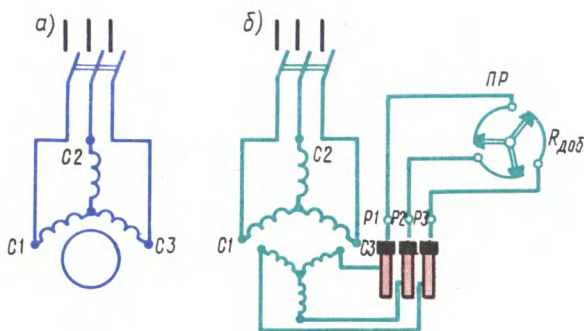


Рис. 10.5. Принципиальные схемы включения трехфазных асинхронных двигателей с короткозамкнутым (а) и фазным (б) ротором

напряжения 380/660 В. Если в сети линейное напряжение 660 В, то обмотку статора следует соединить звездой, а если 380 В, то треугольником. В обоих случаях напряжение на обмотке каждой фазы будет 380 В. Выводы обмоток фаз располагают на панели таким образом, чтобы соединения обмоток фаз было удобно выполнять посредством перемычек, без перекрещивания последних (рис. 10.4). В некоторых двигателях небольшой мощности в коробке выводов имеется лишь три зажима. В этом случае двигатель может быть включен в сеть на одно напряжение (соединение обмотки статора такого двигателя звездой или треугольником выполнено внутри двигателя).

Монтаж двигателя в месте его установки осуществляется либо посредством лап 12 (см. рис. 10.2), либо посредством фланца. В последнем случае на подшипниковом щите (обычно со стороны выступающего конца вала) делают фланец с отверстиями для крепления двигателя на рабочей машине. Для предохранения обслуживающего персонала от возможного поражения электрическим током двигателя снабжаются болтами заземления (не менее двух). Принципиальная схема включения в трехфазную сеть асинхронного двигателя с короткозамкнутым ротором показана на рис. 10.5, а.

Другая разновидность трехфазных асинхронных двигателей — *двигатели с фазным ротором* — конструктивно отличается от рассмотренного двигателя главным образом устройством ротора (рис. 10.6). Статор этого двигателя также состоит из корпу-

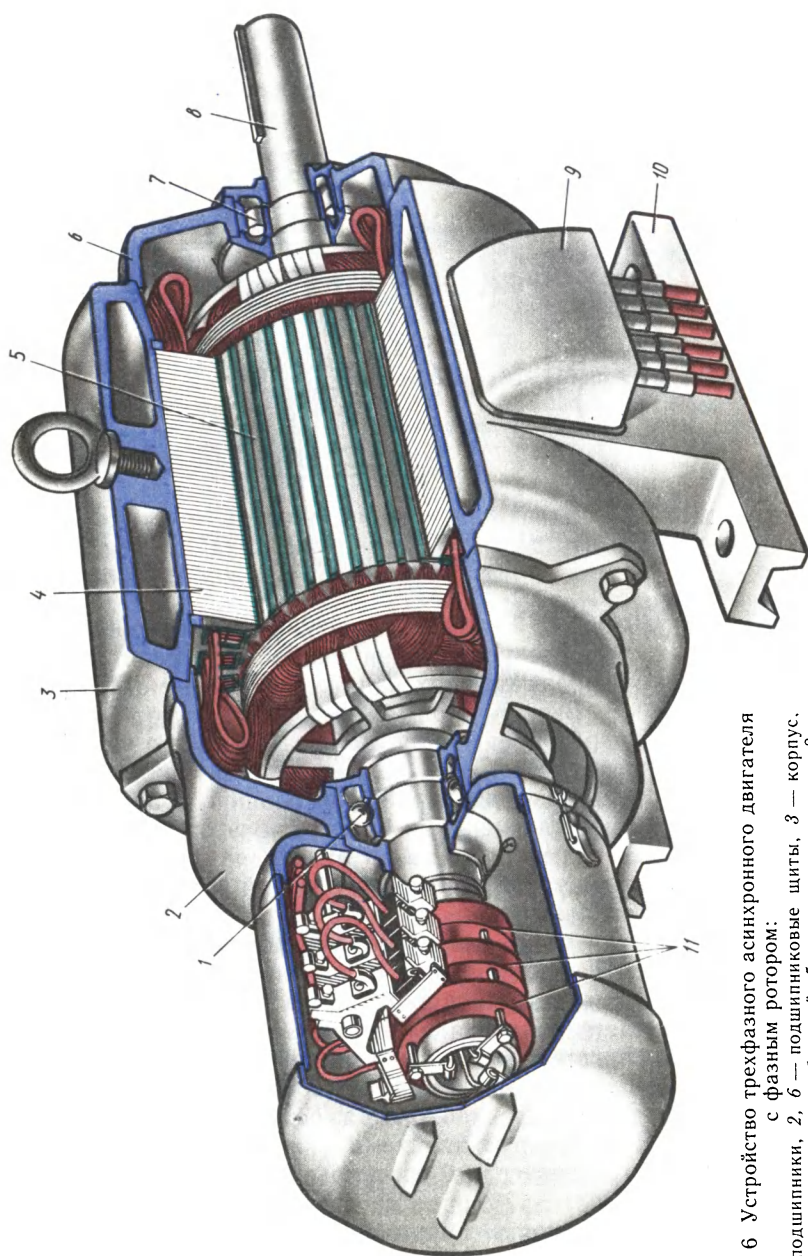


Рис 10 6 Устройство трехфазного асинхронного двигателя с фазным ротором:
 1, 7 — подшипники, 2, 6 — подшинниковые щиты, 3 — корпус.
 4 — сердечник статора с обмоткой, 5 — сердечник ротора, 8 — вал, 9 — коробка выводов, 10 — лапы, 11 — контактные кольца

са 3 и сердечника 4 с трехфазной обмоткой. У него имеются подшипниковые щиты 2 и 6 с подшипниками качения 1 и 7. К корпусу 3 прикреплены лапы 10 и коробка выводов 9. Однако ротор имеет более сложную конструкцию. На валу 8 закреплен шихтованный сердечник 5 с трехфазной обмоткой, выполненной аналогично обмотке статора. Эту обмотку соединяют звездой, а ее концы присоединяют к трем контактными кольцам 11, расположенным на валу и изолированным друг от друга и от вала. Для осуществления электрического контакта с обмоткой вращающегося ротора на каждое контактное кольцо 1 (рис. 10.7) накладывают обычно две щетки 2, располагаемые в щеткодержателях 3. Каждый щеткодержатель снабжен пружиной, обеспечивающими прижатие щеток к контактному кольцу с определенным усилием.

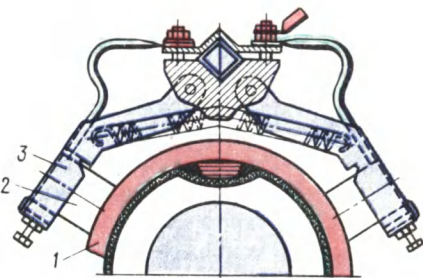


Рис. 10.7 Расположение щеткодержателей

Асинхронные двигатели с фазным ротором имеют более сложную конструкцию и менее надежны, но они обладают лучшими регулировочными и пусковыми свойствами, чем двигатели с короткозамкнутым ротором (см. гл. 15). Принципиальная схема включения в трехфазную сеть асинхронного двигателя с фазным ротором показана на рис. 10.5, б. Обмотка ротора этого двигателя соединена с пусковым реостатом $ПР$, создающим в цепи ротора добавочное сопротивление $R_{доб}$.

На корпусе асинхронного двигателя прикреплена табличка, на которой указаны тип двигателя, завод-изготовитель, год выпуска и номинальные данные (полезная мощность, напряжение, ток, коэффициент мощности, частота вращения и КПД).

Контрольные вопросы

1. Что такое скольжение асинхронной машины?
2. Каков диапазон изменения скольжения асинхронной машины в различных режимах ее работы?
3. С какой целью обмотку статора асинхронного генератора подключают к сети трехфазного тока?
4. Каким образом асинхронный двигатель можно перевести в режим электромагнитного торможения?
5. Объясните конструкцию короткозамкнутого и фазного роторов.
6. Трехфазный асинхронный двигатель предназначен для работы при напряжениях сети 220/380 В. Как следует соединить обмотку статора этого двигателя при напряжении сети 220 В и как — при напряжении 380 В?

§ 11.1. Основные понятия

Магнитодвижущая сила обмотки статора создает магнитный поток, который замыкается через элементы магнитной системы машины. Магнитную систему асинхронной машины называют *неявнополюсной* (рис. 11.1), так как она не имеет явно выраженных магнитных полюсов (сравните с рис. 20.1). Количество магнитных полюсов в неявнополюсной магнитной системе определяется числом полюсов в обмотке, возбуждающей магнитное поле, в данном случае в обмотке статора. Магнитная система машины, состоящая из сердечников статора и ротора, представляет собой разветвленную симметричную магнитную цепь. Например, магнитная система четырехполюсной машины состоит из четырех одинаковых ветвей, в каждой из которых замыкается половина магнитного потока одного полюса (рис. 11.1). В двухполюсной машине таких ветвей две, в шестиполюсной — шесть и т. д. Каждая из таких ветвей образует неразветвленную магнитную цепь, которая и является предметом расчета. На рис. 11.2 представлена магнитная цепь неявнополюсной машины. Здесь видны участки магнитной цепи: воздушный зазор δ , зубцовый слой статора h_{z1} , зубцовый слой ротора h_{z2} , спинка ротора L_{c2} , спинка статора L_{c1} . Замыкаясь в магнитной цепи, магнитный поток проходит воздушный зазор и зубцовые слои статора и ротора дважды.

Каждый из перечисленных участков оказывает магнитному потоку некоторое магнитное сопротивление. Поэтому на каждом участке магнитной цепи затрачивается часть МДС обмотки статора, называемая *магнитным напряжением*:

$$\sum F = 2F_{\delta} + 2F_{z1} + 2F_{z2} + F_{c1} + F_{c2}, \quad (11.1)$$

где $\sum F$ — МДС обмотки статора на пару полюсов в режиме х.х., А; F_{δ} , F_{z1} , F_{z2} , F_{c1} и F_{c2} — магнитные напряжения соответственно воздушного зазора, зубцовых слоев статора и ротора, спинки статора и ротора, А.

Таким образом, расчет МДС обмотки статора на пару полюсов сводится к расчету магнитных напряжений на всех участках магнитной цепи.

Полученное в результате расчета магнитной цепи значение МДС на пару полюсов ΣF позволяет определить намагничивающий ток (А) (основную гармонику) обмотки статора:

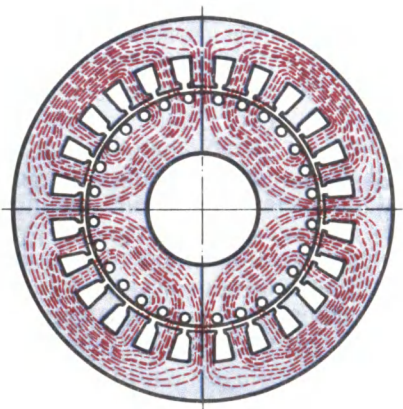


Рис 111 Магнитное поле четырех-полюсной асинхронной машины

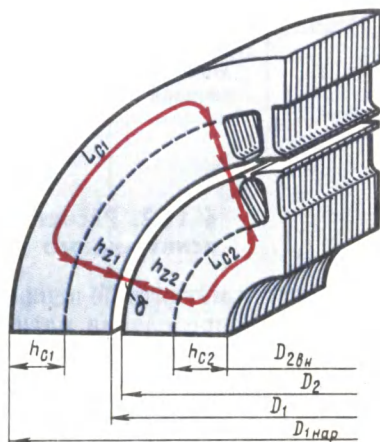


Рис 112 Магнитная цепь асинхронной машины

$$I_{1\mu} = \frac{p \Sigma F}{0,9 m_1 w_1 k_{об1}}. \quad (11.2)$$

Исходным параметром при расчете магнитной цепи асинхронного двигателя является максимальная магнитная индукция в воздушном зазоре B_δ . Величину B_δ принимают по рекомендуемым значениям в зависимости от наружного диаметра сердечника статора $D_{1нар}$ и числа полюсов $2p$. Например, при $D_{1нар} = 300 \div 800$ мм рекомендуемые значения $B_\delta = 0,80 \div 1,1$ Тл соответственно. При этом для двигателей с большим $2p$ принимают большие значения B_δ .

Магнитная индукция B_δ определяет магнитную нагрузку двигателя: при слишком малом B_δ магнитная система двигателя недогружена, а поэтому габаритные размеры двигателя получаются неоправданно большими; если же задаться чрезмерно большим значением B_δ , то резко возрастут магнитные напряжения на участках магнитной системы, особенно в зубцовых слоях статора и ротора, в результате возрастет намагничивающий ток статора $I_{1\mu}$ и снизится КПД двигателя (см. § 13.1).

Для изготовления сердечников статора и ротора асинхронных двигателей обычно применяют холоднокатаные изотропные листовые электротехнические стали, обладающие одинаковой магнитной проводимостью вдоль и поперек проката листов (табл. 11.1).

Таблица 11.1

Марка стали	Краткая характеристика	Область применения
2013	Холоднокатаная изотропная, содержащая до 0,4 % кремния	Двигатели мощностью до 60—90 кВт, напряжением до 660 В
2312	Холоднокатаная изотропная, содержащая 1,8—2,8 % кремния	Двигатели мощностью 100—400 кВт, напряжением до 660 В
2411	Холоднокатаная изотропная, содержащая 2,8—3,8 % кремния	Двигатели мощностью свыше 400 кВт, напряжением 6 или 10 кВ

§ 11.2. Расчет магнитной цепи асинхронного двигателя

Расчет магнитной цепи электрической машины состоит в основном в определении магнитных напряжений для всех ее участков. Магнитное напряжение F_x для любого участка магнитной цепи равно произведению напряженности поля на этом участке H_x на его длину l_x :

$$F_x = H_x l_x. \quad (11.3)$$

Участки магнитной цепи различаются конфигурацией, размерами и материалом. Наибольшее магнитное напряжение в воздушном зазоре δ . Напряженность магнитного поля в воздушном зазоре $H_\delta = B_\delta / \mu_0$, где $\mu_0 = 4\pi / 10^{-7}$ Гн/м. Расчетная длина зазора $l_\delta = \delta k_\delta$, где k_δ — коэффициент воздушного зазора, учитывающий увеличение магнитного сопротивления зазора, вызванное зубчатостью поверхностей статора и ротора, ограничивающих воздушный зазор в асинхронном двигателе ($k_\delta > 1$). Учитывая это, получим выражение магнитного напряжения воздушного зазора (А):

$$F_\delta = 0,8 B_\delta \delta k_\delta 10^3, \quad (11.4)$$

где δ — значение одностороннего воздушного зазора, мм.

Обычно магнитное напряжение двух воздушных зазоров, входящих в расчетную часть магнитной цепи асинхронного двигателя (рис. 11.2), составляет 70—85 % от суммарной МДС на пару полюсов ΣF . Из этого следует, насколько значительно влияние величины воздушного зазора δ на свойства двигателя. С увеличением δ МДС ΣF значительно возрастает, что ведет к увеличению намагничивающего тока статора $I_{1\mu}$ [см. (11.2)], а следовательно, ведет к росту потерь и снижению КПД двигателя. И наоборот, с уменьшением δ уменьшается ΣF , что ведет к росту КПД, т. е. двигатель становится более экономичным в эксплуатации. Однако при слишком малых зазорах δ усложняется изготовление двигателя (он становится менее технологичным), так как требует более высокой точности при обработке

деталей и сборке двигателя. При этом снижается надежность двигателя. Объясняется это тем, что при очень малых зазорах δ возрастает вероятность возникновения неравномерности зазора и, как следствие, вероятность задевания ротора о статор.

Кроме воздушного зазора все остальные участки магнитной цепи двигателя выполнены из стали (зубцовые слои статора F_{z1} и ротора F_{z2} , спинки статора L_{c1} и ротора L_{c2}). Непосредственный расчет магнитных напряжений для этих участков затруднен, так как из-за магнитного насыщения стали между напряженностью магнитного поля H_x и магнитной индукцией B_x нет прямой пропорциональности. Поэтому для определения напряженности H_x по полученному значению магнитной индукции B_x необходимо пользоваться таблицами намагничивания $H=f(B)$ для данной марки электротехнической стали.

Асинхронные двигатели проектируют таким образом, чтобы их магнитная система была магнитно насыщена. На рис. 11.3 представлена магнитная характеристика асинхронного двигателя, представляющая собой зависимость относительного значения основного магнитного потока $\Phi_* = \Phi/\Phi_{ном}$ от относительного значения МДС $\Sigma F_* = \Sigma F/\Sigma F_{ном}$. Здесь $\Phi_{ном}$ и $\Sigma F_{ном}$ — номинальные значения основного магнитного потока и МДС обмотки статора в режиме холостого хода, соответствующие заданному значению магнитной индукции B_δ . Магнитная характеристика в начальной части прямолинейна, а затем, когда в магнитной системе наступает магнитное насыщение, она искривляется.

Степень насыщения магнитной цепи машины количественно характеризуется *коэффициентом магнитного насыщения*, который может быть определен по магнитной характеристике следующим образом. Из начала координат проводим прямую — касательную к магнитной характеристике — до пересечения с отрезком ba в точке c (рис. 11.3). Коэффициент магнитного насыщения определяется как отношение отрезка ba , представляющего собой полную МДС ($\Sigma F_* = 1$), к отрезку bc , представляющему собой магнитное напряжение удвоенного воздушного зазора ($2F_{\delta*} = 2F_\delta/\Sigma F_{ном}$):

$$k_\mu = ba/bc = 1/(2F_{\delta*}). \quad (11.5)$$

Обычно для асинхронных машин $k_\mu = 1,2 \div 1,5$.

Пример 11.1. Воздушный зазор трехфазного асинхронного двигателя $\delta = 0,5$ мм, максимальное значение магнитной индукции $B_\delta = 0,9$ Тл. Обмотка статора четырехполюсная, число последовательно соединенных витков в обмотке одной фазы $w_1 = 130$, обмоточный коэффициент $k_{об1} = 0,91$. Определить значение намагничивающего тока обмотки статора I_m , если коэффициент воздушного зазора $k_\delta = 1,38$, а коэффициент магнитного насыщения $k_\mu = 1,4$

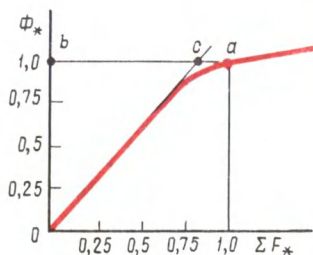


Рис. 11.3. Магнитная характеристика асинхронной машины

Решение Магнитное напряжение воздушного зазора по (11.4)

$$F_{\delta} = 0,8B_{\delta}\delta k_{\delta} \cdot 10^3 = 0,8 \cdot 0,9 \cdot 0,5 \cdot 138 \cdot 10^3 = 497 \text{ A}$$

Так как коэффициент магнитного насыщения $k_{\mu} = \Sigma F_{\text{ном}} / (2F_{\delta})$, то МДС обмотки статора в режиме хх на пару полюсов

$$\Sigma F_{\text{ном}} = 2F_{\delta}k_{\mu} = 2 \cdot 497 \cdot 1,4 = 1392 \text{ A}$$

Намагничивающий ток статора по (11.2)

$$I_{1\mu} = p \Sigma F_{\text{ном}} / (0,9 m_1 w_1 k_{\text{ог.1}}) = 2 \cdot 1392 / (0,9 \cdot 3 \cdot 130 \cdot 0,91) = 8,7 \text{ A.}$$

Если воздушный зазор данного двигателя увеличить на 20 %, т.е. принять $\delta = 0,6 \text{ мм}$ (при прочих неизменных условиях), то намагничивающий ток статора станет равным $I_{1\mu} = 10,4 \text{ A}$, т.е. он возрастет пропорционально увеличению воздушного зазора

§ 11.3. Магнитные потоки рассеяния асинхронной машины

Помимо основного (главного) магнитного потока Φ , который сцепляется с обмотками статора и ротора (рис. 11.4), в асинхронной машине имеется еще два магнитных потока, называемых потоками рассеяния: *магнитный поток рассеяния статора* $\Phi_{\sigma 1}$ и *магнитный поток рассеяния ротора* $\Phi_{\sigma 2}$. Каждый из этих потоков рассеяния сцепляется лишь с собственной обмоткой и наводит в ней ЭДС рассеяния: в обмотке статора $E_{\sigma 1}$, в обмотке ротора $E_{\sigma 2}$.

Наличие магнитных потоков рассеяния обуславливает индуктивности рассеяния в обмотке статора $L_{\sigma 1}$ и в обмотке ротора $L_{\sigma 2}$, а следовательно, и индуктивные сопротивления, называемые индуктивными сопротивлениями рассеяния: $x_1 = \omega_1 L_{\sigma 1}$ — *индуктивное сопротивление рассеяния обмотки статора*; $x_2 = \omega_2 L_{\sigma 2}$ — *индуктивное сопротивление рассеяния обмотки ротора*. Здесь ω_1 и ω_2 — угловые частоты токов в обмотках статора и ротора.

Индуктивное сопротивление рассеяния обмотки статора (Ом)

$$x_1 = 1,58 \cdot 10^{-8} f_1 l_{\sigma 1} w_1^2 \lambda_1 / (p q_1). \quad (11.6)$$

Здесь

$$\lambda_1 = \lambda_{\sigma 11} + \lambda_{\sigma 12} + \lambda_{\sigma 13} \quad (11.7)$$

— коэффициент магнитной проводимости рассеяния обмотки статора; $\lambda_{\sigma 11}$, $\lambda_{\sigma 12}$ и $\lambda_{\sigma 13}$ — коэффициенты магнитной проводимости пазового, дифференциального и лобового рассеяния статора.

Индуктивное сопротивление рассеяния обмотки ротора определяется выражениями, зависящими от типа обмотки ротора. Для короткозамкнутой обмотки при неподвижном роторе (Ом)

$$x_2 = 7,9 \cdot 10^{-9} f_1 l_{\sigma 2} \lambda_2. \quad (11.8)$$

Здесь

$$\lambda_2 = \lambda_{\sigma 22} + \lambda_{\sigma 23} + \lambda_{\sigma 24} + \lambda_{\sigma 25} \quad (11.9)$$

— коэффициент магнитной проводимости рассеяния короткозамкнутой обмотки ротора; $\lambda_{\sigma 22}$, $\lambda_{\sigma 23}$, $\lambda_{\sigma 24}$ и $\lambda_{\sigma 25}$ — коэффициенты

магнитной проводимости рассеяния пазового, дифференциального, короткозамыкающих колец и скола пазов короткозамкнутого ротора.

Если же ротор фазный и его обмотка выполнена по типу обмотки статора, то индуктивное сопротивление (Ом) рассеяния этой обмотки $x_{2\phi}$ при неподвижном роторе ($s=1$) определяется выражением, аналогичным (11.6):

$$x_2 = 1,58 \cdot 10^{-8} f_1 l_{i2} \omega^2 \lambda_{2\phi} / (pq_2), \quad (11.10)$$

где

$$\lambda_{2\phi} = \lambda_{\phi 12} + \lambda_{\phi 12} + \lambda_{\phi 12}. \quad (11.11)$$

В выражениях (11.6) и (11.10) расчетная длина сердечников статора l_{i1} и ротора l_{i2} — в миллиметрах.

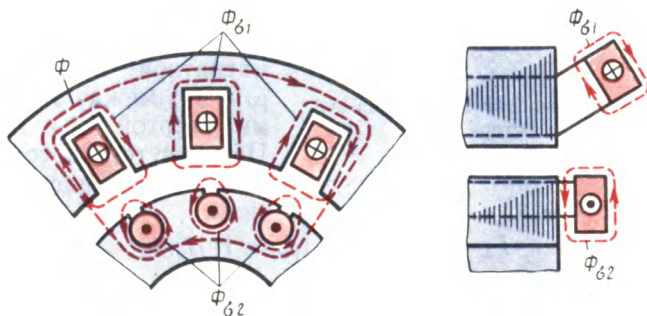


Рис 11.4 Магнитные потоки рассеяния асинхронной машины

Для расчета коэффициентов магнитной проводимости пользуются выражениями, приводимыми в руководствах по расчету электрических машин, например в [5] или [15].

§ 11.4. Роль зубцов сердечника в наведении ЭДС и создании электромагнитного момента

Как известно, поверхность сердечников статора и ротора состоит из зубцов и пазов, при этом пазовые стороны обмоток расположены в пазах, где магнитная индукция намного меньше, чем в зубцах. Однако условия наведения ЭДС в обмотке не меняются и остаются такими же, как если бы пазовые стороны обмотки были расположены на гладкой поверхности сердечника. Объясняется это свойством непрерывности магнитных линий. Согласно этому свойству, магнитные линии вращающегося магнитного поля переходят из одного зубца в другой и пересекают пазовые проводники обмотки, лежащие в пазах между зубцами, наводя в них ЭДС.

Интересно отметить, что электромагнитная сила, возникаю-

шая при взаимодействии тока в проводе, лежащем в пазу сердечника, с внешним магнитным полем, приложена главным образом не к проводу, а к зубцам, образующим стенки паза. Это явление переноса механических сил с проводов на зубцы объясняется возникновением пондеромоторных сил, которые появляются в магнитном поле на границе раздела двух сред с разной магнитной проницаемостью и всегда направлены от среды с большей магнитной проницаемостью к среде с меньшей магнитной проницаемостью (в рассматриваемом случае из зубца в паз).

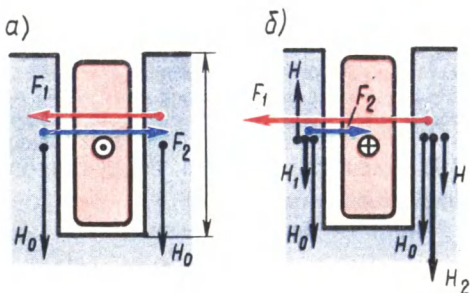


Рис. 11.5. Электромагнитные силы на зубцах ротора

Для пояснения этого явления рассмотрим два зубца с напряженностью поля H_0 в каждом и относительной магнитной проницаемостью μ_r и паз между этими зубцами высотой h_z и длиной l_i . При отсутствии тока в проводнике пондеромоторные силы

$$F_1 = F_2 \approx 0,5\mu_0(\mu_r - 1)H_0^2 l_i h_z, \quad (11.12)$$

а результирующая пондеромоторная сила $F_{\text{н}} = F_2 - F_1 = 0$ (рис. 11.5, а).

С появлением тока i в проводнике напряженность H_1 поля в левой стенке паза уменьшится, а напряженность H_2 в правой увеличится (рис. 11.5, б):

$$H_1 = H_0 - H; \quad H_2 = H_0 + H, \quad (11.13)$$

где

$$H \approx i/(2h_z) \quad (11.14)$$

— напряженность поля от тока i .

В этом случае с учетом (11.13) и (11.14) результирующая пондеромоторная сила (H), действующая на стенку правого зубца,

$$\begin{aligned} F_{\text{н}} &= F_1 - F_2 \approx 0,5\mu_0(\mu_r - 1)l_i h_z [(H_0 + H)^2 - (H_0 - H)^2] = \\ &= 2\mu_0(\mu_r - 1)H_0 H l_i h_z = \mu_0(\mu_r - 1)H_0 l_i i. \end{aligned} \quad (11.15)$$

Сила (H), действующая непосредственно на проводник в пазу,

$$F_{\text{пр}} \approx \mu_0 H_0 l_i i, \quad (11.16)$$

т. е. она в $\mu_r - 1$ раз меньше силы, действующей на зубец сердечника.

При реальных значениях магнитной индукции в зубцах сердечника сила, действующая на зубец $F_{\text{н}}$, в 50—100 раз больше силы, действующей на проводник, расположенный в пазу $F_{\text{пр}}$.

Контрольные вопросы

1. Из каких участков состоит магнитная цепь асинхронной машины?
2. Какова цель расчета магнитной цепи асинхронной машины?
3. Как влияет выбор значения магнитной индукции в воздушном зазоре на свойства асинхронного двигателя?
4. Какие марки листовых электротехнических сталей применяют в асинхронных двигателях?
5. Что учитывает коэффициент воздушного зазора?
6. Как определить коэффициент магнитного насыщения?
7. Чем обусловлены индуктивные сопротивления рассеяния обмоток статора и ротора асинхронного двигателя?
8. Почему электромагнитные силы в асинхронном двигателе приложены главным образом к зубцам сердечника, а не в проводам обмотки?

§ 12.1. Уравнения напряжений асинхронного двигателя

Как следует из принципа действия асинхронного двигателя (см. § 6.2), обмотка ротора не имеет электрической связи с обмоткой статора. Между этими обмотками существует только магнитная связь, и энергия из обмотки статора передается в обмотку ротора магнитным полем. В этом отношении асинхронная машина аналогична трансформатору: обмотка статора является первичной, а обмотка ротора — вторичной.

В процессе работы асинхронного двигателя токи в обмотках статора и ротора создают две магнитодвижущие силы; МДС статора и МДС ротора. Совместным действием эти МДС наводят в магнитной системе двигателя результирующий магнитный поток, вращающийся относительно статора с синхронной частотой вращения n_1 . Так же как и в трансформаторе, этот магнитный поток можно рассматривать состоящим из основного потока Φ , сцепленного как с обмоткой статора, так и с обмоткой ротора (магнитный поток взаимной индукции), и двух потоков рассеяния: $\Phi_{\sigma 1}$ — потока рассеяния обмотки статора и $\Phi_{\sigma 2}$ — потока рассеяния обмотки ротора (см. § 11.3). Рассмотрим, какие ЭДС наводят указанные потоки в обмотках двигателя.

Электродвижущие силы, наводимые в обмотке статора. Основной магнитный поток Φ , вращающийся с частотой n_1 , наводит в неподвижной обмотке статора ЭДС E_1 , значение которой определяется выражением [см. (7.20)] $E_1 = 4,44 f_1 \Phi \omega_1 k_{o\sigma 1}$.

Магнитный поток рассеяния $\Phi_{\sigma 1}$ наводит в обмотке статора ЭДС рассеяния, значение которой определяется индуктивным падением напряжения в обмотке статора:

$$\dot{E}_{\sigma 1} = -jI_1 x_1, \quad (12.7)$$

где x_1 — индуктивное сопротивление рассеяния фазной обмотки статора [см. (11.6)], Ом.

Для цепи обмотки статора асинхронного двига-

теля, включенной в сеть с напряжением U_1 , запишем *уравнение напряжений по второму закону Кирхгофа*:

$$\dot{U}_1 + \dot{E}_1 + \dot{E}_{\sigma 1} = \dot{I}_1 r_1, \quad (12.2)$$

где $\dot{I}_1 r_1$ — падение напряжения в активном сопротивлении обмотки статора r_1 .

После переноса ЭДС \dot{E}_1 и $\dot{E}_{\sigma 1}$ в правую часть уравнения (12.2) с учетом (12.1) получим *уравнение напряжений обмотки статора асинхронного двигателя*:

$$\dot{U}_1 = (-\dot{E}_1) + j\dot{I}_1 x_1 + \dot{I}_1 r_1. \quad (12.3)$$

Сравнив полученное уравнение с уравнением (1.13), видим, что оно не отличается от уравнения напряжений для первичной цепи трансформатора.

Электродвижущие силы, наводимые в обмотке ротора. В процессе работы асинхронного двигателя ротор вращается в сторону вращения поля статора с частотой n_2 . Поэтому частота вращения поля статора относительно ротора равна разности частот вращения ($n_1 - n_2$). Основной магнитный поток Φ , обгоняя ротор с частотой вращения $n_s = (n_1 - n_2)$, индуцирует в обмотке ротора ЭДС

$$E_{2s} = 4,44 f_2 \Phi \omega_2 k_{o62}, \quad (12.4)$$

где f_2 — частота ЭДС E_{2s} в роторе, Гц; ω_2 — число последовательно соединенных витков одной фазы обмотки ротора; k_{o62} — обмоточный коэффициент обмотки ротора.

Частота ЭДС (тока) в обмотке вращающегося ротора пропорциональна частоте вращения магнитного поля относительно ротора $n_s = n_1 - n_2$, называемой *частотой скольжения*:

$$f_2 = p n_s / 60 = p(n_1 - n_2) / 60,$$

или

$$f_2 = \frac{p(n_1 - n_2)}{60} = \frac{n_1}{n_1} \cdot \frac{p n_1}{60} \cdot \frac{n_1 - n_2}{n_1} = f_1 s, \quad (12.5)$$

т. е. *частота ЭДС (тока) ротора пропорциональна скольжению*. Для асинхронных двигателей общепромышленного назначения эта частота обычно невелика и при $f_1 = 50$ Гц не превышает нескольких герц, так при $s = 5\%$ частота $f_2 = 50 \cdot 0,05 = 2,5$ Гц.

Подставив (12.5) в (12.4), получим

$$E_{2s} = 4,44 f_1 s \Phi \omega_2 k_{o62} = E_2 s. \quad (12.6)$$

Здесь E_2 — ЭДС, наведенная в обмотке ротора при скольжении $s = 1$, т. е. при неподвижном роторе, В.

Поток рассеяния ротора Φ_{62} индуцирует в обмотке ротора

ЭДС рассеяния, значение которой определяется индуктивным падением напряжения в этой обмотке:

$$\dot{E}_{\sigma 2} = -j\dot{I}_2 x_{2s}, \quad (12.7)$$

где x_2 — индуктивное сопротивление рассеяния обмотки ротора при неподвижном роторе [см. (11.8)], Ом.

Обмотка ротора асинхронного двигателя электрически не связана с внешней сетью и к ней не подводится напряжение. Ток в этой обмотке появляется исключительно за счет ЭДС, наведенной основным магнитным потоком Φ . Поэтому *уравнение напряжений для цепи ротора асинхронного двигателя по второму закону Кирхгофа имеет вид*

$$\dot{E}_{2s} + \dot{E}_{\sigma 2} = \dot{I}_2 r_2,$$

где r_2 — активное сопротивление обмотки ротора.

С учетом (12.6) и (12.7) получим

$$\dot{E}_{2s} - j\dot{I}_2 x_{2s} - \dot{I}_2 r_2 = 0. \quad (12.8)$$

Разделив все слагаемые равенства (12.8) на s , получим

$$\dot{E}_2 - j\dot{I}_2 x_2 - \dot{I}_2 r_2 / s = 0 \quad (12.9)$$

— *уравнение напряжений для обмотки ротора.*

§ 12.2. Уравнения МДС и токов асинхронного двигателя

Основной магнитный поток Φ в асинхронном двигателе создается совместным действием МДС обмоток статора F_1 и ротора F_2 :

$$\dot{\Phi} = (\dot{F}_1 + \dot{F}_2) / R_m = \dot{F}_0 / R_m, \quad (12.10)$$

где R_m — магнитное сопротивление магнитной цепи двигателя потоку Φ ; F_0 — результирующая МДС двигателя, численно равная МДС обмотки статора в режиме х.х. [см. (9.16)]:

$$F_0 = 0,45 m_1 I_0 \omega_1 k_{0\phi 1} / p; \quad (12.11)$$

I_0 — ток х.х. в обмотке статора, А.

МДС обмоток статора и ротора на один полюс в режиме нагруженного двигателя

$$\begin{aligned} F_1 &= 0,45 m_1 I_1 \omega_1 k_{0\phi 1} / p; \\ F_2 &= 0,45 m_2 I_2 \omega_2 k_{0\phi 2} / p, \end{aligned} \quad (12.12)$$

где m_2 — число фаз в обмотке ротора; $k_{0\phi 2}$ — обмоточный коэффициент обмотки ротора.

При изменении нагрузки на валу двигателя меняется ток в статоре I_1 и роторе I_2 . Но основной магнитный поток Φ при этом сохраняется неизменным, так как напряжение, подведенное к обмотке статора, неизменно ($U_1 = \text{const}$) и почти полностью уравновешивается ЭДС E_1 обмотки статора [см. (12.3)]:

$$\dot{U}_1 \approx (-\dot{E}_1). \quad (12.13)$$

Так как ЭДС E_1 пропорциональна основному магнитному потоку Φ [см. (7.20)], то последний при изменениях нагрузки остается неизменным. Этим и объясняется то, что, несмотря на изменения МДС F_1 и F_2 , результирующая МДС остается неизменной, т. е. $\dot{F}_0 = \dot{F}_1 + \dot{F}_2 = \text{const}$.

Подставив вместо F_0 , F_1 и F_2 их значения по (12.11) и (12.12), получим

$$0,45m_1\dot{I}_0\omega_1k_{o61}/p = 0,45m_1\dot{I}_1\omega_1k_{o61}/p + 0,45m_2\dot{I}_2\omega_2k_{o62}/p.$$

Разделив это равенство на $m_1\omega_1k_{o61}/p$, определим *уравнение токов асинхронного двигателя*:

$$\dot{I}_0 = \dot{I}_1 + \dot{I}_2 \frac{m_2\omega_2k_{o62}}{m_1\omega_1k_{o61}} = \dot{I}_1 + \dot{I}'_2, \quad (12.14)$$

где

$$\dot{I}'_2 = \dot{I}_2 \frac{m_2\omega_2k_{o62}}{m_1\omega_1k_{o61}} \quad (12.15)$$

— ток ротора, приведенный к обмотке статора.

Преобразовав уравнение (12.14), получим уравнение токов статора асинхронного двигателя

$$\dot{I}_1 = \dot{I}_0 + (-\dot{I}'_2), \quad (12.16)$$

из которого следует, что ток статора в асинхронном двигателе \dot{I}_1 имеет две составляющие: \dot{I}_0 — намагничивающую (почти постоянную) составляющую ($I_0 \approx I_{1\mu}$) и $-\dot{I}'_2$ — переменную составляющую, компенсирующую МДС ротора.

Следовательно, ток ротора \dot{I}_2 оказывает на магнитную систему двигателя такое же размагничивающее влияние, как и ток вторичной обмотки трансформатора (см. § 1.5). Таким образом, любое изменение механической нагрузки на валу двигателя сопровождается соответствующим изменением тока в обмотке статора \dot{I}_1 , так как изменение этой нагрузки двигателя вызывает изменение скольжения s . Это, в свою очередь, влияет на ЭДС обмотки ротора [см. (12.6)], а следовательно, и на ток ротора \dot{I}_2 . Но так как этот ток оказывает размагничивающее действие на магнитную систему двигателя, то его изменения вызывают соответствующие изменения тока в обмотке статора \dot{I}_1 за счет составляющей $-\dot{I}'_2$. Так, в режиме холостого хода, когда нагрузка на валу двигателя отсутствует и $s \approx 0$, ток $\dot{I}_2 \approx 0$. В этом случае ток в обмотке статора $\dot{I}_1 \approx \dot{I}_0$. Если же ротор двигателя затормозить, не отключая обмотки статора от сети (режим короткого замыкания), то скольжение $s = 1$ и ЭДС обмотки ротора E_2 достигает своего наибольшего значения E_2 . Также наибольшего значения достигнет ток \dot{I}_2 , а следовательно, и ток в обмотке статора \dot{I}_1 .

§ 12.3. Приведение параметров обмотки ротора и векторная диаграмма асинхронного двигателя

Чтобы векторы ЭДС, напряжений и токов обмоток статора и ротора можно было изобразить на одной векторной диаграмме, следует *параметры обмотки ротора привести к обмотке статора*, т. е. обмотку ротора с числом фаз m_2 , обмоточным коэффициентом k_{o62} и числом витков одной фазной обмотки ω_2 заменить обмоткой с m_1 , ω_1 и k_{o61} . При этом мощности и фазовые сдвиги векторов ЭДС и токов ротора после приведения должны остаться такими же, что и до приведения. Пересчет реальных параметров обмотки ротора на приведенные выполняется по формулам, аналогичным формулам приведения параметров вторичной обмотки трансформатора (см. § 1.6).

При $s = 1$ приведенная ЭДС ротора

$$E'_2 = E_2 k_e, \quad (12.17)$$

где $k_e = E_1/E_2 = k_{o61}\omega_1/(k_{o62}\omega_2)$ — коэффициент трансформации напряжения в асинхронной машине при неподвижном роторе.

Приведенный ток ротора

$$I'_2 = I_2/k_i, \quad (12.18)$$

где $k_i = m_1\omega_1k_{o61}/(m_2\omega_2k_{o62}) = m_1k_e/m_2$ — коэффициент трансформации тока асинхронной машины.

В отличие от трансформаторов в асинхронных двигателях коэффициенты трансформации напряжения и тока не равны ($k_e \neq k_i$). Объясняется это тем, что число фаз в обмотках статора и ротора в общем случае не одинаково ($m_1 \neq m_2$). Лишь в двигателях с фазным ротором, у которых $m_1 = m_2$, эти коэффициенты равны.

Активное и индуктивное приведенные сопротивления обмотки ротора:

$$\begin{aligned} r'_2 &= r_2 k_e k_i; \\ x'_2 &= x_2 k_e k_i. \end{aligned} \quad (12.19)$$

Следует обратить внимание на некоторую специфику определения числа фаз m_2 и числа витков ω_2 для короткозамкнутой обмотки ротора (см. рис. 10.3). Каждый стержень этой обмотки рассматривают как одну фазу, а поэтому число витков одной фазы короткозамкнутой обмотки ротора $\omega_2 = 0,5$; обмоточный коэффициент такой обмотки $k_{o62} = 1$, а число фаз $m_2 = Z_2$, т. е. равно числу стержней в короткозамкнутой обмотке ротора.

Подставив в (12.9) приведенные значения параметров обмотки ротора E'_2 , I'_2 , r'_2 и x'_2 , получим уравнение напряжений обмотки ротора в приведенном виде:

$$\dot{E}'_2 - j\dot{I}'_2 x'_2 - \dot{I}'_2 r'_2/s = 0. \quad (12.20)$$

Величину r'_2/s можно представить в виде

$$\frac{r'_2}{s} = \frac{r'_2}{s} - \frac{r'_2 s}{s} + r'_2 = r'_2 + r'_2 \frac{1-s}{s}, \quad (12.21)$$

тогда уравнение ЭДС для цепи ротора в приведенных параметрах примет вид

$$0 = \dot{E}_2' - j\dot{I}_2'x_2 - \dot{I}_2'r_2' - \dot{I}_2'r_2'(1-s)/s. \quad (12.22)$$

Для асинхронного двигателя (так же как и для трансформатора) можно построить *векторную диаграмму*. Основанием для построения этой диаграммы являются уравнение токов (12.14) и уравнения напряжений обмоток статора (12.3) и ротора (12.22).

Угол сдвига фаз между ЭДС \dot{E}'_2 и током \dot{I}'_2

$$\psi_2 = \text{arctg}(x'_2 s / r'_2)$$

Так как векторную диаграмму асинхронного двигателя строят по уравнениям напряжений и токов, аналогичным уравнениям трансформатора, то порядок построения этой диаграммы такой же, что и векторной диаграммы трансформатора (см. § 1.7).

На рис. 12.1 представлена векторная диаграмма асинхронного двигателя. От векторной диаграммы трансформатора (см. рис. 1.19) она отличается тем, что сумма падений напряжения в обмотке ротора (во вторичной обмотке) уравнивается ЭДС \dot{E}'_2 обмотки неподвижного ротора ($n_2=0$), так как обмотка ротора замкнута накоротко. Однако если падение напряжения $\overline{OA} = \dot{I}'_2 r'_2 (1-s)/s$ рассматривать как напряжение на некоторой активной нагрузке $r'_2 (1-s)/s$, подключенной на зажимы неподвижного ротора, то векторную диаграмму асинхронного двигателя можно рассматривать как векторную диаграмму трансформатора, на зажимы вторичной обмотки которого подключено переменное активное сопротивление $r'_2 (1-s)/s$. Иначе говоря, *асинхронный двигатель в электрическом отношении подобен трансформатору, работающему на чисто активную нагрузку*. Активная мощность вторичной обмотки такого трансформатора

$$P'_2 = m_1 I_2'^2 r_2' (1 - s) / s \quad (12.23)$$

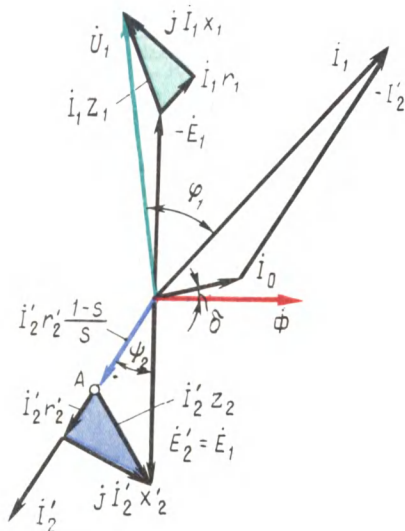


Рис. 12.1 Векторная диаграмма асинхронного двигателя

представляет собой *полную механическую мощность*, развиваемую асинхронным двигателем.

Уравнения напряжений и токов, а также векторной диаграмме асинхронного двигателя соответствует *электрическая схема замещения асинхронного двигателя*.

На рис. 12.2, а представлена Т-образная схема замещения. Магнитная связь обмоток статора и ротора в асинхронном двигателе

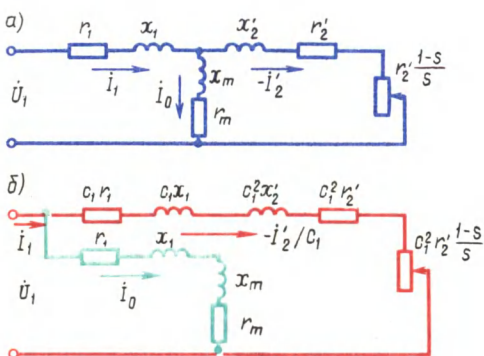


Рис. 12.2. Схемы замещения асинхронного двигателя

на схеме замещения заменена электрической связью цепей статора и ротора. Активное сопротивление $r_2'(1-s)/s$ можно рассматривать как внешнее сопротивление, включенное в обмотку неподвижного ротора. В этом случае асинхронный двигатель аналогичен трансформатору, работающему на активную нагрузку. Сопротивление $r_2'(1-s)/s$ — единственный переменный параметр схемы. Значение этого сопротивления определяется скольжением, а

следовательно, механической нагрузкой на валу двигателя. Так, если нагрузочный момент на валу двигателя $M_2 = 0$, то скольжение $s \approx 0$. При этом $r_2'(1-s)/s = \infty$, что соответствует работе двигателя в режиме х. х. Если же нагрузочный момент на валу двигателя превышает его вращающий момент, то ротор останавливается ($s = 1$). При этом $r_2'(1-s)/s = 0$, что соответствует режиму к. з. асинхронного двигателя.

Более удобной для практического применения является Г-образная схема замещения (рис. 12.2, б), у которой намагничивающий контур ($Z_m = r_m + jx_m$) вынесен на входные зажимы схемы замещения. Чтобы при этом намагничивающий ток I_0 не изменил своего значения, в этот контур последовательно включают сопротивления обмотки статора r_1 и x_1 . Полученная таким образом схема удобна тем, что она состоит из двух параллельно соединенных контуров: намагничивающего с током I_0 и рабочего с током $-I_2'$.

Расчет параметров рабочего контура Г-образной схемы замещения требует уточнения, что достигается введением в расчетные формулы коэффициента c_1 (рис. 12.2, б), представляющего собой отношение напряжения сети U_1 к ЭДС статора E_1 при идеальном холостом ходе ($s = 0$) [1]. Так как в этом режиме ток холостого хода асинхронного двигателя весьма мал, то U_1 оказывается лишь немногим больше, чем ЭДС E_1 , а их отношение $c_1 = U_1/E_1$ мало отличается от единицы. Для двигателей мощностью 3 кВт

и более $c_1 = 1,05 \div 1,02$, поэтому с целью облегчения анализа выражений, характеризующих свойства асинхронных двигателей и упрощения практических расчетов, примем $c_1 = 1$. Возникшие при этом неточности не превысят значений, допустимых при технических расчетах. Например, при расчете тока ротора I'_2 эта ошибка составит от 2 до 5 % (меньшие значения относятся к двигателям большей мощности).

Воспользовавшись Г-образной схемой замещения и приняв $c_1 = 1$, запишем выражение тока в рабочем контуре:

$$I'_2 = \frac{U_1}{\sqrt{[r_1 + r'_2 + r'_2(1-s)/s]^2 + (x_1 + x'_2)^2}}, \quad (12.24)$$

или с учетом (12.21) получим

$$I'_2 = \frac{U_1}{\sqrt{(r_1 + r'_2/s)^2 + (x_1 + x'_2)^2}}. \quad (12.25)$$

Знаменатель выражения (12.25) представляет собой полное сопротивление рабочего контура Г-образной схемы замещения асинхронного двигателя.

Контрольные вопросы

1. В чем сходство и в чем различие между асинхронным двигателем и трансформатором?
2. Почему с увеличением механической нагрузки на вал асинхронного двигателя возрастает потребляемая из сети двигателем мощность?
3. Каков порядок построения векторной диаграммы двигателя?
4. В чем отличие Г-образной схемы замещения от Т-образной?

Глава 13 • Электромагнитный момент и рабочие характеристики асинхронного двигателя

§ 13.1. Потери и КПД асинхронного двигателя

Преобразование электрической энергии в механическую в асинхронном двигателе, как и в других электрических машинах, связано с потерями энергии, поэтому полезная мощность на выходе двигателя P_2 всегда меньше мощности на входе (потребляемой мощности) P_1 на величину потерь ΣP :

$$P_2 = P_1 - \Sigma P. \quad (13.1)$$

Потери ΣP преобразуются в теплоту, что в конечном итоге ведет к нагреву машины. Потери в электрических машинах разделяются на основные и добавочные. Основные потери включают в себя магнитные, электрические и механические.

Магнитные потери P_m в асинхронном двигателе вызваны потерями на гистерезис и потерями на вихревые токи, происходящими в сердечнике при его перемагничивании. Величина магнитных потерь пропорциональна частоте перемагничивания $P_m \propto f^\beta$, где $\beta = 1,3 \div 1,5$. Частота перемагничивания сердечника статора равна частоте тока в сети ($f = f_1$), а частота перемагничивания сердечника ротора $f = f_2 = f_1 s$. При частоте тока в сети $f_1 = 50$ Гц и номинальном скольжении $s_{ном} = 1 \div 8 \%$ частота перемагничивания ротора $f = f_2 = 2 \div 4$ Гц, поэтому магнитные потери в сердечнике ротора настолько малы, что их в практических расчетах не учитывают.

Электрические потери в асинхронном двигателе вызваны нагревом обмоток статора и ротора проходящими по ним токами. Величина этих потерь пропорциональна квадрату тока в обмотке (Вт):

электрические потери в обмотке статора

$$P_{\Sigma 1} = m_1 I_1^2 r_1; \quad (13.2)$$

электрические потери в обмотке ротора

$$P_{\Sigma 2} = m_2 I_2^2 r_2 = m_1 I_2'^2 r_2'. \quad (13.3)$$

Здесь r_1 и r_2 — активные сопротивления обмоток

фаз статора и ротора пересчитанные на рабочую температуру $\theta_{\text{раб}}$ (см. § 8.4):

$$r_1 = r_{1\ 20} [1 + \alpha(\theta_{\text{раб}} - 20)]; \quad r_2 = r_{2\ 20} [1 + \alpha(\theta_{\text{раб}} - 20)], \quad (13.4)$$

где $r_{1\ 20}$ и $r_{2\ 20}$ — активные сопротивления обмоток при температуре $\theta_1 = 20^\circ\text{C}$; α — температурный коэффициент, для меди и алюминия $\alpha = 0,004$.

Электрические потери в роторе прямо пропорциональны скольжению:

$$P_{\Sigma 2} = sP_{\Sigma \text{м}}, \quad (13.5)$$

где $P_{\Sigma \text{м}}$ — электромагнитная мощность асинхронного двигателя, Вт:

$$P_{\Sigma \text{м}} = P_1 - (P_{\text{м}} + P_{\Sigma 1}). \quad (13.6)$$

Из (13.5) следует, что работа асинхронного двигателя экономичнее при малых скольжениях, так как с ростом скольжения растут электрические потери в роторе.

В асинхронных двигателях с фазным ротором помимо перечисленных электрических потерь имеют место еще и электрические потери в щеточном контакте $P_{\Sigma \text{щ}} = 3I_2 \Delta U_{\text{щ}}/2$, где $\Delta U_{\text{щ}} = 2,2 \text{ В}$ — переходное падение напряжения на пару щеток.

Механические потери $P_{\text{мех}}$ — это потери на трение в подшипниках и на вентилиацию. Величина этих потерь пропорциональна квадрату частоты вращения ротора ($P_{\text{мех}} \equiv n_2^2$). В асинхронных двигателях с фазным ротором механические потери происходят еще и за счет трения между щетками и контактными кольцами ротора.

Добавочные потери включают в себя все виды трудноучитываемых потерь, вызванных действием высших гармоник МДС, пульсацией магнитной индукции в зубцах и другими причинами. В соответствии с ГОСТом добавочные потери асинхронных двигателей принимают равными 0,5 % от подводимой к двигателю мощности P_1 :

$$P_{\text{доб}} = 0,005P_1. \quad (13.7)$$

При расчете добавочных потерь для ненормального режима следует пользоваться выражением

$$P'_{\text{доб}} = P_{\text{доб}} \beta^2, \quad (13.8)$$

где $\beta = I_1/I_{1\text{ном}}$ — коэффициент нагрузки.

Сумма всех потерь асинхронного двигателя (Вт)

$$\Sigma P = P_{\text{м}} + P_{\Sigma 1} + P_{\Sigma 2} + P_{\text{мех}} + P_{\text{доб}}. \quad (13.9)$$

На рис. 13.1 представлена *энергетическая диаграмма* асинхронного двигателя, из которой видно, что часть подводимой к двигателю мощности $P_1 = m_1 U_1 I_1 \cos \varphi_1$ затрачивается в статоре на магнитные $P_{\text{м}}$ и электрические $P_{\Sigma 1}$ потери. Оставшаяся после

этого электромагнитная мощность $P_{эм}$ [см. (13.6)] передается на ротор, где частично расходуется на электрические потери $P_{э2}$ и преобразуется в полную механическую мощность P_2' . Часть мощности идет на покрытие механических $P_{мех}$ и добавочных потерь $P_{доб}$, а оставшаяся часть этой мощности P_2 составляет полезную мощность двигателя.

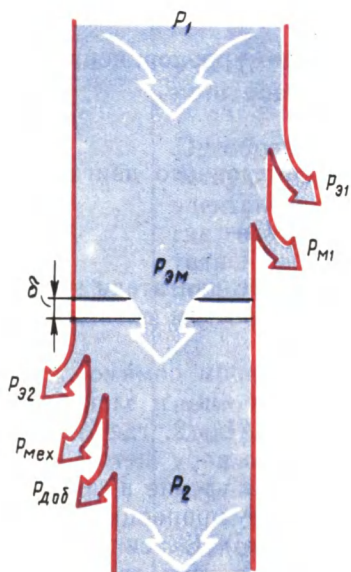


Рис. 13.1. Энергетическая диаграмма асинхронного двигателя

У асинхронного двигателя КПД

$$\eta = P_2/P_1 = 1 - \Sigma P/P_1. \quad (13.10)$$

Электрические потери в обмотках $P_{э1}$ и $P_{э2}$ являются переменными потерями, так как их величина зависит от нагрузки двигателя, т. е. от значений токов в обмотках статора и ротора [см. (13.2) и (13.3)]. Переменными являются также и добавочные потери (13.8). Что же касается магнитных P_m и механических $P_{мех}$, то они практически не зависят от нагрузки (исключение составляют двигатели, у которых с изменением нагрузки в широком диапазоне меняется частота вращения).

Коэффициент полезного действия асинхронного двигателя с изменением нагрузки также меняет свою величину: в режиме холостого хода КПД равен нулю, а затем с ростом нагрузки он увеличивается, достигая максимума при нагрузке $(0,7 \div 0,8) P_{ном}$. При дальнейшем увеличении нагрузки КПД незначительно снижается, а при перегрузке ($P_2 > P_{ном}$) он резко убывает, что объясняется интенсивным ростом переменных потерь ($P_{э1} + P_{э2} + P_{доб}$), величина которых пропорциональна квадрату тока статора, и уменьшением коэффициента мощности. График зависимости КПД от нагрузки $\eta = f(\beta)$ для асинхронных двигателей имеет вид, аналогичный представленному на рис. 1.41 (см. рис. 13.7).

КПД трехфазных асинхронных двигателей общего назначения при номинальной нагрузке составляет: для двигателей мощностью от 1 до 10 кВт $\eta_{ном} = 75 \div 88 \%$, для двигателей мощностью более 10 кВт $\eta_{ном} = 90 \div 94 \%$.

Пример 13.1. Трехфазный асинхронный двигатель работает от сети напряжением 660 В при соединении обмоток статора звездой. При номинальной нагрузке он потребляет из сети мощность $P_1 = 16,7$ кВт при коэффициенте мощности $\cos \varphi_1 = 0,87$. Частота вращения $n_{ном} = 1470$ об/мин. Требуется определить КПД двигателя $\eta_{ном}$, если магнитные потери $P_m = 265$ Вт, а механические потери $P_{мех} = 123$ Вт. Активное сопротивление фазы обмотки статора $r_{120} = 0,8$ Ом, а класс нагревостойкости изоляции двигателя F (рабочая температура $\theta_{раб} = 115^\circ \text{C}$)

Решение. Ток в фазе обмотки статора

$$I_{1\text{ ном}} = \frac{P_1 10^3}{m_1 U_1 \cos \varphi_1} = \frac{16,7 \cdot 10^3}{3 \cdot 380 \cdot 0,87} = 16,8 \text{ А},$$

где $U_1 = 660/\sqrt{3} = 380 \text{ В}$.

Сопротивление фазы обмотки статора, пересчитанное на рабочую температуру $\theta_{\text{раб}} = 115^\circ\text{С}$, по (13.4)

$$r_1 = r_{120} [(1 + \alpha(\theta_{\text{раб}} - 20))] = 0,8 [1 + 0,004(115 - 20)] = 1,1 \text{ Ом}.$$

Электрические потери в обмотке статора по (13.2)

$$P_{\Sigma 1} = m_1 I_{1\text{ ном}}^2 r_1 = 3 \cdot 16,8^2 \cdot 1,1 = 931 \text{ Вт}.$$

Электромагнитная мощность двигателя по (13.6)

$$P_{\Sigma \text{м}} = P_1 - (P_{\text{м}} + P_{\Sigma 1}) = 16,7 \cdot 10^3 - (265 + 931) = 15504 \text{ Вт}.$$

Номинальное скольжение $s_{\text{ном}} = (n_1 - n_{\text{ном}})/n_1 = (1500 - 1470)/1500 = 0,020$.

Электрические потери в обмотке ротора по (13.5)

$$P_{\Sigma 2} = s_{\text{ном}} P_{\Sigma \text{м}} = 0,020 \cdot 15504 = 310 \text{ Вт}$$

Добавочные потери по (13.7)

$$P_{\text{доб}} = 0,005 P_1 = 0,005 \cdot 16,7 \cdot 10^3 = 83 \text{ Вт}.$$

Суммарные потери по (13.9)

$$\Sigma P = P_{\text{м}} + P_{\Sigma 1} + P_{\Sigma 2} + P_{\text{мех}} + P_{\text{доб}} = 265 + 931 + 310 + 123 + 83 = 1712 \text{ Вт}.$$

КПД двигателя в номинальном режиме по (13.10)

$$\eta_{\text{ном}} = 1 - \Sigma P / P_1 = 1 - 1712 / (16,7 \cdot 10^3) = 0,898, \text{ или } 89,8 \, \%.$$

Коэффициент полезного действия является одним из основных параметров асинхронного двигателя, определяющим его энергетические свойства — экономичность в процессе эксплуатации. Кроме того, КПД двигателя, а точнее величина потерь в нем, регламентирует температуру нагрева его основных частей и в первую очередь его обмотки статора. По этой причине двигатели с низким КПД (при одинаковых условиях охлаждения) работают при более высокой температуре нагрева обмотки статора, что ведет к снижению их надежности и долговечности (см. § 8.4).

§ 13.2. Электромагнитный момент и механические характеристики асинхронного двигателя

Электромагнитный момент асинхронного двигателя создается взаимодействием тока в обмотке ротора с вращающимся магнитным полем. Электромагнитный момент M пропорционален электромагнитной мощности:

$$M = P_{\Sigma \text{м}} / \omega_1, \quad (13.11)$$

где

$$\omega_1 = 2\pi n_1 / 60 = 2\pi f_1 / p \quad (13.12)$$

— угловая синхронная скорость вращения.

Подставив в (13.11) значение электромагнитной мощности по (13.5), получим

$$M = P_{32}/(\omega_1 s) = m_1 I_2'^2 r_2' / (\omega_1 s), \quad (13.13)$$

т. е. *электромагнитный момент асинхронного двигателя пропорционален мощности электрических потерь в обмотке ротора.*

Если значение тока ротора по выражению (12.25) подставить в (13.11), то получим формулу электромагнитного момента асинхронной машины (Н·м):

$$M = \frac{m_1 U_1^2 r_2' p}{2\pi f_1 s [(r_1 + r_2'/s)^2 + (x_1 + x_2')^2]}. \quad (13.14)$$

Параметры схемы замещения асинхронной машины r_1 , r_2' , x_1 и x_2' , входящие в выражение (13.14), являются постоянными, так как их значение при изменениях нагрузки машины остается практически неизменным. Также постоянными можно считать напряжение на обмотке фазы статора U_1 и частоту f_1 . В выражении момента M единственная переменная величина — скольжение s , которое для различных режимов работы асинхронной машины может принимать разные значения в диапазоне от $+\infty$ до $-\infty$ (см. рис. 10.1).

Рассмотрим зависимость момента от скольжения $M = f(s)$ при $U_1 = \text{const}$, $f_1 = \text{const}$ и постоянных параметрах схемы замещения. Эту зависимость принято называть *механической характеристикой* асинхронной машины. Анализ выражения (13.14), представляющего собой аналитическое выражение механической характеристики $M = f(s)$, показывает, что при значениях скольжения $s = 0$ и $s = \infty$ электромагнитный момент $M = 0$. Из этого следует, что механическая характеристика $M = f(s)$ имеет максимум.

Для определения величины критического скольжения $s_{\text{кр}}$, соответствующего максимальному моменту, необходимо взять первую производную от (13.14) и приравнять ее нулю: $dM/ds = 0$. В результате

$$s_{\text{кр}} = \pm r_2' / \sqrt{r_1^2 + (x_1 + x_2')^2}. \quad (13.15)$$

Подставив значение критического скольжения (по 13.15) в выражение электромагнитного момента (13.14), после ряда преобразований получим выражение максимального момента (Н·м):

$$M_{\text{max}} = \pm \frac{m_1 U_1^2 p}{4\pi f_1 [\pm r_1 + \sqrt{r_1^2 + (x_1 + x_2')^2}]}. \quad (13.16)$$

В (13.15) и (13.16) знак плюс соответствует двигательному, а знак минус — генераторному режиму работы асинхронной машины.

Для асинхронных машин общего назначения активное сопротивление обмотки статора r_1 намного меньше суммы индуктивных сопротивлений: $r_1 \ll (x_1 + x_2')$. Поэтому, пренебрегая величиной r_1 , получим упрощенные выражения критического скольжения

$$s_{\text{кр}} \approx \pm r_2' / (x_1 + x_2'), \quad (13.17)$$

и максимального момента (Н·м)

$$M_{\max} = \pm \frac{m_1 U_1^2 p}{4\pi f_1 (x_1 + x_2)} . \quad (13.18)$$

Анализ выражения (13.16) показывает, что максимальный момент асинхронной машины в генераторном режиме больше, чем в двигательном ($M_{\max г} > M_{\max д}$). На рис. 13.2 показана механическая характеристика асинхронной машины $M = f(s)$ при $U_1 = \text{const}$. На этой характеристике указаны зоны, соответствующие различным режимам работы: двигательный режим ($0 < s \leq$

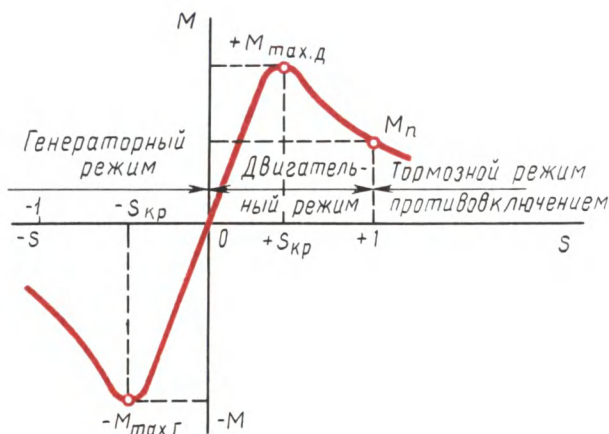


Рис. 13.2. Зависимость режимов работы асинхронной машины от скольжения

≤ 1), когда электромагнитный момент M является вращающим; генераторный режим ($-\infty < s < 0$) и тормозной режим противовключением ($1 < s < +\infty$), когда электромагнитный момент M является тормозящим.

Из (13.14) следует, что электромагнитный момент асинхронного двигателя пропорционален квадрату напряжения сети: $M \equiv U_1^2$. Это в значительной степени отражается на эксплуатационных свойствах двигателя: даже небольшое снижение напряжения сети вызывает заметное уменьшение вращающего момента асинхронного двигателя. Например, при уменьшении напряжения сети на 10 % относительно номинального ($U_1 = 0,9 U_{1ном}$) электромагнитный момент двигателя уменьшается на 19 %: $M' = 0,9^2 M = 0,81 M$, где M — момент при номинальном напряжении сети, а M' — момент при пониженном напряжении.

Для анализа работы асинхронного двигателя удобнее воспользоваться механической характеристикой $M = f(s)$, представленной на рис. 13.3. При включении двигателя в сеть магнитное поле статора, не обладая инерцией, сразу же начинает вращение с синхронной частотой n_1 , в то же время ротор двигателя под влиянием сил инерции в начальный момент пуска остается неподвижным ($n_2 = 0$) и скольжение $s = 1$.

Подставив в (13.14) скольжение $s = 1$, получим выражение пускового момента асинхронного двигателя (Н·м):

$$M_{\text{п}} = \frac{m_1 U_1^2 r_2' p}{2\pi f_1 [(r_1 + r_2')^2 + (x_1 + x_2')^2]} \quad (13.19)$$

Под действием этого момента начинается вращение ротора двигателя, при этом скольжение уменьшается, а вращающий

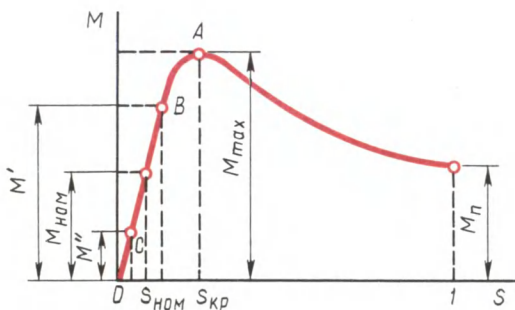


Рис. 13.3. Зависимость электромагнитного момента асинхронного двигателя от скольжения

момент возрастает в соответствии с характеристикой $M = f(s)$. При критическом скольжении $s_{\text{кр}}$ момент достигает максимального значения M_{max} . С дальнейшим нарастанием частоты вращения (уменьшением скольжения) момент M начинает убывать, пока не достигнет установившегося значения, равного сумме противодействующих моментов, приложенных к ротору двигателя: момента

х. х. M_0 и полезного нагрузочного момента (момента на валу двигателя) M_2 , т. е.

$$M = M_0 + M_2 = M_{\text{ст}} \quad (13.20)$$

Следует иметь в виду, что при скольжениях, близких к единице (пусковой режим двигателя), параметры схемы замещения асинхронного двигателя заметно изменяют свои значения. Объясняется это в основном двумя факторами: усилением магнитного насыщения зубцовых слоев статора и ротора, что ведет к уменьшению индуктивных сопротивлений рассеяния x_1 и x_2' , и эффектом вытеснения тока в стержнях ротора, что ведет к увеличению активного сопротивления обмотки ротора r_2' . Поэтому параметры схемы замещения асинхронного двигателя, используемые при расчете электромагнитного момента по (13.14), (13.16) и (13.18), не могут быть использованы для расчета пускового момента по (13.19).

Статический момент $M_{\text{ст}}$ равен сумме противодействующих моментов при равномерном вращении ротора ($n_2 = \text{const}$). Допустим, что противодействующий момент на валу двигателя M_2 соответствует номинальной нагрузке двигателя. В этом случае установившийся режим работы двигателя определится точкой на механической характеристике с координатами $M = M_{\text{ном}}$ и $s = s_{\text{ном}}$, где $M_{\text{ном}}$ и $s_{\text{ном}}$ — номинальные значения электромагнитного момента и скольжения.

Из анализа механической характеристики также следует, что устойчивая работа асинхронного двигателя возможна при сколь-

жениях меньше критического ($s < s_{кр}$), т. е. на участке ОА механической характеристики. Дело в том, что именно на этом участке изменение нагрузки на валу двигателя сопровождается соответствующим изменением электромагнитного момента. Так, если двигатель работал в номинальном режиме ($M_{ном}$; $s_{ном}$), то имело место равенство моментов: $M_{ном} = M_0 + M_2$. Если произошло увеличение нагрузочного момента M_2 до значения M'_2 , то равенство моментов нарушится, т. е. $M_{ном} < M_0 + M'_2$, и частота вращения ротора начнет убывать (скольжение будет увеличиваться). Это приведет к росту электромагнитного момента до значения $M' = M_0 + M'_2$ (точка В), после чего режим работы двигателя вновь станет установившимся. Если же при работе двигателя в номинальном режиме произойдет уменьшение нагрузочного момента до значения M'_2 , то равенство моментов вновь нарушится, но теперь вращающий момент окажется больше суммы противодействующих: $M_{ном} > M_0 + M'_2$. Частота вращения ротора начнет возрастать (скольжение будет уменьшаться), и это приведет к уменьшению электромагнитного момента M до значения $M'' = M_0 + M'_2$ (точка С); устойчивый режим работы будет вновь восстановлен, но уже при других значениях M и s .

Работа асинхронного двигателя становится неустойчивой при скольжениях $s \geq s_{кр}$. Так, если электромагнитный момент двигателя $M = M_{мах}$, а скольжение $s = s_{кр}$, то даже незначительное увеличение нагрузочного момента M_2 , вызвав увеличение скольжения s , приведет к уменьшению электромагнитного момента M . За этим последует дальнейшее увеличение скольжения и т. д., пока скольжение не достигнет значения $s = 1$, т. е. пока ротор двигателя не остановится.

Таким образом, при достижении электромагнитным моментом максимального значения наступает предел устойчивой работы асинхронного двигателя. Следовательно, для устойчивой работы двигателя необходимо, чтобы сумма нагрузочных моментов, действующих на ротор, была меньше максимального момента: $M_{ст} = M_0 + M_2 < M_{мах}$. Но чтобы работа асинхронного двигателя была надежной и чтобы случайные кратковременные перегрузки не вызывали остановок двигателя, необходимо, чтобы он обладал перегрузочной способностью. Перегрузочная способность двигателя λ определяется отношением максимального момента $M_{мах}$ к номинальному $M_{ном}$. Для асинхронных двигателей общего назначения перегрузочная способность составляет $\lambda = M_{мах}/M_{ном} = 1,7 \div 2,5$.

Следует также обратить внимание на то, что работа двигателя при скольжениях $s < s_{кр}$, т. е. на рабочем участке механической характеристики, является наиболее экономичной, так как она соответствует малым значениям скольжения, а следовательно, и меньшим значениям электрических потерь в обмотке ротора $P_{\Sigma 2} = sP_{эм}$.

Пример 13.2. Рассчитать данные и построить механическую характеристику $M_* = f(s)$ трехфазного асинхронного двигателя с короткозамкнутым ротором типа 4А160М4УЗ номинальной мощностью 18,5 кВт, напряжением 220/380 В, частотой вращения 1465 об/мин. Параметры схемы замещения этого двигателя: $r_1 = 0,263$ Ом, $x_1 = 0,521$ Ом, $r_2' = 0,158$ Ом, $x_2' = 0,892$ Ом. Перегрузочная способность двигателя $\lambda = 2,3$, кратность пускового момента $M_{п}/M_{ном} = 1,0$

Решение. Для получения данных, необходимых для построения механической характеристики двигателя, определяем номинальный электромагнитный $M_{ном}$, пусковой $M_{п}$ и максимальный M_{max} моменты, а также два промежуточных значения момента при скольжениях $s > s_{кр}$.

Номинальное скольжение по (10.1) $s_{ном} = (1500 - 1465) / 1500 = 0,023$

Номинальный электромагнитный момент по (13.14)

$$M_{ном} = \frac{3 \cdot 220^2 \cdot 0,158 \cdot 2}{2\pi 50 \cdot 0,023 [(0,263 + 0,158/0,023)^2 + (0,521 + 0,892)^2]} = 121 \text{ Н} \cdot \text{м}$$

Пусковой момент двигателя $M_{п} = M_{ном} = 121 \text{ Н} \cdot \text{м}$.

Максимальный момент двигателя $M_{max} = \lambda M_{ном} = 2,3 \cdot 121 = 278 \text{ Н} \cdot \text{м}$.

Критическое скольжение по (13.17) $s_{кр} = 0,158 / (0,521 + 0,892) = 0,112$.

Электромагнитные моменты при скольжениях $s = 0,2$; $s = 0,4$ и $s = 0,7$ по (13.14):

$$M_{0,2} = \frac{3 \cdot 220^2 \cdot 0,158 \cdot 2}{2\pi 50 \cdot 0,2 [(0,263 + 0,158/0,2)^2 + (0,521 + 0,892)^2]} = 236 \text{ Н} \cdot \text{м};$$

$$M_{0,4} = \frac{3 \cdot 220^2 \cdot 0,158 \cdot 2}{2\pi 50 \cdot 0,4 [(0,263 + 0,158/0,4)^2 + (0,521 + 0,892)^2]} = 150 \text{ Н} \cdot \text{м};$$

$$M_{0,7} = \frac{3 \cdot 220^2 \cdot 0,158 \cdot 2}{2\pi 50 \cdot 0,7 [(0,263 + 0,158/0,7)^2 + (0,521 + 0,892)^2]} = 93,6 \text{ Н} \cdot \text{м}.$$

Результаты вычислений:

s	0	0,023	0,112	0,20	0,4	0,7	1,0
M , Н·м	0	121	278	236	150	93,6	121
$M_* = M/M_{max}$	0	0,44	1,0	0,85	0,54	0,34	0,44

Механическая характеристика $M_* = f(s)$, построенная по этим данным, приведена на рис. 13.4.

Применение формулы (13.14) для расчета механических характеристик асинхронных двигателей не всегда возможно, так как параметры схемы замещения двигателей обычно не приводятся в каталогах и справочниках, поэтому для практических расчетов обычно пользуются упрощенной формулой момента. В основу этой формулы положено допущение, что активное сопротивление обмотки статора асинхронного двигателя $r_1 = 0$; при этом

$$M = M_{max} \frac{2}{s/s_{кр} + s_{кр}/s}. \quad (13.21)$$

Критическое скольжение определяют по формуле

$$s_{кр} = s_{ном} (\lambda + \sqrt{\lambda^2 - 1}). \quad (13.22)$$

Расчет механической характеристики намного упрощается, если его вести в относительных единицах $M_* = M/M_{max}$. В этом случае уравнение механической характеристики имеет вид

$$M_* = \frac{2}{s/s_{кр} + s_{кр}/s}. \quad (13.23)$$

Пример 13.3. Рассчитать механическую характеристику трехфазного асинхронного двигателя типа 4А160М4УЗ (18,5 кВт, 1465 об/мин, $\lambda = 2,3$, $M_{\text{п}}/M_{\text{ном}} = 1,0$) в относительных единицах $M_* = f(s)$ по упрощенной формуле (13.23) и полученные результаты сравнить с данными, рассчитанными в примере 13.2.

Решение. Критическое скольжение по (13.22)

$$s_{\text{кр}} = 0,023(2,3 + \sqrt{2,3^2 - 1}) = 0,100.$$

Относительное значение момента M_* при скольжениях:

$$s_{\text{ном}} = 0,023; s_{\text{кр}} = 0,100,$$

$$s = 0,2; s = 0,4; s = 0,7,$$

$$M_{*\text{ном}} = \frac{2}{0,023/0,1 + 0,1/0,023} = 0,46.$$

$$M_* = \frac{2}{0,1/0,1 + 0,1/0,1} = 1.$$

$$M_{*0,2} = \frac{2}{0,2/0,1 + 0,1/0,2} = 0,80,$$

$$M_{*0,4} = \frac{2}{0,4/0,1 + 0,1/0,4} = 0,47;$$

$$M_{*0,7} = \frac{2}{0,7/0,1 + 0,1/0,7} = 0,28.$$

Результаты расчета:

s	0,023	0,1	0,2	0,4	0,7
M_*	0,46	1,0	0,80	0,47	0,28
Ошибка, % по сравнению с расчетом примера 13.2	—4,3	—	+5,9	—6,8	+16,6

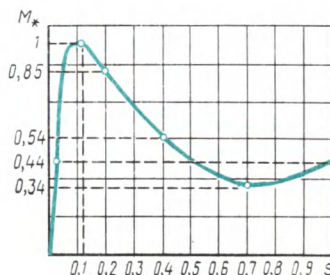


Рис. 13.4. Механическая характеристика асинхронного двигателя типа 4А160М4УЗ

Применение упрощенной формулы (13.23) наиболее целесообразно при расчете рабочего участка механической характеристики при скольжениях $s < s_{\text{кр}}$, так как в этом случае величина ошибки не превышает значений, допустимых для технических расчетов. При скольжениях $s > s_{\text{кр}}$ ошибка может достигать 15—17 %. Это подтверждается расчетами примера 13.3.

§ 13.3. Механические характеристики асинхронного двигателя при изменениях напряжения сети и активного сопротивления обмотки ротора

Из (13.14), (13.16) и (13.19) видно, что электромагнитный момент асинхронного двигателя, а также его максимальное и пусковое значения пропорциональны квадрату напряжения, подводимого к обмотке статора: $M \propto U_1^2$. В то же время анализ выражения (13.15) показывает, что значение критического скольжения не зависит от напряжения U_1 . Это дает нам возможность

построить механические характеристики $M = f(s)$ для разных значений напряжения U_1 (рис. 13.5), из которых следует, что колебания напряжения сети U_1 относительно его номинального значения $U_{1\text{ном}}$ сопровождаются не только изменениями максимального и пускового моментов, но и изменениями частоты вращения ротора. С уменьшением напряжения сети частота

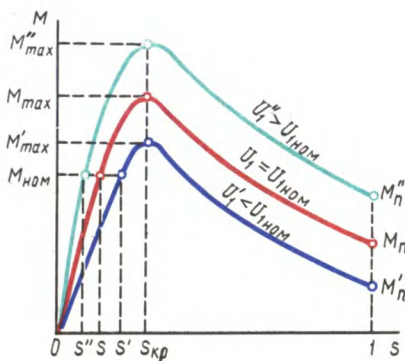


Рис. 13.5. Влияние напряжения на вид механической характеристики асинхронного двигателя

вращения ротора снижается (скольжение увеличивается). Напряжение U_1 влияет на значение максимального момента M_{max} , а также на перегрузочную способность двигателя $\lambda = M_{\text{max}}/M_{\text{ном}}$. Так, если напряжение U_1 понизилось на 30 %, т. е. $U_1 = 0,7 U_{1\text{ном}}$, то максимальный момент двигателя уменьшится более чем вдвое: $M'_{\text{max}} = 0,7^2 M_{\text{max}} = 0,49 M_{\text{max}}$. На сколько же уменьшится перегрузочная способность двигателя? Если, например, при номинальном напряжении сети перегрузочная способность $\lambda = M_{\text{max}}/M_{\text{ном}} = 2$, то при пони-

жении напряжения на 30 % перегрузочная способность двигателя $\lambda' = M'_{\text{max}}/M_{\text{ном}} = 0,49 M_{\text{max}}/M_{\text{ном}} = 0,49 \cdot 2 = 0,98$, т. е. двигатель не в состоянии нести даже номинальную нагрузку.

Как следует из (13.16), значение максимального момента двигателя не зависит от активного сопротивления ротора r'_2 . Что же касается критического скольжения $s_{\text{кр}}$, то, как это видно из (13.15), оно пропорционально сопротивлению r'_2 . Таким образом, если в асинхронном двигателе постепенно увеличивать активное сопротивление цепи ротора, то значение максимального момента будет оставаться неизменным, а критическое скольжение будет увеличиваться (рис. 13.6). При этом пусковой момент двигателя $M_{\text{п}}$ возрастает с увеличением сопротивления r'_2 до некоторого значения. На рисунке это соответствует сопротивлению $r'_{2\text{III}}$, при котором пусковой момент равен максимальному. При дальнейшем увеличении сопротивления r'_2 пусковой момент уменьшается.

Анализ графиков $M = f(s)$, приведенных на рис. 13.6, также показывает, что изменения сопротивления ротора r'_2 сопровождаются изменениями частоты вращения: с увеличением r'_2 при неизменном нагрузочном моменте $M_{\text{ст}}$ скольжение увеличивается, т. е. частота вращения уменьшается (точки 1, 2, 3 и 4).

Влияние активного сопротивления обмотки ротора на форму механических характеристик асинхронных двигателей используется при проектировании двигателей. Например, асинхронные двигатели общего назначения должны иметь «жесткую» скоростную характеристику (см. рис. 13.7), т. е. работать с небольшим

номинальным скольжением. Это достигается применением в двигателе обмотки ротора с малым активным сопротивлением r'_2 . При этом двигатель имеет более высокий КПД за счет снижения электрических потерь в обмотке ротора ($P_{s2} = m_1 I_2'^2 r'_2$). Выбранное значение r'_2 должно обеспечить двигателю требуемое значение пускового момента. При необходимости получить двигатель с повышенным значением пускового момента увеличивают активное

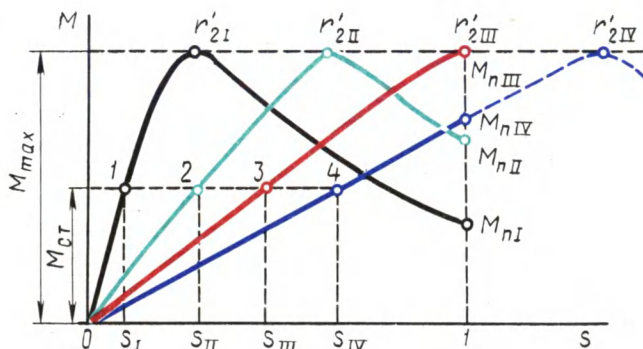


Рис. 13.6. Влияние активного сопротивления обмотки ротора на механическую характеристику асинхронного двигателя

сопротивление обмотки ротора. Но при этом получают двигатель с большим значением номинального скольжения, а следовательно, с меньшим КПД.

Рассмотренные зависимости $M = f(U_1)$ и $M = f(r'_2)$ имеют также большое практическое значение при рассмотрении вопросов пуска и регулирования частоты вращения асинхронных двигателей (см. гл. 15).

§ 13.4. Рабочие характеристики асинхронного двигателя

Рабочие характеристики асинхронного двигателя (рис. 13.7) представляют собой графически выраженные зависимости частоты вращения n_2 , КПД η , полезного момента (момента на валу) M_2 , коэффициента мощности $\cos \varphi_1$ и тока статора I_1 от полезной мощности P_2 при $U_1 = \text{const}$ и $f_1 = \text{const}$.

Скоростная характеристика $n_2 = f(P_2)$. Частота вращения ротора асинхронного двигателя

$$n_2 = n_1(1 - s).$$

Скольжение по (13.5)

$$s = P_{s2}/P_{\Sigma}, \quad (13.24)$$

т. е. скольжение двигателя, а следовательно, и его частота вращения определяются отношением электрических потерь в роторе к

электромагнитной мощности $P_{эм}$. Пренебрегая электрическими потерями в роторе в режиме холостого хода, можно принять $P_{с2} = 0$, а поэтому $s_0 \approx 0$ и $n_{20} \approx n_1$. По мере увеличения нагрузки на валу двигателя отношение (13.24) растет, достигая значений 0,01—0,08 при номинальной нагрузке. В соответствии с этим зависимостью $n_2 = f(P_2)$ представляет собой кривую, слабо наклоненную к оси абсцисс. Однако при увеличении активного сопротивления ротора

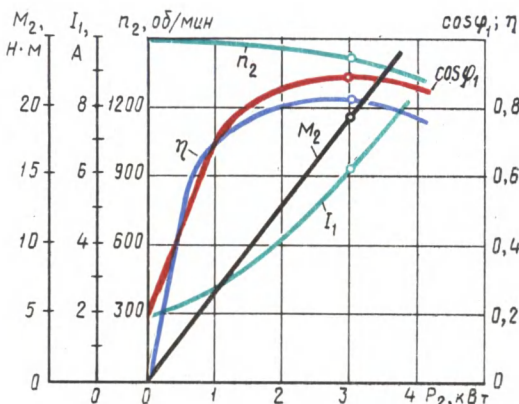


Рис. 13.7. Рабочие характеристики асинхронного двигателя

r'_2 угол наклона этой кривой увеличивается. В этом случае изменения частоты вращения n_2 при колебаниях нагрузки P_2 возрастают. Объясняется это тем, что с увеличением r'_2 возрастают электрические потери в роторе [см. (13.3)].

Зависимость $M_2 = f(P_2)$. Зависимость полезного момента на валу двигателя M_2 от полезной мощности P_2 определяется выражением

$$M_2 = P_2 / \omega_2 = 60 P_2 / (2\pi n_2) = 9,55 P_2 / n_2, \quad (13.25)$$

где P_2 — полезная мощность, Вт; $\omega_2 = 2\pi f_2 / 60$ — угловая частота вращения ротора.

Из этого выражения следует, что если $n_2 = \text{const}$, то график $M_2 = f_2(P_2)$ представляет собой прямую линию. Но в асинхронном двигателе с увеличением нагрузки P_2 частота вращения ротора уменьшается, а поэтому полезный момент на валу M_2 с увеличением нагрузки возрастает несколько быстрее нагрузки, а следовательно, график $M_2 = f(P_2)$ имеет криволинейный вид.

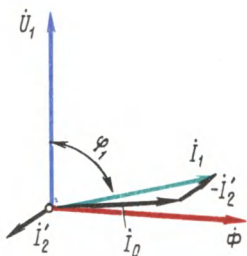


Рис. 13.8. Векторная диаграмма асинхронного двигателя при небольшой нагрузке

Зависимость $\cos \phi_1 = f(P_2)$. В связи с тем что ток статора I_1 имеет реактивную (индуктивную) составляющую, необходимую для создания магнитного поля в статоре, коэффициент мощности асинхронных двигателей меньше единицы. Наибольшее значение коэффициента мощности соответствует режиму х. х. Объясняется это тем, что ток х. х. I_0 при любой нагрузке остается практически неизменным. Поэтому при малых нагрузках дви-

гателя ток статора невелик и в значительной части является реактивным ($I_1 \approx I_0$). В результате сдвиг по фазе тока статора I_1 отно-

сительно напряжения \dot{U}_1 получается значительным ($\varphi_1 \approx \varphi_0$), лишь немногим меньше 90° (рис. 13.8). Коэффициент мощности асинхронных двигателей в режиме х. х. обычно не превышает 0,2. При увеличении нагрузки на валу двигателя растет активная составляющая тока I_1 и коэффициент мощности возрастает, достигая наибольшего значения (0,80—0,90) при нагрузке, близкой к номинальной. Дальнейшее увеличение нагрузки сопровождается уменьшением $\cos \varphi_1$, что объясняется возрастанием индуктивного сопротивления ротора (x_{2s}) за счет увеличения скольжения, а следовательно, и частоты тока в роторе. В целях повышения коэффициента мощности асинхронных двигателей чрезвычайно важно, чтобы двигатель работал всегда или по крайней мере значительную часть времени с нагрузкой, близкой к номинальной. Это можно обеспечить лишь при правильном выборе мощности двигателя. Если же двигатель работает значительную часть времени недогруженным, то для повышения $\cos \varphi_1$ целесообразно подводимое к двигателю напряжение U_1 уменьшить. Например, в двигателях, работающих при соединении обмотки статора треугольником, это можно сделать пересоединив обмотки статора в звезду, что вызовет уменьшение фазного напряжения в $\sqrt{3}$ раз. При этом магнитный поток статора, а следовательно, и намагничивающий ток уменьшаются примерно в $\sqrt{3}$ раз. Кроме того, активная составляющая тока статора несколько увеличивается. Все это способствует повышению коэффициента мощности двигателя. На рис. 13.9 представлены графики зависимости $\cos \varphi_1$ асинхронного двигателя от нагрузки при соединении обмоток статора звездой (кривая 1) и треугольником (кривая 2).

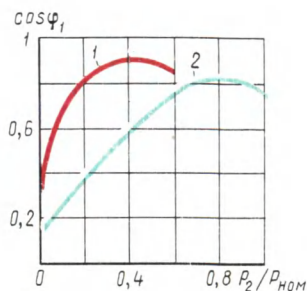


Рис 13.9 Зависимость $\cos \varphi_1$ от нагрузки при соединении обмотки статора звездой (1) и треугольником (2)

§ 13.5. Электромагнитные моменты от высших пространственных гармоник магнитного поля асинхронного двигателя

Ранее было установлено, что МДС трехфазной обмотки статора помимо основной гармоники содержит ряд высших пространственных гармоник (см. § 9.5). Каждая из этих гармоник создает в машине вращающееся магнитное поле, частота вращения которого в ν раз меньше частоты вращения поля основной гармоники [см. (9.18)]. При этом высшие пространственные гармоники МДС порядка $\nu = 6x + 1$ создают прямо вращающиеся (прямые) поля, а гармоники порядка $\nu = 6x - 1$ — обратновращающиеся (обратные) поля.

Асинхронные моменты. Магнитные поля от высших простран-

ственных гармоник, сцепляясь с обмоткой ротора, наводят в ней ЭДС и создают в двигателе собственные электромагнитные асинхронные моменты. Эти моменты ухудшают свойства двигателя, поэтому их принято называть п а р а з и т н ы м и. При рассмотрении выражения электромагнитного момента и механической характеристики асинхронного двигателя (см. § 13.2) имелось в виду действие лишь магнитного поля основной гармоники. Если же учесть влияние высших пространственных гармоник поля, то кривая электромагнитного момента (см. рис. 13.3) окажется искаженной. В зависимости от направления и частоты вращения n_v магнитного поля высшей пространственной гармоники и направления создаваемого ею электромагнитного момента M_v высшие пространственные гармоники поля могут создать в асинхронном двигателе три режима: д в и г а т е л ь н ы й р е ж и м, если поле высшей гармоники прямоовращающееся и частота его вращения $n_v > n_2$, а направление момента M_v положительное, т. е. он направлен согласно с моментом основной гармоники M ; г е н е р а т о р н ы й р е ж и м, если поле высшей гармоники прямоовращающееся и частота его вращения $n_v < n_2$, а направление момента M_v отрицательное, т. е. он направлен встречно моменту основной гармоники M ; т о р м о з н о й р е ж и м, если поле высшей гармоники обратновращающееся, а M_v отрицательный, т. е. направлен встречно моменту основной гармоники M .

На рис. 13.10, а представлены графики моментов асинхронного двигателя $M_v = f(s)$ от прямого поля седьмой гармоники и обратного поля пятой гармоники, где s — скольжение ротора относительно поля основной гармоники. Обратное поле пятой гармоники при $s = 0 \div 1$ создает отрицательный момент M_5 (тормозной режим); прямое поле седьмой гармоники при $0,857 < s < 1$ создает положительный момент M_7 (двигательный режим), а при $s < 0,857$ — отрицательный момент M_7 (генераторный режим). Сложив ординаты моментов M_7 и M_5 с ординатами момента основной гармоники M , получим кривую результирующего асинхронного момента (рис. 13.10, б):

$$M_{\text{рез}} = M + M_5 + M_7. \quad (13.26)$$

«Провал» кривой момента $M_{\text{рез}}$ (участок при $0,7 < s < 0,85$, на котором $M_{\text{рез}} < M_{\text{ст}}$) затрудняет процесс разгона двигателя и может вызвать «застывание» ротора на малой частоте вращения.

Наибольшую опасность представляют собой паразитные асинхронные моменты при короткозамкнутой обмотке ротора, так как в этом случае токам, наведенным высшими гармониками магнитного поля в стержнях ротора, оказывается небольшое электрическое сопротивление. В двигателях с фазным ротором действие паразитных асинхронных моментов намного слабее.

Заметное влияние на форму кривой электромагнитного момента оказывают асинхронные паразитные моменты от гармоник

поля зубцового порядка (обусловленных наличием зубцов на статоре и роторе):

$$v_{z1} = (Z_1/p) \pm 1; \quad v_{z2} = (Z_2/p) \pm 1. \quad (13.27)$$

Эффективное средство ослабления влияния высших гармоник поля на свойства двигателей — *скос пазов ротора в пределах зубцового деления*. В этом случае ЭДС в стержнях ротора от

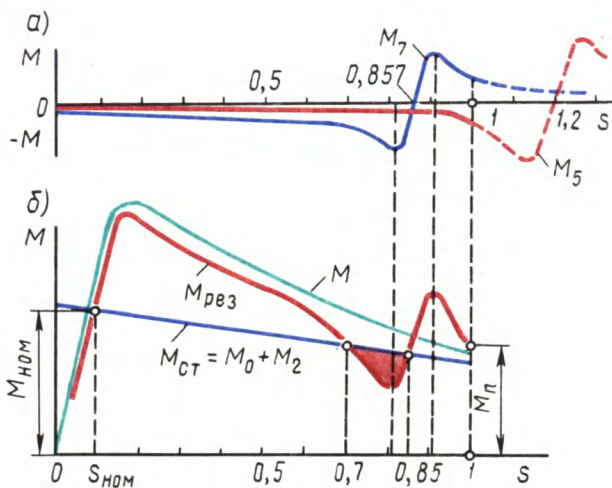


Рис. 13.10. Асинхронные моменты от основной и высших (5-й и 7-й) гармоник поля

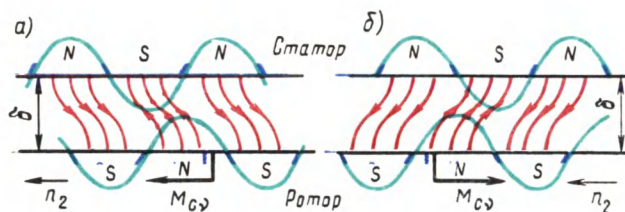


Рис. 13.11. Влияние взаимного расположения в пространстве полюсов высших пространственных гармоник поля статора и ротора на направление синхронного момента. а — синхронный момент положительный, б — синхронный момент отрицательный

зубцовых гармоник поля статора снижаются почти до нуля. Действие высших гармоник поля ослабляют также правильным выбором числа пазов статора Z_1 и ротора Z_2 . Рекомендуется соотношение $Z_2 \leq 1,25(Z_1 \pm p)$.

Синхронные моменты. Между вращающимися магнитными полями высших пространственных гармоник статора и ротора,

имеющими одинаковый порядок, возникают силы магнитного взаимодействия. Результатом этого взаимодействия является возникновение синхронного момента M_{cv} . В общем случае магнитные поля от высших пространственных гармоник вращаются с разными частотами вращения ($n_{v1} \neq n_{v2}$), а поэтому направление синхронного момента M_{cv} меняется в зависимости от взаимного расположения магнитных полюсов взаимодействующих полей. Обычно частота изменения знака момента M_{cv} велика, и из-за большой инерции ротора этот момент не оказывает заметного влияния на вращение ротора. Но при некоторой частоте вращения ротора поля высших гармоник статора и ротора вращаются с одинаковой частотой вращения ($n_{v1} = n_{v2}$). В этом случае направление синхронного момента становится стабильным. В зависимости от взаимного расположения магнитных полюсов магнитных полей момент M_{cv} может быть положительным или отрицательным (рис. 13.11).

Синхронные моменты в асинхронном двигателе нежелательны, т. е. являются паразитными, так как они могут вызвать провалы в механической характеристике двигателя. Наибольшего значения синхронные моменты достигают при наличии зубцовых гармоник поля статора и ротора одинакового порядка, т. е. при $\nu_{Z1} = \nu_{Z2}$. Синхронные моменты наиболее опасны при следующих соотношениях пазов статора и ротора (Z_1 и Z_2):

$$Z_1 = Z_2; Z_1 - Z_2 = \pm 2p. \quad (13.28)$$

Особенно нежелательно равенство числа пазов на статоре и роторе ($Z_1 = Z_2$), так как это может привести к «прилипанию» ротора к статору: зубцы ротора силами магнитного тяжения удерживаются под зубцами статора. Уменьшению синхронных моментов способствует скос пазов на роторе.

Контрольные вопросы

1. Какие виды потерь имеют место в асинхронном двигателе?
2. Почему магнитные потери в сердечнике ротора не учитывают?
3. На какие виды потерь влияют величина воздушного зазора и толщина пластин сердечника статора?
4. Используя данные примера 13.1 и задавшись значениями тока статора $I_1 = 0,5, 0,75, 1,15 I_{1ном}$, определите соответствующие значения КПД и постройте график $\eta = f(P_2)$; при расчетах примите следующие значения коэффициента мощности: $\cos \varphi_{1,0,5} = 0,4$, $\cos \varphi_{1,0,75} = 0,6$, $\cos \varphi_{1,1,15} = 0,8$.
5. Почему график $I_1 = f(P_2)$ не выходит из начала координат?
6. Почему при нагрузках двигателя меньше номинальной его $\cos \varphi_1$ имеет низкие значения?
7. При каких условиях высшие пространственные гармоники поля создают в асинхронном двигателе двигательный, генераторный и тормозной режимы?
8. Какими причинами вызван «провал» в механической характеристике?
9. При каких условиях может происходить «прилипание» ротора к статору?
10. Какими мерами можно ослабить паразитные моменты в двигателе?

Глава 14. Опытное определение параметров и расчет рабочих характеристик асинхронных двигателей

§ 14.1. Основные понятия

Существует два метода получения данных для построения рабочих характеристик асинхронных двигателей: метод непосредственной нагрузки и косвенный метод. Метод непосредственной нагрузки заключается в опытном исследовании двигателя в диапазоне нагрузок от холостого хода до режима номинальной нагрузки с измерением необходимых параметров. Этот метод обычно применяется для двигателей мощностью не более 10—15 кВт. С ростом мощности двигателя усложняется задача его нагрузки, растут непроизводительный расход электроэнергии и нагрузка электросети*. Применение этого метода ограничивается еще и тем, что не всегда представляется возможным создать испытательную установку по причине отсутствия требуемого оборудования и недопустимости перегрузки электросети. Широкое применение получил более универсальный *косвенный метод*, применение которого не ограничивается мощностью двигателя. Этот метод заключается в выполнении двух экспериментов: опыта холостого хода и опыта короткого замыкания.

Опыты х. х. и к. з. асинхронных двигателей в основном аналогичны таким же опытам трансформаторов (см. § 1.11). Но они имеют и некоторые особенности, обусловленные главным образом наличием у двигателя вращающейся части — ротора. Кроме того, при переходе из режима х. х. в режим к. з. параметры обмоток двигателя (активные и индуктивные сопротивления) не остаются неизменными, что объясняется зубчатой поверхностью статора и ротора. Все это создает некоторые затруднения в проведении опытов и в последующей обработке их результатов.

§ 14.2. Опыт холостого хода

Питание асинхронного двигателя при опыте х. х. осуществляется через индукционный регулятор нап-

* Исключение составляют установки, содержащие несколько электрических машин, включенных по схеме с частичным возвратом электроэнергии в сеть.

ряжения ИР (рис. 14.1) или регулировочный автотрансформатор, позволяющие изменять напряжение в широких пределах. При этом вал двигателя должен быть свободным от механической нагрузки.

Опыт начинают с повышенного напряжения питания $U_1 = 1,15 U_{1\text{ном}}$, затем постепенно понижают напряжение до $0,4 U_{1\text{ном}}$ так, чтобы снять показания приборов в 5—7 точках. При этом один из замеров должен соответствовать номинальному напряжению $U_{1\text{ном}}$. Измеряют линейные значения напряжений и токов и вычисляют их средние значения:

$$U_{\text{ср}} = (U_{AB} + U_{BC} + U_{CA})/3; \quad (14.1)$$

$$I_{0\text{ср}} = (I_{OA} + I_{OB} + I_{OC})/3, \quad (14.2)$$

а затем в зависимости от схемы соединения обмотки статора определяют фазные значения напряжения и тока х. х.:

при соединении в звезду

$$U_1 = U_{\text{ср}}/\sqrt{3}; \quad I_0 = I_{0\text{ср}}; \quad (14.3)$$

при соединении в треугольник

$$U_1 = U_{\text{ср}}; \quad I_0 = I_{0\text{ср}}/\sqrt{3}. \quad (14.4)$$

Ваттметр W измеряет активную мощность P_0 , потребляемую двигателем в режиме х. х., которая включает в себя электрические потери в обмотке статора $m_1 I_0^2 r_1$, магнитные потери в сердечнике статора P_m и механические потери $P_{\text{мех}}$ (Вт):

$$P_0 = m_1 I_0^2 r_1 + P_m + P_{\text{мех}} \quad (14.5)$$

Здесь r_1 — активное сопротивление фазы обмотки статора (Ом), измеренное непосредственно после отключения двигателя от сети, чтобы обмотка не успела охладиться.

Сумма магнитных и механических потерь двигателя (Вт)

$$P'_0 = P_m + P_{\text{мех}} = P_0 - m_1 I_0 r_1. \quad (14.6)$$

Коэффициент мощности для режима х.х.

$$\cos \varphi_0 = P_0 / (m_1 U_1 I_0). \quad (14.7)$$

По результатам измерений и вычислений строят характеристики х.х. I_0 , P_0 , P'_0 и $\cos \varphi_0 = f(U_1)$, на которых отмечают значения величин $I_{0\text{ном}}$, $P_{0\text{ном}}$, $P'_{0\text{ном}}$ и $\cos \varphi_{0\text{ном}}$, соответствующих номинальному напряжению $U_{1\text{ном}}$ (рис. 14.2).

Если график $P'_0 = f(U_1)$ продолжить до пересечения с осью ординат ($U_1 = 0$), то получим величину потерь $P_{\text{мех}}$.

Это разделение магнитных и механических потерь основано

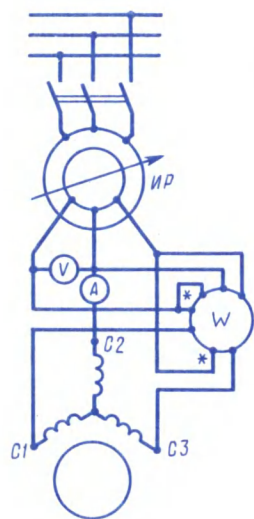


Рис. 14.1 Схема включения трехфазного асинхронного двигателя при опытах х.х. и к з.

на том, что при неизменной частоте сети f_1 частота вращения двигателя в режиме х.х. n_0 , а следовательно, и механические потери $P_{\text{мех}}$ неизменны. В то же время магнитный поток Φ прямо пропорционален ЭДС статора E_1 . Для режима х.х. $U_1 \approx E_1$, а поэтому при $U_1 = 0$ и магнитный поток $\Phi = 0$, а следовательно, и магнитные потери $P_m = 0$.

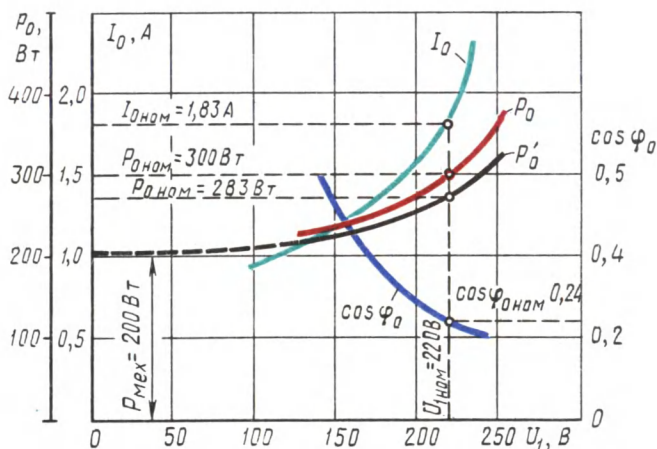


Рис. 14.2. Характеристики х.х. трехфазного асинхронного двигателя (3,0 кВт, 220/380 В, 1430 об/мин)

Определив величину механических потерь $P_{\text{мех}}$, можно вычислить магнитные потери (Вт):

$$P_m = P_0 - P_{\text{мех}}. \quad (14.8)$$

Для асинхронных двигателей с фазным ротором в опыте холостого хода определяют коэффициент трансформации напряжений между обмотками статора и ротора. Этот коэффициент с достаточной точностью может быть определен по отношению средних арифметических линейных (междуфазовых) напряжений статора к аналогичным напряжениям ротора.

§ 14.3. Опыт короткого замыкания

Схема соединений асинхронного двигателя при опыте к.з. остается, как и в опыте х.х. (см. рис. 14.1). Но при этом измерительные приборы должны быть выбраны в соответствии с пределами измерения тока, напряжения и мощности. Ротор двигателя следует жестко закрепить, предварительно установив его в положение, соответствующее среднему току к.з. С этой целью к двигателю подводят небольшое напряжение ($U_k = 0,1 U_{1\text{ном}}$) и, медленно поворачивая ротор, следят за показанием амперметра, стрелка которого будет колебаться в зависимости от поло-

жения ротора двигателя. Объясняется это взаимным смещением зубцовых зон ротора и статора, вызывающего колебания индуктивных сопротивлений обмоток двигателя.

Предельное значение тока статора при опыте к.з. устанавливают исходя из допустимой токовой нагрузки питающей сети и возможности провести опыт в минимальный срок, чтобы не вызвать опасного перегрева двигателя. Для двигателей мощностью до 1 кВт возможно проведение опыта начиная с номинального напряжения $U_k = U_{1\text{ном}}$. В этом случае предельный ток $I_k = (5 \div 7) \times I_{1\text{ном}}$. Для двигателей большей мощности сила предельного тока $I_k = (2,5 \div 5) I_{1\text{ном}}$. При выполнении опыта к.з. в учебных целях можно ограничиться предельной силой $I_k = (1,5 \div 2,5) \times I_{1\text{ном}}$. При выполнении опыта к.з. желательно соединение обмотки статора звездой.

Определив диапазон изменения тока статора при опыте к.з., опыт начинают с предельного значения этого тока, установив на индукционном регуляторе соответствующее напряжение к.з. U_k . Затем постепенно снижают это напряжение до значения, при котором ток I_k достигнет нижнего предела установленного диапазона его значений. При этом снимают показания приборов для 5—7 точек, одна из которых должна соответствовать номинальному току статора ($I_k = I_{1\text{ном}}$). Продолжительность опыта должна быть минимально возможной. С этой целью измеряют лишь одно линейное напряжение (например, U_{kAB}), так как некоторая несимметрия линейных напряжений при опыте к.з. не имеет значения. Линейные токи измеряют хотя бы в двух линейных проводах (например, I_{kA} и I_{kB}). За расчетное значение тока к.з. принимают среднее арифметическое этих двух значений. После снятия последних показаний приборов двигатель следует отключить и сразу же произвести замер активного сопротивления фазы обмотки статора r'_k , чтобы определить температуру обмотки. Линейные напряжения и токи пересчитывают на фазные U_k и I_k по формулам, аналогичным (14.3) и (14.4).

Ваттметр W измеряет активную мощность к.з. P_k . По полученным значениям напряжений U_k , токов I_k и мощностей P_k вычисляют следующие параметры:

коэффициент мощности при к.з.

$$\cos \varphi_k = P_k / (m_1 U_k I_k); \quad (14.9)$$

полное сопротивление к.з. (Ом)

$$z_k = U_k / I_k; \quad (14.10)$$

активные и индуктивные составляющие этого сопротивления (Ом)

$$r_k = z_k \cos \varphi_k; \quad (14.11)$$

$$x_k = \sqrt{z_k^2 - r_k^2}. \quad (14.12)$$

Измеренные и вычисленные величины заносят в таблицу, а затем строят характеристики к.з.: I_K ; P_K и $\cos \varphi_K = f(U_K)$ (рис. 14.3).

При опыте к.з. обмотки двигателя быстро нагреваются до рабочей температуры, так как при неподвижном роторе двигатель не вентилируется. Температуру ($^{\circ}\text{C}$) обмотки θ_1 обычно

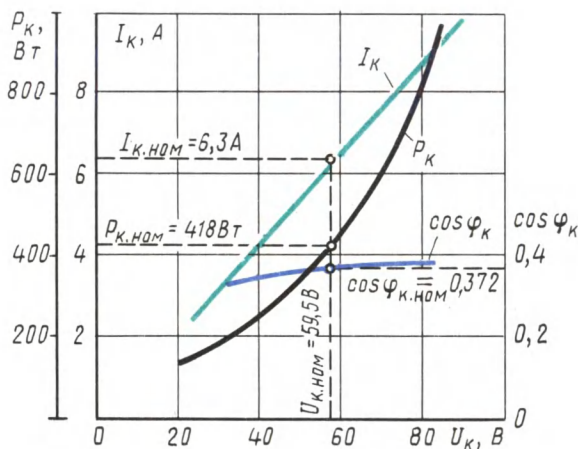


Рис. 14.3. Характеристики к.з. трехфазного асинхронного двигателя (3,0 кВт, 220/380 В, 1430 об/мин)

определяют по сопротивлению фазы r'_1 , измеренному непосредственно после проведения опыта, по формуле

$$\theta_1 = [(r'_1 - r_{1\ 20})(255/r_{1\ 20})] + 20, \quad (14.13)$$

где $r_{1\ 20}$ — сопротивление фазы обмотки статора в холодном состоянии (обычно при температуре 20°C), Ом.

Если же температура обмотки оказалась меньше расчетной рабочей температуры θ_2 для соответствующего класса нагревостойкости изоляции двигателя (см. § 8.4), то активное сопротивление к.з. r_K (Ом) пересчитывают на рабочую температуру:

$$r_K = r'_K [1 + \alpha(\theta_2 - \theta_1)], \quad (14.14)$$

где r'_K — активное сопротивление к.з. при температуре θ_1 , отличающейся от расчетной рабочей; $\alpha = 0,004$.

Затем пересчитывают на рабочую температуру полное сопротивление к.з. $z_K = \sqrt{r_K^2 + x_K^2}$, напряжение к.з. $U_K = I_K z_K$ и мощность к.з. $P_K = m_1 I_K^2 r_K$.

На характеристиках к.з. (рис. 14.3) отмечают значения величин $P_{K\ \text{ном}}$, $U_{K\ \text{ном}}$, соответствующих току к.з. $I_K = I_{K\ \text{ном}}$.

Ток и мощность к.з. пересчитывают на номинальное напряжение $U_{1\ \text{ном}}$:

$$I'_k = I_{II} \approx I_{I\text{ном}}(U_{I\text{ном}}/U_{K\text{ном}}); \quad (14.15)$$

$$P'_k \approx P_{K\text{ном}}(U_{I\text{ном}}/U_{K\text{ном}})^2. \quad (14.16)$$

Следует иметь в виду, что такой пересчет является приближенным, так как при $U_k = U_{I\text{ном}}$ наступает магнитное насыщение сердечников (особенно зубцовых слоев) статора и ротора; это приводит к уменьшению индуктивного сопротивления x_k , что не учитывается формулами (14.15) и (14.16). Кратность пускового тока равна $I_{II}/I_{I\text{ном}}$.

Электромагнитная мощность в режиме к.з., передаваемая на ротор двигателя, равна электрическим потерям в обмотке ротора $P_{\Sigma 2k}$, поэтому электромагнитный момент при опыте к.з. (Н·м)

$$M_k \approx M_{II} = P_{\Sigma 2k}/\omega_1 = (P_{K\text{ном}} - P_{\Sigma 1k} - P_{Mk})/\omega_1,$$

где $P_{\Sigma 1k} = m_1 I_{K\text{ном}}^2 r_1$ — электрические потери в обмотке статора при опыте к.з.

Магнитные потери при опыте к.з. P_{Mk} приближенно определяют по характеристикам х.х. (см. рис. 14.2) при напряжении $U_1 = U_k$. В режиме х.х. магнитный поток Φ больше, чем в режиме к.з., но если в режиме х.х. магнитные потери происходят только в сердечнике статора (см. § 13.1), то в режиме к.з. ($s = 1$) магнитные потери происходят еще и в сердечнике ротора, так как $f_2 = f_1$.

Начальный пусковой момент получают пересчетом момента M_k на начальный пусковой ток I_{II} :

$$M_{II} \approx M_k(I_{II}/I_k)^2.$$

Затем определяют кратность пускового момента $M_{II}/M_{\text{ном}}$.

§ 14.4. Круговая диаграмма асинхронного двигателя

Представим схему замещения асинхронного двигателя (рис. 12.2, б) в упрощенном виде (рис. 14.4), где $R_1 = r_1 + r_m$; $X_1 = x_1 + x_m$; $R_2 = r_1 + c_1 r'_2/s$ и $X_2 = x_1 + c_1 x'_2$. Ветвь намагничивания $R_1 + jX_1$ не содержит переменных параметров, поэтому векторная диаграмма для нее содержит лишь два вектора: вектор тока \dot{I}_0 и вектор напряжения \dot{U}_1 , сдвинутые по фазе относительно друг друга на угол φ_0 (рис. 14.5, а). Что же касается рабочей ветви $R_2 + jX_2$, то она содержит переменный параметр R_2 . Диаграмму для этой ветви удобно представить в виде прямоугольного треугольника напряжений ABC , у которого катеты AB и BC представляют собой индуктивное падение напряжения $\dot{U}_L = j\dot{I}_2 X_2$ и активное падение напряжения $\dot{U}_R = \dot{I}_2 R_2$, а гипотенуза AC — вектор приложенного напряжения $\dot{U}_1 = \dot{U}_R + j\dot{U}_L$ (рис. 14.5, б).

Разделив каждую сторону треугольника ABC на X_2 , получим

треугольник HDC , в котором катет HD изображает вектор тока \dot{I}_2 (рис. 14.5, в). Под углом $\varphi_2 = \text{arctg}(X_2/R_2)$ к вектору тока \dot{I}_2 в положительном направлении оси ординат проведем вектор напряжения \dot{U}_1 . Если изменить активное сопротивление R_2 , то изменится и ток в цепи, а катеты займут новое положение: HD_1 и D_1C . Но гипотенуза U_1/X_2 треугольника останется неизменной. Таким образом, новый режим работы электрической цепи будет определен на диаграмме положением точки D_1 . Если же активное сопротивление цепи изменять в широких пределах (от нуля до бесконечности), то вектор тока \dot{I}_2 будет занимать различные положения на диаграмме, описывая своим концом (точка D) окружность диаметром U_1/X_2 . При $R_2=0$ (нагрузка чисто индуктивная) точка D совместится с точкой C . При $R_2=\infty$ ток $\dot{I}_2=0$, а поэтому точка D совместится с точкой H . При любом промежуточном значении сопротивления R_2 конец вектора тока \dot{I}_2 занимает различные положения на окружности HDC , которую принято называть *окружностью токов*.

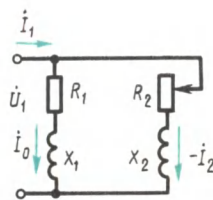


Рис. 14.4. Упрощенная схема замещения асинхронного двигателя

Полученная диаграмма называется *круговой*. Если же совместить диаграммы, показанные на рис. 14.5, а, б, то получим круговую диаграмму схемы замещения на рис. 14.4 или, что одно и то же, схемы замещения, изображенной на рис. 12.2, б, т. е. *круговую диаграмму асинхронного двигателя* (рис. 14.5, в). Сложив векторы токов \dot{I}_0 и $-\dot{I}'_2$, получим вектор тока статора \dot{I}_1 , сдвинутого по фазе относительно напряжения \dot{U}_1 на угол φ_1 . Диаметр окружности токов круговой диаграммы $HC = (U_1/x_k)/m_i$, где m_i — масштаб тока, А/мм.

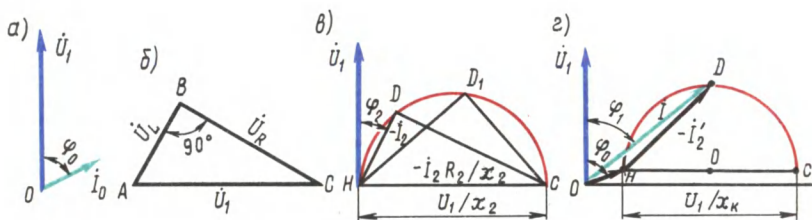


Рис. 14.5. К обоснованию круговой диаграммы асинхронного двигателя

Построение круговой диаграммы. Для построения круговой диаграммы асинхронного двигателя необходимо знать: напряжение сети (фазное) U_1 , ток холостого хода (фазный) I_0 , угол сдвига фаз φ_0 между I_0 и U_1 , ток короткого замыкания $I_{к ном}$, а также сопротивление к.з. $Z_k = r_k + jx_k$.

Если построение диаграммы ведется при расчете двигателя, то необходимые параметры определяются в процессе расчета. Если же круговую диаграмму нужно построить для готового

Круговую диаграмму строят в следующем порядке. Проводят оси координат и на оси ординат проводят вектор напряжения \dot{U}_1 (рис. 14.6). Выбрав масштаб тока m_i (А/мм), проводят вектор тока \dot{I}_0 (отрезок OH) под углом φ_0 к оси ординат. Из точки H , называемой *точкой х.х.*, соответствующей скольжению $s = 0$, проводят прямую, параллельную оси абсцисс, на которой откладывают отрезок HC , равный диаметру окружности токов (мм)

[illegible]

Для обеспечения достаточной точности при последующем использовании круговой диаграммы следует принять масштаб тока m_i таким, чтобы диаметр D_i был не менее 200 мм, при этом все построения следует вести остро отточенным карандашом.

На средней части отрезка O_1C отмечаем точку F , в которой восстанавливаем перпендикуляр к диаметру HC . На этом перпендикуляре отмечаем отрезок

Из точки H через точку F_1 проводим прямую до пересечения с окружностью в точке T . Точка T соответствует скольжению $s = \pm \infty$ (роотор вращается по часовой стрелке или против нее с бесконечно большой скоростью).

Таким образом, на круговой диаграмме отмечены три характерные точки: $H(s=0)$, $K(s=1)$ и $T(s=\pm\infty)$. Между этими точками расположены три зоны возможных режимов асинхронной машины. При обходе окружности токов по часовой стрелке этим режимам соответствуют:

- а) дуга HK — двигательный режим ($s = 0 \div 1$);
- б) дуга KT — тормозной режим ($s = 1 \div \infty$);
- в) дуга TH (включая не показанную на рис. 14.6 нижнюю полуокружность) — генераторный режим ($s = -\infty \div 0$).

Соединив точки H и K , получим *линию полезной мощности НК*; соединив точки H и T , получим *линию электромагнитной мощности HT*.

Точка E на круговой диаграмме соответствует максимальному моменту, т. е. критическому скольжению $s_{кр}$. Положение этой точки определяется следующим образом: из точки O_1 опускают перпендикуляр на линию электромагнитной мощности HT и продолжают его до пересечения с окружностью токов в точке E .

Рассматриваемая круговая диаграмма является упрощенной, так как она построена при предположении постоянства активных и индуктивных сопротивлений схемы замещения асинхронного двигателя. Однако эти сопротивления при изменениях нагрузки двигателя меняют свои значения. Объясняется это тем, что с ростом нагрузки усиливается магнитное насыщение зубцовых слоев статора и ротора, что ведет к уменьшению индуктивных сопротивлений x_1 , x_m и x'_2 . Кроме того, рост нагрузки двигателя сопровождается увеличением скольжения, а следовательно, и увеличением частоты тока в обмотке ротора. Это является причиной усиления эффекта вытеснения тока [см. § 15.3] — явления, вызывающего увеличение активного сопротивления обмотки ротора r'_2 . Практика применения упрощенной круговой диаграммы показывает, что ошибка от применения упрощенной круговой диаграммы становится заметной при скольжениях $s > s_{кр}$, а при скольжениях, превышающих 0,4—0,5, эта ошибка недопустима.

§ 14.5. Построение рабочих характеристик асинхронного двигателя по круговой диаграмме

Рассмотрим порядок действий при определении параметров асинхронного двигателя, характеризующих номинальный режим его работы, а также принцип построения рабочих характеристик двигателя посредством круговой диаграммы (рис. 14.6). Участок диаграммы, соответствующий рабочему режиму двигателя, слишком мал (на рис. 14.6 он обведен пунктирной рамкой), поэтому для дальнейших пояснений воспользуемся его более крупным изображением на рис. 14.7.

Ток статора. Из точки O в масштабе токов m_i строят вектор тока статора I_1 так, чтобы конец этого вектора (точка D) лежал на окружности токов (рис. 14.6):

$$\overline{OD} = I_1/m_i \quad (14.19)$$

Затем, соединив точку D с точкой H , получают треугольник токов ODH , стороны которого определяют токи: ток х.х. $I_0 = m_i OH$, приведенный ток ротора $I'_2 = m_i HD$ и ток статора $I_1 = m_i OD$.

Далее, опустив перпендикуляр из точки D на ось абсцисс (Oa), получают прямоугольный треугольник ODa , из которого находят активную и реактивную составляющие тока статора:

$$I_{1a} = m_i Da; \quad I_{1p} = m_i Oa. \quad (14.20)$$

Если $U_1 = \text{const}$, а $I_1 \cos \varphi_1 = I_{1a}$, то мощность P_1 прямо пропорциональна активной составляющей тока статора ($P_1 \equiv I_{1a}$). На круговой диаграмме значение I_{1a} определяется отрезком Da , поэтому подведенная мощность (Вт)

$$P_1 = m_p Da, \quad (14.21)$$

где $m_p = m_i U_1 m_i$ — масштаб мощности, Вт/мм.

Подведенную мощность отсчитывают от оси абсцисс, которую называют *линией подведенной мощности* P_1 , до заданной точки на окружности токов.

Рис. 14.7 Рабочий участок круговой диаграммы

Полезная мощность. Полезную мощность P_2 двигателя на круговой диаграмме определяют отрезком, измеренным по вертикали от окружности токов до линии полезной мощности. Для заданной точки на окружности токов

$$P_2 = m_p Db. \quad (14.22)$$

Электромагнитная мощность и электромагнитный момент. Электромагнитную мощность и электромагнитный момент на круговой диаграмме определяют отрезком, измеренным по вертикали от окружности токов до линии электромагнитной мощности. Для заданной точки D на окружности токов электромагнитная мощность (Вт)

$$P_{эм} = m_p Dc; \quad (14.23)$$

электромагнитный момент (Н·м)

$$M = m_m Dc, \quad (14.24)$$

где $m_m = 9,55 m_p / n_1$ — масштаб момента, Н·м/мм.

Коэффициент мощности. Для определения коэффициента

мощности $\cos \varphi_1$ на оси ординат строят полуокружность произвольного диаметра Oj (см. рис. 14.6). Для заданной точки на окружности токов $\cos \varphi_1 = Oh/Oj$. Для удобства расчета обычно принимают $Oj = 100$ мм. В этом случае $\cos \varphi_1 = Oh/100$.

КПД двигателя. Если определять КПД как отношение полезной мощности P_2 к подводимой мощности P_1 , то с учетом (14.22) и (14.21) получим

$$\eta = Db/Da. \quad (14.25)$$

Однако определение КПД этим способом дает заметную погрешность, так как он не учитывает все виды потерь в двигателе. Поэтому КПД целесообразнее определять по (13.9) и (13.10), используя результаты опытов холостого хода и короткого замыкания (см. § 14.2 и 14.3): сумма магнитных и механических потерь

$$(P_m + P_{\text{мех}}) = P_{01} - m'I_0^2 r_1; \quad (14.26)$$

электрические потери в обмотке статора определяют по (13.2), а в обмотке ротора — по (13.3); добавочные потери $P_{\text{доб}}$, согласно ГОСТу, при работе двигателя в номинальном режиме составляют 0,5 % от подводимой к двигателю мощности. Принято считать, что добавочные потери пропорциональны квадрату тока I_1 , тогда добавочные потери при любой (неноминальной) нагрузке

$$P'_{\text{доб}} = P_{\text{доб}} (I_1/I_{\text{ном}})^2. \quad (14.27)$$

Перегрузочная способность двигателя. Для определения максимального момента двигателя следует из точки O_1 опустить перпендикуляр на линию электромагнитной мощности и продолжить его до пересечения с окружностью токов (точка E). Из точки E (см. рис. 14.6) проводят прямую, параллельную оси ординат, до пересечения с линией электромагнитной мощности (точка N). Тогда отрезок EN в масштабе моментов определит значение максимального момента:

$$M_{\text{max}} = m_M EN. \quad (14.28)$$

Если точка D на окружности токов соответствует номинальному режиму, то перегрузочная способность двигателя

$$M_{\text{max}}/M_{\text{ном}} = EN/Dc. \quad (14.29)$$

Скольжение. Скольжение двигателя обычно определяют как отношение мощностей по (13.24): $s = P_{s2}/P_{\text{зм}}$, где $P_{\text{зм}}$ определяют по (14.23).

Рабочие характеристики. Задавшись рядом значений тока статора $0,5I_{\text{ном}}$; $0,75I_{\text{ном}}$; $I_{\text{ном}}$; $1,15I_{\text{ном}}$, строят векторы этих токов и получают на окружности токов ряд точек (D_1 , D_2 , D_3 и D_4). Для каждой из них определяют все необходимые для построения рабочих характеристик значения (см. рис. 13.7).

§ 14.6. Аналитический метод расчета рабочих характеристик асинхронных двигателей

Рассмотренный графический метод расчета рабочих характеристик асинхронных двигателей с применением круговой диаграммы имеет существенный недостаток — необходимость построения этой диаграммы и неизбежную неточность как при построении, так и при ее последующем использовании, связанным с дополнительными построениями, измерениями отрезков и т. п. Аналитический метод расчета рабочих характеристик не предусматривает каких-либо графических изображений и измерений, а некоторое увеличение объема математических вычислений при условии применения простейшей вычислительной техники не вызывает каких-то затруднений.

Аналитический метод расчета основан на схеме замещения асинхронного двигателя (рис. 12.2, б). Исходными при этом являются паспортные данные двигателя ($P_{\text{ном}}$, $U_{1\text{ном}}$, $n_{2\text{ном}}$) и результаты выполнения опытов холостого хода и короткого замыкания (см. § 14.2 и 14.3).

Расчет ведут в следующем порядке.

Определяют приведенное активное сопротивление ротора (Ом):

$$r'_2 = r_k - r_1, \quad (14.30)$$

а затем критическое скольжение:

$$s_{\text{кр}} \approx r'_2/x_k, \quad (14.31)$$

и номинальное скольжение:

$$s_{\text{ном}} = (n_1 - n_{2\text{ном}})/n_1. \quad (14.32)$$

Задавшись рядом значений скольжения (всего 6—7 значений, в том числе номинальное $s_{\text{ном}}$ и критическое $s_{\text{кр}}$), определяют необходимые для построения рабочих характеристик величины.

Эквивалентное активное сопротивление (Ом)

$$r_{\text{эк}} = r_1 + r'_2/s. \quad (14.33)$$

Эквивалентное полное сопротивление рабочего контура схемы замещения (Ом)

$$z_{\text{эк}} = \sqrt{r_{\text{эк}}^2 + x_k^2}. \quad (14.34)$$

Коэффициент мощности рабочего контура схемы замещения

$$\cos \varphi_2 = r_{\text{эк}}/z_{\text{эк}}. \quad (14.35)$$

Приведенный ток ротора, (А)

$$I'_2 = U_1/z_{\text{эк}} \quad (14.36)$$

и его активная и реактивная составляющие (А)

$$I'_{2a} = I'_2 \cos \varphi_2; \quad (14.37)$$

$$I'_{2p} = I'_2 \sin \varphi_2. \quad (14.38)$$

Активная и реактивная составляющие тока статора (А)

$$I_{1a} = I_{0a} + I'_{2a}; \quad (14.39)$$

$$I_{1p} = I_{0p} + I'_{2p}. \quad (14.40)$$

Здесь $I_{0a} = I_0 \cos \varphi_0$ — активная составляющая тока холостого хода; $I_{0p} = I_0 \sin \varphi_0$ — реактивная составляющая этого тока.

Ток в обмотке статора (А)

$$I_1 = \sqrt{I_{1a}^2 + I_{1p}^2}. \quad (14.41)$$

Коэффициент мощности двигателя

$$\cos \varphi_1 = I_{1a} / I_1. \quad (14.42)$$

Потребляемая двигателем мощность (Вт)

$$P_1 = m_1 U_1 I_{1a}. \quad (14.43)$$

Электрические потери статора $P_{з1}$ определяют по (13.2), электромагнитную мощность $P_{эм}$ — по (13.6), электромагнитный момент M — по (13.11), электрические потери в роторе $P_{з2}$ — по (13.5), добавочные потери $P_{доб}$ — по (13.7) и (13.8).

Полезная мощность двигателя (Вт)

$$P_2 = P_{эм} - P_{з2} - P_{мех} - P_{доб}, \quad (14.44)$$

где $P_{мех}$ — механические потери, Вт; их определяют из опыта холостого хода (см. рис. 14.2).

Коэффициент полезного действия двигателя определяют по (13.10), частоту вращения ротора — по (10.2). Полезный момент (момент на валу) двигателя (Н·м)

$$M_2 = 9,55 P_2 / n_2. \quad (14.45)$$

Результаты расчета сводят в таблицу (см. табл. 14.1), а затем строят рабочие характеристики двигателя (см. рис. 13.7).

Пример 14.1. Трехфазный асинхронный двигатель имеет паспортные данные: $P_{ном} = 3,0$ кВт, $U_{ном} = 220/380$ В, $I_{1ном} = 6,3$ А, $n_{ном} = 1430$ об/мин. Активное сопротивление фазы обмотки статора при рабочей температуре $r_1 = 1,70$ Ом. Характеристики х.х. двигателя приведены на рис. 14.2 ($I_{0ном} = 1,83$ А, $P_{0ном} = 300$ Вт, $P_{добном} = 283$ Вт, $P_{мех} = 200$ Вт, $\cos \varphi_{0ном} = 0,24$, обмотки статора соединены звездой). Характеристики к.з. приведены на рис. 14.3 ($P_{кном} = 418$ Вт, $U_{кном} = 59,5$ В, $I_{кном} = 6,3$ А, $\cos \varphi_{кном} = 0,372$).

Требуется рассчитать данные и построить рабочие характеристики двигателя и определить перегрузочную его способность.

Решение. Активная и реактивная составляющие тока х.х

$$I_{0a} = I_0 \cos \varphi_{0ном} = 1,83 \cdot 0,24 = 0,44 \text{ А},$$

$$I_{0p} = I_0 \sin \varphi_{0ном} = 1,83 \cdot 0,97 = 1,77 \text{ А}.$$

Полное сопротивление к.з. по (14.10)

$$z_k = U_{кном} / I_{кном} = 59,5 / 6,3 = 9,45 \text{ Ом},$$

Таблица 14.1

Значения параметров при скольжении s	0,01	0,02	0,03	0,046	0,06	0,20
r_2'/s , Ом	180	90	60	39,1	30	10,1
$r_{\Sigma k} = r_1 + r_2'/s$, Ом	181,7	91,7	61,7	40,8	31,7	11,8
$z_{\Sigma k} = \sqrt{r_{\Sigma k}^2 + x_k^2}$, Ом	182	92,0	62,5	42,0	33,2	15,5
$\cos \varphi_2 = r_{\Sigma k}/z_{\Sigma k}$	0,998	0,996	0,987	0,971	0,955	0,760
$I_2' = U_1/z_{\Sigma k}$, А	1,21	2,39	3,52	5,24	6,63	14,20
$I_{2a}' = I_2' \cos \varphi_2$, А	1,21	2,38	3,47	5,09	6,33	10,7
$I_{2p}' = I_2' \sin \varphi_2$, А	0,08	0,19	0,57	1,25	1,95	9,20
$I_{1a} = I_{0a} + I_{2a}'$, А	1,65	2,82	3,91	5,54	6,77	11,10
$I_{1p} = I_{0p} + I_{2p}'$, А	1,85	1,96	2,34	3,02	3,72	10,9
$I_1 = \sqrt{I_{1a}^2 + I_{1p}^2}$, А	2,48	3,43	4,55	6,30	7,70	15,5
$\cos \varphi_1 = I_{1a}/I_1$	0,66	0,82	0,86	0,88	0,88	0,71
$P_1 = m_1 U_1 I_{1a}$, Вт	1089	1861	2580	3652	4468	7326
$P_{\Sigma 1} = m_1 I_1^2 r_1$, Вт	31,0	60,0	105	200	302	1225
$P_{\Sigma 1} = P_1 - P_{\Sigma 1} - P_{\Sigma 1}$, Вт	975	1718	2392	3369	4083	6080
$M = P_{\Sigma 1}/\omega_1$, Н·м	6,2	10,9	15,3	21,4	26,0	38,7
$P_{\Sigma 2} = s P_{\Sigma 1}$, Вт	10	34	72	151	245	—
$\beta^2 = (I_1/I_{1ном})^2$	0,15	0,29	0,52	1,0	1,44	—
$P_{\Sigma 2} = \beta^2 P_{\Sigma 1}$, Вт	2,7	5,2	9,4	18	26	—
$P_2 = P_{\Sigma 1} - P_{\Sigma 2} - P_{\Sigma 2} - P_{\Sigma 2}$, Вт	762	1479	2110	3000	3612	—
$\eta = P_2/P_1$	0,70	0,79	0,82	0,82	0,81	—
$n_2 = n_1(1 - s)$, об/мин	1485	1470	1455	1430	1410	—
$M_2 = 9,55 P_2/n_2$, Н·м	4,9	9,6	13,8	20,0	24,5	—

его активная и реактивная составляющие по (14.11) и (14.12)

$$r_k = z_k \cos \varphi_{kном} = 9,45 \cdot 0,372 = 3,5 \text{ Ом},$$

$$x_k = \sqrt{z_k^2 - r_k^2} = \sqrt{9,45^2 - 3,5^2} = 8,8 \text{ Ом}.$$

Приведенное активное сопротивление ротора по (14.30)

$$r_2' = r_k - r_1 = 3,5 - 1,7 = 1,8 \text{ Ом}$$

Критическое скольжение по (14.31)

$$s_{кр} = r_2'/x_k = 1,8/8,8 = 0,20.$$

Номинальное скольжение по (14.32)

$$s_{ном} = (n_1 - n_{2ном})/n_1 = (1500 - 1430)/1500 = 0,046$$

Магнитные потери по (14.8)

$$P_{\Sigma} = P_0 - P_{\Sigma 1} = 283 - 200 = 83 \text{ Вт}.$$

Задаемся следующими значениями скольжения: 0,01, 0,02, 0,03, 0,046, 0,06 и 0,20. Результаты расчета приведены в табл. 14.1. Рабочие характеристики двигателя представлены на рис. 13.7.

Перегрузочная способность двигателя $\lambda = M_{\Sigma \Sigma}/M_{ном} = 38,7/21,4 = 1,81$.

Контрольные вопросы

1. Какие существуют методы получения данных для построения рабочих характеристик асинхронных двигателей?
2. Чем ограничивается применение метода непосредственной нагрузки?
3. Как определить величину механических и магнитных потерь двигателя по характеристикам x, x ?

Глава 15. Пуск и регулирование частоты вращения трехфазных асинхронных двигателей

§ 15.1. Пуск двигателей с фазным ротором

Пусковые свойства двигателей. Пуск асинхронного двигателя сопровождается переходным процессом, обусловленным переходом ротора, и механически связанных с ним частей исполнительного механизма, из состояния покоя в состояние равномерного вращения, когда вращающий момент двигателя уравнивается суммой противодействующих моментов, действующих на ротор двигателя.

Пусковые свойства двигателя определяются в первую очередь значением пускового тока I_n или его кратностью $I_n/I_{ном}$ и значением пускового момента M_n или его кратностью $M_n/M_{ном}$. Двигатель, обладающий хорошими пусковыми свойствами, развивает значительный пусковой момент при сравнительно небольшом пусковом токе. Однако получение такого сочетания пусковых параметров в асинхронном двигателе сопряжено с определенными трудностями, а иногда оказывается невозможным.

В начальный момент пуска скольжение $s=1$, поэтому, пренебрегая током х. х., пусковой ток можно определить из (12.25), подставив $s=1$:

$$I_n = U_1 / \sqrt{(r_1 + r_2')^2 + (x_1 + x_2')^2}. \quad (15.1)$$

Пусковой момент по (13.19)

$$M_n = \frac{m_1 U_1^2 r_2' p}{2\pi f_1 [(r_1 + r_2')^2 + (x_1 + x_2')^2]}.$$

Из (15.1) и (13.19) следует, что улучшить пусковые свойства двигателя можно увеличением активного сопротивления цепи ротора, так как в этом случае уменьшение пускового тока сопровождается увеличением пускового момента. В то же время напряжение U_1 по-разному влияет на пусковые параметры двигателя: с уменьшением U_1 пусковой ток уменьшается, что благоприятно влияет на пусковые свойства двигателя, но одновременно уменьшается пусковой момент. Целесообразность применения того или иного способа улучшения пусковых

свойств двигателя определяется конкретными условиями эксплуатации двигателя и требованиями, которые предъявляются к его пусковым свойствам.

Помимо пусковых значений тока $I_{\text{п}}$ и момента $M_{\text{п}}$ пусковые свойства двигателей оцениваются еще и такими показателями: продолжительность и плавность пуска, сложность пусковой операции, ее экономичность (стоимость и надежность пусковой аппаратуры и потери энергии в ней).

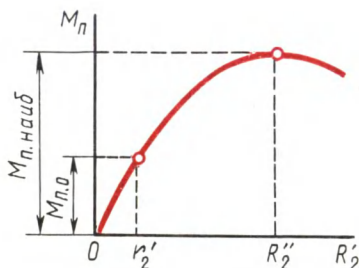


Рис 15.1. Зависимость пускового момента от активного сопротивления цепи ротора

Пуск двигателей с фазным ротором.

Наличие контактных колец у двигателей с фазным ротором позволяет подключить к обмотке ротора пусковой реостат (ПР). При этом активное сопротивление цепи ротора увеличивается до значения $R_2 = r_2' + r_d'$, где r_d' — электрическое сопротивление пускового реостата, приведенное к обмотке статора. Влияние возросшего значения активного сопротивления на пусковой момент двигателя $M_{\text{п}}$ следует из (13.19).

Это влияние графически показано

на рис. 15.1, из которого видно, что если при отсутствии ПР, т. е. при активном сопротивлении цепи ротора $R_2' = r_2'$, пусковой момент $M_{\text{п}} = M_{\text{п}0}$, то при введении в цепь ротора добавочного активного сопротивления $r_{\text{доб}}'$, когда $R_2' = r_2' + r_{\text{доб}}'$, пусковой момент возрастает и при $R_2'' = r_2' + r_{\text{доб}}' = x_1 + x_2'$ достигает наибольшего значения $M_{\text{п} \text{ наиб}}$. При $R_2' > x_1 + x_2'$ пусковой момент уменьшается.

При выборе сопротивления пускового реостата $r_{\text{лmax}}$ исходят из условий пуска двигателя: если двигатель включают при значительном нагрузочном моменте на валу, сопротивление пускового реостата $r_{\text{лmax}}$ выбирают таким, чтобы обеспечить наибольший пусковой момент (см. график при $r_{2\text{III}}'$ на рис. 13.6); если же двигатель включают при небольшом нагрузочном моменте на валу, когда пусковой момент не имеет решающего значения для пуска, оказывается целесообразным сопротивление ПР $r_{\text{лmax}}$ выбирать несколько больше значения, соответствующего наибольшему пусковому моменту, т. е. чтобы $R_2' > x_1 + x_2'$. В этом случае пусковой момент оказывается несколько меньшим наибольшего значения $M_{\text{пmax}}$, но зато пусковой ток значительно уменьшается (см. график при $r_{2\text{IV}}'$ на рис. 13.6).

На рис. 15.2, а показана схема включения ПР в цепь фазного ротора. В процессе пуска двигателя ступени ПР переключают таким образом, чтобы ток ротора оставался приблизительно неизменным, а среднее значение пускового момента было близко к наибольшему.

На рис. 15.2, б представлен график изменения пускового мо-

мента асинхронного двигателя при четырех ступенях пускового реостата. Так, в начальный момент пуска (первая ступень реостата) пусковой момент равен $M_{п.мах}$. По мере разгона двигателя его момент уменьшается по кривой 1. Как только значение момента уменьшится до значения $M_{п.мин}$, рычаг реостата переводят на вторую ступень и сопротивление реостата уменьшается. Теперь зависимость $M = f(s)$ выражается кривой 2 и пусковой момент двигателя вновь достигает $M_{п.мах}$. Затем ПР переключают

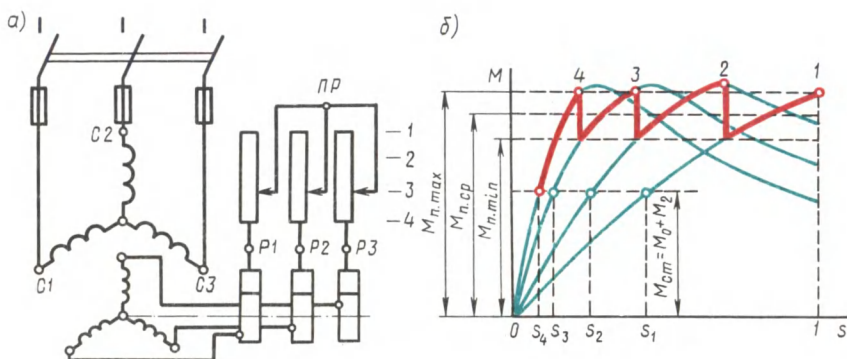


Рис. 15.2 Схема включения пускового реостата (а) и построение графика пускового момента (б) асинхронного двигателя с фазным ротором

на третью и на четвертую ступени (кривые 3 и 4). После того как электромагнитный момент двигателя уменьшится до значения, равного значению противодействующего момента на валу двигателя, частота вращения ротора достигнет установившегося значения и процесс пуска двигателя будет закончен. Таким образом, в течение всего процесса пуска значение пускового момента остается приблизительно постоянным, равным $M_{п.ср}$. Следует иметь в виду, что при слишком быстром переключении ступеней реостата пусковой ток может достигнуть недопустимо больших значений.

Пусковые реостаты состоят из кожуха, рычага с переключающим устройством и сопротивлений, выполненных из металлической проволоки или ленты, намотанной в виде спирали, или же из чугунного литья. Пусковые реостаты рассчитаны на кратковременное протекание тока, а поэтому рычаг пускового реостата нельзя долго задерживать на промежуточных ступенях, так как сопротивления реостата могут перегореть. По окончании процесса пуска, когда рычаг реостата находится на последней ступени, обмотка ротора замкнута накоротко.

В заключение отметим, что в асинхронных двигателях с фазным ротором обеспечивается наиболее благоприятное соотношение между пусковым моментом и пусковым током: большой пусковой момент при небольшом пусковом токе (в 2—3 раза больше номинального). Недостатками пусковых свойств двигателей с фазным ротором являются некоторая сложность, про-

должительность и неэкономичность пусковой операции. Последнее вызывается необходимостью применения в схеме двигателя пускового реостата и непроизводительным расходом электроэнергии при его нагреве.

§ 15.2. Пуск двигателей с короткозамкнутым ротором

Пуск непосредственным включением в сеть (рис. 15.3). Этот способ пуска, отличаясь простотой, имеет существенный недостаток: в момент подключения двигателя к сети в обмотке статора возникает большой пусковой ток, в 5—7 раз превышающий номинальный ток двигателя. При небольшой инерционности исполнительного механизма частота вращения двигателя быстро достигает установившегося значения и пусковой ток также быстро спадает, не вызывая перегрева обмотки статора. Но такой

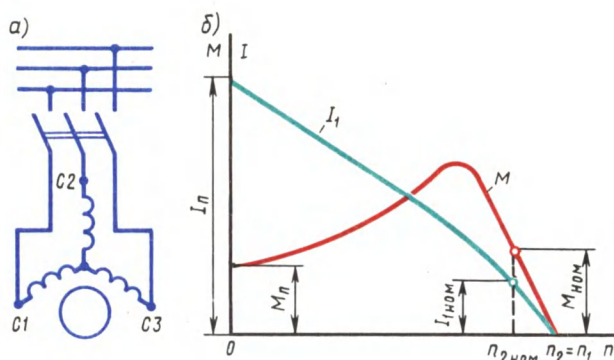


Рис. 15.3. Схема непосредственного включения в сеть (а) и графики изменения тока и момента при пуске (б) асинхронного двигателя с короткозамкнутым ротором

значительный бросок тока в питающей сети может вызвать в ней заметное падение напряжения. Однако этот способ пуска благодаря своей простоте получил наибольшее применение для двигателей мощностью до 38—50 кВт и более (при достаточном сечении жил токоподводящего кабеля). При необходимости уменьшения пускового тока двигателя применяют какой-либо из способов пуска короткозамкнутых двигателей при пониженном напряжении.

Пуск при пониженном напряжении. В соответствии с (15.1) пусковой ток двигателя пропорционален подведенному напряжению U_1 , уменьшение которого вызывает соответствующее уменьшение пускового тока. Существует несколько способов понижения подводимого к двигателю напряжения. Рассмотрим некоторые из них.

Для асинхронных двигателей, работающих при соединении обмоток статора треугольником, можно применить *пуск переключением обмотки статора со звезды на треугольник* (рис. 15.4, а). В момент подключения двигателя к сети переключатель ставят в положение «звезда», при котором обмотка статора оказывается соединенной в звезду. При этом фазное напряжение на статоре понижается в $\sqrt{3}$ раз. Во столько же раз уменьшается и ток в фазных обмотках двигателя (рис. 15.4, б). Кроме того, при

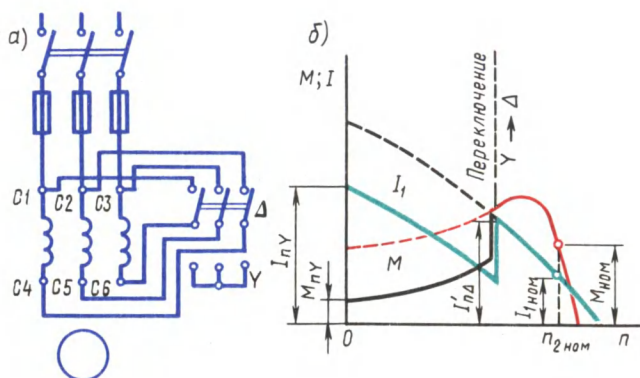


Рис. 15.4. Схема включения (а) и графики изменения момента и тока (фазного) при пуске (б) асинхронного двигателя с короткозамкнутым ротором переключением обмотки статора со звезды на треугольник

соединении обмоток звездой линейный ток равен фазному, в то время как при соединении этих же обмоток треугольником линейный ток больше фазного в $\sqrt{3}$ раз. Следовательно, переключив обмотки статора звездой, мы добиваемся уменьшения линейного тока в $(\sqrt{3})^2 = 3$ раза. После того как ротор двигателя разгонится до частоты вращения, близкой к установившейся, переключатель быстро переводят в положение «треугольник» и фазные обмотки двигателя оказываются под номинальным напряжением. Возникший при этом бросок тока до значения I'_n является незначительным.

Рассмотренный способ пуска имеет существенный недостаток — уменьшение фазного напряжения в $\sqrt{3}$ раз сопровождается уменьшением пускового момента в три раза, так как, согласно (13.19), пусковой момент асинхронного двигателя прямо пропорционален квадрату напряжения U_1 . Такое значительное уменьшение пускового момента не позволяет применять этот способ пуска для двигателей, включаемых в сеть при значительной нагрузке на валу.

Описанный способ понижения напряжения при пуске применим лишь для двигателей, работающих при соединении обмотки статора треугольником. Более универсальным является способ пуска *понижением подводимого к двигателю напряжения посред-*

ством реакторов (реактивных катушек — дросселей). Порядок включения двигателя в этом случае следующий (рис. 15.5, а). При разомкнутом рубильнике 2 включают рубильник 1. При этом ток из сети поступает в обмотку статора через реакторы P , на которых происходит падение напряжения $j\dot{I}_n x_p$ (где x_p — индуктивное сопротивление реактора, Ом). В результате на обмотку статора подается пониженное напряжение $\dot{U}'_1 = \dot{U}_{1ном}$ — $j\dot{I}_n x_p$. После разгона ротора двигателя включают рубильник 2

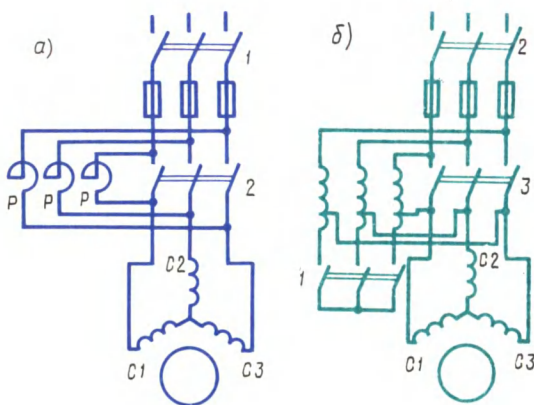


Рис. 15.5 Схемы реакторного (а) и автотрансформаторного (б) способов пуска асинхронных двигателей с короткозамкнутым ротором

и подводимое к обмотке статора напряжение оказывается номинальным.

Недостаток этого способа пуска состоит в том, что уменьшение напряжения в $\dot{U}'_1/\dot{U}_{1ном}$ раз сопровождается уменьшением пускового момента M_n в $(\dot{U}'_1/\dot{U}_{1ном})^2$ раз.

При пуске двигателя через понижающий автотрансформатор (рис. 15.5, б) вначале замыкают рубильник 1, соединяющий обмотки автотрансформатора звездой, а затем включают

рубильник 2 и двигатель оказывается подключенным на пониженное напряжение \dot{U}'_1 . При этом пусковой ток двигателя, измеренный на выходе автотрансформатора, уменьшается в K_A раз, где K_A — коэффициент трансформации автотрансформатора. Что же касается тока в питающей двигатель сети, т. е. тока на входе автотрансформатора, то он уменьшается в K_A^2 раз по сравнению с пусковым током при непосредственном включении двигателя в сеть. Дело в том, что в понижающем автотрансформаторе первичный ток меньше вторичного в K_A раз и поэтому уменьшение пускового тока при автотрансформаторном пуске составляет $K_A K_A = K_A^2$ раз. Например, если кратность пускового тока асинхронного двигателя при непосредственном его включении в сеть составляет $I_n/I_{1ном} = 6$, а напряжение сети 380 В, то при автотрансформаторном пуске с понижением напряжения до 220 В кратность пускового тока в сети $I'_n/I_{1ном} = 6/(380/220)^2 = 2$.

После первоначального разгона ротора двигателя рубильник 1 размыкают и автотрансформатор превращается в реактор. При этом напряжение на выводах обмотки статора несколько повышается, но все же остается меньше номинального. Включением рубильника 3 на двигатель подается полное напряжение сети. Таким образом, автотрансформаторный пуск проходит тремя

ступенями: на первой ступени к двигателю подводится напряжение $U_1 = (0,50 \div 0,60) U_{\text{ном}}$, на второй — $U_1 = 0,70 \div 0,80) U_{\text{ном}}$ и, наконец, на третьей ступени к двигателю подводится номинальное напряжение $U_{\text{ном}}$.

Как и предыдущие способы пуска при пониженном напряжении, автотрансформаторный способ пуска сопровождается уменьшением пускового момента, так как значение последнего прямо пропорционально квадрату напряжения. С точки зрения уменьшения пускового тока автотрансформаторный способ пуска лучше реакторного, так как при реакторном пуске пусковой ток в питающей сети уменьшается в $U'_1/U_{\text{ном}}$ раз, а при автотрансформаторном — в $(U'_1/U_{\text{ном}})^2$ раз. Но некоторая сложность пусковой операции и повышенная стоимость пусковой аппаратуры (понижающий автотрансформатор и переключающая аппаратура) несколько ограничивают применение этого способа пуска асинхронных двигателей.

§ 15.3. Короткозамкнутые асинхронные двигатели с улучшенными пусковыми характеристиками

Стремление улучшить пусковые свойства асинхронных двигателей с короткозамкнутым ротором привело к созданию асинхронных двигателей с особой конструкцией ротора: двигателей с глубокими пазами на роторе и двигателей с двумя короткозамкнутыми клетками на роторе.

Двигатель с глубокими пазами на роторе. От обычного асинхронного двигателя этот двигатель отличается тем, что у него пазы ротора сделаны в виде узких глубоких щелей, в которые вложены стержни обмотки ротора, представляющие собой узкие полосы. С обеих сторон эти стержни приварены к замыкающим кольцам. Обычно глубокий паз имеет соотношение размеров $h_n/b_n = 9 \div 10$, где h_n , b_n — высота и ширина паза.

В момент включения двигателя, когда частота тока в роторе имеет наибольшее значение ($f_2 = f_1$), индуктивное сопротивление нижней части каждого стержня значительно больше верхней. Объясняется это тем, что нижняя часть стержня сцеплена с большим числом магнитных силовых линий поля рассеяния (рис. 15,6, а). На рис. 15.6, б показан график распределения плотности пускового тока в стержне ротора с глубокими пазами по высоте стержня. Из этого графика следует, что почти весь ток ротора проходит по верхней части стержня, поперечное сечение которой намного меньше сечения всего стержня. Это равноценно увеличению активного сопротивления стержня ротора, что, как известно, способствует росту пускового момента двигателя и некоторому ограничению пускового тока (см. § 15.2).

Таким образом, двигатель с глубокими пазами на роторе

обладает благоприятным соотношением пусковых параметров. большим пусковым моментом при сравнительно небольшом пусковом токе. По мере нарастания частоты вращения ротора частота тока в роторе убывает ($f_2 = sf_1$). В связи с этим уменьшается индуктивное сопротивление обмотки ротора $x_2 \equiv f_2$. Распределение плотности тока по высоте стержня в том случае становится более равномерным, что ведет к уменьшению активного сопротивления ротора. При работе двигателя с номинальной частотой вращения, когда $f_2 \ll f_1$, процесс «вытеснения» тока практически прекращается и двигатель работает, как обычный короткозамкнутый.

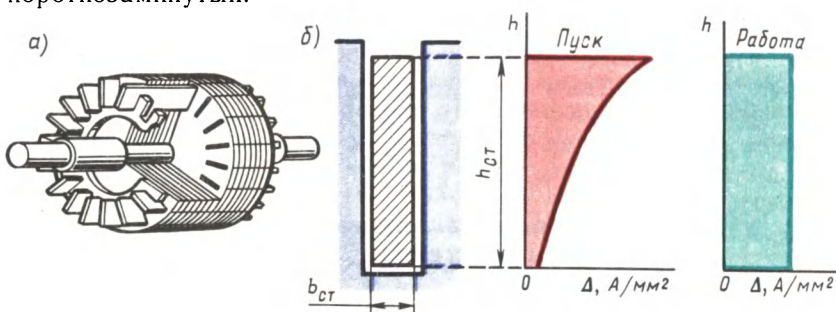


Рис. 15.6. Ротор с глубокими пазами:

а — устройство, *б* — распределение плотности тока ротора по высоте стержня при пуске и при работе двигателя

Эффект вытеснения тока хорошо проявляется при пазах ротора бутылочной формы (рис. 15.7). В этом случае «вытеснение» тока происходит в верхнюю часть паза, имеющую меньшее сечение, а следовательно, большее активное сопротивление. Применение пазов бутылочной формы позволяет сократить высоту пазов ротора, а следовательно, уменьшить диаметр ротора по сравнению с глубокопазным ротором.

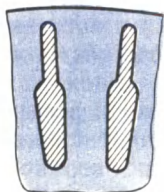


Рис. 15.7. Бутылочная форма стержней ротора

Двигатель с двумя клетками на роторе. Еще лучшими пусковыми свойствами обладают асинхронные двигатели с двумя короткозамкнутыми клетками на роторе (рис. 15.8, *а*): рабочей клеткой 1, стержни которой расположены в нижнем слое, и пусковой клеткой 2, стержни которой расположены в верхнем слое, ближе к воздушному зазору. Стержни пусковой клетки обычно выполняют из латуни или бронзы — материалов, обладающих более высоким, чем у меди, активным сопротивлением. Индуктивное сопротивление рассеяния пусковой клетки невелико, так как ее стержни расположены вблизи воздушного зазора и к тому же с двух сторон имеют воздушные щели (рис. 15.8, *б*). Стержни рабочей клетки выполняют из меди, и по сравнению со стержнями пусковой клетки они имеют большее

сечение. Это обеспечивает рабочей клетке малое активное сопротивление. Но зато индуктивное сопротивление рабочей клетки больше, чем у пусковой, особенно в начальный период пуска, когда частота тока в роторе сравнительно велика ($f_2 \approx f_1$).

В момент пуска двигателя ток ротора проходит в основном по верхней (пусковой) клетке, обладающей малым индуктивным сопротивлением. При этом плотность тока в стержнях пусковой клетки намного больше плотности тока в стержнях рабочей

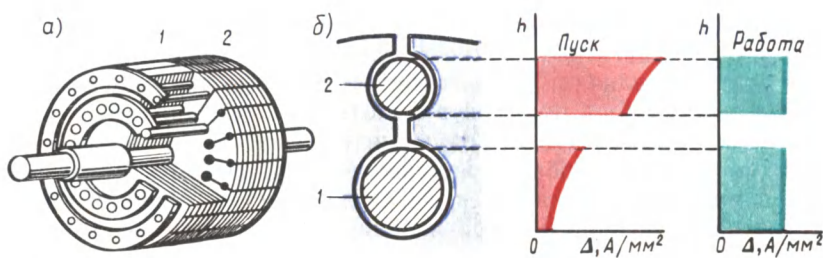


Рис. 15.8. Двухклеточный ротор:

а — устройство, б — распределение плотности тока в рабочей и пусковой клетках при пуске и работе двигателя

клетки (рис. 15.8,б). Повышенное активное сопротивление этой клетки обеспечивает двигателю значительный пусковой момент при пониженном пусковом токе. По мере увеличения частоты

вращения ротора уменьшается частота тока в роторе, при этом индуктивное сопротивление рабочей клетки уменьшается и распределение плотности тока в стержнях пусковой и рабочей клеток становится почти одинаковым. В итоге происходит перераспределение вращающего момента между клетками: если в начальный период пуска момент создается главным образом токами пусковой клетки, то по окончании периода пуска вращающий момент создается в основном токами рабочей клетки.

Так как активные сопротивления клеток ротора неодинаковы, то зависимость $M = f(s)$ этих клеток изображается разными кривыми (рис. 15.9). Максимальное значение момента пусковой клетки вследствие ее повышенного активного сопротивления смещено в сторону скольжений, близких к единице. Вращающие моменты от обеих клеток направлены в одну сторону, поэтому результирующий момент двигателя равен сумме моментов пусковой $M_{пк}$ и рабочей $M_{рабк}$ клеток $M = M_{пк} + M_{рабк}$.

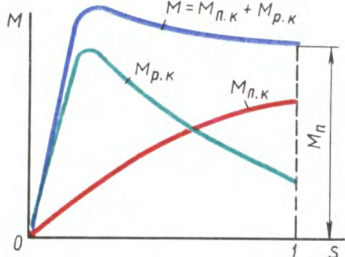


Рис. 15.9. Механическая характеристика двухклеточного асинхронного двигателя

Двигатели с двумя клетками на роторе по сравнению с асинхронными двигателями обычной конструкции имеют повышенную стоимость, что объясняется сложностью конструкции.

§ 15.4. Регулирование частоты вращения асинхронных двигателей

Частота вращения ротора асинхронного двигателя

$$n_2 = n_1(1 - s) = (f_1 60/p)(1 - s). \quad (15.2)$$

Из этого выражения следует, что частоту вращения ротора асинхронного двигателя можно регулировать изменением какой-либо из трех величин: скольжения s , частоты тока в обмотке статора f_1 или числа полюсов в обмотке статора $2p$.

Регулирование частоты вращения *изменением скольжения* s возможно тремя способами: изменением подводимого к обмотке статора напряжения, нарушением симметрии этого напряжения и изменением активного сопротивления обмотки ротора.

Регулировка частоты вращения изменением скольжения происходит только в нагруженном двигателе. В режиме холостого хода скольжение, а следовательно, и частота вращения остаются практически неизменными.

Регулирование частоты вращения изменением подводимого напряжения. Возможность этого способа регулирования подтверждается графиками $M = f(s)$, построенными для разных значений U_1 (см. рис. 13.5). При неизменной нагрузке на валу двигателя увеличение подводимого к двигателю напряжения вызывает рост частоты вращения. Однако диапазон регулирования частоты вращения получается небольшим, что объясняется узкой зоной устойчивой работы двигателя, ограниченным значением критического скольжения и недопустимостью значительного превышения номинального значения напряжения. Последнее объясняется тем, что с превышением номинального напряжения возникает опасность чрезмерного перегрева двигателя, вызванного резким увеличением электрических и магнитных потерь. В то же время с уменьшением напряжения U_1 двигатель утрачивает перегрузочную способность, которая, как известно, пропорциональна квадрату напряжения сети (см. § 13.2).

Подводимое к двигателю напряжение изменяют либо регулировочным автотрансформатором, либо реакторами, включаемыми в разрыв линейных проводов.

Узкий диапазон регулирования и неэкономичность (необходимость в дополнительных устройствах) ограничивают область применения этого способа регулирования частоты вращения.

Регулирование частоты вращения нарушением симметрии подводимого напряжения. При нарушении симметрии подводимой к двигателю трехфазной системы напряжения вращающееся поле статора становится эллиптическим (см. § 9.4). При этом поле приобретает обратную составляющую (встречное поле), ко-

торая создает момент $M_{обр}$, направленный встречно вращающему моменту $M_{пр}$. В итоге результирующий электромагнитный момент двигателя уменьшается ($M = M_{пр} - M_{обр}$).

Механические характеристики двигателя при этом способе регулирования располагаются в зоне между характеристикой при симметричном напряжении (рис. 15.10, а, кривая 1) и характеристикой при однофазном питании двигателя (кривая 2) — пределом несимметрии трехфазного напряжения.

Для регулировки несимметрии подводимого напряжения можно в цепь одной из фаз включить однофазный регулировочный автотрансформатор (АТ) (рис. 15.10, б). При уменьшении напряжения на выходе АТ несимметрия увеличивается и частота вращения ротора уменьшается. Недостатками этого способа регулирования являются узкая зона регулирования и уменьшение КПД двигателя по мере увеличения несимметрии напряжения. Обычно этот способ регулирования частоты вращения применяют лишь в двигателях малой мощности.

Регулирование частоты вращения изменением активного сопротивления в цепи ротора. Этот способ регулирования частоты вращения возможен лишь в двигателях с фазным ротором. Механические характеристики асинхронного двигателя, построенные для различных значений активного сопротивления цепи ротора (см. рис. 13.6), показывают, что с увеличением активного сопротивления ротора возрастает скольжение, соответствующее заданному нагрузочному моменту. Частота вращения двигателя при этом уменьшается. Зависимость скольжения (частоты вращения) от активного сопротивления цепи ротора выражается формулой, полученной преобразованием (13.13):

$$s = m_1 I_2'^2 r_2' / (\omega_1 M). \quad (15.3)$$

Практически изменение активного сопротивления цепи ротора достигается включением в цепь ротора регулировочного реостата (РР), подобного пусковому реостату (ПР) (см. рис. 15.2), но рассчитанного на длительный режим работы. Электрические потери в роторе пропорциональны скольжению ($P_{э2} = sP_{эм}$), поэтому уменьшение частоты вращения (увеличение скольжения) сопровождается ростом электрических потерь в цепи ротора и снижением КПД двигателя. Так, если при неизменном нагрузочном моменте на валу двигателя увеличить скольжение от 0,02 до 0,5, что соответствует уменьшению частоты вращения пример-

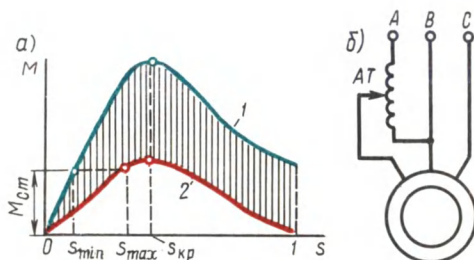


Рис 15.10. Механические характеристики (а) и схема включения (б) асинхронного двигателя при регулировании частоты вращения изменением симметрии трехфазной системы

но вдвое, то потери в цепи ротора составят почти половину электромагнитной мощности двигателя. Это свидетельствует о неэкономичности рассматриваемого способа регулирования. К тому же необходимо иметь в виду, что рост потерь в роторе сопровождается ухудшением условий вентиляции из-за снижения частоты вращения, что приводит к перегреву двигателя (см. § 31.1).

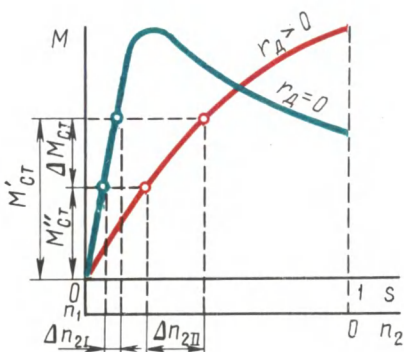


Рис 15.11. Влияние сопротивления цепи ротора на колебания частоты вращения при изменении нагрузки

Рассматриваемый способ регулирования имеет еще и тот недостаток, что участок механической характеристики, соответствующий устойчивой работе двигателя, при введении в цепь ротора добавочного сопротивления становится более пологим и колебания нагрузочного момента на валу двигателя сопровождаются значительными изменениями частоты вращения ротора. Это иллюстрирует рис. 15.11, на котором видно, что если нагрузочный момент двигателя изменится на $\Delta M_{ст} = M'_{ст} - M''_{ст}$, то изменение частоты вращения при выведенном регулиро-

вочном реостате ($r'_d = 0$) составит Δn_{21} , а при введенном реостате — $\Delta n_{2п}$. В последнем случае изменение частоты вращения значительно больше.

Но несмотря на указанные недостатки, рассмотренный способ регулирования частоты вращения широко применяется в асинхронных двигателях с фазным ротором. В зависимости от конструкции регулировочного реостата этот способ регулирования частоты вращения может быть плавным (при плавном изменении сопротивления РР) или ступенчатым (при ступенчатом изменении сопротивления РР).

Способ обеспечивает регулирование частоты вращения в широком диапазоне, но только вниз от синхронной частоты вращения. Вместе с тем он обеспечивает двигателю улучшенные пусковые свойства (см. § 15.2).

Регулирование частоты вращения изменением частоты тока в статоре. Этот способ регулирования (частотное регулирование) основан на изменении синхронной частоты вращения $n_1 = f_1 60/p$.

Для осуществления этого способа регулирования необходим источник питания двигателя переменным током с регулируемой частотой. В качестве таких источников могут применяться электромашинные, ионные или полупроводниковые преобразователи частоты (ПЧ). Чтобы регулировать частоту вращения, достаточно изменить частоту тока f_1 . Но с изменением частоты $f_1 = \omega_1 p / (2\pi)$ будет изменяться и максимальный момент [см. (13.18)]. Поэтому для сохранения неизменными перегрузочной способности, коэффициента мощности и КПД двигателя на

требуемом уровне необходимо одновременно с изменением частоты f_1 изменять и напряжение питания U_1 . Характер одновременного изменения f_1 и U_1 зависит от закона изменения момента нагрузки и определяется уравнением

$$U'_1/U_1 = (f'_1/f_1)\sqrt{M'/M}, \quad (15.4)$$

где U_1 и M — напряжение и момент при частоте f_1 ; U'_1 и M' — напряжение и момент при частоте f'_1 .

Если частота вращения двигателя регулируется при условии *постоянства момента нагрузки* ($M = M' = \text{const}$), то подводимое к двигателю напряжение необходимо изменять пропорционально изменению частоты тока:

$$U'_1 = U_1 f'_1 / f_1. \quad (15.5)$$

При этом мощность двигателя увеличивается пропорционально нарастанию частоты вращения. Если же регулирование производится при условии *постоянства мощности двигателя* ($P_{\text{эм}} = M\omega_1 = \text{const}$), то подводимое напряжение следует изменять в соответствии с законом

$$U'_1 = U_1 \sqrt{f'_1 / f_1}. \quad (15.6)$$

Частотное регулирование двигателей позволяет плавно изменять частоту вращения в широком диапазоне (до 12:1). Однако источники питания с регулируемой частотой тока удорожают установку. Поэтому частотное регулирование до последнего времени применялось в основном для одновременного регулирования группы двигателей, работающих в одинаковых условиях (например, рольганговых двигателей). Но благодаря развитию силовой полупроводниковой техники в последние годы созданы устройства частотного регулирования асинхронными двигателями, технико-экономические показатели которых позволяют применять их для индивидуального регулирования асинхронными двигателями.

Использование асинхронных двигателей, укомплектованных такими устройствами для частотного регулирования, наиболее целесообразно в пожаро- и взрывоопасных средах (химическая и нефтеперерабатывающая промышленность), где применение коллекторных двигателей (см. гл. 29) недопустимо.

Регулирование частоты вращения изменением числа полюсов обмотки статора. Этот способ регулирования частоты вращения дает ступенчатую регулировку. Так, при $f_1 = 50$ Гц и $p = 1 \div 5$ пар полюсов можно получить следующие синхронные частоты вращения: 3000, 1500, 1000, 750, 600 об/мин.

Изменять число полюсов в обмотке статора можно либо укладкой на статоре двух обмоток с разным числом полюсов, либо укладкой на статоре одной обмотки, конструкция которой позволяет путем переключения катушечных групп получать различное число полюсов. Последний способ получил наибольшее применение.

Принцип преобразования четырехполюсной обмотки в двухполюсную (для одной фазы) показан на рис. 15.12: при последовательном согласном соединении двух катушек возбуждаемое или магнитное поле образует четыре полюса (рис. 15.12, а); при последовательном встречном (рис. 15.12, б) или параллельном соединении (рис. 15.12, в) — два полюса. Таким образом, принцип образования полюсно переключаемой обмотки основан на том, что каждая фаза обмотки делится на части (катушечные

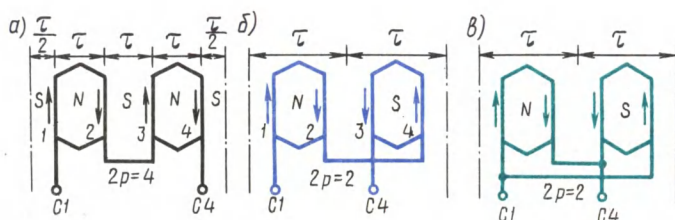


Рис 15.12 Схемы включения обмотки статора на разное число полюсов

группы), изменяя схему соединения которых получают разное число полюсов.

Возможны два режима работы асинхронных двигателей с полюсно переключаемыми обмотками:

режим постоянного момента (рис. 15.13, а) —

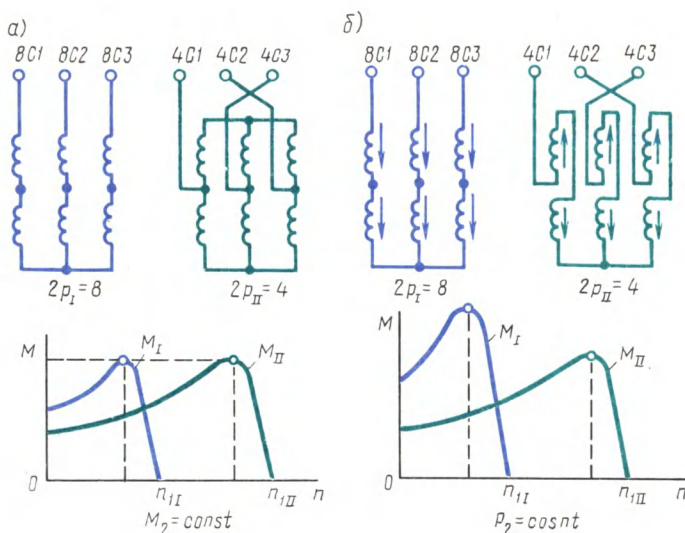


Рис 15.13 Схемы переключения числа полюсов и механические характеристики в режимах постоянного момента (а) и постоянной скорости (б)

при переключении двигателя с одной частоты вращения на другую вращающий момент на валу двигателя M_2 остается неизменным, а мощность P_2 изменяется пропорционально частоте вращения n_2 :

$$P_2 = 0,105M_2n_2; \quad (15.7)$$

режим постоянной мощности (рис. 15.13, б) — при переключении двигателя с одной частоты вращения на другую мощность P_2 остается примерно одинаковой, а момент на валу M_2 изменяется соответственно изменению частоты вращения n_2 :

$$M_2 = 9,55P_2/n_2. \quad (15.8)$$

Если на статоре расположить две полюсно переключаемые обмотки, то получим четырехскоростной двигатель. Однако возможно применение и одной обмотки, допускающей путем переключения катушечных групп получение до четырех вариантов различных чисел полюсов. Например, асинхронный двигатель типа 4A180M12/8/6/4 имеет на статоре обмотку, допускающую переключение на 12, 8, 6, 4 полюса.

Регулирование частоты вращения изменением числа полюсов на статоре применяют исключительно в асинхронных двигателях с короткозамкнутым ротором, так как число полюсов в обмотке этого ротора всегда равно числу полюсов статора и для изменения частоты вращения достаточно изменить число полюсов в обмотке статора. В случае же фазного ротора пришлось бы и на роторе применить полюсно переключаемую обмотку, что привело бы к недопустимому усложнению двигателя.

Контрольные вопросы

1. Какими показателями характеризуются пусковые свойства асинхронных двигателей?
2. Каковы достоинства и недостатки пусковых свойств асинхронных двигателей?
3. Как лучше, с точки зрения улучшения пусковых свойств, уменьшить пусковой ток: снижением подводимого к двигателю напряжения или увеличением активного сопротивления в цепи обмотки ротора?
4. Каковы достоинства и недостатки пуска асинхронных двигателей непосредственным включением в сеть?
5. Какие существуют способы пуска асинхронных двигателей при пониженном напряжении?
6. В чем сущность эффекта вытеснения тока и почему он возникает при пуске двигателя и почти исчезает при его работе?
7. Почему бутылочная форма паза ротора способствует лучшему проявлению эффекта вытеснения тока?
8. Перечислите способы регулирования частоты вращения асинхронных двигателей и дайте им сравнительную оценку.
9. Почему при частотном регулировании частоты вращения одновременно с частотой тока необходимо изменять напряжение?

§ 16.1. Принцип действия и пуск однофазного асинхронного двигателя

По своему устройству однофазный асинхронный двигатель аналогичен трехфазному и состоит из статора, в пазах которого уложена однофазная обмотка (см. рис. 8.8), и короткозамкнутого ротора. Особенность работы однофазного асинхронного двигателя заключается в том, что при включении однофазной обмотки статора $C1—C2$ в сеть (рис. 16.1) МДС статора создает не вращающийся, а *пульсирующий* магнитный поток (см. § 9.4) с амплитудой Φ_{\max} , изменяющейся от $+\Phi_{\max}$ до $-\Phi_{\max}$. При этом ось магнитного потока остается неподвижной в пространстве.

Для объяснения принципа действия однофазного двигателя пульсирующий поток Φ_{\max} разложим на два вращающихся в противоположные стороны потока $\Phi_{\text{пр}}$ и $\Phi_{\text{обр}}$ (рис. 16.2), каждый из которых равен $0,5\Phi_{\max}$ и вращается с частотой (об/мин)

$$n_{\text{пр}} = n_{\text{обр}} = f_1 60 / p = n_1.$$

Условимся считать поток $\Phi_{\text{пр}}$, вращающийся в направлении вращения ротора, *прямым*, а поток $\Phi_{\text{обр}}$ — *обратным*. Допустим, что ротор двигателя вращается против часовой стрелки, т. е. в направлении потока $\Phi_{\text{пр}}$.

Частота вращения ротора n_2 меньше частоты вращения магнитного поля статора n_1 , поэтому скольжение ротора относительно вращающегося потока $\Phi_{\text{пр}}$ будет

$$s_{\text{пр}} = (n_1 - n_2) / n_1 = s. \quad (16.1)$$

Обратный поток $\Phi_{\text{обр}}$ вращается противоположно ротору, поэтому частота вращения ротора n_2 относительно $\Phi_{\text{обр}}$ — отрицательная. В этом случае скольжение ротора относительно $\Phi_{\text{обр}}$ определится выражением

$$S_{обр} = \frac{n_1 - (-n_2)}{n_1} = \frac{n_1 + n_2}{n_1} = \frac{n_1 + n_1 - n_1 + n_2}{n_1} =$$

$$= \frac{2n_1}{n_1} - \frac{n_1 - n_2}{n_1} = 2 - s. \quad (16.2)$$

Прямое поле наводит в обмотке ротора ЭДС $E_{2пр}$, а обратное поле — ЭДС $E_{2обр}$. Эти ЭДС создают в обмотке ротора токи $I'_{2пр}$ и $I'_{2обр}$.

Известно, что частота тока в роторе пропорциональна скольжению ($f_2 = sf_1$). Так как $s_{пр} < s_{обр}$, то частота тока $I'_{2обр}$ намного больше частоты тока $I'_{2пр}$. Так, для однофазного двигателя с $n_1 = 1500$ об/мин, $n_2 = 1450$ об/мин и $f_1 = 50$ Гц получим:

$$s_{пр} = (1500 - 1450)/1500 = 0,033; \quad f_{2пр} = 0,033 \cdot 50 = 1,8 \text{ Гц};$$

$$s_{обр} = (1500 + 1450)/1500 = 1,96; \quad f_{2обр} = 1,96 \cdot 50 = 98 \text{ Гц}.$$

Индуктивное сопротивление обмотки ротора току $I'_{2обр}$ во много раз больше ее активного сопротивления (потому что $f_{2обр} \gg f_{2пр}$). Ток $I'_{2обр}$ является почти чисто индуктивным, оказывающим сильное размагничивающее действие на обратное поле $\Phi_{обр}$. В результате обратное поле и обусловленный им момент $M_{обр}$ оказываются значительно ослабленными и ротор однофазного двигателя вращается в направлении прямого поля под действием момента

$$M = M_{пр} - M_{обр}, \quad (16.3)$$

где $M_{пр}$ — электромагнитный момент, обусловленный прямым полем.

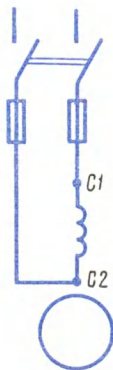


Рис 16.1. Схема включения однофазного асинхронного двигателя

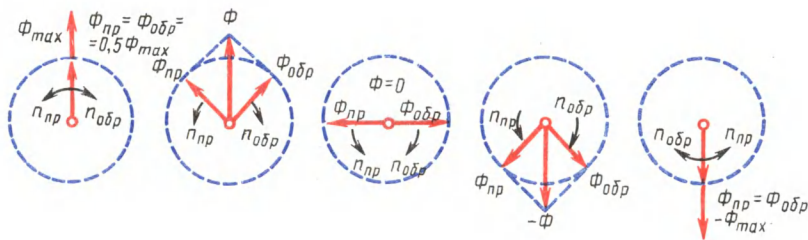


Рис 16.2 Разложение пульсирующего магнитного потока на два вращающихся

На рис. 16.3 представлен график зависимости вращающего момента M в функции скольжения $s = s_{пр}$. Этот график получен путем наложения графиков $M_{пр} = f(s_{пр})$ и $M_{обр} = f(s_{обр})$. При малых значениях скольжения s , что соответствует работе дви-

гателя в пределах номинальной нагрузки, вращающий момент M создается главным образом моментом $M_{\text{пр}}$.

При $s_{\text{пр}} = s_{\text{обр}} = 1$ моменты $M_{\text{пр}}$ и $M_{\text{обр}}$ равны, а поэтому пусковой момент однофазного двигателя равен нулю. Следовательно, однофазный асинхронный двигатель не может самостоятельно прийти во вращение при подключении его к сети, а нуждается в первоначальном толчке, так как лишь при $s \neq 1$ на ротор двигателя действует вращающий момент $M = M_{\text{пр}} - M_{\text{обр}}$.

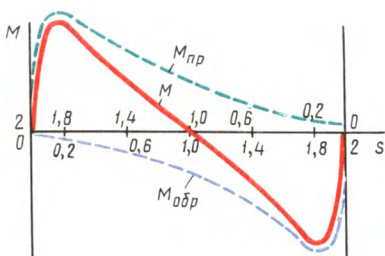


Рис. 16.3. Механические характеристики однофазного асинхронного двигателя

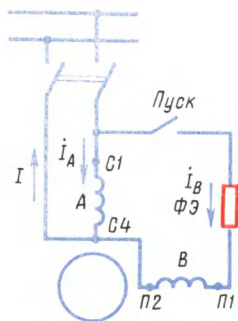


Рис. 16.4. Схема однофазного асинхронного двигателя с пусковой обмоткой

Приведенные на рис. 16.3 зависимости моментов показывают, что однофазный асинхронный двигатель не создает пускового момента. Чтобы этот момент появился, необходимо во время пуска двигателя создать в нем вращающееся магнитное поле. С этой целью на статоре двигателя помимо рабочей обмотки A применяют еще одну обмотку — пусковую B . Эти обмотки располагают на статоре обычно так, чтобы их оси были смещены относительно друг друга на 90 эл. град. Кроме того, токи в обмотках статора I_A и I_B должны быть сдвинуты по фазе относительно друг друга. Для этого в цепь пусковой обмотки включают фазосдвигающий элемент (ФЭ), в качестве которого могут быть применены активное сопротивление, индуктивность или емкость (рис. 16.4). По достижении частотой вращения значения, близкого к номинальному, пусковую обмотку B отключают с помощью реле. Таким образом, во время пуска двигатель является двухфазным, а во время работы — однофазным.

Для получения вращающегося магнитного поля посредством двух обмоток на статоре, смещенных относительно друг друга на 90 эл. град, необходимо соблюдать следующие условия (рис. 16.5):

а) МДС рабочей и пусковой обмоток \dot{F}_A и \dot{F}_B должны быть равны и сдвинуты в пространстве относительно друг друга на 90 эл. град;

б) токи в обмотках статора I_A и I_B должны быть сдвинуты по фазе относительно друг друга на 90° .

При *строгом* соблюдении указанных условий вращающееся поле статора является *круговым*, что соответствует наибольшему вращающему моменту. При *частичном* нарушении какого-либо из условий поле статора становится *эллиптическим*, содержащим обратную составляющую (см. рис. 9.5, б). Обратная составляющая поля создает тормозной момент и ухудшает пусковые свойства двигателя.

Из векторных диаграмм, приведенных на рис. 16.6, видно, что активное сопротивление и индуктивность в качестве ФЭ не обеспечивают получения фазового сдвига между токами в 90° . Лишь только емкость C в качестве ФЭ обеспечивает фазовый сдвиг $\psi = 90^\circ$. Значение этой емкости выбирают таким, чтобы ток пусковой обмотки I_B в момент пуска ($s=1$) опережал по фазе напряжение \dot{U}_B на угол φ_B , дополняющий угол φ_A до 90° :

$$\psi = \varphi_A + \varphi_B = 90^\circ.$$

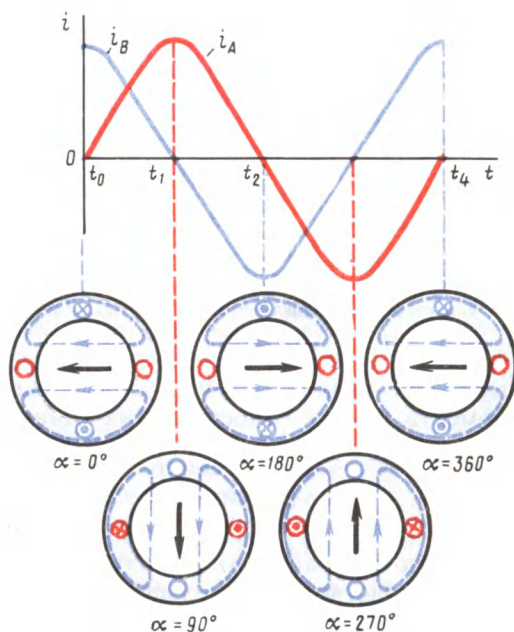


Рис 16.5 Получение вращающегося магнитного поля двухфазной системой токов

Если при этом обе обмотки создают одинаковые по значению МДС, то в начальный период пуска вращающееся поле окажется круговым и двигатель будет развивать значительный начальный пусковой момент. Однако применение емкости в качестве ФЭ часто ограничивается значительными габаритами конденсаторов, тем более что для получения кругового поля требуются конденсаторы значительной емкости. Например, для однофазного двигателя мощностью 200 Вт необходима емкость 30 мкФ при рабочем напряжении 300—500 В.

Получили распространение однофазные двигатели с активным сопротивлением в качестве ФЭ. При этом повышенное активное сопротивление пусковой обмотки достигается тем, что она выполняется проводом уменьшенного сечения (по сравнению с проводом рабочей обмотки). Так как эта обмотка включена на непродолжительное время (обычно несколько секунд), то такая ее кон-

струкция вполне допустима. Пусковой момент таких двигателей обычно не превышает номинального, но это вполне приемлемо при пуске двигателей при небольшой нагрузке на валу.

Применение емкости в качестве ФЭ позволяет получить пусковой момент $M_{\text{п}} = (1,6 \div 2,0) M_{\text{ном}}$. На рис. 16.6, з приведены механические характеристики однофазного асинхронного двига-

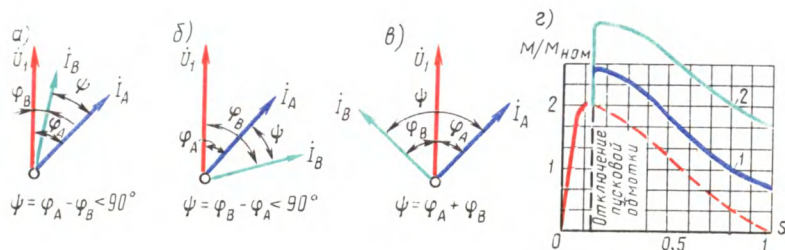


Рис 16.6. Сравнение свойств фазосмещающих элементов:

а — активное сопротивление, б — индуктивность, в — емкость, г — механические характеристики двигателя при различных фазосмещающих элементах, 1 — активное сопротивление, 2 — емкость

теля при различных ФЭ. Для большей наглядности значения момента даны в относительных единицах.

§ 16.2. Асинхронные конденсаторные двигатели

Асинхронный конденсаторный двигатель имеет на статоре две обмотки, занимающие одинаковое число пазов и сдвинутые в пространстве относительно друг друга на 90 эл. град. Одну из обмоток — главную — включают непосредственно в однофазную сеть, а другую — вспомогательную — включают в эту же сеть, но через рабочий конденсатор $C_{\text{раб}}$ (рис. 16.7, а).

В отличие от рассмотренного ранее однофазного асинхронного двигателя в конденсаторном двигателе вспомогательная обмотка после пуска не отключается и остается включенной в течение всего периода работы, при этом емкость $C_{\text{раб}}$ создает фазовый сдвиг между токами I_A и I_B .

Таким образом, если однофазный асинхронный двигатель по окончании процесса пуска работает с пульсирующей МДС статора, то конденсаторный двигатель — с вращающейся. Поэтому конденсаторные двигатели по своим свойствам приближаются к трехфазным двигателям.

Необходимая для получения кругового вращающегося поля емкость (мкФ)

$$C_{\text{раб}} = 1,6 \cdot 10^5 I_A \sin \varphi_A / (f_1 U_A k^2), \quad (16.4)$$

при этом отношение напряжений на главной U_A и на вспомогательной U_B обмотках должно быть

$$U_A / U_B = \tan \varphi_A \neq 1.$$

Здесь φ_A — угол сдвига фаз между током I_A и напряжением \dot{U}_A при круговом поле; $k = \omega_B k_B / (\omega_A k_A)$ — коэффициент трансформации, представляющий собой отношение эффективных чисел витков вспомогательной и главной обмоток; k_A и k_B — обмоточные коэффициенты обмоток статора.

Анализ (16.4) показывает, что при заданных коэффициенте трансформации k и отношении напряжений U_A/U_B емкость $C_{раб}$

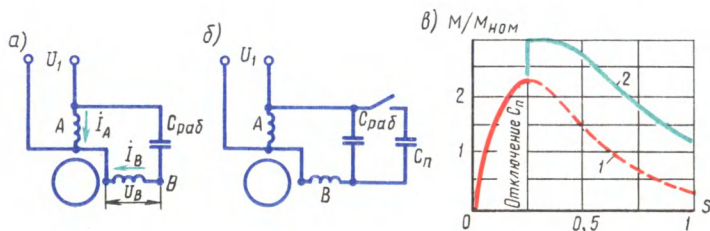


Рис 16.7. Конденсаторный двигатель:

а — с рабочей емкостью, б — с рабочей и пусковой емкостями, в — механические характеристики, 1 — при рабочей емкости, 2 — при рабочей и пусковой емкостях

обеспечивает получение кругового вращающегося поля лишь при одном, вполне определенном режиме работы двигателя. Если же изменится режим (нагрузка), то изменятся и ток I_A и фазовый угол φ_A , а следовательно, и $C_{раб}$, соответствующая круговому полю. Таким образом, если нагрузка двигателя отличается от расчетной, то вращающееся поле двигателя становится эллиптическим и рабочие свойства двигателя ухудшаются. Обычно расчет $C_{раб}$ ведут для номинальной нагрузки или близкой к ней.

Обладая сравнительно высокими КПД и коэффициентом мощности ($\cos \varphi_1 = 0,80 \div 0,95$), конденсаторные двигатели имеют неудовлетворительные пусковые свойства, так как емкость $C_{раб}$ обеспечивает круговое поле лишь при расчетной нагрузке, а при пуске двигателя поле статора эллиптическое. При этом пусковой момент обычно не превышает $0,5M_{ном}$.

Для повышения пускового момента параллельно емкости $C_{раб}$ включают емкость $C_{пуск}$, называемую *пусковой* (рис. 16.7, б). Величину $C_{пуск}$ выбирают, исходя из условия получения кругового поля статора при пуске двигателя, т. е. получения наибольшего пускового момента. По окончании пуска емкость $C_{пуск}$ следует отключить, так как при небольших скольжениях в цепи обмотки статора, содержащей емкость C и индуктивность L , возможен резонанс на напряжениях, из-за чего напряжение на обмотке и на конденсаторе может в два-три раза превысить напряжение сети.

При выборе типа конденсатора следует помнить, что его рабочее напряжение определяется амплитудным значением синусоидального напряжения, приложенного к конденсатору U_c . При

круговом вращающемся поле это напряжение (U) превышает напряжение сети U_1 и определяется выражением

$$U_c = U_1 \sqrt{1 + k^2}. \quad (16.5)$$

Конденсаторные двигатели иногда называют *двухфазными*, так как обмотка статора этого двигателя содержит две фазы.

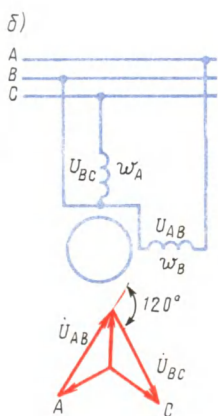
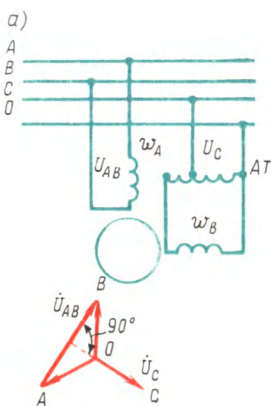


Рис. 16.8 Схемы включения двухфазного двигателя в трехфазную сеть

Двухфазные двигатели могут работать и без конденсатора или другого ФЭ, если к фазам обмотки статора подвести двухфазную систему напряжений (два напряжения, одинаковые по значению и частоте, но сдвинутые по фазе относительно друг друга на 90°). Для получения двухфазной системы напряжений можно воспользоваться трехфазной линией с нулевым проводом, включив обмотки статора так, как показано на рис. 16.8, а: одну обмотку

— на линейное напряжение U_{AB} , а другую — на фазное напряжение U_C через автотрансформатор АТ (для выравнивания значения напряжений на фазных обмотках двигателя). Возможно включение двигателя и без нулевого провода (рис. 16.8, б), но в этом случае напряжения на обмотках двигателя будут сдвинуты по фазе на 120° , что приведет к некоторому ухудшению рабочих свойств двигателя.

§ 16.3. Работа трехфазного

асинхронного двигателя от однофазной сети

Трехфазный асинхронный двигатель может быть использован для работы от однофазной сети. В этом случае такой двигатель включают как конденсаторный по одной из схем рис. 16.9.

Значение рабочей емкости $C_{раб}$ (мкФ) при частоте переменного тока 50 Гц можно ориентировочно определить по одной из формул: для схемы, изображенной на рис. 16.9 а,

$$C_{раб} \approx 2700 I_1 / U_c; \quad (16.6)$$

на рис. 16.9, б

$$C_{раб} \approx 2800 I_1 / U_c; \quad (16.7)$$

на рис. 16.9, в

$$C_{\text{раб}} \approx 4800 I_1 / U_c. \quad (16.8)$$

Здесь I_1 — номинальный (фазный) ток в обмотке статора, А; U_c — напряжение однофазной сети, В.

При подборе рабочей емкости необходимо следить за тем, чтобы ток в фазных обмотках статора при установившемся режиме работы не превышал номинального значения.

Если пуск двигателя происходит при значительной нагрузке на валу, то параллельно рабочей емкости $C_{\text{раб}}$ следует включить пусковую емкость

$$C_n = (2,5 \div 3,0) C_{\text{раб}}. \quad (16.9)$$

В этом случае пусковой момент становится равным номинальному. При необходимости дальнейшего увеличения пускового момента следует принять еще большее значение пусковой емкости ($C_n \leq 8 C_{\text{раб}}$).

Большое значение для надежной работы асинхронного двигателя в качестве конденсорного имеет правильный выбор конденсатора по напряжению. Следует иметь в виду, что габариты и стоимость конденсаторов определяются не только их емкостью, но и рабочим напряжением. Поэтому выбор конденсатора с большим «запасом» по напряжению ведет к неоправданному увеличению габаритов и стоимости установки, а включение конденсаторов на напряжение, превышающее допустимое рабочее напряжение, приводит к преждевременному выходу из строя конденсаторов, а следовательно, и всей установки.

При определении напряжения на конденсаторе при включении двигателя по одной из рассмотренных схем необходимо иметь в виду следующее: при включении двигателя по схеме рис. 16.9, а напряжение на конденсаторе равно $U_k \approx 1,3 U_c$, а при включении двигателя по схемам рис. 16.9, б, в это напряжение равно $U_k \approx 1,15 U_c$.

В схемах конденсаторных двигателей обычно применяют бумажные конденсаторы в металлическом герметичном корпусе прямоугольной формы типов КБГ — МН или БГТ (термостойкие). На корпусе конденсатора указаны емкость и рабочее напряжение постоянного тока. При включении такого конденсатора в сеть переменного тока следует уменьшить примерно в два раза допустимое рабочее напряжение. Например, если на конденса-

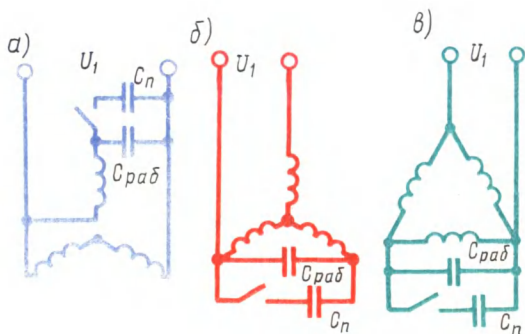


Рис. 16.9. Схемы соединения обмотки статора трехфазного асинхронного двигателя при включении его в однофазную сеть

горе указано напряжение 600 В, то рабочее напряжение переменного тока следует считать 300 В.

Пример 16.1. Определить значение рабочей емкости $C_{\text{раб}}$, необходимой для работы трехфазного асинхронного двигателя типа АВ052-4 от однофазной сети напряжением $U_c = 220$ В. Номинальные данные двигателя: $P_{\text{ном}} = 80$ Вт, напряжение 200/380 В, ток сети $I_{1\text{ном}} = 0,56/0,32$ А.

Решение. Напряжение сети 220 В соответствует соединению обмотки статора в треугольник, поэтому принимаем схему включения двигателя в однофазную сеть по схеме рис. 16.9, а. Номинальный (фазный) ток статора $I_1 = 0,32$ А.

Рабочая емкость по (16.8) $C_{\text{раб}} = 4800 \cdot 0,32 / 220 = 6,98$ мкФ. При этом рабочее напряжение конденсатора $U_k \approx 1,15 \cdot 220 = 250$ В. Принимаем в качестве $C_{\text{раб}}$ батарею из двух конденсаторов типа КБГ — МН емкостью по 4 мкФ каждый (емкость батареи 8 мкФ) на рабочее напряжение постоянного тока 600 В.

При использовании трехфазного двигателя в однофазном конденсаторном режиме его полезная мощность обычно не превышает 70—80 % номинальной мощности, а при однофазном режиме без рабочей емкости полезная мощность двигателя не превышает 60 % его номинальной мощности.

§ 16.4. Однофазный двигатель с экранированными полюсами

Для создания пускового момента в асинхронных двигателях малой мощности применяют конструкцию с явно выраженными экранированными полюсами (рис. 16.10, а), на которых распо-

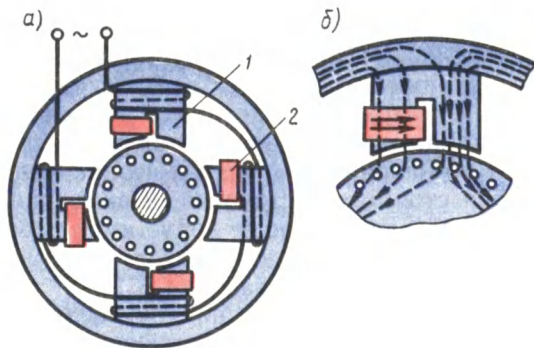


Рис 16.10. Асинхронный двигатель с экранированными полюсами

лагают однофазную обмотку. Полюсы 1 имеют расщепленную на две части конструкцию, при этом на одну из частей каждого полюса надет короткозамкнутый виток (экран) в виде медного кольца 2. Ротор двигателя короткозамкнутый.

При включении обмотки статора в сеть пульсирующий поток наводит в короткозамкнутом витке (экране) ток, препятствующий нарастанию магнитного потока и вызывающий фазовый сдвиг потока в этой части полюса (рис. 16.10, б). В результате

потоки в обеих частях каждого полюса оказываются сдвинутыми по фазе относительно друг друга, что, в свою очередь, приводит к образованию в двигателе вращающегося магнитного поля. Часто для улучшения пусковых и рабочих характеристик двигателя между полюсами помещают магнитные шунты в виде стальных пластинок, замыкающих края полюсных наконечников полюсов статора.

Асинхронные двигатели с экранированными полюсами универсальны — ротор всегда вращается в направлении от неэкранированной части полюса к экранированной. Обычно эти двигатели изготавливают мощностью не более 100 Вт и применяют для привода устройств, не требующих большого пускового момента (электропривод вентиляторов, электропроигрывателей и т. п.). Отечественной промышленностью изготавливаются асинхронные двигатели с экранированными полюсами серии АД...Е, предназначенные для привода приборов с вентиляторной нагрузкой. Эти двигатели мощностью от 2,5 до 25 Вт рассчитаны на работу от сети напряжением 220 В частотой 50 Гц. Кратность пускового момента этих двигателей $M_n/M_{ном} = 0,5 \div 0,6$.

Контрольные вопросы

1. Почему однофазный двигатель не создает пускового момента?
2. С какой целью в цепь пусковой обмотки двигателя включают ФЭ?
3. Чем отличается однофазный двигатель от конденсаторного?
4. Как можно повысить пусковой момент в конденсаторном двигателе?
5. С какой целью в асинхронном двигателе с экранированными полюсами эти полюсы делают расщепленными?

§ 17.1. Индукционный регулятор напряжения и фазорегулятор

Индукционный регулятор напряжения (ИР) представляет собой асинхронную машину с фазным ротором, предназначенную для плавного регулирования напряжения. Рассмотрим работу трехфазного ИР, получившего преимущественное применение. Ротор ИР заторможен посредством червячной передачи, которая не только удерживает его в заданном положении, но и позволяет плавно поворачивать его относительно статора. Обмотки статора и ротора в ИР имеют автотрансформаторную связь (рис. 17.1, а), поэтому ИР иногда называют *поворотным автотрансформатором*.

Напряжение сети U_1 подводится к обмотке ротора, при этом ротор создает вращающееся магнитное поле, наводящее в обмотке ротора ЭДС $\dot{E}_1 = -\dot{U}_1$, а в обмотке статора — ЭДС \dot{E}_2 (рис. 17.2, а).

Фазовый сдвиг этих ЭДС относительно друг друга зависит от взаимного пространственного положения осей обмоток статора и ротора, определяемого углом α . При $\alpha = 0$ оси обмоток совпадают, вращающееся поле одновременно сцепляется с обеими обмотками и ЭДС \dot{E}_1 и \dot{E}_2 совпадают по фазе (при этом \dot{E}_2 и \dot{U}_1 находятся в противофазе). При $\alpha = 180$ эл. град ЭДС \dot{E}_1 и \dot{E}_2 окажутся в противофазе (\dot{E}_2 и \dot{U}_1 совпадают по фазе). Если пренебречь внутренними падениями напряжения, то напряжение на выходе ИР определяется геометрической суммой:

$$\dot{U}_2 = \dot{U}_1 + \dot{E}_2. \quad (17.1)$$

При повороте ротора концы векторов \dot{E}_2 и \dot{U}_2 описывают окружность (рис. 17.2, б), при этом \dot{U}_2 изменяется от $\dot{U}_{2\min} = \dot{U}_1 - \dot{E}_2$ при $\alpha = 0$ до $\dot{U}_{2\max} = \dot{U}_1 + \dot{E}_2$ при $\alpha = 180$ эл. град (рис. 17.2, в). Поворот ротора осуществляется либо вручную штурвалом, либо дистанционно включением исполнительного двигателя.

ИР применяются во всех случаях, где необходима плавная регулировка напряжения, например в лабораторных исследованиях.

Фазорегулятор (ФР). Предназначен для изменения фазы вторичного напряжения относительно первичного при неизменном вторичном напряжении. В отличие от ИР обмотки ротора и статора ФР электрически не соединены друг с другом, т. е. имеют трансформаторную связь (см. рис. 17.1, б), поэтому ФР иногда называют *поворотным трансформатором*.

Изменение фазы вторичного напряжения осуществляется поворотом ротора относительно статора. Первичной обмоткой в ФР обычно является обмотка статора. Фазорегуляторы применяются в устройствах автоматики (для фазового управления) и измерительной технике (для проверки ваттметров и счетчиков).

§ 17.2. Асинхронный преобразователь частоты

Как известно, частота тока в роторе асинхронной машины зависит от скольжения ($f_2 = sf_1$). Это свойство асинхронных машин используется в асинхронных преобразователях частоты (АПЧ).

Обмотку статора АПЧ подключают к трехфазной сети с частотой f_1 , а ротор приводят во вращение приводным двигателем (ПД) в направлении против вращения поля статора (рис. 17.3). В этом случае в обмотке ротора наводится ЭДС E_2 частотой $f_2 > f_1$, так как скольжение $s > 1$. Указанная ЭДС через контактные кольца и щетки создает на выходе АПЧ напряжение. Если

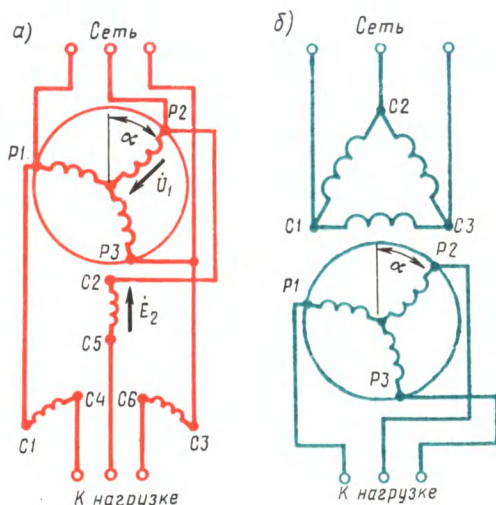


Рис. 17.1. Схемы соединения индукционного регулятора напряжения (а) и фазорегулятора (б)

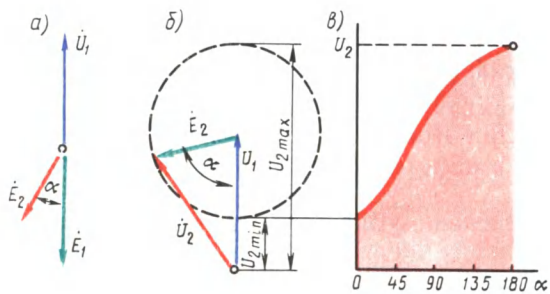


Рис. 17.2. Векторные диаграммы индукционного регулятора напряжения

требуется получить на выходе АПЧ напряжение частотой $f_2 < f_1$, то ротор вращают в направлении вращения поля статора с частотой вращения $n_2 < n_1$ (при этом $s < 1$).

Мощность на выходе АПЧ складывается из электромагнитной мощности $P_{эм}$, передаваемой в обмотку ротора вращающимся полем статора, и механической мощности приводного двигателя $P_{пд}$, т. е. $P_2 = P_{эм} + P_{пд}$. Соотношение между мощностями $P_{эм}$

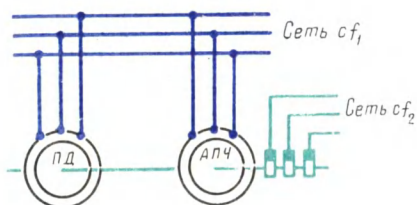


Рис 17.3. Схема включения асинхронного преобразователя частоты

и $P_{пд}$ зависит от скольжения. Так, при работе АПЧ со скольжением $s = 2$ эти мощности равны и ротор половину мощности получает от статора, а половину — от приводного двигателя. При необходимости плавной регулировки частоты на выходе АПЧ в качестве приводного двигателя применяют электродвигатель с плавной регулировкой частоты вращения,

например двигатель постоянного тока (см. гл. 29). Однако чаще всего АПЧ используют для получения определенной частоты тока f_2 и в качестве приводного применяют асинхронный или синхронный (см. гл. 22) двигатель.

§ 17.3. Электрические машины синхронной связи

В современной технике часто возникает необходимость в синхронизации вращения или поворота осей механизмов. Эта задача успешно решается с помощью системы синхронной связи.

Синхронной связью называют электрическую связь, которая обеспечивает одновременное вращение или одновременный поворот двух (или более) находящихся на расстоянии друг от друга и механически не связанных валов. Распространены два вида систем синхронной связи: система «электрического вала» (синхронного вращения) и система «передачи угла» (синхронного поворота).

Системы электрического вала применяют для синхронного (одновременного) вращения нескольких механизмов, имеющих значительные нагрузочные моменты на валу. Для привода таких механизмов применяют обычные асинхронные двигатели с фазным ротором. При этом обмотки роторов электрически соединяют друг с другом, а обмотки статоров включают в общую сеть трехфазного тока.

Системы передачи угла (синхронного поворота) применяют для дистанционного управления или контроля положения в пространстве каких-либо устройств. Обычно такая система выполняется на небольших асинхронных машинах (однофазных или трехфазных), называемых *сельсинами*.

Наибольшее применение получили однофазные сельсины. Такой сельсин имеет однофазную обмотку возбуждения и трехфазную обмотку синхронизации, соединенную звездой. Одна из обмоток располагается на роторе, а другая — на статоре.

Простейшая синхронная передача, называемая *индикаторной*, содержит два сельсина: сельсин-датчик (СД) и сельсин-приемник (СП) (рис. 17.4). При включении обмоток возбуждения в сеть

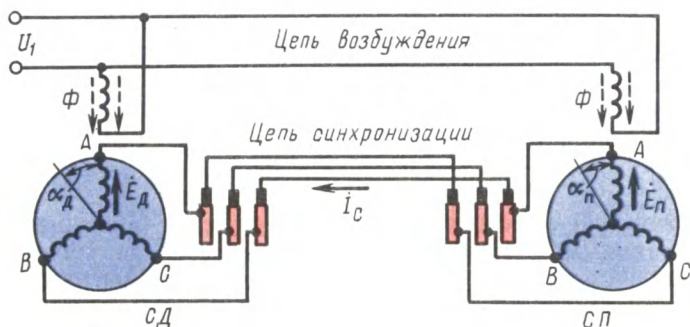


Рис. 17.4 Схема синхронной передачи

на напряжение U_1 в каждом из сельсинов создается магнитный поток возбуждения Φ . В обмотке синхронизации СД этот поток наводит ЭДС E_d , а в обмотке синхронизации СП — ЭДС E_n . Эти ЭДС направлены встречно. Если роторы СД и СП занимают одинаковые положения относительно своих статоров, то $E_d = E_n$ и система находится в равновесии. Если же ротор СД повернуть на некоторый угол α_d , то ЭДС в обмотке синхронизации СД изменится, равенство ЭДС нарушится ($E_d \neq E_n$) и в цепи синхронизации появится результирующая ЭДС

$$\Delta \dot{E} = \dot{E}_d + \dot{E}_n, \quad (17.2)$$

которая создаст ток синхронизации

$$I_c = \Delta E / (Z_d + Z_n + Z_l), \quad (17.3)$$

где Z_d , Z_n и Z_l — сопротивления обмоток синхронизации СД и СП и сопротивление линейных проводов, Ом.

Ток синхронизации датчика взаимодействует с потоком возбуждения и создает на роторе СД электромагнитный момент, направленный встречно повороту ротора датчика, т. е. момент, противодействующий механизму, поворачивающему ротор СД на заданный угол α_d .

Ток синхронизации СП также взаимодействует с магнитным потоком возбуждения и создает электромагнитный момент, направленный в сторону поворота ротора СД. Под действием этого момента, называемого *синхронизирующим*, ротор приемника совершает поворот на угол $\alpha_n \approx \alpha_d$. После этого ротор СП займет такое же положение относительно статора, что и ротор СД, и в

системе восстановится равновесие, так как ЭДС E_{Π} и E_d станут одинаковыми. Если ротор СД вновь повернуть на некоторый угол, то этот же угол поворота будет воспроизведен приемником. При вращении ротора датчика ротор приемника также будет вращаться с такой же частотой. Однако угол поворота, установленный СД, воспроизводится ротором СП с некоторой ошибкой — *рассогласованием*. Для поворота ротора приемника необходимо, чтобы синхронизирующий момент, действующий на этот ротор, преодолел противодействующий момент, обусловленный силами трения в подшипниках и на контактных кольцах, а иногда еще и полезной нагрузкой на валу приемника. Ошибка в воспроизведении угла поворота оценивается *углом рассогласования*

$$\theta = \alpha_d - \alpha_{\Pi}. \quad (17.4)$$

Ротор СП синхронно следует за ротором СД, но угол рассогласования между роторами сельсинов всегда имеется и тем больше, чем больше противодействующий момент на валу СП. Угол рассогласования обычно не превышает $2,5^\circ$, а у сельсинов высокой точности он не более $0,75^\circ$.

Значение синхронизирующего момента на роторе приемника

$$M_c = M_{c \max} \sin \theta, \quad (17.5)$$

где $M_{c \max}$ — максимальное значение синхронизирующего момента, соответствующее углу рассогласования 90° .

По конструкции сельсины разделяют на контактные, у которых обмотка на роторе соединена с внешней цепью через контактные кольца и щетки, и бесконтактные, не имеющие на роторе обмоток.

Контактные сельсины в принципе не отличаются от асинхронных двигателей с фазным ротором. На рис. 17.5 показано устройство контактного сельсина. Статор 1 и ротор 2 этого сельсина неявнополюсные, и поэтому обе обмотки сельсина распределенные. Наличие на роторе двух контактных колец 3 указывает на расположение на роторе обмотки возбуждения.

В некоторых конструкциях статор или ротор делают с явно выраженными полюсами, что способствует повышению синхронизирующего момента. Наличие контактных колец — основной недостаток контактных сельсинов, так как это ведет к неустойчивости параметров сельсина и снижению его надежности.

Наиболее совершенными являются бесконтактные сельсины, разработанные советскими учеными А. Г. Иосифьяном и Д. В. Свечарником. Эти сельсины не имеют скользящих контактов, так как их обе обмотки расположены на статоре (рис. 17.6). Ротор 5 бесконтактного сельсина представляет собой цилиндр из ферромагнитного материала, разделенный немагнитной прослойкой на две магнитно изолированные части — полюсы. Алюминий, который заливают в ротор, является магнитной изоляцией и одновременно материалом, скрепляющим части

ротора. С торцовых сторон сельсина расположены тороидальные сердечники 1, выполненные из тонколистовой электротехнической стали. Внутренняя поверхность этих сердечников расположена над ротором, а к их внешней поверхности примыкают стержни внешнего магнитопровода 4. Однофазную обмотку возбуждения сельсина выполняют в виде двух дисковых катушек 2, расположенных с противоположных сторон статора по оси сельсина

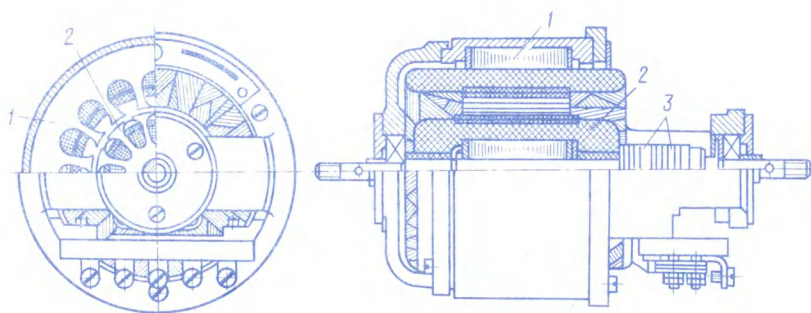


Рис 175. Устройство контактного сельсина

между обмоткой синхронизации 3 и тороидальными сердечниками.

В процессе работы сельсина пульсирующий магнитный поток возбуждения замыкается в магнитной системе сельсина, сцепляясь с трехфазной обмоткой синхронизации на статоре. Путь замыкания потока показан на рисунке пунктирной линией. Как видно из этого рисунка, магнитный поток, замыкаясь в магнитопроводе, проходит через воздушный зазор четыре раза. По этой причине для создания требуемого магнитного потока в бесконтактном сельсине необходима значительная МДС. Это является причиной повышенных габаритов бесконтактного сельсина по сравнению с контактным.

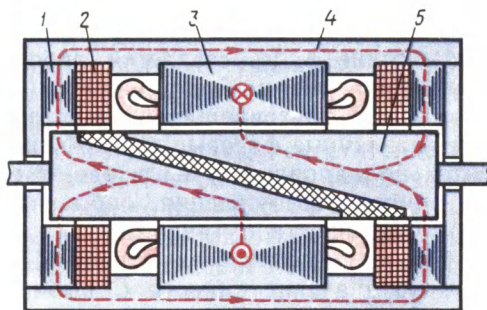


Рис. 176. Конструктивная схема бесконтактного сельсина

§ 17.4. Асинхронные исполнительные двигатели

В системах управления, регулирования и контроля широко применяются управляемые электродвигатели небольшой мощности. С помощью этих двигателей осуществляется преобразование электрического сигнала в механическое перемещение —

вращение вала. Такие электродвигатели называют *исполнительными* (ИД).

Характер требований, предъявляемых к исполнительным двигателям, определяется спецификой их работы: частые пуски, реверсы, постоянно изменяющаяся частота вращения. Основные требования — отсутствие *самохода*, т.е. самоторможение при снятии сигнала управления; широкий диапазон регулирования частоты вращения; линейность характеристик; большой пусковой момент; малая мощность управления; быстродействие (маломинерционность).

На статоре асинхронного исполнительного двигателя расположена двухфазная обмотка (см. § 16.2). Одна из фазных обмоток — обмотка возбуждения (ОВ) — постоянно включена в сеть с напряжением U_1 , а на другую — обмотку управления (ОУ) — напряжение (сигнал управления) U_c подается лишь при необходимости включения двигателя (рис. 17.7).

Для работы двухфазного ИД необходимо вращающееся магнитное поле, непременным условием возникновения которого является наличие пространственного и временного сдвигов между МДС фазных обмоток статора. Пространственный сдвиг указанных МДС обеспечивается конструкцией обмотки статора, при которой оси фазных обмоток сдвинуты в пространстве относительно друг друга обычно на угол 90 эл. град. Временной (фазный) сдвиг МДС создается либо питанием обмотки статора двухфазной системой напряжений (см. § 16.2), либо включением в цепь ОУ фазовращателя — устройства, позволяющего получать различные фазовые сдвиги напряжения на его выходе относительно напряжения на входе, т.е. относительно напряжения на обмотке возбуждения, либо включением последовательно в цепь ОВ емкости C (рис. 17.7).

Последний способ включения ИД применяют наиболее часто. Обычно значение емкости C выбирают из условия получения кругового поля при пуске двигателя. По окончании пускового периода двигатель работает с эллиптическим вращающимся полем.

В процессе управления двигателем изменяют сигнал U_c на ОУ, при этом меняется как значение (амплитуда) МДС этой обмотки, так и ее фазовый сдвиг относительно МДС обмотки возбуждения. Поэтому рассматриваемый способ управления ИД называют *амплитудно-фазовым*.

Одно из основных требований к ИД — отсутствие *самохода*. Известно, что обычные асинхронные двигатели имеют небольшое активное сопротивление обмотки ротора и работают с малым критическим скольжением (см. § 13.3). Такие двигатели непригодны в качестве исполнительных, так как они обладают само-

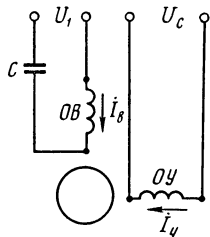


Рис. 17.7 Схема включения асинхронного исполнительного двигателя

ходом, т. е. при снятии сигнала управления двигатель будет продолжать работать как однофазный. Это иллюстрирует рис. 17.8, а, на котором точка А определяет режим работы двигателя с нагрузочным моментом $M_{ном}$ при наличии сигнала управления. При снятии сигнала управления поле статора становится пульсирующим (обмотка возбуждения постоянно включена в сеть) и ре-

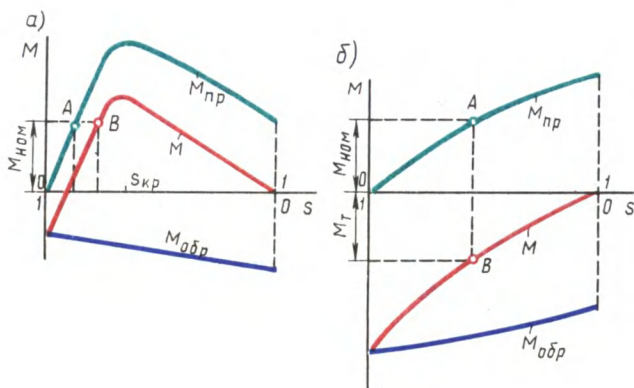


Рис. 17.8 Устранение самохода в асинхронном исполнительном двигателе

жим работы двигателя определяется точкой В на характеристике однофазного двигателя. При этом электромагнитный момент двигателя останется положительным. Если же увеличить активное сопротивление ротора, то форма кривых прямого $M_{пр}$, обратного $M_{обр}$ и результирующего $M = M_{пр} + M_{обр}$ моментов изменится (рис. 17.8, б): максимумы моментов $M_{пр}$ и $M_{обр}$ сместятся в область больших скольжений ($s_{кр} > 1$). Теперь после прекращения сигнала управления, т. е. при переходе двигателя в однофазный режим, электромагнитный момент становится отрицательным M_T (точка В) и оказывает на ротор тормозящее действие, не допуская самохода.

К исполнительным двигателям предъявляется также требование *малоинерционности* (быстродействия), т. е. при подаче сигнала управления ротор двигателя должен очень быстро достигать установившейся частоты вращения. Выполнению этого требования способствуют увеличение пускового момента, уменьшение синхронной частоты вращения поля статора и снижение момента инерции ротора. При повышенных частотах питающего напряжения (больших синхронных частотах вращения) ИД с ротором обычной (короткозамкнутой) конструкции из-за значительного момента инерции последнего не обладают требуемым быстродействием. В этом случае применяют асинхронные исполнительные двигатели с полым немагнитным ротором (рис. 17.9). Полый немагнитный ротор представляет собой тонкостенный

алюминиевый стакан 2, что, с одной стороны, обеспечивает ротору повышенное активное сопротивление, а с другой — весьма небольшой момент инерции.

Двигатель имеет два статора: внешний 1 с обмоткой и внутренний 3 без обмотки, входящий внутрь полого стакана ротора. Внутренний статор необходим для уменьшения магнитного сопротивления основному магнитному потоку.

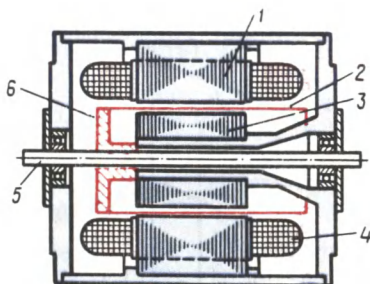


Рис. 17.9. Асинхронный двигатель с полым немагнитным ротором:

1 — внешний статор, 2 — стакан ротора, 3 — внутренний статор, 4 — обмотка статора, 5 — вал, 6 — втулка крепления стакана ротора

По сравнению с исполнительными двигателями обычной конструкции двигателя с полым немагнитным ротором имеют повышенные габариты и невысокий КПД. Это объясняется повышенным зазором между наружным и внутренним статорами, который складывается из толщины стенки стакана ротора и двух воздушных зазоров. Как известно, увеличение воздушного зазора способствует росту намагничивающего тока двигателя и снижению его КПД.

§ 17.5. Линейные асинхронные двигатели

Подвижная часть линейного двигателя совершает поступательное движение, поэтому применение этих двигателей для привода рабочих машин с поступательным движением рабочего органа позволяет упростить кинематику механизмов, уменьшить потери в передачах и повысить надежность механизма в целом.

Возможны линейные двигатели четырех видов: электромагнитные (соленоидные), магнитоэлектрические (с применением постоянного магнита), электродинамические и асинхронные. Асинхронные (индукционные) линейные двигатели благодаря простоте конструкции и высокой надежности получили наибольшее применение.

Для объяснения принципа работы линейного асинхронного двигателя обратимся к асинхронному двигателю с вращательным движением ротора. Если статор этого двигателя (рис. 17.10, а) мысленно «разрезать» и «развернуть» так, чтобы он образовал дугу с углом α (рис. 17.10, б), то диаметр ротора увеличится. При этом мы получим асинхронный двигатель с дуговым статором. Частота вращения (об/мин) магнитного поля статора этого двигателя (синхронная частота)

$$n_1 = n_1^0 \alpha / (2\pi), \quad (17.6)$$

где n_1^0 — синхронная частота вращения обычного (до «разрезания») асинхронного двигателя, об/мин; α — угол дуги статора, рад.

Из (17.6) следует, что, изменяя угол α , можно получить дуговой асинхронный двигатель на любую синхронную частоту меньше частоты вращения n_1^0 . Дуговые двигатели применяют для безредукторного привода устройств, требующих небольших частот вращения, исключив применение сложного и трудоемкого редуктора.

Если же «разрезанный» статор развернуть в плоскость, то получим *асинхронный линейный двигатель* (рис. 17.10, в). Принципиальное конструктивное отличие линейного асинхронного двигателя от асинхронного двигателя с вращательным движением ротора состоит в том, что первичный элемент линейного двигателя (индуктор) создает не вращающееся, а бегущее магнитное поле и подвижная часть двигателя с короткозамкнутой обмоткой (или без нее), называемая *вторичным элементом*, перемещается вдоль своей оси. Скорость бегущего поля в линейном двигателе (м/с)

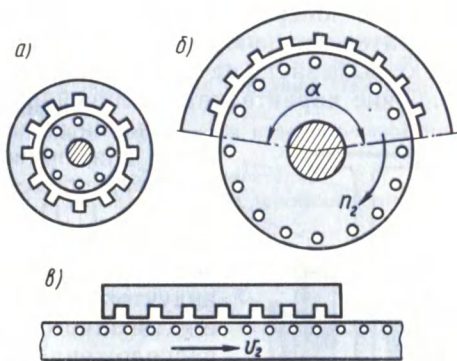


Рис 17.10. К понятиям о дуговом и линейном двигателях

$$v_1 = 2\tau f_1 = f_1 L_c / p, \quad (17.7)$$

где f_1 — частота тока в обмотке статора, Гц; τ — полюсное деление, м; L_c — длина статора (индуктора), м.

Принцип действия линейного асинхронного двигателя основан на том, что бегущее поле индуктора, сцепляясь с короткозамкнутой обмоткой вторичного элемента двигателя, наводит в ней ЭДС. Возникающие в стержнях этой обмотки токи взаимодействуют с бегущим полем индуктора и создают на индукторе и вторичном элементе электромагнитные силы, стремящиеся линейно переместить подвижную часть двигателя относительно неподвижной. В некоторых конструкциях линейных двигателей подвижной частью является индуктор, а в некоторых — вторичный элемент, называемый в этом случае *бегунком*. Если вторичный элемент линейного двигателя невозможно изготовить с короткозамкнутой обмоткой, то применяют вторичные элементы в виде полосы из меди, алюминия или ферромагнитной стали. Наиболее удовлетворительными получаются характеристики линейного двигателя при составном вторичном элементе, например выполненном в виде полосы из ферромагнитной стали, покрытой слоем меди.

Основной недостаток асинхронных двигателей с разомкнутым

статором — дуговых и линейных — явление *краевого эффекта*, представляющего собой комплекс электромагнитных процессов, обусловленных разомкнутой конструкцией статора. К нежелательным последствиям краевого эффекта в первую очередь следует отнести появление «паразитных» тормозных усилий, направленных против движения подвижной части двигателя, и возникновение поперечных сил, стремящихся сместить подвижную часть двигателя в поперечном направлении. Кроме того, краевой эффект вызывает ряд других нежелательных явлений, ухудшающих рабочие характеристики линейных двигателей.

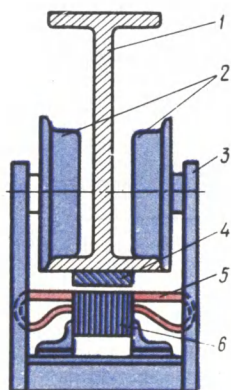


Рис. 17.11. Линейный асинхронный двигатель привода тележки подъемного крана

Линейные асинхронные двигатели применяют для привода заслонок, ленточных конвейеров, подъемно-транспортных механизмов. На рис. 17.11 показано устройство линейного асинхронного двигателя привода тележки подъемного крана. На тележке 3 расположен индуктор линейного двигателя, состоящий из шихтованного сердечника 6, в пазах которого расположена обмотка 5. Направляющая для колес 2 представляет собой стальную балку 1, к нижней части которой прикреплена стальная полоса 4. Бегущее магнитное поле индуктора наводит в стальной полосе 4 вихревые токи. Электромагнитные силы, возникающие в результате взаимодействия этих токов с магнитным полем индуктора, перемещают индуктор (тележку) вдоль стальной полосы 4.

Линейные асинхронные двигатели значительной мощности применяют на транспорте в качестве тяговых двигателей. Один из вариантов такого двигателя показан на рис. 17.12.

Здесь индуктор 2 двигателя подвешен к транспортному средству 1, а стальная полоса 3 установлена вертикально на основании пути между рельсами. В этой конструкции поперечная сила F_n , вызванная краевым эффектом, используется полезно, так как она уменьшает силу давления на несущие оси и колеса и, как следствие, уменьшает трение качения.

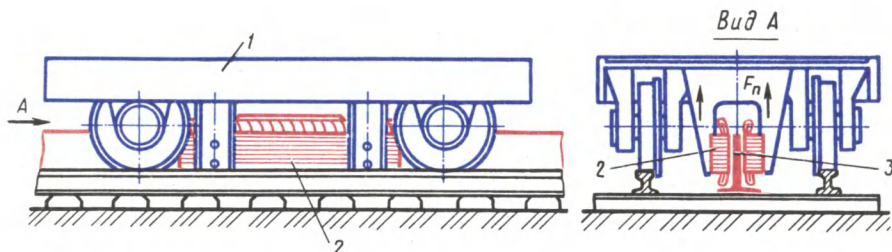


Рис. 17.12. Линейный асинхронный двигатель привода железнодорожного транспортного средства

Контрольные вопросы

1. В чем различие между схемами соединения индукционного регулятора напряжения и фазорегулятора?
2. Сколько раз напряжение на выходе ИР достигнет наибольшего значения за один оборот ротора, если обмотка имеет $2p=6$?
3. В каком направлении следует вращать ротор АПЧ, чтобы на выходе получить ЭДС частотой, большей частоты тока в сети?
4. Какую долю мощности на выходе АПЧ составит мощность приводного двигателя, если частота тока на входе АПЧ равна 50 Гц, а на выходе — 100 Гц?
5. Объясните работу сельсинов в индикаторной системе передачи. Чем вызвана ошибка в воспроизведении угла поворота?
6. Чем обеспечивается отсутствие самохода в асинхронном исполнительном двигателе?
7. Объясните принцип работы асинхронного линейного двигателя.
8. Что такое краевой эффект и каковы его нежелательные действия в линейном асинхронном двигателе?

§ 18.1. Низковольтные асинхронные двигатели

Асинхронные двигатели широко применяются во всех отраслях народного хозяйства. Объясняется это простотой их конструкции, надежностью в работе и удовлетворительными рабочими характеристиками. Общая мощность выпускаемых в СССР асинхронных двигателей за год составляет несколько миллионов киловатт.

Значительная часть асинхронных двигателей применяется для привода механизмов с неизменной частотой вращения. Так, например, более 80 % всех асинхронных двигателей общепромышленного назначения используют для привода вентиляторов, насосов, транспортеров и обрабатывающих станков — устройств, не требующих регулирования частоты вращения приводного двигателя.

Электрические машины, используемые в народном хозяйстве, выпускаются сериями. Серия электрических машин представляет собой ряд электрических машин возрастающей мощности, имеющих однотипную конструкцию и удовлетворяющих общему комплексу требований.

Электрические машины, предназначенные для массового применения, выпускаются едиными сериями. Для электрических машин единых серий характерны высокий уровень унификации деталей и узлов и их максимальная взаимозаменяемость. С этой целью одни и те же штампованные пластины статоров и роторов используют в машинах разной мощности, применяя разную длину пакетов. По мере развития науки и техники, совершенствования, технологии, создания новых электро-технических материалов разрабатываются новые, более совершенные серии электрических машин.

Наряду с едиными сериями промышленностью изготавливаются и другие серии машин, главным образом специального назначения: краново-металлургические, судовые, тяговые и т. п.

Серия трехфазных асинхронных двигателей 4А.

Единая серия 4А охватывает диапазон мощностей от 0,06 до 400 кВт. В основу разделения двигателей на типоразмеры положен конструктивный параметр — *высота оси вращения h* , определяемая расстоянием от оси вращения (для машин с горизонтальной осью вращения) до опорной плоскости (рис. 18.1). Двигатели единой серии 4А изготавливаются с высотами оси вращения 50, 56, 63, 71, 80, 90, 100, 112, 132, 160, 180, 200, 225, 250, 280, 315, 355 мм. Двигатели каждой высоты оси вращения выполняются двух типоразмеров с разной длиной пакетов сердечников, но одинаковым штампом пластин этих сердечников. Двигатели изготавливаются на синхронные частоты вращения 3000, 1500, 1000, 750, 600 и 500 об/мин.

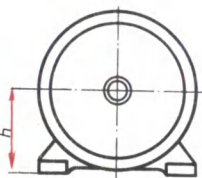


Рис 18.1. Высота оси вращения

Двигатели единой серии 4А изготавливаются в двух исполнениях: закрытый обдуваемый (рис. 18.2, а) и защищенный с внутренней самовентилирующей (рис. 18.2, б). Двигатели закрытого исполнения всего диапазона осей вращения изготавливаются с короткозамкнутым ротором, а осей вращения 200, 225 и 250 мм — еще и с фазным ротором (4АК). Двигатели защищенного исполнения изготавливаются с короткозамкнутым ротором (4АН) при высоте оси вращения $h \geq 160$ мм, а при высоте оси вращения $h \geq 200$ мм — еще и с фазным ротором (4АНК).

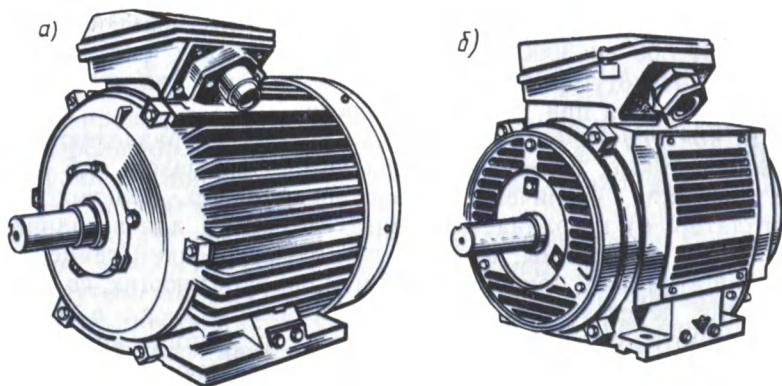


Рис. 18.2. Асинхронные двигатели серии 4А:

а — закрытого обдуваемого исполнения, б — защищенного исполнения

В двигателях единой серии с высотами оси вращения от 50 до 132 мм применяется изоляция класса нагревостойкости В, а в двигателях с высотами оси вращения от 160 до 355 мм — изоляция класса нагревостойкости F.

Асинхронные двигатели единой серии 4А предназначены для самого широкого применения во всех отраслях народного хозяйства и помимо основного имеют несколько электрических модификаций и специализированных исполнений.

Двигатели основного исполнения предназначены для привода механизмов, не предъявляющих особых требований к пусковым характеристикам, скольжению, энергетическим показателям и т. д. Предполагается, что окружающая среда в месте их установки не взрывоопасна, не содержит токопроводящей пыли, агрессивных газов и паров в концентрациях, разрушающих металл и изоляцию. Двигатели предназначены для работы от сети частотой 50 Гц и напряжения согласно табл. 18.1.

Таблица 18.1

Мощность двигателя, кВт	Номинальное напряжение, В	Схема соединения обмотки статора	Число выводных концов
0,06—0,37	220 и 380	Δ или Y	3
0,55—11	220, 380 и 660		
15—110	220/380 и 380/660	Δ / Y	6
132—400	380/660		

Различают следующие электрические модификации двигателей: а) двигатели с повышенным скольжением, с «мягкой» механической характеристикой; б) двигатели с повышенным пусковым моментом (двойная клетка на роторе); в) многоскоростные двигатели — на две, три и четыре частоты вращения в диапазоне от 500 до 3000 об/мин; г) двигатели на частоту 60 Гц, имеющие частоту вращения на 20 % выше, чем двигатели основного исполнения при той же мощности.

По *конструктивному исполнению* двигатели разделяются на: а) малозумные, имеющие повышенный скос пазов (1,5 зубцовых деления), увеличенный воздушный зазор, пластмассовый вентилятор; б) встраиваемые двигатели (4АВ) для встраивания в станки и механизмы; в) двигатели со встроенной температурной защитой для привода механизмов, работающих со значительными перегрузками, частыми пусками и т. д.; в лобовые части обмоток статора установлены терморезисторы, которые при перегреве двигателя выдают сигнал на отключение двигателя.

По *условиям окружающей среды* двигатели разделяются на: а) двигатели тропического исполнения, предназначенные для работы в условиях влажного или сухого тропического климата; в них применены тропикоустойчивая изоляция и антикоррозионное покрытие всех деталей; б) двигатели влагоморозостойкого исполнения, предназначенные для работы при окружающей температуре до -40°C и относительной влажности до 100 % при температуре $+25^{\circ}\text{C}$; в) двигатели химостойкого исполнения, предназначенные для работы в условиях температуры окружающей среды $\pm 40^{\circ}\text{C}$, относительной влажности до 80 % при температуре $+25^{\circ}\text{C}$ и наличии химически активной невзрывоопас-

ной среды; в них применены химостойкие изоляционные материалы и антикоррозионные покрытия всех деталей.

Серия трехфазных асинхронных двигателей АИ. Асинхронные двигатели серии АИ общепромышленного назначения с высотами осей вращения от 45 до 355 мм мощностью от 0,025 до 315 кВт разработаны в рамках Международной организации по экономическому и научно-техническому сотрудничеству в электротехнической промышленности (ИНТЕРЭЛЕКТРО). Двигатели изготавливаются на напряжение 220/380 и 380/660 В, частотой тока 50 Гц. Возможно изготовление двигателей на частоту тока 60 Гц. По степени защиты двигатели этой серии имеют исполнения: закрытый обдуваемый для всех высот оси вращения или защищенный с внутренней самовентиляцией для высот оси вращения от 160 до 355 мм.

В отличие от серии 4А в двигателях серии АИ более широко применены высокопрочные алюминиевые сплавы и пластмассы и использована более совершенная система вентиляции, обеспечивающая снижение температуры нагрева двигателей при номинальной нагрузке на 10—20 °С по сравнению с двигателями серии 4А. Для наиболее массового отрезка серии с высотами осей вращения от 71 до 100 мм применены подшипники с улучшенными виброакустическими характеристиками. Улучшение вентиляционного и подшипниковых узлов обеспечило двигателям серии АИ снижение уровня шума при их работе и повышение надежности.

§ 18.2. Высоковольтные асинхронные двигатели

Для привода ряда промышленных установок требуются двигатели большой мощности: 500, 800, 1000 кВт и более. Обычно асинхронные двигатели такой мощности делают высоковольтными — на 6000 или 10 000 В.

Рассмотрим некоторые серии высоковольтных двигателей большой мощности. Трехфазные асинхронные двигатели с короткозамкнутым ротором серии АН2 применяют для привода механизмов, не требующих регулирования частоты вращения, например вентиляторов, насосов и т. п. Двигатели этой серии изготавливаются мощностью от 500 до 2000 кВт при частоте вращения (синхронной) 1000, 750, 600, 500 и 375 об/мин. Двигатели предназначены для включения в трехфазную сеть напряжением 6000 В, частотой 50 Гц. Двигатели серии АН2 изготавливаются с горизонтальным расположением вала на двух шитовых подшипниках качения, имеют защищенное исполнение. Корпус статора и подшипниковые щиты сварные (рис. 18.3, а) из листовой стали.

Обмотка статора петлевая двухслойная с укороченным шагом. Класс нагревостойкости изоляции В. Обмотка ротора двухклеточная (рис. 18.3, б), пусковая клетка (верхняя) выполнена из латунных стержней, рабочая клетка (нижняя) — из медных

стержней. Короткозамыкающие кольца отдельные и для обеих клеток сделаны из меди. Способ охлаждения — аксиально-радиальная самовентиляция (см. § 31.3).

Асинхронные двигатели серии АН32 также являются высоковольтными (6000 В), но в отличие от двигателей серии АН2 имеют закрытое исполнение с принудительной вентиляцией от постороннего вентилятора (см. § 31.3). Двигатели этой серии имеют мощность от 500 до 2000 кВт.

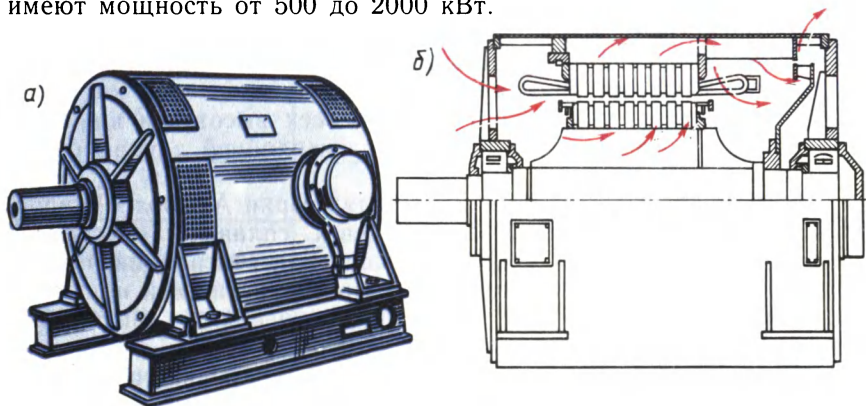


Рис. 18.3. Внешний вид (а) и устройство (б) асинхронного двигателя серии АН2

Асинхронные двигатели серии АТД2 имеют мощность от 1000 до 5000 кВт; напряжение питания 6000 В. В отличие от ранее рассмотренных двигатели этой серии выполняются со стоячковыми подшипниками скольжения. Система вентиляции двигателей радиальная симметричная, разомкнутая или замкнутая (см. § 31.3).

Тепловое состояние двигателей серии АТД2 контролируется термометрами сопротивления, вставленными в лобовые части обмотки статора. Концы проводов от этих термометров выведены на зажимы коробки выводов. При температуре нагрева обмоток, превышающей допустимую, электрический сигнал от термометров можно использовать для автоматического отключения двигателя.

§ 18.3. Крановые и металлургические асинхронные двигатели

Для привода крановых механизмов общепромышленного назначения, а также других агрегатов, работа которых характеризуется частыми пусками и остановками, большими кратностями перегрузок, применяют крановые трехфазные асинхронные двигатели серий МТФ (с фазным ротором) и МТКФ (с короткозамкнутым ротором).

Для привода механизмов металлургического производства и других устройств, работающих в условиях повышенных температур окружающей среды, применяют металлургические трех-

фазные двигатели серий МТН (с фазным ротором) и МТКН (с короткозамкнутым ротором).

Основным номинальным режимом двигателей указанных серий является повторно-кратковременный режим с относительной продолжительностью включения $PВ = 40 \%$ (см. § 31.2).

Двигатели серий МТКФ и МТКН изготавливаются с короткозамкнутым ротором повышенного активного сопротивления (обмотка ротора выполняется заливкой алюминиевым сплавом АМГ).

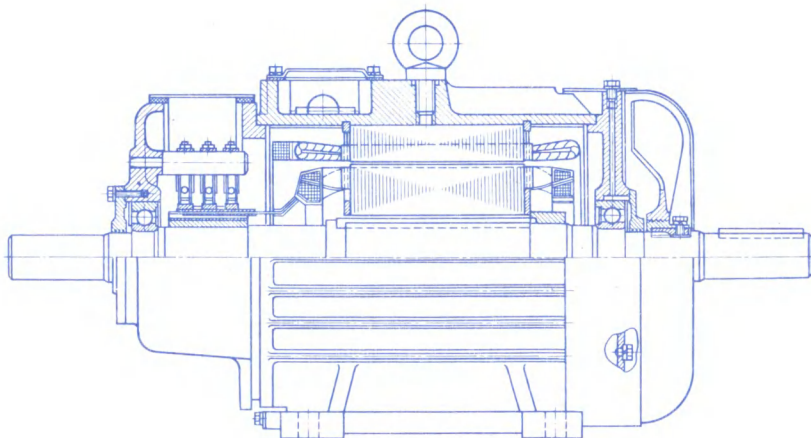


Рис. 18.4. Устройство трехфазного асинхронного двигателя серии МТН с фазным ротором

Это обеспечивает двигателям значительную величину пускового момента ($M_p/M_{ном} = 3,0 \div 3,5$) и позволяет пускать их непосредственным включением в сеть на номинальное напряжение сети. Кроме того, эти двигатели имеют повышенную перегрузочную способность ($M_{max}/M_{ном} = 3,3 \div 3,5$).

Двигатели указанных серий изготавливают на напряжение 220/380 и 500 В при частоте тока 50 Гц. Двигатели выполняют на частоты вращения (синхронные) 1000, 750 и 600 об/мин.

Крановые двигатели имеют изоляцию класса нагревостойкости F, а металлургические — класса нагревостойкости H. В остальном конструкция двигателей одинакова.

Так как двигатели предназначены для работы в среде с повышенной запыленностью, то основным их исполнением является закрытое обдуваемое. Станина и подшипниковые щиты — чугунные.

В двигателях с фазным ротором серий МТФ и МТН применяются медные контактные кольца. На каждое кольцо наложены две медно-графитовые щетки марки М1. На рис. 18.4 показано устройство (продольный разрез) двигателя серии МТН с фазным ротором.

Контрольные вопросы

1. Что такое серия электрических машин?
2. Что является характерным для единых серий электрических машин?
3. Каковы характерные признаки асинхронных двигателей серии 4А?
4. Почему двигатели большой мощности делают высоковольтными?
5. Каковы области применения и особые свойства асинхронных двигателей серий МТФ, МТКФ, МТН и МТКН?

4

СИНХРОННЫЕ МАШИНЫ

- **Способы возбуждения и устройство синхронных машин**
- **Магнитное поле и характеристики синхронных генераторов**
- **Параллельная работа синхронных генераторов**
- **Синхронный двигатель и синхронный компенсатор**
- **Синхронные машины специального назначения**

Синхронные машины — это бесколлекторные машины переменного тока. По своему устройству они отличаются от асинхронных машин лишь конструкцией ротора, который может быть явнополюсным или неявнополюсным. Что же касается свойств, то синхронные машины отличаются синхронной частотой вращения ротора ($n_2 = n_1 = \text{const}$) при любой нагрузке, а также возможностью регулирования коэффициента мощности, устанавливая такое его значение, при котором работа синхронной машины становится наиболее экономичной. Синхронные машины обратимы и могут работать как в режиме генератора, так и в режиме двигателя. Синхронные генераторы составляют основу электротехнического оборудования электростанций, т. е. практически вся электроэнергия вырабатывается синхронными генераторами. Единичная мощность современных синхронных генераторов достигает миллиона киловатт и более. Синхронные двигатели применяются главным образом для привода устройств большой мощности. Такие двигатели по своим технико-экономическим показателям превосходят двигатели других типов. В крупных электроэнергетических установках син-



хронные машины иногда используются в качестве компенсаторов — генераторов реактивной мощности, позволяющих повысить коэффициент мощности всей установки. В данном разделе рассмотрены главным образом трехфазные синхронные машины. Приведены также сведения по некоторым типам синхронных двигателей весьма малой мощности, применяемым в устройствах автоматики и приборной техники.



§ 19.1. Возбуждение синхронных машин

При рассмотрении принципа действия синхронного генератора (см. § 6.1) было установлено, что на роторе синхронного генератора расположен источник МДС (индуктор), создающий в генераторе магнитное поле. С помощью приводного двигателя (ПД) ротор генератора приводится во вращение с синхронной частотой n_1 . При этом магнитное поле ротора также вращается и, сцепляясь с обмоткой статора, наводит в ней ЭДС.

Синхронные двигатели конструктивно почти не отличаются от синхронных генераторов. Они также состоят из статора с обмоткой и ротора. Поэтому независимо от режима работы любая синхронная машина нуждается в процессе возбуждения — наведения в ней магнитного поля.

Основным способом возбуждения синхронных машин является *электромагнитное* возбуждение, сущность которого состоит в том, что на полюсах ротора располагают обмотку возбуждения. При прохождении по этой обмотке постоянного тока возникает МДС возбуждения, которая наводит в магнитной системе машины магнитное поле.

До последнего времени для питания обмотки возбуждения применялись специальные генераторы постоянного тока независимого возбуждения (см. § 28.2), называемые возбудителями B (рис. 19.1, a), обмотка возбуждения которого (ОВ) получала питание постоянного тока от другого генератора (параллельного возбуждения), называемого подвозбудителем (ПВ). Ротор синхронной машины и якоря возбудителя и подвозбудителя располагаются на общем валу и вращаются одновременно. При этом ток в обмотку возбуждения синхронной машины поступает через контактные кольца и щетки. Для регулирования тока возбуждения применяют регулировочные реостаты, включаемые в цепи возбуждения возбудителя (r_1) и подвозбудителя (r_2).

В синхронных генераторах средней и большой

мощности процесс регулирования тока возбуждения автоматизируют.

В синхронных генераторах большой мощности — турбогенераторах (см. § 19.2) — иногда в качестве возбудителя применяют генераторы переменного тока индукторного типа (см. § 23.6). На выходе такого генератора включают полупроводниковый вы-

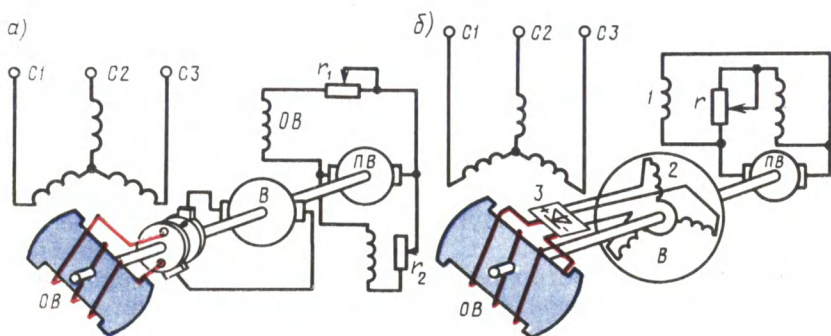


Рис. 19.1 Контактная (а) и бесконтактная (б) системы электромагнитного возбуждения синхронных генераторов

прямитель. Регулировка тока возбуждения синхронного генератора в этом случае осуществляется изменением возбуждения индукторного генератора.

Получила применение в синхронных генераторах *бесконтактная система электромагнитного возбуждения*, при которой синхронный генератор не имеет контактных колец на роторе.

В качестве возбудителя B в этом случае применяют генератор переменного тока (рис. 19.1, б), у которого обмотка 2, в которой наводится ЭДС (обмотка якоря), расположена на роторе, а обмотка возбуждения 1 расположена на статоре. В результате обмотка якоря возбудителя и обмотка возбуждения синхронной машины оказываются вращающимися и их электрическое соединение осуществляется непосредственно, без контактных колец и щеток. Но так как возбудитель является генератором переменного тока, а обмотку возбуждения необходимо питать постоянным током, то на выходе обмотки якоря возбудителя включают полупроводниковый преобразователь 3, закрепленный на валу синхронной машины и вращающийся вместе с обмоткой возбуждения синхронной машины и обмоткой якоря возбудителя. Питание постоянным током обмотки возбуждения 1 возбудителя осуществляется от подвозбудителя (ПВ) — генератора постоянного тока.

Отсутствие скользящих контактов в цепи возбуждения синхронной машины позволяет повысить ее эксплуатационную надежность и увеличить КПД.

В синхронных генераторах, в том числе гидрогенераторах

(см. § 19.2), получил распространение принцип *самовозбуждения* (рис. 19.2, а), когда энергия переменного тока, необходимая для возбуждения, отбирается от обмотки статора синхронного генератора через понижающий трансформатор и посредством выпрямительного полупроводникового преобразователя (ПП) преобразуется в энергию постоянного тока. Принцип самовозбуждения

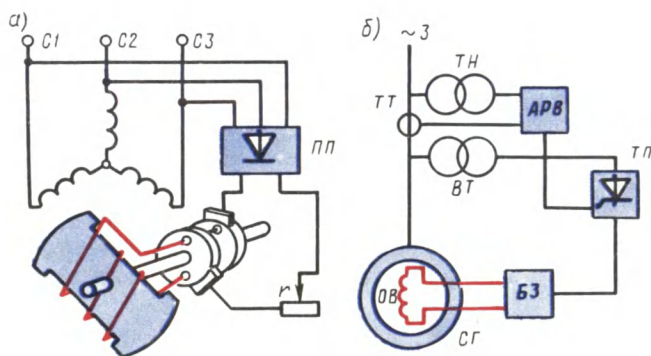


Рис. 19.2. Принцип самовозбуждения синхронных генераторов

основан на том, что первоначальное возбуждение генератора происходит за счет остаточного магнетизма магнитопровода машины.

На рис. 19.2, б представлена структурная *схема автоматической системы самовозбуждения* синхронного генератора (СГ) с выпрямительным трансформатором (ВТ) и тиристорным преобразователем (ТП), через которые электроэнергия переменного тока из цепи статора СГ после преобразования в постоянный ток подается в обмотку возбуждения. Управление тиристорным преобразователем осуществляется посредством автоматического регулятора возбуждения АРВ, на вход которого поступают сигналы напряжения на выходе СГ (через трансформатор напряжения ТН) и тока нагрузки СГ (от трансформатора тока ТТ). Схема содержит блок защиты БЗ, обеспечивающий защиту обмотки возбуждения и тиристорного преобразователя ТП от перенапряжений и токовой перегрузки.

В современных синхронных двигателях для возбуждения применяют *тиристорные возбудительные устройства*, включаемые в сеть переменного тока и осуществляющие автоматическое управление током возбуждения во всевозможных режимах работы двигателя, в том числе и переходных. Такой способ возбуждения является наиболее надежным и экономичным, так как КПД тиристорных возбудительных устройств выше, чем у генераторов постоянного тока. Промышленностью выпускаются тиристорные возбудительные устройства на различные напряжения возбуждения с допустимым значением постоянного тока 320 А.

Наибольшее распространение в современных сериях синхронных двигателей получили возбудительные тиристорные устройства типов ТЕ8-320/48 (напряжение возбуждения 48 В) и ТЕ8-320/75 (напряжение возбуждения 75 В).

Мощность, затрачиваемая на возбуждение, обычно составляет от 0,2 до 5 % полезной мощности машины (меньшее значение относится к машинам большой мощности).

В синхронных машинах малой мощности находит применение принцип *возбуждения постоянными магнитами*, когда на роторе машины располагаются постоянные магниты. Такой способ возбуждения дает возможность избавить машину от обмотки возбуждения. В результате конструкция машины упрощается, становится более экономичной и надежной. Однако из-за дефицитности материалов для изготовления постоянных магнитов с большим запасом магнитной энергии и сложности их обработки применение возбуждения постоянными магнитами ограничивается лишь машинами мощностью не более нескольких киловатт (см. § 23.1).

§ 19.2. Типы синхронных машин и их устройство

Синхронная машина состоит из неподвижной части — статора — и вращающейся части — ротора. Статоры синхронных машин в принципе не отличаются от статоров асинхронных двигателей (см. гл. 7), т. е. состоят из корпуса, сердечника и обмотки (см. рис. 7.1).

Конструктивное исполнение статора синхронной машины может быть различным в зависимости от назначения и габаритов машины. Так, в многополюсных машинах большой мощности при наружном диаметре сердечника статора более 900 мм пластины сердечника делают из отдельных сегментов, которые при сборке образуют цилиндр сердечника статора. Корпуса статоров крупногабаритных машин делают разъемными, что необходимо для удобства транспортировки и монтажа этих машин.

Роторы синхронных машин могут иметь две принципиально различающиеся конструкции: явнополюсную и неявнополюсную.

В энергетических установках по производству электроэнергии переменного тока в качестве первичных (приводных) двигателей синхронных генераторов применяют в основном три вида двигателей: паровые турбины, гидравлические турбины либо двигатели внутреннего сгорания (дизели). Применение любого из перечисленных двигателей принципиально влияет на конструкцию синхронного генератора.

Если приводным двигателем является *гидравлическая турбина*, то синхронный генератор называют *гидрогенератором*. Гидравлическая турбина обычно развивает небольшую частоту вращения (60—500 об/мин), поэтому для получения переменного тока промышленной частоты (50 Гц) в гидрогенераторе применяют ротор с большим числом полюсов. Роторы гидрогенераторов

имеют *явнополюсную* конструкцию, т. е. с явно выраженными полюсами, при которой каждый полюс выполняют в виде отдельного узла, состоящего из сердечника 1, полюсного наконечника 2 и полюсной катушки 3 (рис. 19.3, а). Все полюсы ротора закреплены на ободу 4, являющемся также и ярмом магнитной системы машины, в котором замыкаются потоки полюсов. Гидрогенераторы

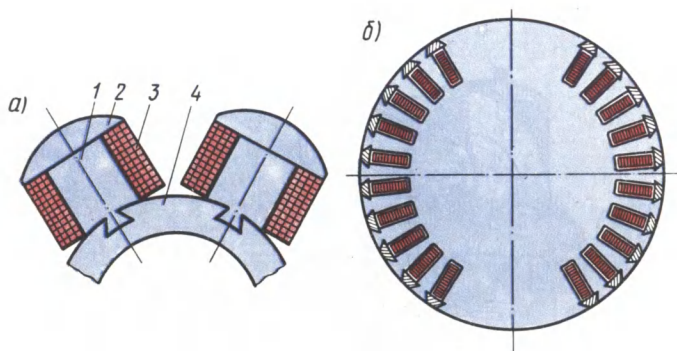


Рис. 19.3. Конструкция роторов синхронных машин:
а — ротор с явно выраженными полюсами; б — ротор с неявно выраженными полюсами

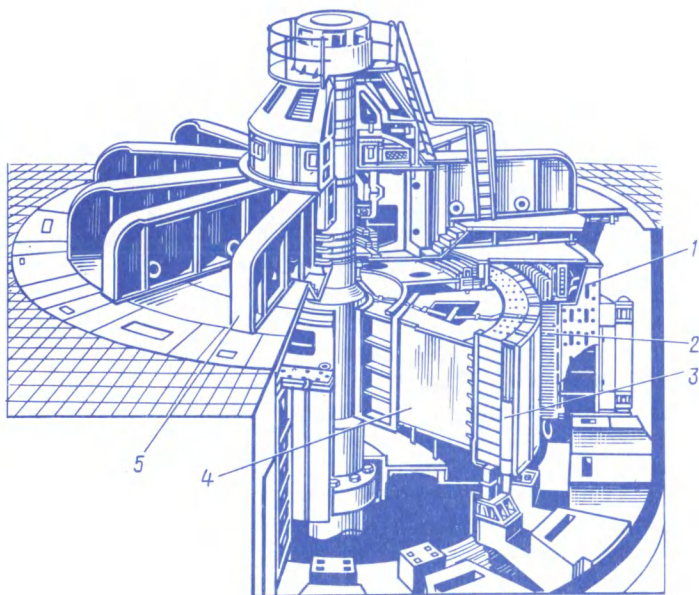


Рис. 19.4. Гидрогенератор Братской ГЭС (225 МВт, 15,8 кВ, 125 об/мин):

1 — корпус статора, 2 — сердечник статора, 3 — полюс ротора, 4 — обод ротора, 5 — грузонесущая крестовина

торы обычно изготавливаются с вертикальным расположением вала (рис. 19.4).

Паровая турбина работает при большой частоте вращения, поэтому приводимый ею во вращение генератор, называемый *турбогенератором*, является быстроходной синхронной машиной. Роторы этих генераторов выполняют либо двухполюсными ($n_1 = 3000$ об/мин), либо четырехполюсными ($n_1 = 1500$ об/мин).

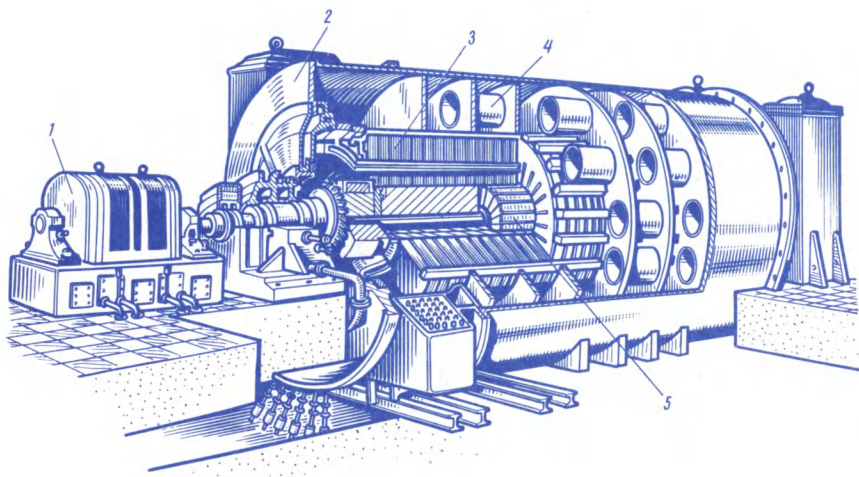


Рис 19.5. Турбогенератор.

1 — возбудитель, 2 — корпус, 3 — сердечник статора, 4 — секции водородного охлаждения, 5 — ротор

В процессе работы турбогенератора на его ротор действуют значительные центробежные силы. Поэтому по условиям механической прочности в турбогенераторах применяют *неявнополюсный* ротор, имеющий вид удлиненного стального цилиндра с профрезерованными на поверхности продольными пазами для обмотки возбуждения (см. рис. 19.3, б). Сердечник неявнополюсного ротора изготавливают в виде цельной стальной поковки вместе с хвостовиками (концами вала) или же делают сборным. Обмотка возбуждения неявнополюсного ротора занимает лишь $\frac{2}{3}$ его поверхности (по периметру). Оставшаяся $\frac{1}{3}$ поверхности образует полюсы. Для защиты лобовых частей обмотки ротора от разрушения действием центробежных сил ротор с двух сторон прикрывают стальными бандажными кольцами (каппами), изготовляемыми обычно из немагнитной стали.

Турбогенераторы (рис. 19.5) и дизель-генераторы изготавливают с горизонтальным расположением вала. Дизель-генераторы рассчитывают на частоту вращения 600—1500 об/мин и выполняют с явнополюсным ротором (рис. 19.6).

Большую группу синхронных машин составляют *синхронные*

двигатели, которые обычно изготавливаются мощностью до нескольких тысяч киловатт и предназначены для привода мощных вентиляторов, мельниц, насосов и других устройств, не требующих регулирования частоты вращения. Рассмотрим устройство синхронного двигателя серии СДН2 (рис. 19.7). Двигатели этой серии изготавливаются мощностью от 315 до 4000 кВт при частотах вращения от 300 до 1000 об/мин и предназначены для включения в сеть частотой 50 Гц при напряжении 6 кВ.

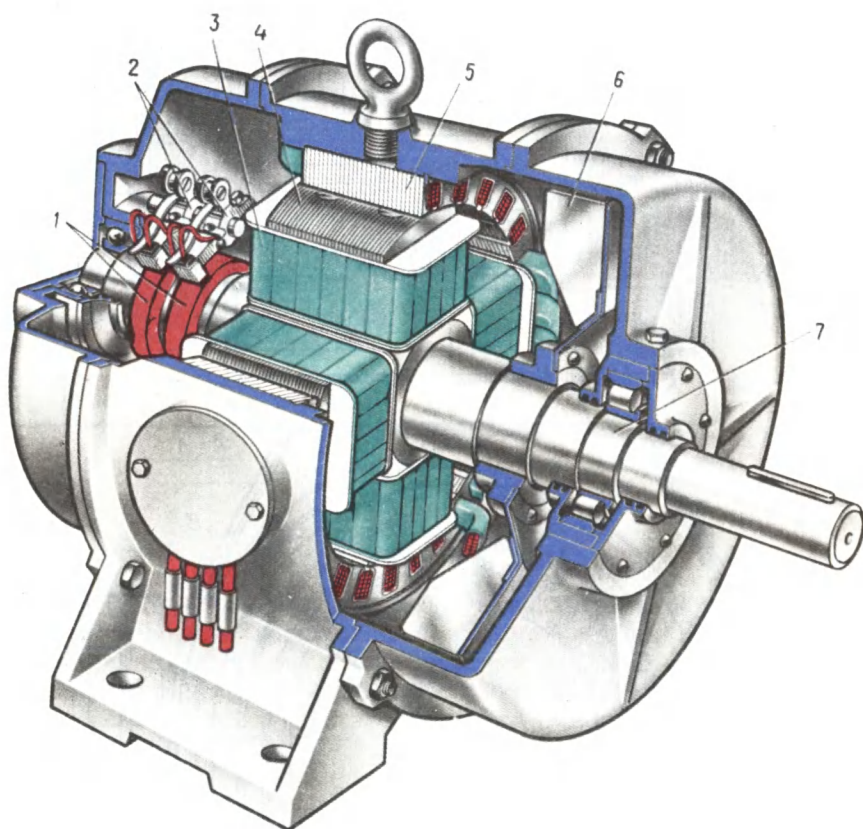


Рис. 19.6. Синхронный генератор (дизель-генератор):

1 — контактные кольца, 2 — щеткодержатели, 3 — полюсная кагушка ротора, 4 — полюсный наконечник, 5 — сердечник статора, 6 — вентилятор, 7 — вал

Сердечник статора 4, запрессованный в стальной корпус, состоит из пакетов-сегментов, собранных из штампованных листов электротехнической стали толщиной 0,5 мм. Для лучшего охлаждения двигателя пакеты разделены радиальными вентиляционными каналами шириной по 10 мм. Обмотка статора 12

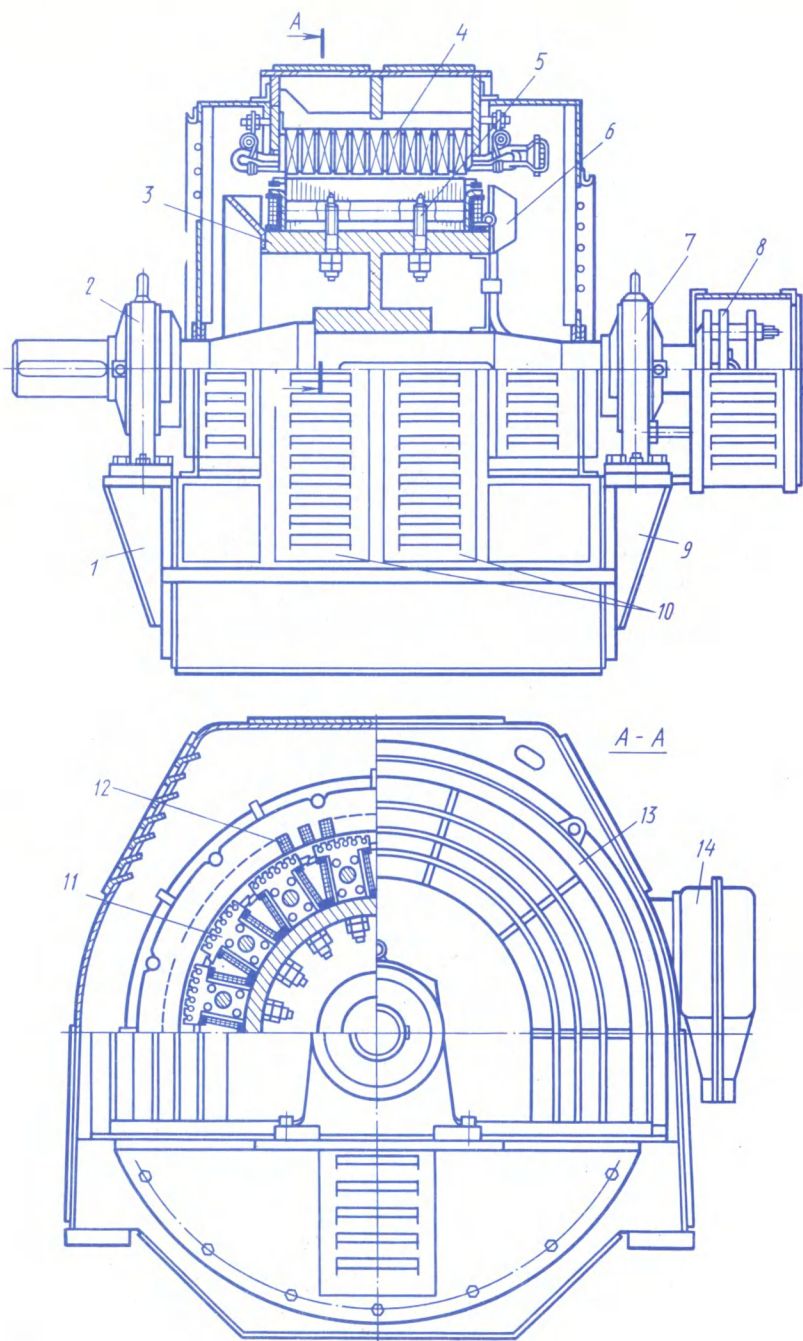


Рис. 19.7. Устройство синхронного двигателя серии СДН2

двухслойная с укороченным шагом (см. гл. 7). Сердечники полюсов *11* ротора крепятся к остоу *3* шпильками *5*. Обмотка ротора состоит из полюсных катушек. Контактные кольца *8* крепятся на конце вала. На роторе имеются лопатки *6* центробежного вентилятора. Стояковые подшипники скольжения *2* и *7* установлены на подшипниковых полушитах *1* и *9*. Двигатель с торцовых сторон прикрыт стальными щитами *13*. В обшивке *10* кор-

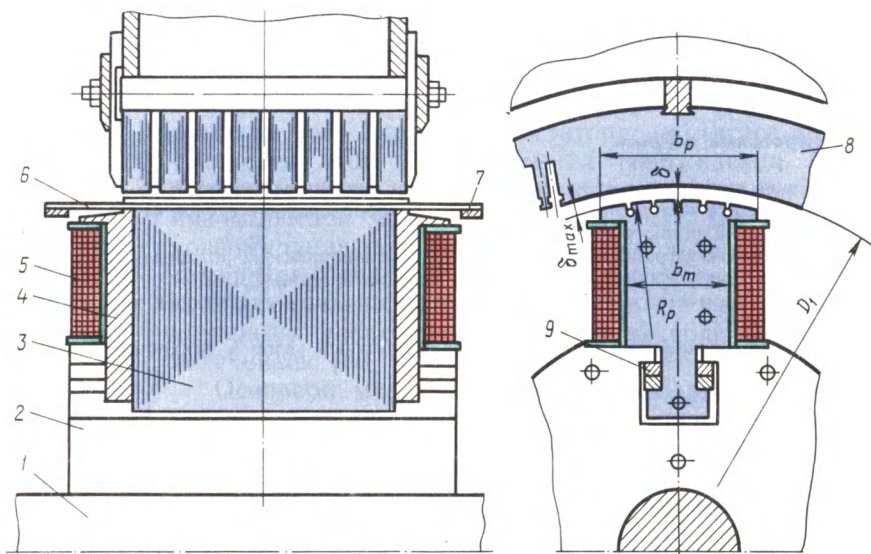


Рис 19.8 Полюс синхронного двигателя

пуса имеются вентиляционные окна, прикрытые жалюзи. На боковой поверхности корпуса расположена коробка выводов *14*. Возбуждение двигателей осуществляется от тиристорных преобразователей с автоматическим регулированием тока возбуждения при пуске и остановке двигателей.

На рис. 19.8 показано более подробно устройство элемента синхронного двигателя, характерное для большинства конструкций. На вал *1* посажен шихтованный обод *2*, на котором посредством Т-образного хвостовика крепится сердечник полюса *3*, выполненный заодно с полюсным наконечником. Сердечники полюсов изготовлены из штампованных листов конструкционной стали толщиной 1,0 или 1,5 мм. Хвостовик полюса запирается в продольном пазе обода посредством клиньев *9*. Возможно также крепление полюсов к ободу посредством «ласточкина хвоста» (см. рис. 19.3) или шпилек (см. рис. 19.7). Стальные щеки *4*, стягиваемые шпильками, предотвращают распушение пакета полюса ротора. Щеки имеют заплечики, удерживающие полюсную катушку ротора *5*.

В пазах полюсных наконечников расположены латунные или медные стержни 6 пусковой (успокоительной) обмотки, замкнутые с двух сторон сегментами 7.

Между наружной поверхностью полюсного наконечника и внутренней поверхностью сердечника статора 8 имеется воздушный зазор. По оси полюса этот зазор δ минимален, а на краях — максимален δ_{max} . Такая конфигурация полюсного наконечника необходима для синусоидального распределения магнитной индукции в воздушном зазоре. Она достигается тем, что поверхность полюсного наконечника имеет радиус $R < (D_1 - 2\delta)/2$, где D_1 — диаметр расточки сердечника статора.

Контрольные вопросы

1. Какие существуют способы возбуждения синхронных машин?
2. Объясните назначение тиристорного преобразователя в системе самовозбуждения синхронного генератора.
3. Объясните устройство явнополюсных и неявнополюсных роторов.
4. Объясните устройство синхронного двигателя серии СДН2.
5. Какие применяются способы крепления полюсов в синхронных явнополюсных машинах?
6. Чем обеспечивается неравномерный воздушный зазор в синхронной машине?

§ 20.1. Магнитная цепь синхронной машины

В режиме х. х. синхронной машины, т. е. при отсутствии тока I_1 в обмотке статора, магнитное поле создается лишь МДС обмотки возбуждения $F_{в0}$. Форма графика распределения индукции в зазоре явнополюсной машины в этом случае зависит от конфигурации полюсных наконечников полюсов ротора. Для придания этой кривой формы, близкой к синусоидальной, воздушный зазор делают неравномерным, увеличивая его на краях полюсных наконечников (см. рис. 6.2).

Основной магнитный поток явнополюсной синхронной машины, замыкаясь в магнитной системе машины, сцепляется с обмоткой статора. Как и в асинхронных неявнополюсных машинах (см. § 11.1), магнитная система явнополюсной синхронной машины представляет собой разветвленную симметричную магнитную цепь (рис. 20.1, а), состоящую из $2p$ параллельных ветвей. Каждая из таких ветвей представляет собой неразветвленную магнитную цепь, содержащую одну пару полюсов (рис. 20.1, б). Основной магнитный поток Φ , замыкаясь в магнитной цепи, проходит ряд участков (рис. 20.2): воздушный зазор δ , зубцовый слой статора h_{z1} , зубцовый слой ротора h_{z2} , полюс ротора h_m , спинку статора L_1 и спинку ротора (обод) $L_{об}$.

Сумма магнитных напряжений на всех перечисленных участках магнитной цепи определяет МДС обмотки возбуждения на пару полюсов в режиме х. х. (А):

$$F_{в0} = \sum F = 2F_{\delta} + 2F_{z1} + 2F_{z2} + 2F_m + F_{c1} + F_{об}, \quad (20.1)$$

где F_{δ} , F_{z1} , F_{z2} , F_m , F_{c1} и $F_{об}$ — соответственно магнитные напряжения зазора, зубцовых слоев статора и ротора, полюсов, спинки статора и обода, А.

Порядок расчета магнитных напряжений на участках магнитной цепи в принципе такой же, как и при расчете магнитной цепи асинхронной машины

(см. гл. 11). При расчете магнитного напряжения полюсов и спинки ротора необходимо иметь в виду, что магнитный поток на этих участках несколько больше основного магнитного потока Φ на величину потока рассеяния ротора Φ_σ , представляющего собой небольшую часть общего потока полюсов Φ_m , не проходящего через зазор δ , замыкающегося в межполюсном пространстве:

$$\Phi_m = \Phi + \Phi_\sigma = \Phi(1 + \Phi/\Phi_\sigma) = \Phi\sigma_m, \quad (20.2)$$

где σ_m — коэффициент магнитного рассеяния полюсов ротора.

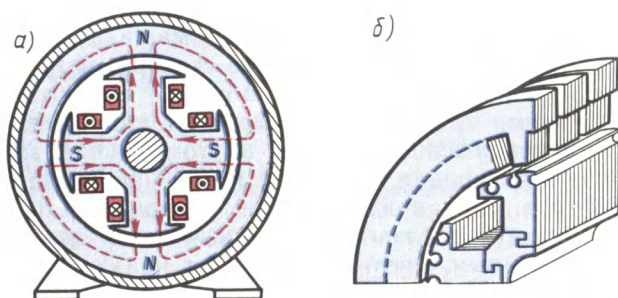


Рис. 20.1. Магнитная система явнополюсной синхронной машины

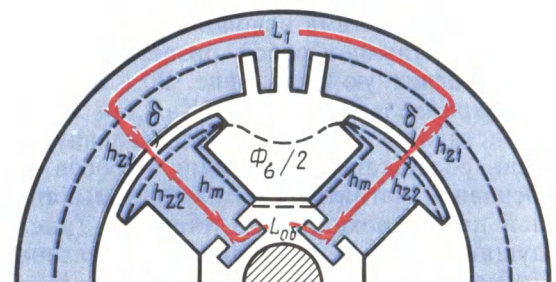


Рис. 20.2. Участки магнитной цепи явнополюсной синхронной машины

Для синхронных явнополюсных машин коэффициент

$$\sigma_m = 1 + 0,2k_{\mu 1}, \quad (20.3)$$

где

$$k_{\mu 1} = F_{10}/(2F_\delta) \quad (20.4)$$

— коэффициент магнитного насыщения сердечника статора синхронной машины;

$$F_{10} = 2F_\delta + 2F_{z1} + F_{c1}$$

— сумма магнитных напряжений в сердечнике статора и воздушном зазоре, А.

Для синхронных явнополюсных машин коэффициент магнитного рассеяния полюсов ротора $\sigma_m = 1,1 \div 1,4$ в зависимости от степени магнитного насыщения магнитопровода машины и числа полюсов (с ростом числа полюсов $2p$ уменьшается межполюсное пространство ротора машины и магнитное рассеяние увеличивается). После расчета магнитной цепи синхронной машины строят магнитную характеристику машины, аналогичную представленной на рис. 11.3. Используя МДС обмотки возбуждения в режиме х. х. ΣF , путем дополнительных расчетов определяют МДС обмотки возбуждения при нагрузке $F_{вн}$. Обычно $F_{вн} = (2,0 \div 2,2) \Sigma F$.

Полученное значение МДС $F_{вн}$ позволяет рассчитать число витков в полюсной катушке ротора:

$$\omega_{кв} = F_{вн} / (2I_{в}), \quad (20.5)$$

где $I_{в}$ — ток в обмотке возбуждения синхронной машины, А.

§ 20.2. Магнитное поле синхронной машины

В настоящей главе рассматривается трехфазный синхронный генератор, работающий на симметричную нагрузку так, что все фазы обмотки нагружены равномерно, т. е. в них наводятся одинаковые ЭДС и проходят равные по значению и сдвинутые по фазе относительно друг друга на угол 120° токи. Из гл. 9 известно, что в этих условиях трехфазная обмотка статора создает вращающуюся синхронно с ротором МДС, максимальное значение которой определяется выражением (9.16):

$$F_1 = 0,45 m_1 I_1 \omega_1 k_{o61} / p.$$

Как будет показано в § 20.3, вектор МДС статора может занимать разные пространственные положения относительно оси полюсов ротора.

В неявнополюсной синхронной машине воздушный зазор равномерен, а поэтому пространственное положение вектора МДС статора относительно оси полюсов ротора не влияет на величину и график распределения магнитного поля статора.

В явнополюсной синхронной машине воздушный зазор неравномерен из-за наличия значительного межполюсного пространства, не заполненного сталью (рис. 20.3), и магнитное сопротивление потоку статора Φ_d по продольной оси dd намного меньше магнитного сопротивления потоку статора Φ_q по поперечной оси qq . Поэтому величина индукции магнитного поля статора и график ее распределения в воздушном зазоре в явнополюсных машинах зависят от пространственного положения вектора МДС обмотки статора F_1 или его составляющих.

Так, амплитуда основной гармоники индукции магнитного поля статора по продольной оси B_{1d1} больше амплитуды основной гармоники индукции поля по поперечной оси B_{1q1} :

$$B_{1d1} = B_1 k_d; \quad B_{1q1} = B_1 k_q, \quad (20.6)$$

где B_1 — амплитудное значение магнитной индукции поля статора при равномерном зазоре; k_d и k_q — коэффициенты формы поля статора (якоря) по продольной и поперечной осям.

Коэффициенты k_d и k_q определяют степень уменьшения амплитуды основной гармоники поля статора (якоря) по продольной

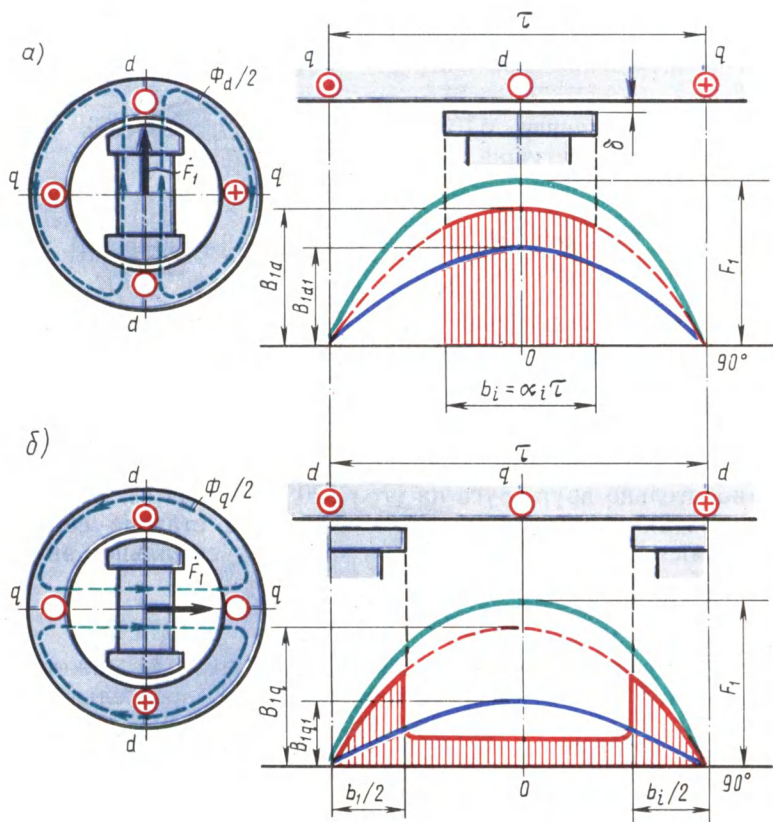


Рис 20.3 Магнитные поля статора синхронной явнополюсной машины по продольной (а) и поперечной (б) осям

и поперечной осям, обусловленную неравномерностью воздушного зазора в машинах с явнополюсным ротором.

Значения k_d и k_q зависят от отношения максимального и минимального воздушных зазоров δ_{\max}/δ , от относительной величины зазора δ/τ , а также от коэффициента полюсного перекрытия α . При равномерном зазоре ($\delta = \text{const}$) отношение $\delta_{\max}/\delta = 1$. Полюсное деление τ определяют по (7.1). Коэффициент полюсного перекрытия $\alpha = b_p/\tau$, где b_p — ширина полюсного наконечника (см. рис. 19.8).

При равномерном воздушном зазоре ($\delta_{\max}/\delta = 1$) и весьма

малой его относительной величине ($\delta/\tau \approx 0$) коэффициенты формы поля определяются выражениями

$$k_d = [\pi\alpha_i + \sin(\alpha_i 180^\circ)]/\pi; \quad (20.7)$$

$$k_q = [\pi\alpha_i - \sin(\alpha_i 180^\circ)]/\pi. \quad (20.8)$$

Из (20.7) и (20.8) видим, что при $\alpha_i = 1$, т. е. при неявнополюсном роторе, $k_d = k_q = 1$.

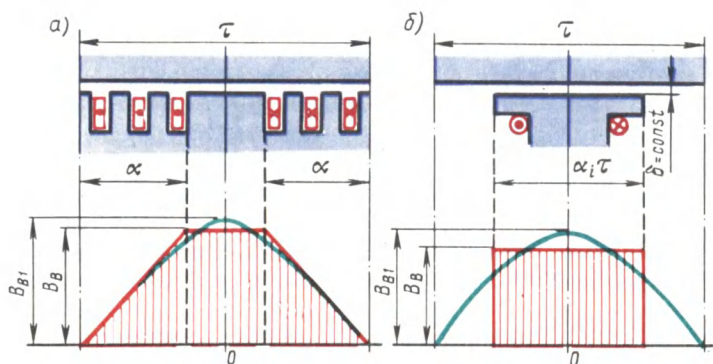


Рис 20.4 Магнитные поля возбуждения неявнополюсной (а) и явнополюсной (б) синхронных машин

Обмотка возбуждения синхронной машины при прохождении по ней тока I_B создает МДС на пару полюсов (А):

$$F_{B \Pi} = I_B 2\omega_{кв}. \quad (20.9)$$

При этом форма магнитного поля возбуждения в зазоре машины зависит от конструкции ротора. Амплитуда основной гармоники этого поля B_{B1} определяется коэффициентом формы поля возбуждения

$$k_f = B_{B1}/B_B, \quad (20.10)$$

где B_B — максимальное значение магнитной индукции поля возбуждения (рис. 20.4).

Для неявнополюсного ротора коэффициент формы поля возбуждения (рис. 20.4, а)

$$k_f = 8 \sin \gamma 90^\circ / (\pi^2 \gamma), \quad (20.11)$$

где $\gamma = 2\alpha/\tau$ — отношение обмотанной части полюса ротора ко всему полюсному делению. Обычно $\gamma = 0,67 \div 0,80$. Наименьшее содержание высших гармоник поля соответствует $\gamma = 0,75$.

Для явнополюсного ротора при равномерном зазоре и $\delta/\tau \approx 0$ коэффициент формы поля возбуждения (рис. 20.4, б)

$$k_f = 4 \sin \alpha 90^\circ / \pi. \quad (20.12)$$

Увеличение зазора на краях полюсов способствует приближению коэффициента k_f к единице, т. е. приближает форму кривой индукции поля к синусоиде.

При неравномерном воздушном зазоре значения коэффициентов формы поля определяют по графикам, приводимым в руководствах по расчету синхронных машин [4 и 15].

§ 20.3. Реакция якоря синхронной машины

В процессе работы нагруженного синхронного генератора в нем одновременно действуют МДС возбуждения $F_{\text{в0}}$ [см. (20.1)] и статора (якоря) F_1 [см. (9.15)], при этом МДС статора (якоря) воздействует на МДС возбуждения, усиливая или ослабляя поле возбуждения или же искажая его форму. Воздействие МДС обмотки статора (якоря) на МДС обмотки возбуждения называется *реакцией якоря*. Реакция якоря оказывает влияние на рабочие свойства синхронной машины, так как изменение магнитного поля в машине сопровождается изменением ЭДС, наведенной в обмотке статора, а следовательно, изменением и ряда других величин, связанных с этой ЭДС. Влияние реакции якоря на работу синхронной машины зависит от значения и характера нагрузки.

Синхронные генераторы, как правило, работают на смешанную нагрузку (активно-индуктивную или активно-емкостную). Но для выяснения вопроса о влиянии реакции якоря на работу синхронной машины целесообразно рассмотреть случаи работы генератора при нагрузках предельного характера, а именно: активной, индуктивной и емкостной. Воспользуемся для этого векторными диаграммами МДС. При построении этих диаграмм следует иметь в виду, что вектор ЭДС \vec{E}_0 , индуцируемой магнитным потоком возбуждения в обмотке статора, отстает по фазе от вектора этого потока (а следовательно, и вектора МДС $\vec{F}_{\text{в0}}$) на 90° . Что же касается вектора тока в обмотке статора I_1 , то он может занимать по отношению к вектору \vec{E}_0 различные положения, определяемые углом ψ_1 в зависимости от вида нагрузки.

Активная нагрузка ($\psi_1 = 0$). На рис. 20.5, а представлены статор и ротор двухполюсного генератора. На статоре показана часть фазной обмотки. Ротор явнополюсный, вращается против движения часовой стрелки. В рассматриваемый момент времени ротор занимает вертикальное положение, что соответствует максимуму ЭДС \vec{E}_0 в фазной обмотке. Так как ток при активной нагрузке совпадает по фазе с ЭДС, то указанное положение ротора соответствует также и максимуму тока. Изобразив линии магнитной индукции поля возбуждения (ротора) и линии магнитной индукции поля обмотки статора, видим, что МДС статора \vec{F}_1 направлена перпендикулярно МДС возбуждения $\vec{F}_{\text{в0}}$. Этот вывод также подтверждается векторной диаграммой, построенной для этого же случая. Порядок построения этой диаграммы следующий: в соответствии с пространственным положением ротора генератора проводим вектор МДС возбуждения $\vec{F}_{\text{в0}}$; под углом 90° к этому вектору в сторону отставания проводим

вектор ЭДС \dot{E}_0 , наведенной магнитным полем возбуждения в обмотке статора; при подключении чисто активной нагрузки ток в обмотке статора \dot{I}_1 совпадает по фазе с ЭДС \dot{E}_0 , а поэтому вектор МДС \dot{F}_1 , создаваемый этим током, сдвинут в пространство относительно вектора $\dot{F}_{\text{в}0}$ на 90° .

Такое воздействие МДС статора (якоря) \dot{F}_1 на МДС возбуждения $\dot{F}_{\text{в}0}$ вызовет искажения результирующего поля ма-

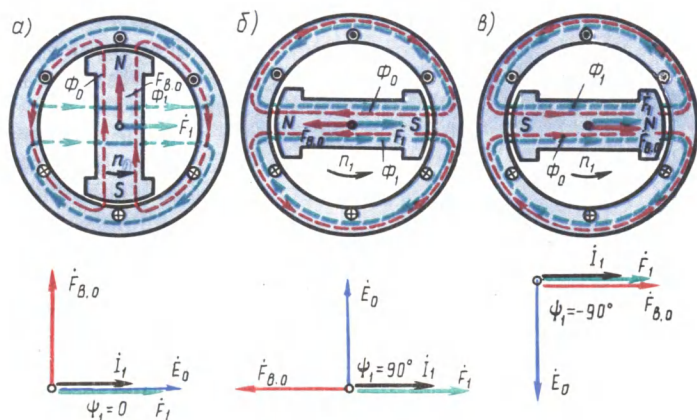


Рис. 20.5 Реакция якоря синхронного генератора при активной (а), индуктивной (б) и емкостной (в) нагрузках

шины: магнитное поле машины ослабляется под набегающим краем полюса и усиливается под сбегающим краем полюса (рис. 20.6). Вследствие насыщения магнитной цепи результирующее магнитное поле машины несколько ослабляется. Объясняется это тем, что размагничивание набегающих краев полюсных наконечников и находящихся над ними участков зубцового слоя статора происходит беспрепятственно, а подмагничивание сбегающих краев полюсных наконечников и находящихся над ними участков зубцового слоя статора ограничивается магнитным насыщением этих элементов магнитной цепи. В итоге результирующий магнитный поток машины ослабляется, т. е. магнитная система несколько размагничивается. Это ведет к уменьшению ЭДС машины E_1 .

Индуктивная нагрузка ($\psi_1 = 90^\circ$). При чисто индуктивной нагрузке генератора ток статора \dot{I}_1 отстает по фазе от ЭДС \dot{E}_0 на 90° . Поэтому он достигает максимального значения лишь после поворота ротора вперед на 90° относительно его положения, соответствующего максимуму ЭДС \dot{E}_0 (см. рис. 20.5, б). При этом МДС \dot{F}_1 действует вдоль оси полюсов ротора встречно МДС возбуждения $\dot{F}_{\text{в}0}$. В этом мы также убеждаемся, построив векторную диаграмму.

Такое действие МДС статора F_1 ослабляет поле машины.

Следовательно, реакция якоря в синхронном генераторе при чисто индуктивной нагрузке оказывает продольно-размагничивающее действие.

В отличие от реакции якоря при активной нагрузке в рассматриваемом случае магнитное поле не искажается.

Емкостная нагрузка ($\psi = -90^\circ$). Так как ток I_1 при емкостной нагрузке опережает по фазе ЭДС \dot{E}_0 на 90° , то своего наибольшего значения он достигает раньше, чем ЭДС, т. е. когда ротор займет положение, показанное на рис. 20.5, в. Магнитодвижущая сила статора \dot{F}_1 так же как и в предыдущем случае, действует по оси полюсов, но теперь уже согласно с МДС возбуждения $\dot{F}_{в0}$.

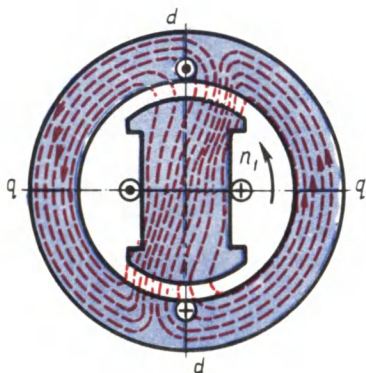


Рис. 20.6. Магнитное поле синхронного генератора при активной нагрузке

по фазе относительно ЭДС \dot{E}_0 на угол ψ_1 , значения которого находятся в пределах $0 < \psi_1 < \pm 90^\circ$. Для выяснения вопроса о влиянии реакции якоря при смешанной нагрузке воспользуемся диаграммами МДС, представленными на рис. 20.7.

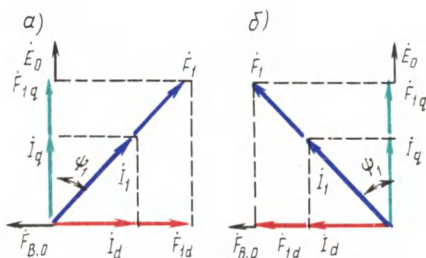


Рис. 20.7. Реакция якоря при смешанной нагрузке

При этом происходит усиление магнитного поля возбуждения. Таким образом, при чисто емкостной нагрузке синхронного генератора реакция якоря оказывает продольно-намагничивающее действие. Магнитное поле при этом не искажается.

Смешанная нагрузка. При смешанной нагрузке синхронного генератора ток статора I_1 сдвинут по фазе относительно ЭДС \dot{E}_0 на угол ψ_1 , значения которого находятся в пределах $0 < \psi_1 < \pm 90^\circ$. Для выяснения вопроса о влиянии реакции якоря при смешанной нагрузке воспользуемся диаграммами МДС, представленными на рис. 20.7.

При активно-индуктивной нагрузке (рис. 20.7, а) вектор \dot{F}_1 отстает от вектора \dot{E}_0 на угол $0 < \psi_1 < 90^\circ$. Разложим вектор F_1 на две составляющие: продольную составляющую МДС статора $F_{1d} = F_1 \sin \psi_1$ и поперечную составляющую МДС статора $F_{1q} = F_1 \cos \psi_1$. Такое же разложение МДС якоря F_1 на составляющие можно сделать в случае активно-емкостной нагрузки (рис. 20.7, б).

Поперечная составляющая МДС статора F_{1q} , представляющая собой МДС реакции якоря по поперечной оси, пропорциональна активной составляющей тока нагрузки $I_q = I_1 \cos \psi_1$, т. е.

$$F_{1q} = F_1 \cos \psi_1, \quad (20.13)$$

а продольная составляющая МДС статора (якоря) F_{1d} , представляющая собой МДС реакции якоря по продольной оси, пропорциональна реактивной составляющей тока нагрузки $I_d = I_1 \sin \psi_1$, т. е.

$$F_{1d} = F_1 \sin \psi_1. \quad (20.14)$$

При этом если реактивная составляющая тока нагрузки отстает по фазе от ЭДС \dot{E}_0 (нагрузка активно-индуктивная), то МДС F_{1d} размагничивает генератор, если же реактивная составляющая тока I_d опережает по фазе ЭДС \dot{E}_0 (нагрузка активно-емкостная), то МДС F_{1d} подмагничивает генератор.

Направление вектора \vec{F}_{1d} относительно вектора $\vec{F}_{\text{в0}}$ определяется характером реакции якоря, который при токе нагрузки I_1 , отстающем по фазе от ЭДС \dot{E}_0 , является размагничивающим, а при токе I_1 , опережающем по фазе ЭДС \dot{E}_0 , — подмагничивающим.

Пример 20.1. Определить продольную и поперечную составляющие МДС статора (якоря) трехфазного синхронного генератора номинальной мощностью 150 кВ·А при напряжении 6,3 кВ, если его четырехполюсная обмотка статора с обмоточным коэффициентом $k_{\text{об1}} = 0,92$ содержит в каждой фазе по $\omega_1 = 312$ последовательно соединенных витков. Нагрузка генератора номинальная при $\cos \psi_1 = 0,8$.

Решение. Ток нагрузки номинальный

$$I_1 = S_{\text{ном}} / (\sqrt{3} U_{\text{ном}}) = 150 / (\sqrt{3} \cdot 6,3) = 13,76 \text{ А.}$$

Максимальное значение МДС трехфазной обмотки статора по (9.15)

$$F_1 = 1,35 I_1 \omega_1 k_{\text{об1}} / p = 1,35 \cdot 13,76 \cdot 312 \cdot 0,92 / 2 = 2666 \text{ А.}$$

Поперечная составляющая МДС статора по (20.13)

$$F_{1q} = F_1 \cos \psi_1 = 2666 \cdot 0,8 = 2133 \text{ А}$$

Продольная составляющая МДС статора по (20.14)

$$F_{1d} = F_1 \sin \psi_1 = 2666 \cdot 0,6 = 1600 \text{ А.}$$

Магнитодвижущие силы реакции якоря по продольной F_{1d} и поперечной F_{1q} осям создают в магнитопроводе синхронной машины магнитные потоки реакции якоря. Основные гармоники этих потоков: по продольной оси

$$\Phi_{1d} = F_{1d} / R_{md} = F_1 \sin \psi_1 / R_{md}; \quad (20.15)$$

по поперечной оси

$$\Phi_{1q} = F_{1q} / R_{mq} = F_1 \cos \psi_1 / R_{mq}, \quad (20.16)$$

где R_{md} и R_{mq} — магнитные сопротивления синхронной машины потокам основной гармоники по продольной и поперечной осям.

В *неявнополюсной* машине воздушный зазор по периметру расточки статора равномерен, а поэтому магнитные сопротивления по продольной и поперечной осям равны ($R_{md} = R_{mq} = R_m$).

Магнитные потоки реакции якоря, сцепляясь с обмоткой статора, наводят в этой обмотке ЭДС реакции якоря:

по продольной оси

$$\dot{E}_{1d} = -j I_d x_a = -j I_1 x_a \sin \psi_1; \quad (20.17)$$

по поперечной оси

$$\dot{E}_{1q} = -j\dot{I}_q x_a = -j\dot{I}_1 x_a \cos \psi_1. \quad (20.18)$$

Здесь x_a — индуктивное сопротивление реакции якоря, представляющее собой *главное индуктивное сопротивление обмотки статора* (Ом):

$$x_a = 2,5 \cdot 10^{-6} m_1 f_1 \frac{D_1 l_i}{\delta k_\delta k_\mu} \left(\frac{\omega_1 k_{o\phi 1}}{p} \right)^2, \quad (20.19)$$

где D_1 — внутренний диаметр сердечника статора, м; l_i — расчетная длина сердечника статора, м; δ — воздушный зазор, м.

В *явнополюсных* синхронных машинах магнитные сопротивления машины потокам основной гармоники по продольной и поперечной осям не одинаковы ($R_{mq} > R_{md}$):

$$R_{md} = R_m / k_d; \quad (20.20)$$

$$R_{mq} = R_m / k_q, \quad (20.21)$$

где R_m — магнитное сопротивление машины при равномерном воздушном зазоре по всему периметру расточки статора.

Это обстоятельство оказывает влияние на значения магнитных потоков реакции якоря, а следовательно, и на ЭДС реакции якоря. Количественно это влияние учитывается коэффициентами формы поля k_d и k_q :

$$\dot{E}_{1d} = -j\dot{I}_d x_a k_d = -j\dot{I}_1 x_{ad} \sin \psi_1; \quad (20.22)$$

$$\dot{E}_{1q} = -j\dot{I}_q x_a k_q = -j\dot{I}_1 x_{aq} \cos \psi_1. \quad (20.23)$$

Здесь x_{ad} и x_{aq} — индуктивные сопротивления реакции якоря явнополюсной машины: по продольной оси

$$x_{ad} = x_a k_d; \quad (20.24)$$

по поперечной оси

$$x_{aq} = x_a k_q. \quad (20.25)$$

§ 20.4. Уравнения напряжений синхронного генератора

Напряжение на выводах генератора, работающего с нагрузкой, отличается от напряжения этого генератора в режиме х. х. Это объясняется влиянием ряда причин: реакцией якоря, магнитным потоком рассеяния, падением напряжения в активном сопротивлении обмотки статора.

Как было установлено, при работе нагруженной синхронной машины в ней возникает несколько МДС, которые, взаимодействуя, создают результирующий магнитный поток. Однако при учете факторов, влияющих на напряжение синхронного генератора, условно исходят из предположения *независимого* действия всех МДС генератора, т. е. предполагается, что каждая из МДС создает собственный магнитный поток.

Но следует отметить, что такое представление не соответствует физической сущности явлений, так как в одной магнитной системе возникает один лишь магнитный поток — результирующий. Но в данном случае предположение независимости магнитных потоков дает возможность лучше понять влияние всех факторов на работу синхронной машины.

Итак выясним, каково же влияние магнитодвижущих сил на работу явнополюсного синхронного генератора.

1. МДС обмотки возбуждения $F_{в0}$ создает магнитный поток возбуждения Φ_0 , который, сцепляясь с обмоткой статора, наводит в ней основную ЭДС генератора E_0 .

2. МДС реакции якоря по продольной оси F_{1d} создает магнитный поток Φ_{1d} , который наводит в обмотке статора ЭДС реакции якоря E_{1d} [см. (20.22)], значение которой пропорционально индуктивному сопротивлению реакции якоря по продольной оси x_{ad} [см. (20.24)]. Это сопротивление характеризует уровень влияния реакции якоря по продольной оси на работу синхронного генератора. Так, при насыщенной магнитной системе машины магнитный поток реакции якоря Φ_{1d} меньше, чем при ненасыщенной магнитной системе. Объясняется это тем, что поток Φ_{1d} почти полностью проходит по стальным участкам магнитопровода, преодолевая небольшой воздушный зазор (см. рис. 20.3, а), а поэтому при магнитном насыщении сопротивление этому потоку заметно возрастает. При этом индуктивное сопротивление x_{1d} уменьшается.

3. МДС реакции якоря по поперечной оси F_{1q} создает магнитный поток Φ_{1q} , который наводит в обмотке статора ЭДС E_{1q} [см. (20.23)], значение которой пропорционально индуктивному сопротивлению реакции якоря по поперечной оси x_{aq} [см. (20.25)]. Сопротивление x_{aq} не зависит от магнитного насыщения машины, так как при явнополюсном роторе поток Φ_{1q} проходит в основном по воздуху межполюсного пространства (см. рис. 20.3, б).

4. Магнитный поток рассеяния обмотки статора $\Phi_{\sigma 1}$ (см. рис. 11.4) наводит в обмотке статора ЭДС рассеяния $E_{\sigma 1}$, значение которой пропорционально индуктивному сопротивлению рассеяния фазы обмотки статора x_1 :

$$\dot{E}_{\sigma 1} = -jI_1 x_1. \quad (20.26)$$

5. Ток в обмотке статора I_1 создает активное падение напряжения в активном сопротивлении фазы обмотки статора r_1 :

$$\dot{U}_{a1} = I_1 r_1. \quad (20.27)$$

Геометрическая сумма всех перечисленных ЭДС, наведенных в обмотке статора, определяет напряжение на выходе синхронного генератора:

$$\dot{U}_1 = \sum \dot{E} - I_1 r_1 = \dot{E}_0 + \dot{E}_{1d} + \dot{E}_{1q} + \dot{E}_{\sigma 1} - I_1 r_1. \quad (20.28)$$

Здесь $\sum \dot{E}$ — геометрическая сумма всех ЭДС, наведенных в обмотке статора результирующим магнитным полем машины, обра-

зованным совместным действием всех МДС ($F_{в0}$, F_{1d} , F_{1q}) и потоком рассеяния статора $\Phi_{\sigma 1}$.

Активное сопротивление фазы обмотки статора r_1 у синхронных машин средней и большой мощности невелико, и поэтому даже при номинальной нагрузке падение напряжения $I_1 r_1$ составляет настолько малую величину, что с некоторым допущением можно принять $I_1 r_1 = 0$. Тогда уравнение (20.28) можно записать в виде

$$\dot{U}_1 \approx \sum \dot{E} = \dot{E}_0 + \dot{E}_{1d} + \dot{E}_{1q} + \dot{E}_{\sigma 1}. \quad (20.29)$$

Выражения (20.28) и (20.29) представляют собой *уравнения напряжений явнополюсного синхронного генератора*.

В неявнополюсных синхронных генераторах реакция якоря характеризуется полной МДС статора F_1 без разделения ее по осям, так как в этих машинах магнитные сопротивления по продольной и поперечной осям одинаковы. Поэтому ЭДС статора в неявнополюсных машинах E_1 , равная индуктивному падению напряжения в обмотке статора, пропорциональна индуктивному сопротивлению реакции якоря x_a [см. (20.19)], т. е.

$$\dot{E}_1 = -j\dot{I}_1 x_a. \quad (20.30)$$

Поток реакции якоря Φ_1 и поток рассеяния статора $\Phi_{\sigma 1}$ создаются одним током I_1 [сравните (20.26) и (20.30)], поэтому индуктивные сопротивления x_a и x_1 можно рассматривать как суммарное индуктивное сопротивление

$$x_c = x_a + x_1,$$

представляющее собой *синхронное сопротивление неявнополюсной машины*. С учетом этого ЭДС реакции якоря E_1 и ЭДС рассеяния $E_{\sigma 1}$ следует рассматривать также как сумму

$$\dot{E}_c = \dot{E}_1 + \dot{E}_{\sigma 1} = -j\dot{I}_1 x_a + (-j\dot{I}_1 x_1) = -j\dot{I}_1 x_c, \quad (20.31)$$

представляющую собой *синхронную ЭДС неявнополюсной машины*.

С учетом изложенного уравнение напряжений неявнополюсного синхронного генератора имеет вид

$$\dot{U}_1 = \sum \dot{E} - \dot{I}_1 r_1 = \dot{E}_0 + \dot{E}_c - \dot{I}_1 r_1, \quad (20.32)$$

или

$$\dot{U}_1 \approx \sum \dot{E} = \dot{E}_0 + \dot{E}_c. \quad (20.33)$$

§ 20.5. Векторные диаграммы синхронного генератора

Воспользовавшись уравнением ЭДС (20.28), построим векторную диаграмму явнополюсного синхронного генератора, работающего на активно-индуктивную нагрузку (ток \dot{I}_1 отстает по фазе от ЭДС \dot{E}_0). Векторную диаграмму строят на ос-

новании следующих данных: ЭДС генератора в режиме х. х. \dot{E}_0 ; тока нагрузки I_1 и его угла сдвига ψ_1 относительно ЭДС \dot{E}_0 ; продольного x_{ad} и поперечного x_{aq} индуктивных сопротивлений реакции якоря; активного сопротивления фазной обмотки статора r_1 .

При симметричной нагрузке генератора диаграмму строят лишь для одной фазы.

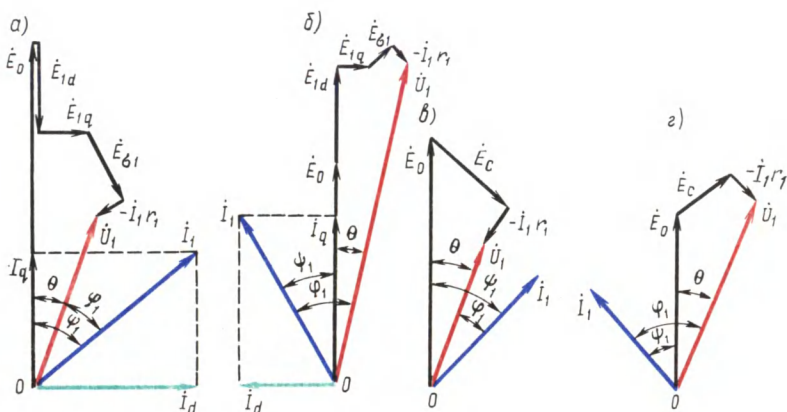


Рис. 20.8 Векторные диаграммы явнополюсного (а и б) и неявнополюсного (в и г) генераторов:

а и в — при активно-индуктивной нагрузке, б и г — при активно-емкостной нагрузке

Рассмотрим порядок построения векторной диаграммы (рис. 20.8, а). В произвольном направлении откладываем вектор ЭДС \dot{E}_0 и под углом ψ_1 к нему — вектор тока I_1 . Последний разложим на составляющие: реактивную $I_q = I_1 \sin \psi_1$ и активную $I_d = I_1 \cos \psi_1$. Далее, из конца вектора \dot{E}_0 откладываем векторы ЭДС $\dot{E}_{1d} = -jI_d x_{ad}$; $\dot{E}_{1q} = -jI_q x_{aq}$; $\dot{E}_{\sigma 1} = -jI_1 x_1$; $\dot{U}_{a1} = -I_1 r_1$.

Соединив конец вектора \dot{U}_{a1} с точкой О, получим вектор напряжения \dot{U}_1 , значение которого равно геометрической сумме векторов ЭДС [см. (20.28)].

При построении векторной диаграммы генератора, работающего на активно-емкостную нагрузку (ток I_1 опережает по фазе ЭДС \dot{E}_0), вектор тока I_1 откладывают влево от вектора ЭДС (рис. 20.8, б), а направление вектора \dot{E}_{1d} устанавливают согласно с направлением вектора ЭДС \dot{E}_0 , так как при емкостном характере нагрузки реакция якоря имеет подмагничивающий характер. В остальном порядок построения диаграммы остается прежним.

Векторную диаграмму синхронного неявнополюсного генератора строят на основании уравнения (20.32), при этом вектор \dot{E}_0 откладывают под углом ψ_1 к вектору тока I_1 (рис. 20.8, в).

Следует отметить, что построенные векторные диаграммы не учитывают насыщения магнитной цепи, поэтому отражают лишь качественную сторону явлений. Но тем не менее эти диаграммы дают возможность сделать следующие выводы: основным фактором, влияющим на изменение напряжения нагруженного генератора, является продольная составляющая магнитного потока якоря, создающая ЭДС \dot{E}_{ad} ; при работе генератора на активно-индуктивную нагрузку, т. е. с током \dot{I}_1 , отстающим по фазе от ЭДС \dot{E}_0 , напряжение на выводах обмотки статора \dot{U}_1 с увеличением нагрузки уменьшается, что объясняется размагничивающим влиянием реакции якоря. При работе генератора на активно-емкостную нагрузку (с током \dot{I}_1 , опережающим по фазе ЭДС \dot{E}_0) напряжение \dot{U}_1 с увеличением нагрузки повышается, что объясняется подмагничивающим влиянием реакции якоря (рис. 20.8, з).

§ 20.6. Характеристики синхронного генератора

Свойства синхронного генератора определяются характеристиками холостого хода, короткого замыкания, внешними и регулировочной.

Характеристика холостого хода синхронного генератора. Представляет собой график зависимости напряжения на выходе генератора в режиме х. х. $U_1 = E_0$ от тока возбуждения $I_{в0}$ при $n_1 = \text{const}$. Схема включения синхронного генератора для снятия характеристики х. х. приведена на рис. 20.9, а. Если характеристики х. х. различных синхронных генераторов изобразить в относительных единицах $E_* = f(I_{в*})$, то эти характеристики мало отличаются друг от друга и будут очень схожи с *нормальной характеристикой* х. х. (рис. 20.9, б), которую используют при расчетах синхронных машин:

E^*	0,58	1,0	1,21	1,33	1,40	1,46	1,51
I_B^*	0,5	1,0	1,5	2,0	2,5	3,0	3,5

Здесь $E_* = E_0/U_{\text{ном}}$ — относительная ЭДС фазы обмотки статора; $I_{в*} = I_{в0}/I_{в0\text{ном}}$ — относительный ток возбуждения; $I_{в0\text{ном}}$ — ток возбуждения в режиме х. х., соответствующий ЭДС х. х. $E_0 = U_{\text{ном}}$.

Характеристика короткого замыкания. Характеристику трехфазного к. з. получают следующим образом: выводы обмотки статора замыкают накоротко (рис. 20.10, *а*) и при вращении ротора с частотой вращения n_1 постепенно увеличивают ток возбуждения до значения, при котором ток к. з. превышает номинальный рабочий ток статорной обмотки не более чем на 25 % ($I_{\text{к}} = 1,25I_{\text{ном}}$). Так как в этом случае ЭДС обмотки статора имеет значение, в несколько раз меньшее, чем в рабочем режиме генератора, и, следовательно, основной магнитный поток весьма мал, то магнитная цепь машины оказывается ненасыщенной. По этой причине характеристика к. з. представляет собой прямую линию (рис. 20.10, *б*). Активное сопротивление обмотки статора

невелико по сравнению с ее индуктивным сопротивлением, поэтому, принимая $r_1 \approx 0$, можно считать, что при опыте к. з. на нагрузка синхронного генератора (его собственные обмотки) является чисто индуктивной. Из этого следует, что при опыте к. з. реакция якоря синхронного генератора имеет продольно-размагничивающий характер (см. § 20.2).

Векторная диаграмма, построенная для генератора при опыте трехфазного к. з., представлена на рис. 20.10, в. Из диаграммы видно, что ЭДС \dot{E}_k , индуцируемая в обмотке статора, полностью уравнивается ЭДС продольной реакции якоря $\dot{E}_{1d} = -j\dot{I}_d x_{ad}$ и ЭДС рассеяния $\dot{E}_{\sigma 1} = -j\dot{I}_1 x_1$:

$$\dot{E}_k = \dot{E}_{1d} + \dot{E}_{\sigma 1}.$$

При этом МДС обмотки возбуждения имеет как бы две составляющие: одна компенсирует падение напряжения $j\dot{I}_1 x_1$, а другая компенсирует размагничивающее влияние реакции якоря $j\dot{I}_d x_{ad}$.

Характеристики к. з. и х. х. дают возможность определить значения токов возбуждения, соответствующие указанным составляющим МДС возбуждения. С этой целью характеристики х. х. и к. з. строят в одних осях (рис. 20.11), при этом

на оси ординат отмечают относительные значения напряжения х. х. $E_* = E_0/U_{ном}$ и тока к. з. $I_{к*} = I_{1к}/I_{ном}$. На оси ординат откладывают отрезок OB , выражающий в масштабе напряжения значение ЭДС рассеяния $\dot{E}_{\sigma 1} = -j\dot{I}_1 x_1$. Затем точку B сносят на характеристику х. х. (точка B') и опускают перпендикуляр $B'D$ на ось абсцисс. Полученная таким образом точка D разделила

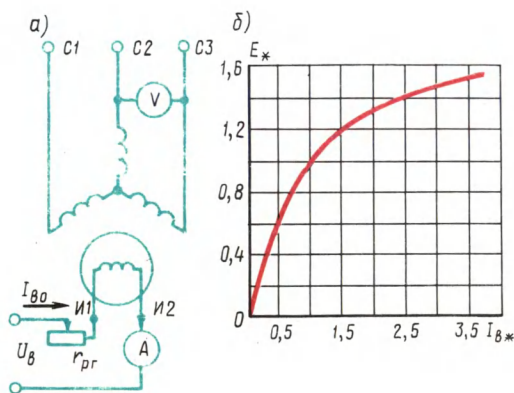


Рис. 20.9. Опыт холостого хода синхронного генератора

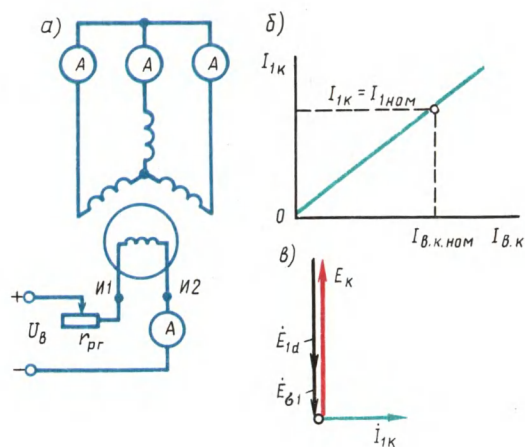


Рис. 20.10. Опыт короткого замыкания синхронного генератора

ток возбуждения $I_{в0ном}$ на две части: $I_{вх}$ — ток возбуждения, необходимый для компенсации падения напряжения jI_1x_1 и $I_{вд}$ — ток возбуждения, компенсирующий продольно-размагничивающую реакцию якоря.

Один из важных параметров синхронной машины — *отношение короткого замыкания (ОКЗ)*, которое представляет собой отношение тока возбуждения $I_{в0ном}$, соответствующего номинальному напряжению при х. х., к току возбуждения $I_{вкном}$, соответствующему номинальному току статора при опыте к. з. (рис. 20.10, б):

$$ОКЗ = I_{в0ном} / I_{вкном} \quad (20.34)$$

Для турбогенераторов $ОКЗ = 0,4 \div 0,7$; для гидрогенераторов $ОКЗ = 1,0 \div 1,4$.

ОКЗ имеет большое практическое значение при оценке свойств синхронной машины: машины с малым ОКЗ менее устойчивы при параллельной работе (см. гл. 21), имеют значительные колебания напряжения при изменениях нагрузки,

но такие машины имеют меньшие габариты и, следовательно, дешевле, чем машины с большим ОКЗ.

Внешняя характеристика. Представляет собой зависимость напряжения на выводах обмотки статора от тока нагрузки: $U_1 = f(I_1)$ при $I_v = \text{const}$; $\cos\varphi_1 = \text{const}$; $n_1 = n_{ном} = \text{const}$. На рис. 20.12, а представлены внешние характеристики, соответствующие различным по характеру нагрузкам синхронного генератора.

При активной нагрузке ($\cos\varphi_1 = 1$) уменьшение тока нагрузки I_1 сопровождается ростом напряжения U_1 , что объясняется уменьшением падения напряжения в обмотке статора и ослаблением размагничивающего действия реакции якоря по поперечной оси. При индуктивной нагрузке ($\cos\varphi_1 < 1$; инд.) увеличение U_1 при сбросе нагрузки более интенсивно, так как с уменьшением тока I_1 ослабляется размагничивающее действие продольной составляющей реакции якоря (см. § 20.2). Однако в случае емкостной нагрузки генератора ($\cos\varphi_1 < 1$; емк.) уменьшение I_1 сопровождается уменьшением напряжения U_1 , что объясняется ослаблением подмагничивающего действия продольной составляющей реакции якоря.

Изменение напряжения синхронного генератора, вызванное сбросом номинальной нагрузки при $I_v = \text{const}$ и $n_1 = \text{const}$, называется *номинальным изменением (повышением) напряжения (%)*:

$$\Delta U_{ном} = \frac{E_0 - U_{1ном}}{U_{1ном}} \cdot 100. \quad (20.35)$$

При емкостной нагрузке генератора сброс нагрузки вызывает уменьшение напряжения, а поэтому $\Delta U_{\text{ном}}$ отрицательно.

В процессе эксплуатации синхронного генератора напряжение U_1 при колебаниях нагрузки поддерживается неизменным посредством быстродействующих автоматических регуляторов. Однако во избежание повреждения изоляций обмотки $\Delta U_{\text{ном}}$ не должно превышать 50 %.

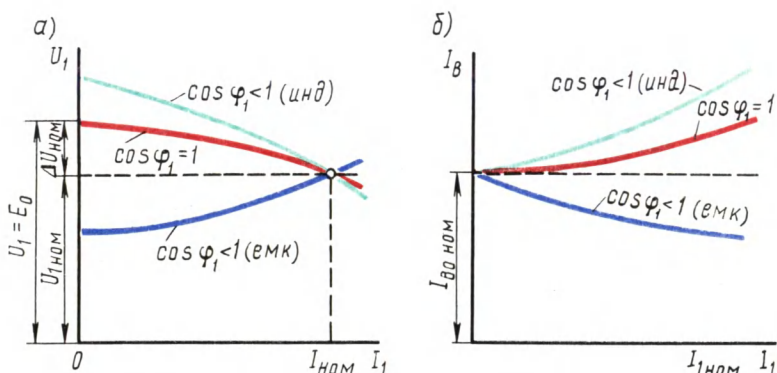


Рис. 20.12. Внешние (а) и регулировочные (б) характеристики синхронного генератора

Регулировочная характеристика. Она показывает, как следует изменять ток возбуждения генератора при изменениях нагрузки, чтобы напряжение на зажимах генератора оставалось неизменно равным номинальному: $I_b = f(I_1)$ при $U_1 = U_{1\text{ном}} = \text{const}$; $n_1 = n_{\text{ном}} = \text{const}$ и $\cos \varphi_1 = \text{const}$. На рис. 20.12, б представлены регулировочные характеристики синхронного генератора. При активной нагрузке ($\cos \varphi_1 = 1$) увеличение тока нагрузки I_1 сопровождается уменьшением напряжения U_1 , поэтому для поддержания этого напряжения неизменным по мере увеличения тока нагрузки I_1 следует повышать ток возбуждения. Индуктивный характер нагрузки ($\cos \varphi_1 < 1$; инд) вызывает более резкое понижение напряжения U_1 (рис. 20.12, а), поэтому ток возбуждения I_b , необходимый для поддержания $U_1 = U_{1\text{ном}}$, следует повышать в большей степени. При емкостном же характере нагрузки ($\cos \varphi_1 < 1$; емк.) увеличение нагрузки сопровождается ростом напряжения U_1 , поэтому для поддержания $U_1 = U_{1\text{ном}}$ ток возбуждения следует уменьшать.

§ 20.7. Практическая диаграмма ЭДС синхронного генератора

Изменение напряжения синхронного генератора $\Delta U_{\text{ном}}$ при сбросе номинальной нагрузки можно определить графически — построением практической диаграммы ЭДС. Предположим, что синхронный генератор работал в режиме номинальной нагрузки,

а затем нагрузка была полностью сброшена, но частота вращения и ток возбуждения при этом остались неизменными. Напряжение генератора после сброса нагрузки возросло на $\Delta U_{\text{ном}}$. Для определения этого значения сделаем следующее (рис. 20.13): в одних осях координат построим характеристики холостого хода и короткого замыкания. Затем на оси ординат построим век-

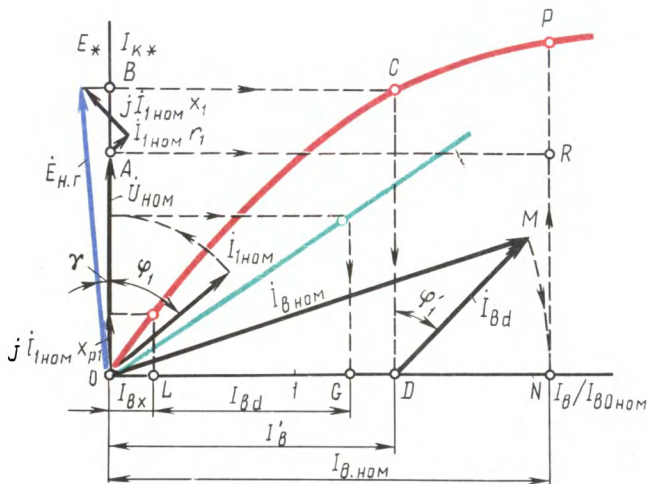


Рис. 20.13. Практическая диаграмма ЭДС

тор $OA = \dot{U}_{\text{ном}}$ и под углом φ_1 к вектору OA проведем вектор тока $I_{\text{ном}}$. Прибавив к вектору $\dot{U}_{\text{ном}}$ векторы падения напряжения $I_{\text{ном}} r_1$ и $j I_{\text{ном}} x_1$, найдем ЭДС нагруженного генератора:

$$\dot{E}_{\text{н.г}} = \dot{U}_{\text{ном}} + I_{\text{ном}} r_1 + j I_{\text{ном}} x_1. \quad (20.36)$$

Переносим точку B на характеристику х. х. (точка C), проведем ординату CD . Полученный на оси абсцисс отрезок OD определяет ток возбуждения I'_b , необходимый для создания ЭДС нагруженного генератора $E_{\text{н.г}}$. Но при работе генератора без нагрузки его ЭДС E_0 больше, чем ЭДС $E_{\text{н.г}}$, на значение ЭДС продольной реакции якоря E_{1d} , т. е. $\dot{E}_0 = \dot{E}_{\text{н.г}} + \dot{E}_{1d}$.

Для учета \dot{E}_{1d} определим ток возбуждения I_{bd} , соответствующий продольно-размагничивающему действию реакции якоря. Проведем необходимые построения, определяем $I_{bd} = LG$ (рис. 20.13). Затем из точки D под углом $\varphi'_1 = \varphi_1 + \gamma$ к CD проводим вектор $DM = I_{bd}$. Из центра O радиусом OM опишем дугу до пересечения с осью абсцисс в точке N . Тогда $ON = I_{b \text{ ном}}$ — ток возбуждения, соответствующий ЭДС $\dot{E}_0 = NP$. Проведя из точки A параллельно оси абсцисс линию AR , получим

$$\Delta U_{\text{ном}} = \frac{NP - NR}{NR} \cdot 100 = \frac{E_0 - U_{\text{ном}}}{U_{\text{ном}}} \cdot 100.$$

Пример 20.2. Построить практическую диаграмму ЭДС для трехфазного синхронного генератора и определить повышение напряжения при сбросе нагрузки. Генератор имеет следующие данные: $P_{\text{ном}} = 500$ кВт, $U_{\text{ф ном}} = 230$ В, $\cos \varphi_1 = 0,8$; $x_1 = 0,04$ Ом; $r_1 = 0,0015$ Ом; ОКЗ — 1,4, характеристика х х. нормальная (см § 20.6), обмотка статора соединена звездой.

Решение. Для построения характеристики к. з. определим относительный ток возбуждения $I_{\text{в к ном}}$, соответствующий номинальному току нагрузки. Из (20.34) получим

$$I_{\text{в к ном}}/I_{\text{в 0 ном}} = 1/\text{ОКЗ} = 1/1,4 = 0,715$$

Номинальный ток генератора

$$I_{\text{1 ном}} = \frac{P_{\text{ном}} 10^3}{m_1 U_{\text{ф ном}} \cos \varphi_{1 \text{ ном}}} =$$

$$= \frac{500 \cdot 10^3}{3 \cdot 230 \cdot 0,8} = 905 \text{ А}$$

Активное падение напряжения

$$I_{\text{1 ном}} r_1 = 905 \cdot 0,0015 = 1,36 \text{ В}$$

Индуктивное падение напряжения

$$I_{\text{1 ном}} j x_1 = 905 j 0,04 = j 36,2 \text{ В.}$$

Выразим полученные величины в относительных единицах: $I_{\text{1 ном}} r_1 / U_{\text{1 ном}} =$
 $= 1,36/230 = 0,0059$, $I_{\text{1 ном}} j x_1 / U_{\text{1 ном}} =$
 $= 36,2/230 = j 0,157$

Так как индуктивное падение напряжения в $0,157/0,0059 = 26$ раз больше активного, то активным падением напряжения можно пренебречь. Между напряжением $U_{\text{1 ном}}$ и током $I_{\text{1 ном}}$ угол сдвига фаз составляет $\varphi_1 = \arccos 0,8 = 37^\circ$.

Произведя построения в изложенном выше порядке, получим практическую диаграмму ЭДС (рис. 20 14), из которой определяем величину повышения напряжения при сбросе нагрузки:

$$\Delta U_{\text{ном}} = \frac{NP - NR}{NR} \cdot 100 = \frac{1,28 - 1}{1} \cdot 100 = 28 \, \%.$$

Все построения на диаграмме (рис. 20 14) выполнены в относительных единицах.

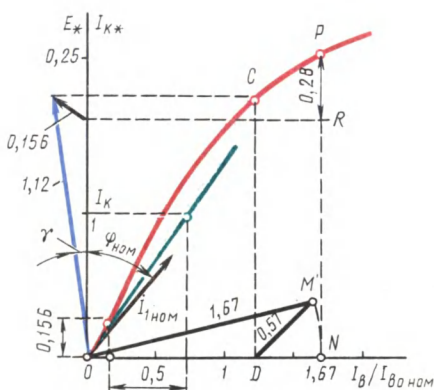


Рис. 20.14. Определение $\Delta U_{\text{ном}}$

§ 20.8. Потери и КПД синхронных машин

Преобразование энергии в синхронной машине связано с потерями энергии. Все виды потерь в синхронной машине разделяются на основные и добавочные.

Основные потери в синхронной машине состояются из электрических потерь в обмотке статора, потерь на возбуждение, магнитных потерь и механических потерь.

Электрические потери в обмотке статора (Вт)

$$P_{\text{э1}} = m_1 I_1^2 r_1, \quad (20.37)$$

где r_1 — активное сопротивление одной фазы обмотки статора при расчетной рабочей температуре, Ом.

Потери на возбуждение (Вт):

а) при возбуждении от отдельного возбудительного устройства

$$P_{\text{в}} = I_{\text{в}}^2 r_{\text{в}} + \Delta U_{\text{ш}} I_{\text{в}}, \quad (20.38)$$

где $r_{\text{в}}$ — активное сопротивление обмотки возбуждения при расчетной рабочей температуре, Ом; $\Delta U_{\text{ш}} = 2$ В — падение напряжения в щеточном контакте щеток;

б) при возбуждении от генератора постоянного тока (возбудителя), сочлененного с валом синхронной машины,

$$P_{\text{в}} = (I_{\text{в}}^2 r_{\text{в}} + \Delta U_{\text{ш}} I_{\text{в}}) / \eta_{\text{в}}, \quad (20.39)$$

где $\eta_{\text{в}} = 0,80 \div 0,85$ — КПД возбудителя.

Магнитные потери синхронной машины происходят в сердечнике статора, который подвержен перемагничиванию вращающимся магнитным полем. Эти потери состоят из потерь от гистерезиса $P_{\text{г}}$ и потерь от вихревых токов $P_{\text{вт}}$:

$$P_{\text{м}} = P_{\text{г}} + P_{\text{вт}}. \quad (20.40)$$

Механические потери (Вт), равные сумме потерь на трение в подшипниках и потерь на вентиляцию (при самовентиляции машины),

$$P_{\text{мех}} \approx 3,68p \left(\frac{v_2}{40} \right)^3 \sqrt{10^3 l_1}, \quad (20.41)$$

где

$$v_2 = \pi(D_1 - 2\delta)n_1/60 \quad (20.42)$$

— окружная скорость на поверхности полюсного наконечника ротора, м/с; l_1 — конструктивная длина сердечника статора, мм.

Добавочные потери в синхронных машинах разделяются на два вида: пульсационные потери в полюсных наконечниках ротора и потери при нагрузке.

Добавочные пульсационные потери $P_{\text{п}}$ в полюсных наконечниках ротора обусловлены пульсацией магнитной индукции в зазоре из-за зубчатости внутренней поверхности статора. Значение этих потерь (Вт)

$$P_{\text{п}} = k_{\text{п}} p b_p l_1 (10^{-4} Z_1 n_1)^{1,5} [B_{\delta}(k_{\delta 1} - 1)t_1]^2 \cdot 10^{-6}, \quad (20.43)$$

где $k_{\text{п}}$ — коэффициент, учитывающий толщину листов полюсов ротора (при толщине листов 1 мм $k_{\text{п}} = 4,6$; при толщине листов 2 мм $k_{\text{п}} = 8,6$; при массивных полюсных наконечниках $k_{\text{п}} = 23,3$); b_p — ширина полюсного наконечника, мм; Z_1 — число пазов на статоре; B_{δ} — магнитная индукция в зазоре, Тл; $k_{\delta 1}$ — коэффициент воздушного зазора статора; t_1 — зубцовое деление статора, мм.

Добавочные потери при нагрузке $P_{\text{доб}}$ в синхронных машинах определяют в процентах от подводимой мощности двигателей или от полезной мощности генераторов. Для синхронных машин мощностью до 1000 кВт добавочные потери при нагрузке принимают равными 0,5 %, а для машин мощностью более 1000 кВт —

0,25—0,4 %. Суммарные потери в синхронной машине (кВт)

$$\sum P = (P_{з1} + P_{в} + P_{м1} + P_{мех} + P_{п} + P_{доб}) \cdot 10^{-3}. \quad (20.44)$$

Коэффициент полезного действия:

для синхронного генератора

$$\eta_{г} = 1 - \sum P / (P_{ном} + \sum P), \quad (20.45)$$

где

$$P_{ном} = m_1 U_{1ном} I_{1ном} \cos \varphi_1 \cdot 10^{-3} \quad (20.46)$$

— активная мощность, отбираемая от генератора при его номинальной нагрузке, кВт;

для синхронного двигателя

$$\eta_{д} = 1 - \sum P / P_{1ном}. \quad (20.47)$$

Здесь $U_{1ном}$ и $I_{1ном}$ — фазные значения напряжения и тока статора.

КПД синхронной машины зависит от величины нагрузки ($\beta = P_2/P_{ном}$) и от ее характера ($\cos \varphi_1$). Графики этой зависимости аналогичны изображенным на рис. 1.41. КПД синхронных машин мощностью до 100 кВт составляет 80—90 %, у более мощных машин КПД достигает 92—99 %. Более высокие значения КПД относятся к турбо- и гидрогенераторам мощностью в десятки и даже сотни тысяч киловатт.

Контрольные вопросы

1. Из каких участков состоит магнитная цепь явнополюсной синхронной машины?
2. В чем состоит явление реакции якоря?
3. Каково действие реакции якоря при активной, индуктивной и емкостной нагрузках синхронного генератора?
4. Какие ЭДС наводят в обмотке статора явнополюсного синхронного генератора магнитные потоки реакции якоря и каким индуктивным сопротивлениям эти ЭДС эквивалентны?
5. Почему характеристика к. з. синхронной машины имеет вид прямой линии?
6. Что такое ОКЗ и как влияет этот параметр на свойства синхронного генератора?
7. Что такое номинальное изменение напряжения при сбросе нагрузки и почему при емкостной нагрузке его величина отрицательна?
8. Определите изменение напряжения при сбросе нагрузки для примера 20.2, если генератор работал с нагрузкой, равной половине номинальной
9. Какие виды потерь имеют место в синхронной машине?

§ 21.1. Включение генераторов на параллельную работу

На электрических станциях обычно устанавливают несколько синхронных генераторов, включаемых параллельно для совместной работы (рис. 21.1). Наличие нескольких генераторов вместо одного суммарной мощности дает преимущества, объясняемые теми же соображениями, которые были изложены применительно к параллельной работе трансформаторов (см. § 2.2).

При включении синхронного генератора в сеть на параллельную работу необходимо соблюдать следующие условия: ЭДС генератора E_0 в момент подключения его к сети должна быть равна и противоположна по фазе напряжению сети ($\dot{E}_0 = -\dot{U}_c$); частота ЭДС генератора f_r должна быть равна частоте переменного напряжения в сети f_c ; порядок следования фаз на выводах генератора должен быть таким же, что и на зажимах сети.

Приведение генератора в состояние, удовлетворяющее всем указанным условиям, называют *синхронизацией*. Несоблюдение любого из условий синхронизации приводит к появлению в обмотке статора больших уравнивающих токов, чрезмерное значение которых может явиться причиной аварии.

Включить генератор в сеть с параллельно работающими генераторами можно или способом точной синхронизации, или способом самосинхронизации.

Способ точной синхронизации. Сущность этого способа состоит в том, что, прежде чем включить генератор в сеть, его приводят в состояние, удовлетворяющее всем вышеперечисленным условиям. Момент соблюдения этих условий, т. е. момент синхронизации, определяют прибором, называемым *синхроноскопом*. По конструкции синхроноскопы разделяют на стрелочные и ламповые. Рассмотрим процесс синхронизации генераторов с применением лампового синхроноскопа, который состоит из трех ламп 1, 2, 3, расположенных в вершинах равностороннего треугольника.

При включении ламп по схеме «на погасание» (рис. 21.2, а) момент синхронизации соответствует одновременному погасанию всех ламп. Предположим, что звезда ЭДС генератора \dot{E}_A ; \dot{E}_B ; \dot{E}_C вращается с угловой частотой ω_1 , превышающей угловую частоту вращения ω_c звезды напряжений сети \dot{U}_A ; \dot{U}_B ; \dot{U}_C . В этом случае напряжение на лампах определяется геометрической суммой

$$\dot{E}_A + \dot{U}_A; \quad \dot{E}_B + \dot{U}_B; \quad \dot{E}_C + \dot{U}_C \quad (\text{рис. 21.2, б}).$$

В момент совпадения векторов звезды ЭДС с векторами звезды напряжений эта сумма достигает наибольшего значения, при этом лампы горят с наибольшим накалом (напряжение на лампах равно удвоенному напряжению сети). В последующие моменты времени звезда ЭДС обгоняет звезду напряжений и напряжение на лампах уменьшается. В момент синхронизации векторы ЭДС и напряжений занимают положение, при котором $\dot{E}_A + \dot{U}_A = 0$; $\dot{E}_B + \dot{U}_B = 0$; $\dot{E}_C + \dot{U}_C = 0$, т. е. $U_L = 0$, и все три лампы одновременно гаснут (рис. 21.2, в). При большой разности угловых частот ω_1 и ω_c лампы вспыхивают часто. Изменяя частоту вращения первичного двигателя, добиваются равенства $\omega_r = \omega_c$, о чем будет свидетельствовать погасание ламп на длительное время. В этот момент и следует замкнуть рубильник, после чего генератор окажется подключенным к сети.

Рис. 21.1 Включение синхронных генераторов на параллельную работу

$\Gamma_1 - \Gamma_4$ — синхронные генераторы, $\Pi Д_1 - \Pi Д_4$ — приводные двигатели

Способ самосинхронизации. Ротор возбужденного генератора приводят во вращение первичным двигателем до частоты вращения, отличающейся от синхронной не более чем на 2—5 %, затем генератор подключают к сети. Для того чтобы избежать перенапряжений в обмотке ротора в момент подключения генератора к сети, ее замыкают на некоторое активное сопротивление. Так как в момент подключения генератора к сети его

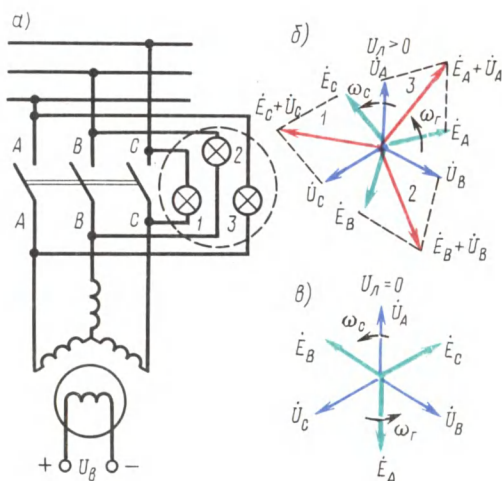


Рис. 21.2 Ламповый синхроскоп

ЭДС равна нулю (генератор не возбужден), то под действием напряжения сети в обмотке статора наблюдается резкий бросок тока, превышающий номинальное значение тока генератора. Вслед за включением обмотки статора в сеть подключают обмотку возбуждения к источнику постоянного тока и синхронный генератор под действием электромагнитного момента, действующего на его ротор, втягивается в синхронизм, т.е. частота вращения ротора становится синхронной. При этом ток статора быстро уменьшается.

При самосинхронизации в генераторе протекают сложные электрохимические переходные процессы, вызывающие значительные механические воздействия на обмотки, подшипники и муфту, соединяющую генератор с турбиной. Влияние этих воздействий на надежность генератора учитывается при проектировании синхронных генераторов. Способом самосинхронизации включают на параллельную работу синхронные генераторы мощностью до 500 МВт.

§ 21.2. Нагрузка генератора, включенного на параллельную работу

Обычно совместно на одну сеть работают несколько синхронных генераторов и мощность любого из них намного меньше суммарной мощности всех остальных генераторов. Будем считать, что синхронный генератор подключают на параллельную работу с другими генераторами, суммарная мощность которых настолько

велика по сравнению с мощностью подключаемого генератора, что при любых изменениях параметров этого генератора напряжение сети U_c и ее частота f_c остаются неизменными.

После подключения генератора в сеть при соблюдении всех условий синхронизации его ЭДС E_0 равна по значению и противоположна по фазе напряжению сети (рис. 21.3, а), поэтому ток в цепи генератора равен нулю, т.е. генератор работает без нагрузки. Механическая мощность приводного двигателя P_1 в этом случае полностью затрачивается на покрытие потерь х. х.: $P_0 = P_{\text{мех}} + P_{\text{м1}} + P_{\text{в}} + P_{\text{п}}$.

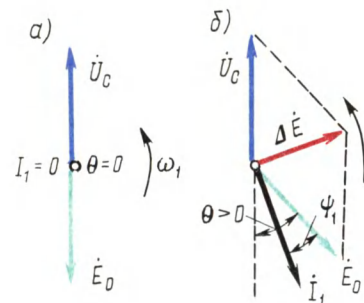


Рис 21.3 Векторные диаграммы синхронного генератора, включенного на параллельную работу в сеть большой мощности:

а — при работе без нагрузки, б — при работе с нагрузкой

Отсутствие тока в обмотке статора синхронного генератора ($I_1 = 0$) приводит к тому, что обмотка статора не создает вращающегося магнитного поля и в генераторе действует лишь магнитное поле возбуждения, вращающееся вместе с ротором с угловой частотой ω_1 , но не создающее электромагнитного момента.

Если же увеличить вращающий момент приводного двигателя M_1 , то ротор машины, получив некоторое ускорение, сместится относительно своего первоначального положения на угол θ в направлении вращения. На такой же угол θ окажется сдвинутым вектор ЭДС генератора \dot{E}_0 относительно своего положения, соответствующего режиму х. х. генератора (рис. 21.3, б). В результате в цепи статора появится результирующая ЭДС $\Delta \dot{E} = \dot{E}_0 + \dot{U}_c$, которая создаст в цепи обмотки статора генератора ток I_1 .

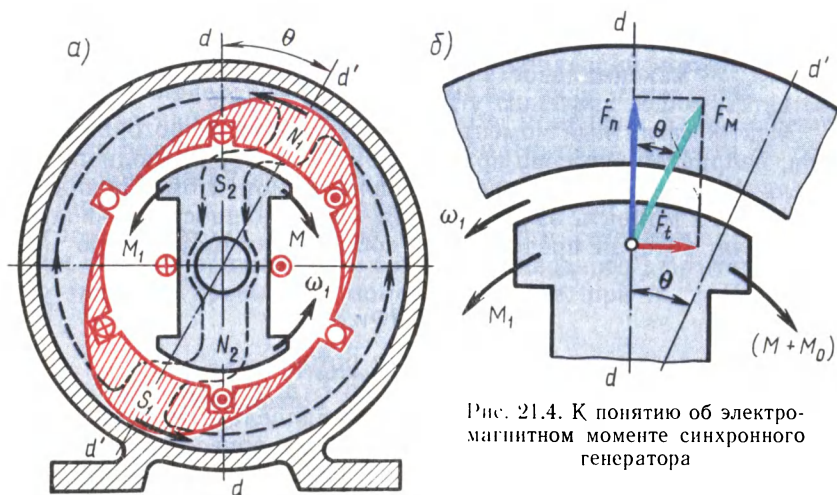


Рис. 21.4. К понятию об электро-магнитном моменте синхронного генератора

Если пренебречь активным сопротивлением обмотки статора и считать сопротивление этой обмотки чисто индуктивным, то ток I_1 отстает по фазе от $\Delta \dot{E}$ на угол 90° (рис. 21.3, б) и отстает по фазе от ЭДС E_0 на угол ψ_1 .

Ток I_1 создает магнитное поле, вращающееся синхронно с ротором и создающее вместе с полем ротора результирующее магнитное поле синхронной машины. Ось этого результирующего поля $d'-d'$ не совпадает с продольной осью полюсов ротора $d-d$: в синхронном генераторе ось полюсов ротора $d-d$ опережает ось результирующего поля машины $d'-d'$ на угол θ (рис. 21.4, а).

Известно, что разноименные магнитные полюсы взаимно притягиваются, поэтому между намагниченными полюсами ротора и неявно выраженными полюсами вращающегося поля статора возникают силы магнитного притяжения F_m (рис. 21.4, б). Вектор этой силы на каждом полюсе ротора, направленный под углом θ к оси полюса, имеет две составляющие: $F_n = F_m \cos \theta$ — нормальная составляющая, направленная по оси полюсов, и $F_t = F_m \sin \theta$ — тангенциальная составляющая, направленная перпендикулярно оси полюсов ротора. Совокупность тангенциальных составляющих F_t на всех полюсах ротора создает на роторе синхронного

генератора электромагнитный момент, направленный встречно вращающемуся магнитному полю:

$$M = F_i 2p(D_2/2) = F_m D_2 p \sin \theta, \quad (21.1)$$

где D_2 — диаметр ротора.

Из полученного выражения следует, что электромагнитный момент синхронной машины является синусоидальной функцией угла θ и может быть представлен выражением

$$M = M_{\max} \sin \theta, \quad (21.2)$$

где M_{\max} — максимальное значение электромагнитного момента, соответствующее значению угла $\theta = 90$ эл. град.

Электромагнитный момент M , возникающий на роторе генератора, направлен встречно вращающему моменту приводного двигателя M_1 , т. е. он является *тормозящим* моментом. На преодоление этого момента затрачивается часть мощности приводного двигателя, которая представляет собой электромагнитную мощность

$$P_{\text{эм}} = M \omega_1, \quad (21.3)$$

где ω_1 — угловая частота вращения ротора.

Таким образом, с появлением тока I_1 в обмотке статора синхронного генератора, работающего параллельно с сетью, генератор получает электрическую нагрузку, а приводной двигатель (турбина, дизельный двигатель и т. п.) получает дополнительную механическую нагрузку. При этом механическая мощность приводного двигателя P_1 расходуется не только на покрытие потерь х. х. генератора P_0 , но и частично преобразуется в электромагнитную мощность генератора $P_{\text{эм}}$, т. е.

$$P_1 = P_0 + P_{\text{эм}}. \quad (21.4)$$

Следовательно, *электромагнитная мощность синхронного генератора представляет собой электрическую активную мощность, преобразованную из части механической мощности приводного двигателя:*

$$P_{\text{эм}} = P_1 - P_0.$$

Что же касается активной мощности на выходе синхронного генератора P_2 , отдаваемой генератором в сеть, т. е.

$$P_2 = m_1 U_1 I_1 \cos \varphi_1 \cdot 10^{-3},$$

то она меньше электромагнитной мощности $P_{\text{эм}}$ на значение, равное сумме электрических потерь в обмотке статора $P_{\text{э1}} = m_1 I_1^2 r_1$ и добавочных потерь $P_{\text{доб}}$ при нагрузке:

$$P_2 = P_{\text{эм}} - (P_{\text{э1}} + P_{\text{доб}}). \quad (21.5)$$

Следовательно, *мощность на выходе синхронного генератора P_2 (активная нагрузка) при его параллельной работе с сетью*

регулируется изменением вращающего момента M_1 приводного двигателя:

$$P_2 = P_1 - \sum P = M_1 \omega_1 - \sum P,$$

где $\omega_1 = 2\pi f_1 / p = \text{const}$ — угловая синхронная скорость вращения ротора синхронной машины, рад/с.

Если все слагаемые уравнения (21.4) разделить на угловую частоту $P_1 / \omega_1 = P_0 / \omega_1 + P_{эм} / \omega_1$, то получим уравнение моментов

$$M_1 = M_0 + M. \quad (21.6)$$

Из этого уравнения следует, что вращающий момент M_1 , развиваемый приводным двигателем на валу генератора, равен сумме противодействующих моментов: момента х. х. M_0 , обусловленного потерями х. х. P_0 , и электромагнитного момента M , обусловленного нагрузкой генератора.

Момент х. х. M_0 для данного генератора постоянен ($M_0 = \text{const}$), поэтому нагрузка синхронного генератора возможна лишь за счет вращающего момента приводного двигателя, когда его значение превышает момент х. х., т. е. при $M_1 > M_0$.

§ 21.3. Угловые характеристики синхронного генератора

Электромагнитная мощность неявнополюсного синхронного генератора при его параллельной работе с сетью

$$P_{эмн} = m_1 U_1 E_0 \sin \theta / x_c, \quad (21.7)$$

где θ — угол, на который продольная ось ротора смещена относительно продольной оси результирующего поля машины (рис. 21.4).

Электромагнитная мощность явнополюсного синхронного генератора

$$P_{эм я} = \frac{m_1 U_1 E_0}{x_d} \sin \theta + \frac{m_1 U_1^2}{2} \left(\frac{1}{x_q} - \frac{1}{x_d} \right) \sin 2\theta, \quad (21.8)$$

где $x_d = x_{ад} + x_1$ и $x_q = x_{аd} + x_1$ — синхронные индуктивные сопротивления явнополюсной синхронной машины по продольной и поперечной осям соответственно, Ом.

Разделив выражения (21.7) и (21.8) на синхронную частоту вращения ω_1 , получим выражения электромагнитных моментов: *неявнополюсной* синхронной машины

$$M_n = \frac{P_{эм}}{\omega_1} = \frac{m_1 U_1 E_0}{\omega_1 x_c} \sin \theta; \quad (21.9)$$

явнополюсной синхронной машины

$$M_я = \frac{P_{эм}}{\omega_1} = \frac{m_1 U_1 E_0}{\omega_1 x_d} \sin \theta + \frac{m_1 U_1^2}{2 \omega_1} \left(\frac{1}{x_q} - \frac{1}{x_d} \right) \sin 2\theta, \quad (21.10)$$

где M — электромагнитный момент, Н·м.

Анализ выражения (21.10) показывает, что электромагнитный момент явнополюсной машины имеет две составляющие: одна из них представляет собой *основную составляющую электромагнитного момента*

$$M_{\text{осн}} = \frac{m_1 U_1 E_0}{\omega_1 x_d} \sin \theta, \quad (21.11)$$

другая — *реактивную составляющую момента*

$$M_p = \frac{m_1 U_1^2}{2\omega_1} \left(\frac{1}{x_q} - \frac{1}{x_d} \right) \sin 2\theta. \quad (21.12)$$

Основная составляющая электромагнитного момента $M_{\text{осн}}$ явнополюсной синхронной машины зависит не только от напряжения сети ($M_{\text{осн}} \equiv U_1$), но и от ЭДС E_0 , наведенной магнитным потоком вращающегося ротора Φ в обмотке статора:

$$E_0 = 4,44 f_1 \Phi \omega_1 k_{\text{об1}}. \quad (21.13)$$

Это свидетельствует о том, что основная составляющая электромагнитного момента $M_{\text{осн}}$ зависит от магнитного потока ротора: $M_{\text{осн}} \equiv \Phi$. Отсюда следует, что в машине с невозбужденным ротором ($\Phi = 0$) основная составляющая момента $M_{\text{осн}} = 0$.

Реактивная составляющая электромагнитного момента M_p не зависит от магнитного потока полюсов ротора. Для возникновения этой составляющей достаточно двух условий: во-первых, чтобы ротор машины имел явно выраженные полюсы ($x_q \neq x_d$) и, во-вторых, чтобы к обмотке статора было подведено напряжение сети ($M_p \equiv U_1^2$). Подробнее физическая сущность реактивного момента будет изложена в § 23.2.

При увеличении нагрузки синхронного генератора, т. е. с ростом тока I_1 , происходит увеличение угла θ , что ведет к изменению электромагнитной мощности генератора и его электромагнитного момента. Зависимости $P_{\text{эм}} = f(\theta)$ и $M = f(\theta)$, представленные графически, называются *угловыми характеристиками синхронной машины*.

Рассмотрим угловые характеристики электромагнитной мощности $P_{\text{эм}} = f(\theta)$ и электромагнитного момента $M_{\text{я}} = f(\theta)$ явнополюсного синхронного генератора (рис. 21.5). Эти характеристики построены при условии постоянства напряжения сети ($U_c = \text{const}$) и магнитного потока возбуждения, т. е. $E_0 = \text{const}$. Из выражений (21.9) и (21.11) видим, что основная составляющая электромагнитного момента $M_{\text{осн}}$ и соответствующая ей составляющая электромагнитной мощности изменяются пропорционально синусу угла θ (график 1), а реактивная составляющая момента M_p и соответствующая ей составляющая электромагнитной мощности изменяется пропорционально синусу угла 2θ (график 2). Зависимость результирующего момента $M_{\text{я}} = M_{\text{осн}} + M_p$ и электромагнитной мощности $P_{\text{эм}}$ от угла θ определяется графиком 3, полученным сложением значений моментов $M_{\text{осн}}$ и M_p и соответствующих им мощностей по ординатам.

Максимальное значение электромагнитного момента M_{\max} соответствует критическому значению угла $\theta_{\text{кр}}$.

Как видно из результирующей угловой характеристики (график 3), при увеличении нагрузки синхронной машины до значений, соответствующих углу $\theta \leq \theta_{\text{кр}}$, синхронная машина работает устойчиво. Объясняется это тем, что при $\theta \leq \theta_{\text{кр}}$ рост нагрузки генератора (увеличение θ) сопровождается увеличением электромагнитного момента. В этом случае любой установившейся нагрузке соответствует равенство вращающего момента первичного двигателя M_1 сумме противодействующих моментов, т. е. $M_1 = M_{\text{я}} + M_0$. В результате частота вращения ротора остается неизменной, равной синхронной частоте вращения.

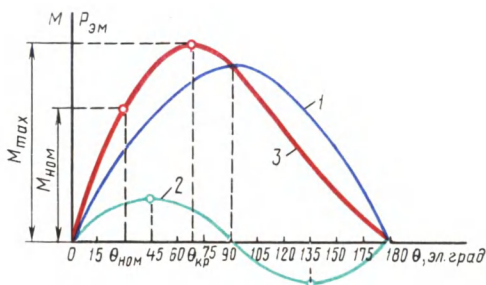


Рис. 21.5. Угловая характеристика синхронного генератора

При нагрузке, соответствующей углу $\theta > \theta_{\text{кр}}$, электромагнитный момент

$M_{\text{я}}$ уменьшается, что ведет к нарушению равенства вращающего и противодействующих моментов. При этом избыточная (неуравновешенная) часть вращающего момента первичного двигателя $\Delta M = M_1 - (M_{\text{я}} + M_0)$ вызывает увеличение частоты вращения ротора, что ведет к нарушению условий синхронизации (машина выходит из синхронизма).

Электромагнитный момент, соответствующий критическому значению угла ($\theta_{\text{кр}}$), является максимальным M_{\max} .

Для явнополюсных синхронных машин $\theta_{\text{кр}} = 60 \div 80$ эл. град.

Угол $\theta_{\text{кр}}$ можно определить из формулы

$$\cos \theta_{\text{кр}} = \sqrt{\beta^2 + 0,5} - \beta. \quad (21.14)$$

Здесь

$$\beta = E_0 / [4U_1(x_d/x_q - 1)]. \quad (21.15)$$

У неявнополюсных синхронных машин $M_p = 0$, а поэтому угловая характеристика представляет собой синусоиду и угол $\theta_{\text{кр}} = 90^\circ$.

Отношение максимального электромагнитного момента M_{\max} к номинальному $M_{\text{ном}}$ называется *перегрузочной способностью синхронной машины* или *коэффициентом статической перегрузжаемости*:

$$\lambda = M_{\max} / M_{\text{ном}} = 1,4 \div 3. \quad (21.16)$$

Пренебрегая реактивной составляющей момента, можно записать

$$\lambda \approx 1 / \sin \theta_{\text{ном}}, \quad (21.17)$$

т. е. чем меньше угол $\theta_{\text{ном}}$, соответствующий номинальной нагрузке синхронной машины, тем больше ее перегрузочная способность. Например, у турбогенератора $\theta_{\text{ном}} = 25 \div 30^\circ$, что соответствует $\lambda = 2,35 \div 2,0$.

Пример 21.1. Трехфазный синхронный генератор с явно выраженными полюсами на роторе ($2p = 10$) включен на параллельную работу с сетью напряжением 6000 В частотой 50 Гц. Обмотка статора соединена звездой и содержит в каждой фазе $w_1 = 310$ последовательных витков, обмоточный коэффициент $k_{\text{об1}} = 0,92$, индуктивное сопротивление рассеяния обмотки $x_1 = 10$ Ом. Диаметр расточки $D_1 = 0,8$ м, расчетная длина сердечника статора $l_i = 0,28$ м, воздушный зазор равномерный $\delta = 2$ мм, коэффициент полюсного перекрытия $\alpha = 0,7$, коэффициент воздушного зазора $k_\delta = 1,3$, коэффициент магнитного насыщения $k_\mu = 1,1$. Магнитный поток ротора $\Phi = 0,058$ Вб.

Требуется рассчитать значения электромагнитных моментов и построить графики $M_{\text{осн}}$, M_p и $M = f(\theta)$.

Решение. Полное индуктивное сопротивление реакции якоря по (20.19)

$$x_a = 2,5 \cdot 10^{-6} m_1 f_1 \frac{D_1 l_i}{\delta k_\delta k_\mu} \left(\frac{w_1 k_{\text{об1}}}{p} \right)^2 = 2,5 \cdot 10^{-6} \cdot 3 \cdot 50 \frac{0,8 \cdot 0,28}{2 \cdot 10^{-3} \cdot 1,3 \cdot 1,1} \times \\ \times \left(\frac{310 \cdot 0,92}{5} \right)^2 = 96 \text{ Ом}$$

При $\alpha = 0,7$ коэффициенты формы поля $k_d = 0,928$ и $k_q = 0,442$ (см. § 20.3). Индуктивное сопротивление реакции якоря: по продольной оси [см. (20.24)]

$$x_{ad} = x_a k_d = 96 \cdot 0,928 = 91,8 \text{ Ом};$$

по поперечной оси [см. (20.25)]

$$x_{aq} = x_a k_q = 96 \cdot 0,442 = 42,4 \text{ Ом}.$$

Синхронные индуктивные сопротивления по продольной и поперечной осям:

$$x_d = x_{ad} + x_1 = 104,4 + 10 = 114,4 \text{ Ом}; \\ x_q = x_{aq} + x_1 = 48,2 + 10 = 58,2 \text{ Ом}.$$

ЭДС обмотки статора в режиме х х по (21.13)

$$E_0 = 4,44 f_1 \Phi w_1 k_{\text{об1}} = 4,44 \cdot 50 \cdot 0,058 \cdot 310 \cdot 0,92 = 3659 \text{ В}.$$

Напряжение фазы обмотки статора

$$U_{1\text{ном}} = 6000 / \sqrt{3} = 3468 \text{ В}.$$

Угловая частота вращения ротора

$$\omega_1 = 2\pi f_1 / p = 2\pi 50 / 5 = 62,8 \text{ с}^{-1}.$$

Максимальное значение основной составляющей электромагнитного момента генератора

$$M_{\text{осн}} = \frac{m_1 U_1 E_0}{\omega_1 x_d} = \frac{3 \cdot 3468 \cdot 3659}{62,8 \cdot 114,4} = 5954 \text{ Н} \cdot \text{м}.$$

Максимальное значение реактивной составляющей электромагнитного момента

$$M_p = \frac{m_1 U_1^2}{2\omega_1} \left(\frac{1}{x_q} - \frac{1}{x_d} \right) = \frac{3 \cdot 3468^2}{2 \cdot 62,8} \left(\frac{1}{58,2} - \frac{1}{114,4} \right) = 2642 \text{ Н} \cdot \text{м}.$$

Результаты расчета моментов $M_{\text{осн}} = M_{\text{осн max}} \sin \theta$; $M_p = M_{p \text{ max}} \sin 2\theta$; $M_\pi = M_{\text{осн}} + M_p$ для ряда значений угла θ приведены ниже:

θ , град	20	30	45	60	70	90
$\sin \theta$	0,342	0,500	0,707	0,866	0,940	1,0
$M_{\text{осн}}$, Н·м	2036	2977	4209	5156	5596	5954
$\sin 2\theta$	0,643	0,866	1,0	0,866	0,643	0
M_p , Н·м	1698	2287	2642	2287	1698	0
M , Н·м	3734	5264	6851	7443	7294	5954

Угол $\theta_{\text{кр}}$, соответствующий максимальному моменту M_{max} , по (21.14)

$$\cos \theta_{\text{кр}} = \sqrt{\beta^2 + 0,5} - \beta = \sqrt{0,28^2 + 0,5} - 0,28 = 0,48,$$

где $\beta = E_0 / [4U_1(x_d/x_q - 1)] = 3659 / [4 \cdot 3468(114,4/58,2 - 1)] = 0,28$, $\arccos 0,48 = 61,3^\circ$

Углу $\theta_{\text{кр}} = 61,3^\circ$ соответствуют моменты

$$M'_{\text{осн}} = M_{\text{осн max}} \sin \theta_{\text{кр}} = 5954 \cdot 0,877 = 5222 \text{ Н} \cdot \text{м},$$

$$M'_p = M_{p \text{ max}} \sin 2\theta_{\text{кр}} = 2642 \cdot 0,842 = 2254 \text{ Н} \cdot \text{м};$$

$$M_{\text{max}} = M_{\text{осн}} + M_p = 5222 + 2254 = 7476 \text{ Н} \cdot \text{м}.$$

Графики моментов $M_{\text{осн}}$, M_p и $M_{\text{я}} = f(\theta)$, построенные по результатам расчета, приведены на рис. 21.6.

§ 21.4. Колебания синхронных генераторов

Предположим, что синхронный генератор, подключенный на параллельную работу к сети, работает ненагруженным. Чтобы нагрузить генератор, увеличивают вращающий момент первичного двигателя M_1 до значения M'_1 , соответствующего повороту оси полюсов ротора на угол θ_1 и электромагнитному моменту $M = M'_1$ (рис. 21.7, график 1). Однако под действием инерции вращающихся масс синхронной машины и приводного двигателя ротор повернется на угол $\theta_2 > \theta_1$, при котором электромагнитный момент генератора достигает значения $M' > M'_1$. В результате нарушившегося равновесия моментов ротор начнет поворачиваться в направлении уменьшения угла θ , но силы инерции и в этом случае помешают ротору остановиться в положении, соответствующем углу θ_1 , и переведут его в положение, соответствующее значению угла θ_3 , при котором электромагнитный момент генератора M'' окажется меньше вращающего момента M'_1 . Поэтому ротор не остановится в положении θ_3 , а будет поворачиваться в направлении увеличения угла θ .

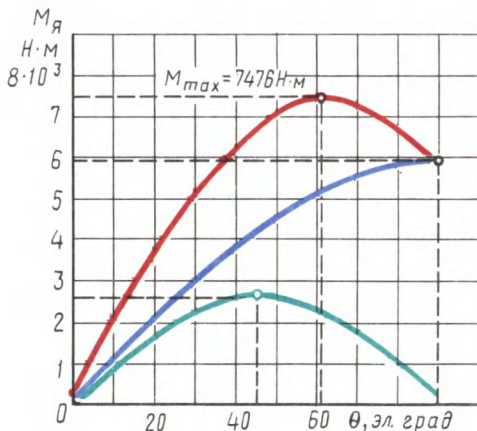


Рис 21.6. Угловые характеристики моментов (к примеру 21.1)

Таким образом, ротор синхронного генератора будет совершать колебательные движения (качания) около среднего положения θ_1 (рис. 21.7, график 2), соответствующего равновесию вращающего и электромагнитного моментов. Если бы колебания

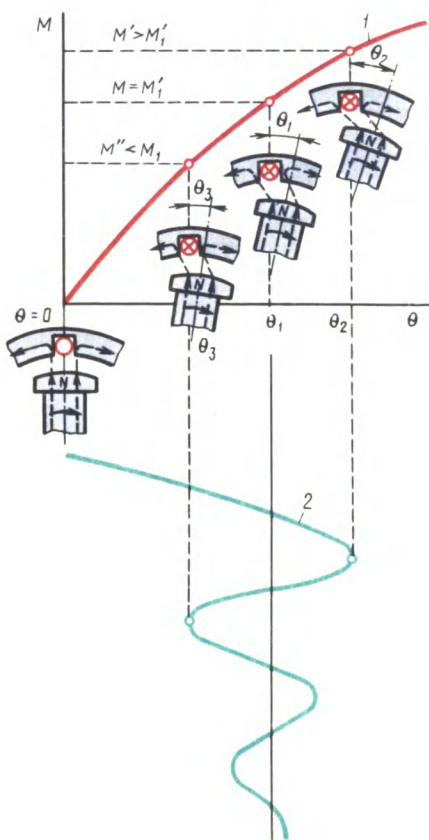


Рис. 21.7. Колебания синхронной машины:

1 — угловая характеристика, 2 — график затухающих колебаний ротора

колебания ротора, могут быть либо изменения вращающего момента первичного двигателя M_1 , либо изменения нагрузки генератора, т. е. электромагнитного момента M . Колебания ротора, вызванные указанными причинами, называют *собственными*.

Возможны также *вынужденные колебания*, вызванные неравномерным вращением ротора, например в генераторах с приводом от поршневых двигателей (дизели, газовые двигатели). Наиболее опасен случай совпадения частоты собственных колебаний с частотой вынужденных (резонанс колебаний). При этом коле-

бания ротора не сопровождались потерями энергии, то они продолжались бы неопределенно долго, т. е. были бы незатухающими. Однако в реальных условиях колебания ротора вызывают потери энергии, из которых наибольшее значение имеют магнитные потери, обусловленные возникновением вихревых токов в сердечнике ротора. Объясняется это тем, что при отсутствии колебаний частота вращения ротора постоянна и равна частоте вращения результирующего магнитного поля. Однако при возникновении колебаний ротора частота вращения последнего становится неравномерной, т. е. происходит его движение относительно магнитного поля статора, что ведет к возникновению в сердечнике ротора вихревых токов. Взаимодействие этих токов с магнитным полем статора оказывает на ротор «успокаивающее» действие, уменьшающее его колебания. Следовательно, колебания ротора имеют затухающий характер, и поэтому спустя некоторое время ротор займет положение, соответствующее углу θ_1 , при котором устанавливается равновесие моментов. Причинами, вызывающими

бания резко усиливаются, так что параллельная работа генераторов становится невозможной.

Потери энергии в металлических частях ротора оказывают тормозящее действие на подвижную часть машины и уменьшают ее колебания. Однако значительного уменьшения колебаний достигают применением в синхронной машине *успокоительной* (демпферной) обмотки. В явнополюсных машинах успокоительную обмотку выполняют в виде стержней, заложенных в пазы полюсных наконечников и соединенных на торцовых сторонах пластинами (рис. 21.8). В неявнополюсных машинах колебания устраняются лишь действием вихревых токов, наводимых в сердечнике ротора.

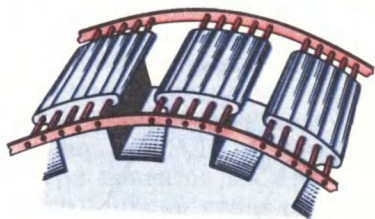


Рис 21.8. Успокоительная (демпферная) обмотка

В заключение отметим, что изложенное здесь о колебаниях синхронных генераторов в равной мере относится и к синхронным двигателям (см. § 22.1).

§ 21.5. Синхронизирующая способность синхронных машин

Из рассмотренного в предыдущих параграфах следует, что при параллельной работе нескольких синхронных генераторов в каждом из них возникает некоторая сила, удерживающая генератор в состоянии устойчивой работы, т. е. предотвращающая выход этого генератора из синхронизма.

Другими словами, синхронный генератор, включенный на параллельную работу, обладает *синхронизирующей способностью*. Физический смысл синхронизирующей способности синхронных генераторов состоит в следующем. В процессе работы синхронного генератора в нем действуют два вращающихся магнитных поля: поле статора и поле ротора. Оба поля вращаются синхронно и создают в машине результирующее вращающееся магнитное поле. Так как обмотки статоров всех генераторов, включенных на параллельную работу, электрически связаны между собой, то также «связанными» оказываются и результирующие магнитные поля всех генераторов, которые вращаются с синхронной частотой вращения n_1 .

Результирующее магнитное поле машины замыкается через сердечник ротора. Поэтому электрическая связь между обмотками статоров параллельно работающих машин в конечном итоге переходит в магнитную связь роторов этих машин, аналогичную эластичной механической связи, которая позволяет роторам смещаться относительно друг друга в пределах угла $\theta < \theta_{кр}$. При

этом роторы продолжают вращаться с синхронной частотой вращения. Лишь при смещении ротора какой-либо из параллельно работающих машин на угол θ , выходящий за указанные пределы, связь ротора этой машины с роторами других машин нарушается и машина выходит из синхронизма.

Для количественной оценки синхронизирующей способности синхронной машины вводят понятия *удельной синхронизирующей мощности* p_c и *удельного синхронизирующего момента* m_c . Удельная синхронизирующая мощность определяется отношением приращения мощности $\Delta P_{эм}$ к соответствующему приращению угла $\Delta\theta$ (рис. 21.9):

$$p_c = \Delta P_{эм} / \Delta\theta. \quad (21.18)$$

Рис. 21.9 Синхронизирующая способность синхронной машины

Удельный синхронизирующий момент

$$m_c = \Delta M / \Delta\theta. \quad (21.19)$$

Величины p_c и m_c тем больше, чем круче подъем угловой характеристики на участке, соответствующем изменению угла $\Delta\theta$. В неустойчивой области угловой характеристики значения p_c и m_c отрицательны, поэтому устойчивая работа синхронной машины соответствует положительным значениям p_c и m_c .

При изменениях нагрузки нарушается равенство между мощностью приводного двигателя и мощностью генератора. Возникающий при этом небаланс мощностей $\Delta P_{эм}$ представляет собой синхронизирующую мощность $\Delta P_{эм} = p_c \Delta\theta$.

Синхронизирующей мощности соответствует синхронизирующий момент

$$\Delta M = \Delta P_{эм} / \omega_1 = m_c \Delta\theta. \quad (21.20)$$

Этот момент обусловлен разностью электромагнитного момента генератора и вращающего момента приводного двигателя и оказывает на ротор генератора действие, предотвращающее выход машины из синхронизма.

Из графиков удельных синхронизирующих момента $m_c = f(\theta)$ и мощности $p_c = f(\theta)$ видно, что наибольшая синхронизирующая способность синхронная машина обладает при $\theta = 0$. С ростом θ синхронизирующая способность машины снижается и при $\theta = \theta_{кр}$ совершенно исчезает ($p_c = 0$; $m_c = 0$). Синхронизирующей способностью обладают не только синхронные генераторы, но и синхронные двигатели.

§ 21.6. U-образные кривые синхронного генератора

Ранее мы рассматривали параллельную работу синхронного генератора при неизменном токе возбуждения. Что же произойдет в синхронном генераторе, если после подключения его к сети для параллельной работы изменить ток в его обмотке возбуждения, оставив неизменным вращающий момент приводного двигателя? Предположим, что генератор после подключения на сеть работает без нагрузки и его ЭДС \dot{E}_0 уравнивает напряжение сети \dot{U}_c . Если при этом увеличить ток в обмотке возбуждения, т. е. перевозбудить машину, то ЭДС \dot{E}_0 увеличится до значения \dot{E}'_0 и в цепи генератора появится избыточная ЭДС $\Delta \dot{E} = \dot{E}'_0 - \dot{U}_c$ (рис. 21.10, а), вектор которой совпадает по направлению с вектором ЭДС \dot{E}_0 . Ток \dot{I}_d , вызванный ЭДС $\Delta \dot{E}$, будет отставать от нее по фазе на 90° (поскольку $r_1 \approx 0$). По отношению к ЭДС \dot{E}_0 этот ток также будет отстающим (индуктивным). С увеличением перевозбуждения значение реактивного (индуктивного) тока увеличится.

Если же после того, как генератор подключен к сети, уменьшить ток возбуждения, т. е. недовозбудить машину, то ЭДС \dot{E}_0 уменьшится до значения \dot{E}''_0 и в цепи генератора опять будет действовать избыточная ЭДС $\Delta \dot{E} = \dot{U}_c - \dot{E}''_0$. Теперь вектор этой ЭДС будет совпадать по направлению с вектором напряжения сети \dot{U}_c (рис. 21.10, б), и поэтому ток \dot{I}_d , вызванный этой ЭДС и отстающий от нее по фазе на 90° , будет опережающим (емкостным) по отношению к ЭДС генератора \dot{E}_0 .

Показанное на векторных диаграммах можно объяснить следующим. При перевозбуждении генератора увеличивается МДС возбуждения $F_0 = I_a \omega_a$. Это сопровождается появлением в обмотке статора реактивного тока I_d , который по отношению к ЭДС является отстающим (индуктивным). Вызванная этим током продольно-размагничивающая реакция якоря компенсирует избыточную МДС возбуждения так, что ЭДС генератора остается неизменной. Такой же процесс происходит и при недовозбуждении генератора с той лишь разницей, что в обмотке появляется опережающий (емкостный) ток I_d , а вызванная этим током продольно-намагничивающая реакция якоря компенсирует недостающую МДС возбуждения.

Следует иметь в виду, что ток I_d , отстающий по фазе от ЭДС \dot{E}_0 , по отношению к напряжению сети \dot{U}_c является опережающим током и, наоборот, ток I_d , опережающий по фазе ЭДС \dot{E}_0 , является отстающим по отношению к напряжению \dot{U}_c .

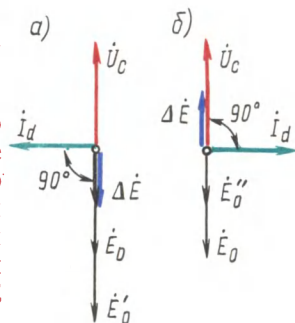


Рис. 21.10. Векторные диаграммы ЭДС синхронного генератора, включенного на параллельную работу

Если при всех изменениях тока возбуждения вращающий момент приводного двигателя остается неизменным, то также неизменной остается активная мощность генератора:

$$P_2 = m_1 U_c I_1 \cos \varphi_1 = \text{const.}$$

Из этого выражения следует, что при $U_c = \text{const}$ активная составляющая тока статора $I_q = I_1 \cos \varphi_1 = \text{const}$.

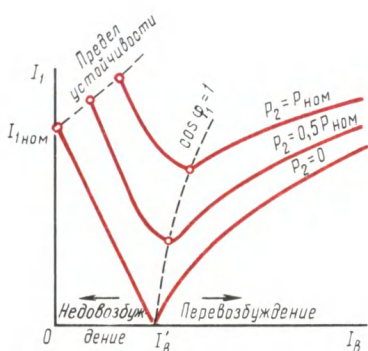


Рис. 21.11 U-образные характеристики синхронного генератора

Таким образом, *степень возбуждения синхронного генератора влияет только на реактивную составляющую тока статора*. Что же касается активной составляющей тока $I_q = I_1 \cos \varphi_1$, то она остается неизменной.

Зависимость тока статора I_1 от тока в обмотке возбуждения I_b при неизменной активной нагрузке генератора выражается графически U-образной кривой. На рис. 21.11 представлены U-образные кривые $I_1 = f(I_b)$ при $P_2 = \text{const}$. Кривые построены для разных значений активной нагрузки: $P_2 = 0$; $P_2 = 0,5 P_{\text{ном}}$ и $P_2 = P_{\text{ном}}$.

U-образные кривые синхронного генератора показывают, что любой нагрузке генератора соответствует такое значение тока возбуждения I'_b , при котором ток статора I_1 становится минимальным и равным только активной составляющей: $I_{1\text{мин}} = I_1 \cos \varphi_1 = I_q$. В этом случае генератор работает при коэффициенте мощности $\cos \varphi_1 = 1$. Значения тока возбуждения, соответствующие $\cos \varphi_1 = 1$ при различной нагрузке генератора, показаны на рис. 21.11 пунктирной кривой. Некоторое отклонение этой кривой вправо указывает на то, что при увеличении нагрузки ток возбуждения, соответствующий $\cos \varphi_1 = 1$, несколько возрастает. Объясняется это тем, что при росте нагрузки необходимо некоторое увеличение тока возбуждения, компенсирующее активное падение напряжения.

Необходимо иметь в виду, что при постепенном уменьшении тока возбуждения наступает такое минимальное его значение, при котором магнитный поток обмотки возбуждения оказывается настолько ослабленным, что синхронный генератор выпадает из синхронизма — нарушается магнитная связь между возбужденными полюсами ротора и вращающимся полем статора. Если соединить все точки минимально допустимых значений тока возбуждения на U-образных кривых (штриховая линия в левой части рис. 21.11), то получим линию *предела устойчивости* работы синхронного генератора при недовозбуждении.

С точки зрения уменьшения потерь генератора наиболее выгодным является возбуждение, соответствующее минимальному

току статора, т. е. когда $\cos \varphi_1 = 1$. Но в большинстве случаев нагрузка генератора имеет индуктивный характер и для компенсации индуктивных токов (отстающих по фазе от напряжения сети) приходится несколько перевозбуждать генератор, создавая условия, при которых ток статора I_1 опережает по фазе напряжение сети U_c . Следует отметить, что для сохранения $\cos \varphi_1$ неизменным при изменении активной нагрузки генератора требуется одновременное изменение тока возбуждения генератора.

§ 21.7. Переходные процессы в синхронных генераторах

Принципиальное отличие переходных процессов от рассмотренных ранее установившихся состоит в том, что при установившихся процессах работы синхронного генератора с симметричной нагрузкой в сердечнике и обмотках ротора не индуцируются никакие токи. В то же время при переходных процессах и несимметричных нагрузках между ротором и статором возникают трансформаторные связи.

Наибольший интерес представляет переходный процесс при внезапном трехфазном коротком замыкании синхронного генератора. Переходный процесс при резких изменениях нагрузки, следствием которого являются колебания синхронной машины, был рассмотрен в § 21.4.

При рассмотрении переходного процесса синхронного генератора пренебрегают активным сопротивлением его обмоток, т. е. эти обмотки считают *сверхпроводниками*. Это допущение в значительной степени облегчает изучение процесса, не внося заметной погрешности, особенно для крупных машин, у которых активное сопротивление обмоток весьма мало. Таким образом, прежде чем перейти к рассмотрению внезапного к. з., введем понятие о *сверхпроводящем контуре*, для которого по второму закону Кирхгофа можно записать $d\psi/dt = 0$.

В любой момент времени полное потокосцепление сверхпроводящего контура

$$\psi = \psi_{\text{внеш}} + \psi_L = \text{const}, \quad (21.21)$$

где $\psi_{\text{внеш}}$ и ψ_L — потокосцепления, обусловленные внешней причиной и самоиндукцией соответственно.

Рассмотрим внезапное трехфазное к. з. синхронного генератора на его зажимах. Будем считать, что предварительно этот генератор работал в режиме х. х., т. е. в нем действовал единственный магнитный поток Φ_b обмотки возбуждения, в которой проходил ток I_{b0} . При к. з. появляется вращающийся синхронно с ротором магнитный поток статора по продольной оси (обмотка статора представляет собой чисто индуктивную нагрузку) Φ_{ad} , направленный против потока Φ_b (рис. 21.12, а). При этом в обмотке возбуждения и в успокоительной обмотке будут индуцироваться

дополнительные токи $i_{дв}$ и $i_{дy}$, которые в соответствии с правилом Ленца препятствуют изменению результирующего магнитного потока в машине. Эти токи создают собственные магнитные потоки $\Phi_{дв}$ и $\Phi_{дy}$, которые противодействуют проникновению потока $\Phi_{ад}$ в сердечник ротора, т. е. будут вытеснять его в воздушный зазор межполюсного пространства. В результате поток статора

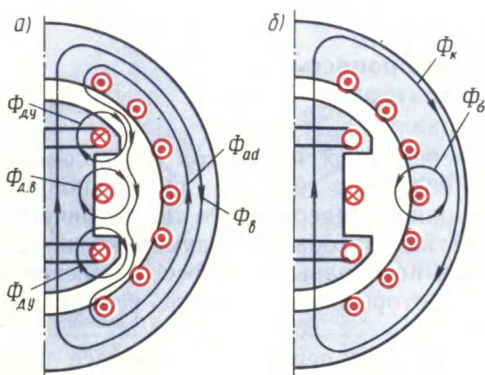


Рис. 21.12 Картина магнитного поля при внезапном к. з.

значительно уменьшится до значения $\Phi'_{ад} < \Phi_{ад}$. Соответственно уменьшится и индуктивное сопротивление обмотки статора по продольной оси, достигнув значения $x'_d < x_d$. Поэтому в начальный момент переходного процесса, называемого *сверхпереходным*, действующее значение тока внезапного к. з. имеет наибольшую величину — *ударный ток короткого замыкания*

$$I_{к \text{ наиб}} = E_0 / x'_d, \quad (21.22)$$

где x'_d — *сверхпереходное индуктивное сопротивление*.

Обмотки возбуждения и успокоительная все же обладают некоторым активным сопротивлением, а поэтому индуцируемые в них дополнительные токи $i_{дв}$ и $i_{дy}$ будут постепенно затухать. Однако этот процесс затухания протекает неодинаково, так как успокоительная обмотка и обмотка возбуждения имеют разные постоянные времени T . Обмотка возбуждения, имея значительное число витков по сравнению с успокоительной обмоткой, обладает большей индуктивностью, а поэтому $T_v > T_y$.

Поэтому к моменту времени, когда дополнительный ток $i_{дy}$ в успокоительной обмотке уменьшится до нуля, дополнительный ток $i_{дв}$ еще имеет некоторое значение. При этом магнитный поток реакции якоря частично будет проходить через ротор, отчего его значение несколько возрастает до значения $\Phi'_{ад} > \Phi'_{ад}$. Соответственно возрастает индуктивное сопротивление статора по продольной оси, достигнув значения $x'_d > x'_d$, называемого *переходным индуктивным сопротивлением*. При этом ток внезапного к. з. несколько уменьшится до значения

$$I'_k = E_0 / x'_d. \quad (21.23)$$

Через некоторое время уменьшится до нуля и добавочный ток в обмотке возбуждения $i_{дв}$. При этом поток статора будет замыкаться полностью через ротор и его значение станет еще больше ($\Phi_{ад} > \Phi'_{ад}$). Соответственно возрастет и индуктивное сопротивление статора, достигнув значения $x_d > x'_d$, а ток к. з.

$$I_k = E_0/x_d. \quad (21.24)$$

В результате в генераторе установится результирующий магнитный поток (рис. 21.12, б) $\Phi_k = \Phi_b - \Phi_{ad}$.

С уменьшением магнитного потока, сцепленного с обмоткой статора, уменьшится ЭДС статора до значения $E_k < E_0$, что приведет к уменьшению тока к. з. до установившегося значения

$$I_{k \text{ уст}} = E_k/x_d. \quad (21.25)$$

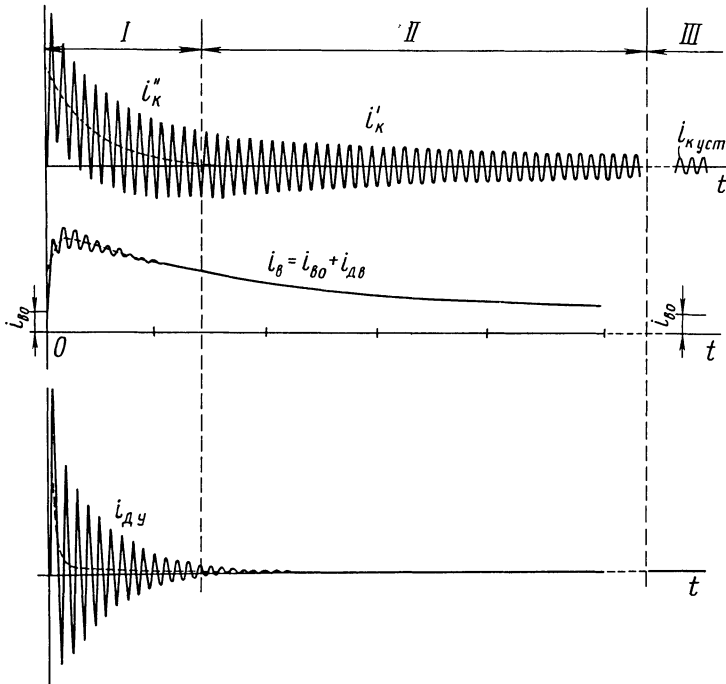


Рис. 21.13. Осциллограммы токов при внезапном к.з.

Таким образом, при внезапном трехфазном к. з. происходит постепенное затухание тока к. з. Если, например, пик тока (ударный ток) при внезапном к. з. достигает 15-кратного значения, то установившийся ток к. з. достигает 1,5-кратного (для турбогенераторов) или 2,5-кратного (для гидрогенераторов) значения при токе возбуждения, соответствующем номинальной нагрузке. В некоторых случаях ток $I_{k \text{ уст}}$ может оказаться даже меньше номинального. Причина столь малого тока при установившемся к. з. состоит в том, что генератор размагничивается полем реакции якоря.

На рис. 21.13 представлены осциллограммы токов синхронного генератора при внезапном к. з., где отмечены три характер-

ных участка: *I* — сверхпереходный процесс; *II* — переходный процесс; *III* — установившееся к. з.

Ударный ток к. з. создает значительные электромагнитные силы, действующие на обмотку статора. Особую опасность эти силы представляют для лобовых частей обмотки, что требует применения специальных мер по их укреплению, особенно в турбогенераторах, где лобовые части имеют значительный вылет.

При внезапном к. з. синхронного генератора возникают также значительные электромагнитные моменты, действующие на статор и ротор. В наиболее неблагоприятных условиях мгновенное значение такого момента достигает десятикратной величины по сравнению с номинальным моментом. Это необходимо учитывать при механических расчетах некоторых деталей машины и ее крепления к фундаменту. Режим короткого замыкания нежелателен еще и потому, что он нарушает параллельную работу синхронных генераторов.

С точки зрения уменьшения ударного тока к. з. полезным является увеличение магнитного потока рассеяния обмотки статора $\Phi_{\sigma 1}$, так как это ведет к росту индуктивного сопротивления $x_d = x_{ad} + x_1$. Однако не следует забывать и о вредном действии магнитного потока рассеяния: уменьшении полезного магнитного потока и росте внутреннего падения напряжения (за счет увеличения индуктивного сопротивления обмотки).

Контрольные вопросы

1. Что такое синхронизация генератора, включаемого на параллельную работу?
2. Как нагрузить генератор, включенный на параллельную работу?
3. Почему с появлением тока нагрузки в цепи статора генератора приводной двигатель получает механическую нагрузку?
4. Что такое коэффициент статической перегружаемости?
5. Какова причина собственных колебаний в синхронном генераторе?
6. Почему колебания ротора имеют затухающий характер?
7. Каково назначение и конструкция успокоительной обмотки?
8. Что такое синхронизирующая способность синхронной машины и какими параметрами она оценивается?
9. Почему при внезапном к. з. уменьшается индуктивное сопротивление обмотки статора по продольной оси?
10. Чем объясняется затухающий характер тока к. з. при внезапном к. з.?
11. Чем опасно внезапное к. з. для синхронного генератора?

§ 22.1. Принцип действия синхронного двигателя

В соответствии с принципом обратимости электрических машин синхронная машина может работать не только в режиме генератора, но и в режиме двигателя, т. е. потреблять из сети электрическую энергию и преобразовывать ее в механическую.

Для объяснения принципа работы синхронного двигателя представим себе синхронный генератор, включенный на параллельную работу в сеть большой мощности.

Допустим, приводной двигатель вращает ротор генератора против часовой стрелки с угловой скоростью ω_1 . При этом нагрузка генератора такова, что продольная ось полюсов ротора $d-d'$ смещена относительно оси вращающегося поля $d'-d''$ на угол θ' в направлении вращения ротора (рис. 22.1, справа). Вращающий момент приводного двигателя M'_1 уравнивается суммой электромагнитного момента генератора M' и момента х. х. ($M'_1 = M' + M_0$). На угловой характеристике этому режиму генератора соответствует точка Г.

Если уменьшать вращающий момент M'_1 , то нагрузка генератора начнет также уменьшаться, при этом будет уменьшаться угол θ' , а следовательно, и ток статора I_1 . В итоге снизится величина электромагнитного момента M' и при вращающем моменте $M'_1 = M_0$ угол $\theta = 0$, т. е. генератор будет работать в режиме х. х. ($I_1 = 0$) и ЭДС генератора E_0 окажется в противофазе с напряжением сети U_c . Этому режиму на угловой характеристике соответствует точка пересечения осей координат (точка О на рис. 22.1). Если же вал синхронной машины отсоединить от приводного двигателя и создать на этом валу тормозной момент, т. е. момент нагрузки M_2 , направленный встречно вращению ротора машины, то произойдет смещение вектора ЭДС E_0 на угол $-\theta$ относительно его положения в режиме х. х. в сторону отставания (рис. 22.1, слева). При этом в цепи обмотки статора появится результи-

рующая ЭДС $\Delta \dot{E} = \dot{E}_0 + \dot{U}_c$, которая создаст в обмотке статора ток \dot{I}_1 , отстающий по фазе от ЭДС $\Delta \dot{E}$ на угол 90° (предполагается $r_1 \approx 0$) и отстающий по фазе от напряжения сети \dot{U}_c на угол φ_1 (в генераторном режиме ток \dot{I}_1 отстает по фазе от ЭДС \dot{E}_0 на угол ψ_1).

Ток I_1 создает магнитное поле, вращающееся синхронно с ротором, ось которого $d' - d''$ смещена относительно продольной

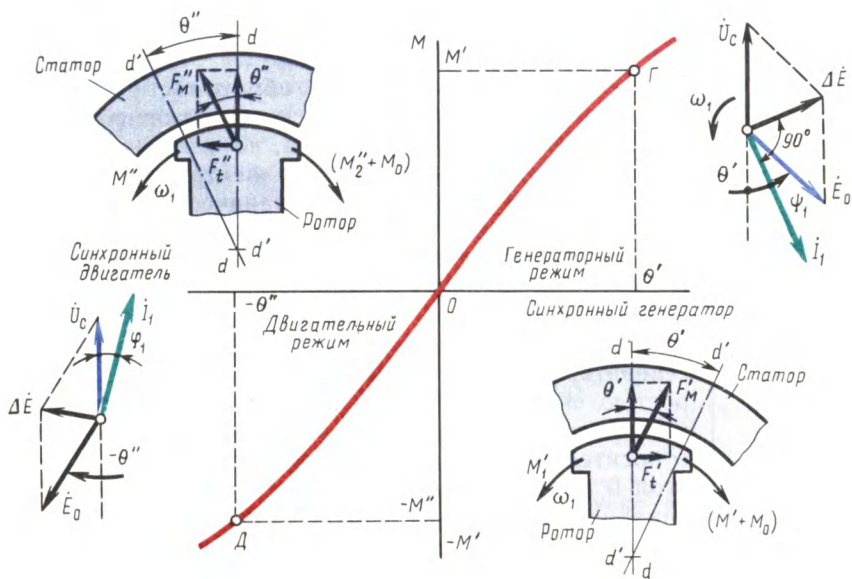


Рис. 22.1. Переход синхронной машины из генераторного режима в двигательный

оси полюсов ротора $d - d'$ на угол $-\theta$. Допустим, работа двигателя происходит в режиме точки D на угловой характеристике (рис. 22.1, слева), что соответствует углу $-\theta''$. Возникшие при этом тангенциальные составляющие сил магнитного взаимодействия полюсов $F_t'' = F_M'' \sin \theta$ создадут на роторе двигателя электромагнитный момент M'' , направленный согласно с вращающим магнитным полем и приводящий ротор во вращение с синхронной частотой ω_1 . При этом синхронная машина будет потреблять из сети электрическую энергию и преобразовывать ее в механическую энергию вращения. Вращающий электромагнитный момент M'' преодолевает момент х. х. M_0 и создает на валу двигателя полезный момент M_2'' , под действием которого приводится во вращение исполнительный механизм:

$$M'' = M_0 + M_2''.$$

Все значения момента на угловой характеристике синхронного двигателя откладываются в отрицательном направлении оси ор-

динат, так как при переходе синхронной машины из генераторного режима в двигательный электромагнитный момент меняет свое направление. Также отрицательной становится мощность синхронного двигателя, которая поступает из сети в машину, а не из машины в сеть, как это происходит в генераторном режиме. Оперирование с отрицательными значениями мощностей и моментов крайне неудобно, поэтому при рассмотрении синхронных двигателей условно будем принимать моменты и мощности положительными, помня при этом изложенное ранее о направлении этих параметров.

Электромагнитная мощность синхронного двигателя определяется выражениями (21.7) и (21.8), а электромагнитный момент — (21.9) и (21.10).

Угловые характеристики электромагнитного момента $M = f(\theta)$ и его составляющих

$M_{\text{осн}} = f(\theta)$ и $M_p = f(\theta)$ представлены на рис. 22.2. Эти характеристики отличаются от угловых характеристик генератора (см. рис. 21.5) лишь тем, что располагаются в третьем квадранте осей координат, т. е. определяются отрицательными значениями углов θ и моментов M и $M_{\text{осн}}$, а также момента M_p при $\theta = 0 \div (-90^\circ)$.

Таким образом, в общем виде угловая характеристика синхронной машины представляет собой две полуволны результирующего момента M : положительную, соответствующую генераторному режиму работы (см. рис. 21.5), и отрицательную, соответствующую двигательному режиму работы (рис. 22.2). Переход машины из одного режима работы в другой происходит при $\theta = 0$.

Устойчивая работа синхронного двигателя соответствует участку угловой характеристики (рис. 22.2) при $\theta = 0 \div (-\theta_{\text{кр}})$.

Отношение максимального электромагнитного момента M_{max} к номинальному $M_{\text{ном}}$ [см. (21.16)] определяет *перегрузочную способность синхронного двигателя*

$$\lambda = M_{\text{max}} / M_{\text{ном}}.$$

Обычно перегрузочная способность синхронных двигателей $\lambda = 2 \div 3$, что при номинальной нагрузке двигателя соответствует $\theta_{\text{ном}} = 30 \div 20$ эл. град.

Ротор синхронного двигателя может вращаться только с синхронной частотой $n_1 = f_1 60 / p$. Чтобы убедиться в этом, достаточно предположить, что ротор двигателя начнет вращаться с частотой $n_2 < n_1$. В какой-то момент времени намагниченные полюсы ротора расположатся против одноименных полюсов вращающе-

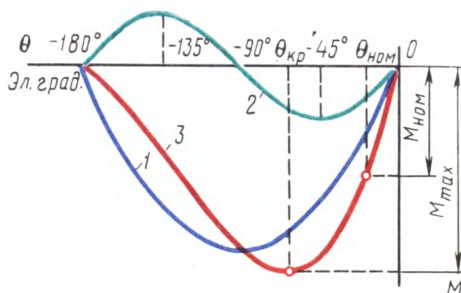


Рис. 22.2 Угловая характеристика синхронного двигателя

гося магнитного поля статора и тогда нарушится магнитная связь между намагниченными полюсами ротора и полюсами вращающегося поля статора, так как их одноименные полюсы будут взаимно отталкиваться и ротор, перестав испытывать устойчивое действие вращающего электромагнитного момента, остановится.

Вращение ротора синхронных двигателей только с синхронной частотой составляет характерную особенность этих двигателей и часто определяет область их применения (например, для привода устройств, требующих стабильной частоты вращения).

При изменениях нагрузки на валу синхронного двигателя меняется угол θ . При этом ротор вследствие инерции вращающихся масс агрегата не сразу занимает положения, соответствующие новой нагрузке, а некоторое время совершает *колебательные движения*. Таким образом, в синхронном двигателе, так же как и в генераторе, имеют место колебания (физическая сущность этого явления изложена в § 21.4).

По своей конструкции синхронные двигатели в принципе не отличаются от синхронных генераторов, но все же имеют некоторые особенности. Их изготавливают преимущественно явнополюсными с $2p = 6 \div 24$ полюсов; воздушный зазор делают меньшим, чем в генераторах такой же мощности, что способствует улучшению ряда параметров двигателя, в частности уменьшению пускового тока; демпферную (успокоительную) обмотку выполняющую стержнями большего сечения, так как при пуске двигателя она является пусковой обмоткой (см. § 22.2); ширина полюсного наконечника достигает 0,9 τ вместо 0,7 τ в генераторах. Поэтому, несмотря на свойство обратимости, синхронные машины, выпускаемые промышленностью, имеют обычно целевое назначение — либо это синхронные генераторы, либо синхронные двигатели.

§ 22.2. Пуск синхронных двигателей

Пуск синхронного двигателя непосредственным включением в сеть невозможен, так как ротор из-за своей значительной инерции не может быть сразу увлечен вращающимся полем статора, частота вращения которого устанавливается мгновенно. В результате устойчивая магнитная связь между статором и ротором не возникает. Для пуска синхронного двигателя приходится применять специальные способы, сущность которых состоит в предварительном приведении ротора во вращение до синхронной или близкой к ней частоте, при которой между статором и ротором устанавливается устойчивая магнитная связь.

В настоящее время практическое применение имеет способ пуска, получивший название *асинхронного*. Этот способ пуска возможен при наличии в полюсных наконечниках ротора пусковой обмотки (клетки), аналогичной успокоительной обмотке синхронного генератора (см. рис. 21.7). Схема включения двигателя

при этом способе пуска приведена на рис. 22.3, а. Невозбужденный синхронный двигатель включают в сеть. Возникшее при этом вращающееся магнитное поле статора наводит в стержнях пусковой клетки ЭДС, которые создают токи I_2 . Взаимодействие этих токов с полем статора вызывает появление на стержнях пусковой клетки электромагнитных сил $F_{эм}$. Под действием этих сил ротор приводится во вращение (рис. 22.3, б). После разгона ротора до

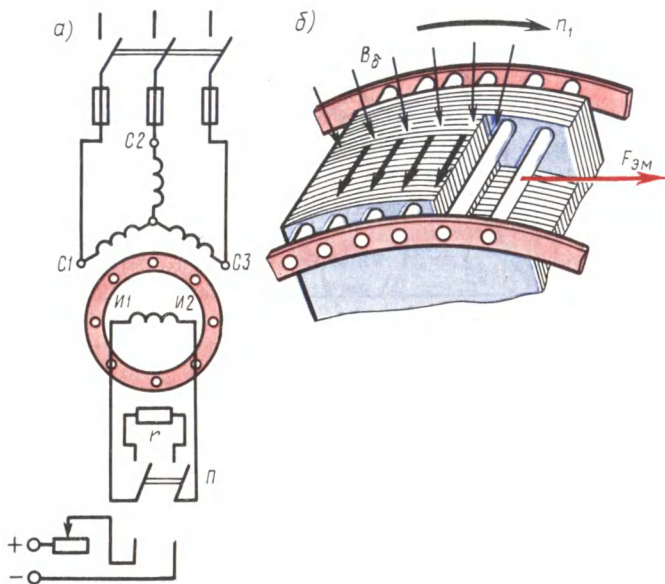


Рис 22.3 Асинхронный пуск синхронного двигателя

частоты вращения, близкой к синхронной ($n_2 \approx 0,95n_1$), обмотку возбуждения подключают к источнику постоянного тока. Образующийся при этом синхронный момент [см. (21.10)] втягивает ротор двигателя в синхронизм. После этого пусковая обмотка двигателя выполняет функцию успокоительной обмотки, ограничивая качания ротора (см. § 21.4).

Чем меньше нагрузка на валу двигателя, тем легче его вхождение в синхронизм. Явнополюсные двигатели малой мощности, пускаемые без нагрузки на валу, иногда входят в синхронизм лишь за счет реактивного момента, т. е. даже без включения обмотки возбуждения.

С увеличением нагрузочного момента на валу вхождение двигателя в синхронизм затрудняется. Наибольший нагрузочный момент, при котором ротор синхронного двигателя еще втягивается в синхронизм, называют *моментом входа двигателя в синхронизм* $M_{вх}$. Величина асинхронного момента M_a при частоте вращения $n_2 \approx 0,95n_1$ зависит от активного сопротивления пусковой клетки, т. е. от сечения стержней и удельного электрического со-

противления металла, из которого они изготовлены (см. рис. 13.6).

Следует обратить внимание, что выбор сопротивления пусковой клетки r_2'' , соответствующего значительному пусковому моменту (M_n''), способствует уменьшению момента входа в синхронизм ($M_{вх}$) и, наоборот, при сопротивлении r_2' , соответствующем небольшому пусковому моменту (M_n'), момент входа в синхронизм увеличивается ($M_{вх}' > M_{вх}''$) (рис. 22.4).

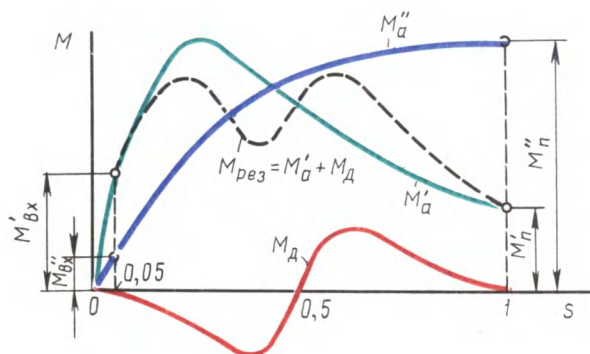


Рис. 22.4 Асинхронные моменты при пуске синхронного двигателя:

M_a — основной момент, M_d — дополнительный момент,
 $M_{вх}$ — момент входа в синхронизм

В процессе асинхронного пуска обмотку возбуждения нельзя оставлять разомкнутой, так как магнитный поток статора, пересекающий ее в начальный период пуска с синхронной скоростью, наводит в ней ЭДС. Вследствие большого числа витков обмотки возбуждения эта ЭДС достигает значений, опасных как для целостности изоляции самой обмотки, так и для обслуживающего персонала. Для предотвращения этого обмотку возбуждения на период разгона ротора замыкают на активное сопротивление r , примерно в десять раз большее сопротивления обмотки возбуждения. Переключение зажимов $И1$ и $И2$ обмотки возбуждения с сопротивления r на зажимы возбудителя осуществляют переключателем $П$ (см. рис. 22.3, а).

Замыкание накоротко обмотки возбуждения на время пуска двигателя нежелательно, так как при этом обмотка ротора образует однофазный замкнутый контур, взаимодействие которого с вращающимся полем статора также создает *дополнительный асинхронный момент* M_d . Однако при частоте вращения, равной половине синхронной, этот момент становится тормозящим (рис. 22.4) и создает «провал» в характеристике пускового (асинхронного) момента (пунктирная кривая). Это заметно ухудшает пусковые свойства синхронного двигателя.

При асинхронном пуске синхронного двигателя возникает значительный пусковой ток. Поэтому пуск синхронных двигателей непосредственным включением в сеть на номинальное напряже-

ние применяют при достаточной мощности сети, способной выдерживать без заметного падения напряжения броски пускового тока пяти- или семикратного значения (по сравнению с номинальным током). Если же мощность сети недостаточна, то можно применить пуск двигателя при пониженном напряжении (см. § 15.2): автотрансформаторный или реакторный.

§ 22.3. U-образные кривые и рабочие характеристики синхронного двигателя

U-образные кривые. В процессе работы синхронного двигателя в его обмотке статора наводятся ЭДС, сумма которых $\Sigma \dot{E}$ [см. (20.29)] приблизительно равна подводенному к обмотке статора напряжению сети \dot{U}_c . Эта сумма ЭДС эквивалентна результирующему магнитному полю, вызванному действием двух магнитодвижущих сил: возбуждения $F_b \equiv I_b$ и статора $F_1 \equiv I_1$.

При неизменном напряжении сети $\dot{U}_c \approx -\Sigma \dot{E} = \text{const}$ результирующее магнитное поле постоянно. Поэтому при изменении МДС возбуждения F_b (изменении тока возбуждения I_b) МДС статора F_1 изменяется таким образом, чтобы их совместное действие оставалось неизменным, т. е. чтобы оставалось неизменным результирующее магнитное поле синхронного двигателя. Это изменение МДС F_1 может происходить только за счет изменения величины и фазы тока статора I_1 , т. е. за счет изменения реактивной составляющей тока статора I_d .

Например, при увеличении тока возбуждения I_b начиная от наименьшего его значения ($I_b \approx 0$) возрастает МДС ротора, при этом МДС статора уменьшается. Это уменьшение МДС происходит при уменьшении индуктивной (по отношению к напряжению сети \dot{U}_c) составляющей тока статора I_d , которая оказывает на магнитную систему подмагничивающее влияние.

При этом полный ток статора $\dot{I}_1 = \dot{I}_q + \dot{I}_d$ уменьшается, а коэффициент мощности двигателя $\cos \varphi_1$ увеличивается. При некотором значении тока возбуждения I'_b индуктивная составляющая тока статора падает до нуля. При этом ток статора достигнет минимального (при данной нагрузке) значения, так как станет чисто активным ($I_1 = I_q$), а коэффициент мощности $\cos \varphi_1 = 1$.

Увеличение тока возбуждения сверх значения I'_b , т. е. перевозбуждение двигателя, вызовет увеличение тока \dot{I}_1 , но теперь этот ток будет опережающим (емкостным) по отношению к напряжению U_c . Таким образом, *при недовозбуждении* ($I_b < I'_b$) *синхронный двигатель работает с отстающим током, а при перевозбуждении* ($I_b > I'_b$) *— с опережающим*. Зависимость тока статора от тока возбуждения для синхронного двигателя представлена U-образными кривыми (рис. 22.5). Ток возбуждения I'_b соответствует работе синхронного двигателя при коэффициенте мощности $\cos \varphi_1 = 1$. При перевозбуждении двигателя в цепи статора появляется опережающий ток.

Иначе говоря, *синхронный двигатель является генератором реактивного тока: индуктивного по отношению к напряжению сети при недовозбуждении и емкостного при перевозбуждении.* Указанная способность синхронных двигателей является их ценным качеством, которое используют для повышения коэффициента мощности электрических установок.

Асинхронные двигатели, являющиеся наиболее распространенными потребителями электроэнергии, работают с $\cos \varphi_1 < 1$, создавая в сетях значительные индуктивные токи. Если же параллельно группе асинхронных двигателей включить один или несколько синхронных двигателей, работающих с перевозбуждением, то возникающая в сети емкостная составляющая тока будет частично или полностью компенсировать индуктивную составляющую тока, обусловленную работой асинхронных двигателей. При этом электрическая система, разгруженная от реактивных токов, будет работать с $\cos \varphi_1 \approx 1$, что способствует уменьшению потерь электроэнергии. Необходимо, однако, отметить, что при перевозбуждении синхронный двигатель потребляет значительный ток статора. Поэтому синхронные двигатели, предназначенные для работы с перевозбуждением, имеют несколько большие габариты, а их КПД меньше, чем у двигателей, предназначенных для работы с $\cos \varphi_1 = 1$, когда ток статора и потери двигателя имеют минимальные значения.

Аналогично синхронному генератору, включенному на параллельную работу с сетью (см. § 21.6), синхронный двигатель имеет предел устойчивости при минимальном токе возбуждения (штриховая линия в левой части рис. 22.5).

Рабочие характеристики. Рабочие характеристики синхронного двигателя представляют собой зависимость частоты вращения ротора n_2 , потребляемой мощности P_1 , полезного момента M_2 , коэффициента мощности $\cos \varphi_1$ и тока в обмотке статора I_1 от полезной мощности двигателя P_2 (рис. 22.6). Частота вращения ротора n_2 всегда равна синхронной частоте $n_1 = f_1 60/p$, поэтому график $n_2 = f(P_2)$ имеет вид прямой, параллельной оси абсцисс. Полезный момент на валу синхронного двигателя $M_2 = P_2/\omega_1$. Так как рабочие характеристики снимают при условии $f_1 = \text{const}$, то график $M_2 = f(P_2)$ имеет вид прямой, выходящей из начала координат. Мощность на входе двигателя $P_1 = P_2 + \Sigma P$. С ростом нагрузки на валу двигателя увеличиваются также и потери ΣP , поэтому потребляемая мощность P_1 растет быстрее полезной мощности P_2 и график $P_1 = f(P_2)$ имеет несколько криволинейный вид.

Вид графика $\cos \varphi_1 = f(P_2)$ зависит от вида настройки тока возбуждения: если в режиме х. х. ток возбуждения установлен таким, что $\cos \varphi_1 = 1$, то с ростом нагрузки коэффициент мощности снижается, если же установить $\cos \varphi_1 = 1$ при номинальной нагрузке, то при недогрузке двигатель будет забирать из сети реактивный опережающий ток, а при перегрузке — отстающий. Обычно устанавливают ток возбуждения таким, чтобы $\cos \varphi_1 = 1$

при средней нагрузке (рис. 22.6). В этом случае коэффициент мощности во всем диапазоне нагрузок остается достаточно высоким. Если же установить ток в обмотке возбуждения синхронного двигателя таким, чтобы $\cos \varphi_1 = 1$ был при нагрузке несколько превышающей номинальную, то при номинальной нагрузке $\cos \varphi_1 \approx 0,8$ и двигатель будет потреблять из сети опережающий по отношению к напряжению сети ток, что приведет к

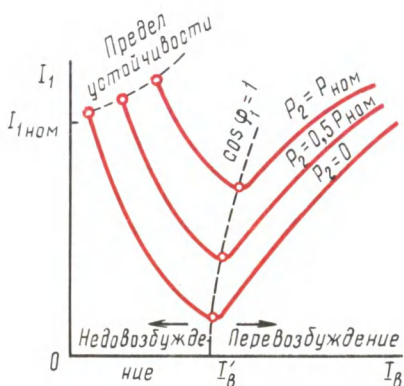


Рис. 22.5. U-образные характеристики синхронного двигателя

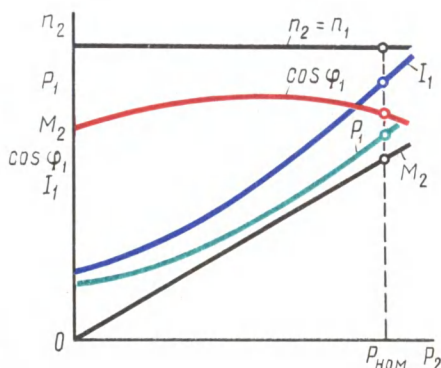


Рис. 22.6. Рабочие характеристики синхронного двигателя

повышению коэффициента мощности этой сети. В этом отношении синхронные двигатели выгодно отличаются от асинхронных, работающих с отстающим по фазе током (особенно при недогрузке двигателя) и снижающих энергетические показатели питающей сети.

Ток в обмотке статора двигателя $I_1 = P_1 / (m_1 U_1 \cos \varphi_1)$. Из этого выражения видно, что ток I_1 с увеличением нагрузки на валу двигателя растет быстрее, чем потребляемая мощность P_1 , вследствие уменьшения $\cos \varphi_1$.

Так как ротор синхронного двигателя вращается в ту же сторону, что и поле статора, то направление вращения ротора определяется порядком следования фаз линейных проводов, подведенных к обмотке статора, и порядком расположения фаз обмотки статора. Для изменения направления вращения трехфазного синхронного двигателя необходимо переключить два линейных привода, подведенных из сети к выводам обмотки статора (см. § 9.3).

В заключение необходимо отметить, что синхронные двигатели по сравнению с асинхронными имеют преимущество, заключающееся в том, что они могут работать с $\cos \varphi_1 = 1$, не создавая в питающей сети индуктивных токов, вызывающих дополнительные потери энергии. Более того, при работе с перевозбуждением синхронные двигатели создают в сети емкостный ток, чем способствуют повышению коэффициента мощности энергосистемы в це-

лом. Другое достоинство синхронных двигателей состоит в том, что, как это следует из (21.11), основная составляющая электромагнитного момента пропорциональна напряжению сети U_1 , а у асинхронных двигателей электромагнитный момент пропорционален U_1^2 [см. (13.14)]. По этой причине при понижении напряжения в сети синхронные двигатели сохраняют большую перегрузочную способность, чем асинхронные.

К недостаткам синхронных двигателей относятся их более сложная конструкция и повышенная стоимость по сравнению с асинхронными двигателями с короткозамкнутым ротором. Кроме того, для работы синхронного двигателя требуется устройство для питания постоянным током обмотки возбуждения.

Опыт эксплуатации показал, что применение синхронных двигателей общего назначения наиболее целесообразно при мощности 200 кВт и более в установках, не требующих частых пусков и регулирования частоты вращения (мощные насосы, вентиляторы, компрессоры и т. п.).

§ 22.4. Синхронный компенсатор

Синхронный компенсатор (СК) представляет собой синхронную машину, предназначенную для генерирования реактивной мощности. Синхронный компенсатор включают в электрическую систему с целью повышения ее коэффициента мощности.

Принцип происходящих при этом явлений состоит в том, что необходимую для работы некоторых потребителей реактивную мощность вырабатывает не синхронный генератор, установленный на электростанции, а синхронный компенсатор, установленный в непосредственной близости к потребителю. К числу потребителей переменного тока, требующих значительной реактивной мощности, в первую очередь относятся асинхронные двигатели. На рис. 22.7 показана система, состоящая из синхронного генератора (СГ), повышающего ТрI и понижающего ТрII трансформаторов, линии электропередачи (ЛЭП), потребителя Z и синхронного компенсатора (СК), включенного непосредственно на входе потребителя. Синхронный компенсатор, включенный в сеть, работает как синхронный двигатель без нагрузки ($P_2 = 0$), т. е. в режиме х. х., и при этом вырабатывает реактивную мощность $Q_{СК}$, необходимую для работы потребителя Z , например группы асинхронных двигателей. Благодаря этому реактивная мощность в СГ и ЛЭП доведена до некоторого минимального значения Q_{min} . Это способствует повышению технико-экономических показателей всей электрической системы.

Для пояснения явлений, связанных с подключением СК к электрической системе, рассмотрим рис. 22.8. При подключении потребителя Z к сети с напряжением U_c (рис. 22.8, а) в сети возникает ток I_z , отстающий по фазе от напряжения U_c на угол φ_z , обусловленный значительной индуктивной составляющей тока

I_z . При подключении СК параллельно потребителю Z и создании в СК режима перевозбуждения (рис. 22.8, б) в сети появится ток $I_{СК}$, опережающий по фазе напряжение U_c на угол 90° . Результирующий ток в сети

$$I_c = I_z + I_{СК}. \quad (22.1)$$

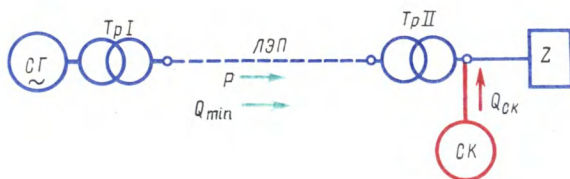


Рис 22.7 Схема включения синхронного компенсатора (СК) в электрическую систему

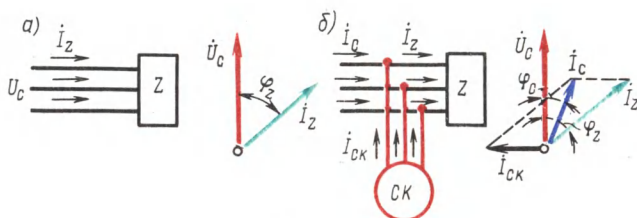


Рис 22.8. Применение синхронного компенсатора для повышения коэффициента мощности сети

Фазовый сдвиг этого тока относительно напряжения сети U_c (угол φ_c) намного меньше угла фазового сдвига до включения СК (угол φ_z). Кроме того, ток I_c станет меньше ($I_c < I_z$). В этом можно убедиться исходя из следующих соображений. Так как СК работает без нагрузки на валу, то его активная мощность не велика и определяется потерями х. х. в компенсаторе. Пренебрегая этими потерями, можно активную мощность в сети до подключения СК

$$P_c = P_z = \sqrt{3} I_z U_c \cos \varphi_z \quad (22.2)$$

приравнять к активной мощности сети после подключения СК:

$$P_c = \sqrt{3} I_c U_c \cos \varphi_c. \quad (22.3)$$

Но так как $P_c = P'_c$, а $\cos \varphi_c > \cos \varphi_z$, то $I_c < I_z$. В результате синхронный генератор и линия электропередачи разгружаются и потери мощности в них уменьшаются.

В некоторых случаях СК работают с недовозбуждением. Необходимость в этом возникает, если ток в системе содержит значительную емкостную составляющую, которая не компенсируется индуктивной составляющей тока потребителей. Обычно степень возбуждения СК регулируют посредством автоматических устройств.

Синхронные компенсаторы применяют также для стабилизации напряжения в сети при передаче энергии по линиям большой протяженности. При больших индуктивных нагрузках напряжение в конце линии (у потребителей) оказывается намного меньше, чем в начале; при малых нагрузках, наоборот, под влиянием емкостных сопротивлений линии напряжение в конце линии может даже повышаться по сравнению с напряжением в начале. Если же в конце линии (у потребителей) включить СК, работающий при больших нагрузках с перевозбуждением и при малых нагрузках с недовозбуждением, то это позволит поддерживать напряжение в конце линии практически неизменным.

Условия нагревания СК при опережающем токе (при перевозбуждении) более тяжелые, чем при отстающем (при недовозбуждении), поэтому номинальной мощностью компенсатора считают мощность при перевозбуждении.

Пример 22.1. Потребитель, включенный в сеть переменного тока напряжением $U_c = 6,3$ кВ, потребляет мощность 1500 кВ·А при коэффициенте мощности $\cos \varphi = 0,7$. Определить мощность синхронного компенсатора, необходимого для повышения коэффициента мощности в сети до $\cos \varphi' = 0,95$ ($\sin \varphi' = 0,31$) Определить также силу тока нагрузки в сети до и после компенсации.

Решение. До включения СК реактивная мощность сети $Q = S \sin \varphi = 1500 \cdot 0,7 = 1050$ кВ·Ар; ток нагрузки в сети

$$I_c = S / (\sqrt{3} U_c) = 1500 / (\sqrt{3} \cdot 6,3) = 138 \text{ А};$$

активная составляющая этого тока $I_{c a} = I_c \cos \varphi = 138 \cdot 0,7 = 97 \text{ А}$.

После включения СК реактивная мощность уменьшилась до

$$Q' = S \sin \varphi' = 1500 \cdot 0,31 = 450 \text{ кВ·Ар}.$$

Таким образом, для повышения коэффициента мощности установки от $\cos \varphi = 0,7$ до $\cos \varphi' = 0,95$ требуется включить СК мощностью

$$Q_{cк} = 1050 - 450 = 600 \text{ кВ·Ар}.$$

При этом активная составляющая тока сети не изменится ($I_{c a} = 97 \text{ А}$), а реактивная составляющая этого тока станет равной

$$I'_{c p} = Q' / (\sqrt{3} \cdot U_c) = 450 / (\sqrt{3} \cdot 6,3) = 42 \text{ А}.$$

Следовательно, ток в сети после включения СК

$$I'_c = \sqrt{I_{c a}^2 + I_{c p}^2} = \sqrt{97^2 + 42^2} = 104 \text{ А}.$$

Обычно коэффициент мощности увеличивают до $0,92$ — $0,95$, так как экономия, получаемая от повышения коэффициента мощности до единицы, не оправдывает увеличивающихся расходов, обусловленных возросшей мощностью синхронного компенсатора. Так, если в рассматриваемом примере потребовалось бы увеличить коэффициент мощности в сети до единицы, то пришлось бы применить синхронный компенсатор мощностью 1050 кВ·Ар, т. е. почти в два раза больше, чем при $\cos \varphi' = 0,95$.

Синхронные компенсаторы — это электрические машины большой мощности: от 10 до 160 тыс. кВ·А. Выполняют их обычно с горизонтальным расположением вала на напряжение от $6,6$ до 16 кВ, частотой 50 Гц. Число полюсов в СК обычно составляет $2p = 6$ и 8 , что соответствует частоте вращения ротора 1000 и

750 об/мин. В синхронных компенсаторах современных серий применен асинхронный пуск, поэтому ротор СК снабжен пусковой клеткой.

Вал компенсатора не передает вращающего момента, и поэтому при его расчете учитывают лишь силу тяжести ротора и силу магнитного притяжения. В итоге вал СК по сравнению с валом синхронного двигателя имеет уменьшенное сечение. Это способствует уменьшению габаритов и облегчению СК. Так как вал СК не имеет выступающего конца, то СК сравнительно легко герметизировать с целью применения в нем водородного охлаждения (см. § 31.4).

Наиболее важными характеристиками СК являются U-образные характеристики, определяющие основные параметры компенсатора: значения токов в обмотке статора и в обмотке возбуждения. В принципе эти характеристики не отличаются от U-образной характеристики синхронного двигателя в режиме х. х. ($P_2 = 0$). Указанные характеристики строят для разных напряжений сети.

Синхронный компенсатор не несет активной нагрузки (его электромагнитная мощность $P_{эм} \approx 0$) и работает при значении угла $\theta = 0$, что обеспечивает СК большую перегрузочную способность.

Контрольные вопросы

1. Чем ограничивается область устойчивой работы синхронного двигателя?
2. Объясните процесс пуска синхронного двигателя.
3. Как регулируется коэффициент мощности синхронного двигателя?
4. Каково назначение синхронного компенсатора?
5. Каковы достоинства и недостатки синхронных двигателей по сравнению с асинхронными?

§ 23.1. Синхронные машины с постоянными магнитами

Синхронные машины с постоянными магнитами (магнитоэлектрические) не имеют обмотки возбуждения на роторе, а возбуждающий магнитный поток у них создается постоянными магнитами, расположенными на роторе. Статор этих машин обычной конструкции с двух- или трехфазной обмоткой.

Применяют эти машины чаще всего в качестве двигателей небольшой мощности. Синхронные генераторы с постоянными магнитами применяют реже, главным образом в качестве автономно работающих генераторов повышенной частоты, малой и средней мощности.

Синхронные магнитоэлектрические двигатели. Эти двигатели получили распространение в двух конструктивных исполнениях: с радиальным и аксиальным расположением постоянных магнитов.

При радиальном расположении постоянных магнитов пакет ротора с пусковой клеткой, выполненный в виде полого цилиндра, закрепляют на наружной поверхности явно выраженных полюсов постоянного магнита 3. В цилиндре делают межполюсные прорезы, предотвращающие замыкание потока постоянного магнита в этом цилиндре (рис. 23.1, а).

При аксиальном расположении магнитов конструкция ротора аналогична конструкции ротора асинхронного короткозамкнутого двигателя. К торцам этого ротора прижаты кольцевые постоянные магниты (рис. 23.1, б).

Конструкции с аксиальным расположением магнита применяют в двигателях малого диаметра мощностью до 100 Вт; конструкции с радиальным расположением магнитов применяют в двигателях большего диаметра мощностью до 500 Вт и более.

Физические процессы, протекающие при асинхронном пуске этих двигателей, имеют некоторую особенность, обусловленную тем, что магнитоэлектрические двигатели пускают в возбужденном со-

стоянии. Поле постоянного магнита в процессе разгона ротора наводит в обмотке статора ЭДС $E_{1п}$, частота которой увеличивается пропорционально частоте вращения ротора. Эта ЭДС наводит в обмотке статора ток, взаимодействующий с полем постоянных магнитов и создающий тормозной момент M_T , направленный встречно вращению ротора.

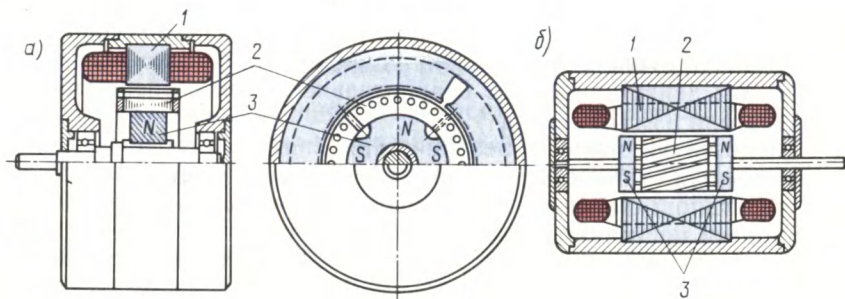


Рис 23.1. Магнитоэлектрические синхронные двигатели с радиальным (а) и аксиальным (б) расположением постоянных магнитов:

1 — статор, 2 — короткозамкнутый ротор, 3 — постоянный магнит

Таким образом, при разгоне двигателя с постоянными магнитами на его ротор действуют два асинхронных момента (рис. 23.2): вращающий M_a (от тока I_1 , поступающего в обмотку статора из сети) и тормозной M_T (от тока $I_{1п}$, наведенного в обмотке статора полем постоянного магнита).

Однако зависимость этих моментов от частоты вращения ротора (скольжения) различна: максимум вращающего момента M_a соответствует значительной частоте (небольшому скольжению), а максимум тормозного момента M_T — малой частоте вращения (большому скольжению). Разгон ротора происходит под действием результирующего момента $M_{рез} = M_a + M_T$, который имеет значительный «провал» в зоне малых частот вращения. Из приведенных на рисунке кривых видно, что влияние момента M_T на пусковые свойства двигателя, в частности на момент входа в синхронизм $M_{вх}$, значительно.

Для обеспечения надежного пуска двигателя необходимо, чтобы минимальный результирующий момент в асинхронном режиме $M_{рез}$ и момент входа в синхронизм $M_{вх}$ были больше момента нагрузки. Форма кривой асинхронного момента магнитоэлектрического двигателя в значительной степени зависит от активного сопротивления пусковой клетки и от степени возбужденности двигателя, характеризуемой величиной $\xi_n = (E_0/U_1) < 1$, где E_0 — ЭДС фазы статора, наведенная в режиме холостого хода при вращении ротора с синхронной частотой. С увеличением ξ_n «провал» в кривой момента $M_{рез}$ увеличивается.

Электромагнитные процессы в магнитоэлектрических синхронных двигателях в принципе аналогичны процессам в синхронных двигателях с электромагнитным возбуждением. Однако необходи-

мо иметь в виду, что постоянные магниты в магнитоэлектрических машинах подвержены размагничиванию действием магнитного потока реакции якоря. Пусковая обмотка несколько ослабляет это размагничивание, так как оказывает на постоянные магниты экранирующее действие.

Положительные свойства магнитоэлектрических синхронных двигателей — повышенная устойчивость работы в синхронном режиме и равномерность частоты вращения, а также способность синфазного вращения нескольких двигателей, включенных в одну сеть. Эти двигатели имеют сравнительно высокие энергетические показатели (КПД и $\cos \varphi_1$).

Недостатки магнитоэлектрических синхронных двигателей — повышенная стоимость по сравнению с синхронными двигателями других типов, обусловленная высокой стоимостью и сложностью обработки постоянных магнитов, выполняемых из сплавов, обладающих большой коэрцитивной силой (ални, алнико, магнико и др.). Эти двигатели обычно изготовляют на небольшие мощности и применяют в приборостроении и в устройствах автоматики для привода механизмов, требующих постоянного частоты вращения.

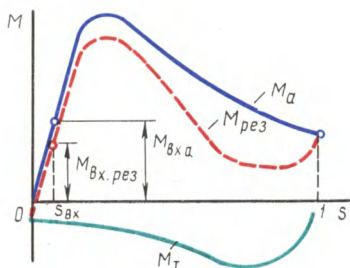


Рис. 23.2. Графики асинхронных моментов магнитоэлектрического синхронного двигателя

дающих большой коэрцитивной силой (ални, алнико, магнико и др.). Эти двигатели обычно изготовляют на небольшие мощности и применяют в приборостроении и в устройствах автоматики для привода механизмов, требующих постоянного частоты вращения.

Синхронные магнитоэлектрические генераторы.

Ротор такого генератора выполняют при малой мощности в виде «звездочки» (рис. 23.3, а), при средней мощности — с когтеобразными полюсами и цилиндрическим постоянным магнитом (рис. 23.3, б). Ротор с когтеобразными полюсами дает возможность получить генератор с рассеянием полюсов, ограничивающим ударный ток при внезапном коротком замыкании генератора. Этот ток представляет большую опасность для постоянного магнита ввиду сильного размагничивающего действия.

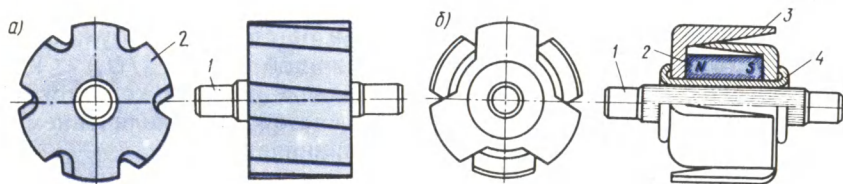


Рис. 23.3. Роторы магнитоэлектрических синхронных генераторов: 1 — вал, 2 — постоянный магнит, 3 — полюс, 4 — намагнитная втулка

Помимо недостатков, отмеченных при рассмотрении магнитоэлектрических синхронных двигателей, генераторы с постоянными магнитами имеют еще один недостаток, обусловленный отсутствием обмотки возбуждения, а поэтому регулировка напряжения в магнитоэлектрических генераторах практически невозможна. Это затрудняет стабилизацию напряжения генератора при изменениях нагрузки.

§ 23.2. Синхронные реактивные двигатели

Отличительная особенность синхронных реактивных двигателей (СРД) — отсутствие у них возбуждения со стороны ротора. Основной магнитный поток в этом двигателе создается исключительно за счет МДС обмотки статора. В двух- и в трехфазных СРД эта МДС является вращающейся.

Для выяснения принципа действия СРД обратимся к выражению электромагнитного момента явнополюсной синхронной машины [см. (21.10)], из которого следует, что если отключить обмотку возбуждения ($E_0 = 0$), то основная составляющая момента становится равной нулю и на ротор машины продолжает действовать лишь реактивная составляющая момента [см. (21.12)]

$$M_p = \frac{m_1 U_1^2}{2\omega_1} \left(\frac{1}{x_q} - \frac{1}{x_d} \right) \sin 2\theta.$$

Принцип действия СРД заключается в следующем. При включении обмотки статора в сеть возникает вращающееся магнитное

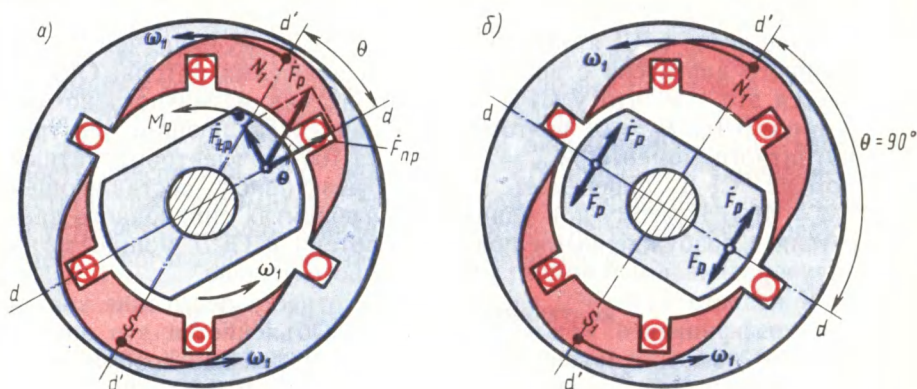


Рис 23.4 Принцип действия синхронного реактивного двигателя

поле. Как только ось этого поля $d' - d'$ займет положение в пространстве расточки статора, при котором она будет смещена относительно продольной оси невозбужденных полюсов ротора $d - d$ на угол θ в сторону вращения (рис. 23.4, а), между полюсами этого поля и выступающими полюсами невозбужденного ротора возникнет реактивная сила магнитного притяжения полюса

ротора к полюсу вращающегося поля статора F_p . Вектор этой силы \vec{F}_p смещен относительно продольной оси ротора также на угол θ , поэтому сила F_p имеет две составляющие: нормальную F_{np} , направленную по продольной оси ротора, и тангенциальную F_{tp} , направленную перпендикулярно продольной оси полюсов ротора. С совокупность тангенциальных составляющих реактивных сил F_{tp} на всех полюсах невозбужденного ротора создаст вращающий реактивный момент M_p , который будет вращать ротор с синхронной частотой ω_1 . С ростом механической нагрузки на вал СРД угол θ увеличивается и момент M_p растет.

Однако при значении угла $\theta = 90^\circ$ реактивный момент $M_p = 0$. Такая зависимость момента M_p от угла θ является принципиальной для реактивного момента, отличающей его от основной составляющей электромагнитного момента $M_{осн}$ синхронного двигателя с возбужденным ротором (см. рис. 22.2, график 1), который при $\theta = 90^\circ$ имеет максимальное значение. Из рис. 23.4, б видно, что при $\theta = 90^\circ$ реактивные силы магнитного притяжения F_{mp} , действующие на каждый полюс невозбужденного ротора, взаимно уравниваются и реактивный момент $M_p = 0$. Максимальное значение реактивного момента M_{pmax} наступает при значении угла $\theta = 45^\circ$. Поэтому зависимость реактивного момента M_p от угла θ определяется выражением

$$M_p = M_{pmax} \sin 2\theta. \quad (23.1)$$

Графически эта зависимость представлена кривой 2 на рис. 22.2. Непременное условие создания реактивного момента M_p — явнополюсная конструкция ротора, так как только в этом случае $x_q \neq x_d$.

Мощность СРД и развиваемый им момент меньше, чем у синхронного двигателя с возбужденными полюсами ротора. Объясняется это тем, что у СРД из-за отсутствия магнитного потока ротора ЭДС $E_0 = 0$, поэтому основная составляющая электромагнитного момента $M_{осн} = 0$ [см. (21.10)] и электромагнитный момент СРД определяется лишь реактивной составляющей ($M = M_p$). Поэтому при одинаковых габаритах синхронного двигателя с возбужденными полюсами ротора и СРД мощность на валу и развиваемый момент у СРД намного меньше.

К недостаткам СРД следует также отнести невысокие значения коэффициента мощности и КПД. Объясняется это значительным намагничивающим током статора, так как возбуждение СРД происходит за счет магнитного поля статора.

В СРД применяют асинхронный пуск. Для этого ротор снабжают короткозамкнутой пусковой клеткой. На рис. 23.5, а показана традиционная конструкция ротора СРД, отличающаяся от ротора асинхронного двигателя лишь наличием впадин, обеспечивающих ротору явнополюсную конструкцию. Чем больше эти впадины, тем больше отношение x_d/x_q , а следовательно, и реактивный момент M_p . Однако с увеличением впадин растет средняя величина воздушного зазора, что ведет к повышению намагничи-

вающего тока статора, а следовательно, к снижению энергетических показателей двигателя — коэффициента мощности и КПД. Кроме того, с увеличением впадин сокращаются размеры пусковой клетки, что ведет к уменьшению асинхронного момента, т. е. к уменьшению пускового момента и момента входа в синхронизм.

Наилучшие результаты дает следующее соотношение размеров ротора:

$$b_n/\tau = 0,5 \div 0,6 \text{ и } \delta_{\max}/\delta_{\min} = 10 \div 12.$$

В этом случае удастся добиться отношения $x_d/x_q \approx 2$.

Более совершенна секционированная конструкция ротора СРД, представляющая собой цилиндр, в котором стальные по-

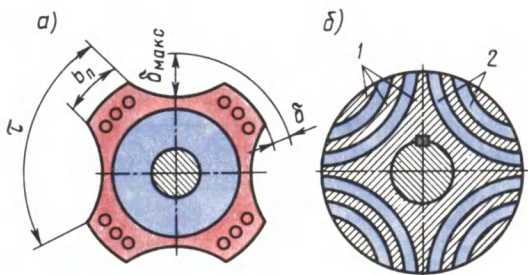


Рис. 23.5 Конструкция роторов синхронного реактивного двигателя

лосы 2 залиты алюминием 1 (рис. 23.5, б). Такая конструкция ротора позволяет получить отношение $x_d/x_q \approx 4 \div 5$. За счет этого существенно возрастает момент $M_{p\max}$ при сохранении намагничивающего тока на допустимом уровне.

На торцах секционированного ротора имеются отлитые из алюминия кольца, замыкающие алюминиевые прослойки ротора, образуя короткозамкнутую пусковую клетку.

Простота конструкции и высокая эксплуатационная надежность обеспечили СРД малой мощности широкое применение в устройствах автоматики для привода самопишущих приборов, в устройствах звуко- и видеозаписи и других установках, требующего строгого постоянства частоты вращения.

§ 23.3. Гистерезисные двигатели

Работа гистерезисного двигателя основана на действии гистерезисного момента. На рис. 23.6, а показаны два полюса постоянного магнита (поле статора); между ними расположен цилиндр (ротор) из магнитно-твердого материала. Под действием внешнего магнитного поля ротор намагничивается. На стороне, обращенной к северному полюсу постоянного магнита, возбуждается южный полюс, а на стороне ротора, обращенной к южному полюсу постоянного магнита, — северный полюс. На ротор начинают действовать силы F_m , направленные радиально к его поверхности. Если полюсы постоянного магнита вращать

вокруг ротора, то вследствие явления *магнитного запаздывания* (*гистерезиса*) активная часть ротора не будет перемагничиваться одновременно с изменением направления вращающегося магнитного поля и между осью поля ротора и осью внешнего поля появится угол γ . Силы F_m , действующие на ротор, также изменят свое направление на угол γ , а тангенциальные составляющие этих сил F_t создадут гистерезисный момент M_r (рис. 23.6, б).

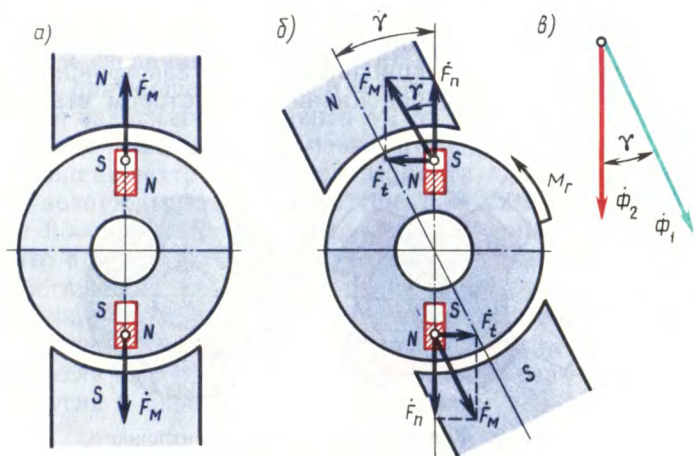


Рис. 23.6 К понятию о гистерезисном моменте

Явление *магнитного запаздывания* заключается в том, что частицы ферромагнитного материала (помещенного во внешнее магнитное поле), представляющие собой элементарные магниты, стремятся ориентироваться в соответствии с направлением внешнего поля. Если внешнее поле изменит свое направление, то элементарные частицы меняют свою ориентацию. Однако повороту элементарных частиц препятствуют в магнитно-твердых материалах внутренние силы молекулярного трения. Для изменения направления этих частиц необходима определенная МДС, вследствие чего перемагничивание ротора несколько отстает от изменения направления внешнего поля. Это отставание (магнитное запаздывание) характеризуется углом гистерезисного сдвига γ между вектором магнитного потока ротора Φ_2 и вектором магнитного потока обмотки статора Φ_1 (рис. 23.6, в). Этот угол зависит исключительно от магнитных свойств материала ротора.

На преодоление сил молекулярного трения расходуется часть подводимой мощности, которая составляет *потери на гистерезис*. Величина этих потерь зависит от частоты перемагничивания ротора $f_2 = f_1 s$, а следовательно, от скольжения:

$$P_r = s P_{r_k}, \quad (23.2)$$

где P_{r_k} — потери на гистерезис при неподвижном роторе (при $s = 1$), т. е. в режиме к. з.

Так как электромагнитная мощность, передаваемая ротору, равна потерям в роторе, деленным на скольжение [см. (13.5)]:

$$P_{\text{эм}} = P_{\text{г}}/s = P_{\text{г к}}, \quad (23.3)$$

а вращающий момент — электромагнитной мощности, деленной на синхронную угловую скорость:

$$M_{\text{г}} = P_{\text{эм}}/\omega_1 = P_{\text{г к}}/\omega_1, \quad (23.4)$$

то, очевидно, величина гистерезисного момента не зависит от частоты вращения ротора (скольжения). График $M_{\text{г}} = f(s)$ представляет собой прямую, параллельную оси абсцисс (рис. 23.7).

Угол гистерезисного сдвига зависит от ширины петли гистерезиса: чем шире петля гистерезиса магнитного материала, тем больше угол гистерезисного сдвига. На рис. 23.8, а представлены две петли гистерезиса: обычной стали (кривая 2) и сплава викаллой (кривая 1).

Применение обычной стали для изготовления ротора не обеспечивает гистерезисного момента достаточной величины. Только магнитно-твердые материалы, например такие, как викаллой, дают возможность получить большой гистерезисный момент. Роторы гистерезисных двигателей обычно делают сборными. Магнитно-твердая часть выполняется в виде шихтованного или массивного кольца 1, размещенного на втулке 2 (рис. 23.8, б). Последняя жестко посажена на вал 3.

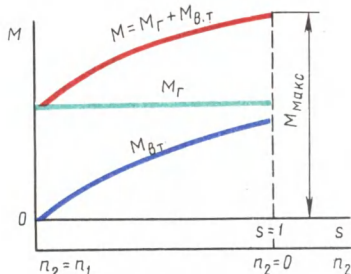


Рис. 23.7. Механические характеристики гистерезисного двигателя

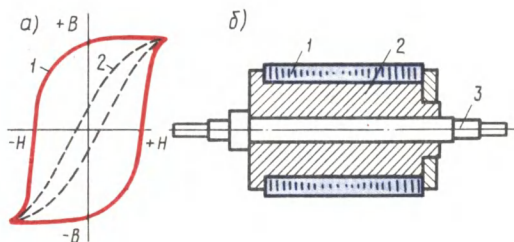


Рис. 23.8. Петли гистерезиса обычной электро-технической стали и сплава викаллой (а) и устройство сборного ротора гистерезисного двигателя (б)

В машинах с нешихтованным (массивным) ротором вращающееся поле статора наводит в роторе вихревые токи. В результате взаимодействия этих токов с полем статора возникает электромагнитный момент $M_{\text{в т}}$, значение которого пропорционально скольжению:

$$M_{\text{в т}} = sP_{\text{в т к}}/\omega_1, \quad (23.5)$$

где $P_{\text{в т к}}$ — потери на вихревые токи в роторе при $s=1$, т. е. в режиме к. з., Вт; ω_1 — угловая синхронная скорость, рад/с.

Наибольшего значения момент $M_{в\tau}$ достигает при неподвижном роторе ($s = 1$), т. е. в момент пуска электродвигателя. Затем по мере возрастания частоты вращения (уменьшении скольжения) момент $M_{в\tau}$ убывает (см. рис. 23.7), при синхронной частоте он становится равным нулю.

Таким образом, электромагнитный вращающий момент гистерезисного двигателя создается совместным действием моментов от вихревых токов $M_{в\tau}$ и гистерезисного $M_{г}$:

$$M = M_{в\tau} + M_{г} = sP_{в\tau\kappa}/\omega_1 + P_{г\kappa}/\omega_1. \quad (23.6)$$

На рис. 23.7 представлена зависимость результирующего момента гистерезисного двигателя от скольжения: $M = f(s)$. Характер этой кривой зависит от соотношения моментов $M_{в\tau}$ и $M_{г}$.

Гистерезисный двигатель может работать с синхронной и асинхронной частотами вращения. Однако работа двигателя в асинхронном режиме неэкономична, так как связана со значительными потерями на перемагничивание ротора, величина которых возрастает с увеличением скольжения.

Достоинства гистерезисных двигателей — простота конструкции, бесшумность и надежность в работе, большой пусковой момент, плавность входа в синхронизм, сравнительно высокий КПД, малое изменение кратности тока от пуска до номинальной нагрузки ($I_n/I_{ном} = 1,3 \div 1,4$).

Недостатки гистерезисных двигателей — низкий коэффициент мощности ($\cos \phi_1 = 0,4 \div 0,5$) и сравнительно высокая стоимость. Кроме того, при резких колебаниях нагрузки гистерезисные двигатели склонны к качаниям, что создает неравномерность хода (вращения). Объясняется это отсутствием у гистерезисных двигателей пусковой клетки, которая при резких изменениях нагрузки оказывает на ротор успокаивающее (демпфирующее) действие. Наиболее сильные качания наблюдаются у шихтованного ротора, в котором вихревые токи сильно ограничены. Вызываемая качаниями неравномерность вращения ограничивает области применения гистерезисных двигателей.

§ 23.4. Шаговые двигатели

Шаговые (импульсные) двигатели (ШД) используют обычно в качестве исполнительных двигателей, преобразующих электрические сигналы (импульсы напряжения) в угловые или линейные дискретные (скачкообразные) перемещения (шаги). Наибольшее применение ШД получили в электроприводах с программным управлением.

Различают шаговые двигатели с активным (возбужденным) и реактивным ротором. Шаговые двигатели с активным ротором имеют обмотку возбуждения или выполнены с постоянными магнитами на роторе; шаговые двигатели с реактивным ротором не имеют обмотки возбуждения, а их ротор выполняют из магнитно-мягкого материала. Обмотку управления ШД обыч-

но располагают на статоре и делают одно- или многофазной (чаще трех- или четырехфазной).

Рассмотрим принцип действия шагового двигателя на примере реактивного трехфазного ШД, статор которого имеет шесть явно выраженных полюсов (по два полюса на фазу), а ротор — два полюса (рис. 23.9).

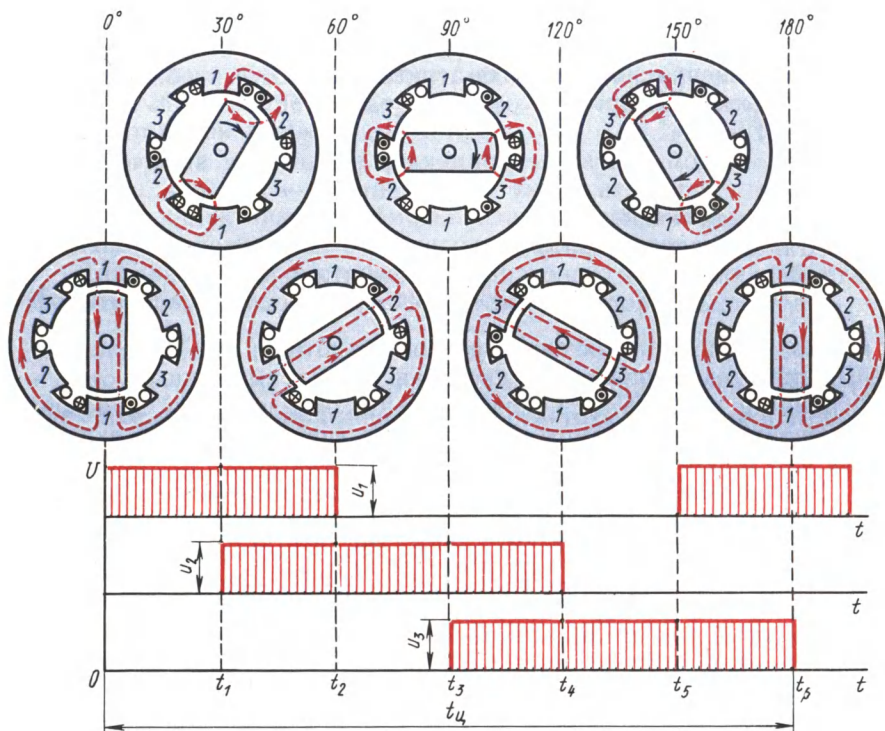


Рис. 23.9. Принцип действия реактивного шагового двигателя

При прохождении импульса тока в фазе 1 обмотки управления ротор занимает положение, соответствующее действию электромагнитных сил, т. е. по оси полюсов 1—1. В момент времени t_1 появится импульс тока в фазе 2. При этом на ротор будут действовать силы, обусловленные одновременным воздействием двух МДС (полюсов 1—1 и 2—2). В результате ротор повернется по часовой стрелке и займет положение, промежуточное между полюсами 1—1 и 2—2, т. е. повернется на шаг $\alpha_{\text{ш}} = 30^\circ$. В момент t_2 импульс тока в фазе 1 прекратится и ротор, сделав шаг $\alpha_{\text{ш}} = 30^\circ$, займет положение по оси полюсов 2—2. В момент t_3 появится импульс тока в фазе 3 и ротор, повернувшись еще на 30° , займет положение между полюсами статора 2—2 и 3—3. В моменты времени t_4 , t_5 и t_6 ротор также будет совершать шаги по 30° и в конце цикла (момент t_6) займет положение по оси

полюсов статора $I—I$, совершив за этот цикл поворот на 180° .

В последующие циклы процессы в ШД будут повторяться. Таким образом, рассматриваемый реактивный трехфазный ШД работает по шеститактной схеме коммутации с раздельно-совместным включением фазных обмоток управления: $1 \rightarrow 12 \rightarrow 2 \rightarrow 23 \rightarrow 3 \rightarrow 31 \rightarrow \dots$.

Работают реактивные ШД от однополярных импульсов напряжения, так как изменение полярности этих импульсов не изменяет направления реактивного момента. Для изменения направления вращения ротора рассматриваемого ШД необходимо изменить схему коммутации обмоток, например $1 \rightarrow 13 \rightarrow 3 \rightarrow 32 \rightarrow 2 \rightarrow 21 \rightarrow \dots$.

Если в этом двигателе применить раздельное включение обмоток, т. е. принять схему коммутации $1 \rightarrow 2 \rightarrow 3 \rightarrow \dots$, то шаг двигателя $\alpha_{\text{ш}} = 60^\circ$.

Шаг двигателя (град)

$$\alpha_{\text{ш}} = 360^\circ / (2p_2 m_y k), \quad (23.7)$$

где $2p_2$ — число полюсных выступов на роторе; m_y — число фазных обмоток управления, пространственно смещенных относительно друг друга; k — коэффициент, определяемый способом включения фазных обмоток управления (при раздельном включении $k = 1$, при раздельно-совместном — $k = 2$).

Уменьшение шага $\alpha_{\text{ш}}$ способствует повышению устойчивости и точности работы ШД. Для уменьшения шага $\alpha_{\text{ш}}$ увеличивают число полюсных выступов на роторе $2p_2$. Так, если в рассматриваемом двигателе применить ротор крестообразного сечения ($2p_2 = 4$), то при шеститактной коммутации шаг $\alpha_{\text{ш}} = 15^\circ$.

Шаговые двигатели с активным ротором (с обмоткой возбуждения или постоянными магнитами на роторе) позволяют получить большие значения вращающего момента, а также обеспечивают фиксацию ротора при отсутствии управляющего сигнала.

Один из важных параметров ШД — *частота приемистости* — максимальная частота следования управляющих импульсов, при которой ротор втягивается в синхронизм с места без потери шага. У шаговых двигателей реактивного типа частота приемистости при номинальной нагрузке достигает 1000—1300 Гц. С увеличением шага частота приемистости уменьшается. Шаговый двигатель работает в комплекте с коммутатором — устройством, преобразующим заданную последовательность управляющих импульсов в m -фазную систему прямоугольных импульсов напряжения.

При рассматривании принципа работы шагового двигателя влияние нагрузочного момента на валу двигателя не учитывалось. Если же на вал шагового двигателя действует нагрузочный момент $M_{\text{н}}$, то при переключении управляющего импульса с одной фазы на другую МДС статора повернется на угол $\alpha_{\text{ш}}$, а ротор двигателя, поворачиваясь за вектором МДС, будет отставать от него на угол

$\Delta\theta_c$, называемый *углом статической ошибки* шагового двигателя, эл. град:

$$\Delta\theta_c = \arcsin (M_n/M_{\max}) ,$$

где M_{\max} — максимальный статический момент, соответствующий углу смещения ротора относительно вектора МДС статора $\theta = 90$ эл. град.

Быстродействие шаговых двигателей определяется скоростью протекания электромагнитных процессов при переключении управляющих импульсов напряжения с одной фазы статора на другую. Скорость протекания этих процессов оценивается электромагнитной постоянной времени, с

$$T_z = L_\phi / r_\phi ,$$

где L_ϕ — индуктивность обмотки одной фазы статора, Гн; r_ϕ — активное сопротивление обмотки одной фазы статора, Ом.

Для повышения быстродействия шагового двигателя в обмотки фаз статора последовательно включают резисторы $R_{\text{доб}}$, тогда

$$T_z = L_\phi / (r_\phi + R_{\text{доб}}) .$$

Энергетическим показателем шагового двигателя является значение потребляемой мощности P_1 . Частота вращения шагового двигателя регулируется изменением частоты подачи управляющих импульсов напряжения на фазы обмотки статора.

§ 23.5. Синхронный генератор с когтеобразными полюсами и электромагнитным возбуждением

Такие синхронные генераторы широко применяются в авто-тракторном электрооборудовании. На выходе генератора включают полупроводниковый выпрямитель (рис. 23.10, а), поэтому генератор выполняет функцию источника постоянного тока. Ротор генератора имеет конструкцию, аналогичную рис. 23.3, б, отличаясь наличием обмотки возбуждения вместо постоянного магнита.

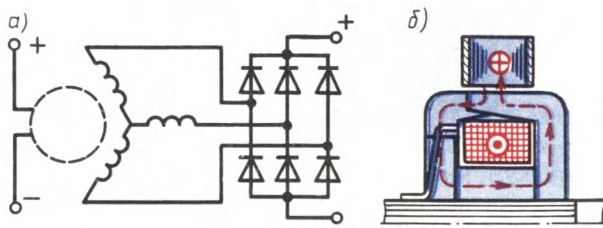


Рис 23.10. Принципиальная схема включения (а) и магнитная система синхронного генератора (б) с когтеобразными полюсами

Когтеобразная конструкция ротора позволяет возбудить многополюсный ротор посредством одной катушки возбуждения, подключаемой к источнику постоянного тока через контактные кольца и щетки. В таком роторе аксиально направленный магнитный поток возбуждения меняет свое направление в воздушном зазоре и становится радиально направленным (рис. 23.10, б). Рассматриваемый генератор отличается простотой конструкции, компактностью, надежностью и высокой технологичностью. Последнее достоинство имеет важное значение в условиях массового производства синхронных генераторов с когтеобразными полюсами. Обычно эти генераторы изготавливаются небольшой мощности (менее 1 кВ·А). В схеме электрооборудования генератор включают параллельно с аккумуляторной батареей, и он работает с ней в буферном режиме, т. е. они дополняют друг друга в зависимости от величины нагрузки и частоты вращения приводного двигателя.

На рис. 23.11 показано устройство автомобильного синхронного генератора типа Г-250. Статор 8 этого генератора представляет собой шихтованный пакет, на 18 зубцах которого располо-

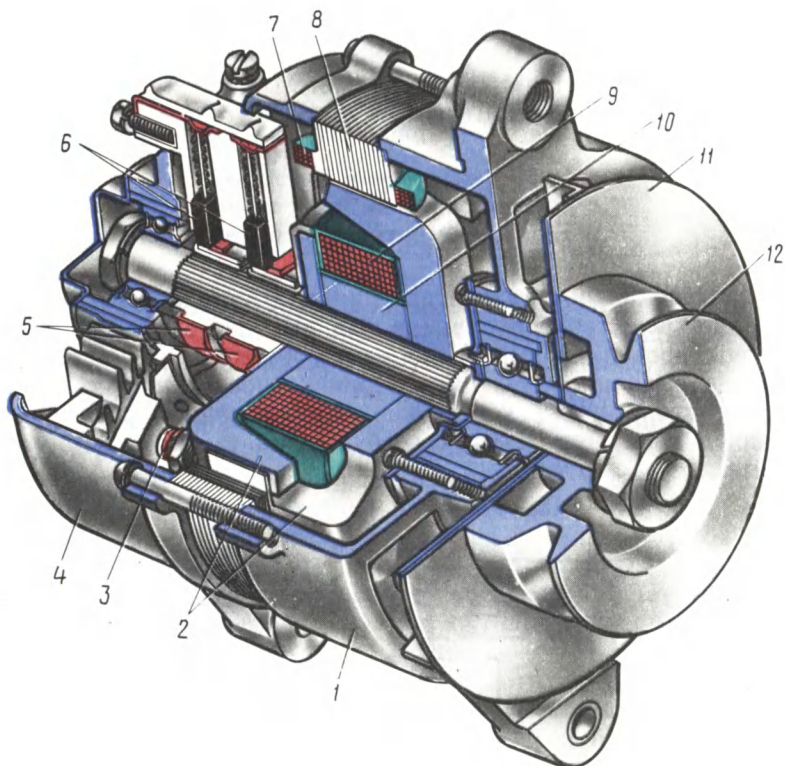


Рис. 23.11. Устройство синхронного генератора с когтеобразными полюсами

жены катушки 7, образующие трехфазную обмотку, соединенную звездой. Ротор состоит из вала, на который напрессованы две стальные шайбы с отогнутыми когтеобразными полюсами 2 (по шесть полюсов на каждой шайбе). На стальную втулку 10 надета цилиндрическая катушка возбуждения 9, концы которой присоединены к контактному кольцам 5. На кольца наложены медно-графитовые щетки 6. На заднем подшипниковом щите 4 расположен выпрямительный блок из шести кремниевых диодов 3, соединенных по мостовой схеме (см. рис. 23.10, а). Подшипниковые щиты 1 и 4 и сердечник статора стянуты тремя болтами. На валу генератора укреплены центробежный вентилятор 11 и шкив 12, посредством которого ротор генератора приводится во вращение.

§ 23.6. Индукторные синхронные машины

Некоторые устройства, например установки индукционного нагрева, гироскопические и радиолокационные устройства, требуют для своей работы переменного тока повышенной частоты, выражаемой сотнями и даже тысячами герц. Получение таких переменных токов посредством синхронных генераторов обычной конструкции сопряжено с непреодолимыми трудностями, так как связано с необходимостью либо увеличения частоты вращения свыше 3000 об/мин, либо чрезмерного увеличения числа полюсов, либо одновременного применения обоих мероприятий. Однако увеличение частоты вращения ведет к возрастанию центробежных усилий в роторе до опасных значений, а увеличение числа полюсов ведет к такому уменьшению полюсного деления τ , при котором размещение обмотки на статоре становится практически невозможным.

Для получения переменного тока повышенной частоты (до 30 кГц) применяют и н д у к т о р н ы е г е н е р а т о р ы, отличительным признаком которых является то, что за один период магнитный поток в них не меняет своего знака, как в обычных синхронных генераторах, а лишь изменяется от Φ_{\max} до Φ_{\min} значений, т. е. пульсирует (рис. 23.12, а). Пульсирующий поток состоит из двух составляющих: постоянной $\Phi_{\text{ср}}$ и переменной $\Phi_{\text{пер}}$, представляющей собой периодически изменяющийся как по значению, так и по направлению магнитный поток с амплитудой $\Phi_{\text{пер}} = 0,5 (\Phi_{\max} - \Phi_{\min})$. Постоянная составляющая потока не наводит в обмотках ЭДС, а переменная составляющая, сцепляясь с рабочей обмоткой генератора, наводит в ней ЭДС.

Существует несколько конструктивных схем индукторных генераторов. Все они основаны на создании пульсаций магнитного потока за счет изменения проводимости магнитной цепи, т. е. за счет зубцовых пульсаций магнитного потока. Для этого статору и ротору генератора придают зубчатую структуру. Когда зубец ротора находится против зубца статора, то магнитный поток в зубце статора приобретает наибольшее значение, когда же

против зубца статора расположен паз ротора, то магнитный поток в этом зубце статора становится наименьшим. При этом частота изменений переменного магнитного потока, а следовательно, и частота ЭДС, наведенной в рабочей обмотке этим потоком, пропорциональны числу зубцов ротора Z_2 :

$$f_1 = Z_2 n_2 / 60. \quad (23.8)$$

Рассмотрим одну из конструкций индукторного генератора, называемую *сдвоенной* (рис. 23.12, б). Статор 1 и ротор 5 генератора выполнены *сдвоенными*. Обмотка возбуждения 2, располагаемая на статоре, подключена к источнику постоянного тока и создает магнитный поток, замыкающийся вдоль вала ротора 4, при этом на каждой части статора (и ротора) возбуждаются по-

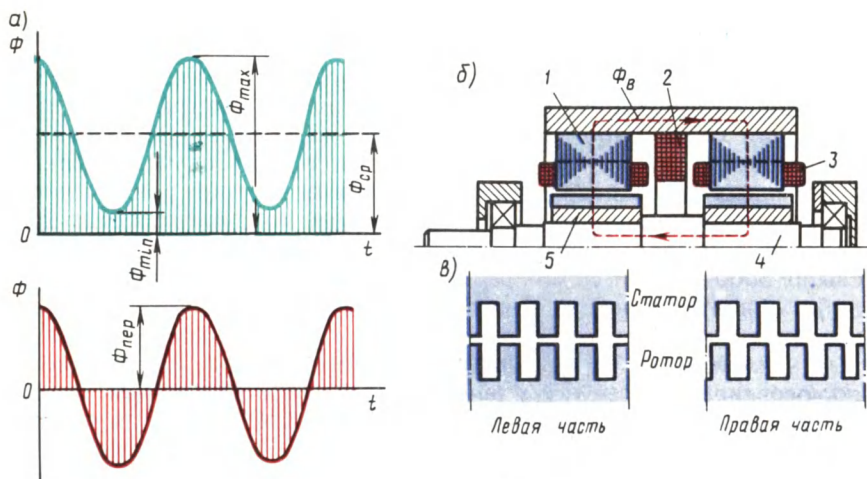


Рис 23.12. Индукторный генератор сдвоенного типа:

а — график магнитного потока, б — устройство генератора, в — взаимное расположение зубцов статора и ротора

люсы одной полярности. Число зубцов на статоре и на роторе одинаково. Пульсации магнитного потока происходят за счет смещения зубцов вращающегося ротора относительно зубцов статора. На каждом зубце статора расположена катушка 3, в которой переменной составляющей магнитного потока наводится ЭДС.

Весьма важным в индукторных генераторах является обеспечение постоянства общего магнитного потока при вращении ротора, так как в противном случае в обмотке возбуждения 2 будет индуцироваться ЭДС высокой частоты. В рассматриваемом индукторном генераторе постоянство общего магнитного потока обмотки возбуждения обеспечивается тем, что один пакет ротора

смещен относительно другого пакета на половину зубцового деления (рис. 23.12, в). Благодаря этому магнитное сопротивление суммарному потоку возбуждения остается неизменным при любом положении ротора. Это позволило ротор генератора сделать стальным монолитным (а не шихтованным) с профрезерованными пазами.

Коэффициент полезного действия генераторов индукторного типа несколько ниже, чем у генераторов промышленной частоты (50 Гц), из-за повышенных электрических потерь в обмотке статора, обусловленных эффектом вытеснения тока, вызывающего увеличение активного сопротивления обмотки. Отсутствие обмоток на роторе позволяет исключить в индукторном генераторе контактные кольца. Это упрощает конструкцию генератора и повышает его надежность.

Генераторы индукторного типа применяются в качестве возбудителей турбогенераторов серии ТВВ (см. § 19.1). На рис. 23.13 показано устройство такого возбудителя — генератора индукторного типа мощностью 2700 кВ·А. В отличие от индукторного генератора сдвоенного типа (см. рис. 23.12) ротор возбудителя имеет шихтованную конструкцию. Вентиляция генератора выполнена по замкнутому циклу (см. § 31.4) с применением газоохладителей.

Индукторная синхронная машина обратима, т. е. она может работать не только в генераторном, но и в двигательном режиме. Индукторные синхронные двигатели позволяют

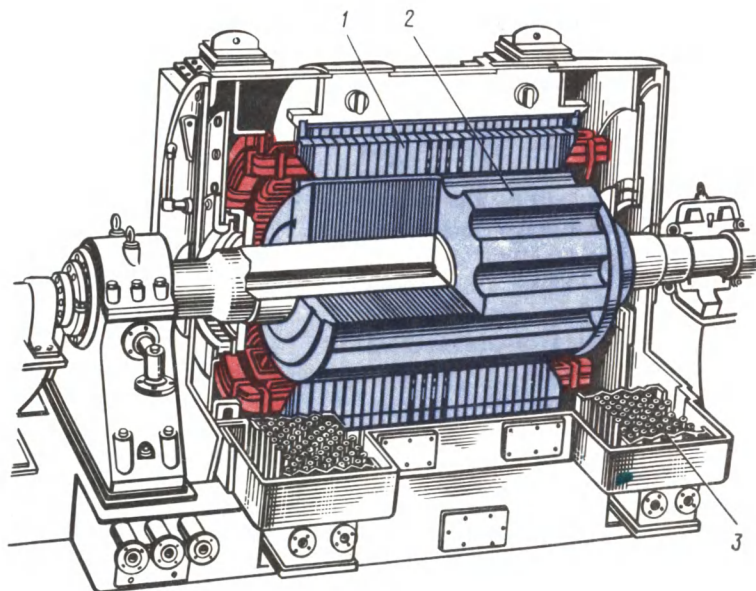


Рис 23.13 Возбудитель индукторного типа мощностью 2700 кВ·А.
1 — статор, 2 — ротор, 3 — газоохладитель

получать весьма малые частоты вращения без применения механических редукторов. Синхронная частота вращения такого двигателя при частоте питающего напряжения f_1 зависит от числа зубцов Z_2 в сердечнике ротора: $n_1 = f_1 \cdot 60 / Z_2$. Например, при $f_1 = 50$ Гц и $Z_2 = 100$ получим $n_1 = 50 \cdot 60 / 100 = 30$ об/мин.

Для получения вращающегося магнитного поля обмотку статора индукторного двигателя делают либо трехфазной, либо однофазной. В последнем случае на статоре помимо рабочей располагают еще и пусковую обмотку, включаемую в сеть через пусковой конденсатор.

Контрольные вопросы

1. Почему при пуске синхронного двигателя с постоянными магнитами возникает тормозной момент?
2. Объясните физическую сущность реактивного момента.
3. Как влияет глубина межполюсных впадин ротора на рабочий и пусковой моменты реактивного двигателя?
4. Объясните физическую сущность гистерезисного момента.
5. В чем различие шаговых двигателей с активным и реактивным роторами?
6. Как изменится шаг двигателя, если от раздельного включения обмоток перейти к раздельно-совместному?
7. Что такое частота приемистости шагового двигателя?
8. Чем достигается большая частота пульсаций магнитного потока в индукторном генераторе?
9. Почему ротор индукторного генератора на рис. 23.12 имеет монолитную конструкцию, а на рис. 23.13 — шихтованную?

5

КОЛЛЕКТОРНЫЕ МАШИНЫ

• **Принцип действия и устройство коллекторных машин постоянного тока**

• **Обмотки якоря машин постоянного тока**

• **Магнитное поле машины постоянного тока**

• **Коммутация в машинах постоянного тока**

• **Коллекторные генераторы постоянного тока**

• **Коллекторные двигатели**

Электрические машины постоянного тока используются как в качестве генераторов, так и в качестве двигателей. Наибольшее применение имеют двигатели постоянного тока, области применения и диапазон мощности которых достаточно широки: от долей ватт (для привода устройств автоматики) до нескольких тысяч киловатт (для привода прокатных станов, шахтных подъемников и других механизмов). Двигатели постоянного тока широко используются для привода подъемных средств в качестве крановых двигателей и привода транспортных средств в качестве тяговых двигателей. Основные преимущества двигателей постоянного тока по сравнению с бесколлекторными двигателями переменного тока — хорошие пусковые и регулировочные свойства, возможность получения частоты вращения более 3000 об/мин, а недостатки — относительно высокая стоимость, некоторая сложность в изготовлении и пониженная надежность. Все эти недостатки машин постоянного тока обусловлены наличием в них щеточно-коллекторного узла, который к тому же является источником радиопомех и пожарной опасности. Эти недостатки ограничивают применение машин постоянного тока.

В последние годы созданы и ус-



- **Машины постоянного тока специального назначения**

- **Охлаждение электрических машин**

пешно применяются двигатели постоянного тока, у которых механический коллектор заменен бесконтактным коммутатором на полупроводниковых элементах, однако подобные двигатели пока изготавливаются на мощность не более 500 Вт.

В данном разделе рассмотрены машины постоянного тока общего назначения, получившие наибольшее применение в современном электроприводе. Рассмотрены также некоторые виды машин постоянного тока специального назначения, главным образом применяемые в устройствах автоматики.



Глава 24 • Принцип действия и устройство коллекторных машин постоянного тока

§ 24.1. Принцип действия генератора и двигателя постоянного тока

Характерным признаком коллекторных машин является наличие у них коллектора — механического преобразователя переменного тока в постоянный и наоборот. Необходимость в таком преобразователе объясняется тем, что в обмотке якоря коллекторной машины должен протекать переменный ток, так как только в этом случае в машине происходит непрерывный процесс электромеханического преобразования энергии.

Рассмотрим принцип действия коллекторного генератора постоянного тока. На рис. 24.1 изображена упрощенная модель такого генератора: между полюсами N и S постоянного магнита находится вращающаяся часть генератора — якорь, вал которого посредством шкива и ременной передачи механически связан с приводным двигателем (на рисунке не показан) — источником механической энергии. В двух продольных пазах на сердечнике якоря расположена обмотка в виде одного витка $abcd$, концы которого присоединены к двум медным изолированным друг от друга полукольцам, образующим простейший коллектор. На поверхность коллектора наложены щетки A и B , осуществляющие скользящий контакт с коллектором и связывающие генератор с внешней цепью, куда включена нагрузка сопротивлением R .

Предположим, что приводной двигатель вращает якорь генератора против часовой стрелки, тогда в витке на якоре, вращающемся в магнитном поле постоянного магнита, наводится ЭДС, мгновенное значение которой $e = 2Blv$, а направление для положения якоря, изображенного на рисунке, указано стрелками.

В процессе работы генератора якорь вращается и виток $abcd$ занимает разное пространственное положение, поэтому в обмотке якоря наводится переменная ЭДС. Если бы в машине не было коллек-

тора, то ток во внешней цепи (в нагрузке R) был бы переменным, но посредством коллектора и щеток переменный ток обмотки якоря преобразуется в п у л ь с и р у ю щ и й ток во внешней цепи генератора, т. е. ток, неизменный по направлению. При положении витка якоря, показанном на рис. 24.1, ток во внешней цепи (в нагрузке) направлен от щетки A к щетке B ; следовательно, щетка A

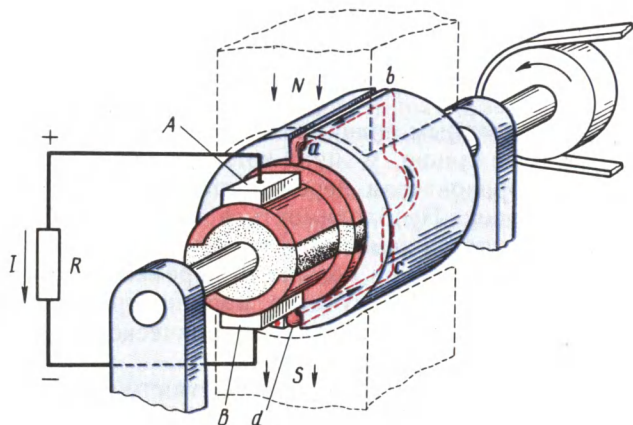


Рис 24.1. Упрощенная модель коллекторной машины

является положительной, а щетка B — отрицательной. После поворота якоря на 180° (рис. 24.2, a) направление тока в витке якоря изменится на обратное, однако полярность щеток, а следовательно, и направление тока во внешней цепи (в нагрузке) останутся неизменными (рис. 24.2, b). Объясняется это тем, что в тот момент, когда ток в витке якоря меняет свое направление, происходит смена коллекторных пластин под щетками. Таким образом, под щеткой A всегда находится пластина, соединенная с проводником, расположенным под северным магнитным полюсом, а под щеткой B — пластина, соединенная с проводником, расположенным под южным полюсом. Благодаря этому полярность щеток генератора остается неизменной независимо от положения витка якоря. Что же касается пульсаций тока во внешней цепи, то они намного ослабляются при увеличении числа витков в обмотке якоря при их равномерном распределении по поверхности якоря и соответствующем увеличении числа пластин в коллекторе.

В соответствии с принципом обратимости электрических машин упрощенная модель машины постоянного тока может быть использована в качестве двигателя постоянного тока. Для этого необходимо отключить нагрузку генератора R и подвести к щеткам машины напряжение от источника постоянного тока. Например, если к щетке A подключить зажим «плюс», а к щетке B —

«минус», то в обмотке якоря появится ток I , направление которого показано на рис. 24.3. В результате взаимодействия этого тока с магнитным полем постоянного магнита (полем возбуждения) появятся электромагнитные силы $F_{эм}$, создающие на якоре электромагнитный момент M и вращающие его против часовой стрелки. После поворота якоря на 180° электромагнитные силы

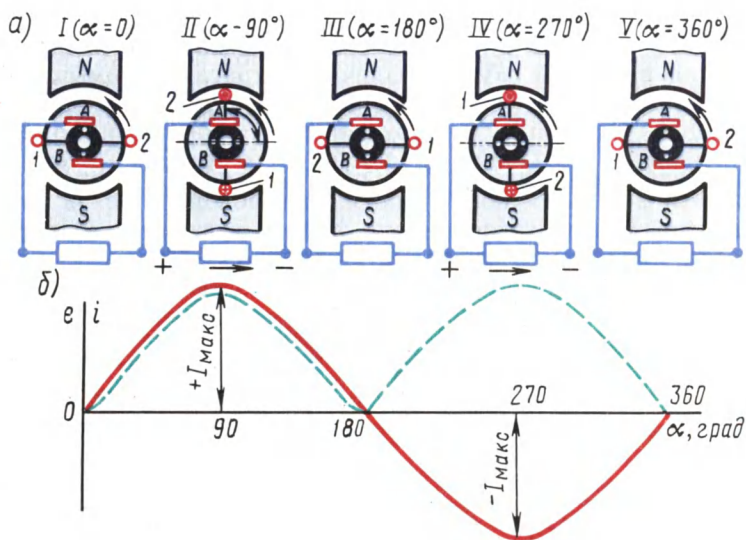


Рис. 24.2. К принципу действия генератора постоянного тока:
 — ЭДС и ток в обмотке якоря; ---- ЭДС и ток во
 внешней цепи генератора

не изменят своего направления, так как одновременно с переходом каждого проводника обмотки якоря из зоны одного магнитного полюса в зону другого полюса в этих проводниках меняется направление тока.

Таким образом, назначение коллектора и щеток в двигателе постоянного тока — изменять направление тока в проводниках обмотки якоря при их переходе из зоны магнитного полюса одной полярности в зону полюса другой полярности.

Рассмотренная упрощенная модель машины постоянного тока не обеспечивает двигателю устойчивой работы, так как при прохождении проводниками обмотки якоря геометрической нейтральной линии nn' (рис. 24.3) электромагнитные силы $F_{эм} = 0$ (магнитная индукция в середине межполюсного пространства равна нулю). Одна-

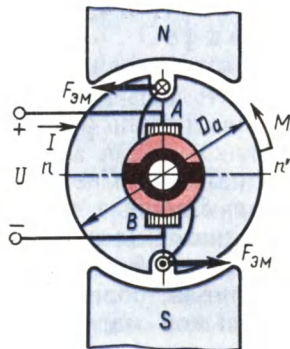


Рис. 24.3. К принципу действия двигателя постоянного тока

ко с увеличением числа проводников в обмотке якоря (при равномерном их распределении на поверхности якоря) и числа пластин коллектора вращение якоря двигателя становится устойчивым и равномерным.

§ 24.2. Устройство коллекторной машины постоянного тока

В настоящее время электромашиностроительные заводы изготовляют электрические машины постоянного тока, предназначенные для работы в самых различных отраслях промышленности, поэтому отдельные узлы этих машин могут иметь разную конструкцию, но общая конструктивная схема машин одинакова. Неподвижная часть машины постоянного тока называется статором, вращающаяся часть — якорем (рис. 24.4).

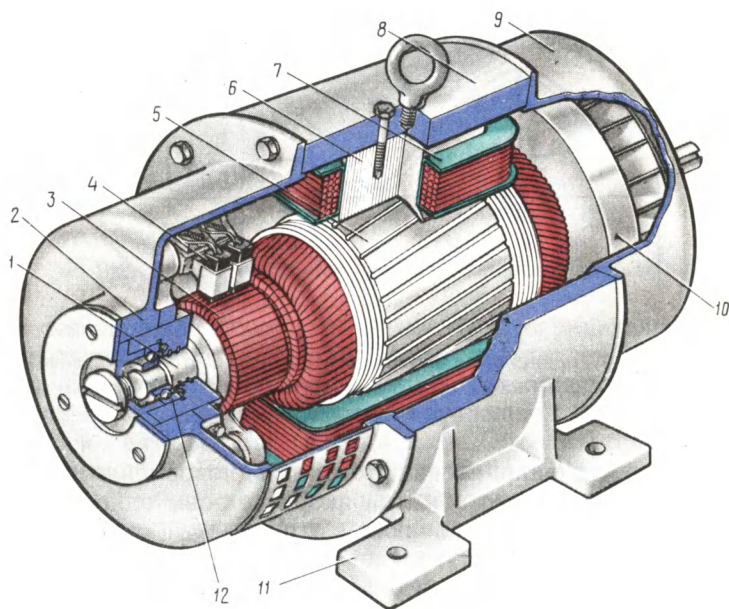


Рис 24.4. Устройство машины постоянного тока

Статор. Состоит из станины 8 и главных полюсов 6. Станина 8 служит для крепления полюсов и подшипниковых щитов и является частью магнитопровода, так как через нее замыкается магнитный поток машины. Станину изготовляют из стали — материала, обладающего достаточной механической прочностью и большой магнитной проницаемостью. В нижней части станины имеются лапы 11 для крепления машины к фундаментальной плите, а по окружности станины расположены отверстия для крепления сердечников главных полюсов 6. Обычно станину делают цельной из стальной трубы, либо сварной из листовой ста-

ли, за исключением машин с весьма большим наружным диаметром, у которых станину делают разъемной, что облегчает транспортировку и монтаж машины.

Главные полюсы предназначены для создания в машине магнитного поля возбуждения. Главный полюс состоит из сердечника 6 и полюсной катушки 7. Со стороны, обращенной к якорю, сердечник полюса имеет полюсный наконечник, который обеспечивает необходимое распределение магнитной индукции в зазоре машины. Сердечники главных полюсов делают шихтованными из листовой конструкционной стали толщиной 1—2 мм или из тонколистовой электротехнической анизотропной холоднокатаной стали, например марки 3411. Штампованные пластины главных полюсов специально не изолируют, так как тонкая пленка окисла на их поверхности достаточна для значительного ослабления вихревых токов, наведенных в полюсных наконечниках пульсациями магнитного потока, вызванного зубчатостью сердечника якоря. Анизотропная сталь обладает повышенной магнитной проницаемостью вдоль проката, что должно учитываться при штамповке пластин и их сборке в пакет. Пониженная магнитная проницаемость поперек проката способствует ослаблению реакции якоря (см. § 26.2) и уменьшению потока рассеяния главных и добавочных полюсов (см. § 26.1).

В машинах постоянного тока небольшой мощности полюсные катушки делают бескаркасными — намоткой медного обмоточного провода непосредственно на сердечник полюса, предварительно наложив на него изоляционную прокладку (рис. 24.5, а). В большинстве машин (мощностью 1 кВт и более) полюсную катушку делают каркасной: обмоточный провод наматывают на каркас (обычно пластмассовый), а затем надевают на сердечник полюса (рис. 24.5, б). В некоторых конструкциях машин полюсную катушку для более интенсивного охлаждения разделяют по высоте на части, между которыми оставляют вентиляционные каналы.

Якорь. Якорь машины постоянного тока (рис. 24.4) состоит из вала 1, сердечника 5 с обмоткой и коллектора 3. Сердечник якоря имеет шихтованную конструкцию и набирается из штампованных пластин тонколистовой электротехнической стали. Листы покрывают изоляционным лаком, собирают в пакет и запекают. Готовый сердечник напрессовывают на вал якоря. Такая конструкция сердечника якоря позволяет значительно ослабить в нем вихревые токи, возникающие в результате его перемагничивания в процессе вращения в магнитном поле. На поверхности сердечника якоря имеются продольные пазы, в которые укладывают обмотку якоря.

Обмотку выполняют медным проводом круглого или прямоугольного сечения. Пазы якоря после заполнения их проводом обмотки обычно закрывают клиньями (текстолитовыми или гетинаксовыми). В некоторых машинах пазы не закрывают клиньями, а накладывают на поверхность якоря бандаж. Бандаж

делают из проволоки или стеклоленты с предварительным натягом. Лобовые части обмотки якоря крепят к обмоткодержателям бандажом.

Коллектор 3 является одним из сложных узлов машины постоянного тока. Основными элементами коллектора являются пластины трапецеидального сечения из твердотянутой меди,

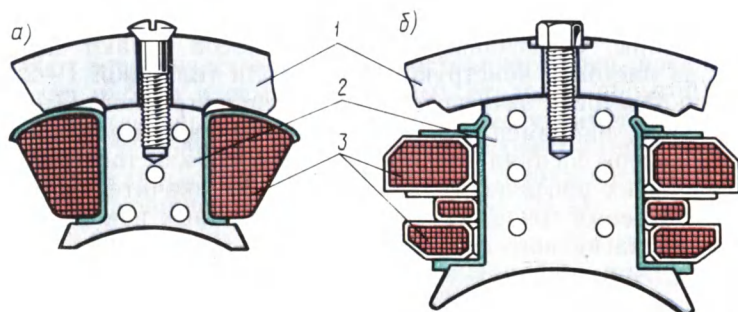


Рис. 24.5. Главные полюсы с бескаркасной (а) и каркасной (б) полюсными катушками:

1 — станина, 2 — сердечник полюса; 3 — полюсная катушка

собранные таким образом, что коллектор приобретает цилиндрическую форму. В зависимости от способа закрепления коллекторных пластин различают два основных типа коллекторов: со стальными конусными шайбами и на пластмассе. На рис. 24.6, а показано устройство коллектора со стальными конусными шайбами. Нижняя часть коллекторных пластин б имеет форму «лас-

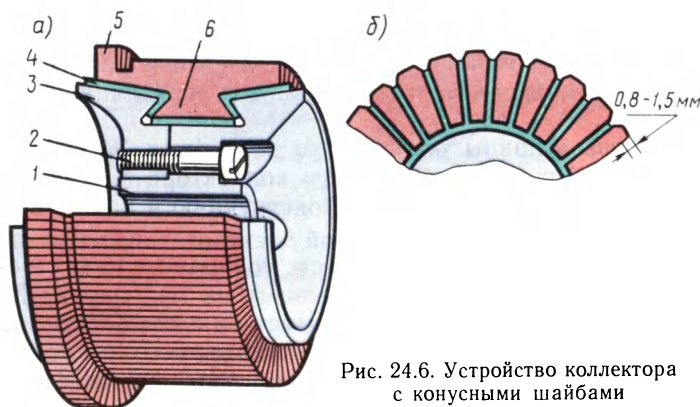


Рис. 24.6. Устройство коллектора с конусными шайбами

точкина хвоста». После сборки коллектора эти части пластин оказываются зажатыми между стальными шайбами 1 и 3, изолированными от медных пластин миканитовыми манжетами 4. Конусные шайбы стянуты винтами 2. Между медными пластинами расположены миканитовые изоляционные прокладки. В процессе работы машины рабочая поверхность коллектора посте-

пенно истирается щетками. Чтобы при этом миканитовые прокладки не выступали над рабочей поверхностью коллектора, что вызвало бы вибрацию щеток и нарушение работы машины, между коллекторными пластинами фрезеруют пазы (дорожки) на глубину до 1,5 мм (рис. 24.6, б). Верхняя часть 5 коллекторных пластин (см. рис. 24.6, а), называемая *петушком*, имеет узкий продольный паз, в который закладывают проводники обмотки якоря и тщательно припаивают.

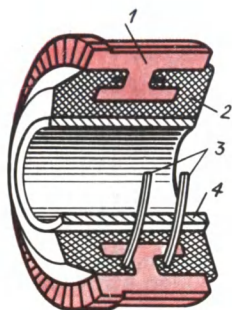


Рис. 24.7. Устройство коллектора на пластмассе

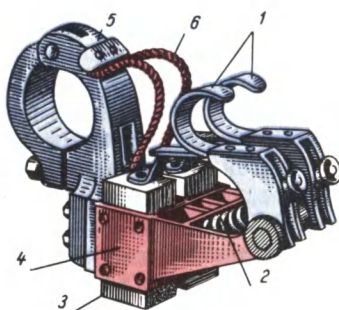


Рис. 24.8. Щеткодержатель (двойной) машины постоянного тока

В машинах постоянного тока малой мощности часто применяют *коллекторы на пластмассе*, отличающиеся простотой в изготовлении. Набор медных и миканитовых пластин в таком коллекторе удерживается пластмассой, запрессованной в пространство между набором пластин и стальной втулкой и образующей корпус коллектора. Иногда с целью увеличения прочности коллектора эту пластмассу 2 армируют стальными кольцами 3 (рис. 24.7). В этом случае миканитовые прокладки должны иметь размеры большие, чем у медных пластин 1, что исключит замыкание пластин стальными (армирующими) кольцами 3 (4 — стальная втулка).

Электрический контакт с коллектором осуществляется посредством щеток, располагаемых в щеткодержателях 4 (см. рис. 24.4).

Щеткодержатель (рис. 24.8) состоит из обоймы 4, в которую помещают щетку 3, курка 1, представляющего собой откидную деталь, передающую давление пружины 2 на щетку. Щеткодержатель крепят на пальце зажимом 5. Щетка снабжается гибким тросиком 6 для включения ее в электрическую цепь машины. Все щеткодержатели одной полярности соединены между собой сборными шинами, подключенными к выводам машины. Одно из основных условий бесперебойной работы машины — плотный и надежный контакт между щеткой и коллектором. Давление на щетку должно быть отрегулировано, так как чрезмерный нажим может вызвать преждевременный износ щетки и перегрев коллектора, а недостаточный нажим — искрение на коллекторе.

Помимо указанных частей машина постоянного тока имеет два подшипниковых щита: передний 2 (со стороны коллектора) и задний 9 (см. рис. 24.4). В центральной части щита имеется расточка под подшипник 12. На переднем подшипниковом щите имеется смотровое окно (люк) с крышкой, через которое можно осмотреть коллектор и щетки не разбирая машины. Концы обмоток выведены на зажимы коробки выводов. Вентилятор 10 служит для самовентиляции машины: воздух поступает в машину обычно со стороны коллектора, омывает нагретые части (коллектор, обмотки и сердечники) и выбрасывается с противоположной стороны через решетку.

Из рассмотрения принципа действия и устройства коллекторной машины постоянного тока следует, что неизменным элементом этой машины, включенным между обмоткой якоря и внешней сетью, является щеточно-коллекторный узел — механический преобразователь рода тока. Таким образом, коллекторные машины сложнее бесколлекторных машин переменного тока (асинхронной и синхронной) и, следовательно, уступают им (особенно асинхронной машине) в надежности и имеют более высокую стоимость.

Контрольные вопросы

1. Каково назначение коллектора в генераторе и двигателе?
2. Почему станину машины делают из стали?
3. Каково назначение конусных шайб в коллекторе?
4. Зачем в коллекторе на пластмассе применяют армирующие кольца?

§ 25.1. Петлевые обмотки якоря

Основные понятия. Обмотка якоря машины постоянного тока представляет собой замкнутую систему проводников, определенным образом уложенных на сердечнике якоря и присоединенных к коллектору.

Элементом обмотки якоря является *секция* (катушка), присоединенная к двум коллекторным пластинам. Расстояние между пазовыми частями секции должно быть равно или мало отличаться от полюсного деления τ [см. (7.1)] (рис. 25.1):

$$\tau = \pi D_a / (2p). \quad (25.1)$$

Здесь D_a — диаметр сердечника якоря, мм.

Обмотки якоря обычно выполняют двухслойными. Они характеризуются следующими параметрами: числом секций S ; числом пазов (реальных) Z ; числом секций, приходящихся на один паз, $S_n = S/Z$; числом витков секции w_c ; числом пазовых сторон в обмотке N ; числом пазовых сторон в одном пазу $n_n = N/Z = 2w_c S_n$. Верхняя пазовая сторона одной секции и нижняя пазовая сторона другой секции, лежащие в одном пазу, образуют *элементарный паз*. Число элементарных пазов в реальном пазе Z_n определяется числом секций, приходящихся на один паз: $S_n = S/Z$ (рис. 25.2).

Схемы обмоток якоря делают развернутыми, при этом все секции показывают одновитковыми. В этом случае каждой секции, содержащей две пазовые стороны, соответствует один элементарный паз. Концы секций присоединяют к коллекторным пластинам, при этом к каждой пластине присоединяют начало одной секции и конец другой, т. е. на каждую секцию приходится одна коллекторная пластина. Таким образом, для обмотки якоря справедливо $S = Z_n = K$, где Z_n — число элементарных пазов; K — число коллекторных пластин в коллекторе. Число секций, приходящихся на один реальный паз, определяется отношением Z_n/Z .

Простая петлевая обмотка якоря. В простой петлевой обмотке якоря каждая секция присоединена

к двум рядом лежащим коллекторным пластинам. При укладке секций на сердечнике якоря начало каждой последующей секции соединяется с концом предыдущей, постепенно перемещаясь при этом по поверхности якоря (и коллектора) так, что за один обход якоря укладывают все секции обмотки. В результате конец последней секции оказывается присоединенным к началу первой секции, т. е. обмотка якоря замыкается.

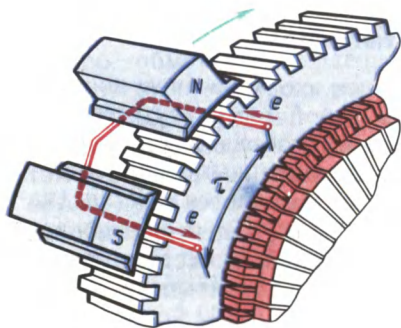


Рис. 25.1. Расположение пазовых сторон секции на сердечнике якоря

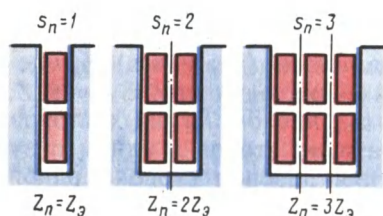


Рис. 25.2. Элементарные пазы

тору y_k . Шаги обмотки по якорю выражают в элементарных пазах, а шаг по коллектору — в коллекторных делениях (пластинах).

Начало и конец каждой секции в простой петлевой обмотке присоединены к рядом лежащим коллекторным пластинам, следовательно, $y = y_k = \pm 1$, где знак плюс соответствует правоходовой обмотке, а знак минус — левоходовой.

Для определения всех шагов простой петлевой обмотки достаточно рассчитать первый частичный шаг по якорю:

$$y_1 = [Z_3 / (2p)] \mp \epsilon, \quad (25.3)$$

где ϵ — некоторая величина, меньшая единицы, вычитая или суммируя которую получают значение шага y_1 , равное целому числу.

Второй частичный шаг обмотки по якорю

$$y_2 = y_1 \mp y = y_1 \mp 1. \quad (25.4)$$

На рис. 25.3, а, б изображены части развернутой схемы простой петлевой обмотки, на которых показаны шаги обмотки — расстояния между пазовыми сторонами секций по якорю: *первый частичный шаг по якорю y_1 , второй частичный шаг по якорю y_2 и результирующий шаг по якорю y .*

Если укладка секций обмотки ведется слева направо по якорю, то обмотка называется *правоходовой* (рис. 25.3, а), а если укладка секций ведется справа налево, то обмотка называется *левоходовой* (рис. 25.4, б). Для правоходовой обмотки результирующий шаг

$$y = y_1 - y_2. \quad (25.2)$$

Расстояние между двумя коллекторными пластинами, к которым присоединены начало и конец одной секции, называют *шагом обмотки по коллек-*

Пример 25.1. Рассчитать шаги и выполнить развернутую схему простой петлевой обмотки якоря для четырехполюсной машины ($2p = 4$) постоянного тока. Обмотка правоходовая, содержит 12 секций.

Решение. Первый частичный шаг по якорю по (25.3)

$$y_1 = [Z_p / (2p) \mp \varepsilon] = (12/4) \mp 0 = 3 \text{ пазы.}$$

Второй частичный шаг по якорю по (25.4)

$$y_2 = y_1 - y = 3 - 1 = 2 \text{ пазы.}$$

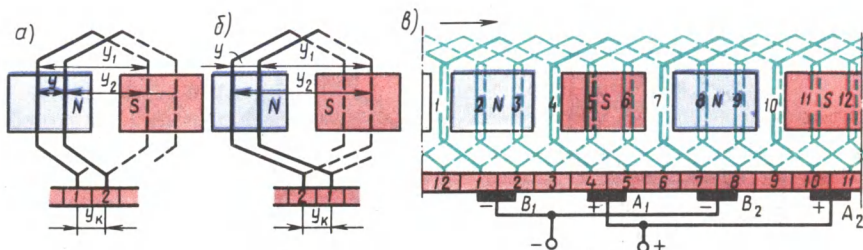


Рис. 25.3. Простая петлевая обмотка:

а — правоходовая, *б* — левоходовая, *в* — развернутая схема

Прежде чем приступить к выполнению схемы обмотки, необходимо отметить и пронумеровать все пазы и секции, нанести на предполагаемую схему контуры магнитных полюсов и указать их полярность (25.3, *в*). При этом нужно иметь в виду, что отмеченный на схеме контур является не полюсом, а зеркальным отображением полюса, находящегося над якорем. Затем изображают коллекторные пластины и наносят на схему первую секцию, пазовые части которой располагают в пазах 1 и 4. Коллекторные пластины, к которым присоединены начало и конец этой секции, обозначают 1 и 2. Затем нумеруют все остальные пластины и наносят на схему остальные секции (2, 3, 4 и т. д.). Последняя секция 12 должна замкнуть обмотку, что будет свидетельствовать о правильном выполнении схемы.

Далее на схеме изображают щетки. Расстояние между щетками *A* и *B* должно быть равно $K/(2p) = 12/4 = 3$, т. е. должно соответствовать полюсному делению. Что же касается расположения щеток на коллекторе, то при этом следует руководствоваться следующим. Предположим, что электрический контакт обмотки якоря с внешней цепью осуществляется не через коллектор, а непосредственно через пазовые части обмотки, на которые наложены «условные» щетки (рис. 25.4, *а*). В этом случае наибольшая ЭДС машины соответствует положению «условных» щеток на геометрической нейтрали (см. § 25.4). Но так как коллекторные пластины смещены относительно пазовых сторон соединенных с ними секций на $0,5\tau$ (рис. 25.4, *б*), то, переходя к реальным щеткам, их следует расположить на коллекторе по оси главных полюсов, как это показано на рис. 25.3, *в*.

При определении полярности щеток предполагают, что машина работает в генераторном режиме и ее якорь вращается в направлении стрелки (см. рис. 25.3, в). Воспользовавшись правилом «правой руки», находят направление ЭДС (тока), наведенной в секциях. В итоге получаем, что щетки A_1 и A_2 , от которых ток отводится в во внешнюю цепь, являются положительными, а щетки B_1 и B_2 — отрицательными. Щетки одинаковой полярности присоединяют параллельно к выводам соответствующей полярности.

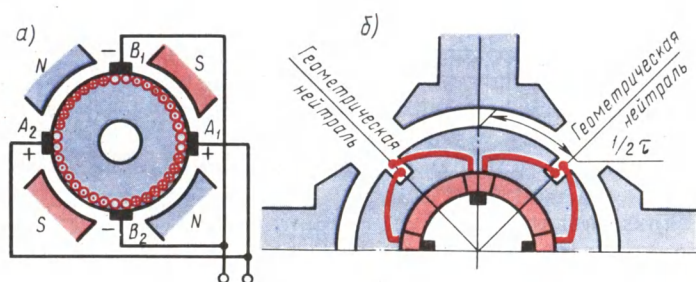


Рис. 25.4. Расположение условных (а) и реальных (б) щеток

Параллельные ветви обмотки якоря. Если проследить за прохождением тока в секциях обмотки якоря (см. рис. 25.3, в), то можно заметить, что обмотка состоит из четырех участков, соединенных параллельно друг другу и называемых *параллельными ветвями*. Каждая параллельная ветвь содержит несколько последовательно соединенных секций с одинаковым направлением тока в них. Распределение секций в параллельных ветвях показано на электрической схеме обмотки (рис. 25.5). Эту схему получают из развернутой схемы обмотки (см. рис. 25.3, в) следующим образом. На листе бумаги изображают щетки и имеющие с ними контакт коллекторные пластины, как это показано на рис. 25.5. Затем совершают обход секций обмотки начиная с секции 1, которая оказывается замкнутой накоротко щеткой B_1 . Далее идут секции 2 и 3, которые образуют параллельную ветвь. Таким же образом обходят все остальные секции. В результате получаем схему с четырьмя параллельными ветвями, по две секции в каждой ветви.

Из полученной схемы следует, что ЭДС обмотки якоря определяется значением ЭДС одной параллельной ветви, тогда как значение тока обмотки определяется суммой токов всех ветвей обмотки:

$$I_a = 2a i_a. \quad (25.5)$$

где $2a$ — число параллельных ветвей обмотки якоря; i_a — ток одной параллельной ветви.

В простой петлевой обмотке число параллельных ветвей равно числу главных полюсов машины: $2a = 2p$.

Нетрудно заметить, что число параллельных ветвей в обмотке якоря определяет значение основных параметров машины — тока и напряжения.

Пример 25.2. Шестиполусная машина постоянного тока имеет на якоре простую петлевую обмотку из 36 секций. Определить ЭДС и силу тока в обмотке якоря машины, если в каждой секции наводится ЭДС 10 В, а сечение провода рассчитано на ток не более 15 А.

Решение. Число параллельных ветвей в обмотке $2a = 2p = 6$, при этом в каждой параллельной ветви $S_n = S/(2a) = 36/6 = 6$ секций. Следовательно, ЭДС обмотки $E_a = 6 \cdot 10 = 60$ В, а допустимый ток машины $I_a = 6 \cdot 15 = 90$ А.

Если бы машина при прочих неизменных условиях имела восемь полюсов, то ее ЭДС уменьшилась бы до 40 В, а ток увеличился бы до 120 А.

Сложная петлевая

обмотка. При необходимости получить петлевую обмотку с большим числом параллельных ветвей, как это требуется, например, в низковольтных машинах постоянного тока, применяют сложную петлевую обмотку. Такая обмотка представляет собой несколько (обычно две) простых петлевых обмоток, уложенных на одном якоре и присоединенных к одному коллектору. Число параллельных ветвей в сложной петлевой обмотке $2a = 2prt$, где t — число простых петлевых обмоток, из которых составлена сложная обмотка (обычно $t = 2$). Ширина щеток при сложной петлевой обмотке принимается такой, чтобы

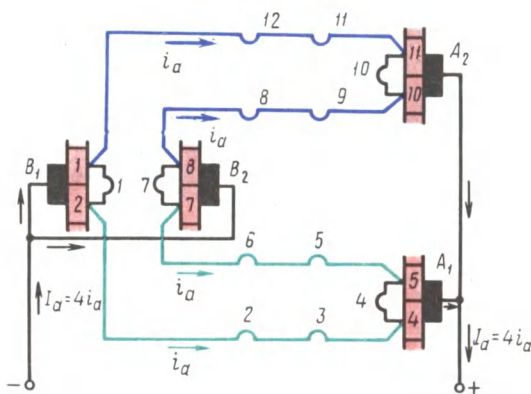


Рис. 25.5 Электрическая схема обмотки рис. 25.3, в

число параллельных ветвей в сложной петлевой обмотке $2a = 2prt$, где t — число простых петлевых обмоток, из которых составлена сложная обмотка (обычно $t = 2$). Ширина щеток при сложной петлевой обмотке принимается такой, чтобы

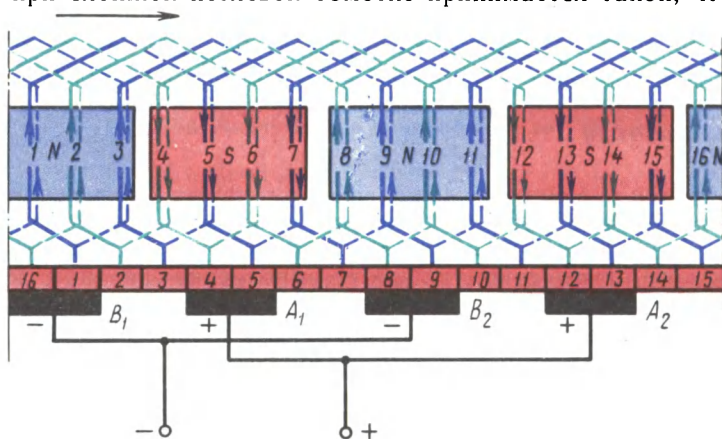


Рис. 25.6. Развернутая схема сложной петлевой обмотки

каждая щетка одновременно перекрывала m коллекторных пластин, т. е. столько пластин, сколько простых обмоток в сложной. При этом простые обмотки оказываются присоединенными параллельно друг другу. На рис. 25.6 показана развернутая схема сложной петлевой обмотки, состоящей из двух простых ($m = 2$): $2p = 4$; $Z_s = 16$. Результирующий шаг обмотки по якорию и шаг по коллектору сложной петлевой обмотки принимают равным $y = y_k = m$. Первый частичный шаг по якорию определяют по (25.3).

Пример 25.3. Четырехполюсная машина имеет сложную петлевую обмотку якоря из 16 секций. Выполнить развернутую схему этой обмотки, приняв $m = 2$

Решение. Шаги обмотки: $y_1 = Z_s/(2p) = 16/4 = 4$ паза; $y = y_k = 2$ паза; $y_2 = y_1 - y = 4 - 2 = 2$ паза.

Сначала располагаем все секции одной из простых обмоток (секции с нечетными номерами: 1, 3, 5 и т. д.), а концы этих секций присоединением к нечетным пластинам коллектора (рис. 25.6). Затем располагаем на якоре секции другой петлевой обмотки с номерами 2, 4, 6 и т. д. Изображаем на схеме щетки шириной в два коллекторных деления. Число параллельных ветвей обмотки $2a = 2pm = 4 \cdot 2 = 8$.

§ 25.2. Волновые обмотки якоря

Простая волновая обмотка. Простую волновую обмотку получают при последовательном соединении секций, находящихся под разными парами полюсов (рис. 25.7). Концы секций простой волновой обмотки присоединены к коллекторным пластинам, удаленным друг от друга на расстояние шага обмотки по коллектору $y_k = y$. За один обход по якорию укладывают столько секций, сколько пар полюсов имеет машина, при этом конец последней по обходу секции присоединяют к пластине, расположенной рядом с исходной.

Простую волновую обмотку называют *левоходовой*, если конец последней по обходу секций присоединяется к пластине, находящейся слева от исходной (рис. 25.7, а). Если же эта пластина находится справа от исходной, то обмотку называют *правоходовой* (рис. 25.7, б). Секции волновой обмотки могут быть одновитковыми и многовитковыми. *Шаг простой волновой обмотки по коллектору*

$$y_k = y = (K \mp 1)/p. \quad (25.6)$$

Знак минус соответствует левоходовой обмотке, а знак плюс — правоходовой. Правоходовая обмотка не получила практического применения, так как ее выполнение связано с дополнительным расходом меди на перекрещивание лобовых частей.

Первый частичный шаг обмотки определяют по (25.3), а второй частичный шаг $y_2 = y - y_1$.

Пример 25.4. Четырехполюсная машина постоянного тока имеет простую волновую обмотку якоря из 13 секций. Построить развернутую схему и схему параллельных ветвей этой обмотки.

Решение. Шаги обмотки: $y_k = y = (K \mp 1)/p = (13 - 1)/2 = 6$ пазов;
 $y_1 = [Z_s/(2p)] \mp \varepsilon = 13/4 - 0,25 = 3$ паз; $y_2 = y - y_1 = 6 - 3 = 3$ паз.

При первом обходе по якорю укладываем секции 1 и 7 (рис. 25.7, в). При втором обходе укладываем секции 13 и 6 и т. д., пока не будут уложены все 13 секций и обмотка не окажется замкнутой. Секции 3, 6 и 9 в рассматриваемый момент

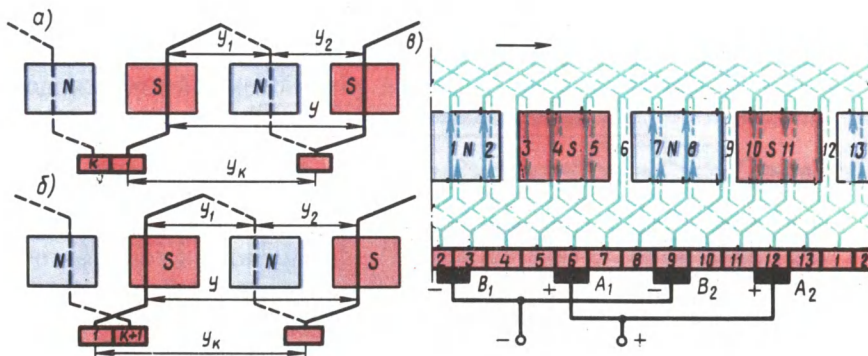


Рис. 25.7. Простая волновая обмотка:
 а — правоходовая; б — левоходовая, в — развернутая схема

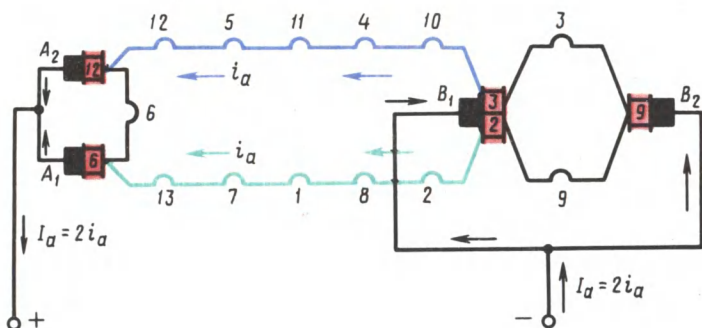


Рис. 25.8. Электрическая схема обмотки рис. 25.7, в

времени замкнуты накоротко через щетки одинаковой полярности и провода, соединяющие их. Затем определяем полярность щеток. Далее выполняем электрическую схему (схему параллельных ветвей), из которой видно (рис. 25.8), что обмотка состоит из двух параллельных ветвей ($2a = 2$). Это является характерным для простых волновых обмоток, у которых число параллельных ветвей не зависит от числа полюсов и всегда равно двум.

Из рассмотренных схем видно, что секции, входящие в одну параллельную ветвь, равномерно распределены под всеми полюсами машины. Следует также отметить, что в простой волновой

обмотке можно было бы обойтись двумя щетками, например щетками B_2 и A_2 . Но в этом случае нарушилась бы симметрия обмотки и число секций в параллельных ветвях стало бы неодинаковым: в одной ветви семь секций, а в другой — шесть. Поэтому в машинах с простыми волновыми обмотками устанавливают полный комплект щеток, столько же, сколько главных полюсов, тем более что это позволяет уменьшить значение тока, приходящегося на каждую щетку, а следовательно, уменьшить размеры коллектора.

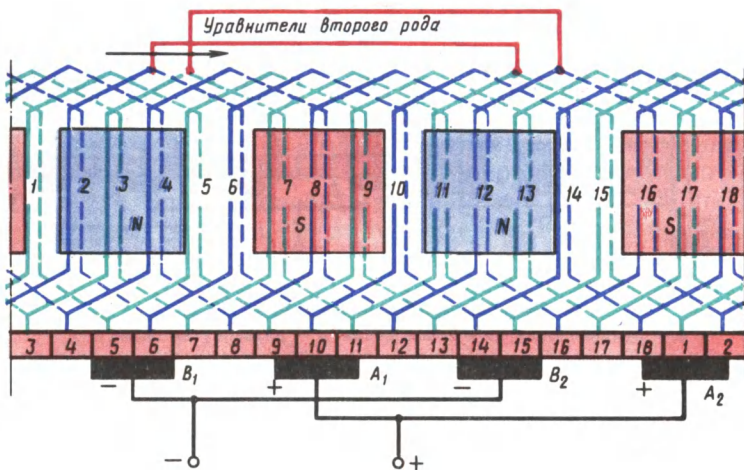


Рис. 25.9. Развернутая схема сложной волновой обмотки

Сложная волновая обмотка (рис. 25.9). Несколько простых волновых обмоток (обычно две), уложенных на одном якоре, образуют *сложную волновую обмотку*. Число параллельных ветвей в сложной волновой обмотке $2a = 2t$ (обычно $2a = 4$), где t — число простых обмоток в сложной (обычно $t = 2$). Простые обмотки, входящие в сложную, соединяют параллельно посредством щеток. Шаг по коллектору, а следовательно, и результирующий шаг по якору

$$y_k = y = (K \mp m)/p. \quad (25.7)$$

Первый частичный шаг по якору определяют по (25.3).

Пример 25.5. Сложная волновая обмотка с $t = 2$ состоит из 18 секций. Выполнить развернутую схему этой обмотки, если $2p = 4$.

Решение. Шаги обмотки: $y_1 = [Z_2/(2p)] \mp \varepsilon = 18/4 - 0,5 = 4$ пазов, $y_k = y = (K \mp m)/p = (18 - 2)/2 = 8$ пазов; $y_2 = 8 - 4 = 4$ пазов.

Порядок выполнения схемы обмотки такой же, как и при сложной петлевой обмотке: сначала укладывают в пазы якоря одну простую обмотку, состоящую из нечетных секций, а затем другую, состоящую из четных секций (рис. 25.9). Число параллельных ветвей в обмотке $2a = 4$.

§ 25.3. Уравнительные соединения и комбинированная обмотка якоря

Условия симметрии обмотки якоря. Обмотку якоря называют *симметричной*, если ее параллельные ветви обладают одинаковыми электрическими свойствами: имеют одинаковые электрические сопротивления и в них индуцируются одинаковые ЭДС. В *несимметричной* обмотке якоря ток якоря распределяется в параллельных ветвях неодинаково, что влечет за собой перегрузку одних ветвей в недогрузку других. В результате растут электрические потери в обмотке якоря, а полезная мощность машины уменьшается.

Обмотка якоря становится симметричной лишь при соблюдении определенных условий, называемых *условиями симметрии*.

Первое условие. Каждая пара параллельных ветвей обмотки должна состоять из одинакового числа секций. Это условие выполняется, если на каждую пару параллельных ветвей приходится одинаковое число секций, т. е. отношение числа секций S к числу пар параллельных ветвей a обмотки якоря равно целому числу (ц. ч.):

$$S/a = \text{ц. ч.} \quad (25.8)$$

Нетрудно убедиться, что при несоблюдении этого условия электрическое сопротивление параллельных ветвей, а также их ЭДС становятся неодинаковыми. Это привело бы к неравномерному распределению токов в параллельных ветвях со всеми нежелательными последствиями.

Второе условие. Секции каждой пары параллельных ветвей должны занимать на якоре одинаковое число пазов:

$$Z/a = \text{ц. ч.} \quad (25.9)$$

Третье условие. Каждая пара параллельных ветвей обмотки должна занимать одинаковое положение относительно системы главных полюсов, что выполнимо при

$$2p/a = \text{ц. ч.} \quad (25.10)$$

Для сложной петлевой обмотки $2a = 2pm$. Подставляя это в (25.10), получим

$$2p/a = 2p/(pm) = 2/m = \text{ц. ч.}$$

Отсюда следует, что сложная петлевая обмотка будет симметричной только при $m = 2$.

Уравнительные соединения. Даже при соблюдении всех условий симметрии обмоток ЭДС параллельных ветвей обмотки якоря в многополюсных машинах могут оказаться неодинаковыми. Причина этого — *магнитная несимметрия*, из-за нее магнитные потоки одноименных полюсов оказываются неодинаковыми. Происходит это из-за дефектов, возникающих при изготовлении машины: наличия раковин в отливке станины, некачественной

сборки полюсов, неправильной центровки якоря, т. е. его перекоса, отчего воздушный зазор под полюсами становится неодинаковым.

Влияние магнитной несимметрии на работу машины зависит от типа обмотки якоря. В волновых обмотках секции каждой параллельной ветви равномерно распределены под всеми полюсами машины, поэтому магнитная несимметрия не влечет за собой неравенства ЭДС в параллельных ветвях, так как она одинаково влияет на все параллельные ветви обмотки.

В петлевых обмотках якоря секции, образующие параллельную ветвь, расположены под смежной парой полюсов. Поэтому при $2p > 2$ магнитная несимметрия становится причиной неравенства ЭДС параллельных ветвей, что ведет к появлению в обмотке якоря уравнивающих токов.

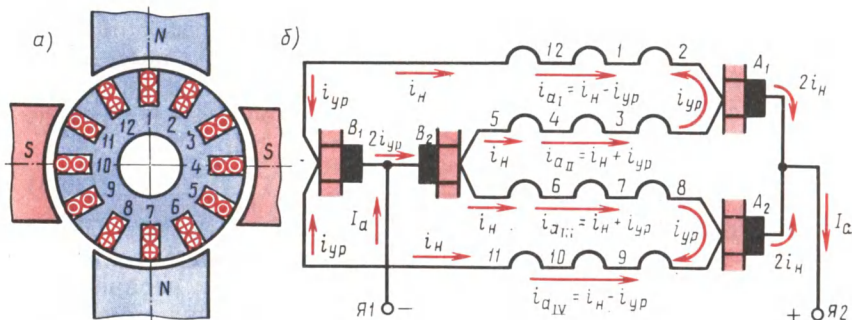


Рис. 25.10. Уравнивающие токи в параллельных ветвях простой петлевой обмотки якоря при магнитной несимметрии

Например, при неправильной центровке якоря (рис. 25.10, а) ЭДС первой и четвертой параллельных ветвей становятся меньше ЭДС второй и третьей ветвей (зазор под нижним полюсом меньше, чем под верхним). При этом потенциалы щеток B_1 и B_2 оказываются неодинаковыми и в параллельных ветвях обмотки появляются уравнивающие токи i_{yp} (рис. 25.10, б). Эти токи замыкаются через шину, соединяющую указанные щетки, и во внешнюю цепь машины не выходят. Следует обратить внимание, что даже при незначительной разности потенциалов u_{12} между щетками B_1 и B_2 ток i_{yp} может оказаться весьма значительным, так как электрическое сопротивление параллельной ветви $r_{пв}$ невелико. Например, при $u_{12} = 2$ В и $r_{пв} = 0,01$ Ом уравнивающий ток $i_{yp} = u_{12}/(2r_{пв}) = 2/(2 \cdot 0,01) = 100$ А.

Если при этом нагрузочный ток в параллельной ветви $i_{пв} = 200$ А, то токи в параллельных ветвях обмотки становятся неодинаковыми: $i_{aI} = i_{aIV} = i_{пв} - i_{yp} = 200 - 100 = 100$ А; $i_{aII} = i_{aIII} = i_{пв} + i_{yp} = 200 + 100 = 300$ А.

Неравномерная нагрузка параллельных ветвей ведет к перегреву обмотки и увеличению электрических потерь в ней. Пере-

численные явления нарушают нормальную работу машины, например перегружаются некоторые щетки (в рассматриваемом случае — щетка B_2), что вызывает интенсивное искрение на коллекторе (см. § 27.3). Для уменьшения неравномерной нагрузки щеток в простых петлевых обмотках поступают следующим образом: точки обмотки якоря, потенциалы которых теоретически должны быть одинаковыми, электрически соединяют между собой. В этом случае возникающие в обмотке уравнительные токи замыкаются внутри обмотки без выхода на щетки.

Указанные соединения выполняют медными проводами и называют *уравнительными соединениями первого рода (уравнителями)*. Практически доступными для соединения точками равного потенциала являются концы секций, присоединяемые к коллекторным пластинам, или лобовые части обмотки со стороны, обратной коллектору.

Количество точек в обмотке, имеющих одинаковый потенциал, равно числу полюсов в машине. Расстояние между двумя соседними точками равного потенциала называют *потенциальным шагом* $u_{ур}$. При расположении уравнительных соединений со стороны коллектора потенциальный шаг выражается числом коллекторных делений:

$$u_{ур} = K/a = K/p. \quad (25.11)$$

Полное число уравнителей первого рода, которое можно установить в машине, равно

$$N_{ур} = K/a. \quad (25.12)$$

Однако такое количество уравнительных соединений применяют только в машинах большой мощности, например в двигателях прокатных станов. В целях экономии меди и упрощения конструкции машины обычно применяют неполное число уравнителей. Например, в четырехполюсных двигателях делают 3—4 уравнительных соединения. Уравнительные соединения выполняют проводом, сечение которого составляет 25—50 % сечения провода обмотки якоря.

Пример 25.6. В машине с $2p = 4$ и простой петлевой обмоткой якоря из 12 секций необходимо установить уравнители первого рода, снабдив ими каждую вторую пластину.

Решение. Потенциальный шаг $u_{ур} = K/p = 12/2 = 6$. Полное число уравнителей $N_{ур} = u_{ур} = K/a = 12/2 = 6$.

В соответствии с условием задачи показываем на схеме $0,5N_{ур} = 3$ уравнителя, расположив их со стороны коллектора (рис. 25.11) и соединив с пластинами следующим образом: первый уравнитель соединяем с пластинами 1 и 7, второй — с 3 и 9, третий — с 5 и 11.

В сложных петлевых и волновых обмотках простые обмотки, образующие сложную, соединены параллельно через щеточный контакт. Но обеспечить одинаковый контакт щеток со всеми простыми обмотками практически невозможно, поэтому ток между простыми обмотками распределяется неодинаково, что нарушает

равномерное распределение потенциала по коллектору и может вызвать на нем искрение. Для устранения этого нежелательного явления применяют *уравнительные соединения (уравнители) второго рода*, с помощью которых простые обмотки, входящие в сложную, электрически соединяют между собой в точках равного потенциала. Таким образом, если уравнители первого рода устраняют нежелательные последствия магнитной несимметрии, то

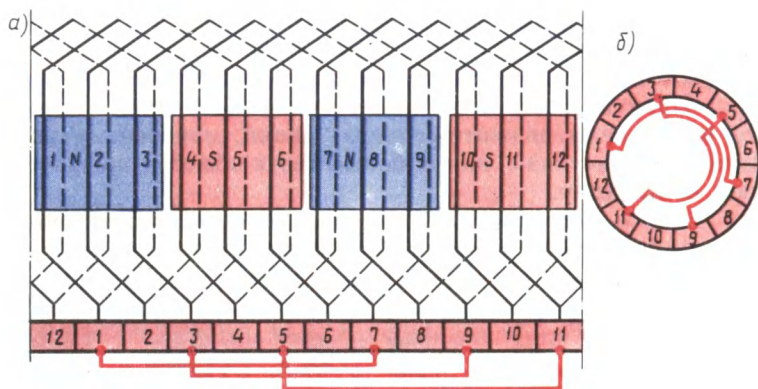


Рис. 25.11 Уравнительные соединения первого рода:
а — развернутая схема обмотки, б — вид со стороны коллектора

уравнители второго рода устраняют неравномерность в распределении потенциала по коллектору при сложных обмотках якоря.

На рис. 25.9 представлена схема сложной волновой обмотки с уравнителями второго рода, соединяющими точки равного потенциала на лобовых частях обмотки со стороны, противоположной коллектору. Эти точки отстоят друг от друга на расстоянии потенциального шага

$$y_{\text{уп}} = K/a = 18/2 = 9.$$

Секцию 2 соединяют с секцией 11, секцию 3 — с секцией 12 и т. д. (на схеме показаны лишь два уравнителя). Полное число уравнителей определяется по (25.12), но из соображения экономии меди обычно делают неполное число уравнителей второго рода.

В сложных петлевых обмотках уравнители второго рода выполняют, как показано на рис. 25.12. Ввиду того что в этой обмотке каждую секцию одной из простых обмоток присоединяют к пластинам коллектора, расположенным через одну (например, к нечетным пластинам), то пластины, находящиеся между ними (например, четные), делят напряжение каждой секции на две части. Для обеспечения равномерного распределения напряжения между пластинами необходимо, чтобы эти части были одинаковыми, т. е. чтобы напряжение между каждой парой рядом

лежащих пластин (например 1 и 2) было равно половине напряжения секции. С этой целью в обмотке применяют уравниватели второго рода, с помощью которых середину секции со стороны, противоположной коллектору, соединяют с промежуточной пластиной (например, середину секции, присоединенной к пластинам 1 и 3, соединяют с пластиной 2, как это показано на рис. 25.12). Такой уравниватель приходится «протягивать» между валом и сердечником якоря через специальное отверстие.

Таким образом, если в сложных волновых обмотках применяют лишь уравниватели второго рода, то в сложных петлевых обмотках необходимы как уравниватели первого, так и уравниватели второго рода.

Комбинированная обмотка. Комбинированная (лягушачья) обмотка представляет собой сочетание петлевой и волновой обмоток, расположенных в одних пазах и присоединенных к общему коллектору. Секция этой обмотки показана на рис. 25.13, а. Так как каждая из составляющих обмоток двухслойная, то комбинированную обмотку укладывают в пазах якоря в четыре слоя, а к каждой пластине коллектора припаивают по четыре проводника.

Достоинство комбинированной обмотки — большое число параллельных ветвей при отсутствии уравнительных соединений. Однако некоторая технологическая трудность в выполнении комбинированных обмоток ограничивает их применение машинами постоянного тока большой мощности, а также быстроходными машинами, в которых выполнение уравнивателей затруднено.

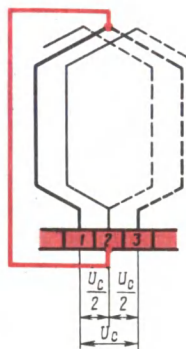


Рис. 25.12. Уравнительные соединения второго рода в сложной петлевой обмотке якоря

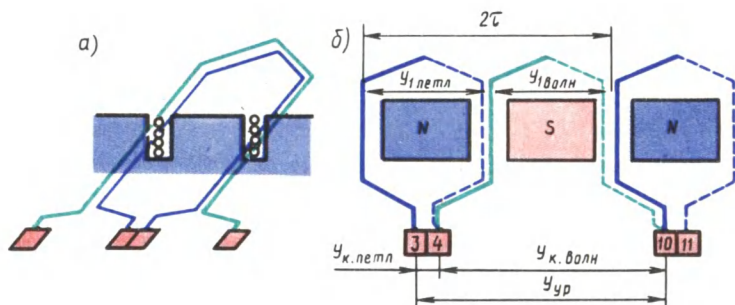


Рис. 25.13. Комбинированная обмотка якоря

На рис. 25.13, б показана часть развернутой схемы комбинированной обмотки. Шаги секций комбинированной обмотки принимают одинаковыми ($y_{1 \text{ петл}} = y_{1 \text{ волн}}$). Шаг по якорю комбинированной обмотки равен сумме шагов составляющих обмоток:

$$y_1 = y_{1\text{ петл}} + y_{1\text{ волн}} = \frac{Z_s}{2p} + \frac{Z_s}{2p} = \frac{Z_s}{p} = \frac{K}{p} = y_{\text{ур}},$$

т. е. шаг комбинированной обмотки по якорю равен потенциальному шагу [см. (25.11)]. Поэтому пластины коллектора, которые должны быть соединены уравнивателями, в комбинированной обмотке оказываются соединенными секциями.

Следует обратить внимание, что комбинированная обмотка выполняема лишь при условии равенства чисел параллельных ветвей в волновой и петлевой составляющих обмотках. При этом ЭДС параллельных ветвей обмоток должны быть одинаковыми. В петлевой обмотке число параллельных ветвей $2a = 2p$, в волновой обмотке $2a = 2$. Для получения одинакового числа параллельных ветвей в обмотках волновую обмотку выполняют сложной с числом $m_{\text{волн}} = p$. Число параллельных ветвей в комбинированной обмотке $2a = 2a_{\text{петл}} + 2a_{\text{волн}} = 4a_{\text{петл}}$.

§ 25.4. Электродвижущая сила и электромагнитный момент машины постоянного тока

Электродвижущая сила. Она наводится в обмотке якоря основным магнитным потоком. Для получения выражения этого потока обратимся к графику распределения индукции в зазоре машины (в поперечном сечении), который при равномерном зазоре в пределах каждого полюса имеет вид криволинейной трапеции (рис. 25.14, а, график 1). Заменим действительное распределение индукции в зазоре прямоугольным (график 2), при этом высоту прямоугольника примем равной максимальному значению индукции B_δ , а ширину — равной величине b_i , при которой площадь прямоугольника равна площади, ограниченной криволинейной трапецией. Величина b_i называется *расчетной полюсной дугой*. В машинах постоянного тока расчетная полюсная дуга мало отличается от полюсной дуги b_m :

$$b_i \approx b_m + 2\delta, \quad (25.13)$$

или, воспользовавшись коэффициентом полюсного перекрытия $\alpha = b_i/\tau$, получим

$$b_i = \alpha\tau. \quad (25.14)$$

С учетом (25.14) основной магнитный поток ($B\delta$)

$$\Phi = B_\delta b_i l_i \cdot 10^{-6} = B_\delta \alpha \tau \cdot 10^{-6}. \quad (25.15)$$

Здесь τ — полюсное деление, мм; l_i — расчетная длина якоря, мм.

Коэффициент полюсного перекрытия α имеет большое влияние на свойства машины постоянного тока. На первый взгляд кажется целесообразным выбрать наибольшее значение α , так как это способствует увеличению потока Φ , а следовательно, и

увеличению мощности машины (при заданных размерах). Однако слишком большое α_i приведет к сближению полюсных наконечников смежных полюсов, что будет способствовать росту магнитного потока рассеяния и неблагоприятно отразится на других свойствах машины. При этом полезный поток машины может оказаться даже меньше предполагаемого значения (см. § 26.1). Обычно $\alpha_i = 0,6 \div 0,8$, при этом меньшие значения α_i соответствуют машинам малой мощности.

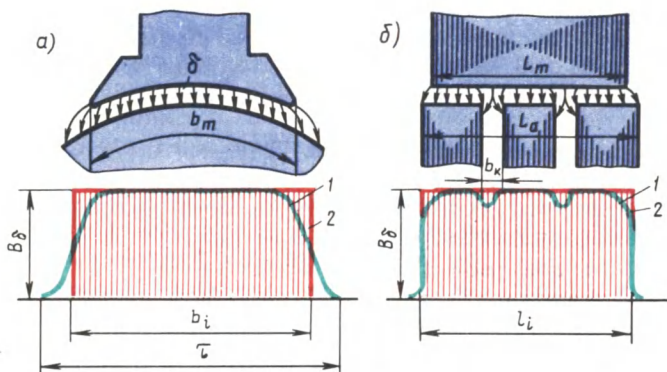


Рис. 25.14 Распределение магнитной индукции в воздушном зазоре машины постоянного тока

На рис. 25.14, б показан продольный разрез главного полюса и якоря с радиальными вентиляционными каналами. График распределения магнитной индукции в воздушном зазоре по продольному разрезу машины имеет вид зубчатой кривой (кривая 1). Заменяем эту кривую прямоугольником высотой B_δ и основанием l_i , величина которого такова, что площадь прямоугольника равна площади, ограниченной зубчатой кривой. Это основание представляет собой *расчетную длину якоря* (мм)

$$l_i = 0,5(l_m + l), \quad (25.16)$$

где l_m — длина полюса, мм;

$$l = l_a - n_k b_k \quad (25.17)$$

— длина якоря без радиальных вентиляционных каналов, мм;
 l_a — общая длина якоря, включая вентиляционные каналы, мм;
 b_k — ширина вентиляционного канала (обычно 10 мм), мм.

При выводе формулы ЭДС будем исходить из прямоугольного закона распределения индукции в зазоре, при этом магнитная индукция на участке расчетной полюсной дуги $b_i = \alpha_i \tau$ равна B_δ , а за ее пределами равна нулю и в проводниках, расположенных за пределами b_i , ЭДС не наводится. Это эквивалентно уменьшению общего числа пазовых проводников в обмотке якоря до значения $N_i = \alpha_i N$. Исходя из этого и учитывая, что ЭДС обмот-

ки определяется суммой ЭДС секций, входящих лишь в одну параллельную ветвь с числом пазовых проводников $N/(2a)$, запишем

$$E_a = E_{np} [N/(2a)] \alpha, \quad (25.18)$$

где

$$E_{np} = B_\delta l_i v \quad (25.19)$$

— ЭДС одного пазового проводника обмотки, активная длина которого l_i .

Окружную скорость вращающегося якоря (м/с) заменим частотой вращения (об/мин): $v = \pi D_a n / 60 = 2\pi r n / 60$, где $\pi D_a = 2\pi r$.

С учетом (25.18), (25.19) получим

$$E_a = B_\delta l_i \tau \alpha \frac{2\pi n}{60} \frac{N}{2a}$$

или, учитывая, что произведение $B_\delta l_i \tau \alpha = \Phi$, получим выражение ЭДС машины постоянного тока (В):

$$E_a = \frac{pN}{60a} \Phi n = c_e \Phi n, \quad (25.20)$$

где

$$c_e = pN/(60a) \quad (25.21)$$

— постоянная для данной машины величина; Φ — основной магнитный поток, Вб; n — частота вращения якоря, об/мин.

Значение ЭДС обмотки якоря зависит от ширины секции y_1 . Наибольшее значение ЭДС соответствует полному (диаметральному) шагу $y_1 = \tau$, так как в этом случае с каждой секцией обмотки сцепляется весь основной магнитный поток Φ . Если же секция укорочена ($y < \tau$), то каждая секция сцепляется лишь с частью основного потока, а поэтому ЭДС обмотки якоря уменьшается. Таков же эффект при удлиненном шаге секций ($y > \tau$), так как в этом случае каждая секция обмотки сцепляется с основным потоком одной пары полюсов и частично с потоком соседней пары, имеющим противоположное направление, так что результирующий поток, сцепленный с каждой секцией, становится меньше потока одной пары полюсов. По этой причине в машинах постоянного тока практическое применение получили секции с полным или укороченным шагом.

На ЭДС машины влияет положение щеток: при нахождении щеток на геометрической нейтрали ЭДС наибольшая, так как в этом случае в каждой параллельной ветви обмотки все секции имеют одинаковое направление ЭДС; если же щетки сместить с нейтрали, то в параллельных ветвях окажутся секции с противоположным направлением ЭДС, в результате ЭДС обмотки якоря будет уменьшена.

При достаточно большом числе коллекторных пластин уменьшения ЭДС машины при сдвиге щеток с нейтрали учитывается множителем $\cos \beta$:

$$E_a = c_e \Phi n \cos \beta, \quad (25.22)$$

где β — угол смещения оси щеток относительно нейтрали (рис. 25.15).

Электромагнитный момент. При прохождении по пазовым проводникам обмотки якоря тока i_a на каждом из проводников появляется электромагнитная сила

$$F_{эм} = B_\delta l i_a. \quad (25.23)$$

Совокупность всех электромагнитных сил $F_{эм}$ на якоре, действующих на плечо, равное радиусу сердечника якоря ($D_a/2$), создает на якоре электромагнитный момент M .

Исходя из прямоугольного закона распределения магнитной индукции в зазоре (см. рис. 25.14, а, график 2), следует считать, что сила $F_{эм}$ одновременно действует на число пазовых проводников $N_i = \alpha_i N$. Следовательно, электромагнитный момент машины постоянного тока (Н·м)

$$M = F_{эм} \alpha_i N (D_a/2).$$

Учитывая, что $F_{эм} = B_\delta l i_a$, а также что ток параллельной ветви $i_a = I_a/(2a)$, получим

$$M = B_\delta l_i [I_a/(2a)] \alpha_i N (D_a/2).$$

Используя выражение основного магнитного потока (25.15), а также имея в виду, что $D_a = 2r\tau/\pi$, получим выражение электромагнитного момента (Н·м):

$$M = \frac{pN}{2\pi a} \Phi I_a = c_m \Phi I_a, \quad (25.24)$$

где I_a — ток якоря, А;

$$c_m = pN/(2\pi a) \quad (25.25)$$

— величина, постоянная для данной машины.

Электромагнитный момент машины при ее работе в двигательном режиме является вращающим, а при генераторном режиме — тормозящим по отношению к вращающему моменту приводного двигателя.

Подставив из (25.20) в (25.24) выражение основного магнитного потока $\Phi = E_a/(c_e n)$, получим еще одно выражение электромагнитного момента:

$$M = [60/(2\pi n)] E_a I_a = 9,55 P_{эм}/n = P_{эм}/\omega, \quad (25.26)$$

где $\omega = 2\pi n/60$ — угловая скорость вращения;

$$P_{эм} = E_a I_a \quad (25.27)$$

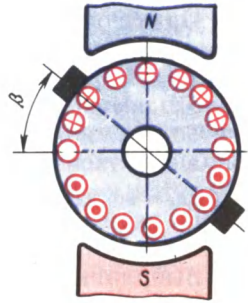


Рис. 25.15. Наведение ЭДС в обмотке якоря при сдвиге щеток с геометрической нейтрали на угол β

— электромагнитная мощность машины постоянного тока, Вт.

Из (25.26) следует, что в машинах равной мощности электромагнитный момент больше у машины с меньшей частотой вращения якоря.

§ 25.5. Выбор типа обмотки якоря

Применение в машине постоянного тока того или иного типа обмотки якоря определяется технико-экономическими требованиями. Выбранный тип обмотки должен обеспечивать в машине необходимую ЭДС при заданном токе. При этом следует стремиться к минимальному числу уравнивательных соединений. Требования экономического характера при выборе типа обмотки сводятся к возможно лучшему использованию пазов сердечника якоря, что определяется значением коэффициента заполнения паза медью [см. (8.4)].

Выбранный тип обмотки должен содержать возможно меньшее число пазовых проводников N , так как в противном случае значительная часть площади паза будет занята изоляцией этих проводников. Преобразуя выражения (25.20), получим

$$N = 60aE_a / (p\Phi n). \quad (25.28)$$

Отсюда следует, что при заданных E_a , p , Φ и n число проводников в обмотке прямо пропорционально числу пар параллельных ветвей. Поэтому *при выборе типа обмотки следует отдавать предпочтение обмоткам якоря с минимальным числом параллельных ветвей*, например простой волновой обмотке с $2a = 2$, которая к тому же не требует уравнивательных соединений. В табл. 25.1 приведены рекомендации по выбору типа обмотки якоря для двигателей постоянного тока общепромышленного назначения в зависимости от числа полюсов и силы тока якоря.

Т а б л и ц а 25.1

Число полюсов $2p$	Ток якоря I_a , А	Тип обмотки якоря
2	—	Простая петлевая
4	До 700	» волновая
4	Свыше 700 до 1400	» петлевая или комбинированная
4	Свыше 1400	Сложная петлевая ($m = 2$) или комбинированная

К условиям, ограничивающим применение простой волновой обмотки, следует отнести в первую очередь предельно допустимое значение тока в параллельной ветви (300—400 А) и среднее значение напряжения между смежными коллекторными пластинами $U_{к\text{ ср}} = 2pU/K$, которое не должно превышать (В):

Машины мощностью до 1 кВт . . .	25—30
Машины мощностью более 1 кВт без компенсационной обмотки	16
Машины с компенсационной обмоткой	20

Указанные предельные значения $U_{\text{к ср}}$ распространяются и на обмотки якоря других типов. При превышении указанных пределов появляется вероятность возникновения в машине опасного явления, называемого *круговым огнем* (см. § 27.4).

Контрольные вопросы

1. В чем принципиальное отличие обмоток якоря от обмоток статора бесколлекторных машин переменного тока?
2. Какими параметрами характеризуется обмотка якоря?
3. Сколько параллельных ветвей имеет обмотка якоря шестиполусной машины в случаях простой петлевой и простой волновой обмоток?
4. Во сколько раз изменится ЭДС обмотки якоря шестиполусной машины, если простую волновую обмотку заменить простой петлевой при том же числе секций?
5. Что такое магнитная несимметрия и каковы ее последствия?
6. В каких обмотках якоря применяют уравниватели первого и второго рода?
7. Каковы достоинства комбинированной обмотки?
8. Как влияют ширина секции и положение щеток на ЭДС машины?
9. Какими соображениями руководствуются при выборе типа обмотки якоря?

Глава 26 • Магнитное поле машины постоянного тока

§ 26.1. Магнитная цепь машины постоянного тока

Магнитная система машины постоянного тока состоит из станины (ярма), сердечников главных полюсов с полюсными наконечниками, воздушного зазора и сердечника якоря.

На рис. 26.1 показана картина магнитного поля четырехполюсной машины. При этом имеется в виду машина, работающая в режиме х. х., когда МДС создается лишь обмоткой возбуждения, а в обмотке якоря и обмотке добавочных полюсов тока нет или он настолько мал, что его влиянием на картину магнитного поля можно пренебречь. В целях упрощения на рисунке не показаны добавочные полюсы, так как в режиме х. х. их влияние на картину магнитного поля машины незначительно. Как это следует из рис. 26.1, магнитный поток главных полюсов состоит из двух неравных частей: большая часть образует основной магнитный поток Φ , а меньшая — магнитный поток рассеяния полюсов Φ_{σ} . Поток рассеяния учитывается коэффициентом рассеяния σ_m (см. § 20.1).

Магнитодвижущая сила обмотки возбуждения на пару полюсов в режиме х. х. определяется суммой магнитных напряжений на участках магнитной цепи (рис. 26.2):

$$F_{\text{во}} = \Sigma F = 2F_{\delta} + 2F_z + 2F_m + 2F_a + F_{\text{я}}, \quad (26.1)$$

где F_{δ} , F_z , F_m , F_a , $F_{\text{я}}$ — магнитные напряжения воздушного зазора, зубцового слоя якоря, главного полюса, спинки якоря, станины (ярма) соответственно.

Если машина имеет компенсационную обмотку (см. § 26.4), то в (26.1) следует ввести еще одно слагаемое F_{zm} , представляющее собой магнитное напряжение зубцового слоя главного полюса.

Порядок расчета магнитных напряжений на участках магнитной цепи машины постоянного тока в принципе такой же, что и в случае асинхронной машины (см. гл. 11). При этом расчет магнитных

напряжений станины и сердечника главного полюса ведут по магнитному потоку главного полюса Φ_m , который больше основного потока Φ на значение потока рассеяния Φ_σ :

$$\Phi_m = \Phi + \Phi_\sigma = \Phi(1 + \sigma_m),$$

где $\sigma_m \approx 10\delta/\tau = 0,10 \div 0,25$ — коэффициент рассеяния.

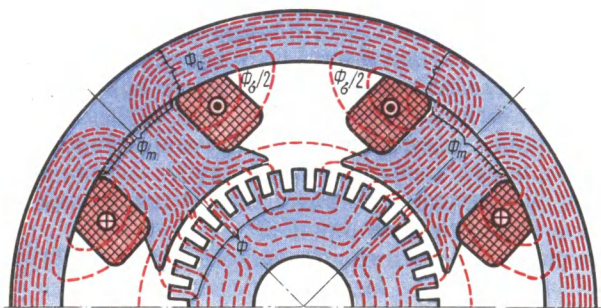


Рис 26.1. Магнитное поле машины постоянного тока в режиме х х.

При заданном значении ЭДС машины E_a определяют требуемое значение основного магнитного потока (Вб) [см. (25.20)]:

$$\Phi = \frac{60aE_a}{pNn}. \quad (26.2)$$

Далее рассчитывают магнитную индукцию для каждого участка магнитной цепи:

$$B_x = \Phi_x / S_x, \quad (26.3)$$

где Φ_x — магнитный поток на данном участке магнитной цепи, Вб; S_x — площадь поперечного сечения этого участка, м².

По таблицам или кривым намагничивания для соответствующих ферромагнитных материалов находят напряженность магнитного поля на участках магнитной цепи H_x , а затем определяют магнитное напряжение (А)

$$F_x = H_x l_x$$

и МДС обмотки возбуждения на пару полюсов по (26.1).

Значения магнитных напряжений для различных участков

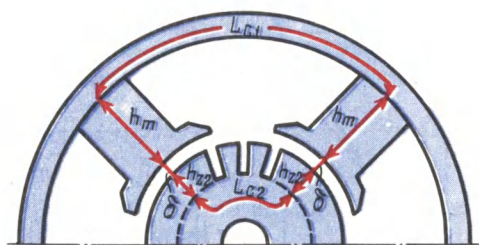


Рис. 26.2 Расчетный участок магнитной цепи четырехполюсной машины постоянного тока

магнитной цепи неодинаковы и зависят от магнитных сопротивлений этих участков. Наибольшим магнитным сопротивлением обладает воздушный зазор, поэтому магнитное напряжение F_δ намного больше любого из слагаемых выражения (26.1).

Другие участки магнитной цепи выполняют из ферромагнитных материалов. В машинах постоянного тока для изготовления различных элементов магнитной цепи применяют следующие материалы.

Сердечник якоря — тонколистовые электротехнические стали марок 2013, 2312 и 2411 толщиной 0,5 мм (см. табл. 11.1).

Сердечник главного полюса — листовая анизотропная (холоднокатаная) сталь марки 3411 толщиной 1 мм, пластины не изолируют.

Станина — в машинах малой мощности станину изготавливают из стальных цельнотянутых труб, а для машин средней и большой мощности станины делают сварными из листовой конструкционной стали марки Ст3.

Магнитное напряжение воздушного зазора (А)

$$F_\delta = 0,8B_\delta\delta k_\delta 10^3, \quad (26.4)$$

где δ — величина воздушного зазора, мм; k_δ — коэффициент воздушного зазора, учитывающий увеличение магнитного сопротивления зазора из-за зубчатости якоря ($k_\delta > 1$).

Магнитная индукция в воздушном зазоре B_δ (Тл) пропорциональна основному магнитному потоку Φ . В машинах постоянного тока общего назначения $B_\delta = 0,6 \div 1,0$ Тл (большие значения B_δ соответствуют более крупным машинам).

Обычно расчет МДС ΣF ведут для ряда значений магнитного потока ($0,5\Phi_{ном}$, $0,75\Phi_{ном}$, $\Phi_{ном}$ и $1,2\Phi_{ном}$), а затем строят магнитную характеристику машины $\Phi_* = f(\Sigma F_*)$, где $\Phi_* = \Phi/\Phi_{ном}$ — относительное значение магнитного потока; $\Sigma F_* = \Sigma F/\Sigma F_{ном}$ — относительное значение МДС обмотки возбуждения на пару полюсов в режиме х. х.; $\Phi_{ном}$ и $\Sigma F_{ном}$ — номинальные значения магнитного потока и МДС в режиме х. х., соответствующие номинальному значению ЭДС E_a [см. (26.2)]. В начальной части магнитная характеристика прямолинейна (рис. 26.3). Объясняется это тем, что при небольших значениях ΣF_* магнитная цепь не насыщена и МДС возбуждения определяется, в основном, магнитным напряжением воздушного зазора $\Sigma F \approx 2F_\delta$. Затем с ростом ΣF_* наступает насыщение магнитной цепи и магнитная характеристика

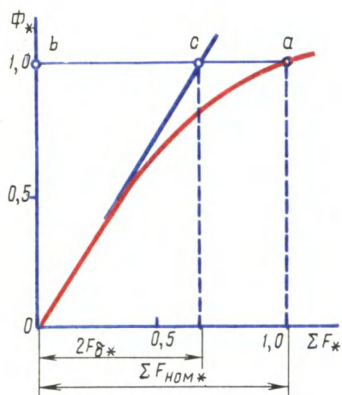


Рис. 26.3. Магнитная характеристика

наступает насыщение магнитной цепи и магнитная характеристика

становится криволинейной. Коэффициент насыщения магнитной цепи машины

$$k_{\mu} = \Sigma F_{\text{ном}} / (2F_{\delta}) = ba/bc = 1/(2F_{\delta}). \quad (26.5)$$

Для машин постоянного тока $k_{\mu} = 1,2 \div 1,7$.

§ 26.2. Реакция якоря машины постоянного тока

При работе машины в режиме х.х. ток в обмотке якоря практически отсутствует, а поэтому в машине действует лишь МДС обмотки возбуждения $F_{\text{в0}}$. Магнитное поле машины в этом случае симметрично относительно оси полюсов (рис. 26.4, а). График распределения магнитной индукции в воздушном зазоре представляет собой кривую, близкую к трапеции.

Если же машину нагрузить, то в обмотке якоря появится ток, который создаст в магнитной системе машины МДС якоря F_a . Допустим, что МДС возбуждения равна нулю и в машине действует лишь МДС якоря. Тогда магнитное поле, созданное этой МДС, будет иметь вид, представленный на рис. 26.4, б. Из этого рисунка видно, что МДС обмотки якоря направлена по линии щеток (в данном случае по геометрической нейтрали). Несмотря на то что якорь вращается, пространственное положение МДС обмотки якоря остается неизменным, так как направление этой МДС определяется положением щеток.

Наибольшее значение МДС якоря — на линии щеток (рис. 26.4, б, кривая 1), а по оси полюсов эта МДС равна нулю. Однако распределение магнитной индукции в зазоре от потока якоря совпадает с графиком МДС лишь в пределах полюсных наконечников. В межполюсном пространстве магнитная индукция резко ослабляется (рис. 26.4, б, кривая 2). Объясняется это увеличением магнитного сопротивления потоку якоря в межполюсном пространстве. МДС обмотки якоря на пару полюсов пропорциональна числу проводников в обмотке N и току якоря I_a :

$$F_a = NI_a / (4ap). \quad (26.6)$$

Введем понятие *линейной нагрузки* (А/м), представляющей собой суммарный ток якоря, приходящийся на единицу длины его окружности по наружному диаметру якоря D_a :

$$A = Ni_a / (\pi D_a), \quad (26.7)$$

где $i_a = I_a / (2a)$ — ток одного проводника обмотки, А.

Значение линейной нагрузки для машин постоянного тока общего назначения в зависимости от их мощности может быть $(100 \div 500) \cdot 10^2$ А/м. Воспользовавшись линейной нагрузкой, запишем выражение для МДС якоря: $F_a = At$. Таким образом, в нагруженной машине постоянного тока действуют две МДС: возбуждения $F_{\text{в0}}$ и якоря F_a .

Влияние МДС обмотки якоря на магнитное поле машины

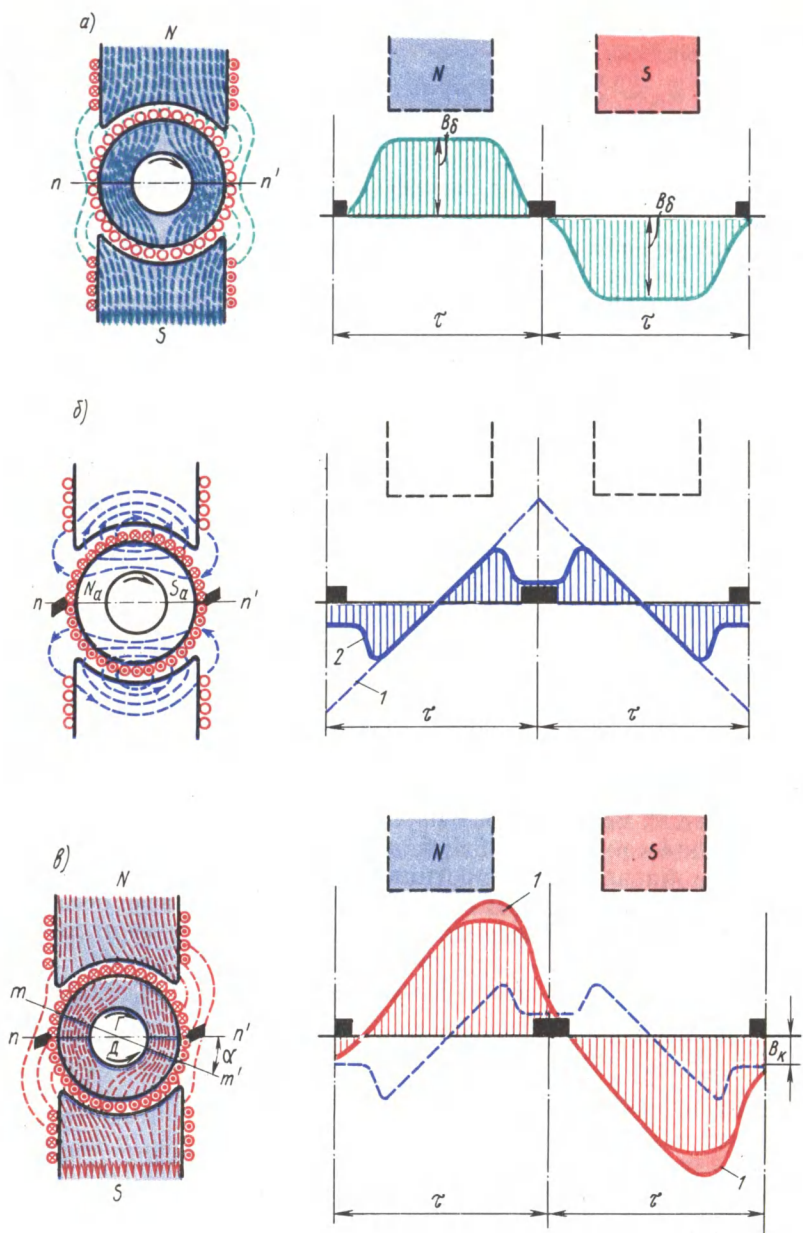


Рис. 26.4. Магнитное поле машины и распределение магнитной индукции в воздушном зазоре

называют *реакцией якоря*. Реакция якоря искажает магнитное поле машины, делает его несимметричным относительно оси полюсов.

На рис. 26.4, в показано распределение магнитных силовых линий результирующего поля машины, работающей в генераторном режиме при вращении якоря по часовой стрелке. Такое же распределение магнитных линий соответствует работе машины в режиме двигателя, но при вращении якоря против часовой стрелки. Если принять, что магнитная система машины не насыщена, то реакция якоря будет лишь искажать результирующий магнитный поток, не изменяя его значения: край полюса и находящийся по ним зубцовый слой якоря, где МДС якоря совпадает по направлению с МДС возбуждения, подмагничиваются; другой край полюса и зубцовый слой якоря, где МДС направлена против МДС возбуждения, размагничиваются. При этом результирующий магнитный поток как бы поворачивается относительно оси главных полюсов на некоторый угол, а физическая нейтраль mm' (линия, проходящая через точки на якоре, в которых индукция равна нулю) смещается относительно геометрической нейтрали nn' на угол α . Чем больше нагрузка машины, тем сильнее искажение результирующего поля, а следовательно, тем больше угол смещения физической нейтрали. *При работе машины в режиме генератора физическая нейтраль смещается по направлению вращения якоря, а при работе двигателя — против вращения якоря.*

Искажение результирующего поля машины неблагоприятно отражается на ее рабочих свойствах. Во-первых, сдвиг физической нейтрали относительно геометрической приводит к более тяжелым условиям работы щеточного контакта и может послужить причиной усиления искрения на коллекторе (см. § 27.1). Во-вторых, искажение результирующего поля машины влечет за собой перераспределение магнитной индукции в воздушном зазоре машины. На рис. 26.4, в показан график распределения результирующего поля в зазоре, полученный совмещением кривых, изображенных на рис. 26.4, а, б. Из этого графика следует, что магнитная индукция в зазоре машины распределяется несимметрично относительно оси полюсов, резко увеличиваясь под подмагниченными краями полюсов. Это приводит к тому, что мгновенные значения ЭДС секций обмотки якоря в моменты попадания их пазовых сторон в зоны максимальных значений магнитной индукции (под подмагниченные края полюсных наконечников) резко повышаются. В результате возрастает напряжение между смежными коллекторными пластинами U_k . При значительных нагрузках машины напряжение U_k может превзойти допустимые пределы (см. § 25.5) и миканитовая прокладка между смежными пластинами будет перекрыта электрической дугой. Имеющиеся на коллекторе частицы графита будут способствовать развитию электрической дуги, что приведет к возникновению мощной электрической дуги, перекрывающей весь кол-

лктор или значительную его часть, — явления чрезвычайно опасного (см. § 27.5).

Таковы последствия влияния реакции якоря на машину с ненасыщенной магнитной системой. Если же магнитная система машины насыщена, что имеет место у большинства электрических машин, то подмагничивание одного края полюсного наконечника и находящегося под ним зубцового слоя якоря

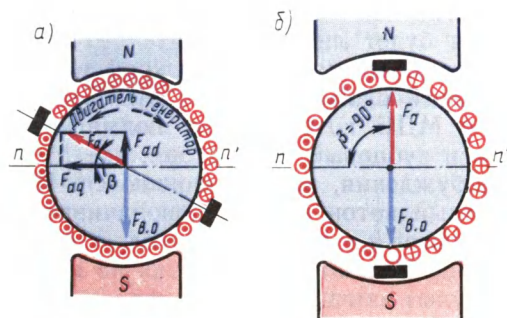


Рис 26.5. Разложение МДС обмотки якоря на продольную и поперечную составляющие

происходит в меньшей степени, чем размагничивание другого края и находящегося под ним зубцового слоя якоря. Это благоприятно сказывается на распределении магнитной индукции в зазоре, которое становится более равномерным, так как максимальное значение индукции под подмагничиваемым краем полюсного наконечника уменьшается на величину,

определяемую высотой участка l на рис. 26.4, в. Однако результирующий магнитный поток машины при этом уменьшается. Таким образом, реакция якоря в машине с насыщенной магнитной системой размагничивает машину (так же как и у синхронной машины при активной нагрузке). В результате ухудшаются рабочие свойства машины: у генераторов снижается ЭДС, у двигателей уменьшается вращающий момент.

Влияние реакции якоря на работу машины усиливается при смещении щеток с геометрической нейтрали. Объясняется это тем, что вместе со щетками смещается и вектор МДС якоря (рис. 26.5, а). При этом МДС якоря F_a помимо поперечной составляющей $F_{aq} = F_a \cos \beta$ приобретает и продольную составляющую $F_{ad} = F_a \sin \beta$, направленную по оси полюсов. Если машина работает в генераторном режиме, то при смещении щеток в направлении вращения якоря продольная составляющая МДС якоря действует встречно МДС обмотки возбуждения $F_{в0}$, что ослабляет основной магнитный поток машины; при смещении щеток против вращения якоря продольная составляющая МДС якоря F_{ad} действует согласованно с МДС $F_{в0}$, что вызывает некоторое подмагничивание машины и может явиться причиной искрения на коллекторе (см. гл. 27). Если машина работает в двигательном режиме, то при смещении щеток по направлению вращения якоря продольная составляющая МДС якоря F_{ad} подмагничивает машину, а при смещении щеток против вращения якоря продольная составляющая F_{ad} размагничивает машину. При дальнейшем рассмот-

рении вопросов, связанных с действием продольной составляющей МДС якоря, будем иметь в виду лишь ее размагничивающее действие, так как подмагничивающее действие F_{ad} в машинах постоянного тока общего назначения недопустимо из-за нарушения работы щеточного контакта.

Следует обратить внимание на то, что смещение щеток с геометрической нейтрали влияет и на поперечную составляющую МДС якоря — величину, зависящую от угла β , с ростом которого она уменьшается ($F_{aq} = F_a \cos \beta$). Таким образом, в коллекторных машинах возможны два случая: 1) щетки установлены на геометрической нейтрали и реакция якоря является только поперечной; 2) щетки смещены с геометрической нейтрали и реакция якоря имеет две составляющие — поперечную и продольную (размагничивающую). Принципиально также возможен случай, когда реакция якоря по поперечной оси отсутствует. Это имеет место, когда щетки расположены по оси, перпендикулярной геометрической нейтрали, т. е. когда $\beta = 90^\circ$ (рис. 26.5, б). Однако такой случай не имеет практического применения, так как машина становится неработоспособной: в генераторном режиме ЭДС машины равна нулю, так как в параллельную ветвь обмотки входит равное число секций со встречным направлением ЭДС, а в двигательном режиме электромагнитные силы активных сторон обмотки якоря, действующие слева и справа от оси щеток, равны и противоположно направлены, а поэтому вращающего момента не создают.

§ 26.3. Учет размагничивающего влияния реакции якоря

Размагничивающее влияние реакции якоря при нагрузке машины постоянного тока учитывают при расчете числа витков полюсных катушек возбуждения. С этой целью при расчете числа витков такой катушки $\omega_{кв}$ используют значение МДС обмотки возбуждения $F_{вн}$, соответствующее номинальной нагрузке машины:

$$\omega_{кв} = F_{вн} / (2I_{в}), \quad (26.8)$$

где $I_{в}$ — ток в обмотке возбуждения, А.

Значение МДС обмотки возбуждения на пару полюсов $F_{вн}$ должно быть таким, чтобы ЭДС якоря E_a при работе машины с номинальной нагрузкой была такой же, что и в режиме холостого хода, когда МДС возбуждения $F_{в0} = \Sigma F_{ном}$ [см. (26.1)].

В современных машинах постоянного тока щетки устанавливают на геометрической нейтрали. В этом случае МДС обмотки возбуждения при нагрузке машины:

$$F_{вн} = F_{в0} + F_{qd}. \quad (26.9)$$

Здесь F_{qd} представляет собой *приращение МДС обмотки возбуждения, компенсирующее размагничивающее влияние реакции якоря по поперечной оси на пару полюсов (А)*.

Количественный учет размагничивающего действия реакции

якоря усложнен тем, что МДС поперечной реакции якоря действует перпендикулярно оси главных полюсов и вызывает искажение магнитного потока обмотки возбуждения. Возникающее при этом размагничивание машины происходит из-за магнитного насыщения элементов магнитной цепи машины, в первую очередь зубцов сердечника якоря.

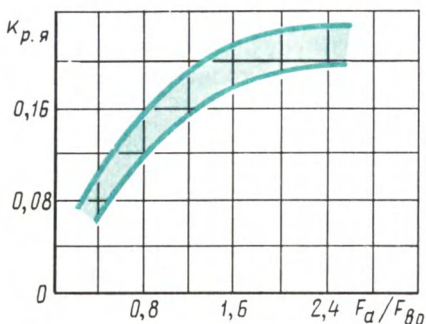


Рис. 26.6. График $k_{p.я} = f(F_a/F_{\theta 0})$

Размагничивающее действие реакции якоря по поперечной оси учитывают введением коэффициента реакции якоря $k_{p.я}$. Этот коэффициент получен в результате исследования большого количества некомпенсированных машин постоянного тока при различных значениях магнитной индукции в зубцах якоря B_z .

Приращение МДС, компенсирующее реакцию якоря по поперечной оси (А),

$$F_{qd} = k_{p.я} F_a, \quad (26.10)$$

где F_a — МДС обмотки якоря на пару полюсов (26.6), А.

Для большинства машин постоянного тока магнитная индукция в зубцах якоря $B_z = 1,7 \div 2,3$ Тл. Приращение МДС F_{qd} определяют по графику $k_{p.я} = f(F_a/F_{\theta 0})$ (рис. 26.6), где нижняя граница графика соответствует $B_z = 1,7$ Тл, а верхняя — $B_z = 2,3$ Тл.

Значение тока в обмотке возбуждения [см. (26.8)] принимают в зависимости от вида возбуждения машины постоянного тока: при параллельном возбуждении при мощности машин от 10 до 1000 кВт ток I_v принимают соответственно от 4,0 до 1,0 % от номинального тока машины, а в машинах мощностью от 1 до 10 кВт — соответственно от 8,0 до 4,0 %; в машинах последовательного возбуждения ток возбуждения принимают равным току якоря (см. § 29.6).

В машинах постоянного тока с компенсационной обмоткой (см. § 26.4) $F_{qd} = 0$, т. е. расчет числа витков полюсной катушки (26.8) ведут по величине $F_{\theta 0} = \Sigma F_{ном}$.

Пример 26.1. Двигатель постоянного тока параллельного возбуждения мощностью $P_{ном} = 75$ кВт работает от сети напряжением $U = 220$ В. КПД двигателя при номинальной нагрузке $\eta_{ном} = 0,89$. Двигатель четырехполюсный, обмотка якоря простая волновая ($2a = 2$), число эффективных проводников в обмотке $N = 164$, ток возбуждения составляет 1,3 % от номинального потребляемого двигателем тока. Определить число витков в полюсной катушке возбуждения $w_{к в}$, если все они соединены последовательно, воздушный зазор $\delta = 2,0$ мм, коэффициент воздушного зазора $k_\delta = 1,3$, магнитная индукция в зазоре $B_\delta = 0,76$ Тл, в зубцах якоря $B_z = 1,8$ Тл, а коэффициент насыщения магнитной цепи машины $k_\mu = 1,35$.

Решение. Ток, потребляемый двигателем при номинальной нагрузке,

$$I_{ном} = \frac{P_{ном} 10^3}{U \eta_{ном}} = \frac{75 \cdot 10^3}{220 \cdot 0,89} = 383 \text{ А.}$$

Ток в обмотке возбуждения

$$I_{\text{в}} = 0,013 I_{\text{ном}} = 0,013 \cdot 383 = 5 \text{ А.}$$

Ток в обмотке якоря

$$I_{\text{а}} = I_{\text{ном}} - I_{\text{в}} = 383 - 5 = 378 \text{ А}$$

Магнитное напряжение воздушного зазора по (26.4)

$$F_{\delta} = 0,8 B_{\delta} \delta k_{\delta} 10^3 = 0,8 \cdot 0,76 \cdot 2,0 \cdot 1,3 \cdot 10^3 = 1580 \text{ А.}$$

МДС возбуждения в режиме холостого хода на пару полюсов

$$F_{\text{в.о}} = 2 F_{\delta} k_{\mu} = 2 \cdot 1580 \cdot 1,35 = 4266 \text{ А.}$$

МДС обмотки якоря на пару полюсов по (26.6)

$$F_{\text{а}} = N I_{\text{а}} / (4 a p) = 164 \cdot 378 / (4 \cdot 1 \cdot 2) = 7749 \text{ А.}$$

Коэффициент реакции якоря по рис. 26.6 при $F_{\text{а}}/F_{\text{в.о}} = 7749/4266 = 1,8$ и $B_z = 1,8$ Тл равен $k_{\text{р.я}} = 0,19$

Приращение МДС, компенсирующее реакцию якоря по поперечной оси, по (26.10)

$$F_{\text{ад}} = k_{\text{р.я}} F_{\text{а}} = 0,19 \cdot 7749 = 1472 \text{ А.}$$

МДС возбуждения при номинальной нагрузке двигателя по (26.9)

$$F_{\text{в.н}} = F_{\text{в.о}} + F_{\text{ад}} = 4266 + 1472 = 5738 \text{ А}$$

Число витков в полюсной катушке возбуждения по (26.8)

$$w_{\text{к.в}} = F_{\text{в.н}} / (2 I_{\text{в}}) = 5738 / (2 \cdot 5) = 574.$$

§ 26.4. Устранение вредного влияния реакции якоря

В связи с тем что реакция якоря неблагоприятно влияет на рабочие свойства машины постоянного тока*, при проектировании машины принимают меры к устранению реакции якоря или хотя бы к ослаблению ее влияния до допустимых пределов.

Компенсационная обмотка. Наиболее эффективным средством подавления влияния реакции якоря по поперечной оси является применение в машине компенсационной обмотки. Эту обмотку укладывают в пазы полюсных наконечников (рис. 26.7) и включают последовательно с обмоткой якоря таким образом, чтобы МДС компенсационной обмотки $F_{\text{к}}$ была противоположна по направлению МДС обмотки якоря $F_{\text{а}}$. Компенсационную обмотку делают распределенной по поверхности полюсного наконечника всех главных полюсов машины. При этом линейную нагрузку для компенсационной обмотки принимают равной линейной нагрузке обмотки якоря.

Включение компенсационной обмотки последовательно в цепь якоря обеспечивает автоматичность компенсации МДС якоря при любой (в пределах номинальной) нагрузке машины. Таким образом, в машине постоянного тока с компенсационной обмоткой при переходе от холостого хода к режиму нагрузки закон

* Исключение составляют машины постоянного тока, в которых поперечное поле якоря используется полезно, например электромашинные усилители поперечного поля (см. § 30.1).

распределения магнитной индукции в зазоре главных полюсов остается практически неизменным. Однако в межполюсном пространстве часть МДС якоря остается нескомпенсированной. Нежелательное влияние этой МДС на работу щеточного контакта устраняют применением в машине добавочных полюсов (см. § 27.4).

Компенсационные обмотки применяют лишь в машинах средней и большой мощности — более 150—500 кВт при $U > 440$ В,

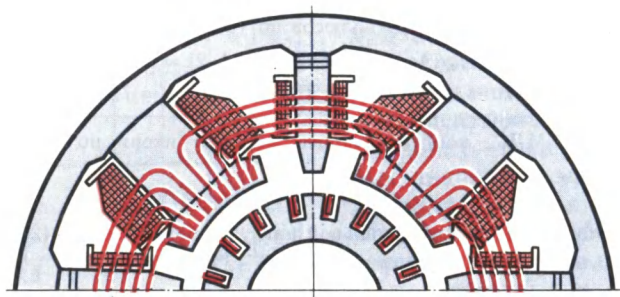


Рис. 26.7 Компенсационная обмотка

работающих с резкими колебаниями нагрузки, например в двигателях для прокатных станов. Объясняется это тем, что компенсационная обмотка удорожает и усложняет машину и ее применение в некоторых машинах экономически не оправдывается.

Увеличение воздушного зазора под главными полюсами. В машинах малой и средней мощности, не имеющих компенсационной обмотки, вредное влияние реакции якоря по поперечной оси ослабляют соответствующим выбором воздушного зазора под главными полюсами. При этом следует иметь в виду, что при достаточно малом воздушном зазоре и значительной линейной нагрузке реакция якоря по поперечной оси может не только ослабить магнитное поле под одной из частей главного полюса, но и перемагнитить его, т. е. изменить полярность — «опрокинуть поле». Некоторое увеличение воздушного зазора под главными полюсами, особенно на их краях, значительно ослабляет действие реакции якоря. Однако не следует забывать, что увеличение воздушного зазора ведет к необходимости повышения МДС обмотки главных полюсов, а следовательно, и к увеличению размеров полюсных катушек, полюсов и габарита машины в целом.

На этом же принципе уменьшения МДС поперечной реакции якоря за счет повышенного магнитного сопротивления на пути ее действия основан и другой способ ослабления действия реакции якоря. Этот способ состоит в том, что сердечники главных полюсов делают из листовой анизотропной (холоднокатаной) стали (обычно применяют сталь марки 3411). Эта сталь в направлении проката обладает повышенной магнитной проницаемостью, а

«поперек проката» — небольшой магнитной проницаемостью. Штамповать пластины полюсов из такой стали следует так, чтобы ось полюса совпадала с направлением проката листа стали.

§ 26.5. Способы возбуждения машин постоянного тока

Для работы электрической машины необходимо наличие магнитного поля. В большинстве машин постоянного тока это поле создается обмоткой возбуждения, питаемой постоянным током. Свойства машин постоянного тока в значительной степени определяются способом включения обмотки возбуждения, т. е. *способом возбуждения*.

По способам возбуждения машины постоянного тока можно классифицировать следующим образом:

машины независимого возбуждения, в которых обмотка возбуждения (ОВ) питается постоянным током от источника, электрически не связанного с обмоткой якоря (рис. 26.8, а);

машины параллельного возбуждения, в которых обмотка возбуждения и обмотка якоря соединены параллельно (рис. 26.8, б);

машины последовательного возбуждения, в которых обмотка возбуждения и обмотка якоря соединены последовательно (рис. 26.8, в);

машины смешанного возбуждения, в которых имеются две обмотки возбуждения — параллельная ОВ1 и последовательная ОВ2 (рис. 26.8, г);

машины с возбуждением постоянными магнитами (рис. 26.8, д).

Все указанные машины (кроме последних) относятся к машинам с электромагнитным возбуждением, так как магнитное поле в них создается электрическим током, проходящим в обмотке возбуждения.

Начала и концы обмоток машин постоянного тока согласно

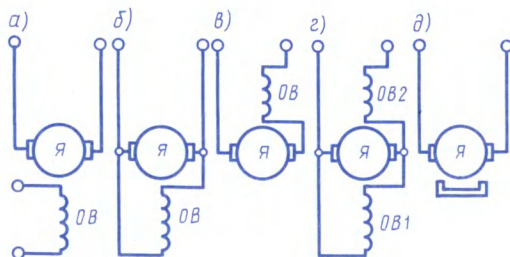


Рис 26.8. Способы возбуждения машин постоянного тока

ГОСТу обозначаются: обмотка якоря — Я1 и Я2, обмотка добавочных полюсов — Д1 и Д2, компенсационная обмотка — К1 и К2, обмотка возбуждения независимая — М1 и М2, обмотка возбуждения параллельная (шунтовая) — Ш1 и Ш2, обмотка возбуждения последовательная (серийная) — С1 и С2.

Контрольные вопросы

1. Какие участки содержит магнитная цепь машины постоянного тока?
2. В чем сущность явления реакции якоря машины постоянного тока?
3. Почему МДС якоря, действующая по поперечной оси, вызывает размагничивание машины по продольной оси?
4. Как учитывается размагничивающее действие реакции якоря при расчете числа витков полюсной катушки обмотки возбуждения?
5. С какой целью компенсационную обмотку включают последовательно с обмоткой якоря?
6. Почему с увеличением воздушного зазора ослабляется размагничивающее влияние реакции якоря?
7. Какие способы возбуждения применяют в машинах постоянного тока?

§ 27.1. Причины, вызывающие искрение на коллекторе

При работе машины постоянного тока щетки и коллектор образуют скользящий контакт. Площадь контакта щетки выбирают по значению рабочего тока машины, приходящегося на одну щетку, в соответствии с допустимой плотностью тока для выбранной марки щеток. Если по какой-то причине щетка прилегает к коллектору не всей поверхностью, то возникают чрезмерные местные плотности тока, приводящие к искрению на коллекторе.

Причины, вызывающие искрение на коллекторе, разделяют на механические, потенциальные и коммутационные.

Механические причины искрения — слабое давление щеток на коллектор, биение коллектора, его эллиптичность или негладкая поверхность, загрязнение поверхности коллектора, выступание миканитовой изоляции над медными пластинами, неплотное закрепление траверсы, пальцев или щеткодержателей, а также другие причины, вызывающие нарушение электрического контакта между щеткой и коллектором.

Потенциальные причины искрения появляются при возникновении напряжения между смежными коллекторными пластинами, превышающего допустимое значение (см. § 25.5). В этом случае искрение наиболее опасно, так как оно обычно сопровождается появлением на коллекторе электрических дуг.

Коммутационные причины искрения создаются физическими процессами, происходящими в машине при переходе секций обмотки якоря из одной параллельной ветви в другую.

Иногда искрение вызывается целым комплексом причин. Выяснение причин искрения следует начинать с механических, так как их обнаруживают осмотром коллектора и щеточного устройства. Труднее обнаружить и устранить коммутационные причины искрения.

При выпуске готовой машины с завода в ней настраивают темную коммутацию, исключающую какое-либо искрение. Однако в процессе эксплуатации машины, по мере износа коллектора и щеток, возможно появление искрения. В некоторых случаях оно может быть значительным и опасным, тогда машину необходимо остановить для выяснения и устранения причин искрения. Однако небольшое искрение в машинах общего назначения обычно допустимо.

Согласно ГОСТу, искрение на коллекторе оценивается степенью искрения (классом коммутации) под сбегающим краем щетки.

Степень 1 — искрения нет (темная коммутация).

Степень $1^{1/4}$ — слабое искрение под небольшой частью щетки, не вызывающее почернения коллектора и появления нагара на щетках.

Степень $1^{1/2}$ — слабое искрение под большей частью щетки, приводящее к появлению следов почернения на коллекторе, легко устранимого протиранием поверхности коллектора бензином, и следов нагара на щетках.

Степень 2 — искрение под всем краем щетки. Допускается только при кратковременных толчках нагрузки и при перегрузке. Приводит к появлению следов почернения на коллекторе, не устранимых протиранием поверхности коллектора бензином, а также следов нагара на щетках.

Степень 3 — значительное искрение под всем краем щетки с появлением крупных вылетающих искр, приводящее к значительному почернению коллектора, не устранимое протиранием поверхности коллектора бензином, а также к подгару и разрушению щеток. Допускается только для моментов прямого (безреостатного) включения или реверсирования машин, если при этом коллектор и щетки остаются в состоянии, пригодном для дальнейшей работы.

Если допустимая степень искрения в паспорте электрической машины не указана, то при номинальной нагрузке она не должна превышать $1^{1/2}$.

При вращении якоря машины постоянного тока коллекторные пластины поочередно вступают в соприкосновение со щетками. При этом переход щетки с одной пластины (сбегающей) на другую (набегающую) сопровождается переключением секции обмотки из одной параллельной ветви в другую и изменением как значения, так и направления тока в этой секции. Процесс переключения секции из одной параллельной ветви в другую и сопровождающие его явления называются *коммутацией*.

Секция, в которой происходит коммутация, называется *коммутирующей*, а продолжительность процесса коммутации — *периодом коммутации*:

$$T_k = [60/(Kn)](b_{\text{щ}}/b_k),$$

где $b_{\text{щ}}$ — ширина щетки; K — число коллекторных пластин; n — частота вращения якоря, об/мин; b_k — расстояние между середи-

нами соседних коллекторных пластин (коллекторное деление).

Сложность процессов коммутации не позволяет рассмотреть коммутацию в общем виде. Поэтому для получения аналитических и графических зависимостей, поясняющих коммутацию, допускают, что ширина щетки равна коллекторному делению; щетки расположены на геометрической нейтрали; электрическое сопротивление коммутирующей секции и мест ее присоединения к коллектору по сравнению с сопротивлением переходного контакта «щетка — коллектор» пренебрежимо мало (обычно такое соотношение указанных сопротивлений соответствует действительности).

В начальный момент коммутации (рис. 27.1, а) контактная поверхность щетки касается только пластины 1, а коммутирующая секция относится к левой параллельной ветви обмотки и ток в ней равен i_a . Затем пластина 1

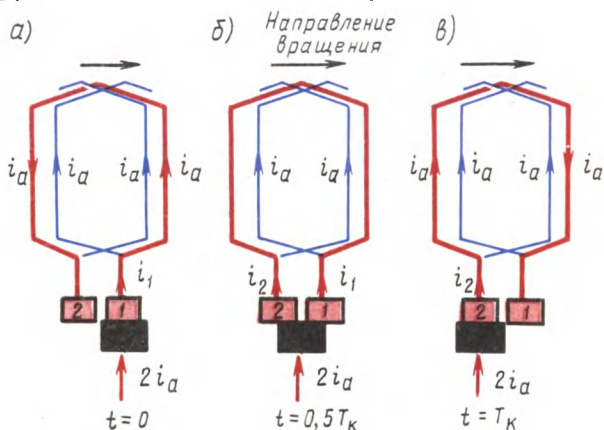


Рис. 27.1. Переход коммутирующей секции из одной параллельной ветви в другую

постепенно сбегает со щетки и на смену ей набегают пластина 2. В результате коммутирующая секция оказывается замкнутой щеткой и ток в ней постепенно уменьшается. В середине процесса коммутации ($t = 0,5T_k$) контактная поверхность щетки равномерно перекрывает обе коллекторные пластины (рис. 27.1, б). В конце коммутации ($t = T_k$) щетка полностью переходит на пластину 2 и теряет контакт с пластиной 1 (рис. 27.1, в), а ток в коммутирующей секции становится равным — i_a , т. е. по значению таким же, что и в начале коммутации, а по направлению — противоположным. При этом коммутирующая секция оказалась в правой параллельной ветви обмотки.

§ 27.2. Прямолинейная коммутация

Этот вид коммутации имеет место в машине, если в процессе коммутации в коммутирующей секции ЭДС не наводится или, что более реально, сумма ЭДС в коммутирующей секции равна нулю. В этом случае для коммутирующей секции, замкнутой щеткой (рис. 27.1, б), в соответствии со вторым законом Кирхгофа можно записать

$$i_1 r_1 - i_2 r_2 = 0, \quad (27.1)$$

r_1 и r_2 — переходные сопротивления между щеткой и сбегавшей 1 и набегающей 2 пластинами; i_1 и i_2 — токи, переходящие в обмотку якоря через пластины 1 и 2:

$$i_1 = i_a + i; \quad i_2 = i_a - i; \quad (27.2)$$

здесь i — ток в коммутирующей секции.

Используя (27.2), получим

$$(i_a + i)r_i - (i_a - i)r_2 = 0,$$

откуда ток в коммутирующей секции

$$i = i_a(r_2 - r_1)/(r_2 + r_1). \quad (27.3)$$

Закон изменения тока коммутирующей секции в функции времени определяется уравнением

$$i = i_a(1 - 2t/T_k). \quad (27.4)$$

Это уравнение является линейным, а поэтому график $i = f(t)$ представляет собой прямую линию, пересекающую ось абсцисс в точке $t = 0,5T_k$ (рис. 27.2). Коммутация, при которой ток в коммутирующей секции i изменяется по прямолинейному закону, называют *прямолинейной (идеальной) коммутацией*.

Весьма важным фактором, определяющим качество коммутации, является плотность тока в переходном контакте «щетка — пластина»: j_1 — плотность тока под сбегающим краем щетки; j_2 — плотность тока под набегающим краем щетки.

Плотность тока под щеткой прямо пропорциональна тангенсу угла между осью абсцисс и графиком коммутации, т. е. $j_1 \equiv \operatorname{tg} \alpha_1$ и $j_2 = \operatorname{tg} \alpha_2$. График прямолинейной (идеальной) коммутации имеет вид прямой линии. При этом $\alpha_1 = \alpha_2$, а следовательно, плотность тока в переходном контакте «щетка — коллектор» в течение всего периода коммутации остается неизменной ($j_1 = j_2 = \operatorname{const}$). Физически это объясняется тем, что при прямолинейной коммутации убывание тока, проходящего через сбегающую пластину коллектора, пропорционально уменьшению площади контакта щетки с этой пластиной, а нарастание тока через набегающую пластину пропорционально увеличению площади контакта щетки с этой пластиной.

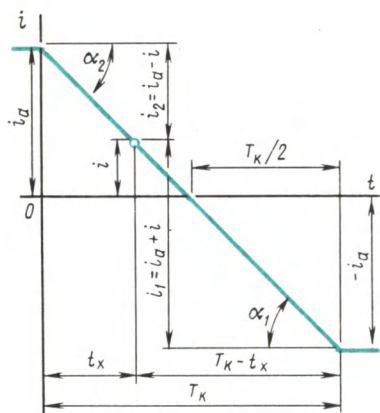


Рис. 27.2. График тока прямолинейной коммутации

Из построений, сделанных на рис. 27.2, следует, что к моменту времени, когда щетка теряет контакт со сбегающей пластиной, ток через эту пластину уменьшается до нуля. Таким образом, при прямолинейной коммутации пластина коллектора выходит из-под щетки без разрыва тока.

Изложенные свойства прямолинейной (идеальной) коммута-

ции — постоянство плотности тока под щеткой и выход пластины из-под щетки без разрыва тока — являются основными, и благодаря им этот вид коммутации не сопровождается искрением на коллекторе.

§ 27.3. Криволинейная замедленная коммутация

Период коммутации в современных машинах постоянного тока весьма мал и составляет приблизительно $10^{-3}—10^{-5}$ с. При этом средняя скорость изменения тока в коммутирующей секции $(di/dt)_{\text{ср}} = 2i_a/T_k$ очень велика, что приводит к появлению в коммутирующей секции ЭДС самоиндукции

$$e_L = -L_c(di/dt), \quad (27.5)$$

где L_c — индуктивность секции; i — ток в коммутирующей секции.

Обычно в каждом пазу якоря находится несколько пазовых сторон (не менее двух), принадлежащих разным секциям. При этом если шаг обмотки полный ($y_1 = \tau$), то все эти секции одновременно находятся в состоянии коммутации, будучи замкнутыми разными щетками (рис. 27.3, а). Обычно ширина щетки больше коллекторного деления и каждая щетка замыкает одновременно несколько секций. Так как пазовые части коммутирующих секций лежат в одних пазах, то изменяющийся магнитный поток каждой из этих частей наводит в пазовых частях других секций ЭДС взаимной индукции

$$e_M = -M_c(di/dt), \quad (27.6)$$

где M_c — взаимная индуктивность одновременно коммутирующих секций.

Обе ЭДС создают в коммутирующей секции *реактивную (результатирующую) ЭДС*

$$e_p = e_L + e_M = -(L_c + M_c)(di/dt), \quad (27.7)$$

которая препятствует изменению тока в коммутирующей секции. Кроме того, под влиянием реакции якоря магнитная индукция в зоне коммутации (на геометрической нейтрали) приобретает некоторое значение B_k (см. рис. 26.4, в), под действием которой в коммутирующей секции наводится ЭДС вращения

$$e_{вр} = B_k 2l\omega_c v, \quad (27.8)$$

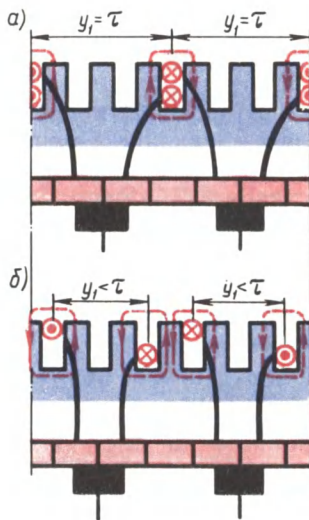


Рис. 27.3. Магнитная связь одновременно коммутирующих секций:

а — при полном шаге ($y_1 = \tau$),
б — при укороченном шаге обмотки якоря ($y_1 < \tau$)

где l — длина пазовых частей секции; ω_c — число витков в секции; v — линейная скорость движения секции.

Электродвижущая сила вращения в отличие от реактивной ЭДС может иметь разное направление в зависимости от полярности внешнего магнитного поля в зоне коммутации. Если машина не имеет добавочных полюсов, то ЭДС вращения направлена согласованно с реактивной ЭДС. В этом случае в контуре коммутирующей секции действует сумма ЭДС

$$\Sigma e = e_p + e_{вр}. \quad (27.9)$$

С учетом изложенного уравнение по второму закону Кирхгофа для коммутирующей секции замкнутой щеткой имеет вид

$$i_1 r_1 - i_2 r_2 = \Sigma e, \quad (27.10)$$

или с учетом (27.3) запишем выражение тока в коммутирующей секции при криволинейной замедленной коммутации:

$$i = [i_a(r_2 - r_1)/(r_2 + r_1)] + [\Sigma e/(r_2 + r_1)]. \quad (27.11)$$

Первое слагаемое правой части полученного выражения представляет собой ток прямолинейной коммутации [см. (27.3)]

$$i_{пр} = i_a(r_2 - r_1)/(r_2 + r_1). \quad (27.12)$$

Второе слагаемое правой части выражения (27.11) определяет значение дополнительного тока коммутации i_d , возникающего в контуре коммутирующей секции под действием ЭДС Σe :

$$i_d = \Sigma e/(r_2 + r_1). \quad (27.13)$$

Таким образом, ток в коммутирующей секции при криволинейной замедленной коммутации равен сумме двух составляющих:

$$i = i_{пр} + i_d. \quad (27.14)$$

Характер изменения тока $i_{пр}$ определяется графиком, показанным на рис. 27.2. Что же касается дополнительного тока коммутации i_d , то для определения характера его изменения за период коммутации необходимо предварительно выяснить, как меняются за период коммутации величины, определяющие этот ток, а именно ЭДС Σe и сумма сопротивлений $(r_2 + r_1)$.

Если в машине нет добавочных полюсов и магнитная индукция в зоне коммутации B_k невелика, то ЭДС Σe определяется главным образом реактивной ЭДС $e_p = -(L_c + M_c)(di/dt)$. При прямолинейном законе изменения тока $di/dt = \text{const}$, а следовательно, $\Sigma e = \text{const}$.

Закон изменения суммы сопротивлений $(r_1 + r_2)$ определяется выражением

$$r_2 + r_1 = \frac{RS_k}{v_k l_m} \left(\frac{1}{T_k - t} + \frac{1}{t} \right) = R \left(\frac{T_k}{T_k - t} + \frac{T_k}{t} \right), \quad (27.15)$$

где R — сопротивление переходного контакта «щетка-пластина», когда пластина коллектора полностью перекрыта щеткой и площадь ее переходного контакта равна S_k .

В начале ($t = 0$) и в конце ($t = T_k$) коммутации $r_2 + r_1 = \infty$; при $t = 0,5 T_k$ сумма сопротивлений $r_2 + r_1 = 4R$. На рис. 27.4, а представлен график $(r_2 + r_1) = f(t)$. Этому закону изменения суммы сопротивлений и постоянству ЭДС Σe соответствует кривая 1 изменения добавочного тока коммутации $i_d = f(t)$, представленная на рис. 27.4, б.

График изменения результирующего тока коммутации $i = i_{np} + i_d = f(t)$, полученный сложением ординат графиков тока прямолинейной коммутации $i_{np} = f(t)$ (см. рис. 27.2) и добавочного тока коммутации $i_d = f(t)$ (см. рис. 27.4, б, график 1), представлен на рис. 27.5. Криволинейный вид этого графика обусловлен криволинейностью графика $i_d = f(t)$. Физически это объясняется реактивным действием суммарной ЭДС Σe , наводимой в коммутирующей секции, препятствующим изменениям тока в этой секции от $+i_a$ в начале коммутации до $-i_a$ в ее конце. По этой причине в середине периода коммутации (точка а) ток в коммутирующей секции

$i_a = i_d$, т. е. он не равен нулю, как это имело место при прямолинейной коммутации (см. рис. 27.2), а равен добавочному току коммутации i_d , который в этот момент времени ($t = 0,5 T_k$) имеет наибольшее значение (см. рис. 27.4, б, график 1). Уменьшение тока i_a до нуля и изменение его направления наступают во второй половине периода коммутации в момент времени $t > 0,5 T_k$ (точка б), т. е. по сравнению с прямолинейной в рассматриваемом виде коммутации процесс изменения направления тока в коммутирующей секции затягивается во времени. В итоге график коммутации приобретает криволинейный вид. По этой причине такую коммутацию называют *криволинейной замедленной*. Характерный признак этого вида коммутации — неодинаковая плотность тока под щеткой в начале и в конце периода коммутации.

В этом можно убедиться, воспользовавшись построениями, сделанными на рис. 27.5, для момента времени $t = 0,5 T_k$.

Среднее значение плотности тока под набегającym краем щетки j_2 , имеющим контакт с пластиной 2 (рис. 27.6, а), меньше среднего значения плотности тока j_1 под сбегающим краем щетки, имеющим контакт с пластиной 1. С одной стороны, это объясняется тем, что $\text{tg} \alpha_2 < \text{tg} \alpha_1$ (см. рис. 27.5), а с другой стороны, тем, что при $t = 0,5 T_k$ токи, отходящие в обмотку якоря через пластины 1

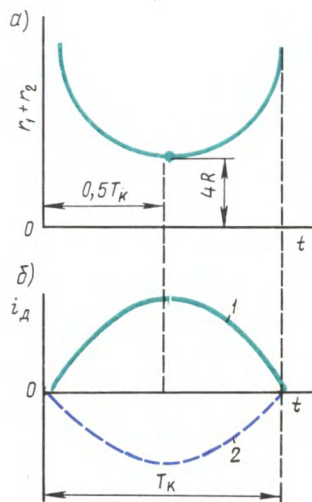


Рис 27.4 Графики изменения сопротивлений $(i_1 + i_2)$ и тока i_d

и 2, не равны: $i_2 < i_1$. При криволинейной замедленной коммутации площадь S_1 соприкосновения пластины 1 с щеткой уменьшается быстрее, чем ток $i_1 = i_a + i_d$, а поэтому плотность тока под сбегающим краем щетки повышается. К концу периода коммутации эта плотность тока достигает наибольшего значения $j \equiv \operatorname{tg} \alpha'_1$, где α'_1 соответствует $t \approx T_k$ (см. рис. 27.5).

При значительных нагрузках машины плотность тока под

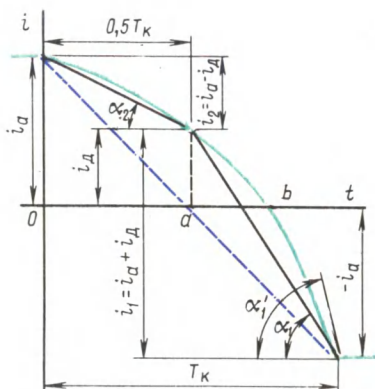


Рис 27.5 График тока криволинейной замедленной коммутации

сбегающим краем щетки может достигнуть недопустимо больших значений и вызвать искрение на коллекторе. Однако, как показывает опыт, возможно появление искрения и при небольших нагрузочных токах в цепи якоря. Это свидетельствует о том, что увеличение плотности тока под сбегающим краем щетки не единственная причина искрения на коллекторе. Искрение возникает также при размыкании замкнутой накоротко щеткой цепи коммутирующей секции при выходе сбегающей пластины коллектора из-под щетки. В момент размыкания коммутирующей секции с добавочным током коммутации накоплен-

ная в ней энергия магнитного поля (Дж)

$$W = 0,5 L_c i_d^2 \quad (27.16)$$

затрачивается на создание электрической дуги между сбегающим краем щетки и сбегающей коллекторной пластиной.

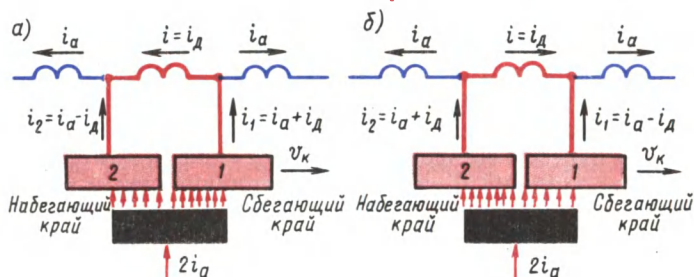


Рис 27.6 Распределение плотности тока под щеткой при криволинейной замедленной (а) и ускоренной (б) видах коммутации

Изложенные выше свойства криволинейной замедленной коммутации — повышение плотности тока под сбегающим краем щетки и выход сбегающей пластины из-под щетки с разрывом цепи тока коммутации — создают условия к возникновению искрения на коллекторе под сбегающими краями щеток.

§ 27.4. Способы улучшения коммутации

Основная причина неудовлетворительной коммутации в машинах постоянного тока — добавочный ток коммутации

$$i_d = \Sigma e / \Sigma r_k. \quad (27.17)$$

Здесь Σr_k — сумма электрических сопротивлений добавочному току коммутации i_d : сопротивления секции, мест пайки в петушках, переходного контакта между коллекторными пластинами и щеткой и собственно щетки.

Однако из перечисленных сопротивлений, входящих в Σr_k , наибольшее значение имеет сопротивление щетки и переходного контакта, поэтому, обозначив их $r_{щ}$, с некоторым приближением можно записать

$$i_d = \Sigma e / r_{щ}. \quad (27.18)$$

Из полученного выражения следует, что уменьшить ток i_d , а следовательно улучшить коммутацию, можно либо увеличением сопротивления $r_{щ}$, либо уменьшением суммарной ЭДС Σe в коммутирующей секции. Отсюда вытекает ряд способов улучшения коммутации, основные из которых рассмотрены ниже.

Выбор щеток. С точки зрения обеспечения удовлетворительной коммутации целесообразнее применять щетки с большим переходным падением напряжения в переходном контакте и собственно щетке, т. е. щетке с большим сопротивлением $r_{щ}$. Однако допустимая плотность тока в щеточном контакте этих щеток невелика, а поэтому их применение в машинах со значительным рабочим током ведет к необходимости увеличения площади щеточного контакта, что требует увеличения площади коллектора за счет его длины. Это привело бы к увеличению габаритов машины и дополнительному расходу меди. Поэтому щетки с большим $r_{щ}$ применяют преимущественно в машинах с относительно высоким напряжением, а следовательно, и с небольшим рабочим током.

Щетки для электрических машин разделяют на четыре группы, различающиеся составом, способом изготовления и характеристиками (табл. 27.1). Выбирают щетки в соответствии с рекомендациями, выработанными на основании многолетнего опыта проектирования и эксплуатации электрических машин. Наибольшее применение в машинах постоянного тока напряжением 110—440 В имеют электрографитированные щетки.

Увеличению переходного сопротивления щеточного контакта, а следовательно улучшению коммутации, способствует **политур** коллектора — тонкая оксидная пленка на поверхности коллектора, обладающая повышенным электрическим сопротивлением.

Уменьшение реактивной ЭДС. Существенное влияние на суммарную ЭДС в коммутирующей секции оказывает реактивная ЭДС $e_p = e_L + e_M$. ЭДС взаимной индукции e_M в значительной степени зависит от ширины щетки: чем шире щетка, тем большее число

коллекторных пластин перекрывает она одновременно, а следовательно, тем больше секций одновременно коммутруется, что вызывает повышение ЭДС взаимоиндукции e_M . Однако слишком узкие щетки также нежелательны из-за недостаточной механической прочности, а также потому, что для создания необходимой

Т а б л и ц а 27.1

Группа щеток, обозначение	Переходное падение напряжения на пару щеток при номинальном токе, В	Номинальная плотность тока, А/мм ²	Область применения
Графитовые Г; 611М	1,9—2,0	0,11—0,12	Для машин с облегченными условиями коммутации
Электрографитированные ЭГ	2,0—2,7	0,10—0,15	Для машин со средними и затрудненными условиями коммутации и для контактных колец
Угольно-графитовые УГ; Т	2,0	0,06—0,07	Для машин со средними условиями коммутации
Медно-графитовые М; МГ	0,2—1,5	0,15—0,20	Для низковольтных (до 48 В) машин и контактных колец

площади контактной поверхности в узкой щетке пришлось бы увеличить ее длину, а это привело бы к необходимости увеличения длины коллектора. Наиболее целесообразны щетки шириной в 2—3 коллекторных деления.

Заметное влияние на реактивную ЭДС оказывает тип обмотки якоря. Так, если обмотку якоря выполнить с укороченным шагом ($y_1 < \tau$), то активные стороны одновременно коммутирующих секций окажутся в разных пазах (см. рис. 27.3, б), что будет способствовать уменьшению ЭДС взаимоиндукции. Реактивная ЭДС может быть ослаблена уменьшением индуктивности секций L_c . Для этого не следует применять в обмотке якоря секции с большим числом витков ($L_c \equiv \omega_c^2$) и полузакрытые пазы. Однако осуществление этих мероприятий привело бы к созданию громоздких и неэкономичных машин. Поэтому при проектировании машин постоянного тока выбор указанных параметров связывают со стремлением получить компактную и экономичную машину. Что же касается реактивной ЭДС, то она может быть в значительной степени уменьшена или даже полностью устранена созданием в зоне коммутации (по оси щеток) коммутирующего поля определенной полярности и величины. Создается такое поле добавочными полюсами или сдвигом щеток с геометрической нейтралю.

Добавочные полюсы. Назначение добавочных полюсов — создать в зоне коммутации магнитное поле такой величины и

направления, чтобы наводимая этим полем в коммутирующей секции ЭДС вращения $e_{вр}$ компенсировала реактивную ЭДС e_p . В машине постоянного тока без принятия мер по улучшению коммутации ЭДС e_p и $e_{вр}$ направлены в одну сторону, т. е. действуют согласно:

$$\Sigma e = \vec{e}_p + \vec{e}_{вр}.$$

Суммарная ЭДС в коммутирующей секции Σe окажется равной нулю, если посредством добавочных полюсов создать в зоне коммутации магнитное поле с магнитной индукцией B_k такой величины и направления, чтобы ЭДС вращения $e_{вр}$ изменила свое направление на обратное [см. (27.8)], а значение ее было бы равно ЭДС реактивной e_p . В этом случае

$$\Sigma e = \vec{e}_p + \vec{e}_{вр} = 0$$

и коммутация становится прямолинейной (идеальной).

Добавочные полюсы располагают между главными. При этом щетки устанавливают на геометрической нейтрالي.

Все машины постоянного тока мощностью свыше 1 кВт снабжаются добавочными полюсами, число которых принимают равным числу главных полюсов или же вдвое меньшим. Наличие добавочных полюсов позволяют увеличить линейную нагрузку машины и при заданной мощности получить машину меньшего веса и габаритов.

Число витков обмотки добавочных полюсов выбирают таким, чтобы МДС добавочных полюсов компенсировала МДС якоря по поперечной оси в зоне коммутации и имела некоторый избыток, необходимый для создания коммутирующего поля с индукцией B_k , направленного противоположно полю реакции якоря (рис. 27.7). Исходя из этого, МДС добавочного полюса для некомпенсированных машин постоянного тока принимают равной (А)

$$F_d = k_d F_a, \quad (27.19)$$

где $k_d = F_d / F_a$ — коэффициент, учитывающий требуемое превышение МДС обмотки добавочного полюса F_d над МДС якоря F_a [см. (26.6)]. Для машин постоянного тока современных серий этот коэффициент принимают равным $k_d = 1,20 \div 1,45$.

Если машина снабжена компенсационной обмоткой, то МДС добавочных полюсов следует уменьшить на величину МДС компенсационной обмотки $F_{ко}$. Обычно в компенсированных машинах постоянного тока МДС добавочных полюсов на 15—30 % больше МДС якоря.

Если МДС добавочных полюсов сделать больше требуемого значения [см. (27.19)], то ЭДС вращения $e_{вр}$ станет больше реактивной ЭДС. В этом случае суммарная ЭДС Σe изменит свой знак, а добавочный ток коммутации — свое направление на противоположное по сравнению с тем, какое он имел при криволинейной замедленной коммутации (см. рис. 27.4, б, кривая 2).

График изменения результирующего тока коммутации $i =$

$= i_a + i_d$ в этом случае принимает вид, представленный на рис. 27.8, т. е. коммутация становится *криволинейной ускоренной*, так как ток в коммутирующей секции достигает нулевого значения за время $T < 0,5 T_k$ (точка *b*). Для криволинейной ускоренной коммутации характерно повышение плотности тока под набегающим краем щетки (см. рис. 27.6, б). Объясняется это тем, что при этом виде коммутации площадь соприкосновения пластины 2 с щеткой нарастает медленнее, чем увеличивается ток $i_2 = i_a + i_d$. Наибольшее значение плотности тока $j'_2 \equiv \text{tg} \alpha'_2$ соответствует

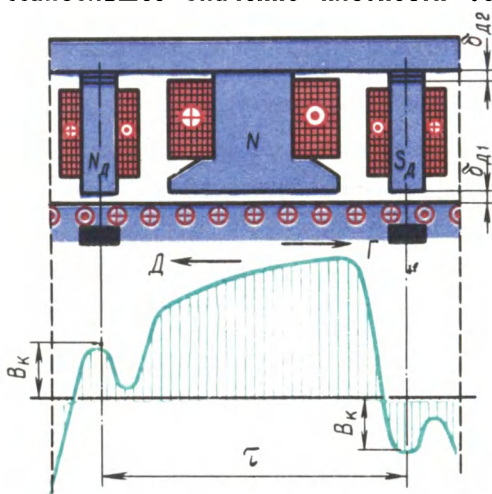


Рис. 27.7. Результирующее магнитное поле в воздушном зазоре машины с добавочными полюсами в генераторном (Г) и двигательном (Д) режимах

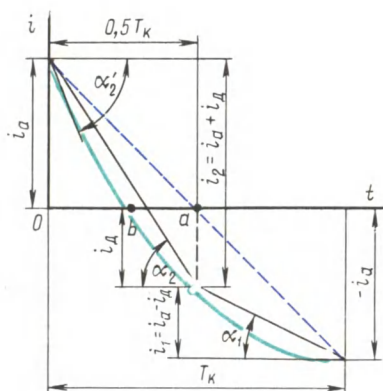


Рис. 27.8. График тока криволинейной ускоренной коммутации

началу периода коммутации ($t \approx 0$). При значительных нагрузках это может привести к искрению под набегающим краем щетки. Это объясняется тем, что при ускоренной коммутации выход сбегущей пластины из-под щетки происходит с разрывом цепи добавочного тока коммутации, который имеет направление, противоположное току замедленной коммутации.

Для обеспечения компенсации реактивной ЭДС при различных нагрузках машины обмотку добавочных полюсов включают последовательно с обмоткой якоря. В этом случае МДС добавочных полюсов F_d при различных нагрузках машины изменяется пропорционально току якоря I_a , т. е. пропорционально МДС якоря F_a .

Полярность добавочного полюса в генераторе должна быть такой же, как и у следующего по направлению вращения главного полюса, а в двигателе — как у предыдущего полюса (рис. 27.9).

Добавочные полюсы обеспечивают удовлетворительную коммутацию в машине только

в пределах номинальной нагрузки. При перегрузке машины происходит насыщение магнитной цепи добавочных полюсов. В этом случае реактивная ЭДС e_p изменяется пропорционально току нагрузки, а рост ЭДС внешнего поля из-за насыщения магнитной цепи несколько задерживается (рис. 27.10). В результате в коммутационной секции появляется суммарная ЭДС $\Sigma e = e_p - e_k$, т. е. коммутация становится замедленной. Насыщению сердечников добавочных полюсов способствует магнитный поток рассеяния $\Phi_{\text{дс}}$, замыкающийся через сердечники смежных главных

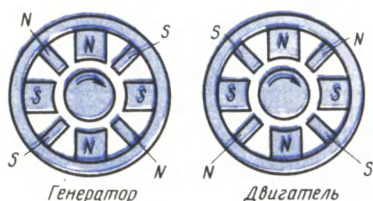


Рис. 27.9. Полярность добавочных полюсов при работе машины в генераторном и двигательном режимах

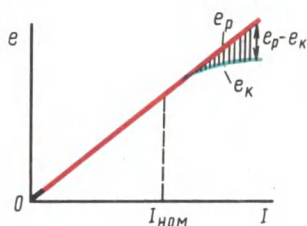


Рис. 27.10. График изменения ЭДС в коммутационной секции в зависимости от тока нагрузки

полюсов и станину (рис. 27.11). В целях уменьшения магнитного потока рассеяния, а следовательно, обеспечения более линейной зависимости потока добавочных полюсов от тока нагрузки воздушный зазор добавочного полюса δ_d разделяют на два: один — между сердечником полюса и якорем δ_{d1} , а другой — между сердечником полюса и станиной δ_{d2} (см. рис. 27.7). В этом случае зазор δ_{d2} ограничит значение потока $\Phi_{\text{дс}}$. Зазор δ_{d2} создается пакетом немагнитных прокладок, закладываемых между сердечником полюса и станиной.

Получение коммутационного поля смещением щеток. В машинах постоянного тока мощностью до 1 кВт, выполняемых без добавочных полюсов, коммутационное поле в зоне коммутации создается смещением щеток с геометрической нейтрали.

Если щетки установлены на геометрической нейтрали (рис. 27.12, а), то поперечное магнитное поле якоря с магнитной индукцией B_{aq} создает в зоне коммутации индукцию B_k (рис. 27.12, б). В результате в коммутационных секциях наводится ЭДС вращения $e_{вр}$, направленная со-

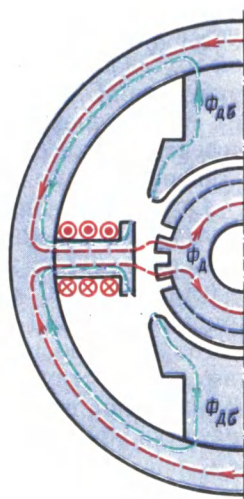


Рис. 27.11. К понятию о потоке рассеяния добавочных полюсов

гласованно с реактивной ЭДС e_p и способствующая замедленной коммутации. При сдвиге щеток на физическую нейтраль tm' коммутующее поле с индукцией B_k исчезает и ЭДС вращения $e_{вр}=0$. При этом в коммутующих секциях наводится лишь реактивная ЭДС e_p . Если же щетки сдвинуть на угол β , т. е. за физическую нейтраль tm' (линия cc'), то коммутующее поле с индукцией B'_k изменит свое направление относительно направления при положении щеток на геометрической нейтральной. Это поле будет наво-

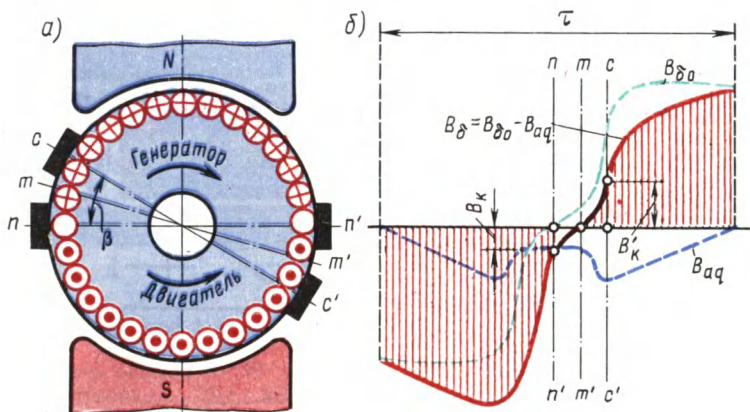


Рис. 27.12. Создание коммутующего поля сдвигом щеток

дуть в коммутующих секциях ЭДС вращения, равную реактивной ЭДС и противоположную ей по направлению ($e_{вр} - e_p = 0$), т. е. реактивная ЭДС окажется скомпенсированной и коммутация станет прямолинейной (идеальной). Для получения необходимого эффекта щетки следует смещать в направлении вращения якоря у генераторов или против вращения якоря у двигателей.

Описанный способ улучшения коммутации имеет следующие недостатки: а) коммутующее поле изменяется не пропорционально нагрузке машины, что исключает полную компенсацию реактивной ЭДС во всем диапазоне нагрузок, так как для этого пришлось бы при каждом изменении нагрузки менять положение щеток (обычно щетки устанавливают в фиксированное положение, соответствующее полной компенсации реактивной ЭДС при номинальной нагрузке); б) при смещении щеток с геометрической нейтральной усиливается размагничивающее действие реакции якоря (см. рис. 26.5); в) для реверсируемых машин смещение щеток с геометрической нейтральной недопустимо, так как требуемое направление смещения физической нейтральной меняется с изменением направления вращения якоря.

§ 27.5. Круговой огонь по коллектору

При значительных перегрузках или внезапном коротком замыкании машины постоянного тока коммутация приобретает резко замедленный характер. В этом случае между сбегающей коллекторной пластиной и сбегающим краем щетки возникает электрическая дуга. Так как коллектор вращается, то дуга механически растягивается (рис. 27.13, а). Наряду с этим перегрузка машины сопровождается усилением реакции якоря, под действием которой распределение индукции в воздушном зазоре машины становится неравномерным (см. рис. 26.4, в). В результате напряжение между соседними коллекторными пластинами увеличивается, превышая допустимые пределы (см. § 25.5). Это, с одной стороны, может привести к возникновению электрических дуг между смежными пластинами, а с другой стороны, появление высокого потенциала на некоторых пластинах вызывает резкое повышение напряжения между щеткой и коллекторными пластинами по мере их удаления от сбегающего края щетки. Все это создает условия для возникновения электрической дуги между щеткой и коллекторными пластинами.

Таким образом, в условиях значительной перегрузки в машине постоянного тока появляются коммутационные и потенциальные причины для возникновения электрической дуги на коллекторе. При этом электрические дуги, вызванные коммутационными причинами, сливаются с дугами, вызванными потенциальными причинами, образуя вокруг коллектора мощную электрическую дугу, которая может перекинуться также и на корпус машины. Описанное явление называется *круговым огнем по коллектору*. Круговой огонь очень опасен, так как может привести к тяжелой аварии машины, включая возникновение в машине пожара.

Добавочные полюсы и компенсационная обмотка хотя и ослабляют опасность возникновения кругового огня, но полностью ее не устраняют. Поэтому для защиты обмотки якоря от повреждения электрической дугой в случае возникновения кругового огня в электрических машинах, работающих в условиях частых перегрузок, между коллектором и обмоткой на якоре устанавливают изолирующий экран. В некоторых машинах применяют воздушное дутье, сдувающее дугу в сторону подшипника, защищенного теплостойкой изоляционной перегородкой. Для создания препятствия на пути распространения дуги между щетками разной полярности устанавливают барьеры из изоляционного материала (рис. 27.13, б).

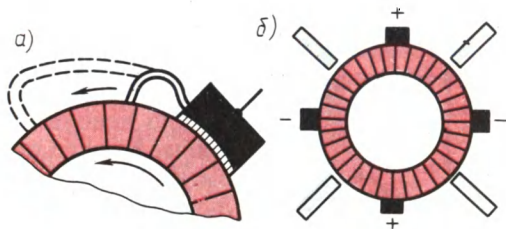


Рис. 27.13. Растяжение электрической дуги на вращающемся коллекторе (а) и расположение барьеров между щетками (б)

§ 27.6. Радиопомехи от коллекторных машин и способы их подавления

При неудовлетворительной коммутации коллекторная машина становится источником радиопомех, ухудшающих качество радиоприема, а иногда делающих его невозможным, поэтому уровень промышленных радиопомех не должен превышать значений, определяемых действующими нормами.

Радиопомехи распространяются двумя путями: по эфиру (электромагнитное излучение) и через электросеть. Для подавления помех, распространяемых по эфиру, электрические машины экранируют. В качестве экрана используют заземленный корпус машины. Если со стороны коллектора в машине имеются окна, то их следует закрыть металлическим колпаком или сеткой, обеспечив им надежный контакт с корпусом машины.

Для подавления помех, проникающих от машины в сеть, применяют *симметрирование обмоток и включение фильтров*. Симметрирование обмоток состоит в том, что каждую обмотку, включенную последовательно в цепь якоря, разделяют на две равные части и присоединяют симметрично к щеткам разной полярности. Применение фильтров — основной способ подавления радиопомех. Для большинства машин достаточно установить

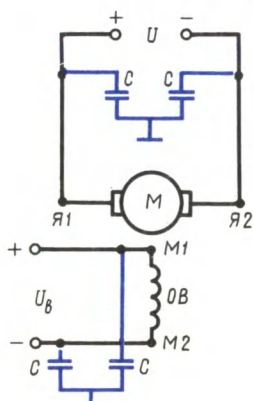


Рис. 27.14. Схема включения помехозащитного фильтра

емкостный фильтр в виде конденсаторов, включаемых между каждым токонесущим проводом и корпусом машины (рис. 24.14). Значение емкости конденсаторов подбирают опытным путем, при этом они должны быть рассчитаны на рабочее напряжение машины. Для фильтров предпочтительны *проходные* конденсаторы типа КБП, у которых одним из зажимов является металлическая оболочка, прикрепляемая непосредственно к корпусу машины.

Контрольные вопросы

1. Какие причины могут вызвать искрение на коллекторе?
2. Какие степени искрения предусмотрены ГОСТом? Дайте каждой из них характеристику и укажите условия допустимости.
3. Почему прямолинейная коммутация не сопровождается искрением?
4. Какие причины, вызывающие искрение, возникают при замедленной коммутации?
5. Объясните назначение и устройство добавочных полюсов
6. Каковы причины, способные вызвать круговой огонь по коллектору?
7. Как можно снизить уровень радиопомех в коллекторной машине?

§ 28.1. Основные понятия

В процессе работы генератора постоянного тока в обмотке якоря индуцируется ЭДС E_a [см. (25.20)] При подключении к генератору нагрузки в цепи якоря возникает ток, а на выводах генератора устанавливается напряжение, определяемое уравнением напряжений для цепи якоря генератора:

$$U = E_a - I_a \Sigma r. \quad (28.1)$$

Здесь

$$\Sigma r = r_a + r_d + r_{ко} + r_c + r_{щ} \quad (28.2)$$

— сумма сопротивлений всех участков цепи якоря: обмотки якоря r_a , обмотки добавочных полюсов r_d , компенсационной обмотки $r_{ко}$, последовательной обмотки возбуждения r_c и переходного щеточного контакта $r_{щ}$.

При отсутствии в машине каких-либо из указанных обмоток в (28.2) не входят соответствующие слагаемые.

Якорь генератора приводится во вращение приводным двигателем, который создает на валу генератора вращающий момент M_1 . Если генератор работает в режиме х.х. ($I_a = 0$), то для вращения его якоря нужен сравнительно небольшой момент холостого хода M_0 . Этот момент обусловлен тормозными моментами, возникающими в генераторе при его работе в режиме х.х.: моментами от сил трения и вихревых токов в якоре.

При работе нагруженного генератора в проводах обмотки якоря появляется ток, который, взаимодействуя с магнитным полем возбуждения, создает на якоре электромагнитный момент M [см. (25.24)]. В генераторе этот момент направлен встречно вращающему моменту приводного двигателя $ПД$ (рис. 28.1), т. е. он является нагрузочным (тормозящим).

При неизменной частоте вращения ($n = \text{const}$) вращающий момент приводного двигателя M_1 уравновешивается суммой противодействующих момен-

тов: моментом х. х. M_0 и электромагнитным моментом M , т. е.

$$M_1 = M_0 + M. \quad (28.3)$$

Выражение (28.3) — *уравнение моментов для генератора при $n = \text{const}$* . Умножив члены уравнения (28.3) на угловую скорость вращения якоря ω , получим *уравнение мощностей*:

$$P_1 = P_0 + P_{эм}, \quad (28.4)$$

где $P_1 = M_1\omega$ — подводимая от приводного двигателя к генератору мощность (механическая); $P_0 = M_0\omega$ — мощность х. х., т. е. мощность, подводимая к генератору в режиме х. х. (при отключенной нагрузке); $P_{эм} = M\omega$ — электромагнитная мощность генератора.

Согласно (25.27), получим

$$P_{эм} = EaI_a,$$

или с учетом (28.1)

$$P_{эм} = UI_a + I_a^2 \Sigma r = P_2 + P_{эа}, \quad (28.5)$$

где P_2 — полезная мощность генератора (электрическая), т. е. мощность, отдаваемая генератором нагрузке; $P_{эа}$ — мощность потерь на нагрев обмоток и щеточного контакта в цепи якоря (см. § 29.8).

Учитывая потери на возбуждение генератора $P_{эв}$, получим уравнение мощностей для генератора постоянного тока:

$$P_1 = P_2 + P_0 + P_{эа} + P_{эв}. \quad (28.6)$$

Следовательно, механическая мощность, развиваемая приводным двигателем P_1 , преобразуется в генераторе в полезную электрическую мощность P_2 , передаваемую нагрузке, и мощность, затрачиваемую на покрытие потерь ($P_0 + P_{эа} + P_{эв}$).

Так как генераторы обычно работают при неизменной частоте вращения, то их характеристики рассматривают при условии $n = \text{const}$. Рассмотрим основные характеристики генераторов постоянного тока.

Характеристика холостого хода — зависимость напряжения на выходе генератора в режиме х. х. U_0 от тока возбуждения I_b :

$$U_0 = f(I_b) \text{ при } I = 0 \text{ и } n = \text{const}.$$

Нагрузочная характеристика — зависимость напряжения на выходе генератора U при работе с нагрузкой от тока возбуждения I_b :

$$U = f(I_b) \text{ при } I \neq 0 \text{ и } n = \text{const}.$$

Внешняя характеристика — зависимость напряжения на выходе генератора U от тока нагрузки I :

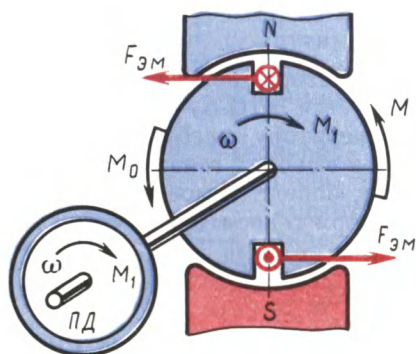


Рис. 28.1. Моменты, действующие в генераторе постоянного тока

$$U = f(I) \text{ при } r_{\text{пр}} = \text{const и } n = \text{const},$$

где $r_{\text{пр}}$ — регулировочное сопротивление в цепи обмотки возбуждения.

Регулировочная характеристика — зависимость тока возбуждения $I_{\text{в}}$ от тока нагрузки I при неизменном напряжении на выходе генератора:

$$I_{\text{в}} = f(I) \text{ при } U = \text{const и } n = \text{const}.$$

Вид перечисленных характеристик определяет рабочие свойства генераторов постоянного тока.

§ 28.2. Генератор независимого возбуждения

Схема включения генератора независимого возбуждения показана на рис. 28.2, а. Реостат $r_{\text{пр}}$, включенный в цепь возбуждения, дает возможность регулировать ток $I_{\text{в}}$ в обмотке возбуждения, а следовательно, и основной магнитный поток машины. Обмотка возбуждения питается от источника энергии постоянного тока: аккумулятора, выпрямителя или же другого генератора постоянного тока, называемого в этом случае *возбудителем*.

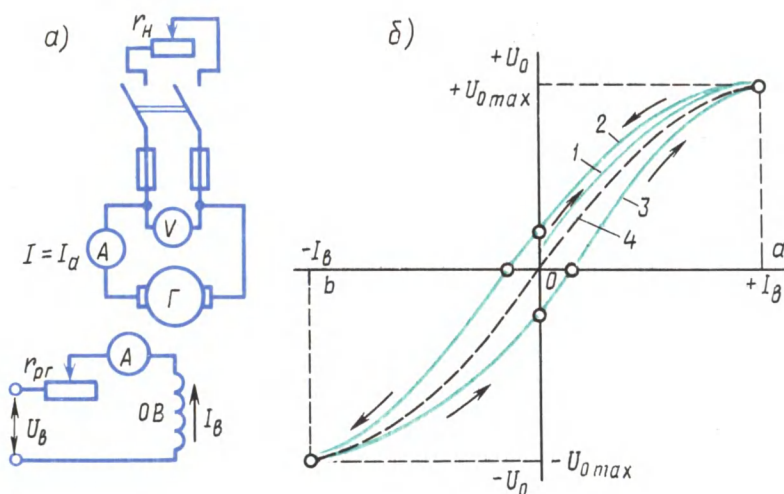


Рис. 28.2. Принципиальная схема (а) и характеристики х.х. (б) генератора независимого возбуждения

Характеристика холостого хода. При снятии характеристики $U_0 = f(I_{\text{в}})$ генератор работает в режиме х.х. ($I_{\text{а}} = 0$). Установив номинальную частоту вращения и поддерживая ее неизменной, постепенно увеличивают ток в обмотке возбуждения $I_{\text{в}}$ от нулевого значения до $+I_{\text{в}} = 0_{\text{а}}$, при котором напряжение х.х. $U_0 = 1,15U_{\text{ном}}$. Получают данные для построения кривой 1 (рис.

28.2, б). Начальная ордината кривой 1 не равна нулю, что объясняется действием небольшого магнитного потока остаточного магнетизма, сохранившегося от предыдущего намагничивания машины. Уменьшив ток возбуждения до нуля и изменив его направление, постепенно увеличивают ток в цепи возбуждения до $-I_b = Ob$. Полученная таким образом кривая 2 называется *нисходящей ветвью характеристики*. В первом квадранте кривая 2 располагается выше кривой 1. Объясняется это тем, что в процессе снятия кривой 1 произошло увеличение магнитного потока остаточного намагничивания. Далее опыт проводят в обратном направлении, т. е. уменьшают ток возбуждения от $-I_b = Ob$ до $I_b = 0$, а затем увеличивают его до значения $+I_b = Oa$. В результате получают кривую 3, называемую *восходящей ветвью характеристики* х.х. Нисходящая и восходящая ветви характеристики х.х. образуют петлю намагничивания. Проведя между кривыми 2 и 3 среднюю линию 4, получим расчетную характеристику х.х.

Прямолинейная часть характеристики х.х. соответствует ненасыщенной магнитной системе машины. При дальнейшем увеличении тока сталь машины насыщается и характеристика приобретает криволинейный характер. Зависимость $U_0 = f(I_b)$ повторяет в другом масштабе магнитную характеристику машины (см. § 26.1) и дает возможность судить о магнитных свойствах машины.

Нагрузочная характеристика генератора. Эта характеристика выражает зависимость напряжения U на выходах генератора от тока возбуждения I_b при неизменных токе нагрузки, например номинальном, и частоте вращения. При указанных условиях напряжение на выводах генератора меньше ЭДС [см. (28.1)], поэтому нагрузочная характеристика 1 располагается ниже характеристики холостого хода 2 (рис. 28.3). Если из точки a , соответствующей номинальному напряжению $U_{ном}$, отложить вверх отрезок ab , равный $I_a \Sigma r$, и провести горизонтально отрезок bc до пересечения с характеристикой х.х., а затем соединить точки a и c , то получим abc — *треугольник реактивный (характеристический)*.

Так, при работе генератора в режиме х.х. при токе возбуждения $I_{b1} = I_{b ном}$ напряжение на выходах $U_0 = de$; с подключением нагрузки (при неизменном токе возбуждения) напряжение генератора снизится до значения $U_{ном} = ae$. Таким образом, отрезок da выражает значение напряжения $\Delta U = U_0 - U_{ном}$ при $I_{b1} = I_{b ном}$. Напряжение на выходах генератора в этом случае уменьшилось в результате действия двух причин: падения напряжения в цепи якоря [см. (28.1)] и размагничивающего влияния реакции якоря. Измерив значение сопротивления цепи якоря и подсчитав падение напряжения $I_a \Sigma r$, можно определить ЭДС генератора при заданном токе нагрузки: $E_a = U + I_a \Sigma r$. На рис. 28.3 эта ЭДС представлена отрезком be . Электродвижущая сила генератора при нагрузке меньше, чем в режиме х.х. ($be < de$),

что объясняется размагничивающим влиянием реакции якоря. Для количественной оценки этого влияния из точки c опускаем перпендикуляр на ось абсцисс. Полученный отрезок cf представляет собой ЭДС генератора при нагрузке; в режиме х.х. для создания этой ЭДС необходим ток возбуждения $I_{в2} < I_{в1}$. Следовательно, отрезок fe , равный разности токов возбуждения $I_{в1} - I_{в2}$, представляет собой ток возбуждения, компенсирующий размагничивающее влияние реакции якоря.

Катеты реактивного треугольника количественно определяют причины, вызывающие уменьшение напряжения генератора при его нагрузке: падение напряжения в цепи якоря определяет катет

$$ab = I_a \Sigma r \quad (28.7)$$

ток возбуждения $I_{в1} - I_{в2}$, компенсирующий размагничивающее действие реакции якоря, определяет катет

$$bc = I_{в1} - I_{в2} = \frac{2F_{qd} + F_{ad}}{2\omega_{пк}}, \quad (28.8)$$

где F_{qd} и F_{ad} — величины, определяющие размагничивающее действие реакции якоря по поперечной и продольной осям (см. § 26.2); $\omega_{пк}$ — число витков в полюсной катушке обмотки возбуждения.

Реактивный треугольник $a'b'c'$ построен для другого значения тока возбуждения $I_{в3}$. Сторона $a'b'$ треугольника осталась неизменной ($a'b' = ab$), что объясняется неизменностью тока нагрузки, но сторона $b'c'$ уменьшилась ($b'c' < bc$), так как при меньшем токе возбуждения уменьшилась степень насыщения магнитной цепи генератора, а следовательно, и размагничивающее действие реакции якоря.

Внешняя характеристика генератора. Эта характеристика представляет собой зависимость напряжения U на выводах генератора от тока нагрузки I . При снятии данных для построения внешней характеристики генератор приводят во вращение с номинальной скоростью и нагружают его до номинального тока при номинальном напряжении. Затем, постепенно уменьшая нагрузку вплоть до х. х. ($I = 0$), снимают показания приборов. Сопротивление цепи возбуждения r_b и частоту вращения в течение опыта поддерживают неизменными.

На рис. 28.4, а представлена внешняя характеристика генератора независимого возбуждения, из которой видно, что при увеличении тока нагрузки I напряжение на выводах генератора понижается; это объясняется размагничивающим влиянием реакции якоря и падением напряжения в цепи якоря. Наклон внеш-

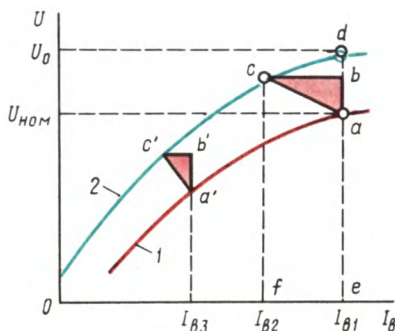


Рис 28.3. Нагрузочная характеристика генератора независимого возбуждения

ней характеристики к оси абсцисс (жесткость внешней характеристики) оценивается номинальным изменением напряжения генератора при сбросе нагрузки:

$$\Delta U_{\text{ном}} = \frac{U_0 - U_{\text{ном}}}{U_{\text{ном}}} \cdot 100 \%. \quad (28.9)$$

Обычно для генератора независимого возбуждения $\Delta U_{\text{ном}} = 5 \div 10 \%$.

Регулировочная характеристика генератора. Характеристика $I_{\text{в}} = f(I)$ показывает, как следует менять ток в цепи возбуждения, чтобы при изменениях нагрузки генератора напряжение на его выводах оставалось неизменным, равным номинальному. При этом частота вращения сохраняется постоянной ($n = \text{const}$).

При работе генератора без нагрузки в цепи возбуждения устанавливают ток $I_{\text{в}0}$, при котором напряжение на выводах генератора становится равным номинальному. Затем постепенно увеличивают нагрузку генератора, одновременно повышают ток возбуждения таким образом, чтобы напряжение генератора во всем диапазоне нагрузок оставалось равным номинальному. Так получают восходящую ветвь характеристики (кривая 1 на рис. 28.4, б). Постепенно уменьшая нагрузку генератора до х.х. и регулируя соответствующим образом ток возбуждения, получают нисходящую ветвь характеристики (кривая 2 на рис. 28.4, б). Нисходящая ветвь регулировочной характеристики расположена ниже восходящей, что объясняется влиянием возросшего остаточного намагничивания магнитной цепи машины в процессе снятия восходящей ветви. Среднюю кривую 3, проведенную между восхо-

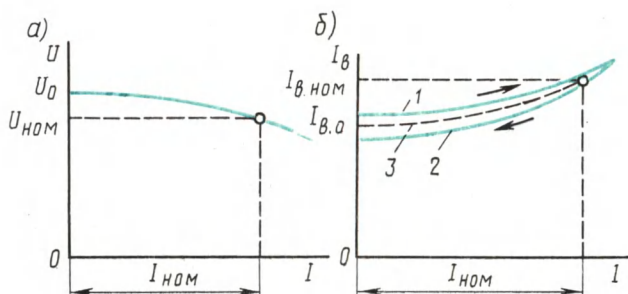


Рис. 28.4. Внешняя (а) и регулировочная (б) характеристики генератора независимого возбуждения

дющей и нисходящей ветвями, называют *практической регулировочной характеристикой генератора*.

Основной недостаток генераторов независимого возбуждения — это необходимость в постороннем источнике энергии постоянного тока — возбудителе. Однако возможность регулирования напряжения в широких пределах, а также сравнительно

жесткая внешняя характеристика этого генератора являются его достоинствами.

§ 28.3. Генератор параллельного возбуждения

Принцип самовозбуждения генератора постоянного тока основан на том, что магнитная система машины, будучи намагниченной, сохраняет длительное время небольшой магнитный поток остаточного магнетизма сердечников полюсов и станины $\Phi_{\text{ост}}$ (порядка 2—3 % от полного потока). При вращении якоря поток $\Phi_{\text{ост}}$ индуцирует в якорной обмотке ЭДС $E_{\text{ост}}$, под действием кото-

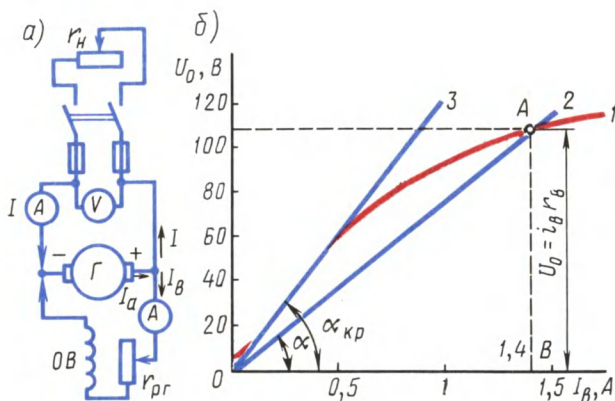


Рис 28.5. Принципиальная схема (а) и характеристика х. х. (б) генератора параллельного возбуждения

рой в обмотке возбуждения возникает небольшой ток $I_{\text{в.ост.}}$. Если МДС обмотки возбуждения $I_{\text{в.ост.}} w_{\text{в}}$ имеет такое же направление, как и поток, то она увеличивает поток главных полюсов. Это, в свою очередь, вызывает увеличение ЭДС генератора, отчего ток возбуждения вновь увеличится. Так будет продолжаться до тех пор, пока напряжение генератора не будет уравновешено падением напряжения в цепи возбуждения, т. е. $I_{\text{в}} r_{\text{в}} = U_0$.

На рис. 28.5, а показана схема включения генератора параллельного возбуждения, на рис. 28.5, б — характеристика х.х. генератора (кривая 1) и зависимость падения напряжения от тока возбуждения $I_{\text{в}} r_{\text{в}} = f(I_{\text{в}})$ (прямая 2). Точка пересечения А соответствует окончанию процесса самовозбуждения, так как именно в ней $U_0 = I_{\text{в}} r_{\text{в}}$.

Угол наклона прямой ОА к оси абсцисс определяется из треугольника ОАВ:

$$\frac{m_u}{m_i} \operatorname{tg} \alpha = \frac{U_0}{I_{\text{в}}} = r_{\text{в}}, \quad (28.10)$$

где m_i — масштаб тока (по оси абсцисс), А/мм; m_u — масштаб напряжения (по оси ординат), В/мм.

Из (28.10) следует, что угол наклона прямой $I_{\text{в}} r_{\text{в}} = f(I_{\text{в}})$ к оси абсцисс прямо пропорционален сопротивлению цепи возбуждения. Однако при некотором значении сопротивления реостата $r_{\text{рг}}$ сопротивление $r_{\text{в}}$ достигает значения, при котором зависимость $I_{\text{в}} r_{\text{в}} = f(I_{\text{в}})$ становится касательной к прямолинейной части характеристики х.х. (прямая 3). В этих условиях генератор не самовозбуждается. Сопротивление цепи возбуждения, при которой прекращается самовозбуждение генератора, называют *критическим* сопротивлением ($r_{\text{в крит}}$).

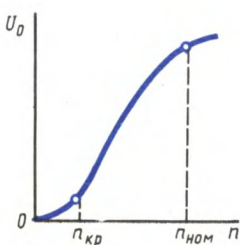


Рис 28.6. Характеристика самовозбуждения

Следует отметить, что самовозбуждение генератора возможно лишь при частоте вращения, превышающей критическую $n_{\text{кр}}$. Это условие вытекает из *характеристики самовозбуждения генератора* (рис. 28.6), представляющей собой зависимость напряжения генератора в режиме х.х. от частоты вращения при неизменном сопротивлении цепи возбуждения, т. е. $U_0 = f(n)$ при $r_{\text{в}} = \text{const}$.

Анализ характеристики самовозбуждения показывает, что при $n < n_{\text{кр}}$ увеличение частоты вращения якоря генератора сопровождается незначительным увеличением напряжения, так как процесса самовозбуждения нет и появление напряжения на выходе генератора обусловлено лишь остаточным намагничиванием магнитной цепи генератора. Процесс самовозбуждения начинается при $n > n_{\text{кр}}$. В этом случае увеличение частоты вращения сопровождается резким ростом напряжения U_0 . Однако при частоте вращения, близкой к номинальной, рост напряжения несколько замедляется, что объясняется магнитным насыщением генератора. Критическая частота вращения зависит от сопротивления цепи возбуждения и с ростом последнего увеличивается.

Таким образом, самовозбуждение генераторов постоянного тока возможно при соблюдении следующих условий: а) магнитная система машины должна обладать остаточным магнетизмом; б) присоединение обмотки возбуждения должно быть таким, чтобы МДС обмотки совпадала по направлению с потоком остаточного магнетизма $\Phi_{\text{ост}}$; в) сопротивление цепи возбуждения должно быть меньше критического; г) частота вращения якоря должна быть больше критической.

Так как генератор параллельного возбуждения самовозбуждается лишь в одном направлении, то и характеристика х.х. этого генератора может быть снята только для одного квадранта осей координат.

Нагрузочная и регулировочная характеристики генератора параллельного возбуждения практически не отличаются от соответствующих характеристик генератора независимого возбуждения.

Внешняя характеристика генератора параллельного возбуж-

дения I (рис. 28.7) менее жесткая, чем у генератора независимого возбуждения. Объясняется это тем, что в генераторе параллельного возбуждения помимо причин, вызывающих уменьшение напряжения в генераторе независимого возбуждения (реакция якоря и падение напряжения в цепи якоря), действует еще и третья причина — уменьшение тока возбуждения, вызванное снижением напряжения от действия первых двух причин. Этим же объясняется и то, что при постепенном уменьшении сопротивления нагрузки r_n ток увеличивается лишь до критического значения $I_{кр}$, а затем при дальнейшем уменьшении сопротивления нагрузки ток начинает

уменьшаться. Наконец, ток нагрузки при коротком замыкании $I_k < I_{кр}$. Дело в том, что с увеличением тока усиливается размагничивание генератора (усиление реакции якоря и уменьшение тока возбуждения), машина переходит в нена- сыщенное состояние, при котором даже небольшое уменьшение сопротивления нагрузки вызывает резкое уменьшение ЭДС машины (см. рис. 28.5, б).

Так как ток определяется напряжением на выводах генератора U и сопротивлением нагрузки r_n , т. е. $I = U/r_n$, то при токах нагрузки $I < I_{кр}$, когда напряжение генератора уменьшается медленнее, чем убывает сопротивление нагрузки, происходит рост тока нагрузки. После того как $I = I_{кр}$, дальнейшее уменьшение r_n сопровождается уменьшением тока нагрузки, так как в этом случае напряжение U убывает быстрее, чем уменьшается сопротивление нагрузки r_n .

Таким образом, короткое замыкание, вызванное постепенным уменьшением сопротивления нагрузки, не опасно для генератора параллельного возбуждения. Но при внезапном к.з. магнитная система генератора не успевает размагнититься и ток I_k достигает опасных для машины значений $I_k = (8 \div 12) I_{ном}$ (кривая 2). При таком резком возрастании тока нагрузки на валу генератора возникает значительный тормозящий момент [см. (25.24)], а на коллекторе появляется сильное искрение, переходящее в круговой огонь. Поэтому необходимо защищать генератор от перегрузки и к.з. посредством плавких предохранителей или же применением релейной защиты.

Генераторы параллельного возбуждения широко применяют в установках постоянного тока, так как отсутствие возбудителя выгодно отличает эти генераторы от генераторов независимого возбуждения. Номинальное изменение напряжения генератора параллельного возбуждения [см. (28.9)] составляет 10—30 %.

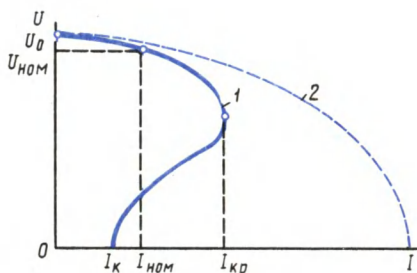


Рис. 28.7. Внешняя характеристика генератора параллельного возбуждения

§ 28.4. Генератор смешанного возбуждения

Генератор смешанного возбуждения (рис. 28.8, а) имеет параллельную и последовательную обмотки возбуждения. Поток возбуждения создается в основном параллельной обмоткой. Последовательная обмотка обычно включается согласно с параллельной (чтобы МДС обмоток складывались), что обеспечивает получение жесткой внешней характеристики генератора.

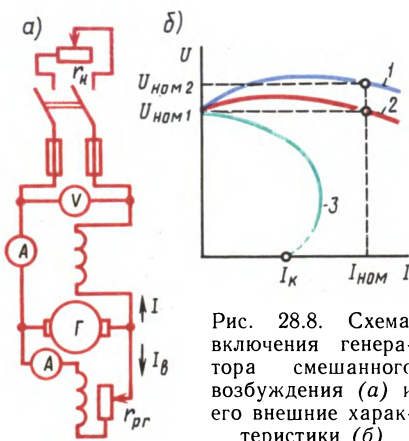


Рис. 28.8. Схема включения генератора смешанного возбуждения (а) и его внешние характеристики (б)

В режиме х. х. генератор имеет только параллельное возбуждение, так как $I = 0$. С появлением нагрузки возникает МДС последовательной обмотки возбуждения, которая, подмагничивая машину, компенсирует размагничивающее действие реакции якоря и падение напряжения в якоре.

Внешняя характеристика в этом случае становится наиболее жесткой (рис. 28.8, б, кривая 2), т. е. напряжение на зажимах генератора при увеличении тока остается почти неизменным. Если же требуется,

чтобы напряжение на зажимах потребителя (в конце линии) оставалось практически неизменным, то число витков последовательной обмотки увеличивают так, чтобы МДС этой обмотки компенсировала еще и падение напряжения в проводах линии (кривая 1).

При встречном включении обмоток возбуждения напряжение генератора с ростом тока нагрузки резко уменьшается (кривая 3), что объясняется размагничивающим действием последовательной обмотки возбуждения, МДС которой направлена против МДС параллельной обмотки. Встречное включение обмоток применяют лишь в генераторах специального назначения, например в сварочных, где необходимо получить круто падающую внешнюю характеристику.

Генераторы смешанного возбуждения с согласным включением обмоток возбуждения применяют для питания силовой нагрузки в случаях, когда требуется постоянство напряжения в линии.

Контрольные вопросы

1. Какие характеристики определяют свойства генераторов постоянного тока?
2. Почему у генератора параллельного возбуждения изменение напряжения при сбросе нагрузки больше, чем у генератора независимого возбуждения?
3. Каковы условия самовозбуждения генераторов постоянного тока?
4. При каком включении обмоток возбуждения генератора смешанного возбуждения внешняя характеристика получается более «жесткой»?

§ 29.1. Основные понятия

Коллекторные машины обладают свойством обратимости, т. е. они могут работать как в режиме генератора, так и в режиме двигателя. Поэтому если машину постоянного тока подключить к источнику энергии постоянного тока, то в обмотке возбуждения и в обмотке якоря машины появятся токи. Взаимодействие тока якоря с полем возбуждения создает на якоре электромагнитный момент M , который является не тормозящим, как это имело место в генераторе, а в р а щ а ю щ и м.

Под действием электромагнитного момента якоря машина начнет вращаться, т. е. машина будет работать в режиме двигателя, потребляя из сети электрическую энергию и преобразуя ее в механическую. В процессе работы двигателя его якорь вращается в магнитном поле. В обмотке якоря индуцируется ЭДС E_a , направление которой можно определить по правилу «правой руки». По своей природе она не отличается от ЭДС, наводимой в обмотке якоря генератора. В двигателе же ЭДС направлена против тока I_a , и поэтому ее называют *противоэлектродвижущей силой* (противо-ЭДС) якоря (рис. 29.1).

Для двигателя, работающего с постоянной частотой вращения,

$$U = E_a + I_a \Sigma r. \quad (29.1)$$

Из (29.1) следует, что подведенное к двигателю напряжение уравнивается противо-ЭДС обмотки якоря и падением напряжения в цепи якоря. На основании (29.1) ток якоря

$$I_a = \frac{U - E_a}{\Sigma r}. \quad (29.2)$$

Умножив обе части уравнения (29.1) на ток якоря I_a , получим *уравнение мощности для цепи якоря*:

$$UI_a = I_a^2 \Sigma r + E_a I_a, \quad (29.3)$$

где UI_a — мощность в цепи обмотки якоря; $I_a^2 \Sigma r$ — мощность электрических потерь в цепи якоря.

Для выяснения сущности выражения $E_a I_a$ сделаем следующее преобразование:

$$E_a I_a = \frac{pN}{60a} \Phi n I_a = \frac{pN}{60a} \Phi \frac{60\omega}{2\pi} I_a,$$

или

$$E_a I_a = \frac{pN}{2\pi a} \Phi I_a \omega.$$

Но, согласно (25.24),

$$[pN/(2\pi a)] \Phi I_a = M,$$

тогда

$$E_a I_a = M \omega = P_{\text{эм}}, \quad (29.4)$$

где $\omega = 2\pi n/60$ — угловая частота вращения якоря; $P_{\text{эм}}$ — электромагнитная мощность двигателя.

Следовательно, выражение $E_a I_a$ представляет собой *электромагнитную мощность двигателя*.

Преобразовав выражение (29.3) с учетом (29.4), получим

$$UI_a = M \omega + I_a^2 \Sigma r.$$

Анализ этого уравнения показывает, что с увеличением нагрузки на вал двигателя, т. е. с увеличением электромагнитного момента M , возрастает мощность в цепи обмотки якоря UI_a , т. е. мощность на входе двигателя. Но так как напряжение, подводимое к двигателю, поддерживается неизменным ($U = \text{const}$), то увеличение нагрузки двигателя сопровождается ростом тока в обмотке якоря I_a .

В зависимости от способа возбуждения двигателя постоянного тока, так же как и генераторы, разделяют на двигатели с возбуждением от постоянных магнитов (магнитоэлектрические) и с электромагнитным возбуждением. Последние в соответствии со схемой включения обмотки возбуждения относительно обмотки якоря подразделяют на двигатели параллельного (шунтовые), последовательного (сериесные) и смешанного (компаундные) возбуждения.

В соответствии с формулой ЭДС $E_a = c_e \Phi n$ частота вращения двигателя (об/мин)

$$n = E_a / (c_e \Phi).$$

Подставив значение E_a из (29.1), получим (об/мин)

$$n = \frac{U - I_a \Sigma r}{c_e \Phi}, \quad (29.5)$$

т. е. частота вращения двигателя прямо пропорциональна напря-

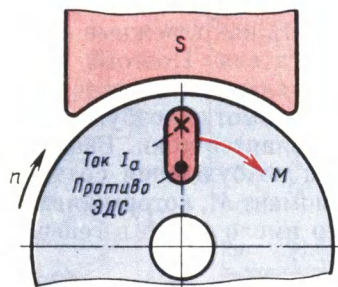


Рис. 29.1. Направление против-ЭДС в обмотке якоря двигателя

жению и обратно пропорциональна магнитному потоку возбуждения. Физически это объясняется тем, что повышение напряжения U или уменьшение потока Φ вызывает увеличение разности $(U - E_a)$; это, в свою очередь, ведет к росту тока I_a [см. (29.2)]. Вследствие этого возросший ток повышает вращающий момент, и если при этом нагрузочный момент остается неизменным, то частота вращения двигателя увеличивается.

Из (29.5) следует, что регулировать частоту вращения двигателя можно изменением либо напряжения U , подводимого к двигателю, либо основного магнитного потока Φ , либо электрического сопротивления в цепи якоря Σr .

Направление вращения якоря зависит от направлений магнитного потока возбуждения Φ и тока в обмотке якоря. Поэтому, изменив направление какой-либо из указанных величин, можно изменить направление вращения якоря. Следует иметь в виду, что переключение общих зажимов схемы у рубильника не дает изменения направления вращения якоря, так как при этом одновременно изменяется направление тока и в обмотке якоря, и в обмотке возбуждения.

§ 29.2. Пуск двигателя

Ток якоря двигателя определяется формулой (29.2). Если принять U и Σr неизменными, то ток I_a зависит от противо-ЭДС E_a . Наибольшего значения ток I_a достигает при пуске двигателя в ход. В начальный момент пуска якорь двигателя неподвижен ($n=0$) и в его обмотке не индуцируется ЭДС ($E_a=0$). Поэтому при непосредственном подключении двигателя к сети в обмотке его якоря возникает пусковой ток

$$I'_a = U / \Sigma r. \quad (29.6)$$

Обычно сопротивление Σr невелико, поэтому значение пускового тока достигает недопустимо больших значений, в 10—20 раз превышающих номинальный ток двигателя.

Такой большой пусковой ток весьма опасен для двигателя. Во-первых, он может вызвать в машине круговой огонь, а во-вторых, при таком токе в двигателе развивается чрезмерно большой пусковой момент, который оказывает ударное действие на вращающиеся части двигателя и может механически их разрушить. И наконец, этот ток вызывает резкое падение напряжения в сети, что неблагоприятно отражается на работе других потребителей, включенных в эту сеть. Поэтому пуск двигателя непосредственным подключением в сеть (безреостатный пуск) обычно применяют для двигателей мощностью не более 0,7—1,0 кВт. В этих двигателях благодаря повышенному сопротивлению обмотки якоря и небольшим вращающимся массам значение пускового тока лишь в 3—5 раз превышает номинальный, что не представляет опасности для двигателя. Что же касается двигателей большей мощности, то при их пуске для ограничения пус-

кового тока используют *пусковые реостаты* (ПР), включаемые последовательно в цепь якоря (реостатный пуск).

Перед пуском двигателя необходимо рычаг P реостата поставить на холостой контакт O (рис. 29.2). Затем включают рубильник, переводят рычаг на первый промежуточный контакт 1 и цепь якоря двигателя оказывается подключенной к сети через наибольшее сопротивление реостата $r_{np} = r_1 + r_2 + r_3 + r_4$.

Одновременно через рычаг P и шину $Ш$ к сети подключается обмотка возбуждения, ток в которой в течение всего периода

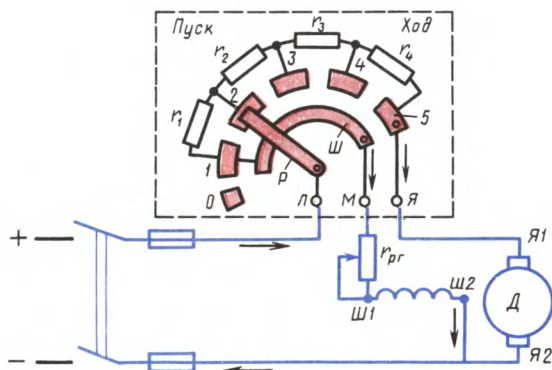


Рис. 29.2. Схема включения пускового реостата

пуска не зависит от положения рычага P , так как сопротивление шины по сравнению с сопротивлением обмотки возбуждения пренебрежимо мало.

Пусковой ток якоря при полном сопротивлении пускового реостата

$$I_n = \frac{U - E_a}{\Sigma r + r_{np}}. \quad (29.7)$$

С появлением тока в цепи якоря $I_{n \max}$ возникает пусковой момент $M_{n \max}$, под действием которого начинается вращение якоря. По мере нарастания частоты вращения увеличивается противо-ЭДС $E_a = c_e \Phi n$, что ведет к уменьшению пускового тока и пускового момента.

По мере разгона якоря двигателя рычаг пускового реостата переключают в положения 2, 3 и т. д. В положении 5 рычага реостата пуск двигателя заканчивается ($r_{np} = 0$). Сопротивление пускового реостата выбирают обычно таким, чтобы наибольший пусковой ток превышал номинальный не более чем в 2—3 раза.

Так как вращающий момент двигателя M прямо пропорционален потоку Φ [см. (25.24)], то для облегчения пуска двигателя параллельного и смешанного возбуждения сопротивление реостата в цепи возбуждения r_{pr} следует полностью вывести

($r_{\text{пр}} = 0$). Поток возбуждения Φ в этом случае получает наибольшее значение и двигатель развивает необходимый вращающий момент при меньшем токе якоря.

Для пуска двигателей большей мощности применять пусковые реостаты нецелесообразно, так как это вызвало бы значительные потери энергии. Кроме того, пусковые реостаты были бы громоздкими. Поэтому в двигателях большой мощности применяют безреостатный пуск двигателя путем понижения напряжения. Примерами этого являются пуск тяговых двигателей электроваза переключением их с последовательного соединения при пуске на параллельное при нормальной работе (см. § 29.6) или пуск двигателя в схеме «генератор — двигатель» (см. § 29.4).

§ 29.3. Двигатель параллельного возбуждения

Схема включения в сеть двигателя параллельного возбуждения показана на рис. 29.3, а. Характерной особенностью этого двигателя является то, что ток в обмотке возбуждения (ОВ) не зависит от тока нагрузки (тока якоря). Реостат в цепи возбуждения $r_{\text{пр}}$ служит для регулирования тока в обмотке возбуждения и магнитного потока главных полюсов.

Эксплуатационные свойства двигателя определяются его *рабочими характеристиками*, под которыми понимают зависимость частоты вращения n , тока I , полезного момента M_2 , вращающего момента M от мощности на валу двигателя P_2 при $U = \text{const}$ и $I_b = \text{const}$ (рис. 29.3, б).

Для анализа зависимости $n = f(P_2)$, которую обычно называют *скоростной характеристикой*, обратимся к формуле (29.5), из которой видно, что при неизменном напряжении U на частоту вращения влияют два фактора: падение напряжения в цепи якоря $I_a \Sigma r$ и поток возбуждения Φ . При увеличении нагрузки уменьшается числитель $(U - I_a \Sigma r)$, при этом вследствие реакции якоря уменьшается и знаменатель Φ . Обычно ослабление потока, вызванное реакцией якоря, невелико и первый фактор влияет на частоту вращения сильнее, чем второй. В итоге частота вращения двигателя с ростом нагрузки P_2 уменьшается, а график $n = f(P_2)$ приобретает падающий вид с небольшой выпуклостью, обращенной к оси абсцисс. Если же реакция якоря в двигателе сопровождается более значительным ослаблением потока Φ , то частота вращения с увеличением нагрузки будет возрастать, как это показано штриховой кривой на рис. 29.3, б. Однако такая зависимость $n = f(P_2)$ является нежелательной, так как она, как правило, не удовлетворяет условию устойчивой работы двигателя: с ростом нагрузки на двигатель возрастает частота вращения, что ведет к дополнительному росту нагрузки и т. д., т. е. частота вращения n двигателя неограниченно увеличивается и двигатель идет «в разнос». Чтобы обеспечить характеристике частоты вращения форму падающей кривой, в некоторых двигателях параллельного возбуждения применяют легкую (с не-

большим числом витков) последовательную обмотку возбуждения, которую называют *стабилизирующей обмоткой*. При включении этой обмотки согласованно с параллельной обмоткой возбуждения ее МДС компенсирует размагничивающее действие реакции якоря так, что поток Φ во всем диапазоне нагрузок остается практически неизменным.

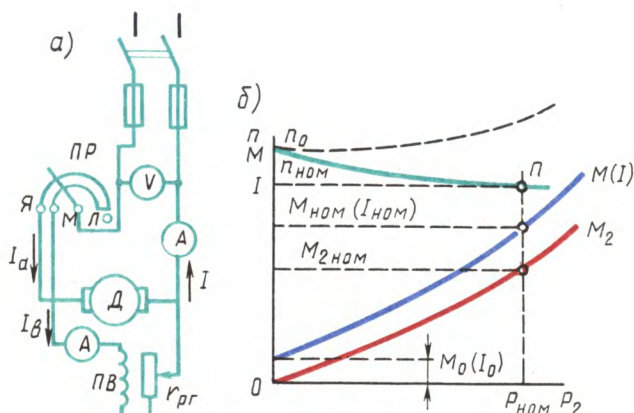


Рис. 29.3. Схема двигателя параллельного возбуждения (а) и его рабочие характеристики (б)

Изменение частоты вращения двигателя при переходе от номинальной нагрузки к х.х., выраженное в процентах, называют *номинальным изменением частоты вращения*:

$$\Delta n_{\text{ном}} = \frac{n_0 - n_{\text{ном}}}{n_{\text{ном}}} \cdot 100, \quad (29.8)$$

где n_0 — частота вращения двигателя в режиме х.х.

Обычно для двигателей параллельного возбуждения $\Delta n_{\text{ном}} = 2 \div 8 \%$, поэтому характеристику частоты вращения двигателя параллельного возбуждения называют *жесткой*.

Зависимость полезного момента M_2 от нагрузки установлена формулой $M_2 = 9,55 P_2 / n$. При $n = \text{const}$ график $M_2 = f(P_2)$ имел бы вид прямой. Однако с увеличением нагрузки частота вращения двигателя снижается, и поэтому зависимость $M_2 = f(P_2)$ криволинейна.

При $n = \text{const}$ вращающий момент двигателя $M = M_0 + M_2$. Так как рабочие характеристики двигателя строят при условии $I_b = \text{const}$, что обеспечивает постоянство магнитных потерь в двигателе, то момент х.х. $M_0 = \text{const}$. Поэтому график зависимости $M = f(P_2)$ проходит параллельно кривой $M_2 = f(P_2)$. Если принять поток $\Phi = \text{const}$, то график $M_2 = f(P_2)$ является в то же время выражением зависимости $I = f(P_2)$, так как $M = c_m \Phi I_a$.

Для получения аналитического выражения *механической характеристики* $n = f(M)$ преобразуем выражение (29.5):

$$n = \frac{U - I_a \Sigma r}{c_e \Phi} = \frac{U}{c_e \Phi} - \frac{I_a \Sigma r}{c_e \Phi}; \quad (29.9)$$

подставив в него из (25.24) значение тока якоря

$$I_a = M / (c_m \Phi), \quad (29.10)$$

получим

$$n = \frac{U}{c_e \Phi} - \frac{M \Sigma r}{c_e c_m \Phi^2} = n_0 - \Delta n, \quad (29.11)$$

где n_0 — частота вращения в режиме х.х.; Δn — изменение частоты вращения, вызванное изменением нагрузки на валу двигателя.

Если пренебречь реакцией якоря, то (так как $I_b = \text{const}$) можно принять $\Phi = \text{const}$. Тогда механическая характеристика

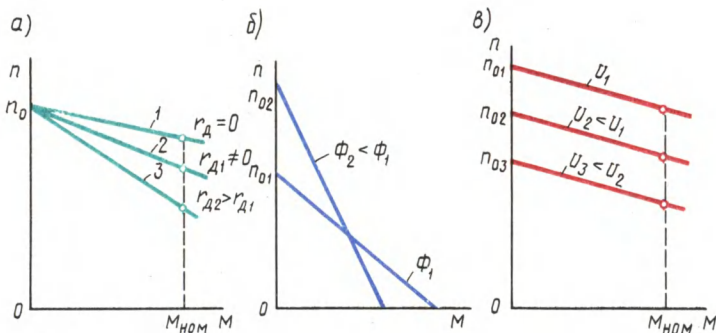


Рис 29.4. Механические характеристики двигателя параллельного возбуждения:

а — при введении в цепь якоря добавочного сопротивления; б — при изменении основного магнитного потока, в — при изменении напряжения в цепи якоря

двигателя параллельного возбуждения представляет собой прямую линию, несколько наклоненную к оси абсцисс (рис. 29.4, а). Угол наклона механической характеристики тем больше, чем больше значение сопротивления, включенного в цепь якоря. Механическую характеристику двигателя при отсутствии дополнительного сопротивления в цепи якоря называют *естественной* (прямая 1). Механические характеристики двигателя, полученные при введении дополнительного сопротивления в цепь якоря, называют *искусственными* (прямые 2 и 3).

Вид механической характеристики зависит также и от значения основного магнитного потока Φ . Так, при уменьшении Φ увеличивается частота вращения х.х. n_0 и одновременно увеличивается Δn , т. е. увеличиваются оба слагаемых уравнения (29.11). Это приводит к резкому увеличению наклона механической характеристики, т. е. к уменьшению ее жесткости (рис. 29.4, б).

При изменении напряжения на якоре U меняется частота вращения n_0 , а Δn остается неизменной. В итоге жесткость механической характеристики (если пренебречь влиянием реакции якоря), не меняется (рис. 29.4, в), т. е. характеристики смещаются по высоте, оставаясь параллельными друг другу.

§ 29.4. Регулирование частоты вращения двигателей параллельного возбуждения

Способы регулирования частоты вращения двигателей оцениваются следующими показателями: плавностью регулирования; диапазоном регулирования, определяемым отношением наибольшей частоты вращения к наименьшей; экономичностью регулирования, определяемой стоимостью регулирующей аппаратуры и потерями электроэнергии в ней.

Из (29.5) следует, что регулировать частоту вращения двигателя параллельного возбуждения можно изменением сопротивления в цепи якоря, изменением основного магнитного потока Φ , изменением напряжения в цепи якоря.

Введение дополнительного сопротивления в цепь якоря. Дополнительное сопротивление (реостат r_d) включают в цепь якоря аналогично пусковому реостату (ПР). Однако в отличие от последнего оно должно быть рассчитано на продолжительное протекание тока.

При включении сопротивления r_d в цепь якоря выражение частоты (29.5) принимает вид

$$n = \frac{U - I_a(\sum r + r_d)}{c_e \Phi} = n_0 - \Delta n, \quad (29.12)$$

где $n_0 = U/(c_e \Phi)$ — частота вращения в режиме х. х.; $\Delta n = I_a(\sum r + r_d)/(c_e \Phi)$ — изменение частоты вращения, вызванное падением напряжения в цепи якоря.

С увеличением r_d возрастает Δn , что ведет к уменьшению частоты вращения. Зависимость $n = f(r_d)$ иллюстрируется также и механическими характеристиками двигателя параллельного возбуждения (рис. 29.4, а): с повышением r_d увеличивается наклон механических характеристик, а частота вращения при заданной нагрузке на валу ($M = M_{ном}$) уменьшается. Этот способ обеспечивает плавное регулирование частоты вращения в широком диапазоне (только в сторону уменьшения частоты от номинальной), однако он неэкономичен из-за значительных потерь электроэнергии в регулировочном реостате ($I_a^2 r_d$), которые интенсивно растут с увеличением мощности двигателя.

Изменение основного магнитного потока. Этот способ регулирования в двигателе параллельного возбуждения реализуется посредством реостата $r_{\text{рг}}$ в цепи обмотки возбуждения (см. рис. 29.3, а). Так, при уменьшении сопротивления реостата возрастает магнитный поток обмотки возбуждения, что сопровож-

дается понижением частоты вращения [см. (29.5)]. При увеличении $r_{\text{рг}}$ частота вращения растет. Зависимость частоты вращения от тока возбуждения выражается *регулирующей характеристикой* двигателя $n = f(I_{\text{в}})$ при $I = \text{const}$ и $U = \text{const}$.

Из выражения (29.5) следует, что с уменьшением магнитного потока Φ частота вращения n увеличивается по гиперболическому закону (рис. 29.5, а). Но одновременно уменьшение Φ ведет

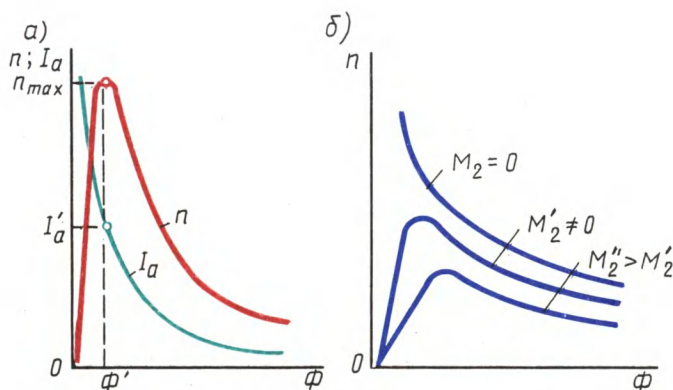


Рис. 29.5. Регулировочные характеристики двигателя параллельного возбуждения

к росту тока якоря $I_a = M/(c_{\text{м}}\Phi)$. При потоке $\Phi = \Phi'$ ток якоря достигает значения $I'_a = U/(2\Sigma r)$, т. е. падение напряжения в цепи якоря достигает значения, равного половине напряжения, подведенного к якору ($I'_a \Sigma r = U/2$). В этих условиях частота вращения двигателя достигает максимума n_{max} . При дальнейшем уменьшении потока ($\Phi < \Phi'$) частота вращения двигателя начинает убывать, так как из-за интенсивного роста тока I_a второе слагаемое выражения (29.9) нарастает быстрее первого.

При небольшом нагрузочном моменте на валу двигателя максимальная частота вращения n_{max} во много раз превосходит номинальную частоту вращения двигателя $n_{\text{ном}}$ и является недопустимой по условиям механической прочности двигателя, т. е. может привести к его «разносу». Учитывая это, при выборе реостата $r_{\text{рг}}$ необходимо следить за тем, чтобы при полностью введенном его сопротивлении частота вращения двигателя не превысила допустимого значения.

Например, для двигателей серии 2П (см. § 29.9) допускается превышение частоты вращения над номинальной не более чем в 2—3 раза. Необходимо также следить за надежностью электрических соединений в цепи обмотки возбуждения двигателя, так как при разрыве этой цепи магнитный поток уменьшается до значения потока остаточного магнетизма $\Phi_{\text{ост}}$, при котором частота вращения может достигнуть опасного значения.

Вид регулировочных характеристик $n = f(\Phi)$ зависит от значения нагрузочного момента M_2 на валу двигателя: с ростом M_2 максимальная частота вращения n_{\max} уменьшается (рис. 29.5, б).

Недостаток рассмотренного способа регулирования частоты вращения состоит в том, что при изменении магнитного потока Φ меняется угол наклона механической характеристики двигателя.

Рассмотренный способ регулирования частоты вращения прост и экономичен, так как в двигателях параллельного возбуждения ток $I_b = (0,01 \div 0,07) I_a$, а поэтому потери в регулировочном реостате ($I_b^2 r_{\text{пр}}$) невелики.

Однако диапазон регулирования обычно составляет $n_{\max}/n_{\min} = 2 \div 5$. Объясняется это тем, что нижний предел частоты вращения обусловлен насыщением машины, ограничивающим значение магнитного потока Φ , а верхний предел частоты — опасностью «разноса» двигателя и усилением влияния реакции якоря, искажающее действие которого при ослаблении основного магнитного потока Φ усиливается и ведет к искрению на коллекторе или же к появлению кругового огня (см. § 27.5).

Изменение напряжения в цепи якоря. Регулирование частоты вращения двигателя изменением питающего напряжения применяется лишь при $I_b = \text{const}$, т. е. при раздельном питании цепей обмотки якоря и обмотки возбуждения при независимом возбуждении.

Частота вращения в режиме х. х. n_0 пропорциональна напряжению, а Δn от напряжения не зависит [см. (29.11)], поэтому механические характеристики двигателя при изменении напряжения не меняют угла наклона к оси абсцисс, а смещаются по высоте, оставаясь параллельными друг другу (см. рис. 29.4, в). Для осуществления этого способа регулирования необходимо цепь якоря двигателя подключить к источнику питания с регулируемым напряжением. Для управления двигателями малой и средней мощности в качестве такого источника можно применить регулируемый выпрямитель, в котором напряжение постоянного тока меняется регулировочным автотрансформатором (АТ), включенным на входе выпрямителя (рис. 29.6, а).

Для управления двигателями большой мощности целесообразно применять генератор постоянного тока независимого возбуждения; привод осуществляется посредством приводного двигателя (ПД), в качестве которого обычно используют трехфазный двигатель переменного тока. Для питания постоянным током цепей возбуждения генератора G и двигателя D используется возбудитель B — генератор постоянного тока, напряжение на выходе которого поддерживается неизменным. Описанная схема управления двигателем постоянного тока (рис. 29.6, б) известна под названием системы «генератор — двигатель» ($G-D$).

Изменение напряжения в цепи якоря позволяет регулировать частоту вращения двигателя вниз от номинальной, так как напряжение свыше номинального недопустимо. При необходимости регу-

лизовать частоту вращения вверх от номинальной можно воспользоваться изменением тока возбуждения двигателя.

Изменение направления вращения (реверс) двигателя, работающего по системе Г — Д, осуществляется изменением направления тока в цепи возбуждения генератора Г переключателем П, т. е. переменной полярности напряжения на его зажимах. Если двигатель постоянного тока работает в условиях резко переменной

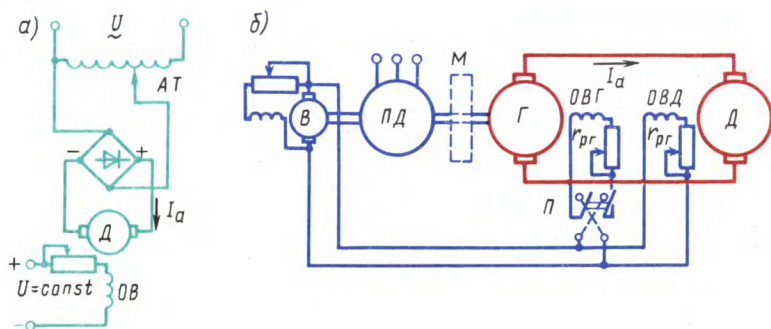


Рис. 29.6. Схемы включения двигателей постоянного тока при регулировании частоты вращения изменением напряжения в цепи якоря

нагрузки, то для смягчения колебаний мощности, потребляемой ПД из трехфазной сети, на вал ПД помещают маховик М, который запасает энергию в период уменьшения нагрузки на двигатель Д и отдает ее в период интенсивной нагрузки двигателя.

Регулирование частоты вращения изменением напряжения в цепи якоря обеспечивает плавное экономичное регулирование в широком диапазоне $n_{\max}/n_{\min} \geq 25$. Наибольшая частота вращения здесь ограничивается условиями коммутации, а наименьшая — условиями охлаждения двигателя (см. § 31.3).

Еще одним достоинством рассматриваемого способа регулирования является то, что он допускает безреостатный пуск двигателя при пониженном напряжении.

Импульсное регулирование частоты вращения. Сущность этого способа регулирования иллюстрируется схемой, изображенной на рис. 29.7, а. Цепь обмотки якоря двигателя параллельного (независимого) возбуждения периодически прерывается ключом К. Во время замыкания цепи якоря на время t к обмотке якоря подводится напряжение $U = U_{\text{имп}}$ и ток в ней достигает значения $I_{a\max}$. Затем ключом К цепь якоря размыкают и ток в ней убывает, достигая к моменту следующего замыкания цепи значения $I_{a\min}$ (при размыкании ключа К ток в обмотке якоря замыкается через диод VD). При следующем замыкании ключа К ток достигает значения $I_{a\max}$ и т. д. Таким образом, к обмотке якоря подводится некоторое среднее напряжение

$$U_{\text{ср}} = Ut_1/T = \alpha U, \quad (29.13)$$

где T — отрезок времени между двумя следующими друг за другом импульсами напряжения (рис. 29.7, б); $\alpha = t_1/T$ — коэффициент управления.

При этом в обмотке якоря проходит ток, среднее значение которого $I_{a\text{cp}} = 0,5(I_{a\text{max}} + I_{a\text{min}})$.

При импульсном регулировании частота вращения двигателя

$$n = \frac{\alpha U - I_{a\text{cp}} \Sigma r}{c_e \Phi} . \quad (29.14)$$

Таким образом, импульсное регулирование частоты вращения аналогично регулированию изменением подводимого к цепи якоря напряжения. С целью уменьшения пульсаций тока в цепи якоря включена катушка индуктивности (дроссель) L , а частота подачи импульсов равна 200—400 Гц.

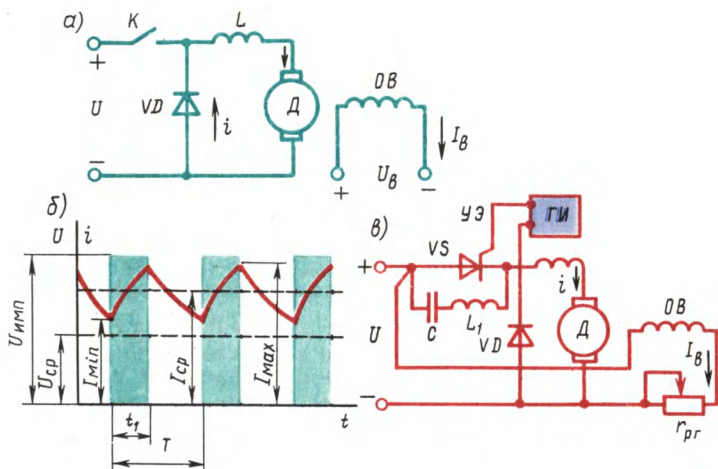


Рис. 29.7. Импульсное регулирование частоты вращения двигателя постоянного тока

На рис. 29.7, в представлена одна из возможных схем импульсного регулирования, где в качестве ключа применен управляемый диод — тиристор VS . Открывается тиристор подачей кратковременного импульса от генератора импульсов (ГИ) на управляющий электрод (УЭ) тиристора. Цепь $L_1 C$, шунтирующая тиристор, служит для запираания последнего в период между двумя управляющими импульсами. Происходит это следующим образом: при открывании тиристора конденсатор C перезаряжается через контур $L_1 C$ и создает на силовых электродах тиристора напряжение, обратное напряжению сети, которое прекращает протекание тока через тиристор. Параметрами цепи $L_1 C$ определяется время (с) открытого состояния тиристора: $t = \pi \sqrt{L_1 C}$. Здесь L_1 выражается в генри (Гн); C — в фарадах (Ф).

Значение среднего напряжения U_{cp} регулируется изменением

частоты следования управляющих импульсов от генератора импульсов на тиристор VS .

Жесткие механические характеристики и возможность плавного регулирования частоты вращения в широком диапазоне определили области применения двигателей параллельного возбуждения в станочных приводах, вентиляторах, а также во многих других случаях регулируемого электропривода, где требуется устойчивая работа при колебаниях нагрузки.

§ 29.5. Режимы работы машины постоянного тока

В двигателях параллельного возбуждения при неизменном токе в обмотке возбуждения ($I_b = \text{const}$) магнитный поток изменяется при нагрузке весьма незначительно, поэтому с некоторым приближением можно принять $\Phi = \text{const}$. В этом случае электромагнитный момент [см. (25.24)] пропорционален току в цепи якоря и механическая характеристика $n = f(M)$ может быть представлена зависимостью $n = f(I_a)$ (рис. 29.8). Если эту характеристику продолжить в обе стороны за пределы осей координат (прямая 1), то можно показать, что электрическая машина в зависимости от величины и знака внешнего момента, действующего на ее вал со стороны связанного с ним механизма, может работать в трех режимах: двигательном, тормозном и генераторном.

При работе двигателя без нагрузки ток в цепи якоря I_{a0} небольшой. При этом частота вращения $n = n_0$ (точка А). Затем с появлением на валу двигателя нагрузочного момента, противодействующего вращающему, ток в цепи якоря возрастает, а частота вращения уменьшается. Если увеличить противодействующий момент до значения, при котором якорь двигателя остановится (точка В), то ЭДС $E_a = 0$ и ток двигателя достигает значения $I_{ak} = U / \sum r$. Если двигатель применяют для привода механизма, нагрузочный момент которого может быть больше вращающегося (например, привод барабана, на который наматывается трос с грузом), то при последующем увеличении нагрузочного момента этого механизма якорь машины вновь начнет вращаться, но теперь уже в другую сторону. Теперь момент, действующий на вал электрической машины со стороны нагрузочного механизма, будет вращающим, а электромагнитный момент машины — тормозящим, т. е. электрическая машина перейдет в тормозной режим. При работе машины в этом режиме ЭДС якоря действует согласованно с напряжением, т. е. $I_a = (U + E_a) / \sum r$.

При использовании машины в тормозном режиме необходимо принять меры для ограничения тока якоря. С этой целью в цепь якоря включают добавочное сопротивление, величина которого обеспечивает получение искусственной характеристики двигателя, пересекающейся с осью абсцисс при токе якоря $I_{a\text{ном}} < I_{ak}$ (штриховая прямая).

Если при работе двигателя в режиме х. х. к его валу приложить момент, направленный в сторону вращения якоря, то частота вращения, а следовательно, и ЭДС E_a начнут возрастать. Когда ЭДС $E_a = U$, машина не будет потреблять тока из сети (точка C) и частота вращения якоря достигает значения, называемого *пограничной частотой вращения* n_{xx} .

При дальнейшем увеличении внешнего момента на валу машины ЭДС E_a станет больше напряжения, а в цепи якоря опять возникает ток, но другого направления. При этом машина перейдет в генераторный режим: механическая

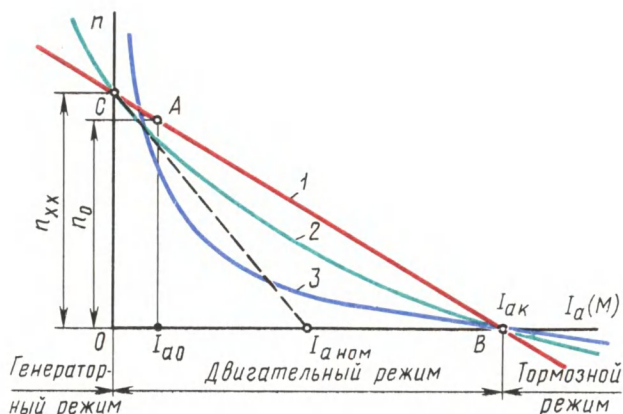


Рис. 29.8. Режимы работы машины постоянного тока:

1 — с параллельным (независимым) возбуждением, 2 — со смешанным возбуждением, 3 — с последовательным возбуждением

энергия, затрачиваемая на вращение якоря, будет преобразовываться в электрическую и поступать в сеть.

Перевод машины из двигательного в генераторный режим используют для торможения двигателя, так как в генераторном режиме электромагнитный момент является тормозящим (рекуперативное торможение).

§ 29.6. Двигатель последовательного возбуждения

В этом двигателе обмотка возбуждения включена последовательно в цепь якоря (рис. 29.9, а), поэтому магнитный поток Φ в нем зависит от тока нагрузки $I = I_a = I_b$. При небольших нагрузках магнитная система машины не насыщена и зависимость магнитного потока от тока нагрузки прямо пропорциональна, т. е. $\Phi = k_\Phi I_a$. В этом случае найдем по (25.24) электромагнитный момент:

$$M = c_M k_\Phi I_a I_a = c'_M I_a^2.$$

Формула частоты вращения (29.5) примет вид

$$n = \frac{U - I_a \Sigma r}{c_e k_\Phi I_a} = \frac{U - I_a \Sigma r}{c_e' I_a^2} \quad (29.15)$$

Здесь k_Φ — коэффициент пропорциональности.

Таким образом, вращающий момент двигателя при ненасыщенном состоянии магнитной системы пропорционален квадрату тока, а частота вращения обратно пропорциональна току нагрузки.

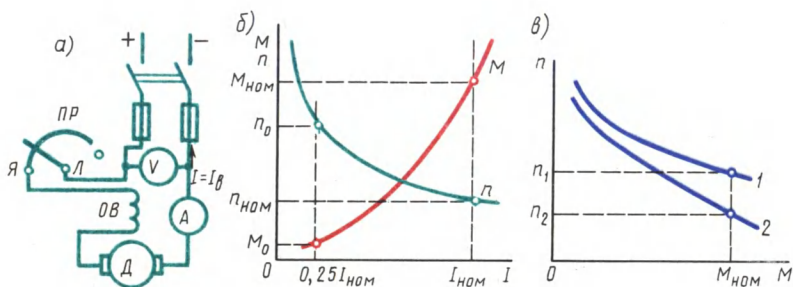


Рис. 29.9. Двигатель последовательного возбуждения:

a — принципиальная схема, $б$ — рабочие характеристики; $в$ — механические характеристики, 1 — естественная характеристика, 2 — искусственная характеристика

На рис. 29.9, $б$ представлены рабочие характеристики $M = f(I)$ и $n = f(I)$ двигателя последовательного возбуждения. При больших нагрузках наступает насыщение магнитной системы двигателя. В этом случае магнитный поток при возрастании нагрузки практически не изменяется и характеристики двигателя приобретают почти прямолинейный характер. Характеристика частоты вращения двигателя последовательного возбуждения показывает, что частота вращения двигателя значительно меняется при изменениях нагрузки. Такую характеристику принято называть *мягкой*.

При уменьшении нагрузки двигателя последовательного возбуждения частота вращения резко увеличивается и при нагрузке меньше 25 % от номинальной может достигнуть опасных для двигателя значений («разнос»). Поэтому работа двигателя последовательного возбуждения или его пуск при нагрузке на валу меньше 25 % от номинальной недопустима.

Для более надежной работы вал двигателя последовательного возбуждения должен быть жестко соединен с рабочим механизмом посредством муфты и зубчатой передачи. Применение ременной передачи недопустимо, так как при обрыве или сбросе ремня может произойти «разнос» двигателя. Учитывая возможность работы двигателя на повышенных частотах вращения, двигатели последовательного возбуждения, согласно ГОСТу, подвергаются испытанию в течение 2 мин на превышение частоты вращения

на 20 % сверх максимальной, указанной на заводском щите, но не меньше чем на 50 % сверх номинальной.

Механические характеристики двигателя последовательного возбуждения $n = f(M)$ представлены на рис. 29.9, в. Резко падающие кривые механических характеристик (естественная 1 и искусственная 2) обеспечивают работу при любой механической нагрузке. Свойство этих двигателей развивать большой вращающий момент, пропорциональный квадрату тока нагрузки, имеет важное значение, особенно в тяжелых условиях пуска и при перегрузках, так как с постепенным увеличением нагрузки двигателя мощность на его входе растет медленнее, чем вращающий момент. Эта особенность двигателей последовательного возбуждения является одной из причин их широкого применения в качестве тяговых двигателей на транспорте, а также в качестве крановых двигателей в подъемных установках, т. е. во всех случаях электропривода с тяжелыми условиями пуска и сочетания значительных нагрузок на вал двигателя с малой частотой вращения.

Номинальное изменение частоты вращения двигателя последовательного возбуждения

$$\Delta n_{\text{ном}} = \frac{n_{[0,25]} - n_{\text{ном}}}{n_{\text{ном}}} 100 \%, \quad (29.16)$$

где $n_{[0,25]}$ — частота вращения при нагрузке двигателя, составляющей 25 % от номинальной.

Частоту вращения двигателей последовательного возбуждения можно регулировать изменением либо напряжения U , либо магнитного потока обмотки возбуждения. В первом случае в цепь якоря последовательно включают регулировочный реостат $R_{\text{рг}}$ (рис. 29.10, а). С увеличением сопротивления этого реостата уменьшаются напряжение на входе двигателя и частота его вращения. Этот метод регулирования применяют главным образом в двигателях небольшой мощности. В случае значительной мощности двигателя этот способ неэкономичен из-за больших потерь энергии в $R_{\text{рг}}$. Кроме того, реостат $R_{\text{рг}}$, рассчитываемый на рабочий ток двигателя, получается громоздким и дорогостоящим.

При совместной работе нескольких однотипных двигателей частоту вращения регулируют изменением схемы их включения относительно друг друга (рис. 29.10, б). Так, при параллельном включении двигателей каждый из них оказывается под полным напряжением сети, а при последовательном включении двух двигателей на каждый двигатель приходится половина напряжения сети. При одновременной работе большого числа двигателей возможно большее количество вариантов включения. Этот способ регулирования частоты вращения применяют в электровозах, где установлено несколько одинаковых тяговых двигателей.

Изменение подводимого к двигателю напряжения возможно также при питании двигателя от источника постоянного тока с регулируемым напряжением (например, по схеме, аналогичной

рис. 29.6, а). При уменьшении подводимого к двигателю напряжения его механические характеристики смещаются вниз, практически не меняя своей кривизны (рис. 29.11).

Регулировать частоту вращения двигателя изменением магнитного потока можно тремя способами: шунтированием обмотки возбуждения реостатом r_{pr} , секционированием обмотки возбуждения и шунтированием обмотки якоря реостатом $r_{ш}$. Включение

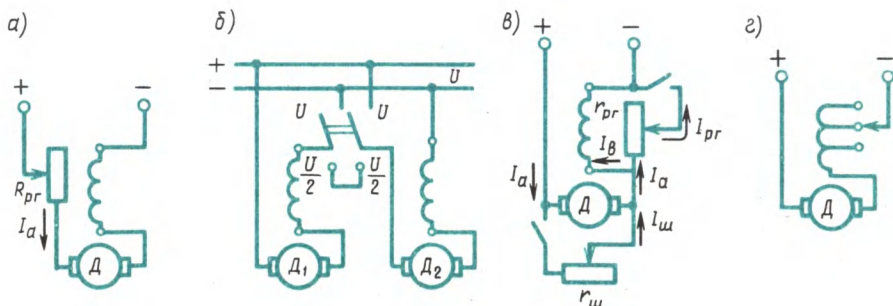


Рис. 29.10. Регулирование частоты вращения двигателей последовательного возбуждения

реостата r_{pr} , шунтирующего обмотку возбуждения (рис. 29.10, в), а также уменьшение сопротивления этого реостата ведет к снижению тока возбуждения $I_b = I_a - I_{pr}$, а следовательно, к росту частоты вращения. Этот способ экономичнее предыдущего (см. рис. 29.10, а), применяется чаще и оценивается коэффициентом регулирования $k_{pr} = (I_{pr}/I_a) \times 100\%$. Обычно сопротивление реостата r_{pr} принимается таким, чтобы $k_{pr} \geq 50\%$.

При секционировании обмотки возбуждения (рис. 29.10, г) отключение части витков обмотки сопровождается ростом частоты вращения. При шунтировании обмотки якоря реостатом $r_{ш}$ (см. рис. 29.10, в) увеличивается ток возбуждения $I_b = I_a + I_{ш}$, что вызывает уменьшение частоты вращения. Этот способ регулирования, хотя и обеспечивает глубокую регулировку, неэкономичен и применяется очень редко.

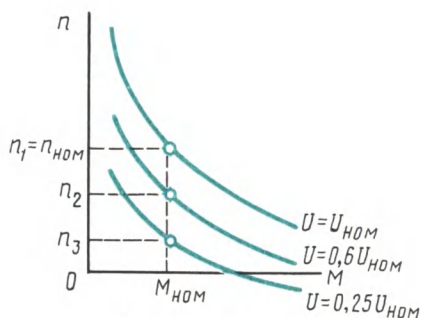


Рис. 29.11. Механические характеристики двигателя последовательного возбуждения при изменении подводимого напряжения

§ 29.7. Двигатель смешанного возбуждения

Двигатель смешанного возбуждения имеет две обмотки возбуждения: параллельную и последовательную (рис. 29.12, а). Частота вращения этого двигателя

$$n = \frac{U - I_a \Sigma r}{c_e(\Phi_1 \pm \Phi_2)}, \quad (29.17)$$

где Φ_1 и Φ_2 — потоки параллельной и последовательной обмоток возбуждения.

Знак плюс соответствует согласованному включению обмоток возбуждения (МДС обмоток складываются).

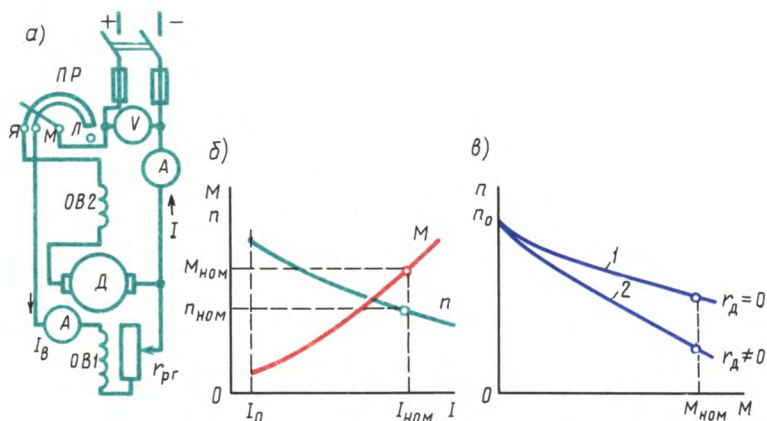


Рис. 29.12. Схема двигателя смешанного возбуждения (а), его рабочие (б) и механические (в) характеристики

В этом случае с увеличением нагрузки общий магнитный поток возрастает (за счет потока последовательной обмотки Φ_2), что ведет к уменьшению частоты вращения двигателя. При встречном включении обмоток поток Φ_2 при увеличении нагрузки разматывает машину (знак минус), что, наоборот, повышает частоту вращения. Работа двигателя при этом становится неустойчивой, так как с увеличением нагрузки частота вращения неограниченно растет. Однако при небольшом числе витков последовательной обмотки с увеличением нагрузки частота вращения не возрастает и во всем диапазоне нагрузок остается практически неизменной.

На рис. 29.12, б показаны рабочие характеристики двигателя смешанного возбуждения при согласованном включении обмоток возбуждения, а на рис. 29.12, в — механические характеристики. В отличие от механических характеристик двигателя последовательного возбуждения последние имеют более пологий вид.

Следует отметить, что по своей форме характеристики двигателя смешанного возбуждения занимают промежуточное положение между соответствующими характеристиками двигателей параллельного и последовательного возбуждения в зависимости от того, в какой из обмоток возбуждения (параллельной или последовательной) преобладает МДС.

Двигатель смешанного возбуждения имеет преимущества по сравнению с двигателем последовательного возбуждения. Этот двигатель может работать вхолостую, так как поток параллельной обмотки Φ_1 ограничивает частоту вращения двигателя в режиме х. х. и устраняет опасность «разноса». Регулировать частоту вращения этого двигателя можно реостатом в цепи параллельной обмотки возбуждения. Однако наличие двух обмоток возбуждения делает двигатель смешанного возбуждения более дорогостоящим по сравнению с двигателями рассмотренных выше типов, что несколько ограничивает его применение. Двигатели смешанного возбуждения применяют обычно там, где требуются значительные пусковые моменты, быстрое ускорение при разгоне, устойчивая работа и допустимо лишь небольшое снижение частоты вращения при увеличении нагрузки на вал (прокатные станы, грузовые подъемники, насосы, компрессоры).

§ 29.8. Потери и коэффициент полезного действия коллекторной машины постоянного тока

В машинах постоянного тока, как и в других электрических машинах, имеют место магнитные, электрические и механические потери (составляющие группу основных потерь) и добавочные потери.

Магнитные потери P_m происходят только в сердечнике якоря, так как только этот элемент магнитопровода машины постоянного тока подвергается перемагничиванию. Величина магнитных потерь, состоящих из потерь от гистерезиса и потерь от вихревых токов, зависит от частоты перемагничивания $f = pn/60$, значений магнитной индукции в зубцах и спинке якоря, толщины листов электротехнической стали, ее магнитных свойств и качества изоляции этих листов в пакете якоря.

Электрические потери в коллекторной машине постоянного тока обусловлены нагревом обмоток и щеточного контакта. Потери в цепи возбуждения определяются потерями в обмотке возбуждения и в реостате, включенном в цепь возбуждения:

$$P_{эв} = U_{эв} I_{эв}. \quad (29.18)$$

Здесь $U_{эв}$ — напряжение на зажимах цепи возбуждения.

Потери в обмотках цепи якоря

$$P_{эа} = I_a^2 \sum r, \quad (29.19)$$

где сопротивление обмоток в цепи якоря $\sum r$, приведенное к расчетной рабочей температуре $\theta_{раб}$, определяется по (13.4) с учетом данных, приведенных в § 13.1.

Электрические потери также имеют место и в контакте щеток:

$$P_{эщ} = \Delta U_{щ} I_a, \quad (29.20)$$

где $\Delta U_{\text{щ}}$ — переходное падение напряжения, В, на щетках обеих полярностей, принимаемое в соответствии с маркой щеток по табл. 27.1.

Электрические потери в цепи якоря и в щеточном контакте зависят от нагрузки машины, поэтому эти потери называют *переменными*.

Механические потери. В машине постоянного тока механические потери складываются из потерь от трения щеток о коллектор

$$P_{\text{к}} = k_{\text{тр}} S_{\text{щ}} f_{\text{щ}} V_{\text{к}}, \quad (29.21)$$

трения в подшипниках $P_{\text{п}}$ и на вентиляцию $P_{\text{вен}}$

$$P_{\text{мех}} = P_{\text{к}} + P_{\text{п}} + P_{\text{вен}}, \quad (29.22)$$

где $k_{\text{тр}}$ — коэффициент трения щеток о коллектор ($k_{\text{тр}} = 0,2 \div 0,3$); $S_{\text{щ}}$ — поверхность соприкосновения всех щеток с коллектором, м^2 ; $f_{\text{щ}}$ — удельное давление, $\text{Н}/\text{м}^2$, на щетки [для машин общего назначения $f_{\text{щ}} = (2 \div 3) 10^4 \text{ Н}/\text{м}^2$];

окружная скорость коллектора ($\text{м}/\text{с}$) диаметром $D_{\text{к}}$ (м)

$$V_{\text{к}} = \pi D_{\text{к}} n / 60. \quad (29.23)$$

Механические и магнитные потери при стабильной частоте вращения ($n = \text{const}$) можно считать постоянными.

Сумма магнитных и механических потерь составляют потери х. х.:

$$P_0 = P_{\text{м}} + P_{\text{мех}}. \quad (29.24)$$

Если машина работает в качестве двигателя параллельного возбуждения в режиме х. х., то она потребляет из сети мощность

$$P_{10} = UI_{a0} + U_{\text{в}} I_{\text{в}} = P_{\text{м}} + P_{\text{мех}} + I_{a0}^2 \sum r + \Delta U_{\text{щ}} I_{a0} + U_{\text{в}} I_{\text{в}}. \quad (29.95)$$

Однако ввиду небольшого значения тока I_{a0} электрические потери $I_{a0}^2 \sum r$ и $\Delta U_{\text{щ}} I_{a0}$ весьма малы и обычно не превышают 3 % потерь $P_0 = P_{\text{м}} + P_{\text{мех}}$. Поэтому, не допуская заметной ошибки, можно записать $P_{10} = UI_{a0} + U_{\text{в}} I_{\text{в}} = P_0 + U_{\text{в}} I_{\text{в}}$, откуда потери х. х.

$$P_0 = P_{10} - U_{\text{в}} I_{\text{в}}, \quad (29.26)$$

Таким образом, потери х. х. (магнитные и механические) могут быть определены экспериментально.

В машинах постоянного тока имеется ряд трудно учитываемых потерь — *добавочных*. Эти потери складываются из потерь от вихревых токов в меди обмоток, потерь в уравнильных соединениях, в стали якоря из-за неравномерного распределения индукции при нагрузке, в полюсных наконечниках, обусловленных пульсацией основного потока вследствие зубчатого якоря, и др. Добавочные потери составляют хотя и небольшую, но не поддающуюся точному учету величину. Поэтому, согласно

ГОСТу, в машинах без компенсационной обмотки значение добавочных потерь P_d принимают равным 1 % от полезной мощности для генераторов или 1 % от подводимой мощности для двигателей. В машинах с компенсационной обмоткой значение добавочных потерь принимают равным соответственно 0,5 %.

Мощность (Вт) на входе машины постоянного тока (подводимая мощность):

для генератора (механическая мощность)

$$P_{1\text{ген}} = M_1 \omega = 0,105 M_1 n, \quad (29.27)$$

где M_1 — вращающий момент приводного двигателя, Н·м;

для двигателя (электрическая мощность)

$$P_{1\text{дв}} = UI. \quad (29.28)$$

Мощность (Вт) на выходе машины (полезная мощность):

для генератора (электрическая мощность)

$$P_{2\text{ген}} = UI. \quad (29.29)$$

для двигателя (механическая мощность)

$$P_{2\text{дв}} = 0,105 M_2 n. \quad (29.30)$$

Здесь M_1 и M_2 — момент на валу электрической машины, Н·м; n — частота вращения, об/мин.

Коэффициент полезного действия. Коэффициент полезного действия электрической машины представляет собой отношение мощностей отдаваемой (полезной) P_2 к подводимой (потребляемой) P_1 :

$$\eta = P_2 / P_1.$$

Определив суммарную мощность вышеперечисленных потерь

$$\Sigma P = P_m + P_{\text{мех}} + P_{\text{эв}} + P_{\text{эа}} + P_{\text{эш}} + P_d, \quad (29.31)$$

можно подсчитать КПД машины по одной из следующих формул: для генератора

$$\eta_r = \frac{P_2}{P_1} = \frac{UI}{UI + \Sigma P} = 1 - \frac{\Sigma P}{UI + \Sigma P}; \quad (29.32)$$

для двигателя

$$\eta_{\text{дв}} = \frac{P_2}{P_1} = \frac{UI - \Sigma P}{UI} = 1 - \frac{\Sigma P}{UI}. \quad (29.33)$$

Обычно КПД машин постоянного тока составляет 0,75—0,90 для машин мощностью от 1 до 100 кВт и 0,90—0,97 для машин мощностью свыше 100 кВт. Намного меньше КПД машин постоянного тока малой мощности. Например, для машин мощностью от 5 до 50 Вт $\eta = 0,15 \div 0,50$. Указанные значения КПД соответствуют номинальной нагрузке машины. Зависимость КПД

машины постоянного тока от нагрузки выражается графиком $\eta = f(P_2)$, форма которого характерна для электрических машин (рис. 29.13).

Коэффициент полезного действия электрической машины можно определять: а) методом непосредственной нагрузки по результатам измерений подведенной P_1 и отдаваемой P_2 мощностей; б) косвенным методом по результатам измерений потерь.

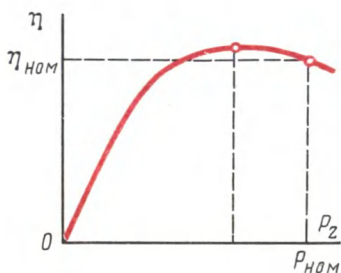


Рис. 29.13. Зависимость $\eta = f(P_2)$

Метод непосредственной нагрузки применим только для машин малой мощности, для остальных случаев применяется косвенный метод, как более точный и удобный. Установлено, что при $\eta > 80\%$ измерять КПД методом непосредственной нагрузки нецелесообразно, так как он дает большую ошибку, чем косвенный метод.

Существует несколько косвенных способов определения КПД. Наиболее прост способ холостого хода двигателя, когда потребляемая машиной постоянного тока мощность затрачивается только на потери х. х. [см. (29.26)]. Что же касается электрических потерь, то их определяют расчетным путем после предварительного измерения электрических сопротивлений обмоток и приведения их к рабочей температуре.

Пример 29.1. Двигатель постоянного тока параллельного возбуждения (см. рис. 29.3) включен в сеть с напряжением 220 В. При номинальной нагрузке и частоте вращения $n_{\text{ном}} = 1500$ об/мин он потребляет ток $I_{\text{ном}} = 43$ А. Определить КПД двигателя при номинальной нагрузке, если ток х. х. $I_0 = 4$ А, а сопротивления цепей якоря $\Sigma r = 0,25$ Ом и возбуждения $r_v = 150$ Ом. При каком добавочном сопротивлении $r_{\text{доб}}$, включенном последовательно в цепь якоря, частота вращения двигателя будет $n = 1000$ об/мин (нагрузочный момент $M_2 = \text{const}$)?

Решение. Ток возбуждения $I_v = U/r_v = 220/150 = 1,47$ А. Ток якоря в режиме х. х. $I_{a0} = I_0 - I_v = 4 - 1,47 = 2,53$ А. Ток якоря номинальный $I_{a\text{ном}} = I_{\text{ном}} - I_v = 43 - 1,47 = 41,53$ А. Сумма магнитных и механических потерь $P_0 = P_{\text{м}} + P_{\text{мех}} = UI_{a0} - I_{a0}^2 \Sigma r = 220 \cdot 2,53 - 2,53^2 \cdot 0,25 = 555$ Вт. Электрические потери в цепи возбуждения по (29.18)

$$P_{\text{в}} = UI_v = 220 \cdot 1,47 = 323,4 \text{ Вт.}$$

Электрические потери в цепи якоря по (29.19)

$$P_{\text{я}} = I_{a\text{ном}}^2 \Sigma r = 41,53^2 \cdot 0,25 = 431 \text{ Вт}$$

Электрические потери в щеточном контакте по (29.20)

$$P_{\text{щ}} = \Delta U_{\text{щ}} I_{a\text{ном}} = 2 \cdot 41,53 = 83 \text{ Вт.}$$

Подводимая к двигателю мощность по (29.28)

$$P_{1\text{ном}} = UI_{\text{ном}} = 220 \cdot 43 = 9460 \text{ Вт.}$$

Добавочные потери

$$P_{\text{доб}} = 0,01 P_{1\text{ном}} = 0,01 \cdot 9460 = 94,6 \text{ Вт.}$$

Суммарные потери по (29.31)

$$\Sigma P = 555 + 323,4 + 431 + 83 + 94,6 = 1487 \text{ Вт.}$$

Полезная мощность двигателя

$$P_{\text{ном}} = P_{1\text{ном}} - \sum P = 9460 - 1487 = 7973 \text{ Вт}$$

КПД двигателя при номинальной нагрузке

$$\eta_{\text{ном}} = P_{\text{ном}} / P_{1\text{ном}} = 7973 / 9460 = 0,843.$$

Из выражения (29.5) получим

$$c_e \Phi = \frac{U - I_a \sum r}{n_{\text{ном}}} = \frac{220 - 41,53 \cdot 0,25}{1500} = 0,14$$

ЭДС якоря при частоте вращения 1000 об/мин по (25.20)

$$E_a = c_e \Phi n = 0,14 \cdot 1000 = 140 \text{ В}$$

Так как ток якоря прямо пропорционален моменту $I_a \equiv M$ [см. (25.24)], то при $M = \text{const}$ сила тока I_a после включения $r_{\text{доб}}$ останется прежней: $I_a = I_{a\text{ном}} = 41,53 \text{ А}$. Из выражения тока якоря (29.2) получим

$$r_{\text{доб}} = \frac{U - E_a}{I_a} - \sum r = \frac{220 - 140}{41,53} - 0,25 = 1,68 \text{ Ом}$$

Электрические потери в добавочном сопротивлении

$$P_{\Sigma \text{ доб}} = I_a^2 r_{\text{доб}} = 41,53^2 \cdot 1,68 = 2897 \text{ Вт.}$$

Полезная мощность двигателя при частоте вращения 1000 об/мин

$$P_2 \approx P_{\text{ном}} - P_{\Sigma \text{ доб}} = 7973 - 2897 = 5076 \text{ Вт.}$$

Расчет полезной мощности P_2 является приближенным, так как он не учитывает уменьшение механических потерь двигателя при его переходе на меньшую частоту вращения.

§ 29.9. Машины постоянного тока серии 2П

Отечественной промышленностью изготавливаются машины постоянного тока (преимущественно двигатели) широкого диапазона мощностей различных конструктивных исполнений, предназначенные для применения во всех отраслях народного хозяйства. Изготовление машин ведется, как правило, сериями, при этом наряду с сериями машин общего назначения выпускаются серии машин специального назначения (для металлургической, горнодобывающей промышленности, для транспорта и т. п.). Наиболее широкое применение в настоящее время получили машины постоянного тока общего назначения серии 2П. В основу этой серии положено разделение машин по высотам оси вращения (см. рис. 18.1), как это сделано в серии трехфазных асинхронных двигателей 4А.

Единая серия 2П имеет 11 габаритов машин по высотам оси вращения 90, 100, 112, 132, 160, 180, 200, 225, 250, 280 и 315 мм при частоте вращения от 750 до 4000 об/мин. Диапазон мощностей машин серии 2П составляет: для двигателей — от 0,17 до 200 кВт, для генераторов — от 0,37 до 180 кВт.

На каждом из 11 габаритов по высоте оси вращения делают машины двух длин станины (M и L) с унифицированными размерами (один штамп пластин сердечника якоря). Кроме того, в серии 2П приняты четыре исполнения по способу защиты и охлаждению машин:

- а) защищенное исполнение с самовентиляцией — 2ПН;
- б) защищенное исполнение с независимой вентиляцией от постороннего вентилятора — 2ПФ;
- в) закрытое исполнение с естественным охлаждением — 2ПБ;
- г) закрытое исполнение с обдувом от постороннего вентилятора — 2ПО.

Двигатели серии 2П изготавливаются с независимым возбуждением при напряжении возбуждения 110 и 220 В независимо от напряжения цепи якоря (110, 220, 340 и 440 В).

Генераторы постоянного тока серии 2П изготавливаются только в защищенном исполнении (2ПН). Возбуждение генераторов смешанное, параллельное или независимое. При независимом возбуждении напряжение на обмотку возбуждения подается 110 или 220 В независимо от напряжения цепи якоря (110, 230 и 460 В).

Генераторы обеспечивают регулирование напряжения от номинального до нуля при независимом возбуждении, до $0,5U_{ном}$ при параллельном возбуждении, до $0,8U_{ном}$ при смешанном возбуждении.

Машины постоянного тока серии 2П с высотой оси вращения 90—200 мм с самовентиляцией или независимой вентиляцией изготавливаются с изоляцией класса нагревостойкости В, а машины с высотой оси вращения 225—315 В с самовентиляцией или независимой вентиляцией и двигатели закрытого исполнения с высотой оси вращения 90—200 мм — с изоляцией класса нагревостойкости F.

Сердечники якоря и полюсов выполняются из холоднокатаной тонколистовой электротехнической стали. Перечисленные мероприятия позволили увеличить электромагнитные нагрузки и получить эффективное использование активных материалов. Двигатели серии 2П могут комплектоваться тахогенераторами (см. § 30.2).

Условное обозначение типа двигателя включает в себя: название серии (2П), исполнение по способу защиты и охлаждению, высоту оси вращения, номер длины станины, климатическое исполнение. Пример условного обозначения двигателя серии 2П: 2ПН112МГУ4 — двигатель защищенного исполнения с самовентиляцией, высота оси вращения 112 мм, первой длины, укомплектован тахогенератором, климатическое исполнение У4 по ГОСТ 15150—69.

§ 29.10. Универсальные коллекторные двигатели

Универсальными называют коллекторные двигатели, которые могут работать как от сети постоянного, так и от сети однофазного переменного тока.

Коллекторный двигатель постоянного тока в принципе может работать от сети переменного тока, так как при переходе от положительного полупериода переменного напряжения к отрица-

тельному направлению электромагнитного момента сохраняется неизменным. Объясняется это тем, что при переходе к отрицательному полупериоду почти одновременно с изменением направления тока в обмотке якоря меняется направление тока в обмотке возбуждения, т. е. меняется полярность полюсов.

Однофазные коллекторные двигатели имеют преимущественно последовательное возбуждение. Применение параллельного

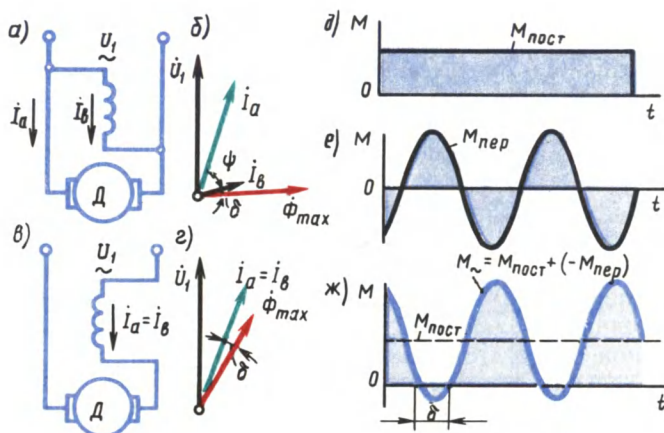


Рис. 29.14. К принципу работы универсального коллекторного двигателя

возбуждения (рис. 29.14, а) в данном случае ограничивается значительной индуктивностью параллельной обмотки возбуждения, имеющей большое число витков. Это создает значительный фазовый сдвиг между током якоря I_a и током возбуждения I_b на угол ψ (рис. 29.14, б). Среднее значение электромагнитного момента в этом случае определяется выражением, аналогичным выражению (25.24), но учитывающим угол сдвига между током якоря и магнитным потоком:

$$M_{\text{пар}} = c_m (\Phi_{\text{max}} / \sqrt{2}) I_a \cos(\psi + \delta), \quad (29.34)$$

где Φ_{max} — максимальное значение магнитного потока; ψ — угол сдвига фаз между током якоря и током возбуждения; δ — угол сдвига фаз между током возбуждения и магнитным потоком, обусловленный наличием магнитных потерь в машине $[(\psi + \delta) \approx 90^\circ, \text{ а следовательно, } \cos(\psi + \delta) \approx 0]$.

В двигателе последовательного возбуждения (рис. 29.14, в) ток якоря I_a и ток возбуждения I_b совпадают по фазе: $\psi = 0$ (рис. 29.14, г). Поэтому среднее значение электромагнитного вращающего момента в двигателе последовательного возбуждения $M_{\text{посл}}$ больше, чем в двигателе параллельного возбуждения:

$$M_{\text{посл}} = c_m (\Phi_{\text{max}} / \sqrt{2}) I_a \cos \delta. \quad (29.35)$$

Электромагнитный момент двигателя последовательного возбуждения при работе от сети переменного тока имеет постоянную составляющую $M_{\text{пост}}$ (рис. 29.14, *д*) и переменную составляющую $M_{\text{пер}}$, изменяющуюся с частотой, равной удвоенной частоте сети f_1 (рис. 29.14, *е*). Результирующий момент этого двигателя является пульсирующим $M_{\sim} = M_{\text{пост}} + (-M_{\text{пер}})$ (рис. 29.14, *ж*): $M_{\sim} = M_{\text{пост}} + (-M_{\text{пер}})$. Небольшие участки графика $M = f(t)$ с отрицательным (тормозящим) моментом обусловлены фазовым сдвигом между векторами магнитного потока Φ_{max} и током I_1 (рис. 29.14, *з*). Пульсации момента M_{\sim} практически не нарушают работу двигателя, включенного в сеть переменного тока, так как сглаживаются за счет момента инерции вращающегося якоря.

По своей конструкции универсальные коллекторные двигатели отличаются от двигателей постоянного тока тем, что их станина и главные полюсы делаются шихтованными из листовой электротехнической стали. Это дает возможность сократить магнитные потери, которые при работе двигателя от сети переменного тока повышаются, так как переменный ток в обмотке возбуждения вызывает перемагничивание всей магнитной цепи, включая станину и сердечники полюсов.

Основной недостаток однофазных коллекторных двигателей — тяжелые условия коммутации. Дело в том, что в коммутирующих секциях помимо реактивной ЭДС и ЭДС внешнего поля (см. § 27.3) наводится трансформаторная ЭДС $e_{\text{тр}}$, действующее значение которой

$$E_{\text{тр}} = 4,44f_1\omega_c\Phi_{\text{max}}. \quad (29.36)$$

Эта ЭДС наводится переменным магнитным потоком возбуждения, сцепленным с коммутирующими секциями. Для уменьшения трансформаторной ЭДС необходимо уменьшить поток Φ_{max} , а чтобы мощность двигателя при этом осталась прежней, следует увеличить число полюсов в двигателе.

Применение в обмотке якоря двигателя одновитковых секций ($\omega_c = 1$) также способствует ограничению $E_{\text{тр}}$, но при этом увеличивается количество пластин в коллекторе, а следовательно, возрастают его размеры. Применение добавочных полюсов с обмоткой, включенной последовательно в цепь якоря, позволяет добиться полной взаимной компенсации трансформаторной ЭДС только при определенных значениях тока якоря и частоты вращения. При других режимах работы двигателя условия коммутации остаются тяжелыми. Регулировка частоты вращения и реверсирование однофазного коллекторного двигателя выполняются так же, как и в двигателях постоянного тока последовательного возбуждения.

В универсальном коллекторном двигателе стремятся получить примерно одинаковые частоты вращения при номинальной нагрузке как на постоянном, так и на переменном токе. Достигается это тем, что обмотку возбуждения двигателя выполняют с ответвлениями: при работе двигателя от сети постоянного тока обмот-

ка возбуждения используется полностью, а при работе от сети переменного тока — частично (рис. 29.15, а).

Расхождения в характеристиках двигателя на постоянном и переменном токе объясняются тем, что при работе от сети переменного тока на величину и фазу тока оказывают влияние индуктивные сопротивления обмоток якоря и возбуждения. Однако уменьшение числа витков обмотки возбуждения обеспечивает

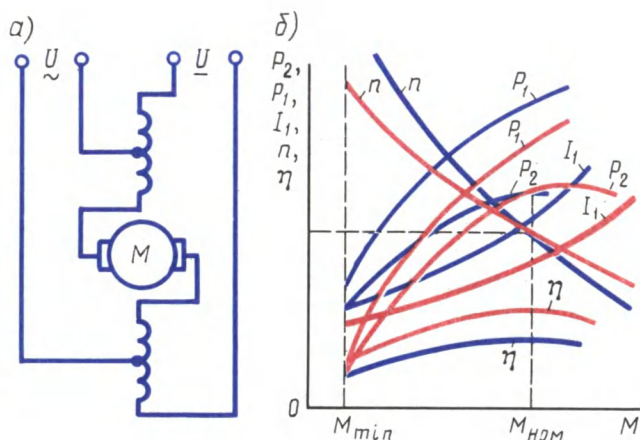


Рис. 29.15. Схема соединений и рабочие характеристики универсального коллекторного двигателя

сближение характеристик лишь при нагрузке, близкой к номинальной. На рис. 29.15, б приведены рабочие характеристики универсального коллекторного двигателя (синими линиями — при работе двигателя от сети переменного тока, а красными — от сети постоянного тока). Ток I_1 универсальных двигателей при работе от сети переменного тока больше, чем при работе этого же электродвигателя от сети постоянного тока, так как переменный ток помимо активной имеет еще и реактивную составляющую. Коэффициент полезного действия универсальных двигателей при переменном токе ниже, чем при постоянном, что вызвано повышенными магнитными потерями. Области применения универсальных коллекторных двигателей достаточно широки: их применяют в автоматике, для привода различного электроинструмента, бытовых электроприборов и др.

Контрольные вопросы

1. Какие способы ограничения пускового тока применяются в двигателях постоянного тока?
2. С какой целью при пуске двигателя параллельного возбуждения сопротивление реостата в цепи возбуждения устанавливают минимальным?
3. Сравните двигатели параллельного и последовательного возбуждения по их регулировочным свойствам.
4. Какова разница в конструкции коллекторных двигателей постоянного и переменного тока?

§ 30.1. Электромашинный усилитель

Электромашинный усилитель (ЭМУ) представляет собой электрическую машину, работающую в генераторном режиме и предназначенную для усиления электрических сигналов. Электромашинные усилители применяются в системах автоматики. Простейший ЭМУ — это генератор постоянного тока независимого возбуждения (см. рис. 28.2, а). Так как напряжение на выходе генератора зависит от тока возбуждения (см. рис. 28.2, б), то, изменяя ток возбуждения, можно управлять напряжением на выходе генератора. Следовательно, сравнительно небольшой мощностью в цепи обмотки возбуждения можно управлять значительной мощностью в цепи якоря.

Электромашинные усилители, выполненные по принципу генератора независимого возбуждения, не нашли широкого применения, так как они не могут обеспечить достаточно большого коэффициента усиления по мощности (не более 80—100), представляющего собой отношение мощности на выходе усилителя к мощности на входе.

Наибольшее распространение в автоматике получили электромашинные усилители поперечного поля. В отличие от обычного генератора постоянного тока в этом ЭМУ основным рабочим потоком является магнитный поток, создаваемый током обмотки якоря, — **поперечный поток реакции якоря.**

На коллекторе ЭМУ установлено два комплекта щеток: один комплект — $q_1 q_2$ (рис. 30.1, а) — расположен по поперечной оси главных полюсов, т. е. на геометрической нейтрали, а другой — d_1, d_2 — по продольной оси главных полюсов. Щетки q_1, q_2 замкнуты накоротко, а к щеткам d_1, d_2 подключена рабочая цепь ЭМУ.

Помимо обмотки якоря усилитель имеет одну или несколько обмоток управления ($y_1; y_2$), компенсационную обмотку (ОК), поперечную подмагничивающую обмотку (ОП) и обмотку добавочных полюсов (ОД). Якорь усилителя приводится во вращение электродвигателем.

Если к одной из обмоток управления подвести напряжение U_y , то в этой обмотке появится ток управления I_y , который создает МДС обмотки управления $F_y = I_y \omega_y$. Эта МДС, в свою очередь, создает магнитный поток Φ_y , который наведет в обмотке якоря в цепи щеток q_1, q_2 ЭДС E_q . Электродвижущая сила E_q невелика, но так как щетки q_1, q_2 замкнуты накоротко, то ЭДС E_q вызовет значительный ток I_q . Ток в обмотке якоря I_q создаст МДС F_q и магнитный поток Φ_q , который направлен по поперечной оси главных полюсов, т. е. по геометрической нейтрали, и неподвижен в пространстве. В обмотке якоря, вращающейся в неподвижном потоке Φ_q , наводится ЭДС E_d , снимаемая с продольных щеток d_1, d_2 .

Если к выходным зажимам ЭМУ подключить нагрузку r_n , то ЭДС E_d создаст в цепи щеток d_1, d_2 рабочий ток I_d .

Таким образом, небольшая мощность обмотки управления проходит две ступени усиления: сначала эта мощность усиливается на ступени «цепь управления — поперечная цепь», а затем на ступени «поперечная цепь — продольная (рабочая) цепь».

Усиление мощности на каждой ступени характеризуется коэффициентом усиления, который на ступени «цепь управления — поперечная цепь» определяется отношением мощности в поперечной цепи $P_q = E_q I_q$ к мощности управления $P_y = U_y I_y$:

$$k_{y1} = P_q / P_y. \quad (30.1)$$

Коэффициент усиления на ступени «поперечная цепь — продольная (рабочая) цепь» определяется отношением мощностей в этих цепях:

$$k_{y2} = P_d / P_q, \quad (30.2)$$

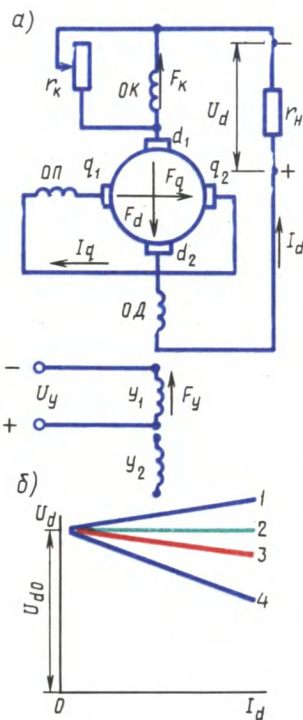


Рис. 30.1. ЭМУ поперечного поля:
а — принципиальная схема; б — внешние характеристики

где $P_d = U_d I_d$ — мощность в рабочей цепи усилителя, т. е. в цепи щеток d_1, d_2 .

Общий коэффициент усиления ЭМУ равен произведению частных коэффициентов усиления:

$$k_y = k_{y1} k_{y2} = (P_q/P_y)(P_d/P_q) = P_d/P_y. \quad (30.3)$$

Коэффициент усиления электромашинных усилителей может достигать 2000—20 000.

Следует помнить, что мощность на выходе ЭМУ P_d представляет собой преобразованную механическую мощность приводного электродвигателя. Значение этой мощности, которое может достигать более 20 кВт, управляется небольшой мощностью управления (обычно 0,1—1,0 Вт).

Обмотка добавочных полюсов (ОД) служит для улучшения коммутации на продольных щетках d_1, d_2 . Поперечная подмагничивающая обмотка (ОП) усиливает магнитный поток по поперечной оси, что позволяет уменьшить ток в цепи щеток q_1, q_2 , следовательно, улучшить коммутацию на этих щетках (в ЭМУ малой мощности эта обмотка отсутствует).

Компенсационная обмотка (ОК), наличие которой в ЭМУ обязательно, устраняет размагничивающее влияние реакции якоря по продольной оси. Дело в том, что ток рабочей цепи ЭМУ (ток нагрузки) I_d создает МДС по продольной оси F_d , направленную навстречу МДС обмотки управления F_y . Эта МДС намного меньше МДС F_d , поэтому даже при небольшой нагрузке усилителя размагничивающее влияние реакции якоря по продольной оси настолько велико, что усилитель размагничивается и напряжение на его выводах падает до нуля. Для устранения этого явления на статоре ЭМУ располагают компенсирующую обмотку, включенную последовательно в рабочую цепь якоря. С появлением тока I_d в рабочей цепи возникает МДС компенсационной обмотки F_k , направленная по продольной оси встречно МДС реакции якоря F_d . Этим устраняется (компенсируется) размагничивающее влияние реакции якоря по продольной оси. Для полной компенсации необходимо, чтобы МДС F_d и F_k были равны, так как недокомпенсация ($F_k < F_d$) или перекомпенсация ($F_k > F_d$) оказывает значительное влияние на магнитный поток Φ_y , а следовательно, и на свойства ЭМУ. Однако рассчитать компенсационную обмотку с требуемой точностью практически невозможно, что ведет к необходимости опытной настройки требуемого значения МДС F_k посредством реостата r_k , шунтирующего компенсационную обмотку.

Электромашинные усилители поперечного поля выполняют двухполюсными, при этом каждый из главных полюсов расщепляют на две части 1, между которыми располагают добавочные полюса 2 (рис. 30.2). Обмотки управления 4 выполняют сосредоточенными в виде полюсных катушек, надетых на главные полюса, что же касается компенсационной обмотки 3, то ее делают распределенной, используя для этого пазы в полюсных наконеч-

никах главных полюсов. Этим достигается компенсация продольной реакции якоря по всему периметру статора.

При мощности до нескольких киловатт ЭМУ выполняют в общем корпусе с приводным двигателем постоянного или переменного тока. При значительной мощности ЭМУ и двигатель выполняют раздельно и монтируют на общей раме.

Рабочие свойства ЭМУ в значительной степени определяются его внешней характеристикой $U_d = f(I_d)$ при $n = \text{const}$ и $I_y = \text{const}$. Напряжение на выходе усилителя

$$U_d = E_d - I_d \sum r_d, \quad (30.4)$$

где $\sum r_d$ — сумма электрических сопротивлений в продольной цепи якоря, Ом, включающая в себя сопротивления обмотки якоря r_a , добавочных полюсов $r_{дп}$, компенсационной обмотки r_k и щеточного контакта $r_{щ}$.

Ввиду того что магнитная цепь усилителя не насыщена, напряжение U_d является линейной функцией тока нагрузки I_d , т. е. внешняя характеристика ЭМУ представляет собой практически прямую линию (рис. 30.1, б).

Угол наклона внешней характеристики к оси абсцисс (жесткость характеристики) зависит от степени компенсации реакции якоря. При полной компенсации МДС компенсационной обмотки F_k равна МДС реакции якоря по продольной оси F_d . В этом случае внешняя характеристика получается достаточно жесткой (кривая 3), так как уменьшение напряжения U_d при увеличении тока нагрузки I_d происходит лишь за счет увеличения падения напряжения в цепи якоря по продольной оси $I_d \sum r_d$.

При недокомпенсации $F_k < F_d$ внешняя характеристика получается менее жесткой (кривая 4). Объясняется это тем, что при недокомпенсации МДС F_d , возрастающая с увеличением тока I_d , значительно ослабляет магнитный поток обмотки управления Φ_u , что ведет к заметному уменьшению напряжения на выходе ЭМУ.

Если в усилителе настроить небольшую перекомпенсацию ($F_k > F_d$) так, чтобы МДС F_k полностью скомпенсировала не только реакцию якоря F_d по продольной оси, но и падение напряжения $I_d \sum r_d$, то внешняя характеристика усилителя становится абсолютно жесткой и располагается параллельно оси абсцисс (кривая 2). В этом случае напряжение на выходе ЭМУ остается неизменным во всем диапазоне изменения нагрузки.

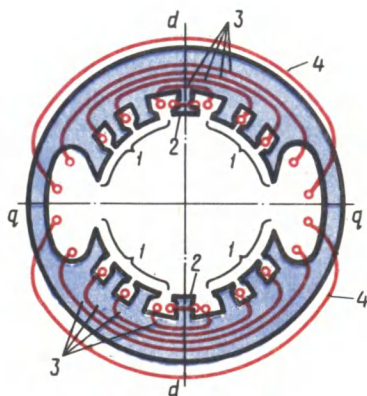


Рис. 30.2 Расположение обмоток ЭМУ на статоре

При значительной перекompенсации внешняя характеристика (кривая I) приобретает восходящий характер, так как МДС F_k не только компенсирует F_d , но и создает дополнительный продольный поток, который, накладываясь на магнитный поток управления Φ_u , вызывает увеличение ЭДС E_d . Работа усилителя с перекompенсацией становится неустойчивой, так как возникает опасность произвольного самовозбуждения ЭМУ, при котором увеличение напряжения на выходе усилителя вызывает рост тока нагрузки, что ведет к дальнейшему увеличению напряжения, т. е. происходит неограниченное увеличение тока нагрузки. Обычно в усилителе настраивают небольшую недокомпенсацию, при которой увеличение напряжения U_d при уменьшении тока I_d от номинального до нуля составляло бы 12—20 %.

§ 30.2. Тахогенератор постоянного тока

Тахогенераторы постоянного тока служат для измерения частоты вращения по значению выходного напряжения, а также для получения электрических сигналов, пропорциональных частоте вращения вала в схемах автоматического регулирования. Тахогенератор постоянного тока представляет собой генератор малой мощности с электромагнитным независимым возбуждением (рис. 30.3, а) или с возбуждением постоянными магнитами.

Ввиду того что при постоянном токе возбуждения $I_b = \text{const}$ магнитный поток Φ практически не зависит от нагрузки, выходная ЭДС тахогенератора $E_{\text{вых}}$ прямо пропорциональна частоте вращения:

$$E_{\text{вых}} = c_e \Phi n = c'_e n, \quad (30.5)$$

где $c'_e = c_e \Phi = \text{const}$.

Формула (30.5) справедлива и для тахогенератора с возбуждением постоянными магнитами, где $\Phi = \text{const}$. Для измерения частоты вращения тахогенератором вал последнего механически соединяют с валом механизма, частоту вращения которого требуется измерить. На выводы тахогенератора подключают измерительный прибор со шкалой, градуированной в единицах частоты вращения.

Точность работы тахогенератора определяется его *выходной характеристикой*, представляющей собой зависимость выходного напряжения от частоты вращения n при неизменном значении сопротивления нагрузки. Наиболее точная работа тахогенератора соответствует прямолинейной выходной характеристике (рис. 30.3, б, прямая I).

Однако в реальных тахогенераторах выходная характеристика не прямолинейна (график 2) и к тому же она выходит не из начала осей координат. Основная причина криволинейности характеристики — реакция якоря, поэтому уменьшению криволинейности этой характеристики способствует включение на выход тахогенератора приборов с большим внутренним сопротивлением,

так как при уменьшении тока якоря ослабляется действие реакции якоря. В современных тахогенераторах отклонение выходной характеристики от прямолинейной составляет от 0,5 до 3 %.

Падение напряжения в щеточном контакте $\Delta U_{\text{щ}}$ создает в тахогенераторе *зону нечувствительности*. Это диапазон частот вращения от 0 до n_{min} , в котором напряжение на выходе тахогенератора равно нулю. Граница зоны нечувствительности определяется выражением

$$n_{\text{min}} = \Delta U_{\text{щ}} / (c_e \Phi). \quad (30.6)$$

Широкое применение получили тахогенераторы постоянного тока, возбуждаемые постоянными магнитами. Эти тахогенераторы не имеют обмотки возбуждения, и поэтому они проще по конструкции и имеют меньшие габариты.

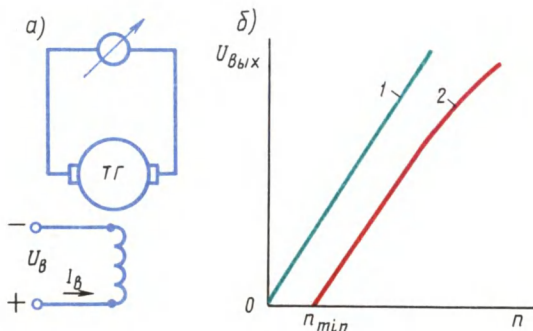


Рис 30.3 Принципиальная схема (а), выходная характеристика (б) тахогенератора постоянного тока

§ 30.3. Бесконтактный двигатель постоянного тока

С целью улучшения свойств двигателей постоянного тока были созданы двигатели с бесконтактным коммутатором, называемые бесконтактными двигателями постоянного тока (БДПТ). Отличие БДПТ от коллекторных двигателей традиционной конструкции состоит в том, что у них щеточно-коллекторный узел заменен полупроводниковым коммутатором (инвертором), управляемым сигналами, поступающими с бесконтактного датчика положения ротора. Рабочая обмотка двигателя — обмотка якоря — расположена на сердечнике статора, а постоянный магнит — на роторе.

Вал двигателя D (рис. 30.4, а) механически соединен с датчиком положения ротора (ДПР), сигнал от которого поступает в блок коммутатора (БК). Подключение секций обмотки якоря к источнику постоянного тока происходит через элементы блока коммутатора (БК). Назначение ДПР — выдавать управляющий сигнал в блок коммутатора в соответствии с положением полюсов постоянного магнита относительно секций обмотки якоря.

В качестве датчиков положения ротора применяют различные чувствительные бесконтактные элементы с минимальными размерами и потребляемой мощностью и большой кратностью минимального и максимального сигналов, чтобы не вызывать нарушений в работе блока коммутатора. Чувствительные элементы ДПР должны надежно работать при внешних воздействиях (температура, влажность, вибрации и т. п.), на которые рассчитан дви-

гатель. Такие свойства присущи ряду чувствительных элементов (датчиков): индуктивных, трансформаторных, магнитодиодов и т. п. Наиболее целесообразно использовать *датчики ЭДС Холла* (рис. 30.5), представляющие собой тонкую полупроводниковую пластину с нанесенными на ней контактными площадками, к которым припаяны выводы 1—2, подключенные к источнику на-

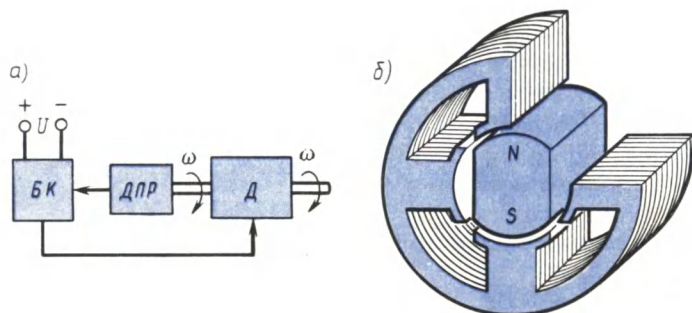


Рис. 30.4. Бесконтактный двигатель постоянного тока:
а — блок-схема, б — магнитная система

пряжения U_1 , и выводы 3—4, с которых снимают выходной сигнал U_2 . Если в цепи 1—2 проходит ток I , а датчик находится в магнитном поле, вектор индукции B которого перпендикулярен плоскости пластины датчика, то в датчике наводится ЭДС и на выводах 3—4 появляется напряжение U_2 . Значение ЭДС зависит от тока I и магнитной индукции B , а полярность — от направления тока I в цепи 1—2 и направления вектора магнитной индукции B .

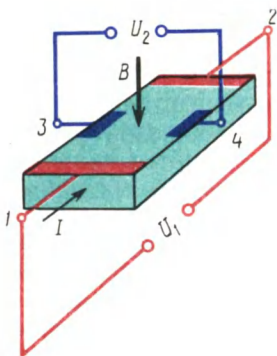


Рис. 30.5. Датчик ЭДС Холла

Рассмотрим работу бесконтактного двигателя постоянного тока, для управления которым применяют датчики Холла и коммутатор, выполненный на транзисторах $VT1—VT4$ (рис. 30.6). Четыре обмотки фазы двигателя $\omega_1—\omega_4$ расположены на явно выраженных полюсах шихтованного сердечника якоря (см. рис. 30.4, б). Датчики Холла $ДХ1$ и $ДХ2$ установлены в пазах полюсных наконечников двух смежных полюсов. Силовые транзисторы $VT1—VT4$ работают в релейном (ключевом) режиме (рис. 30.6). Сигнал на открытие транзистора поступает от соответствующего датчика Холла (датчика положения ротора). Питание датчиков Холла (выводы 1—2) осуществляется от источника напряжением U_1 .

Каждая обмотка фазы выполнена из двух катушек, расположенных на противоположных полюсах сердечника статора и сое-

диненных последовательно (рис. 30.7). Если по какой-либо из обмоток фазы статора проходит ток от начала $H1—H4$ к концу $K1—K4$, то полюсы сердечника статора приобретают полярность соответственно S и N .

При положении ротора, показанном на рис. 30.6, в зоне магнитного полюса N находится датчик $ДХ1$. При этом на выходе датчика появляется сигнал, при котором транзистор $VT2$ пере-

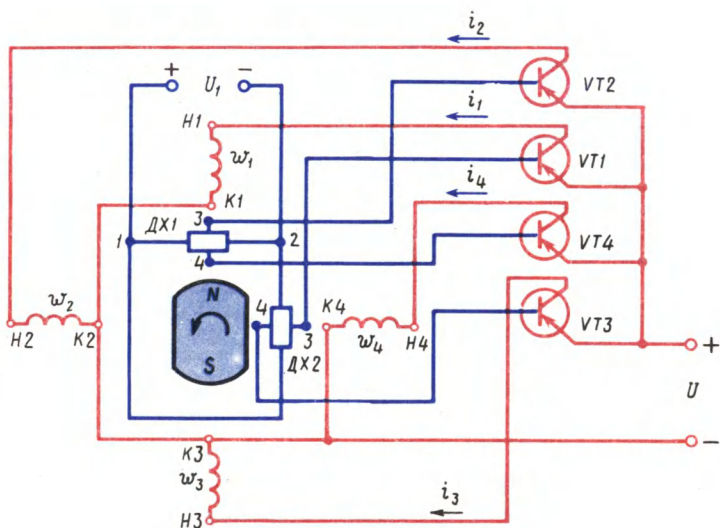


Рис. 30.6. Принципиальная схема БДПТ

ходит в открытое состояние. В обмотке фазы статора w_2 появляется ток i_2 , протекающий от $H2$ к $K2$. При этом полюсы статора 2 и 4 приобретают полярность S и N (рис. 30.8, а). В результате взаимодействия магнитных полей статора и ротора (постоянного магнита) появляется электромагнитный момент M , вращающий ротор. После поворота ротора относительно оси полюсов статора $1—3$ на некоторый угол α против часовой стрелки датчик $ДХ2$ окажется в зоне магнитного полюса S , при этом по сигналу с датчика $ДХ2$ включается транзистор $VT3$. В фазной катушке w_3 возникает ток i_3 и полюсы 3 и 1 приобретают полярность S и N . При этом магнитный поток статора Φ создается совместным действием МДС обмоток фаз w_2 и w_3 . Вектор этого потока повернут относительно оси 2—4 на угол 45° (рис. 30.8, б). Ротор, продолжая вращение, занимает положение по оси полюсов статора 2—4. При этом датчик $ДХ1$ попадает в межполюсное пространство ротора, а датчик $ДХ2$ останется в зоне полюса S ротора. В результате транзистор $VT2$ закрывается, транзистор $VT3$ останется открытым и магнитный поток Φ , создаваемый МДС обмотки фазы w_3 , поворачивается относительно оси полюсов 2—4 еще на 45° (рис. 30.8, в). После того как ось вращаю-

шегося ротора пересечет ось полюсов статора 2—4, датчики ДХ1 и ДХ2 окажутся в зоне полюса ротора S, что приведет к включению транзисторов VT3 и VT4. Дальнейшую работу элементов схемы БДПТ (рис. 30.8) до завершения вектором потока Φ одного оборота проследим по табл. 30.1 и рис. 30.8, а—з.

На рис. 30.9 показано устройство рассмотренного БДПТ. Датчики Холла 3 размещены в специальных пазах полюсных наконечников 1 сердечника статора.

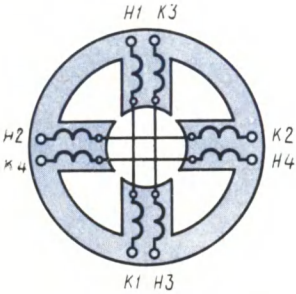


Рис 30.7. Расположение обмоток фаз на полюсах статора БДПТ

Постоянный магнит 2 не имеет центрального отверстия для посадки на вал, он закладывается в тонкостенную гильзу и закрывается привариваемыми фланцами двух полуосей. Такая конструкция ротора позволяет избежать выполнения центрального отверстия в постоянном магните, что часто является причиной брака (трещины, сколы и т. п.). Блок коммутатора (БК) расположен на панелях 5, отделен от двигателя перегородкой 4 и закрыт металлическим колпаком 6, через который выведены провода 7 для подключения двигателя в сети постоянного тока. Подобная конструкция применена в БДПТ полезной мощностью от 1 до 120 Вт.

Изменение направления вращения (реверс) двигателя осуществляется изменением полярности напряжения U_1 в токовой цепи датчиков Холла. Изменение полярности напряжения U на входе двигателя недопустимо, так как при этом прекращается работа блока коммутатора.

Коэффициент полезного действия БДПТ по сравнению с коллекторными двигателями постоянного тока выше, что объясняется отсутствием щеточно-коллекторного узла, а значит, электрических потерь в щеточном контакте и механических потерь в коллекторе.

Т а б л и ц а 30.1

Позиция на рис 30 8	а	б	в	г	д	е	ж	з	а
Открыты транзисторы	VT2	VT2, VT3	VT3	VT3, VT4	VT4	VT4, VT1	VT1	VT1 VT2	VT2
Ток i проходит по фазным катушкам	ω_2	ω_2 , ω_3	ω_3	ω_3 , ω_4	ω_4	ω_1 , ω_4	ω_1	ω_1 , ω_2	ω_2
Угол поворота вектора потока статора, град	0	45	90	135	180	225	270	315	360

К достоинствам БДПТ относятся также высокая надежность и долговечность, что объясняется отсутствием у них щеточно-коллекторного узла, т. е. их бесконтактностью. Двигатели могут работать в условиях широкого диапазона температур окружающей среды, в вакууме, в средах с большой влажностью и т. п., где применение коллекторных двигателей недопустимо из-за неработоспособности щеточно-коллекторного узла.

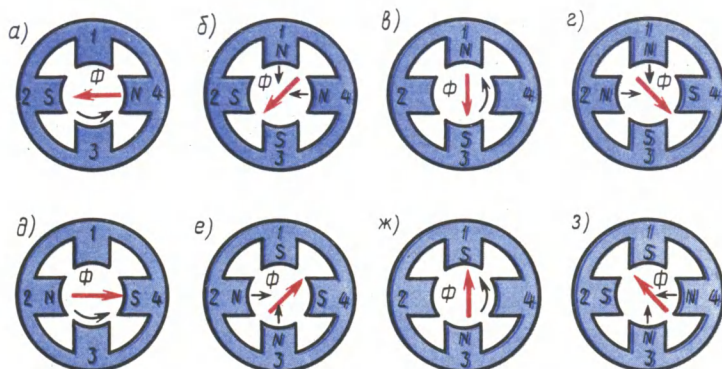


Рис. 30.8. Магнитное поле статора в четырехполюсном БДПТ

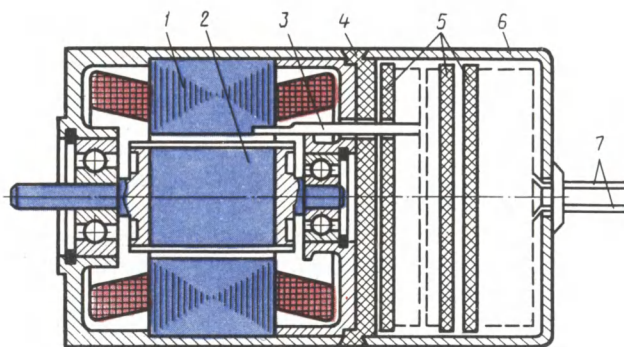


Рис. 30.9. Устройство БДПТ

Недостаток БДПТ — повышенная стоимость, обусловленная наличием полупроводникового блока коммутатора, чувствительных элементов (датчиков ЭДС Холла) и постоянного магнита.

§ 30.4. Исполнительные двигатели постоянного тока

Исполнительные двигатели постоянного тока, так же как асинхронные исполнительные двигатели (см. § 17.4), применяются в системах автоматики для преобразования электрического

сигнала в механическое перемещение. Помимо обычных требований, предъявляемых к электродвигателям общего назначения, к исполнительным двигателям предъявляется ряд специфических требований, из которых основными являются отсутствие самохода и малоинерционность (см. § 17.4).

Почти все исполнительные двигатели (исключение составляют лишь двигатели с постоянными магнитами) имеют две обмотки. Одна из них постоянно подключена к сети и называется *обмоткой возбуждения*, на другую — *обмотку управления* — электрический сигнал подается лишь тогда, когда необходимо вызвать вращение вала. От напряжения управления зависят частота вращения и вращающий момент исполнительного двигателя, а следовательно, и развиваемая им механическая мощность.

Исполнительные двигатели постоянного тока по конструкции отличаются от двигателей постоянного тока общего назначения только тем, что имеют шихтованные (набранные из листов электротехнической стали) якорь, станину и полюсы, что необходимо для работы исполнительных двигателей в переходных режимах. Магнитная цепь исполнительных двигателей не насыщена, поэтому реакция якоря (см. § 26.2) практически не влияет на их рабочие характеристики.

В качестве исполнительных двигателей постоянного тока в настоящее время используют чаще всего двигатели с независимым возбуждением, реже — двигатели с постоянными магнитами. У двигателей с независимым возбуждением в качестве обмотки управления используют либо обмотку якоря — двигатели с якорным управлением, либо обмотку полюсов — двигатели с полюсным управлением.

У исполнительных двигателей с якорным управлением обмоткой возбуждения является обмотка полюсов, а обмоткой управления — обмотка якоря (рис. 30.10, а). Обмотку возбуждения подключают к сети с постоянным напряжением U_b на все время работы автоматического устройства. На обмотку управления подают сигнал (напряжение управления) лишь тогда, когда необходимо вызвать вращение якоря двигателя. От напряжения управления зависят вращающий момент и частота вращения двигателя. При изменении полярности напряжения управления меняется направление вращения якоря двигателя.

У исполнительных двигателей с полюсным управлением обмоткой управления является обмотка полюсов, а обмоткой возбуждения — обмотка якоря (рис. 30.10, б). Якорь двигателя постоянно подключен к сети с напряжением $U_b = \text{const}$. Для ограничения тока иногда последовательно с якорем включают добавочное (балластное) сопротивление R_d . На обмотку полюсов напряжение управления U_y (сигнал) подают лишь тогда, когда необходимо вызвать вращение якоря.

Исполнительные двигатели постоянного тока обычной конструкции имеют существенный недостаток — замедленность пе-

реходных процессов, т. е. отсутствие малоинерционности. Объясняется это в основном двумя причинами: наличием массивного якоря со стальным сердечником, обладающим значительным моментом инерции, и значительной индуктивностью L_a обмотки якоря, уложенной в пазы сердечника якоря. Последняя причина способствует увеличению электромагнитной постоянной времени $T = L_a / \Sigma r$. Указанные недостатки отсутствуют в двигателях с гладким (беспазовым) якорем (рис. 30.11). Станина 1 и полюсы 3 этого двигателя обычные. Возбуждение двигателя осуществляется либо с помощью обмотки возбуждения 2, либо постоянными магнитами.

Для уменьшения момента инерции якоря его обмотка отделена от массивного ферромагнитного сердечника, последний выполнен неподвижным (внутренний статор 5) и расположен на цилиндрическом выступе подшипникового щита 6.

Обмотка якоря в процессе изготовления укладывается на цилиндрический каркас, а затем заливается пластмассой. Готовый якорь 4 представляет собой полый стакан, состоящий из проводников обмотки, связанных воедино пластмассой. Концы секций обмотки, как и в обычном двигателе, соединяются с пластинами коллектора, который является частью дна полого стакана якоря 4. Вращаю-

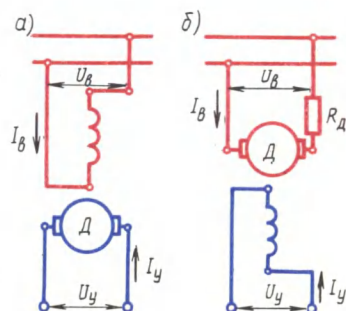


Рис. 30.10. Схемы включения исполнительных двигателей постоянного тока

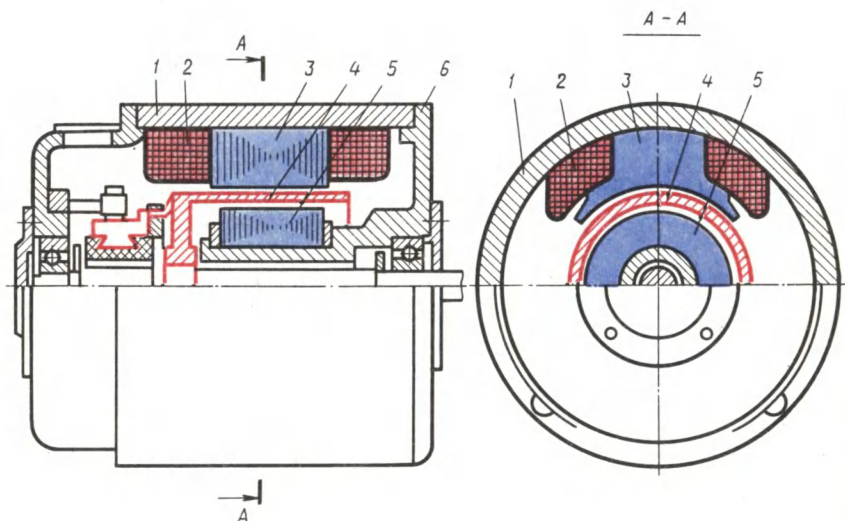


Рис. 30.11 Малоинерционный исполнительный двигатель постоянного тока с полым якорем

щийся узел двигателя с гладким якорем состоит из вала, коллектора и обмотки якоря, залитой пластмассой.

Момент инерции полого якоря значительно меньше момента инерции обычного якоря, что обеспечивает хорошее быстрое действие двигателя. Кроме того, индуктивность обмотки якоря снижается, что также способствует повышению быстрого действия двигателя. К тому же снижение индуктивности обмотки улучшает коммутацию двигателя за счет уменьшения реактивной ЭДС (см. § 27.4).

Недостаток рассмотренного малоинерционного двигателя с полым якорем — наличие большого немагнитного промежутка между полюсами статора и неподвижным ферромагнитным сердечником — внутренним статором. Этот промежуток складывается из двух воздушных зазоров и толщины стакана якоря (толщины слоя обмотки якоря). Наличие большого немагнитного промежутка на пути магнитного потока требует значительного увеличения МДС возбуждения, что приводит, во-первых, к увеличению габаритов двигателя из-за увеличения объема обмотки возбуждения, а во-вторых, к росту потерь на нагрев обмотки возбуждения. Однако КПД двигателя с полым якорем вследствие отсутствия потерь в стали сердечника якоря практически находится на том же уровне, что и в обычных двигателях, а в случае применения для возбуждения постоянных моментов значительно превосходит КПД последних.

Контрольные вопросы

1. Каково назначение компенсационной обмотки в ЭМУ?
3. Почему выходная характеристика тахогенератора криволинейна?
3. Будет ли работать БДПТ, если изменить полярность напряжения на его входе (см. рис. 30.6)?
4. Объясните принцип якорного и полюсного способов управления исполнительными двигателями
5. Каковы достоинства и недостатки малоинерционного двигателя постоянного тока?

§ 31.1. Нагревание электрических машин и трансформаторов

Работа электрической машины или трансформатора всегда сопровождается ее нагреванием, что является следствием происходящих потерь энергии. Все виды потерь энергии в итоге преобразуются в теплоту, которая частично отдается в окружающую среду, а частично идет на нагревание машин. Для выяснения закона нагревания электрических машин условно считают, что нагрев происходит равномерно по всему объему машины, а теплота одинаково рассеивается со всей ее поверхности.

Напишем уравнение теплового баланса при указанных условиях:

$$Qdt = Gcd\tau + S\lambda dt, \quad (31.1)$$

где Qdt — количество теплоты, выделяемой в машине за время dt ; Q — количество теплоты, выделяемой в машине в единицу времени; t — время; $Gcd\tau$ — количество теплоты, поглощаемой частями машины и расходуемой на их нагревание; G — масса нагреваемой машины; c — удельная теплоемкость, т. е. количество теплоты, необходимой для нагревания 1 кг данного вещества на 1°C ; τ — превышение температуры машины над температурой окружающей среды; $S\lambda dt$ — количество теплоты, рассеиваемой с поверхности машины в окружающее пространство; S — площадь поверхности, с которой рассеивается теплота; λ — коэффициент теплового рассеяния, который представляет собой количество теплоты, рассеиваемой с единицы поверхности машины в 1 с при повышении температуры на 1°C .

В начальный период работы машина имеет температуру, практически не отличающуюся от температуры окружающей среды, т. е. $\tau \approx 0$. В этом случае $S\lambda dt \approx 0$, а поэтому вся теплота, выделяемая в машине, идет на повышение температуры ее частей. Затем количество теплоты, рассеиваемой в окружающую среду, увеличивается. И наконец, через

некоторое время машина настолько нагревается, что вся теплота, выделяющаяся в машине, будет рассеиваться в окружающую среду. При этом дальнейшее повышение температуры машины прекратится и наступит режим теплового равновесия, при котором вся теплота, выделяемая в машине, рассеивается с ее поверхности в окружающую среду:

$$Qdt = S\lambda\tau_{уст}dt, \quad (31.2)$$

где $\tau_{уст}$ — установившаяся температура перегрева машины, т. е. наибольшее возможное превышение температуры машины над температурой окружающей среды θ_1 в данных условиях, °С;

$$\tau_{уст} = \theta_{уст} - \theta_1,$$

где $\theta_{уст}$ — установившаяся температура нагрева машины, °С.

Из (31.2) следует, что

$$\tau_{уст} = Q/(S\lambda), \quad (31.3)$$

т. е. установившаяся температура перегрева машины не зависит от массы машины, а определяется количеством теплоты, выделяемой в машине в единицу времени, площадью охлаждаемой поверхности и коэффициентом рассеяния.

Зависимость температуры перегрева машины τ от времени t выражается равенством

$$\tau = \tau_{уст} (1 - e^{-t/T}), \quad (31.4)$$

где $e=2,718$ — основание натуральных логарифмов; T — постоянная нагревания, показывающая то время, в течение которого данное тело нагревалось бы до наибольшей установившейся температуры, если бы не было рассеяния теплоты.

Кривая нагревания $\tau=f(t)$, построенная в соответствии с (31.4), показывает, что электрическая машина достигает установившейся температуры перегрева лишь по истечении длительного времени (рис. 31.1, а). Проведя касательную к кривой $\tau=f(t)$ в ее начальной части, получим отрезок, численно равный постоянной нагревания T . Если прекратится нагревание машины, например при отключении машины от сети, то уравнение теплового баланса примет вид

$$0 = Gcdt + S\lambda\tau dt,$$

или

$$-Gcdt = S\lambda\tau dt, \quad (31.5)$$

т. е. излучение теплоты с поверхности машины будет происходить за счет теплоты, накопленной в ней, и поэтому машина начнет охлаждаться. Изменение температуры перегрева в процессе охлаждения машины происходит согласно выражению

$$\tau = \tau_{уст}e^{-t/T}. \quad (31.6)$$

Кривая охлаждения $\tau = f(t)$ представлена на рис. 31.1, б. Изложенные законы нагревания и охлаждения электрических машин применимы и для трансформаторов.

Наиболее чувствительна к перегреву электрическая изоляция обмоток. Под действием высоких температур происходит тепловое старение изоляции, проявляющееся в ухудшении ее электроизоляционных и механических свойств.

Электроизоляционные материалы, применяемые в электрических машинах и трансформаторах, делят на пять классов нагревостойкости. Каждому классу соответствует допустимая предельная температура нагрева, при которой изоляция может надежно работать в течение длительного времени (см. § 8.4). При превышении указанной температуры срок службы изоляции резко сокращается.

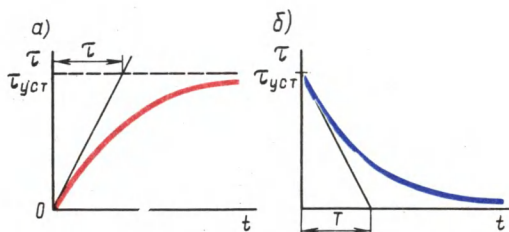


Рис. 31.1. Кривые нагревания (а) и охлаждения (б) электрической машины

Сильный перегрев машины может отрицательно повлиять и на другие ее элементы. Так, например, при значительном перегреве коллектор может потерять цилиндрическую форму, могут нарушиться пайки в «петушках» или же могут выйти из строя подшипники. Стандарты устанавливают предельно допустимые превышения температуры частей электрических машин и трансформаторов. В соответствии с ГОСТ 183—74 за температуру окружающей газообразной среды принята температура 40°C. Исходя из этого превышение температуры какой-либо части машины (°C) определяется выражением

$$\tau_{уст} = \theta_{уст} - 40, \quad (31.7)$$

где $\theta_{уст}$ — установившаяся температура нагрева данной части машины, °C.

Определение установившейся температуры нагрева обмотки $\theta_{уст}$ методом сопротивления состоит в измерении активного сопротивления этой обмотки до включения машины r_1 и после ее работы в течение времени, за которое температура нагрева обмотки достигнет установившегося значения r_2 . Продолжительность этого времени зависит от режима работы машины и ее массы и может составлять от 2 до 5 ч. Температура нагрева обмотки (°C)

$$\theta_{уст} = \frac{r_2 - r_1}{\alpha r_1} + \theta_1, \quad (31.8)$$

где θ_1 — температура обмотки до включения машины, °C; α — температурный коэффициент, для меди и алюминия $\alpha = 0,004$ 1/°C.

При расчете электрической машины или трансформатора следует выбирать удельные нагрузки (плотность тока, магнитная индукция) такими, чтобы превышения температуры частей этой машины или трансформатора были достаточно близки к установленным стандартом предельным значениям. Если удельные нагрузки принять заниженными, то превышение температуры окажется намного ниже установленной стандартом, что приведет к худшему использованию активных материалов в проектируемом изделии, т. е. к неоправданному увеличению его размеров. Если же принять завышенные значения удельных нагрузок, то превышение температуры проектируемого изделия окажется недопустимо высоким, что вызовет снижение его КПД и сократит срок его службы. Поэтому основная задача при проектировании электрических машин и трансформаторов — выбор оптимальных (наилучших) соотношений удельных электромагнитных нагрузок, с тем чтобы получить надежное изделие с высокими технико-экономическими показателями.

§ 31.2. Номинальные режимы работы электрических машин

В зависимости от характера изменения нагрузки различают три основных номинальных режима работы электрических машин.

Продолжительный номинальный режим. Это режим работы при неизменной номинальной нагрузке, продолжающийся столько времени, что превышение температуры всех частей машины при неизменной температуре окружающей среды достигает установившихся значений $\tau_{уст}$ (рис. 31.2, а). Условное обозначение режима S1.

Кратковременный номинальный режим. Это режим работы, при котором периоды неизменной номинальной нагрузки чередуются с периодами отключения машины; при этом периоды нагрузки t_n настолько кратковременны, что температура всех частей машины не достигает установившегося значения, а периоды отключения машины настолько длительны, что все части ее успевают охладиться до температуры окружающей среды (рис. 31.2, б). Условное обозначение режима S2.

Повторно-кратковременный номинальный режим. Это режим работы, при котором кратковременные периоды неизменной номинальной нагрузки t_n чередуются с периодами отключения машины (паузами) t_p , причем за период нагрузки превышение температуры всех частей машины не успевает достигнуть установившихся значений, а за время паузы части машины не успевают охладиться до температуры окружающей среды. При этом общее вре-

мая работы разбивается на периодически повторяющиеся циклы $t_{ц} = t_n + t_n$. Условное обозначение режима S3.

При повторно-кратковременном режиме работы кривая нагревания машины имеет пилообразный вид (рис. 31.2, в). При достижении частями машины установившихся значений превышения температуры, соответствующих повторно-кратковременному режиму $\tau_{уст.к}$, превышение температуры этих частей продол-

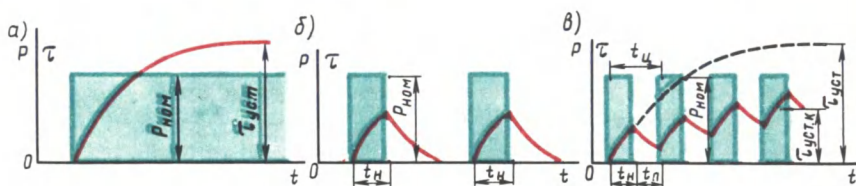


Рис. 31.2. Графики $\tau = f(t)$ для продолжительного (а), кратковременного (б) и повторно-кратковременного (в) режимов работы электрических машин

жает колебаться от τ_{\min} до τ_{\max} меньше установившейся температуры перегрева при продолжительном режиме работы $\tau_{уст}$.

Повторно-кратковременный режим характеризуется относительной продолжительностью включения (%)

$$ПВ = (t_n / t_{ц}) 100.$$

ГОСТ 183—74 предусматривает номинальные повторно-кратковременные режимы с ПВ, составляющими 15; 25; 40 и 60 %. Для продолжительного режима ПВ = 100 %.

Так как при номинальных кратковременном и повторно-кратковременном режимах температура перегрева машины ниже, чем при номинальном продолжительном режиме, то при переводе машины из продолжительного режима в кратковременный или повторно-кратковременный режим работы ее полезная мощность может быть увеличена. Например, при ПВ = 60 % полезная мощность машины может быть увеличена до $1,3P_{\infty}$; при ПВ = 40 % — до $1,6P_{\infty}$; при ПВ = 25 % — до $2P_{\infty}$, где P_{∞} — номинальная мощность машины при продолжительном режиме.

Кроме перечисленных трех основных номинальных режимов еще возможны: *повторно-кратковременный с частыми пусками* с ПВ = 15, 25, 40, 60 % и числом включений в час 30, 60, 120, 240, условное обозначение режима S4; *повторно-кратковременный с частыми пусками (по режиму S4), но еще и с электрическим торможением*, условное обозначение режима S5; *перемещающийся с продолжительностью нагрузки* НП = 15, 25, 40, 60 % и продолжительностью одного цикла 10 мин, условное обозначение режима S6; *перемежающийся с частыми реверсами и электрическим торможением с числом реверсов в час 30, 60, 120, 240*, условное обозначение режима S7; *перемещающийся с двумя (и более) частотами вращения с числом циклов в час 30, 60, 120, 240*, условное обозначение режима S8.

§ 31.3. Охлаждение электрических машин

Из уравнения теплового баланса

$$Qdt = Gcd\tau + S\tau dt = Q_1 + Q_2$$

следует, что теплота, выделяемая в электрической машине, лишь частично затрачивается на ее нагревание ($Q_1 = Gcd\tau$), а частично (Q_2) рассеивается с поверхности машины, главным образом путем конвекции — переносом потоками воздуха.

По способу охлаждения электрические машины разделяют на два вида: машины с естественным охлаждением и машины с искусственным охлаждением.

Машины с естественным охлаждением. Эти машины не имеют вентиляторов или каких-либо других устройств, способствующих охлаждению машины. Охлаждение происходит в основном естественным путем за счет теплопроводности и конвекции.

Теплопроводность — это передача теплоты внутри твердого тела. Например, пазовые части обмотки статора, нагреваясь, передают теплоту через слои пазовой изоляции в сердечник. Через места крепления сердечника теплота передается в корпус статора. Передача теплоты теплопроводностью происходит от более нагретых слоев твердого тела к менее нагретым.

Конвекция состоит в том, что частицы газа (воздуха), соприкасающиеся с поверхностью нагретого тела (лобовые части обмоток, сердечники, корпус), нагреваются, становятся легче и поднимаются вверх, уступая свое место менее нагретым частицам, и т. д. Такая конвекция называется естественной. Во вращающейся машине имеет место еще и искусственная конвекция, обусловленная вращением ротора (якоря), который создает принудительную циркуляцию газа (воздуха), что усиливает эффект конвекции внутри машины. Естественное охлаждение обычно применяют либо в открытых машинах большой мощности, либо в закрытых машинах небольшой мощности, работа которых не сопровождается значительным нагревом. Например, в двигателях постоянного тока серии 2П закрытое исполнение с естественным охлаждением применено при мощности до 8 кВт.

Машины с искусственным охлаждением. В этих машинах применяют специальное устройство, обычно вентилятор, создающий движение в машине газа, охлаждающего нагретые части машины. Значительную группу машин с искусственным охлаждением составляют машины с с а м о в е н т и л я ц и е й, у которых вентилятор закреплен на валу машины; в процессе работы он, вращаясь, создает аэродинамический напор, необходимый для «прогона» охлаждающего газа через машину. Самовентиляция может быть наружной и внутренней.

При наружной самовентиляции воздухом обдувается внешняя поверхность корпуса статора (станины). Машина в этом случае имеет закрытое исполнение с ребристой поверхно-

стью (для увеличения поверхности охлаждения). Устройство асинхронного двигателя с наружной самовентиляцией (наружным обдувом) показано на рис. 10.2.

При внутренней самовентиляции в корпусе и подшипниковых щитах машины делают специальные отверстия, через которые воздух из окружающей машину среды проникает внутрь машины, охлаждает ее, а затем выбрасывается наружу.

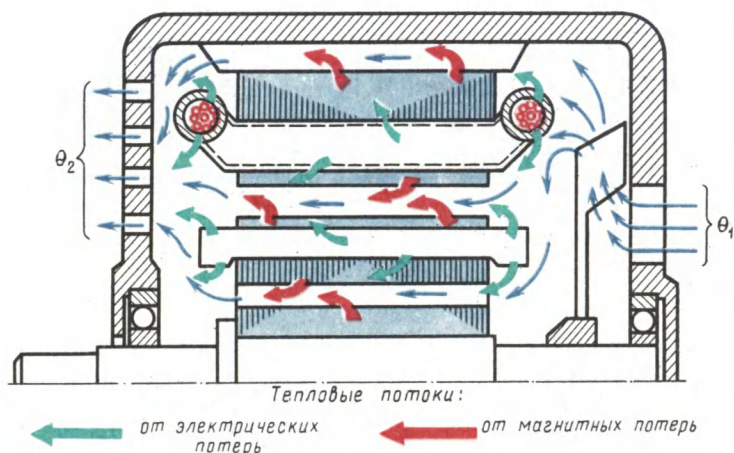


Рис. 31.3. Принцип внутренней самовентиляции электрической машины

Принцип внутренней самовентиляции, получивший в электрических машинах преимущественное применение, иллюстрирует рис. 31.3. На валу машины закреплен центробежный вентилятор. Вращаясь вместе с валом машины, он затягивает через отверстие в правом подшипниковом щите воздух, создавая внутри машины аэродинамический напор, под действием которого воздух прогоняется через внутреннюю полость машины. Воздух проходит через вентиляционные каналы, зазор и межполюсное пространство (при явнополюсной конструкции машины). При этом он «омывает» нагретые части машины: сердечники статора и ротора (якоря), лобовые части обмоток, полюсные катушки. В результате воздух отбирает теплоту от нагретых частей (тепловые потоки показаны на рисунке красными и зелеными стрелками) и в нагретом состоянии выходит через специальные отверстия (жалюзи) в левом подшипниковом щите со стороны, противоположной вентилятору. Температура воздуха на выходе машины θ_2 больше температуры воздуха на входе машины θ_1 .

Повышение температуры воздуха (или другого газа) при прохождении через машину ($^{\circ}\text{C}$)

$$\tau_r = \theta_2 - \theta_1 \quad (31.9)$$

можно определить, если известны расход газа V (м^3) и его удельная теплоемкость c_v [$\text{Дж}/(\text{м}^3 \cdot ^\circ\text{C})$]:

$$\tau_r = \Sigma P_i / (V c_v), \quad (31.10)$$

где ΣP_i — суммарные потери, теплота которых удаляется охлаждающим газом, Вт. Удельная теплоемкость для воздуха и водорода $c_v = 1,1 \cdot 10^3$ $\text{Дж}/(\text{м}^3 \cdot ^\circ\text{C})$.

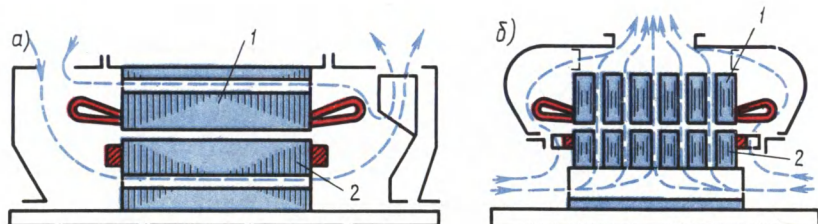


Рис. 31.4 Аксиальная (а) и радиальная (б) системы вентиляции:
1 — статор, 2 — ротор

Для более эффективного охлаждения в магнитопроводе некоторых электрических машин делают вентиляционные каналы, через которые проходит охлаждающий газ. Вентиляционные каналы называют *аксиальными*, если они расположены параллельно оси ротора (рис. 31.3), и *радиальными*, если они расположены перпендикулярно оси машины. Вентиляцию, при которой охлаждающий газ перемещается вдоль оси машины, называют *аксиальной* (рис. 31.4, а), если же газ перемещается перпендикулярно оси машины по радиальным каналам, то вентиляцию называют *радиальной* (рис. 31.4, б).

Радиальные вентиляционные каналы получают делением общей длины сердечника на пакеты по 40—60 мм. Между пакетами оставляют промежутки по 10 мм, которые и являются радиальными каналами. Иногда в машинах применяют *радиально-аксиальную* вентиляцию.

В двигателях с регулировкой частоты вращения вниз от номинальной при малой частоте вращения самовентиляция становится малоэффективной. Это ведет к чрезмерному перегреву машины. Поэтому в таких двигателях целесообразно применение *независимой* вентиляции, когда вентилятор имеет собственный привод (частота вращения последнего не зависит от режима работы машины). Независимую вентиляцию применяют также для охлаждения электрических машин, работающих во взрывоопасной или химически активной среде. В этом случае вентилятор 4 (рис. 31.5, а) через трубопровод 3 нагнетает воздух в машину 1 и по трубе 2 выбрасывает его наружу. Такая система независимой вентиляции называется *разомкнутой* в отличие от *замкнутой* системы (рис. 31.5, б), когда один и тот же объем газа циркулирует в замкнутой системе, состоящей из двигателя (объект охлажде-

ния) 1, независимого вентилятора 2 трубопровода 3 и 5 и охладителя 4, в котором охлаждается нагретый в машине газ.

Все способы охлаждения электрических машин принято обозначать буквами IC, являющимися начальными буквами английских слов *International Cooling*, остальные буквы и цифры обозначают способ охлаждения машины. Сначала указывается буква, обозначающая вид хладагента:

А — воздух, Н — водород, W — вода и т. д. Если хладагентом является только воздух, то буква опускается. Затем идет несколько цифр: первая цифра условно обозначает устройство цепи охлаждения для циркуляции хладагента, например воздуха, вторая — способ перемещения хладагента. Если машина имеет несколько цепей охлаждения (например, внутренняя вентиляция и наружный обдув), то в обозначении может быть четыре цифры: две — для обозначения наружной цепи охлаждения и две — для внутренней.

Ниже приведены примеры обозначения наиболее распространенных способов охлаждения электрических машин:

IC01 — защищенная машина с самовентилицией; вентилятор расположен на валу машины

IC37 — закрытая машина с подводящей и отводящей трубами; машина охлаждается вентилятором с приводным электродвигателем, не установленным на машине.

IC0041 — закрытая машина с естественным охлаждением.

IC0141 — закрытая машина, обдуваемая наружным вентилятором, расположенным на валу машины.

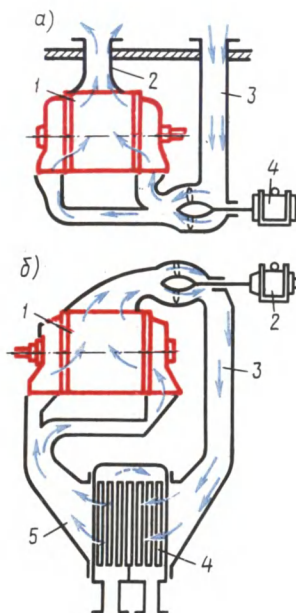


Рис. 31.5. Разомкнутая (а) и замкнутая (б) независимые системы вентиляции

§ 31.4. Охлаждение крупных электрических машин

В крупных электрических машинах применяют замкнутую систему вентиляции с использованием водорода в качестве охлаждающего газа. Особые свойства водорода обеспечивают водородному охлаждению ряд преимуществ:

1. Технический водород более чем в десять раз легче воздуха, что способствует снижению потерь на вентиляцию, а следовательно, повышает КПД машины. Например, в турбогенераторе мощностью 150 тыс. кВт потери на вентиляцию при воздушном охлаждении составляют 1000 кВт, а при водородном охлаждении турбогенератора такой же мощности эти потери составляют всего лишь 140 кВт, т. е. более чем в семь раз меньше.

2. Благодаря повышенной теплопроводности водорода, которая в 6—7 раз больше, чем у воздуха, он интенсивнее охлаждает машину. Это дает возможность при заданных габаритах изготовить машину с водородным охлаждением мощностью на 20—25 % больше, чем при воздушном охлаждении.

3. Водородное охлаждение снижает опасность возникновения пожара в машине потому, что водород не поддерживает горения.

4. Водородное охлаждение увеличивает срок службы изоляции обмоток, так как при явлении короны благодаря отсутствию азота в машине не образуются нитраты — соединения, разъедающие органические составляющие изоляционных материалов.

Эффективность водородного охлаждения повышается с ростом давления водорода в машине. Но наряду с перечисленными достоинствами водородное охлаждение имеет и недостатки, сущность которых сводится к тому, что водородное охлаждение ведет к усложнению и удорожанию как самой машины, так и ее эксплуатации. Объясняется это в первую очередь необходимостью содержания целого комплекса устройств водородного хозяйства, обеспечивающего подпитку, очистку и поддержание требуемого давления водорода в системе охлаждения машины. Однако в машинах большой единичной мощности (турбогенераторах, гидрогенераторах, синхронных компенсаторах) водородное охлаждение оправдано и дает большой экономический эффект.

Рассмотренные способы охлаждения машин являются косвенными, так как происходят без непосредственного контакта охлаждающего вещества с наиболее нагретыми элементами машины — обмотками. Отбор теплоты от обмоток при этих способах охлаждения происходит через электрическую изоляцию (в лобовых частях) и сталь магнитопровода, что снижает эффективность процесса охлаждения. Поэтому более эффективным является непосредственное охлаждение обмоток и других нагреваемых элементов машины. Для осуществления этого способа охлаждения в проводниках обмотки и сердечниках делают внутренние каналы, по которым циркулирует охлаждающее вещество — водород, вода, масло.

Непосредственный контакт охлаждающего вещества с проводниками обмоток и внутренними слоями магнитопроводов повышает интенсивность теплоотвода и позволяет существенно увеличить удельные электромагнитные нагрузки машины (плотность тока и максимальное значение магнитной индукции). Обычно непосредственное охлаждение применяют в электрических машинах весьма большой мощности — турбо- и гидрогенераторах, что позволяет значительно увеличить единичную мощность этих машин. Так, благодаря использованию непосредственного способа охлаждения были созданы турбогенераторы единичной мощности 800 и 1200 тыс. кВт. Дальнейшее совершенствование систем охлаждения позволит создавать электрические машины еще большей единичной мощности с высокими технико-экономическими показателями.

§ 31.5. Охлаждение трансформаторов

Отсутствие у трансформаторов вращающихся частей уменьшает нагрев трансформатора из-за отсутствия механических потерь, но это же обстоятельство усложняет процесс охлаждения, так как исключает применение в трансформаторах самовентилиации. По этой причине основной способ охлаждения трансформаторов — естественное охлаждение. Однако в трансформаторах значительной мощности с целью повышения удельных электромагнитных нагрузок применяют более эффективные методы охлаждения. Наибольшее применение получили следующие способы охлаждения трансформаторов.

Естественное воздушное охлаждение. Все нагреваемые части трансформатора непосредственно соприкасаются с воздухом. Их охлаждение происходит за счет излучения теплоты и естественной конвекции воздуха. Иногда такие трансформаторы снабжают защитным кожухом, имеющим жалюзи или же отверстия, закрытые сеткой. Этот вид охлаждения применяют в трансформаторах низкого напряжения при их установке в сухих закрытых помещениях.

Естественное масляное охлаждение. Магнитопровод с обмотками помещают в бак, заполненный трансформаторным маслом, которое омывает нагреваемые части трансформатора, путем конвекции отводит теплоту и передает ее стенкам бака, последние, в свою очередь, охлаждаются путем излучения теплоты и конвекции воздуха. Для увеличения охлаждаемой поверхности бака его делают ребристым или же применяют трубчатые баки (см. рис. 1.13). В трансформаторах большой единичной мощности трубы объединяют в радиаторы (радиаторные баки). Нагретые частицы масла поднимаются в верхнюю часть бака и по трубам опускаются вниз. При этом, соприкасаясь со стенками труб, масло охлаждается. Трансформаторное масло обладает высокими электроизоляционными свойствами, поэтому, пропитывая изоляцию обмоток, оно улучшает ее свойства и повышает надежность трансформаторов при высоких напряжениях. Это особенно важно для трансформаторов, устанавливаемых на открытых площадках. Следует заметить, что масляное охлаждение усложняет и удорожает эксплуатацию трансформаторов, так как требует систематического контроля за качеством масла и периодической его замены.

Масляное охлаждение с дутьем. Трансформаторы снабжают электрическими вентиляторами, которые обдувают радиаторы трансформатора. Конвекция масла внутри бака остается естественной. Этот вид охлаждения позволяет увеличить единичную мощность трансформатора на 40—50 %. Обычно масляное охлаждение с дутьем применяют в трансформаторах мощностью свыше 10 000 кВт. При снижении нагрузки трансформатора с дутьевым охлаждением на 50—60 % вентиляторы можно отключить, т. е. перейти на естественное масляное охлаждение.

Масляное охлаждение с дутьем и принудительной циркуляцией масла. С помощью насоса 1 (рис. 31.6) создают принудительную циркуляцию трансформаторного масла через специальные охладители 2, собранные из трубок. Одновременно необходимое число вентиляторов 3 создает направленные потоки воздуха, обдувающие поверхность трубок охладителя.

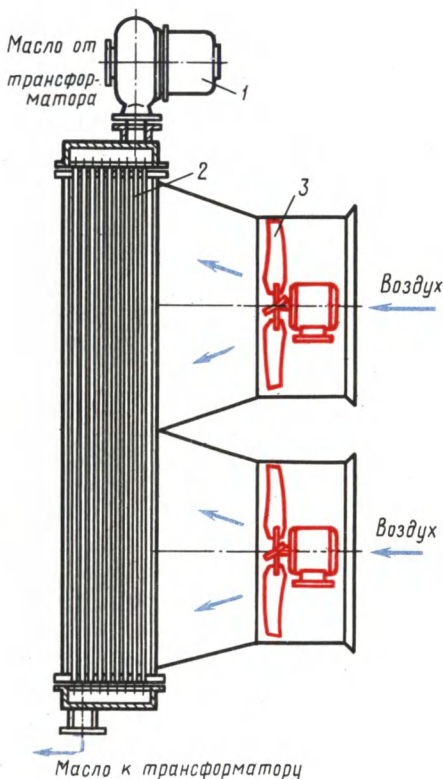


Рис 31.6 Масляное охлаждение трансформатора с дутьем и принудительной циркуляцией масла

Масляно-водяное охлаждение (рис. 31.7). Нагретое в трансформаторе 1 масло посредством насоса 2 прогоняется через охладитель 3, в котором циркулирует вода. Это наиболее эффективный способ охлаждения, так как коэффициент теплопередачи от масла в воду значительно выше, чем в воздух. Одновременно масло проходит через воздухоохладитель 4 и фильтр 5, где освобождается от нежелательных включений.

§ 31.6. Новые принципы выполнения электрических машин

В настоящее время резервы по усовершенствованию электрических машин традиционной конструкции во многом исчерпаны. Исследования показали, что дальнейшее увеличение единичной мощности этих машин возможно лишь до значений, не превышающих $(2 \div 3) \times 10^6$ кВт, в то время как

в ближайшее десятилетие потребуются машины значительно большей мощности. В этих условиях оказывается целесообразным переход к машинам нового принципа выполнения. За последние годы достигнут определенный прогресс в создании подобных машин. Рассмотрим два вида машин нового принципа выполнения: криогенные электрические машины и магнитогиравлические машины.

Криогенные электрические машины. В криогенных электрических машинах обмотки выполняют из сверхпроводников или химически чистых металлов (гиперпроводников). При снижении температуры удельное электрическое сопротивление сверхпроводников вначале плавно снижается, а затем при температуре кри-

тического перехода $\theta_{кр} = 20 \text{ К}$ (ниже — 253°С) резко падает до нуля: $\rho^* = 0$ ($\rho = 0$), т. е. они переходят в состояние сверхпроводимости (рис. 31.8, кривая 1). У обычных металлов и сплавов нет состояния сверхпроводимости (рис. 31.8, кривая 1). У обычных металлов и сплавов нет состояния сверхпроводимости, и при снижении температуры их удельное электрическое сопротивление плавно уменьшается, достигая значения $\rho^* = 10^{-1}$ при

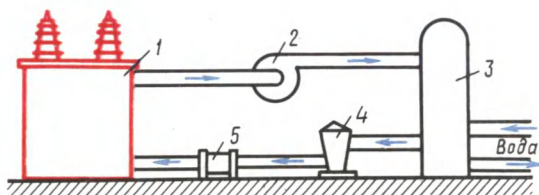


Рис 31.7. Масляно-водяное охлаждение трансформатора

температуре абсолютного нуля (кривая 2). У химически чистых металлов (гиперпроводников) также нет состояния сверхпроводимости, но при глубоком охлаждении их удельное электрическое сопротивление уменьшается до значения, в 5—7 тыс. раз меньшего, чем при комнатной температуре (кривая 3).

Это свойство сверхпроводников и чистых металлов позволяет по проводам небольшого сечения пропускать значительные токи, доводя плотность тока до 100 А/мм^2 и более. Электрические потери на нагрев обмоток при этом либо отсутствуют, либо незначительны. Все это дает возможность получать в криогенных машинах сильные магнитные поля с магнитной индукцией $B = 5 \div 10 \text{ Тл}$ (в машинах традиционного выполнения $B = 0,8 \div 1,5 \text{ Тл}$).

Криогенная машина не содержит ферромагнитного сердечника, который, обладая свойством магнитного насыщения, не позволил бы получить столь высокие значения магнитной индукции, так как вызвал бы в машине значительные магнитные потери. Снижение потерь (электрических и магнитных) позволяет повысить КПД машин и более эффективно использовать их габариты, создавая машины весьма большой единичной мощности.

Необходимым элементом криогенной машины является *криостат*, представляющий собой теплоизолированную от внешней среды емкость, заполненную хладагентом (например, жидким гелием). Внутри криостата располагают охлаждаемую обмотку или же электрическую машину целиком.

Рассмотрим конструктивную схему криогенного турбогенератора со сверхпроводящими обмотками статора 4 и ротора 3 (рис. 31.9). Вся машина помещена в криостат, заполненный жидким гелием при температуре 10 К (-263°С). На валу 2 расположено четыре металлических «полюса» 5, на каждом из которых

укреплена многovitковая полюсная катушка 3 из сверхпроводника. Статор заключен в магнитный экран 7 из сверхпроводящего сплава. Поверхность экрана имеет множество отверстий, через которые внутрь машины проникает жидкий гелий. «Полюсы» ротора 5 и «сердечник» статора 6, а также другие элементы конструкции машины не обладают ферромагнитными свойствами, а используются лишь для надежного закрепления обмоток.

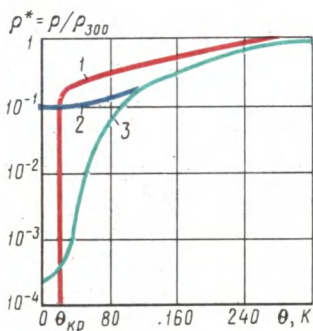


Рис. 31.8. Зависимость удельного электрического сопротивления проводников от температуры

Вся машина заключена в металлический кожух 8, образующий стенки криостата. Затем следует толстый слой теплоизоляции 9. Выделяющаяся за счет потерь тепла, а также тепла, проникающая в криостат из внешней среды, отбирается жидким гелием. Криогенная машина снабжена рефрижератором 10, подающим в криостат охлажденный гелий взамен испаряющегося. Контактные кольца 11 находятся в холодной зоне, а подшипники 1 и 12 вынесены за пределы криостата.

Рассмотренная конструкция криогенного генератора обладает существенным недостатком — значительные потери энергии в обмотке статора, вызванные переменным током в обмотке статора и переменным магнитным полем, наведенным этой обмоткой. Эти потери происходят главным образом из-за явления гистерезиса в сверхпроводящей обмотке. Пока еще не найдены эффективные способы ослабления этих потерь, вызывающих интенсивное испарение хладагента (жидкого гелия). Поэтому помимо электрических машин с криогированием обеих обмоток создаются

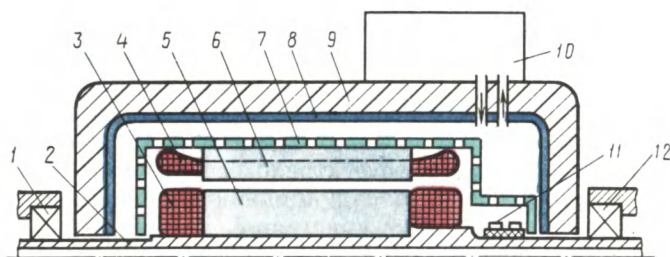


Рис. 31.9. Конструктивная схема криогенного турбогенератора со сверхпроводящими обмотками на статоре и роторе

и исследуются криогенные машины с криогированием только обмотки возбуждения. Эта обмотка питается постоянным током и защищена алюминиевым (демпфирующим) экраном от воздействия переменного магнитного поля обмотки статора, поэтому в ней не происходят явления, вызывающие магнитные потери. Об-

мотка статора в такой машине имеет обычную конструкцию, т. е. она вынесена за пределы криостата.

Исследования показали, что КПД криогенного синхронного турбогенератора с учетом всех дополнительных расходов энергии на собственные нужды (включая гелиевое охлаждение обмотки возбуждения) на 0,8 % выше, чем у обычного синхронного генератора с водородным охлаждением мощностью 1200 тыс. кВт. При этом криогенный генератор имеет массу в четыре раза меньше. Уменьшение размеров криогенного турбогенератора 2 по сравнению с обычным 1 иллюстрирует рис. 31.10.

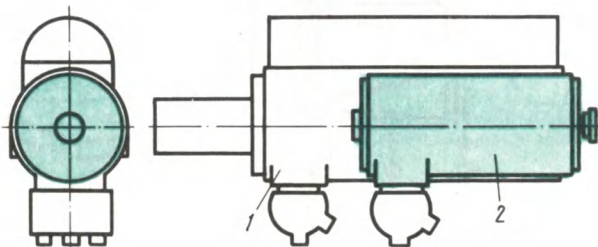


Рис. 31.10. Сравнительные размеры обычного 1 и криогенного 2 турбогенераторов мощностью 1200 тыс. кВт

В последнее время получены проводниковые материалы, обладающие сверхпроводимостью при температуре кипения жидкого азота (-196°C) — хладагента более дешевого, чем жидкий гелий (температура кипения $-268,9^{\circ}\text{C}$). Ведутся работы по созданию проводниковых материалов с еще более высокой температурой сверхпроводимости. Применение этих материалов в криогенном электромашиностроении упростит конструкцию криостатов и снизит стоимость криогенных электрических машин.

Исследования показали, что в ближайшие 10—20 лет криогенное электромашиностроение станет одним из ведущих направлений при создании электрических машин особо большой мощности, выполнение которых по традиционным принципам технически невозможно.

Магнитогидродинамические электрические машины. Рассмотрим принцип действия магнитогидродинамического (МГД) генератора, в котором тепловая энергия преобразуется непосредственно в электрическую. Принцип действия основан на том, что при движении рабочего тела, обладающего достаточной электропроводностью (электролита, жидкого металла, ионизированного газа), поперек силовых линий магнитного поля в этом рабочем теле индуцируется ЭДС и возникает ток, который через соответствующие электроды отводится во внешнюю электрическую цепь. Для пояснения воспользуемся упрощенной схемой МГД-генератора (рис. 31.11, а), в котором рабочим телом являются продукты сгорания топлива с присадкой, усиливающей их электропровод-

ность. Топливо 1, воздух 2 и присадка 3 подаются в камеру сгорания 4. Образующийся при этом ионизированный газ выходит из сопла 5 и проходит через внутреннюю полость электромагнита 6 поперек магнитных силовых линий поля. В соответствии с явлением электромагнитной индукции в ионизированном газе наводится ЭДС, которая снимается двумя электродами 7 и подается во внешнюю цепь к потребителю r_H . Ионизированный газ,

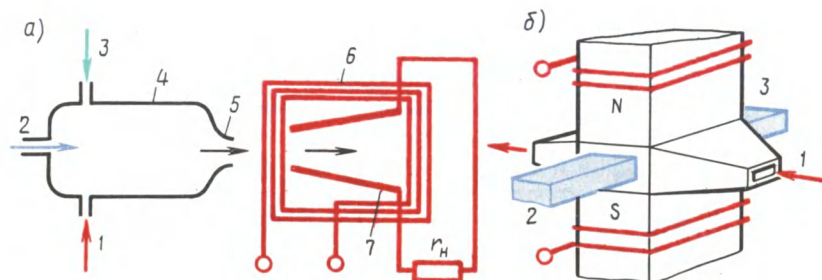


Рис. 31.11. Принцип действия МГД-генератора (а) и МГД-двигателя (б)

пройдя через магнитное поле, выходит из генератора. Таким образом, в МГД-генераторе теплота, образуемая при сгорании топлива, непосредственно преобразуется в электрическую энергию, а поэтому необходимость в получении механической энергии отпадает (не нужны паровой котел и паровая турбина).

Исследования показали, что МГД-генераторы приобретают существенные преимущества перед тепловыми электростанциями традиционного действия лишь при условиях значительной единичной мощности (более 100 МВт) и изготовлении обмотки электромагнита из сверхпроводника, помещенного в криостат.

МГД-генераторы обратимы и могут работать в двигательном режиме. Обычно МГД-двигатели применяются для перемещения электропроводных жидкостей, их принято называть МГД-насосами. Для пояснения принципа работы МГД-насоса обратимся к рис. 31.11, б. Электропроводная жидкость, проходя через канал 1, попадает в пространство между полюсами N и S электромагнита. При этом через жидкость от электрода 2 к электроду 3 проходит электрический ток, который взаимодействует с магнитным полем и создает электромагнитные силы, которые и «проталкивают» жидкость через межполюсное пространство электромагнита.

Подобные МГД-насосы могут применяться для транспортировки различных электропроводных жидкостей. Например, их можно использовать для перемещения расплавленного металла в литейном производстве.

Рассмотренные МГД-машины называют *кондукционными*, так как их конструкция предусматривает обязательное наличие электродов для съема или подачи электрического тока. Созданы

также МГД-машины *индукционные* (асинхронные), в которых отсутствуют электроды, а ЭДС или электромагнитные силы возникают в результате взаимодействия перемещаемой электропроводной жидкости с бегущим магнитным полем [1].

Контрольные вопросы

1. Что такое режим теплового равновесия в электрической машине?
2. Можно ли машину, рассчитанную для работы в повторно-кратковременном режиме, использовать в продолжительном режиме?
3. Перечислите способы охлаждения электрических машин и дайте каждому из них характеристику.
4. Каковы особенности водородного охлаждения?
5. Какой способ охлаждения электрических машин является наиболее эффективным?
6. Перечислите способы охлаждения трансформаторов и дайте им сравнительную оценку.
7. Что такое сверхпроводимость и какие материалы ею обладают?
8. Почему в криогенной машине допускаются очень высокие значения магнитной индукции?
9. Объясните работу МГД-генератора и МГД-двигателя.

Задачи для самостоятельного решения

1. ТРАНСФОРМАТОРЫ

Задача 1.1. Однофазный трансформатор включен в сеть с частотой тока 50 Гц. Номинальное вторичное напряжение $U_{2\text{ном}}$, а коэффициент трансформации k . Определить число витков в обмотках w_1 и w_2 , если в стержне магнитопровода трансформатора сечением $Q_{\text{ст}}$ максимальное значение магнитной индукции B_{max} (табл. 1.1).

Т а б л и ц а 1.1

Величины	Варианты									
	1	2	3	4	5	6	7	8	9	10
$U_{2\text{ном}}$, В	230	400	680	230	230	400	400	680	230	230
k	15	10	12	8	10	6	8	12	14	8
$Q_{\text{ст}}$, м ² · 10 ⁻¹	0,49	0,80	1,2	1,8	0,65	0,80	1,2	0,76	0,60	0,85
B_{max} , Тл	1,3	1,6	1,8	1,3	1,4	1,5	1,2	1,3	1,5	1,2

Задача 1.2. Для однофазного трансформатора номинальной мощностью $S_{\text{ном}}$ и первичным напряжением $U_{1\text{ном}}$, мощностью короткого замыкания $P_{\text{к ном}}$ и напряжением к. з. $U_{\text{к}}$ рассчитать данные и построить график зависимости изменения вторичного напряжения ΔU от коэффициента нагрузки β , если коэффициент мощности нагрузки $\cos\varphi_2$ (табл. 1.2).

Т а б л и ц а 1.2

Величины	Варианты									
	1	2	3	4	5	6	7	8	9	10
$S_{\text{ном}}$, кВ · А	600	250	800	100	180	560	320	50	120	80
$U_{1\text{ном}}$, кВ	31,5	6,3	31,5	6,3	6,3	10	10	3,4	6,3	10
$P_{\text{к ном}}$, кВт	20	12	22	7	10	25	13	3,5	8	5,4
$U_{\text{к}}$, %	8,5	6,5	8,5	5,5	6,5	7	6,5	5,5	5,5	6
$\cos\varphi_2$	0,75	0,85	0,80	0,70	1,0	0,85	0,9	1,0	0,80	0,70
	(емк.)	(инд.)	(емк.)	(инд.)		(инд.)	(емк.)		(инд.)	(инд.)

Задача 1.3. Для однофазного трансформатора, данные которого приведены в задаче 1.2, рассчитать и построить график зависимости КПД от нагрузки $\eta = f(\beta)$, если максимальное значение КПД трансформатора соответствует коэффициенту нагрузки $\beta' = 0,7$.

Задача 1.4. Трехфазный трансформатор номинальной мощностью $S_{\text{ном}}$ и номинальными напряжениями (линейными) $U_{1\text{ном}}$

и $U_{2\text{ном}}$ имеет напряжение короткого замыкания u_k , ток холостого хода i_0 , потери холостого хода $P_{0\text{ном}}$ и потери короткого замыкания $P_{k\text{ном}}$. Обмотки трансформатора соединены по схеме «звезда — звезда». Требуется определить параметры T -образной схемы замещения, считая ее симметричной: $r_1 = r'_2$ и $x_1 = x'_2$; определить КПД η и полезную мощность P_2 , соответствующие значениям полной потребляемой мощности $S_1 = 0,25S_{\text{ном}}$, $S_2 = 0,5S_{\text{ном}}$, $S_3 = 0,75S_{\text{ном}}$ и $S_4 = S_{\text{ном}}$ при коэффициентах мощности нагрузки $\cos\varphi_2 = 0,8$ и $\cos\varphi_2 = 1$, по полученным данным построить графики $\eta = f(P_2)$ в одних осях координат; определить номинальное изменение напряжения $\Delta U_{\text{ном}}$ (табл. 1.3).

Т а б л и ц а 1.3

Величины	Варианты									
	1	2	3	4	5	6	7	8	9	10
$S_{\text{ном}}$, кВ·А	100	180	320	560	1000	800	600	700	400	200
$U_{1\text{ном}}$, кВ	0,5	3,0	6,0	10	35	10	10	6,0	3,0	3,0
$U_{2\text{ном}}$, кВ	0,23	0,4	0,4	0,4	3,0	0,4	0,6	0,6	0,23	0,23
u_k , %	5,5	5,5	8,5	6,5	5,5	6,5	8,5	5,5	6,5	5,5
$P_{0\text{ном}}$, кВт	0,65	1,2	1,6	2,5	5,2	3,6	2,8	3,2	2,0	1,5
$P_{k\text{ном}}$, кВт	2,0	3,6	5,8	9,0	13,5	10,0	9,0	8,2	6,0	4,0
i_0 , %	6,5	5,5	5,5	5,5	5,0	5,0	5,5	5,5	5,5	6,5

Задача 1.5. Три трехфазных трансформатора номинальной мощностью $S_{\text{номI}}$, $S_{\text{номII}}$ и $S_{\text{номIII}}$ включены на параллельную работу. Требуется определить: 1) нагрузку каждого трансформатора (S_I , S_{II} и S_{III}) в кВ·А, если общая нагрузка равна сумме номинальных мощностей этих трансформаторов ($S_{\text{общ}} = S_{\text{номI}} + S_{\text{номII}} + S_{\text{номIII}}$); 2) степень использования каждого из трансформаторов по мощности ($S/S_{\text{ном}}$); 3) насколько следует уменьшить общую нагрузку трансформаторов $S_{\text{общ}}$, чтобы устранить перегрузку трансформаторов; как при этом будут использованы трансформаторы по мощности в процентах (табл. 1.4).

Т а б л и ц а 1.4

Величины	Варианты				
	1	2	3	4	5
<i>Первый трансформатор</i>					
Номинальная мощность $S_{\text{номI}}$, кВ·А	5000	5600	3200	1800	560
Напряжение к. з. u_{kI} , %	5,3	5,3	4,3	4,4	4,0
<i>Второй трансформатор</i>					
Номинальная мощность $S_{\text{номII}}$, кВ·А	3200	3200	4200	3200	420
Напряжение к. з. u_{kII} , %	5,5	5,5	4,3	4,0	4,2
<i>Третий трансформатор</i>					
Номинальная мощность $S_{\text{номIII}}$, кВ·А	1800	3200	5600	4200	200
Напряжение к. з. u_{kIII} , %	5,7	5,5	4,0	3,8	4,5

2. ОБЩИЕ ВОПРОСЫ ТЕОРИИ БЕСКОЛЛЕКТОРНЫХ МАШИН

Задача 2.1. Рассчитать параметры и начертить развернутую схему трехфазной двухслойной обмотки статора по данным, приведенным в табл. 2.1. Выбрать укорочение шага обмотки, чтобы уничтожалась ν -я высшая гармоника в кривой индуцированной ЭДС обмотки. Соединение катушечных групп последовательное, фазы обмотки соединить звездой, катушки одновитковые.

Т а б л и ц а 2.1

Величины	Варианты									
	1	2	3	4	5	6	7	8	9	10
Число пазов Z_1	48	60	36	48	36	36	24	60	36	54
Число полюсов $2p$	8	4	4	4	2	6	2	10	6	6
Гармоника ν	5	7	5	7	5	7	5	7	5	7

Задача 2.2. Используя данные и результаты расчета задачи 2.1, определить эффективные значения фазной и линейной ЭДС первой, третьей, пятой и седьмой гармоник, приняв величину основного магнитного потока $\Phi = 3/Z_1$ Вб и частоту тока 50 Гц. Рассчитать значения этих ЭДС, если бы шаг обмотки был полным.

Задача 2.3. По данным задачи 2.1 рассчитать параметры и начертить развернутую схему трехфазной однослойной обмотки статора с лобовыми соединениями, расположенными в двух плоскостях. Катушечные группы соединить последовательно, фазные обмотки соединить звездой.

3. АСИНХРОННЫЕ МАШИНЫ

Задача 3.1. Определить значения ЭДС, индуцируемые вращающимся магнитным потоком Φ в обмотке статора E_1 , в неподвижном и вращающемся роторах E_2 и E_{2s} , частоту вращения ротора n_2 и частоту тока в роторе f_2 , если известны число последовательно соединенных витков фазы обмотки статора ω_1 , обмоточный коэффициент $k_{об1}$, число полюсов $2p$, частота тока $f_1 = 50$ Гц и номинальное скольжение $s_{ном}$ (табл. 3.1).

Таблица 3.1

Величины	Варианты									
	1	2	3	4	5	6	7	8	9	10
$\Phi, \text{Вб} \cdot 10^{-3}$	45	34	28	82	55	45	58	48	40	75
ω_1	96	100	128	48	66	46	60	80	84	40
$K_{об1}$	0,96	0,90	0,94	0,86	0,90	0,96	0,84	0,90	0,96	0,90
$s_{ном}$	0,02	0,03	0,02	0,04	0,06	0,01	0,04	0,03	0,03	0,02
$2p$	4	6	8	12	2	4	6	8	6	10

Задача 3.2. Трехфазный асинхронный двигатель с короткозамкнутым ротором серии 4А имеет технические данные, приведенные в табл. 3.2. Определить высоту оси вращения h , число полюсов $2p$, скольжение при номинальной нагрузке $s_{ном}$, момент на валу $M_{ном}$, начальный пусковой M_p и максимальный M_{max} моменты, номинальный и пусковой токи $I_{ном}$ и I_p в питающей сети при соединении обмоток статора звездой и треугольником.

Таблица 3.2

Тип двигателя	Варианты							
	$P_{ном},$ кВт	$n_{2ном},$ об/мин	$\eta_{ном},$ %	$\cos \varphi_1$	$\frac{I_p}{I_{ном}}$	$\frac{M_p}{M_{ном}}$	$\frac{M_{max}}{M_{ном}}$	$U_c, \text{В}$
4А100S2У3	4,0	2880	86,5	0,89	7,5	2,0	2,5	220/380
4А160S2У3	15,0	2940	88,0	0,91	7,0	1,4	2,2	220/380
4А200М2У3	37,0	2945	90,0	0,89	7,5	1,4	2,5	380/660
4А112М4У3	5,5	1445	85,5	0,85	7,0	2,0	2,2	220/380
4А132М4У3	11,0	1460	87,5	0,87	7,5	2,2	3,0	220/380
4А180М4У3	30,0	1470	91,0	0,89	6,5	1,4	2,3	380/660
4А200М6У3	22,0	975	90,0	0,90	6,5	1,3	2,4	220/380
4А280М6У3	90,0	985	92,5	0,89	5,5	1,4	2,2	380/660
4А315М8У3	110	740	93,0	0,85	6,5	1,2	2,3	380/660
4А355М10У3	110	590	93,0	0,83	6,0	1,0	1,8	380/660

Задача 3.3. Трехфазный асинхронный двигатель с короткозамкнутым ротором, работающий от сети частотой 50 Гц и напряжением U_1 (фазное), имеет параметры, приведенные в табл. 3.3: номинальная мощность $P_{ном}$, коэффициент мощности $\cos \varphi_{1ном}$, магнитные потери P_m , механические потери $P_{мех}$, активное сопротивление фазы обмотки статора r_1 при рабочей температуре, активное приведенное сопротивление обмотки ротора r'_2 . Рассчитать данные и построить график зависимости КПД от относительного значения полезной мощности $\eta = f(P_2/P_{ном})$. При этом принять добавочные потери равными $P_{доб} = 0,005P_2$, а коэффициент мощности считать изменяющимся в функции $P_2/P_{ном}$ в соответствии с графиком 2 на рис. 13.9.

Таблица 3.3

Величины	Варианты									
	1	2	3	4	5	6	7	8	9	10
$P_{\text{ном}}$, кВт	4,0	15	45	5,5	11	30	4,0	15	110	250
$\cos\varphi_{1\text{ном}}$	0,89	0,91	0,90	0,86	0,87	0,89	0,84	0,88	0,9	0,92
U_1 , В	220	220	220	220	220	380	220	380	380	380
r_1 , Ом	1,62	0,40	0,083	1,5	0,53	0,16	1,62	1,1	0,11	0,03
r_2' , Ом	1,4	0,2	0,043	1,2	0,28	0,06	1,40	0,4	0,02	0,01
$P_{\text{м}}$, Вт	129	270	730	145	230	680	129	264	1230	1670
$P_{\text{мех}}$, Вт	80	250	370	40	100	320	30	125	550	900

Задача 3.4. Трехфазный асинхронный двигатель с короткозамкнутым ротором работает от сети переменного тока частотой 50 Гц. При номинальной нагрузке ротор двигателя вращается с частотой $n_{2\text{ном}}$; перегрузочная способность двигателя λ , а кратность пускового момента $M_{\text{п}}/M_{\text{ном}}$. Рассчитать данные и построить механическую характеристику двигателя в относительных единицах $M_* = f(s)$ (табл. 3.4).

Таблица 3.4

Величины	Варианты									
	1	2	3	4	5	6	7	8	9	10
$n_{2\text{ном}}$, об/мин	1450	2940	960	1420	720	2920	580	1430	730	575
λ	2,2	1,9	2,0	2,2	2,0	1,9	1,8	2,2	1,7	1,8
$M_{\text{п}}/M_{\text{ном}}$	1,4	1,4	1,2	1,0	1,0	1,2	1,4	1,0	0,9	1,0

4. СИНХРОННЫЕ МАШИНЫ

Задача 4.1. Имеется трехфазный синхронный генератор мощностью $S_{\text{ном}}$ с напряжением на выходе $U_{1\text{ном}}$ (обмотка статора соединена звездой) при частоте тока 50 Гц и частоте вращения n_1 . КПД генератора при номинальной нагрузке $\eta_{\text{ном}}$ (табл. 4.1). Генератор работает на нагрузку с $\cos\varphi_{\text{ном}} = 0,9$. Требуется определить активную мощность генератора при номинальной нагрузке $P_{\text{ном}}$, ток в обмотке статора $I_{1\text{ном}}$, требуемую первичному двигателю мощность P_1 и вращающий момент M_1 при непосредственном механическом соединении валов генератора и первичного двигателя.

Т а б л и ц а 4.1

Величины	Варианты									
	1	2	3	4	5	6	7	8	9	10
$S_{\text{ном}}, \text{кВ} \cdot \text{А}$	330	400	270	470	230	600	780	450	700	500
$U_{\text{ном}}, \text{кВ}$	6,3	3,2	0,4	6,3	0,7	3,2	6,3	0,4	6,3	3,2
$\eta_{\text{ном}}, \%$	92	92	90	91	90	93	93	91	93	92
$n_1, \text{об/мин}$	1000	750	600	1000	600	500	1000	500	1000	600

Задача 4.2. Трехфазный синхронный генератор номинальной мощностью $P_{\text{ном}}$ и номинальным (фазным) напряжением $U_{\text{ф ном}}$ работает с коэффициентом мощности $\cos \varphi_{\text{ном}} = 0,8$ (инд.). Обмотка фазы статора имеет индуктивное сопротивление рассеяния x_1 (табл. 4.2), отношение короткого замыкания $\text{ОКЗ} = 0,7$. Требуется построить практическую диаграмму ЭДС и по ней определить номинальное изменение напряжения генератора при сбросе нагрузки. Активным сопротивлением фазы обмотки статора пренебречь. Характеристика х. х. генератора нормальная (см. с. 262).

Т а б л и ц а 4.2

Величины	Варианты									
	1	2	3	4	5	6	7	8	9	10
$P_{\text{ном}}, \text{кВ} \cdot \text{А}$	15	25	35	45	60	50	40	30	20	10
$U_{\text{ном}}, \text{В}$	230	230	230	400	400	400	400	230	230	230
$x_1, \text{Ом}$	0,35	0,21	0,15	0,32	0,24	0,30	0,35	0,18	0,25	0,40

Задача 4.3. Трехфазный синхронный двигатель номинальной мощностью $P_{\text{ном}}$ и числом полюсов $2p$ работает от сети напряжением $U_{\text{ном}}$ (обмотка статора соединена звездой). КПД двигателя $\eta_{\text{ном}}$, коэффициент мощности $\cos \varphi_{\text{ном}}$ при опережающем токе статора. Перегрузочная способность двигателя λ , а его пусковые параметры определены кратностью пускового тока $I_{\text{п}}/I_{\text{ном}}$ и кратностью пускового момента $M_{\text{п}}/M_{\text{ном}}$. Значения этих величин приведены в табл. 4.3. Требуется определить: потребляемые из сети двигателем активную мощность P_1 и ток $I_{\text{ном}}$, развиваемый двигателем при номинальной нагрузке вращающий момент $M_{\text{ном}}$, суммарные потери ΣP , пусковой момент $M_{\text{п}}$ и пусковой ток $I_{\text{п}}$, а также вращающий момент $M_{\text{мах}}$, при котором двигатель выпадает из синхронизма.

Таблица 4.3

Варианты	Величины							
	$P_{\text{ном}},$ кВт	$U_{\text{I ном}},$ кВ	$2p$	$\cos\varphi_{\text{I ном}}$	$\eta_{\text{ном}}, \%$	$\frac{I_{\text{п}}}{I_{\text{I ном}}}$	$\frac{M_{\text{п}}}{M_{\text{ном}}}$	$\frac{M_{\text{max}}}{M_{\text{ном}}}$
1	575	6,0	6	0,8	93	5	1,4	1,5
2	600	3,0	10	0,9	92	5,5	1,7	1,5
3	325	3,0	8	0,9	90	4,5	1,7	1,6
4	60	0,38	6	0,8	89	4,5	2,2	1,6
5	160	0,38	6	0,8	90	4,8	2,4	1,5

Задача 4.4. В трехфазную сеть напряжением U_c включен потребитель мощностью $S_{\text{потр}}$ при коэффициенте мощности $\cos\varphi$. Определить мощность синхронного компенсатора $Q_{с к}$, который следует подключить параллельно потребителю, чтобы коэффициент мощности в сети повысился до значения $\cos\varphi'$. На сколько необходимо увеличить мощность синхронного компенсатора, чтобы повысить коэффициент мощности сети еще на 0,05 (табл. 4.4).

Таблица 4.4

Величины	Варианты									
	1	2	3	4	5	6	7	8	9	10
$U_c, \text{кВ}$	6,0	10,0	20,0	35,0	6,0	10,0	20,0	35,0	6,0	10,0
$S_{\text{потр}}, \text{кВ} \cdot \text{А} \cdot 10^3$	0,66	4,5	1,8	2,4	0,8	1,7	1,5	3,5	2,0	3,5
$\cos\varphi$	0,70	0,72	0,70	0,75	0,70	0,72	0,75	0,74	0,78	0,72
$\cos\varphi'$	0,90	0,92	0,88	0,90	0,85	0,80	0,83	0,85	0,90	0,85

5. КОЛЛЕКТОРНЫЕ МАШИНЫ

Задача 5.1. По данным, приведенным в табл. 5.1, рассчитать параметры и начертить развернутую схему простой волновой (ПВ) либо простой петлевой (ПП) обмотки якоря. На схеме обозначить полюсы, расставить щетки и, задавшись направлением вращения якоря, определить полярность щеток в генераторном режиме. Выполнить схему параллельных ветвей обмотки якоря и определить ее сопротивление, считая при этом сопротивление одной секции равным 0,02 Ом (секции одновитковые).

Таблица 5.1

Величины	Варианты									
	1	2	3	4	5	6	7	8	9	10
Число пазов	20	25	33	32	23	24	29	30	27	28
Z	4	6	8	4	4	8	4	6	4	6
$2p$	ПП	ПВ	ПВ	ПП	ПВ	ПП	ПВ	ПП	ПВ	ПП
Тип обмотки										

Задача 5.2. Генератор постоянного тока независимого возбуждения с номинальным напряжением $U_{\text{ном}}$ и номинальной частотой вращения $n_{\text{ном}}$ имеет простую волновую обмотку якоря, состоящую из N проводников. Число полюсов генератора $2p = 4$, сопротивление обмоток в цепи якоря при рабочей температуре Σr , основной магнитный поток Φ . Требуется для номинального режима работы генератора определить: ЭДС E_a , ток нагрузки $I_{\text{ном}}$ (размагничивающим влиянием реакции якоря пренебречь), полезную мощность $P_{\text{ном}}$, электромагнитную мощность $P_{\text{эм}}$ и электромагнитный момент $M_{\text{ном}}$ (табл. 5.2).

Таблица 5.2

Величины	Варианты									
	1	2	3	4	5	6	7	8	9	10
$U_{\text{ном}}, \text{В}$	230	230	460	460	460	115	460	230	230	230
$n_{\text{ном}}, \text{об/мин}$	1500	2300	3000	2300	1500	1000	2300	1000	3000	2300
$\Sigma r, \text{Ом}$	0,175	0,08	0,17	0,3	0,7	0,09	0,27	0,35	0,08	0,14
N	100	118	273	234	200	80	252	114	100	138
$\Phi, \text{Вб} \cdot 10^{-2}$	4,8	2,6	1,7	2,6	4,8	4,5	2,4	6,1	2,4	2,2

Задача 5.3. У генератора постоянного тока параллельного возбуждения мощностью $P_{\text{ном}}$ и напряжением $U_{\text{ном}}$ сопротивление обмоток в цепи якоря Σr . Необходимо определить электрические потери якоря и обмотки возбуждения, если в генераторе применены щетки марки ЭГ (см. табл. 27.1), а также определить КПД в режиме номинальной нагрузки. Ток возбуждения принять равным $I_{\text{в}} = k_{\text{в}} I_{\text{ном}}$, где $k_{\text{в}}$ — коэффициент тока возбуждения, а сумму магнитных и механических потерь принять $P_{\text{м}} + P_{\text{мех}} = k_{\text{п}} P_{\text{ном}}$, где $k_{\text{п}}$ — коэффициент постоянных потерь (табл. 5.3).

Т а б л и ц а 5.3

Величины	Варианты									
	1	2	3	4	5	6	7	8	9	10
$P_{\text{ном}}$, кВт	55	70	40	25	35	50	30	45	60	75
$U_{\text{ном}}$, В	230	115	230	115	115	230	230	420	420	230
Σr , Ом	0,04	0,01	0,05	0,03	0,04	0,04	0,07	0,10	0,07	0,02
$k_{\text{п}}$	0,02	0,02	0,02	0,03	0,02	0,01	0,03	0,03	0,02	0,02
$k_{\text{п}}$	0,03	0,03	0,03	0,04	0,04	0,03	0,04	0,04	0,03	0,02

Задача 5.4. Двигатель постоянного тока номинальной мощностью $P_{\text{ном}}$ включен в сеть напряжением $U_{\text{ном}}$ и при номинальной нагрузке потребляет ток $I_{\text{ном}}$, развивая при этом частоту вращения $n_{\text{ном}}$. Требуется определить: значение мощности $P_{\text{Iном}}$, потребляемой двигателем из сети, суммарные потери ΣP , КПД $\eta_{\text{ном}}$ и момент на валу $M_{2\text{ном}}$.

Т а б л и ц а 5.4

Величины	Варианты									
	1	2	3	4	5	6	7	8	9	10
$P_{\text{ном}}$, кВт	55	75	100	125	200	42	32	25	75	15
$U_{\text{ном}}$, В	220	220	220	220	220	110	110	110	440	440
$I_{\text{ном}}$, А	289	382	503	630	1020	439	347	264	193	42
$n_{\text{ном}}$, об/мин	1220	1500	1200	1000	1500	2240	1060	1600	3000	750

Задача 5.5. Электродвигатель постоянного тока параллельного возбуждения мощностью $P_{\text{ном}}$ включен в сеть напряжением $U_{\text{ном}}$, и его якорь вращается с частотой $n_{\text{ном}}$ (табл. 5.5). Сопротивление обмотки возбуждения при рабочей температуре $r_{\text{в}}$, а сопротивление обмоток в цепи якоря Σr . В двигателе применены щетки марки ЭГ (см. табл. 27.1). Требуется определить электромагнитную мощность и электромагнитный момент при номинальной нагрузке двигателя, сумму магнитных и механических потерь ($P_{\text{м}} + P_{\text{мех}}$), а также сопротивление пускового реостата $r_{\text{п р}}$, при котором начальный пусковой ток двигателя был бы равен $2,5I_{\text{ном}}$.

Т а б л и ц а 5.5

Величины	Варианты									
	1	2	3	4	5	6	7	8	9	10
$P_{\text{ном}}$, кВт	6	9	14	20	7,1	11	17	24	15	20
$U_{\text{ном}}$, В	110	220	220	220	220	220	220	220	220	220
$n_{\text{ном}}$, об/мин	750	1060	1500	2360	750	1000	1500	2360	750	1000
$\eta_{\text{ном}}$, %	81	86	88	89	83	87	89	90	83	86
Σr , Ом	0,14	0,26	0,14	0,05	0,45	0,25	0,11	0,08	0,25	0,17
$r_{\text{в}}$, Ом	34,5	117	117	74	124	124	124	124	53	67

Список литературы

1. Вольдек А. И. Электрические машины. Л., 1978. — 832 с.
2. Брускин Д. Э., Зорохович А. Е., Хвостов В. С. Электрические машины. М., 1979. Ч. I. — 282 с. Ч. II. — 303 с.
3. Иванов—Смоленский А. В. Электрические машины. М., 1980. — 928 с.
4. Кацман М. М. Электрические машины. М., 1983. — 431 с.
5. Кацман М. М. Расчет и конструирование электрических машин. М., 1984. — 359 с.
6. Кацман М. М. Руководство к лабораторным работам по электрическим машинам и электроприводу. М., 1983. — 215 с.
7. Кацман М. М. Электрические машины и электропривод автоматических устройств. М., 1987. — 334 с.
8. Копылов И. П. Электрические машины. М., 1986. — 360 с.
9. Костенко Г. Н., Пиотровский Л. М. Электрические машины. Л., 1972. Ч. I. — 544 с.; 1973. Ч. II. — 648 с.
10. Обмотки электрических машин. В. И. Зимин, М. Я. Каплан, А. М. Палей и др. М., 1975—288 с.
11. Петров Г. Н. Электрические машины. Ч. I. Трансформаторы. М., 1974. — 240 с.
12. Петров Г. Н. Электрические машины. Ч. II. Асинхронные и синхронные машины. 1963. — 416 с.
13. Петров Г. Н. Электрические машины. Ч. III. Коллекторные машины постоянного и переменного тока. М., 1968. — 224 с.
14. Пиотровский Л. М., Васютинский С. Б., Несговорова Е. Д. Испытание электрических машин. Ч. 2. М., 1960. — 290 с.
15. Проектирование электрических машин./Под ред. И. П. Копылова. М., 1980. — 495 с.
16. Юферов Ф. М. Электрические машины автоматических устройств. М., 1976. — 416 с.

- Автотрансформатор 72
— регулировочный 75
— трехфазный 74
- Вентилятор центробежный 433
- Ветви параллельные обмотки фазы 117
— — — якоря 322
- Возбуждение постоянными магнитами 242, 359
— электромагнитное 239, 359
- Высота оси вращения 231
- Гармоники ЭДС зубцовые 112
- Генератор индукторный 314
— независимого возбуждения 379
— параллельного возбуждения 383
— с когтеобразными полюсами 313
— синхронный, принцип работы 97
— — магнитоэлектрический 304
— смешанного возбуждения 386
- Гидрогенератор 242
- Группа трансформаторная 36
— катушечная обмотки статора 115
- Группы соединения трансформаторов 61
- Датчик ЭДС Холла 420
- Двигатель асинхронный исполнительный 224
— — конденсаторный 212
— — линейный 220
— — однофазный 208
— — принцип работы 98
— —, устройство 140
— — с глубокими пазами на роторе 199
— — — двумя клетками на роторе 200
— — трехфазный с короткозамкнутым ротором 140
— — с фазным ротором 143
— бесконтактный постоянного тока 419
— исполнительный асинхронный 223
— — постоянного тока 423
— коллекторный параллельного возбуждения 391
— — последовательного возбуждения 400
— — смешанного возбуждения 403
— — универсальный 410
— синхронный гистерезисный 307
— — трехфазный 289
— — магнитоэлектрический 302
— — реактивный 305
— — шаговый 310
- Диаграмма векторная асинхронного двигателя 159
— — синхронного генератора 261
— — трансформатора 35
— — — упрощенная 51
— круговая асинхронного двигателя 184
— ЭДС практическая 266
- Дизель-генератор 244
- Дроссель 94
- Запаздывание магнитное 308
- Зона несовпадения 20
- Зона нечувствительности тахогенератора 419
- Изменение вторичного напряжения трансформатора 52
— напряжения генератора постоянного тока 382
— — синхронного генератора 264
- Изоляция обмотки статора 122
- Импидоры 82
- Искрение на коллекторе 361
- Каналы вентиляционные аксиальные 434
— — радиальные 434
- Катушка полюсная бескаркасная 325
— — каркасная 325
- Классы нагревостойкости изоляции 123
- Колебания синхронных машин 279
- Кольца емкостные 82
- Коллектор на пластмассе 327
— с конусными шайбами 326
- Компенсатор синхронный 298
- Коммутация замедленная 365
— прямолнейная 363
— ускоренная 368
- Кривые U-образные синхронного генератора 284
— — — двигателя 295
- Коэффициент воздушного зазора 148
— заполнения паза 123
— магнитного насыщения 149, 250
— — рассеяния 250, 349
— мощности асинхронного двигателя 175
— — синхронного двигателя 296
— обмоточный 111
- Коэффициент полезного действия асинхронного двигателя 164
— — — машины постоянного тока 407

- — — синхронной машины 267
- — — трансформатора 56
- полюсного перекрытия 252, 342
- распределения обмотки 109
- реакции якоря машины постоянного тока 356
- статической перегружаемости 277
- типовой мощности 88
- трансформации 26
- — напряжений 158
- — токов 158
- укорочения шага обмотки 107
- усиления мощности 415
- формы поля возбуждения 253
- — — статора 252

Магнитопровод трансформатора 17

- — броневой 19
- — стыковой 19
- — шихтованный 20

Малонерционность 225

Машины электрические синхронной связи 220

МГД-генератор 442

МГД-двигатель 442

МДС обмотки статора распределенной 127

- — — сосредоточенной 126
- — — трехфазной 129, 131
- — — фазы 129

Метод аналитический расчета характеристик 190

Метод вольтметра 65

- фазометра 65

Момент асинхронного двигателя 166

- асинхронный дополнительный 294
 - — максимальный 167
 - — пусковой 168
 - входа в синхронизм 293
 - гистерезисный 309
 - синхронизирующий 221
 - — удельный 282
 - электромагнитный машины постоянного тока 345
 - — основной синхронной машины 276
 - — реактивный синхронной машины 276
 - — синхронной машины 274
- #### Моменты паразитные асинхронного двигателя 176
- #### Мощность полезная 56, 164, 407
- проходная 73
 - расчетная 73
 - типовая 88
 - удельная синхронизирующая 282
 - электромагнитная асинхронного двигателя 163
 - — машины постоянного тока 346
 - — синхронной машины 274

Нагревание электрических машин 427

Нагрузка линейная 351

Нейтраль геометрическая 331

- физическая 353

Несимметрия магнитная 337

Обратимость электрических машин 9

Обмотка возбуждения 99, 239, 325

- комбинированная 341
- компенсационная 357, 416
- простая волновая 334
- — петлевая 330
- пусковая 201, 292
- ротора короткозамкнутая 142
- сложная волновая 336
- — петлевая 333
- рабочая 201
- статора двухслойная 114
- — — с дробным числом пазов на полюс и фазу 118
- — однослойная концентрическая 120

- — — шаблонная 121

- — — однофазная 121

- трансформаторная винтовая 22

- — концентрическая 21

- — цилиндрическая 22

Огонь круговой 375

Опыт к з асинхронного двигателя 181

- — трансформатора 46
- х. х. асинхронного двигателя 179
- — трансформатора 43

Охлаждение трансформаторов 437

- электрических машин 432
- — — водородное 435
- — — естественное 432
- — — искусственное 432
- — — непосредственное 436

Передача синхронная индикаторная 221

Переключатель ответвлений обмоток 58

Перенапряжения в трансформаторах 79

Петля гистерезиса 309

Пик-трансформатор 91

Поле магнитное бегущее 227

- — вращающееся круговое 132

- — эллиптическое 132

- — пульсирующее 133

Полюсы добавочные 370

Потери добавочные 163, 406

- — при нагрузке 268
- — пульсационные 268
- магнитные 54, 162, 268, 405
- механические 163, 268, 406
- на возбуждение 267
- — гистерезис 308
- — электрические 54, 162, 268, 405

Поток вынужденного намагничивания 87

- магнитный рассеяния 26, 150, 250, 349
- Преобразователь частоты 92, 219
- Процессы переходные 78, 285
- Причины искрения 361
- Противо-ЭДС 387
- Пуск асинхронного двигателя 194, 196
- двигателя постоянного тока 389
- синхронного двигателя 292
- Работа параллельная синхронных генераторов** 270
- трансформаторов 66
- Радиопомехи коллекторных машин 376
- Разделение потерь асинхронного двигателя 180
- Реакция якоря машины постоянного тока 351
- — синхронного генератора 254
- Регулирование частоты вращения асинхронных двигателей 202
- — — двигателей параллельного возбуждения 394
- — — последовательного возбуждения 402
- Регулятор индукционный 218
- Режим постоянного момента 206
- постоянной мощности 207
- теплового равновесия 428
- Режим работы кратковременный 431
- — повторно-кратковременный 431
- — продолжительный 430
- Режимы работы асинхронной машины 137
- — машины постоянного тока 430
- Реостаты пусковые 195, 390
- Ротор короткозамкнутый 142
- неявнополюсный 244
- сборный 309
- с котлеобразными полюсами 313
- явнополюсный 243
- Самовентиляция электрических машин** 432
- Самовозбуждение генераторов** 241, 384
- Самосинхронизация синхронного генератора 241
- Самоход 224
- Свойства пусковые асинхронных двигателей 193
- Секция обмотки якоря 329
- Сельсин бесконтактный 223
- контактный 222
- Сердечник ротора 141
- статора 140
- Серия электрических машин 230
- 4А 230
- АИ 233
- 2П 409
- Синхронизация точная 270

- Силы пондеромоторные 152
- Система бесконтактного возбуждения 240
- генератор-двигатель 397
- Скольжение 137
- критическое 166
- Скос пазов 113
- Соединение обмоток в зигзаг 38
- Соединения уравнивательные второго рода 340
- — первого рода 339
- Сопrotивление индуктивное главное 258
- — рассеяния 26, 150
- — — сверхпереходное 286
- Сопrotивления индуктивные реакции якоря 258
- — синхронные 275
- Способность перегрузочная асинхронного двигателя 169
- — синхронной машины 277, 291
- Способы возбуждения машин постоянного тока 359
- Степени искрения 362
- Схема замещения трансформатора 33, 51
- — асинхронного двигателя 160
- Тахогенератор** 418
- Ток коммутации** 366
- к з. асинхронного двигателя 181
- — трансформатора 46
- х. х. асинхронного двигателя 181
- трансформатора 28
- ударный к. з. 286
- Торможение противовключением 139
- Транспозиция 22
- Трансформатор** 15
- вольдобавочный 59
- для выпрямителя 86
- — дуговой сварки 23
- импульсный 89
- приведенный 32
- регулируемый намагничиванием шунтов 85
- с подвижным сердечником 84
- трехобмоточный 71
- трехфазный 36
- Треугольник к. з. трансформатора 48
- Турбогенератор** 244
- Угол гистерезисного сдвига** 308
- рассогласования 222
- Укорочение шага обмотки относительное 107
- Управление амплитудно-фазовое 224
- Уравнение МДС трансформатора 29
- моментов генератора постоянного тока 378
- мощностей генератора постоянного тока 378

- — двигателя постоянного тока 387
- напряжений асинхронного двигателя 154
- — генератора постоянного тока 377
- — синхронного генератора 258
- — трансформатора 27
- токов асинхронного двигателя 157
- — трансформатора 21

Условия симметрии обмотки якоря 337
 Устройства возбуждающие тиристорные 241

Фазорегулятор 212

- Характеристика внешняя трансформатора 53
- — синхронного генератора 264
 - — генератора постоянного тока 379, 385, 386
 - — ЭМУ 417
 - выходная тахогенератора 418
 - к з синхронного генератора 262
 - механическая асинхронного двигателя 167
 - нагрузочная генератора постоянного тока 382
 - регулировочная генератора постоянного тока 382
 - — синхронного генератора 265
 - самовозбуждения 384
 - х х генератора постоянного тока 379, 383
 - — синхронного генератора 262
- Характеристики механические двигателя постоянного тока 393, 402, 403, 404
- рабочие асинхронного двигателя 173

- — двигателя постоянного тока 392, 401, 404
- — — синхронного 296
- — универсального коллекторного двигателя 413
- угловые синхронного генератора 276
- — — двигателя 291

Частота вращения асинхронная 100

- — критическая 384
- — синхронная 98
- — приемистости 312
- скольжения 155

Число пазов на полюс и фазу 108

Шаг обмотки второй частичный 330

- — первый 330
- — относительный 107
- — по пазам 103
- по коллектору 330
- потенциальный 339

ЭДС катушки 104

ЭДС обмотки ротора 155

- — статора 110, 154
- — якоря 342

— взаимной индукции коммутирующей секции 365

- вращения — — 365
- реактивная — — 365
- самоиндукции — — 365
- трансформаторная — — 412

Электрические машины криогенные 438

- — магнетогидродинамические 441

Электромашинный усилитель 414

Элемент фазосмещающий 210

Эффект краевой 227

Предисловие	3
Введение	4
§ В.1. Роль электрических машин и трансформаторов в электрификации народного хозяйства	4
§ В.2. Электрические машины — электро-механические преобразователи энергии	7
§ В.3. Классификация электрических машин	10
Раздел 1. ТРАНСФОРМАТОРЫ	13
Глава 1. Рабочий процесс трансформатора	15
§ 1.1. Назначение и области применения трансформаторов	15
§ 1.2. Принцип действия трансформаторов	16
§ 1.3. Устройство трансформаторов	17
§ 1.4. Уравнения напряжений трансформатора	25
§ 1.5. Уравнения магнитодвижущих сил и токов	28
§ 1.6. Приведение параметров вторичной обмотки и схема замещения приведенного трансформатора	32
§ 1.7. Векторная диаграмма трансформатора	34
§ 1.8. Трансформирование трехфазного тока и схемы соединения обмоток трехфазных трансформаторов	36
§ 1.9. Явления при намагничивании магнитопроводов трансформаторов	39
§ 1.10. Влияние схемы соединения обмоток на работу трехфазных трансформаторов в режиме холостого хода	40
§ 1.11. Опытное определение параметров схемы замещения трансформаторов	43
§ 1.12. Упрощенная векторная диаграмма трансформатора	50
§ 1.13. Внешняя характеристика трансформатора	52
§ 1.14. Потери и КПД трансформатора	54
§ 1.15. Регулирование напряжения трансформаторов	57
<i>Контрольные вопросы</i>	60
Глава 2. Группы соединения обмоток и параллельная работа трансформаторов	61
§ 2.1. Группы соединения обмоток	61
§ 2.2. Параллельная работа трансформаторов	66
<i>Контрольные вопросы</i>	70
Глава 3. Трехобмоточные трансформаторы и автотрансформаторы	71
§ 3.1. Трехобмоточные трансформаторы	71
§ 3.2. Автотрансформаторы	72
<i>Контрольные вопросы</i>	75

Глава 4. Переходные процессы в трансформаторах	76
§ 4.1. Переходные процессы при включении и при внезапном коротком замыкании трансформаторов	76
§ 4.2 Перенапряжения в трансформаторах и защита от перенапряжений	79
<i>Контрольные вопросы</i>	83
Глава 5. Трансформаторные устройства специального назначения	84
§ 5.1 Трансформаторы с плавным регулированием напряжения	84
§ 5.2 Трансформаторы для выпрямительных установок	86
§ 5.3 Трансформаторы для автоматических устройств	89
§ 5.4 Трансформаторы для дуговой электросварки	93
<i>Контрольные вопросы</i>	94
Раздел 2. ОБЩИЕ ВОПРОСЫ ТЕОРИИ БЕСКОЛЛЕКТОРНЫХ МАШИН	95
Глава 6. Принцип действия бесколлекторных машин переменного тока	97
§ 6.1. Принцип действия синхронного генератора	97
§ 6.2. Принцип действия асинхронного двигателя	100
<i>Контрольные вопросы</i>	101
Глава 7. Принцип выполнения обмоток статора	102
§ 7.1. Устройство статора бесколлекторной машины и основные понятия об обмотках статора	102
§ 7.2. Электродвижущая сила катушки	104
§ 7.3. Электродвижущая сила катушечной группы	108
§ 7.4. Электродвижущая сила обмотки статора	110
§ 7.5. Зубцовые гармоники ЭДС	112
<i>Контрольные вопросы</i>	113
Глава 8. Основные типы обмоток статора	114
§ 8.1. Трехфазные двухслойные обмотки с целым числом пазов на полюс и фазу	114
§ 8.2. Трехфазная двухслойная обмотка с дробным числом пазов на полюс и фазу	118
§ 8.3. Однослойные обмотки статора	120
§ 8.4. Изоляция обмотки статора	122
<i>Контрольные вопросы</i>	123
Глава 9. Магнитодвижущая сила обмоток статора	125
§ 9.1. Магнитодвижущая сила сосредоточенной обмотки	125
§ 9.2. Магнитодвижущая сила распределенной обмотки	127
§ 9.3. Магнитодвижущая сила трехфазной обмотки статора	129
§ 9.4. Круговое, эллиптическое и пульсирующее магнитные поля	132
§ 9.5. Высшие пространственные гармоники магнитодвижущей силы трехфазной обмотки	133
<i>Контрольные вопросы</i>	134
Раздел 3. АСИНХРОННЫЕ МАШИНЫ	135
Глава 10. Режимы работы и устройство асинхронной машины	137
§ 10.1. Режимы работы асинхронной машины	137
§ 10.2. Устройство асинхронных двигателей	140
<i>Контрольные вопросы</i>	145

Глава 11. Магнитная цепь асинхронной машины	146
§ 11.1 Основные понятия	146
§ 11.2. Расчет магнитной цепи асинхронного двигателя	148
§ 11.3 Магнитные потоки рассеяния асинхронной машины	150
§ 11.4. Роль зубцов сердечника в наведении ЭДС и создании электромагнитного момента	151
<i>Контрольные вопросы</i>	153
Глава 12. Рабочий процесс трехфазного асинхронного двигателя	154
§ 12.1. Уравнения напряжений асинхронного двигателя	154
§ 12.2. Уравнения МДС и токов асинхронного двигателя	156
§ 12.3. Приведение параметров обмотки ротора и векторная диаграмма асинхронного двигателя	158
<i>Контрольные вопросы</i>	161
Глава 13. Электромагнитный момент и рабочие характеристики асинхронного двигателя	162
§ 13.1. Потери и КПД асинхронного двигателя	162
§ 13.2. Электромагнитный момент и механические характеристики асинхронного двигателя	165
§ 13.3 Механические характеристики асинхронного двигателя при изменениях напряжения сети и активного сопротивления обмотки ротора	171
§ 13.4. Рабочие характеристики асинхронного двигателя	173
§ 13.5. Электромагнитные моменты от высших пространственных гармоник магнитного поля асинхронного двигателя	175
<i>Контрольные вопросы</i>	178
Глава 14. Опытное определение параметров и расчет рабочих характеристик асинхронных двигателей	179
§ 14.1. Основные понятия	179
§ 14.2. Опыт холостого хода	179
§ 14.3. Опыт короткого замыкания	181
§ 14.4. Круговая диаграмма асинхронного двигателя	184
§ 14.5. Построение рабочих характеристик асинхронного двигателя по круговой диаграмме	187
§ 14.6. Аналитический метод расчета рабочих характеристик асинхронных двигателей	190
<i>Контрольные вопросы</i>	192
Глава 15. Пуск и регулирование частоты вращения трехфазных асинхронных двигателей	193
§ 15.1 Пуск двигателей с фазным ротором	193
§ 15.2. Пуск двигателей с короткозамкнутым ротором	196
§ 15.3. Короткозамкнутые асинхронные двигатели с улучшенными пусковыми характеристиками	199
§ 15.4. Регулирование частоты вращения асинхронных двигателей	202
<i>Контрольные вопросы</i>	207
Глава 16. Однофазные и конденсаторные асинхронные двигатели	208
§ 16.1. Принцип действия и пуск однофазного асинхронного двигателя	208
§ 16.2. Асинхронные конденсаторные двигатели	212
§ 16.3. Работа трехфазного асинхронного двигателя от однофазной сети	214
§ 16.4 Однофазный двигатель с экранированными полюсами	216
<i>Контрольные вопросы</i>	217

Глава 17. Асинхронные машины специального назначения	218
§ 17.1. Индукционный регулятор напряжения и фазорегулятор	218
§ 17.2 Асинхронный преобразователь частоты	219
§ 17.3 Электрические машины синхронной связи	220
§ 17.4 Асинхронные исполнительные двигатели	223
§ 17.5 Линейные асинхронные двигатели	226
<i>Контрольные вопросы</i>	229
Глава 18. Основные типы серийно выпускаемых асинхронных двигателей	230
§ 18.1. Низковольтные асинхронные двигатели	230
§ 18.2 Высоковольтные асинхронные двигатели	233
§ 18.3 Крановые и металлургические асинхронные двигатели	234
<i>Контрольные вопросы</i>	236
Раздел 4. синхронные машины	237
Глава 19. Способы возбуждения и устройство синхронных машин	239
§ 19.1. Возбуждение синхронных машин	239
§ 19.2 Типы синхронных машин и их устройство	242
<i>Контрольные вопросы</i>	248
Глава 20. Магнитное поле и характеристики синхронных генераторов	249
§ 20.1 Магнитная цепь синхронной машины	249
§ 20.2 Магнитное поле синхронной машины	251
§ 20.3. Реакция якоря синхронной машины	254
§ 20.4. Уравнения напряжений синхронного генератора	258
§ 20.5. Векторные диаграммы синхронного генератора	260
§ 20.6. Характеристики синхронного генератора	262
§ 20.7. Практическая диаграмма ЭДС синхронного генератора	265
§ 20.8. Потери и КПД синхронных машин	267
<i>Контрольные вопросы</i>	269
Глава 21. Параллельная работа синхронных генераторов	270
§ 21.1 Включение генераторов на параллельную работу	270
§ 21.2 Нагрузка генератора, включенного на параллельную работу	272
§ 21.3 Угловые характеристики синхронного генератора	275
§ 21.4 Колебания синхронных генераторов	279
§ 21.5 Синхронизирующая способность синхронных машин	283
§ 21.6. U-образные кривые синхронного генератора	285
§ 21.7. Переходные процессы в синхронных генераторах	288
<i>Контрольные вопросы</i>	288
Глава 22. Синхронный двигатель и синхронный компенсатор	289
§ 22.1. Принцип действия синхронного двигателя	289
§ 22.2 Пуск синхронных двигателей	292
§ 22.3. U-образные кривые и рабочие характеристики синхронного двигателя	295
§ 22.4. Синхронный компенсатор	298
<i>Контрольные вопросы</i>	301
Глава 23. Синхронные машины специального назначения	302
§ 23.1 Синхронные машины с постоянными магнитами	302
§ 23.2. Синхронные реактивные двигатели	305
§ 23.3 Гистерезисные двигатели	307

§ 23.4 Шаговые двигатели	310
§ 23.5. Синхронный генератор с когтеобразными полюсами и электромагнитным возбуждением	313
§ 23.6. Индукторные синхронные машины	315
<i>Контрольные вопросы</i>	318
Раздел 5. КОЛЛЕКТОРНЫЕ МАШИНЫ	319
Глава 24. Принцип действия и устройство коллекторных машин постоянного тока	321
§ 24.1. Принцип действия генератора и двигателя постоянного тока	321
§ 24.2 Устройство коллекторной машины постоянного тока	324
<i>Контрольные вопросы</i>	328
Глава 25. Обмотки якоря машин постоянного тока	329
§ 25.1 Петлевые обмотки якоря	329
§ 25.2. Волновые обмотки якоря	334
§ 25.3 Уравнительные соединения и комбинированная обмотка якоря	337
§ 25.4. Электродвижущая сила и электромагнитный момент машины постоянного тока	342
§ 25.5. Выбор типа обмотки якоря	346
<i>Контрольные вопросы</i>	347
Глава 26. Магнитное поле машины постоянного тока	348
§ 26.1. Магнитная цепь машины постоянного тока	348
§ 26.2. Реакция якоря машины постоянного тока	351
§ 26.3. Учет размагничивающего влияния реакции якоря	355
§ 26.4. Устранение вредного влияния реакции якоря	357
§ 26.5. Способы возбуждения машин постоянного тока	359
<i>Контрольные вопросы</i>	360
Глава 27. Коммутация в машинах постоянного тока	361
§ 27.1. Причины, вызывающие искрение на коллекторе	361
§ 27.2. Прямолинейная коммутация	363
§ 27.3. Криволинейная замедленная коммутация	365
§ 27.4. Способы улучшения коммутации	369
§ 27.5. Круговой огонь по коллектору	375
§ 27.6 Радиопомехи от коллекторных машин и способы их подавления	376
<i>Контрольные вопросы</i>	376
Глава 28. Коллекторные генераторы постоянного тока	377
§ 28.1 Основные понятия	377
§ 28.2. Генератор независимого возбуждения	379
§ 28.3. Генератор параллельного возбуждения	383
§ 28.4. Генератор смешанного возбуждения	386
<i>Контрольные вопросы</i>	386
Глава 29. Коллекторные двигатели	387
§ 29.1. Основные понятия	387
§ 29.2 Пуск двигателя	389
§ 29.3. Двигатель параллельного возбуждения	391
§ 29.4 Регулирование частоты вращения двигателей параллельного возбуждения	394
§ 29.5 Режимы работы машины постоянного тока	399
§ 29.6 Двигатель последовательного возбуждения	400

§ 29.7. Двигатель смешанного возбуждения	403
§ 29.8. Потери и коэффициент полезного действия коллекторной машины постоянного тока	405
§ 29.9. Машины постоянного тока серии 2П	409
§ 29.10. Универсальные коллекторные двигатели	410
<i>Контрольные вопросы</i>	413
Глава 30. Машины постоянного тока специального назначения	414
§ 30.1. Электромашинный усилитель	414
§ 30.2. Тахогенератор постоянного тока	418
§ 30.3. Бесконтактный двигатель постоянного тока	419
§ 30.4. Исполнительные двигатели постоянного тока	423
<i>Контрольные вопросы</i>	426
Глава 31. Охлаждение электрических машин	427
§ 31.1. Нагревание электрических машин и трансформаторов	427
§ 31.2. Номинальные режимы работы электрических машин	430
§ 31.3. Охлаждение электрических машин	432
§ 31.4. Охлаждение крупных электрических машин	435
§ 31.5. Охлаждение трансформаторов	437
§ 31.6. Новые принципы выполнения электрических машин	438
<i>Контрольные вопросы</i>	443
Задачи для самостоятельного решения	444
Список литературы	453
Предметный указатель	454

Учебное издание

КАЦМАН Марк Михайлович

ЭЛЕКТРИЧЕСКИЕ МАШИНЫ

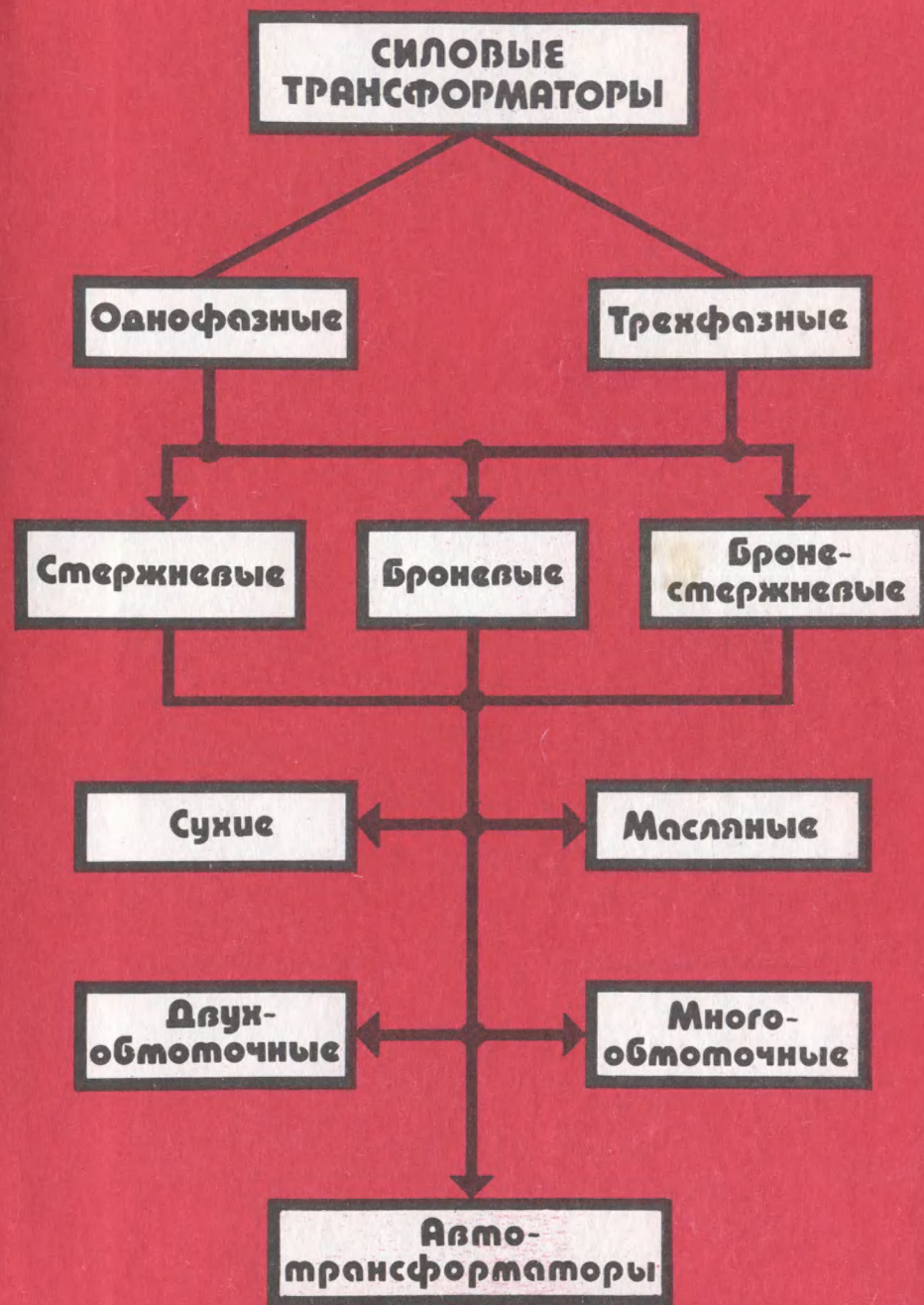
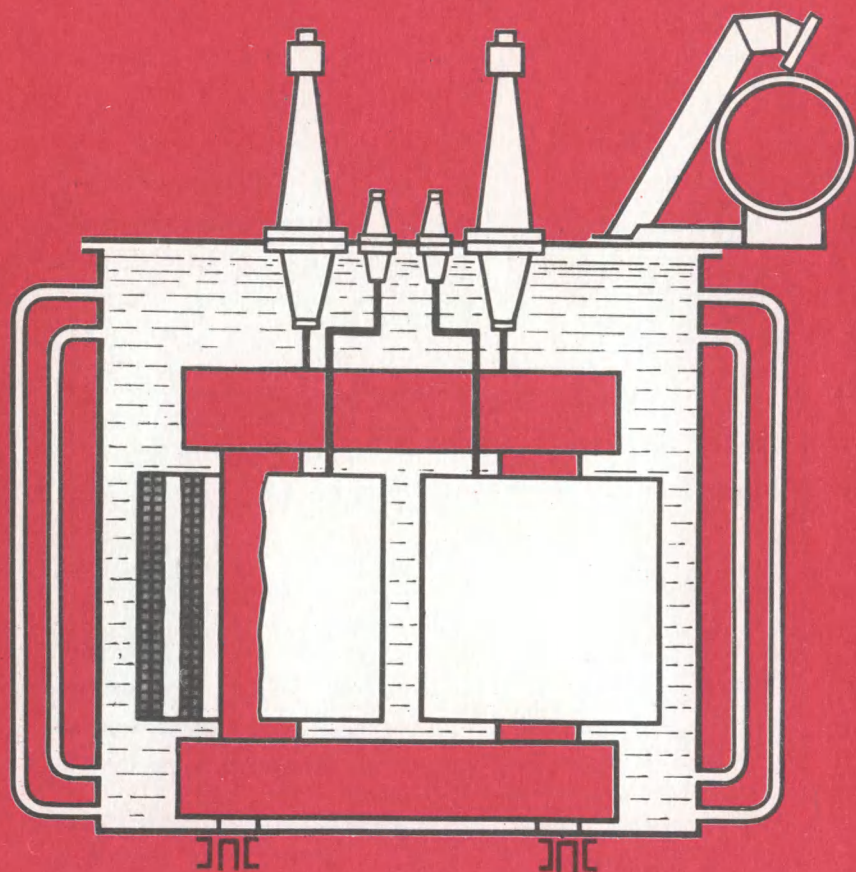
Заведующая редакцией **Н. И. Хрусталева**. Редактор **В. И. Милешин**. Младший редактор **Г. Г. Бучина**. Художественный редактор **В. И. Мешалкин**. Технический редактор **Л. А. Муравьева**. Корректор **Г. И. Кострикова**

ИБ № 7515

Изд. № СТД-583. Сдано в набор 07.02.89. Подп. в печать 07.12.89. Т-19738. Формат 60×90/16. Бум. офс. № 1. Гарнитура литературная. Печать офсетная. Объем 29,0 усл. печ. л. + 0,25 усл. печ. л. форз. 116,5 усл. кр.-отт. 28,01 уч.-изд. л. + 0,39 уч.-изд. л. форз. Тираж 100 000 экз. Зак. № 98. Цена 1 р. 40 к.

Издательство «Высшая школа», 101430, Москва, ГСП-4, Неглинная ул., д. 29/14

Ярославский полиграфкомбинат Госкомпечати СССР 150014, Ярославль, ул. Свободы, 97



1 р. 40 н.